

الميكانيك والتحليل الرياضي والتحكم  
Mechanics, Mathematical Analysis & Control

تأليف المهندس رامي خليل

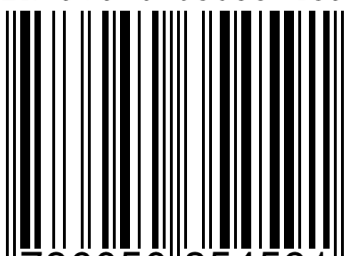
# الروبوتات

## Robotics



[www.gramikhalil.weebly.com](http://www.gramikhalil.weebly.com)

ISBN 978-6-05035-459-1



50699 >

9 786050 354591

MELFA  
RV-7FLM-D



NARCISSUS

**الروبوتิกس: الميكانيك والتحليل الرياضي والتحكم**  
Robotics: Mechanics, Mathematical Analysis and Control

---

حقوق الطبع والنشر محفوظة للمؤلف

© المهندس رامي عبد الرزاق خليل، 2015

تلفون: 0096176610394

بريد إلكتروني: eng.ramikhalil@gmail.com  
صيدا - لبنان

هذا الإصدار الإلكتروني متاح فقط من:  
[www.engramikhalil.weebly.com](http://www.engramikhalil.weebly.com)



تنويه: إن هذا الكتاب هو للاستخدام الشخصي، وهو غير قابل لإعادة النشر أو الطباعة سواء لجزء منه أو لجميعه دون الحصول على تصريح خطي من المؤلف.

ISBN 978-6-05035-459-1



50699 >  
9 786050 354591

إلى من أسفيني الحب والحنان وعلماني وأدبي صغيراً وكثيراً، وكان دعاؤهما سر توفيقي.  
أمي وأبي الغاليان.

إلى الذين بقلوبهم الطيبة تهنا نفسي ويرتاح قلبي، وتحلو معهم الحياة بيسرها وبعسرها.  
أخي وأختاي.

إلى الروح التي سكنت روحي والقلب الذي عانق قلبي، فكانت المبلسمة العطوف والجنة المعطاء.  
شريكه دربي.

لكم أهدي هذا الكتاب

رامي خليل

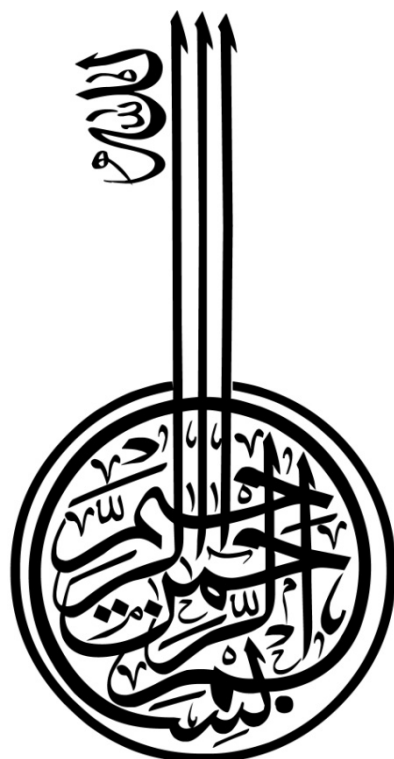
تأليف: المهندس رامي خليل

الروبوتิกس: الميكانيك والتحليل  
الرياضي والتحكم

**Robotics: Mechanics,  
Mathematical Analysis and  
Control**

[www.gramikhalil.weebly.com](http://www.gramikhalil.weebly.com)

نسخة (إلكترونية) غير مخصصة للطباعة



## فهرس الكتاب

10 ..... مقدمة المؤلف

### الفصل الأول

13 ..... لمحـة عـامـة

15 ..... الفصل الثاني: فضاء الهيئة

16 ..... الفصل الثالث: التحليل الستاتيكي للمسك

17 ..... الفصل الرابع: حركات الجسم الصلب

18 ..... الفصل الخامس: التحليل الكينماتيكي الأمامي لروبوتات السلسلة المفتوحة

18 ..... الفصل السادس: التحليل الكينماتيكي للسرعة والتحليل الستاتيكي لروبوت

19 ..... الفصل السابع: التحليل الكينماتيكي الخلفي لروبوتات السلسلة المفتوحة

20 ..... الفصل الثامن: التحليل الكينماتيكي لروبوتات السلسلة المغلقة

20 ..... الفصل التاسع: التحليل الديناميكي لروبوتات السلسلة المفتوحة

21 ..... الفصل العاشر: التحكم بالروبوت

### الفصل الثاني

23 ..... فضاء الهيئة

24 ..... 2.1. فضاء الهيئة للجسم الصلب

27 ..... 2.2. فضاء الهيئة لروبوت ما

27 ..... 2.2.1. درجة الحرية لروبوت ما

36 ..... 2.2.2. توصيف فضاء الهيئة

38 ..... 2.2.3. القيود الباقيانية

41 ..... 2.2.4. فضاء المهمة

## الفصل الثالث

44.....	<b>التحليل статики للمسك</b>
45.....	3.1. نماذج التماسات
48.....	3.2. المسك عديم الاحتكاك
48.....	3.2.1. التوازن статики وتأثير قوى الأغلاق
49.....	3.2.2. مثال توضيحي لحالة مستوية
52.....	3.2.3. اختبار الغلاف المدبب لتأثير قوى الإغلاق
54.....	3.2.4. الاختبار الحسابي لحالة تأثير قوى الإغلاق
57.....	3.2.5. حالة الإغلاق من أجل عمليات المسك عديمة الاحتكاك
59.....	3.3. المسك بوجود الاحتكاك
59.....	3.3.1. مثال توضيحي لحالة مستوية
60.....	3.3.2. اختبار الغلاف المدبب لتأثير قوى الإغلاق في الحالة المستوية
61.....	3.3.3. نظرية نوين Nguyen للحالة المستوية
62.....	3.3.4. تأثير قوى الإغلاق للأجسام الصلبة الفضائية الخاضعة لثلاث نقاط تماس مع وجود الاحتكاك

## الفصل الرابع

67.....	<b>حركات الجسم الصلب</b>
68.....	4.1. مثال توضيحي
73.....	4.2. الدورانات
73.....	4.2.1. تعريف
74.....	4.2.2. خصائص
77.....	4.2.3. زوايا أويلر Euler
82.....	4.2.4. زوايا الالتفاف - الانحدار - الانعراب Roll - Pitch - Yaw

84.....	4.2.5. الإحداثيات الأسيّة
84.....	4.2.5.1. بعض النتائج الأساسية المستخلصة من معادلات التفاضل الخطي
87.....	4.2.5.2. الدورانات باستخدام الإحداثيات الأسيّة
90.....	4.2.5.3. المصفوفة اللوغاريتمية Logarithm لمصفوفة الدوران
94.....	4.2.6. وحدة الكواتيرنيون (المركب المتعدد)
95.....	4.3. حركات الجسم الصلب
95.....	4.3.1. تعريف
97.....	4.3.2. خصائص
102.....	4.3.3. الحركات اللولبية
102.....	4.3.3.1. التمثيل الرياضي
106.....	4.3.3.2. المصفوفة اللوغاريتمية للتحويل المتجانس
108.....	4.3.3.3. الانزياح عند تغيير جمل المحاور المرجعية
111.....	4.4. السرعات والقوى
111.....	4.4.1. السرعات الزاوية
113.....	4.4.2. السرعات الفضائية
117.....	4.4.3. القوى الفضائية

## الفصل الخامس

120.....	<b>التحليل الكينماتيكي الأمامي لروبوتات السلسلة المفتوحة</b>
123.....	5.1. تمثيل دينافيت – هارتبرغ Denavit – Hatrenberg
123.....	5.1.1. تحديد جمل محاور الوصلات
127.....	5.1.2. لماذا تعتبر أربعة بارامترات كافية
128.....	5.1.3. التحليل الكينماتيكي الأمامي لمناور

129.....	5.1.4. أمثلة
132.....	5.2. صيغة جداء الأسيات
132.....	5.2.1. الصيغة الأولى
134.....	5.2.2. أمثلة
138.....	5.2.3. العلاقة مع طريقة تمثيل دينافت - هارتنبرغ Denavit - Hartenberg
140.....	5.2.4. الصيغة الثانية

## الفصل السادس

142.....	<b>التحليل الكينماتيكي للسرعة والتحليل статики للروبوت</b>
142.....	6.1. يعقوبي Jacobian الروبوت المناور
142.....	6.1.1. يعقوبي الفضاء
149.....	6.1.2. يعقوبي الجسم
150.....	6.1.3. العلاقة بين يعقوبي الفضاء ويعقوبي الجسم
151.....	6.2. التوازن статики لروبوتات السلسلة المفتوحة
152.....	6.2.1. القوى الفضائية
155.....	6.2.2. التحليل статики ومبدأ العمل الافتراضي
157.....	6.3. القصور (الشذوذ) الحركي
163.....	6.4. قابلية المناورة

## الفصل السابع

167.....	<b>التحليل الكينماتيكي الخلفي لروبوتات السلسلة المفتوحة</b>
169.....	7.1. التحليل الكينماتيكي الخلفي (العكسى أو غير المباشر)
169.....	7.1.1. نموذج الذراع الروبوتي من نوع PUMA المحظى على ستة مفاصل دورانية
173.....	7.1.2. أذرع الروبوت من النوع PUMA المعممة المكونة من ستة مفاصل دورانية 6R

180.....	7.1.3 الأذرع الروبوتية من نوع Stanford
181.....	7.2. التحليل الكينماتيكي الخلفي الرقمي
185.....	7.3. التحليل الكينماتيكي الخلفي لروبوتات السلسلة المفتوحة الفائضة حركيًّا

### الفصل الثامن

187.....	<b>التحليل الكينماتيكي لروبوتات السلسلة المغلقة</b>
190.....	8.1. التحليل الكينماتيكي الأمامي والخلفي
190.....	8.1.1. الميكانيزم المتوازي المستوى $RPR \times R$
192.....	8.1.2. منصة ستيفوارت - جوف Stewart - Gough
193.....	8.1.3. الميكانيزمات المتوازية العامة
195.....	8.2. التحليل الكينماتيكي التفاضلي
195.....	8.2.1. منصة ستيفوارت - جوف Stewart – Gough
197.....	8.2.2. الميكانيزمات المتوازية العامة
200.....	8.3. القصور (الشذوذ) الحركي

### الفصل التاسع

205.....	<b>التحليل الديناميكي لروبوتات السلسلة المفتوحة</b>
206.....	9.1. صيغة لاغرانج Lagrange الديناميكية
206.....	9.1.1. الأفكار الرئيسية ومثال توضيحي
209.....	9.1.2. الصيغة العامة
210.....	9.2. التحليل الديناميكي للجسم الصلب
210.....	9.2.1. الصيغة الكلاسيكية
213.....	9.2.2. صيغة التلولب - التلوّي
216.....	9.3. التحليل الديناميكي الخلفي لروبوتات السلسلة المفتوحة

220.....	9.4. الصيغة التقاربية للمعادلات الديناميكية
225.....	9.5. التحليل الديناميكي الأمامي للروبوتات ذات السلسل المفتوحة
228.....	9.5. التحليل الديناميكي في إحداثيات فضاء المهمة (أو فضاء العمل)

## الفصل العاشر

230.....	<b>التحكم بالروبوت</b>
231.....	10.1. لمحه عامة عن أنظمة التحكم
233.....	10.2. التحكم بالحركة
233.....	10.2.1. التحكم بحركة روبوت ذي مفصل واحد
234.....	10.2.1.1. التحكم عن طريق التغذية الراجعة - المتحكم PID
242.....	10.2.1.2. التحكم عن طريق التغذية الأمامية
244.....	10.2.1.3. التحكم عن طريق التغذية الأمامية مع التغذية الراجعة الخطية
246.....	10.2.1.4. توضيحات تتعلق بموضوع الاحتكاك
247.....	10.2.1.5. تأثير المستنات
249.....	10.2.2. التحكم بالحركة في الأنظمة متعددة المفاصل
250.....	10.2.2.1. التحكم الامرکزي بالأنظمة متعددة المفاصل
250.....	10.2.2.2. التحكم المركزي بالأنظمة متعددة المفاصل
252.....	10.2.3. التحكم بالحركة في فضاء المهمة
254.....	10.3. التحكم بالقوة
256.....	10.4. التحكم الهجين بالحركة والقوة
257.....	10.4.1. القيود الطبيعية والاصطناعية
259.....	10.4.2. المتحكم الهجين
261.....	10.5. التحكم بالمقاومة

263.....	10.5.1. خوارزمية التحكم بالمقاومة
264.....	10.5.2. خوارزمية التحكم بالسمانحية
264.....	10.6. موضوعات أخرى
<b>267.....</b>	<b>المراجع</b>

# بِسْمِ اللَّهِ الرَّحْمَنِ الرَّحِيمِ

## مقدمة المؤلف

يعتبر علم الروبوت (الروبوتيكس Robotics) أحد فروع التكنولوجيا الحديثة والجديدة نسبياً والذي يجمع بين مختلف الأطر الهندسية التقليدية، فحتى نتمكن من الفهم الدقيق لفوائد هذه العلم ونعرف مدى التعقيد الكامن في الروبوتات وفي تطبيقاتها العديدة، فإن الأمر يتطلب منا دراسة معرفية جيدة حول الهندسة الميكانيكية والهندسة الكهربائية والنظم الصناعية وهندستها وعلوم الكمبيوتر والاقتصاد والرياضيات. وهناك العديد من التخصصات الأكاديمية الهندسية الجديدة (كهندسة التصنيع والهندسة التطبيقية والهندسة المعرفية) كان من أحد أسباب نشوئها هو القدرة على التعامل مع تعقيدات هذا الفرع من العلم المعنى بالروبوتات وأتمتها المصانع.

إن أول ظهور لمصطلح "روبوت - Robot" في مفردات اللغة جاء من قبل الكاتب المسرحي التشيكى كاريل كابيك Karel Capek وذلك من خلال عمله المسرحي الذي قام به في عام 1920 بعنوان "رجال روسوم Rossum الآلية العالميون" (باللغة التشيكية Rossumovi univerzální roboti). وكلمة "روبوت - Robot" في الأساس هي مشتقة من الكلمة التشيكية "Robota" والتي تعنى العمل الشاق، وكان مبتكر هذه الكلمة هو أخ الكاتب المسرحي الانف الذكر واسمها جوزيف كابيك Josef Capek وذلك في مسعى منه لمساعدة أخيه على ابتكار اسم للآلات "الحية" في عمله المسرحي. وبعد ذلك أصبحت هذه الكلمة تطلق على تشكيلة واسعة من الأجهزة الميكانيكية، على سبيل المثال، الآلات المشغلة عن بعد والتي تقوم بتكرار حركة مشغلها، والمركبات العاملة تحت الماء وغير ذلك. وبشكل افتراضي، يمكن إلى حد ما أن يطلق على أي تركيبة آلية يتم تشغيلها مع وجود حيز ما للتحكم الذاتي، والذي عادة ما يتم باستخدام التحكم بالحاسوب، اسم "روبوت".

وكتيريف رسمي للروبوت، يمكن أن نعتمد التعريف الصادر عن المعهد الأمريكي للروبوت Robot Institute of America (RIA) : الروبوت هو مناور متعدد الوظائف قابل للبرمجة وإعادة البرمجة تم تصميمه من أجل تحريك المواد والقطع والأدوات وغيرها ذلك من خلال حركات مبرمجة تتغير تبعاً للأداء ولتنوع المهام. ووفقاً لهذا التعريف، فإن ولادة الروبوت كانت نتيجة الدمج بين وسعتين تقنيتين: الآلات المشغلة عن بعد والتي تكرر حركة مشغلها وآلات التفريز المتحكم بها رقمياً. حيث كان السبب وراء إيجاد مثل هذه الآلات المشغلة عن بعد هو تطوير وسيلة للتعامل مع المواد ذات الطبيعة الإشعاعية في الحرب العالمية الثانية. في حين كان السبب وراء إيجاد التحكم الرقمي باستخدام الحاسوب Computer Numerical Control (CNC) هو الحاجة إلى الدقة العالية التي يتطلبها تشغيل بعض العناصر كأجزاء الطائرات عالية الأداء. ولذلك فإن الروبوتات الأولى وبشكل أساسي تجمع بين الميكانيزمات الميكانيكية الموجودة في الآلات المشغلة عن بعد (والتي مهمتها تقليد حركة العامل المشغل) والتحكم الذاتي وقابلية البرمجة لآلات التشغيل المتحكم بها رقمياً.

إن أولى التطبيقات الناجحة للروبوتات المناورة هي تلك التي تعنى بشكل عام بنقل المواد، كالتطبيقات المستخدمة في القولبة بالحقن أو المستخدمة في عملية الختم، حيث كانت وظيفة الروبوت الأساسية هي نزع وفك المشغولات بعد انتهاء عملية التشغيل ونقل وترتيب المشغولات النهائية. ويمكن برمجة هذا الصنف من الروبوتات من أجل تنفيذ تسلسل محدد من الحركات، كالانتقال إلى الموقع A، حيث يقوم اللاقط بعملية المسك، ومن قم الانتقال إلى الموقع B، وغيرها من الحركات التي يمكن أن توكل إلى الروبوت. وهذه الحركات كانت تتم دون وجود أي قدرة على التحسس الخارجي. ولكن في التطبيقات المعقدة أكثر، كاللحام والصقل والتجليخ والتجميع، فإن الأمر يتطلب بالإضافة إلى قابلية تنفيذ الحركات المعقدة بعضاً من أشكال التحسس الخارجي، لأنظمة الرؤيا وأنظمة اللمسية والتحسس للقوى، وذلك بسبب ازدياد التفاعل ما بين الروبوت والبيئة المحيطة به.

ومن الجدير بالذكر أن ننوه إلى أن التطبيقات المهمة للروبوتات ليست محصورة فقط في نطاق الأعمال الصناعية حيث يمكن توظيف الروبوت عوضاً عن العنصر البشري، فهناك الكثير من التطبيقات الأخرى التي يهتم هذا العلم (الروبوتيكس) بها، كتلك التي يكون فيها استخدام العنصر البشري غير مجد وغير فعال أو غير مرغوب فيه أساساً، كاستكشاف الكواكب وأعماق البحار وصيانة وإصلاح الأقمار الاصطناعية وإلغاء تفعيل المتفجرات والعمل في البيئات ذات النشاط الإشعاعي.

ولعل المتمعن في زمننا الحالي وخصوصاً في العقدين الأخيرين منه، سيجد أن هناك موجة عالية من النشاط فيما يتعلق بالروبوتات وعلومها، وذلك على صعيد الأبحاث الجارية في هذا الصدد وعلى صعيد معرفة التصورات والتخيلات التي لا حصر لها والمتنوعة الاحتمالات عن ما ستؤول إليه الروبوتات المستقبلية. وهذه الفترة الزمنية كانت قد ترافقت مع نضوج تكنولوجيا فيما يخص الروبوتات، ابتداء من الروبوتات المعنية بالمسك والنفخ واللحام والدهان، وصولاً إلى روبوتات التجميع فائقة التطور والمتخصصة في تركيب رفاقات الدارات المتكاملة ومكوناتها على لوحات الدارات المطبوعة، والروبوتات المتنقلة والتي مهمتها التعامل مع المنتجات واستلامها وتسليمها. وهناك العديد من أنظمة الآلة الروبوتية أصبحت الآن تعد "معياراً" يمكن تطبيقه في العديد من المصانع، ويقاد لا يخفى على أحد مدى النمو الكبير لها هذا العلم وتطبيقاته التي أصبحت تشمل العمل ضمن البيئات ذات الطبيعة الخطيرة والعمليات الجراحية الدقيقة والميكانيزمات الكهروميكانيكة المايكرورية وحتى النانوية منها.

وبشكل متزامن مع هذا النمو الهائل للروبوتيكس في العقدين الأخيرين تم إيجاد وتطوير الكثير من المناهج الدراسية في معظم الجامعات العلمية البحثية ترتكز على مختلف جوانب هذا العلم. وهذه المناهج يتم تدريسها للطلاب في المستويات ما قبل التخرج وما بعده في العديد من التخصصات كعلوم الكمبيوتر والهندسة الميكانيكية والكهربائية والرياضيات، وتختلف نقاط البحث في هذه المناهج تبعاً للخلفية العلمية للطلاب حسب كل اختصاص. وأصبح هناك عدد كبير من المراجع والمؤلفات الممتازة المنبثقة من هذه المناهج والتي تغطي مواضيع مهمة في التحليل الكينماتيكي (الحركي) والديناميكي (التحريكي) وسبل التحكم والتحسس والتخطيط للروبوتات المختلفة.

وبسبب حالة النضوج التي تعم مختلف مناحي هذا العلم والتنوع الكبير في اهتمامات الطلاب والباحثين فيه، رأينا أن هناك ضرورة لوجود كتاب يقدم وبصورة موجزة وسهلة إلى حد ما أهم النقاط المتعلقة بالصياغة الرياضية للتحليل الكينماتيكي والديناميكي وقوانين التحكم للروبوتات المناورة. وهذا الكتاب هو محاولة منا لتوصيل هذه المعلومات والأفكار لمهندسي الميكانيك وخاصة مهندسي التصميم الميكانيكي وهم المعنيون بشكل خاص بكل الشروحات والمعطيات المتعلقة بالدراسة الكينماتيكية والдинاميكية لشتي أنواع الروبوتات ب مختلف بناها الهيكيلية المفتوحة أو المغلقة، ولمهندسي الكهرباء والذين لا يعلمون كثيراً عن الميكانيزمات الميكانيكية، وأيضاً لمهندسي الكمبيوتر والباحثين في علومه والذين قد لا يعلمون شيئاً عن نظرية التحكم، وأخيراً للرياضيين الذين في قلبهم شيء من الفضول حول الروبوتنيكس ومباحثه ولكن لم يكن لديهم الوقت الكافي لاكتساب المتطلبات الازمة للشرع بدراسة هذا العلم.

وعلى الرغم من أن الإلمام الكامل بمختلف المواضيع التي يتطرق لها علم الروبوتنيكس والحديث عنها ومعالجتها يحتاج إلى مجلدات عديدة، إلا أن هدفنا الأساسي من هذا الكتاب هو تقديم نظرة عامة شاملة لبعض الأفكار المهمة في هذا العلم والتي تعتبر منصة الانطلاق لمن يريد التبحر فيه والخوض في غماره، مع العلم أنه وفي الوقت الحالي تعتبر غالبية تطبيقات الروبوتنيكس تمحور حول الروبوتات الصناعية والأذرع الروبوتية المستخدمة في العديد من المجالات الصناعية، ولذلك فإنه وفي هذا الكتاب سنتطرق للحديث عن مثل هذه الروبوتات بشكل شبه مفصل في إطار مسعانا الذي نرغب ببلوغه عن طريق هذا الكتاب.

إن محتويات هذا الكتاب تم اختيارها بحيث تبقى كأساس يمكن الرجوع إليه بما يتاسب مع الآفاق والابتكارات التكنولوجية الجديدة والتي تمهد لثورة صناعية جديدة يتربع هذا العلم على عرشها والتي بتنا نراها بوضوح في الأعوام الأخيرة. ونأمل من القارئ لصفحات الكتاب أن يجد من الفائدة والحماس والمتعة ما وجده فيما يخص التوجهات والآفاق التكنولوجية لهذا العلم وما يمكن وراءه من نظريات ومفاهيم.

#### المؤلف:

المهندس رامي عبد الرزاق خليل

لبنان – صيدا  
2014\12\15

## الفصل الأول

### لمحة عامة

### Preview

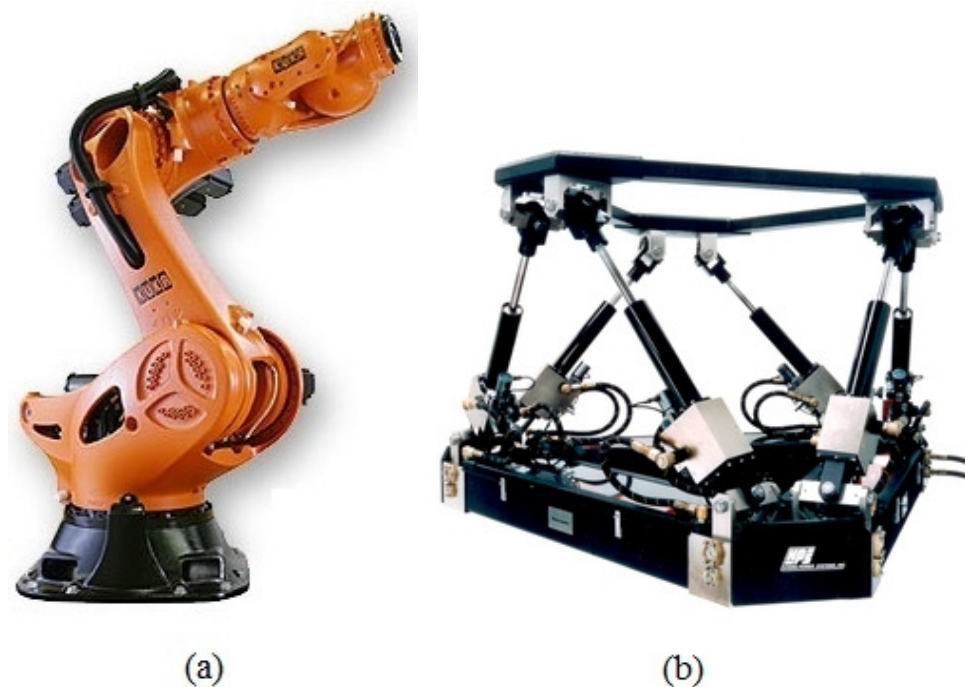
كمجال أكاديمي، يعتبر علم الروبوت (الروبوتิกس) Robotics حقلًا جديداً نسبياً من حقول العلم والذي يمتلك أهدافاً حاضرة ومستقبلية طموحة، وهو العلم المعنى بإيجاد الآلات التي تتصرف وتتفكّر مثل الإنسان. وهذا المسعى من أجل إيجاد آلات ذكية يوجّهنا بصورة طبيعية لأن ننتمن في أنفسنا أولاً. فعلى سبيل المثال، أن نتساءل لماذا أجسادنا مصممة بهذه الطريقة التي هي عليها، وكيف يتم توجيه أطرافنا، وكيف نتعلم ونكرر ونحسن حركاتنا المعقّدة. ولذلك فإن المسائل الأساسية التي يتم طرحها في علم الروبوتิกس في الحقيقة ماهي إلا تساؤلات عن أنفسنا في نهاية المطاف، وهذا ما يكسب علم الروبوتิกس رونقاً وجمالاً.

وعلى النقيض من الأهداف المستقبلية السامية التي وضعها الباحثون في علم الروبوتิกس، فإن ما يقدمه هذا الكتاب من الفوائد يعتبر جزءاً بسيطاً من المطلوب. وفي هذا الكتاب، سيكون تركيزنا على الدراسة الميكانيكية لميكانيزمات الروبوتات، والتخطيط والتحليل الرياضي لها، والتحكم بها. ومن الأمثلة الشائعة عن الروبوتات هي الأذرع الروبوتية. وبشكل عام، فإن ميكانيزم الروبوت يتم بناؤه عن طريق ربط أجسام صلبة تدعى الوصلات Links مع بعضها بوساطة المفاصل Joints، بحيث يمكن تحقيق حركات نسبية بين الوصلات المتجاورة. وتفعيل أو تشغيل هذه المفاصل Actuation، والذي يتم عادة بوساطة محركات كهربائية، سيجعل الروبوت قادرًا على الحركة وقدراً على تطبيق القوى وفقاً للطريقة المطلوبة.

يمكن لوصلات ميكانيزم الروبوت أن ترتّب بشكل متسلسل، كذراع الروبوت ذي السلسة التسلسلية Serial Chain المبين في الشكل (1.1(a)). ويمكن لميكانيزمات الروبوتات أن تمتلك حلقات مغلقة Closed Loops، وكمثال على ذلك منصة ستيفوارت - جوف – Stewart الموضحة في الشكل (1.1(b)). في حالة الروبوتات ذات السلسلة التسلسلية، تكون جميع المفاصل فيها مفعّلة (مزودة بمحركات)، بينما في حالة الروبوتات التي تشكّل ميكانيزماتها حلقات مغلقة، فإن مجموعة جزئية من مجموع المفاصل الكلي يكون مفعلاً.

لنقم بإلقاء الضوء أكثر على التكنولوجيا الحالية المستخدمة في بناء ميكانيزمات الروبوتات. إن الوصلات يتم تحريكها بوساطة المفعّلات Actuator (سنطلاق على هذه المفعّلات اسم المحركات كتعبير مجازي)، والتي عادة ما تتم قيادتها كهربائياً (على سبيل المثال، محركات السيرفو Servo التي تعمل بالتيار المستمر DC – Direct Current – Alternative أو بالتيار المتناوب Current – AC، والمحركات الخطوية Stepper Motors)، أو عن طريق أسطوانات نيوماتيكية Pneumatic أو هيدروليكيّة Hydraulic، أو عن طريق محركات الاحتراق الداخلي Internal Combustion Engines. وفي حال استخدام المحركات الكهربائية الدوارة في عملية القيادة، فإنه ينبغي أن تكون خفيفة الوزن، وأن تومن سرعات دوران منخفضة نسبياً (مثلاً،

يجب أن يكون المعدل هو بضعة مئات من RPM) وأن تكون قادرة على توليد قوى وعزم دوران كبيرة. وبما معظم المحركات المتوفرة حالياً تعمل بمعدل عدد دورات في الدقيقة RPM قد يصل إلى عدة آلاف، فإنه يتم استخدام أجهزة تخفيض للسرعة تكون فيها الانزلاقات Slippage والخلوصات الإجمالية Backlash منخفضة قدر المستطاع. وعادة ما تكون تكون القشط (الأحزمة) Belts و تركيبة الجنزيير والنجمة Sprockets والمسننات العدلة (العادية) Spur Gears غير مناسبة نوّعاً ما لهذه الغاية. فبدلاً من ذلك، فإنه يمكن استخدام مسننات تصمم بشكل خاص بحيث يكون إجمالي الخلوصات الناتجة عن تجميعها منخفضاً، كما ويمكن استخدام المحركات التوافقية Harmonic Drive وكذلك لوالب نقل القدرة Ball Screw، وكل ذلك بهدف تقليل السرعة بشكل متوازٍ مع زيادة مقدار عزم الدوران. ويمكن أن تستخدم المكابح Brakes أيضاً في ميكانيزمات الروبوتات بهدف الإيقاف السريع للروبوت أو من أجل إيقائه في وضعية ثابتة محددة.



الشكل 1.1: (a) روبوت صناعي مناور ذو سلسلة مفتوحة Open Chain. (b) منصة ستيفوارت – جوف Closed Chain – Stewart – Gough.

يتم تزويد الروبوتات بشكل عام بحساسات Sensors من أجل قياس الموقع Position والسرعة Velocity عند المفاصل. ومن أجل نوعي المفاصل الشائعي الاستخدام الدوراني Revolute والتمدي Prismatic، تستخدم مقاييس لقياس عدد الدورات (الخطوة) Encoders لقياس الانتقالات أو الانزياحات، في حين تستخدم مقاييس سرعة الدوران (التاكومتر) Tachometer لقياس السرعة لهذين المفصلين. ويمكن قياس القوى المؤثرة على الوصلات أو على النهاية العاملة للروبوت End Effector باستخدام العديد من حساسات القوى والعزوم. كما يمكن استخدام حساسات إضافية وذلك تبعاً لطبيعة المهمة المطلوبة من الروبوت، كالكاميرات وأجهزة

التنبئ الصوتية Sonar والليزرية Laser بهدف الكشف عن الأجسام وتحديد مواقعها واتجاهاتها Orientation.

وسيكون موضوع هذا الكتاب حول الدراسة الميكانيكية لمثل هذه الروبوتات، والتخطيط والتحليل الرياضي لها، وكذلك دراسة سبل التحكم بها. وسنقوم فيما يلي بإلقاء نظرة عامة على فصول هذا الكتاب.

## الفصل الثاني

### فضاء الهيئة

## Configuration Space

من حيث المبدأ الأساسي، يمكن القول بأن الروبوت يتتألف من أجسام صلبة متصلة مع بعضها البعض عن طريق المفاصل، ويكون كل أو بعض هذه المفاصل مقادًّا بوساطة محركات. وفي الواقع، يمكن أن لا تكون وصلات الروبوت صلبة بشكل تام، والمفاصل يمكن أن تكون متأثرة ببعض العوامل كالمرونة Elasticity، ومجموع الخلوصات الإجمالي Backlash، والاحتكاك Friction، والتباطؤ Hysteresis (أي التأخير في الاستجابة). وفي هذا الكتاب، سنهمل هذه التأثيرات في كثير من الأقسام، وسنفترض أن الوصلات صلبة بشكل تام. إن من أكثر المفاصل الموجودة شيوعًا في عالم الروبوتات هي المفاصل الدورانية Revolute Joints (والتي تسمح بالدوران حول محور المفصل)، والمفاصل التمددية Prismatic Joints (والتي تسمح بالانسحاب الخطى Linear Translation على طول محور المفصل). وتمتلك المفاصل الدورانية والمفاصل التمددية درجة حرية واحدة (دورانية أو انسحابية). وهناك مفاصل أخرى شائعة الاستخدام أيضًا كالمفاصل الكروية Spherical Joints (وتسمى أيضًا بمفصل الكرة والموضع Ball-Socket Joint)، وتمتاز هذه المفاصل درجات أعلى من الحرية.

في الروبوتات ذات السلاسل المفتوحة (التسلسلية) كالروبوت المناور المبين في الشكل (1.1(a)), تكون جميع المفاصل مقادة (مُفعَّلة) بشكل مستقل بوساطة محركات. وهذه هي الفكرة الأساسية وراء مفهوم درجة الحرية Degrees Of Freedom لروبوت: وهي عبارة عن مجموع درجات الحرية للمفاصل والمُفعَّلة بشكل مستقل. ففي الروبوتات ذات السلاسل التسلسلية، فإنه يمكن القول وببساطة أن درجة الحرية يمكن الحصول عليها عن طريق جمع كل درجات الحرية الموافقة لكل مفصل.

أما في الروبوتات ذات السلاسل المغلقة كمنصة ستيفارت – جوف Stewart – Gough المبينة في الشكل (1.1(b)), فإن الحالة تكون معقدة نوعًا ما لأمرتين: الأول، هو أن المفاصل ذات العدد المضاعف من درجات الحرية عادة ما تكون هي المستخدمة، كالمفاصل الكروية. الثاني: هو أنه في أغلب الأحيان يكون من الصعب أو المستحيل تفعيل (تشغيل) جميع المفاصل بشكل مستقل (وفي هذه الحالة، يمكن تثبيت مجموعة محددة من المفاصل من أجل معرفة قيم Values المفاصل المتبقية). وعندما تكون الروبوتات ذات السلاسل المغلقة على درجة كبيرة من التعقيد

حيث تحتوي الكثير من الحلقات المغلقة وأنواعاً مختلفة من المفاصل، فإن تحديد درجة الحرية لهذه الروبوتات قد لا يكون أمراً سهلاً أبداً.

وهناك تعريف آخر مكافئ لمفهوم درجة الحرية لروبوت ينطلق من مفهوم ما يسمى بفضاء الهيئة Configuration Space: حيث هيئه الروبوت هي عبارة عن التوصيف الكامل للموقع والاتجاه لكل وصلة من وصلات الروبوت، أما فضاء الهيئة فهو عبارة عن مجموعة الهيئات الممكنة للروبوت. وبالتالي يمكن تعريف درجة الحرية على أنها العدد الأصغرى للبارامترات المستقلة التي تلزم من أجل وصف موقع واتجاه كل وصلة من وصلات الروبوت. واعتماداً على هذا التعريف، فإننا نحصل على صيغة Grubler والتي تحدد العلاقة بين عدد الوصلات وعدد المفاصل (متضمنة عدد درجات الحرية لكل مفصل) الموجودة في الروبوت مع درجة الحرية الكلى لهذا الروبوت.

وكل من دراسة تحطيط الحركة للروبوت Motion Planning والتحكم به Robot Control يبدأ باختيار مجموعة الإحداثيات التي تشخص فضاء الهيئة للروبوت. وعادة ما تكون هذه الإحداثيات المختارة عبارة عن متغيرات المفاصل Joint Variables، وفضاء الهيئة وبالتالي يمكن تشخيصه بشكل مباشر أو غير مباشر بدلالة متغيرات المفاصل هذه. ومن أجل مسك Grasp جسم ما ونقله أو التعامل معه، فإنه يتم تجهيز الروبوت بصورة عامة بنهاية عاملة End Effector، وعلى سبيل المثال يمكن أن تكون يداً ميكانيكية أو نوعاً من أنواع اللواقط Grippers. ومن هنا يمكن تعريف ما يسمى فضاء المهمة Task Space أو فضاء (مجال) العمل Workspace، والذي يمثل فضاء الهيئة للنهاية العاملة للروبوت. وفي هذا الفصل سوف نناقش الطرق المختلفة التي يمكن من خلالها توصيف الهيئة وفضاءات المهمة للروبوت.

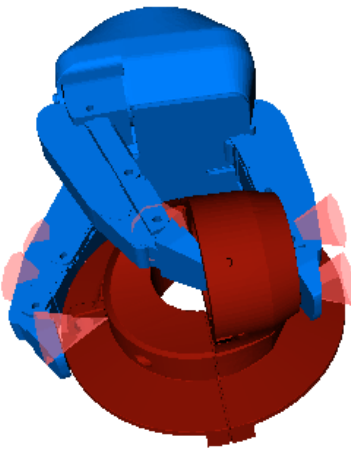
### الفصل الثالث

## التحليل статики للمسك

### Grasp Statics

إن إحدى الطرق للتعامل مع مسألة المسك Grasping لجسم ما بوساطة يد الروبوت المتعددة الأصابع المبينة في الشكل (1.2)، هي تحديد عدد ومكان نقاط تماس أطراف الأصابع مع الجسم بحيث يصبح الجسم المراد مسكه ثابتاً وغير قادر على الحركة بشكل تام Immobilization. وفي هذا الفصل سوف ندرس المسألة المتعلقة بكيفية شل حركة جسم صلب باستخدام عدد محدد من نقاط التلامس. ويمكن لمسألة تثبيت القطعة المشغلة Workpiece أن تعالج بنفس الطريقة باستخدام عدد محدد من نقاط التلامس لشل حركتها أثناء التشغيل. ومن البديهي أن نقول بأن الاحتكاك الحاصل عند مناطق التماس يعد أمراً مهماً في حل هذه المسألة. وفي هذا الفصل، سوف ندرس مناطق التماس بوجود تأثير الاحتكاك أو بدون وجوده. وعندما يكون الجسم ثابتاً وغير قادر على الحركة تحت تأثير عدد ثابت من نقاط التماس، فإنه يمكن القول أن الجسم واقع في حالة إغلاق Form Closure. وحتى لو لم يكن الجسم واقعاً في حالة إغلاق، فإذا كانت القوى المطبقة على نقاط التماس تلغى تأثير القوى والعزوم المطبقة على الجسم (كأن يتم حمل جسم ما بصورة محكمة بحيث يتم التغلب على قوى الجاذبية)، فإنه يمكن القول أن الجسم واقع

تحت تأثير قوى إغلاق Force Closure. وفي هذا الفصل سنناقش هاتين الحالتين من أجل عمليات المسك المستوية Planner Grasps وعمليات المسك الفضائية<sup>1</sup> Spatial Grasps.



الشكل 1.2: يد روبوت متعددة الأصابع تقوم بمسك جسم ما.

## الفصل الرابع

### حركات الجسم الصلب

### Rigid Body Motions

في هذا الفصل سنناقش الموضوع المتعلق بكيفية التوصيف الرياضي لحركة الجسم الصلب والذي يتحرك في فضاء فيزياي ثلاثي الأبعاد. وإحدى السبل المتبعة في هذا الصدد هي أن نقوم بربط جملة محاور مرجعية بالجسم الصلب، ومن ثم نقوم بإيجاد الطريقة التي من خلالها يتم التعبير كمياً عن موقع واتجاه جملة المحاور هذه أثناء حركتها (أي أثناء حركة الجسم). وكخطوة أولى، سنقوم بدراسة بعض المفاهيم المتعلقة بتحليل سرعات الأجسام وتسار عاتها بالنسبة لجملة المحاور المتحركة، ومن ثم سنقوم بدراسة التمثيل المصفوفي Matrix Representation ثلاثي الأبعاد  $3 \times 3$  الذي يصف اتجاهات جملة المحاور، ومثل هذه المصفوفة يطلق عليها اسم مصفوفة الدوران Rotation Matrix. وهنا، ستيم الحديث عن تمثيلين ثلاثي البارامترات يستخدمان مع مفهوم مصفوفة الدوران، هما زوايا زوايا أويلر Euler و زوايا الانحراف - الانحدار - الانعراب Roll – Pitch – Yaw.

وبعد ذلك سوف نقوم بمناقشة التمثيل الأسني Exponential Representation وهذا التمثيل (والذي يمكن تعريفه على أنه تمثيل زاوية المحور Angle-Axis للدورانات) يمكن استنتاجه بطريقة ملتوية نوعاً ما كحل لمعادلة شعاعية تقاطعية خطية محددة. إن الاستنتاج بهذه الطريقة سيسمح لنا بالوصول مباشرة إلى التوصيف الأسني لحركات الأجسام الصلبة بشكل عام،

<sup>1</sup> في هذا الكتاب، كلمة "فضاء" ستطلق على كل فراغ بعدي مكون من ثلاثة أبعاد أو أكثر. فعلى سبيل المثال، سيمعنا كثيراً مفهوم السرعة الفضائية Spatial Velocity وهو عبارة مفهوم جديد للسرعة يختلف عن المفهوم التقليدي، حيث سيتم تمثيل السرعة الخطية Linear Velocity والسرعة الزاوية Angular Velocity مع بعضهما كشعاع واحد في فضاء سداسي الأبعاد من أجل تسهيل الكثير من العمليات الحسابية كما سنرى لاحقاً.

والذي سيكون بمثابة حجر الأساس عند دراسة التحليل الكينماتيكي Kinematic Analysis للروبوتات.

إن التوصيف الأسني لحركات الجسم الصلب يمكن إيجاده أيضاً من خلال نظرية الحركة اللولبية التقليدية Classical Screw Theory. وبالإضافة إلى القواعد الأساسية المستخدمة في التمثيل المصفوفي ومعالجة حركات الجسم الصلب، فإننا سنتطرق أيضاً إلى دراسة البنية الخطية الجبرية لنظرية الحركة اللولبية بالتفصيل، بما في ذلك التوصيف الموحد للسرعات الخطية Linear Velocities والسرعات الزاوية Angular Velocities على شكل سرعات فضائية Spatial Velocities سداسية الأبعاد. وقياساً على ذلك، فإنه من الطبيعي أيضاً أن ندمج القوى الثلاثية الأبعاد مع العزوم الناتجة منها على شكل قوى فضائية Spatial Forces سداسية الأبعاد.

## الفصل الخامس

### التحليل الكينماتيكي الأمامي لروبوتات السلسلة المفتوحة

### Forward Kinematics of Open Chain Robots

في الروبوتات ذات السلسلة المفتوحة، يمكن إيجاد الموقع والاتجاه للنهاية العاملة بشكل محدد وفريد Uniquely انطلاقاً من معرفة قيم متغيرات المفاصل. وبتعبير أدق، فإن هذا الأمر يمثل مسألة التحليل الكينماتيكي الأمامي Forward Kinematics للروبوت والتي يمكن تلخيصها كالتالي: إذا كان معلوماً لدينا قيم مدخلات المفاصل، فالمطلوب هو إيجاد موقع واتجاه جملة المحاور المرتبطة بالنهاية العاملة للروبوت. وفي هذا الفصل، سوف ندرس طريقتين لـ التوصيف التحليلي الكينماتيكي لروبوتات السلسلة المفتوحة. الطريقة الأولى عن طريق استخدام تمثيل دينافيت – هارتنبرغ (D-H) Denavit – Hartenberg، والطريقة الثانية عن طريق استخدام صيغة جداء الأسيات (PoE). في طريقة تمثيل (D-H) يتم استخدام عدد أقل من البارامتراء، ولكنها تتطلب ربط جملة محاور مرجعية مع كل وصلة وفق قواعد معينة. أما طريقة التمثيل باستخدام صيغة جداء الأسيات PoE فإنها تتطلب بارامترات أكثر، وفي المقابل، ليس هناك أي حاجة لربط جملة محاور مرجعية مع كل وصلة. وبدلاً من ذلك، فإنها تعتمد على المعلومات المتعلقة بموقع محور كل مفصل. وهذه السهولة في المعالجة تجعل طريقة التمثيل الكينماتيكي الأمامي باستخدام صيغة جداء الأسيات هي الأفضل من أجل دراستنا وتحليلنا لبقية فصول الكتاب.

## الفصل السادس

### التحليل الكينماتيكي للسرعة والتحليل стاتيكي للروبوت

### Velocity Kinematics and Statics

إن مفهوم التحليل الكينماتيكي للسرعة Velocity Kinematics يشير إلى العلاقة بين معدلات تغير قيم المفاصل Joints Rates والسرعة الخطية والزاوية لجملة محاور النهاية العاملة

للروبوت. إن النقطة المركزية عند التحليل الكينماتيكي للسرعة هي ما تسمى بمصفوفة اليعقوبي Jacobian Matrix للتمثيل الكينماتيكي الأمامي. فبجاء شعاع معدلات التغير للمفاصل بهذه المصفوفة، فإننا نحصل على السرعة الزاوية والخطية لجملة محاور النهاية العاملة للروبوت عند أي هيئة معطاة له. ومن المواقع المهمة التي سنتم مناقشتها في هذا الفصل هو موضوع القصور (الشذوذ) الحركي للروبوت Kinematic Singularities، وهو يشمل الهيئات التي تخسر فيها النهاية العاملة للروبوت القدرة على الحركة أو الدوران في اتجاه واحد أو أكثر (بالإمكان تخيل ذلك من خلال طرح مثل الميكانيزم المستوي ثنائي الوصلات)، بحيث تكون الوصلتين متدينين على طواهما)، ووفقاً لهذه الهيئات، فإن مصفوفة اليعقوبي تفشل في الوصول إلى رتبتها الأعظمية Maximal Rank. وأحد المفاهيم المتعلقة بهذا الموضوع هو مفهوم إهليلج (قطع ناقص) قابلية المناورة Manipulability Ellipsoid، حيث إن شكل هذا الإهليلج يحدد التوضع الأفضل للروبوت بحيث يستطيع التحرك في كل الاتجاهات. وإهليلج قابلية المناورة هذا يمكن استنتاجه من خلال مصفوفة اليعقوبي.

وأخيراً، تعتبر مصفوفة اليعقوبي نقطة مركزية أيضاً في التحليل стاتيكي للقوى. ففي مسألة التوازن статيكي Static Equilibrium، تستخدم مصفوفة اليعقوبي من أجل تحديد القوى وعزوم الدوران اللازم تطبيقها كمدخلات على المفاصل لجعل النهاية العاملة للروبوت تقوم بتطبيق قوة أو عزم معين في اتجاه محدد. وفي هذا الفصل سندرس كيفية الحصول على مصفوفة اليعقوبي بشكل عام لجميع الروبوتات ذات السلسلة التسلسليّة، والتي يمكن استخدامها في موقع خاصة خلال دراستنا في الفصول اللاحقة.

## الفصل السابع

### التحليل الكينماتيكي الخلفي لروبوتات السلسلة المفتوحة

### Inverse Kinematics of Open Chain Robots

في مسألة التحليل الكينماتيكي الخلفي Inverse Kinematics، يكون الموضع والاتجاه للنهاية العاملة للروبوت معلومين لدينا كمعطيات، ويكون الهدف هو تحديد وإيجاد قيم مجموعة متغيرات المفاصل والتي تحقق الهيئة المطلوبة للنهاية العاملة. وفي روبوتات السلسلة المفتوحة، يكون التحليل الكينماتيكي الخلفي أكثر تعقيداً من التحليل الكينماتيكي الأمامي، فمن أجل قيم معطاة لمجموعة متغيرات المفاصل، يكون هناك عادة حل وحيد وفريد يحدد موقع النهاية العاملة للروبوت واتجاهها، ولكن في حال كان معلوماً لدينا موقع واتجاه النهاية العاملة، فإنه من الممكن أن يكون هناك حلو متعددة لقيم متغيرات المفاصل، وقد لا يكون هناك أية حلول إطلاقاً.

وفي هذا الفصل سوف نقوم بدراسة نوع خاص من روبوتات السلسلة المفتوحة والتي تمتلك ست درجات من الحرية بحيث تسمح البنية الهيكلية لهذا النوع بالوصول إلى صيغة تقاربية (مغلقة) Analytic Solution Closed Form تمكننا بدورها من الوصول إلى الحل بصورة تحليلية. وبعد ذلك سنكون قادرين على استنتاج الخوارزميات Alghorithims الرياضية التكرارية من أجل إيجاد الحلول لمسألة التحليل الكينماتيكي الخلفي لروبوتات السلسلة المفتوحة ذات الست درجات من الحرية بشكل عام. وسوف نقوم أيضاً بمناقشة التحليل الكينماتيكي الخلفي من أجل

روبوتات السلاسل المفتوحة الفائضة Redundant (والتي تمتلك أكثر من سبع درجات من الحرية) من خلال دراسة طريقة تتبع المسار Trajectory المطلوب للنهاية العاملة، حيث سنتعرض منهجاً للحل من أجل الحصول على مدخلات معدلات التغير للمفاصل وذلك انطلاقاً من إيجاد معكوس Inverse مصفوفة اليعقوبي الناتجة من التحليل الكينماتيكي الأمامي بشكل عام.

## الفصل الثامن

### التحليل الكينماتيكي لروبوتات السلسلة المغلقة

### Kinematics of Closed Chain Robots

في حين أن روبوتات السلاسل المفتوحة تمتلك حلًّا وحيداً وفردياً لمسألة التحليل الكينماتيكي الأمامي، فإننا سنجد أن هناك حلوًّا متعددًا لمسألة التحليل الكينماتيكي الأمامي فيما يخص روبوتات السلاسل المغلقة، وسنجد أيضاً أنه يمكن أن يكون هناك حلوًّا متعددًا عند معالجة مسألة التحليل الكينماتيكي الخلفي لهذه الروبوتات. وبسبب أن الروبوتات ذات السلاسل المغلقة تمتلك نوعي المفاصل المُفعَّل Actuated Joints والغير مُفعَّل Passive Joints، فإن تحليل حالات القصور (الشذوذ) الحركي لهذه الروبوتات سيكشف لنا عن أنواع من القصور الحركي غير معهودة عند روبوتات السلاسل المفتوحة. وفي هذا الفصل، سوف ندرس المبادئ الأساسية والأدوات المستخدمة عند إجراء التحليل الكينماتيكي لروبوتات السلاسل المغلقة. وسوف نبدأ بدراسة مفصلة لبعض الميكانيزمات مثل الميكانيزم الخماسي الوصلات المستوى Planner Five Bars Linkage ومنصة ستيرورات – جوف Gough – Stewart. والنتائج التي سوف نحصل عليها من دراسة هذين الميكانيزمين سنقوم بتعديلهما من أجل الحصول على طريقة ممنهجة تمكناً من إجراء التحليل الكينماتيكي لروبوتات السلاسل المغلقة بشكل أوسع وأعم.

## الفصل التاسع

### التحليل الديناميكي لروبوتات السلسلة المفتوحة

### Dynamics of Open Chain Robots

في هذا الفصل، سنقوم باستنتاج المعادلات الديناميكية لروبوتات السلاسل المفتوحة. وكخطوة أولى، فإننا سنقوم باستنتاج المعادلات الديناميكية للجسم الصلب بدلاله كل من السرعات والتسارعات والقوى الفضائية. وبعد ذلك فإن معادلات التمثيل الديناميكي لروبوت ذي سلسلة مفتوحة يمكن استنتاجها من خلال تطبيق المعادلات الديناميكية للجسم الصلب على كل وصلة من وصلات الروبوت. وبشكل مماثل لمفهومي التحليل الكينماتيكي الأمامي والخلفي، فإن مسألة التحليل الديناميكي الأمامي تعنى بإيجاد مسار المفاصل Joint Trajectory الناتج عن البيانات المدخلة لعزوم دوران المفاصل. وفي المقابل، فإن مسألة التحليل الديناميكي الخلفي تعنى بإيجاد قيم مدخلات عزوم الدوران للمفاصل والتي تحقق مسار المفاصل المطلوب. والنتائج الرئيسية التي سنتوصل إليها في هذا الفصل هي عبارة عن مجموعة من الخوارزميات التكرارية

اللزامية في مسألتي التحليل الديناميكي الأمامي والخلفي. وعلى خلاف الطرائق التقليدية والتي تعتمد على التحليل المنفصل لكل من المركبات الخطية والزاوية للمعادلات الديناميكية، فإن هذه الخوارزميات تمت صياغتها بشكل تام بدلالة مقادير كميات فضائية سداسية الأبعاد، و تستند إلى التمثيل الكينماتيكي لروبوتات السلالس المفتوحة باستخدام صيغة جداء الأسيات.

الفصل العاشر

التحكم بالروبوت

## Robot Control

يمكن لذراع الروبوت أن يبدي عدداً من السلوكيات Behaviors المختلفة اعتماداً على طبيعة المهمة الموكلة إليه وعلى البيئة المحيطة به. فقد يلعب الروبوت دوراً كمصدر للحركات المبرمجة لبعض المهام كنقل جسم ما من مكان لأخر، أو أن يقوم بعمليات تتبع للمسار في بعض التطبيقات الصناعية. ويمكن للروبوت أيضاً أن يلعب دوراً كمصدر للقوى، على سبيل المثال في عمليات جلخ Grinding و صقل Polishing القطعة المشغلة. وفي بعض المهام كالكتابة على لوح الطبشور مثلاً، فإنه يجب التحكم بالقوى في بعض الاتجاهات المحددة (القوة تضغط الطبشور على اللوح)، وبالحركات في بعض الاتجاهات الأخرى (الحركة في مستوى اللوح). وفي بعض التطبيقات الخاصة، على سبيل المثال تلك التطبيقات التي تتطلب قدرات لميسية للروبوت، قد يكون المطلوب أن يقوم الروبوت بدور النابض Spring أو المحمد Damper أو الكتلة Mass بحيث يتم التحكم بالموقع والسرعة والتسارع كاستجابة لقوى المطبة عليه.

وفي جميع هذه الحالات، تكون مهمة المتحكم بالروبوت Robot Controller هي تحويل مواصفات المهمة Task Specifications إلى قوى وعزم دوران يجب أن تطبق من قبل المحركات. وتعرف استراتيجيات التحكم المتبعة من أجل تحقيق هذه السلوكيات المذكورة أعلاه بالتحكم بالحركة (أو الموقع) Motion Control، والتحكم بالقوة Force Control، والتحكم بالجهين بالقوة والحركة Hybird Motion-Force Control، والتحكم بالمقاومة Impedance Control. ومعرفة أي من هذه السلوكيات أو هذه الاستراتيجيات هو الأنسب تتعلق بنوع المهمة المطلوبة من الروبوت وبطبيعة البيئة التي يتواجد فيها. فعلى سبيل المثال، يكون التحكم بالقوة مفيداً ويحقق الغاية المرجوة منه في حال كانت النهاية العاملة للروبوت على تماس مع شيء ما، ولكنه يصبح غير فعالاً عندما تتحرك النهاية العاملة بحرية في الفضاء. وتتجدر الإشارة إلى أنه في عمليات التحكم بالروبوتات غالباً ما تصادفنا مجموعة من القيود التي تفرض علينا من الناحية الميكانيكية، بغض النظر عن التأثيرات البيئية، فإنه لا يمكن أن نتحكم بالحركة والقوة بشكل مستقل عن الآخر إذا كانا في نفس الاتجاه. فإذا كان الروبوت يطبق حركة ما، فإن البيئة المحيطة به تحدد مقدار القوة الواجب تطبيقها، والعكس بالعكس.

إن معظم الروبوتات تتم قيادتها عن طريق جملة من المحركات والتي تقوم بتطبيق قوى وعزم دوران على كل مفصل. ومنه، ومن أجل التحكم الدقيق بروبوت ما فإن ذلك يقتضي أن نفهم العلاقة بين قوى وعزم الدوران عند المفاصل وحركة الروبوت. وهنا يمكن تأثير التمثيل

الдинاميكي للروبوت. فحتى في حالات الروبوتات البسيطة، عادة ما تكون المعادلات الديناميكية لها على درجة عالية من التعقيد. وإضافة إلى ذلك، فإن الاستنتاج الدقيق للتمثيل الديناميكي للروبوت يتطلب منا المعرفة الدقيقة بكل من الكتلة والعطلة Inertia لكل وصلة، والتي قد لا تكون متاحة لنا بسهولة. وحتى لو أتيح لنا ذلك، تبقى المعادلات الديناميكية لا تستطيع تمثيل بعض الظواهر الفيزيائية بشكل دقيق كالاحتكاك وإنجمالي الخلوصات والمرونة والتباطؤ في الاستجابة، الأمر الذي يؤدي إلى نشوء بعض الأخطاء في التمثيل الديناميكي للروبوت.

وفي معظم التطبيقات العملية، فإن المنهجية المتبعة من أجل تعويض هذه الأخطاء تتم باستخدام التحكم عن طريق التغذية الراجعة (أو الخلفية) Feedback Control. ومن إحدى الطرائق الفعالة من أجل التحكم بالروبوتات الصناعية هي أن نقوم بإهمال التمثيل الديناميكي للروبوت، وبدلاً من ذلك نقوم بنمذجة ديناميكية كل محرك على شكل جملة معادلات خطية من الدرجة الثانية. ولذلك فإنه يجب علينا أولاً أن ندرس المفاهيم الأساسية للتحكم الخطي Linear Control، ومن ثم سندرس كيفية استخدام هذه المفاهيم بشكل فعال من أجل التحكم بالروبوتات المعقدة التي تمتلك عدد كبير من درجات الحرية.

وفي هذا الفصل، سندرس أيضاً بعض التقنيات الأساسية للتحكم بالروبوتات، كذلك التي تفترض أن النموذج الديناميكي للروبوت متوفّر لدينا، وطريقة التحكم هذه تسمى بالتحكم عن طريق التغذية الأمامية Feedforward Control، والتي تستخدم النموذج الديناميكي للروبوت وللبيئة المحيطة به من أجل تحديد وإيجاد قيم مدخلات التحكم بالمحركات بغية تنفيذ المهمة المطلوبة. وبسبب وجود بعض الأخطاء في النمذجة وغير ذلك من الأخطاء، فإن التحكم عن طريق التغذية الأمامية نادراً ما يستخدم لوحده، ولكنه غالباً ما يستخدم بشكل مقتنن مع التحكم عن طريق التغذية الراجعة. وبعد دراسة استراتيجيات التحكم سواء كان عن طريق التغذية الأمامية أو عن طريق التغذية الخلفية، فإننا سنتطرق بعد ذلك لدراسة سبل التحكم بالقوة، والتحكم الهجين بالقوة والحركة، والتحكم بالمقاومة.

## الفصل الثاني

### فضاء الهيئة

# Configuration Space

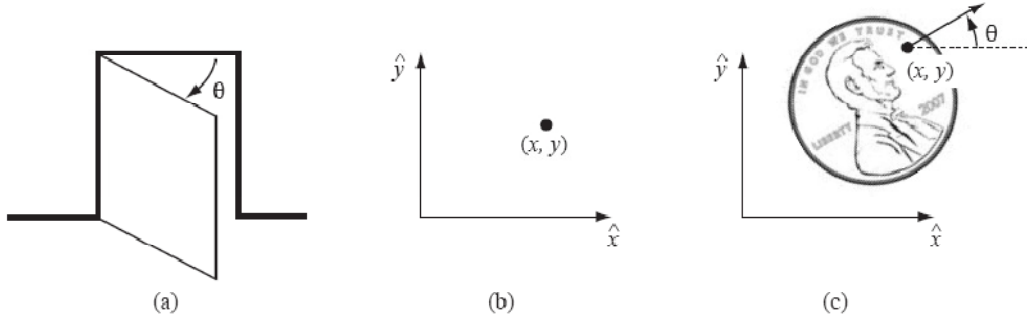
الروبوت ميكانيكيًّا وبشكل عام مكون من عدد من الأجسام أو الوصلات Links التي ترتبط ببعضها بواسطة أنواع مختلفة من المفاصل Joints. إن الروبوت يقوم بالحركة عندما تقاد مجموعة محددة من المفاصل عن طريق عناصر محركة Actuators (المحركات الكهربائية) مثلًا) والتي تقوم بإيصال القوى والعزوم لهذه المفاصل. وعادة تكون النهاية العاملة End Effector والتي تكون على هيئة لاقط أو يد من أجل مسك ونقل الأجسام متصلة مع وصلة ما من الروبوت. وجميع الروبوتات في هذا الكتاب يمكن اعتبارها تمتلك وصلات بحيث يمكن نمذجتها على أنها أجسام صلبة Rigid Bodies.

لنفترض أنه لدينا روبوتًا ما، فربما يكون السؤال الرئيسي الذي يمكن لأحدهم أن يسأله "أين هو الروبوت؟" والجواب على هذا السؤال هو "هيئة الروبوت"<sup>2</sup>، والتي تعبر عن سمات التموضع لجميع نقاط الروبوت. وبسبب كون وصلات الروبوت صلبة ومعروفة الشكل، فإنه تلزمنا فقط أعداد قليلة من القيم لتمثيل هيئة الروبوت<sup>3</sup>. على سبيل المثال، من أجل تمثيل هيئة باب ما، فإننا نحتاج فقط لقيمة واحدة ، وهي الزاوية  $\theta$  والتي يدورها الباب حول مفاصله. إن هيئة نقطة موجودة في مستوى يمكن أن توصف عن طريق إحداثيين  $(x,y)$ . ومن أجل تمثيل هيئة قطعة نقدية موجودة على طاولة مسطحة، فنحن نحتاج إلى ثلاثة إحداثيات: إحداثيين من أجل تحديد المكان  $(x,y)$  على الطاولة لنقطة من هذه القطعة النقدية ، وواحدة من أجل تحديد اتجاه هذه القطعة ،  $\theta$ .  
(انظر الشكل 2.1).

العدد الأصغرى للإحداثيات ذات القيم الحقيقة والتي تلزم لتمثيل الهيئة تسمى بدرجة الحرية Degree of Freedom (dof) للروبوت. وبذلك فإن القطعة النقدية والموجودة على الطاولة تمتلك ثلاثة درجات من الحرية. حتى ولو كانت لقطعة النقدية القابلية على أن تكون على أحد وجهيها (وجه الرسمة ووجه الكتابة)، فإن فضاء الهيئة لها لا يزال يمتلك ثلاثة درجات من الحرية ، وهذا بسبب أن المتغير الرابع والذي يمثل الوجه الذي يمكن للقطعة النقدية أن تتواجد فيه يمكنه فقط أن يأخذ قيمًا من المجموعة الغير عددية {وجه الرسم، وجه الكتابة} ، وبالتالي فهو لا يأخذ قيمًا من مجال مستمر من القيم الحقيقة كما هو مطلوب من خلال التعريف.

**تعريف 2.1.** هيئة الروبوت هي عبارة عن الوصف الكامل للتموضع لكل نقطة من نقاط الروبوت. والعدد الأصغرى  $n$  للإحداثيات ذات القيمة الحقيقة التي تلزم لتمثيل الهيئة هو درجة الحرية dof للروبوت. والفضاء البعدى من المرتبة  $n$  والذي يضم كل الهيئات الممكنة للروبوت يسمى فضاء الهيئة Configuration Space.

<sup>2</sup> صيغة أخرى من السؤال "ما هي وضعية وصلات الروبوت؟"  
<sup>3</sup> بالمقارنة مع محاولة تمثيل هيئة وسادة ما.



الشكل (2.1): (a) هيئه الباب يمكن التعبير عنها من خلال الزاوية  $\theta$ ، (b) هيئه نقطة في سطح مستوي يمكن التعبير عنها بالإحداثيات  $(x,y)$ . (c) هيئه القطعة النقدية على الطاولة يمكن التعبير عنها بالإحداثيات  $(x,y,\theta)$ .

في هذا الفصل سوف ندرس فضاء الهيئة ودرجة الحرية للروبوتات بشكل عام. وبما أن الروبوتات تتكون من أجسام صلبة، فإننا أولاً سنقوم بدراسة فضاء الهيئة ودرجة الحرية للأجسام الصلبة، وبعد ذلك سوف ندرس هاتين الفكريتين فيما يتعلق بالروبوتات. وهذا الفصل سيدور أيضاً حول مناقشة فضاء الهيئة للنهاية العاملة للروبوت أو ما يسمى مجال المهمة أو مجال العمل Task Space. وفي الفصل القادم سندرس بشكل مفصل التمثيلات الرياضية المختلفة لفضاء الهيئة للأجسام الصلبة.

## 2.1. فضاء الهيئة للجسم الصلب:

بالبقاء مع المثال السابق المتعلق بقطعة النقود الموجودة على سطح الطاولة، لنقم باختيار ثلاثة نقاط  $A$  و  $B$  و  $C$  مثبتة على قطعة النقود (الشكل 2.2 (a)). وبالتالي فإن موضع هذه النقاط في المستوى يمكن أن يكتب بالشكل  $(x_a, y_a)$ ،  $(x_b, y_b)$  و  $(x_c, y_c)$ . وإذا كانت هذه النقاط تتوضع بشكل مستقل في أي مكان في المستوى، فإنه سوف ينتج لدينا ست درجات من الحرية، درجتي حرية لكل نقطة من النقاط الثلاث. ونحن نعلم أن الجسم يكون صلباً إذا كانت جميع أبعاد نقطة الجسم فيما بينها ثابتة، أي أن الأبعاد:

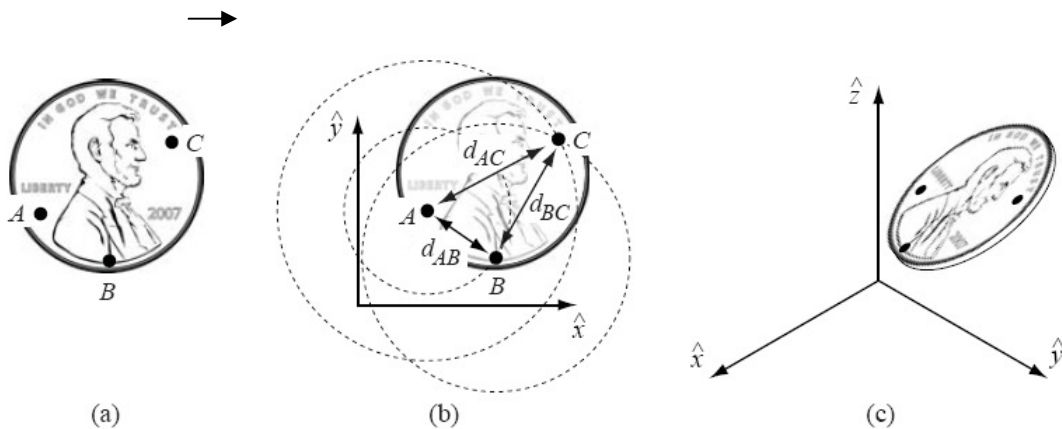
$$d(A, B) = \sqrt{(x_A - x_B)^2 + (y_A - y_B)^2}$$

$$d(B, C) = \sqrt{(x_B - x_C)^2 + (y_B - y_C)^2}$$

$$d(A, C) = \sqrt{(x_A - x_C)^2 + (y_A - y_C)^2}$$

لا يمكن لها أن تتغير مهما تحركت قطعة النقود. ولنسمي هذه الأبعاد الثابتة  $d_{AC}$  و  $d_{BC}$  و  $d_{AB}$ . فلتتحديد درجة الحرية لقطعة النقود، نختار أولاً موقعاً للنقطة  $A$  في المستوى (الشكل 2.2 (b)). ويمكن أن نختارها كيما نشاء، وبالتالي سيكون لدينا درجتي حرية لتحديد هذه النقطة،  $(x_A, y_A)$ . وعند تحديد هذه النقطة، فإن القيد  $d(A, B) = d_{AB}$  سيحدد الخيار لـ  $(x_B, y_B)$  بتلك النقطة من الدائرة ذات نصف القطر  $d_{AB}$  والتي مر بها  $A$ . وبهذا فإن درجتي الحرية الناتجتين  $(x_B, y_B)$  و

يمكن دمجها بدرجة حرية واحدة تختزل جميع الاحتمالات الفعلية الأخرى لموقع النقطة B. ودرجة الحرية هذه هي الزاوية التي تصف موقع النقطة B على الدائرة التي مركزها A، ولتكن هذه الزاوية هي  $\phi_{AB}$ ، ويمكن تعريفها بأنها الزاوية المحصورة بين الشعاع AB والمحور x.



الشكل 2.2: (a) اختيار ثلاثة نقاط مثبتة على قطعة النقود. (b) عندما يتم اختيار موقع النقطة A، فإن النقطة B ستكون واقعة على دائرة نصف قطرها  $d_{AB}$  ومركزها A. وعند تحديد موقع النقطة B، فإن النقطة C يجب أن تكون أحد نقطتي تقاطع الدائرتين اللتين مركزيهما A و B. فقط نقطة واحدة من نقاط التقاطع تعبر عن هيئة "وجه الرسمة". (c) هيئة قطعة النقود في فضاء ثلاثي الأبعاد يعطى من خلال ثلاثة إحداثيات للنقطة A، زاويتين من أجل النقطة B الموجودة على سطح كرة نصف قطرها  $d_{AB}$  ومركزها A، وزاوية واحدة للنقطة C على دائرة تكون ناتجة من تقاطع الكرترين اللذين مركزيهما A و B.

أخيراً، عندما نختار موقع النقطة B، فإن درجتي الحرية لتحديد موقع النقطة C  $(x_C, y_C)$  سوف تنعدم بسبب المحدودين  $d_{AC} = d_{BC}$  و  $d(A,C) = d(B,C)$ . وبعبارة أخرى، فإنه عندما يتم تحديد موقع النقاطين A و B، فإن موقع النقطة C سيصبح ثابتاً ومحدداً. وبالتالي فإن قطعة النقود تملك حقيقة ثلاثة درجات من الحرية في المستوى، والتي يمكن تحديدها بـ  $(x_A, y_A, \phi_{AB})$ .

لنفترض أننا قمنا باختيار نقطة إضافية على قطعة النقود، D، وبهذا سينتج لدينا ثلاثة قيود إضافية جديدة:  $d_{AD} = d_{AC}$  و  $d_{BD} = d_{BC}$  و  $d(A,D) = d(C,D)$ . وعلى الرغم من أن هذه القيود قد تبدو مستقلة، إلا أنها في الحقيقة فائضة Redundant، فقط إثنان من هذه الثلاث قيود هي مستقلة، والسبب في هذا أن القيد  $d(A,D) = d_{AD}$  يحدد النقطة D بحيث تقع على دائرة قطرها  $d_{AD}$  ومركزها النقطة A. وبشكل مشابه، فإن القيد  $d(B,D) = d_{BD}$  يحدد النقطة D لتقع على دائرة قطرها  $d_{BD}$  ومركزها النقطة B. هذان القيدان مع بعضهما يحددان النقطة D لتكون نقطة التقاطع بين الدائرتين السابقتين. لذلك فإن القيد الثالث  $d_{CD} = d_{BC}$  غير ضروري، والنقط D, C, B وجميع النقاط الأخرى على قطعة النقود في الواقع لا تضيف أية درجة حرية أخرى أو مقيد آخر لقطعة النقود من أجل توصيف فضاء الهيئة.

ويمكن لنا أن نطبق هذه القاعدة العامة من أجل تحديد درجة الحرية لنظام ما:

$$\text{درجة الحرية dof} = (\text{عدد درجات الحرية للنقاط}) - (\text{عدد القيود المستقلة}) \quad (2.1)$$

و هذه القاعدة يمكن أن يتم التعبير عنها بوساطة عدد المتغيرات و عدد المعادلات المستقلة التي تصف النظام:

$$\text{درجة الحرية} = \text{dof} = (\text{عدد المتغيرات}) - (\text{عدد المعادلات المستقلة}) \quad (2.2)$$

ويمكنا أن نستخدم هذه القاعدة العامة لتحديد عدد درجات الحرية لجسم صلب في فضاء ثلاثي الأبعاد. فعلى سبيل المثال، لنفرض أن قطعة النقود التي لدينا ليس لها أي ارتباط بالطاولة (الشكل 2.2 (c)). في هذه الحالة فإن النقاط A,B و C يمكن أن تعرف بالشكل  $(x_A, y_A, z_A)$ ،  $(x_B, y_B, z_B)$  و  $(x_C, y_C, z_C)$ . النقطة A يمكن تحديد موقعها بكل حرية (ثلاثة درجات من الحرية). وموقع النقطة B هو متعلق بالقيد  $d_{AB} = d(A, B)$ ، بمعنى أنها يجب أن تكون موجودة على الكرة التي قطرها  $d_{AB}$  ومركزها A. وبذلك يكون لدينا  $2 = 1 - 3$  درجتي حرية لتحديد هذه النقطة، بحيث يمكن أن توصفا بخط الطول وخط العرض لهذه النقطة على سطح الكرة. أخيراً، موقع النقطة C يجب أن يكون في مكان تقاطع الكرتين مركزهما A و B و أنصاف أقطارهما  $d_{AC}$  و  $d_{BC}$  بالترتيب. وتقاطع هاتين الكرتين هو دائرة، وبهذا فإن موقع النقطة C يمكن أن يحدد عن طريق الزاوية التي تصف مسار الدائرة. ولهذا فإن النقطة C تتضمن 1 - 2 = 3 درجة واحدة من الحرية. وعندما يتم تحديد النقطة C، فإن القطعة النقدية ستصبح محددة في الفضاء.

وكلنتيجة، فإن الجسم الصلب في فضاء ثلاثي الأبعاد يمتلك ست درجات حرية، والتي يمكن التعبير عنها عن طريق ثلاثة إحداثيات تصف النقطة A، وزاويتين تصف النقطة B، وزاوية واحدة تصف النقطة C. والتتمثل باستخدام ثلاثة متاحولات أو برامترات لجسم صلب يمتلك ستة درجات حرية سوف تتم مناقشتها في الفصل القادم.

من السابق يمكن أن نستخلص أن الجسم الصلب الذي يتحرك في فضاء ثلاثي الأبعاد، والذي يمكن أن نطلق عليه اسم الجسم الصلب الفضائي Spatial Rigid Body، يمتلك ستة درجات من الحرية، ثلاثة منها خطية والثلاثة الباقية زاوية. وبشكل مشابه، فإن الجسم الصلب الذي يتحرك في مستوى ثنائي الأبعاد، والذي يمكن أن نطلق عليه اسم الجسم الصلب المستوى Planar Rigid Body، يمتلك درجتي حرية خطية ودرجة حرية زاوية. وهذه النتيجة يمكن الحصول عليها باعتبار أن الجسم الصلب في المستوى يمكن تمثيله بصورة جسم صلب في الفضاء بستة درجات حرية، ولكن بثلاثة قيود مستقلة  $.z_A = z_B = z_C = 0$ .

ولأن الروبوتات مكونة من أجسام صلبة، نستطيع التعبير عن المعادلة (2.1) كالتالي:

$$\text{درجة الحرية} = \text{dof} = (\text{عدد درجات الحرية للأجسام}) - (\text{عدد القيود المستقلة}) \quad (2.3)$$

المعادلة (2.3) تشكل الأساس الذي من خلاله يتم تحديد درجة الحرية للروبوتات بشكل عام الذي هو موضوع الفقرة القادمة.

## 2.2. فضاء الهيئة لروبوت ما:

بالعودة إلى مثال الباب في الشكل (2.1 (a)), وعلى اعتبار أن هذا الباب هو جسم صلب واحد متصل بالحائط بفصالات Hinges. من الفقرة السابقة كنا قد علمنا أن هذا الباب يمتلك درجة حرية واحدة معبر عنها بزاوية وصلة الفضالة  $\theta$ . والسبب في ذلك هو التالي: بدون وجود الفضالة، فإن الباب يكون حر الحركة في فضاء ثلاثي الأبعاد ويمتلك ست درجات من الحرية. ويربط الباب مع الحائط باستخدام وصلة الفضالة، فإن خمسة قيود مستقلة سوف تؤثر على حركة الباب، ومن المعادلة (2.3) نستنتج أن الباب يتمتع بدرجة حرية واحدة. وبدلاً من ذلك يمكننا النظر إلى الباب من الأعلى وعد المسألة كمسألة جسم صلب في مستوى الذي يتمتع بثلاثة درجات من الحرية. وصلة الفضالة في هذه الحالة سوف تفرض قيدين مستقلين، ومرة أخرى وعن طريق المعادلة (2.3) نستنتج أن الباب يتمتع بدرجة حرية واحدة. فضاء الهيئة للباب يمكن أن يوصف بمجال ضمن  $[0, 2\pi]$  بحيث يمكن للزاوية  $\theta$  أن تتراوح فيه.

في كلا الحالتين نلاحظ أن المفاصل تمثل قدرة التأثير على تقييد حركة الجسم الصلب، ولهذا تقل درجة الحرية الكلي له. وبينما أنه من المقنع إلى حد ما أنه يمكن الحصول على معادلة تحدد درجة الحرية لروبوت ببساطة من خلال إحتساب عدد الأجسام الصلبة والمفاصل. وعلى هذا النحو وفي هذه الفقرة سوف نستنتج معادلة Grubler لتحديد درجة الحرية لروبوتات المستوية和平空间. وبعدها سوف نناقش التمثيل الرياضي لفضاء الهيئة لروبوت ما.

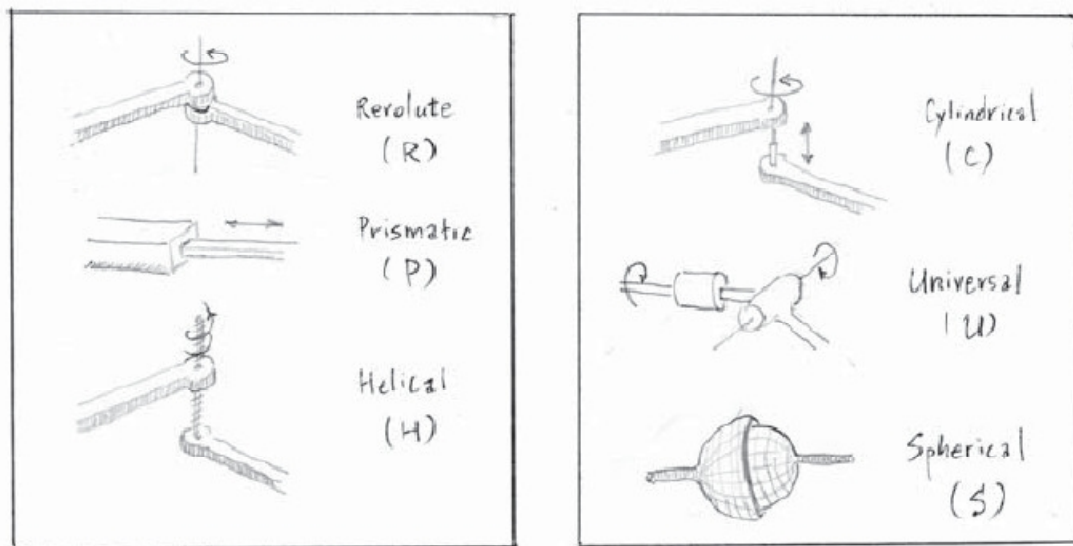
### 2.2.1. درجة الحرية لروبوت ما:

#### مفاصل الروبوت:

الشكل (2.3) يوضح المفاصل الرئيسية التي يمكن أن تتوارد في الروبوتات بشكل عام. إن كل مفصل يصل بين وصلتين فقط لا غير، ولن نقبل بوجود المفاصل التي تصل في نفس الوقت بين ثلاثة وصلات وسن侚م إلى تحليل كل منها إلى مفصلين. إن المفصل الدوراني Revolute Joint ويرمز له بـ (R)، ويسمى أيضاً مفصل الفضالة، يسمح بالحركة الدورانية حول محور المفصل. والمفصل التمدد Prismatic Joint ويرمز له بـ (P)، ويسمى أيضاً المفصل الانسحابي أو المفصل الخطي، يسمح بالحركة الانتقالية على طول اتجاه محور المفصل. كلا المفصلين الدوراني والتمدد هما مفاصل بدرجة حرية واحدة، بالنسبة للمفصل الدوراني، فإن درجة الحرية الخاصة به يمكن توصيفها عن طريق زاوية الدوران حول محور المفصل، بينما في المفصل التمدد، فإن درجة الحرية الخاصة به يمكن توصيفها من خلال مسافة الانتقال على طول محور المفصل. والمفصل اللوبي Screw Joint ويرمز له بـ (H)، ويسمى أيضاً بالмفصل العلوي، هو أيضاً مفصل بدرجة حرية واحدة حيث أن حركته مكونة من حركتين انتقالية ودورانية في نفس الوقت.

المفاصل أيضاً يمكن أن تمتلك أعداداً أكبر من درجات الحرية. فالمفصل الأسطواني Cylindrical Joint ويرمز له بـ (C) هو مفصل بدرجتي حرية، حيث يسمح بالحركة المستقلة للانتقال والدوران كلاً على حدٍ سواء حول وباتجاه محور المفصل. والمفصل العام Universal Joint ويرمز له بـ (U) هو نوع آخر من المفاصل التي تمتلك درجتي حرية، وهو مكون من

ربط زوج من المفاصل الدورانية بحيث تكون محاورهما متعامدة مع بعضهما. والمفصل الكروي Spherical Joint ويرمز له بـ (S)، ويسمى أيضاً بمفصل الكرة والموضع Ball and Socket، يمتلك ثلاثة درجات من الحرية ووظيفته تشبه كثيراً مفصل الكتف عند الإنسان.



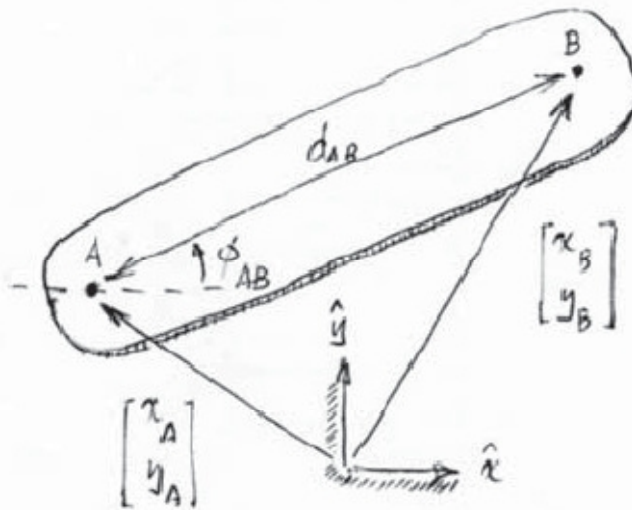
الشكل (2.3): الأنواع العامة لمفاصل الروبوتات.

### صيغة Grubler للروبوتات المستوية:

إن صيغة Grubler تسمح بحساب حرکية Mobility (درجة الحرية) لروبوت اعتماداً على عدد الوصلات وعدد ونوع المفاصل. إن الصيغة في الحقيقة هي ذات تعبير رياضي عام، وفي هذا الفصل سوف نوظف هذه الصيغة لدراسة الروبوتات المستوية، كالروبوتات التي تكون فيها جميع الوصلات تتحرك في مستوى ثابت. بداية ل يكن لدينا جسمًا صلباً واحداً في مستوى كما في الشكل (2.4). لنفتر من هذا الجسم نقطتين A و B بحيث تكون إحداثياتهما  $(x_A, y_A)$  و  $(x_B, y_B)$  بالنسبة لجملة محاور إحداثية ثابتة  $\vec{x}$  و  $\vec{y}$  بالترتيب. من هذه الأربع إحداثيات نحن نعلم أن ثلاثة منها فقط يمكن أن يتم اختيارها بشكل مستقل، وذلك بسبب أن قيد الجسم الصلب هو أن تكون المسافة بين النقطتين A و B هي محددة وثابتة، أي أن المسافة:

$$d_{AB} = \sqrt{(x_A - x_B)^2 + (y_A - y_B)^2} \quad (2.4)$$

هي ثابتة. وبتعريف الزاوية  $\phi_{AB}$  بحيث تكون الزاوية بين المحور  $x$  لجملة المحاور الإحداثية الثابتة والشعاع  $AB$ . فإن الإحداثيات  $(x_A, y_A, \phi_{AB})$  هي عبارة عن مجموعة إحداثيات مستقلة والتي بإمكانها توصيف هيئة الجسم الصلب المستوي.



الشكل (2.4): الإحداثيات من أجل جسم صلب مستوٍ.

في الواقع، إن الإحداثيات  $(x_B, y_B)$  يمكن تحديدها كالتالي:

$$x_B = x_A + d_{AB} \cos \phi_{AB}$$

$$y_B = y_A + d_{AB} \sin \phi_{AB}$$

لنعتبر الآن وجود نقطتين أيضاً على الجسم الصلب هما C و D. ولتكن إحداثياتهما نسبة لنفس جملة المحاور الإحداثية الثابتة  $(x_D, y_D)$  و  $(x_C, y_C)$  بالترتيب، وبالتالي فإن القيد المعبر عنه بالمسافة:

$$d_{CD} = \sqrt{(x_C - x_D)^2 + (y_C - y_D)^2} \quad (2.5)$$

هو ثابت. وبتعريف الزاوية  $\phi_{CD}$  بنفس الطريقة السابقة فإننا نجد:

$$x_D = x_C + d_{CD} \cos \phi_{CD}$$

$$y_D = y_C + d_{CD} \sin \phi_{CD}$$

وبفرض أن النقطة B من الجسم الأول والنقطة C من الجسم الثاني قد تم وصلهما باستخدام مفصل دوراني، فإنه بالإضافة إلى قيد المسافة (2.4) و (2.5)، فإن المفصل الدوراني الواصل بين الجسمين سوف يفرض قيدين مستقلين إضافيين هما:

$$x_B = x_C \quad (2.6)$$

$$y_B = y_C \quad (2.7)$$

وبذلك نجد أنه لدينا ثمانية إحداثيات  $(x_A, y_A, \dots, x_D, y_D)$  وأربع معادلات للقيود، مما يقود إلى أن النظام يمتلك  $4 - 8$  درجات حرية. وإذا عرفنا زاوية المفصل الدوراني على أنها  $\theta$  حيث

$\phi_{CD} - \phi_{AB} = \theta$ , وبالتالي فإن  $(x_A, y_A, \phi_{AB}, \theta)$  يمكن أن تمثل أربع إحداثيات مستقلة تستطيع وصف فضاء الهيئة لهذا النظام.

وإذا كانت النقطتين B و C متصلتين مع بعضهما باستخدام مفصل تمدي بحيث يسمح بالانتقال في اتجاه محدد  $(t_x, t_y)$ , فإن القيدان المعتبر عنهما في المعادلات (2.6) و (2.7) سوف يتم التعبير عنهما بالشكل الآتي:

$$x_C = x_B + dt_x \quad (2.8)$$

$$y_C = y_B + dt_y \quad (2.9)$$

حيث أن العدد d يمثل مسافة الانتقال وفقاً للاتجاه  $(t_x, t_y)$ . ومرة أخرى سيكون لدينا أربعة قيود مفروضة على ثمانى متغيرات، مما يقود إلى أن النظام يمتلك  $4 - 4 = 0$  درجات حرية. ومنه فإن الإحداثيات  $(x_A, y_A, \phi_{AB}, d)$  تمثل أربع إحداثيات مستقلة تستطيع توصيف فضاء الهيئة لهذا النظام.

لنفترض الآن أن الجسمين السابقين يتصلان ببعضهما عن طريق مفصل ذي درجة حرية، ويمكن الحصول على هذا المفصل مثلاً من خلال ربط تسلسلي للمفصلين السابقين الدوراني والتمدي. في هذه الحالة، فإن استنتاج القيد الإضافي الذي يؤثر على إحداثيات النقاط الثمانية  $\{(x_A, y_A), \dots, (x_D, y_D)\}$  ليس بهذه البساطة كما في الحالتين السابقتين. هذه الحالة تبين، على سبيل المثال، أن القيد سوف يكون متعلقاً بترتيب اتصال المفصلين الدوراني والتمدي فيما إذا كان المفصل الناشئ هو عبارة عن اتحاد مفصل دوراني يليه مفصل تمدي أو مفصل تمدي يليه مفصل دوراني. لكن من الواضح، على أية حال، أن معرفة قيم المفصلين  $\theta$  و d ستصرف بشكل كامل الإحداثيات  $(x_D, y_D)$  و  $(x_C, y_C)$  على الجسم الثاني. وبشكل مكافئ، فإن الإحداثيات الثمانية للنقاط  $\{A, B, C, D\}$  يمكن أن يتم تحديدها بشكل تام بمعرفة المتغيرات  $(x_A, y_A, \phi_{AB}, \theta, d)$ . وهكذا فإنه يمكن القول أن المفصل الذي يمتلك درجة حرية سيفرض قيداً وحيداً على المتغيرات المستقلة الستة  $(x_A, y_A, \phi_{AB}, x_C, y_C, \phi_{CD})$ , مما يجعلنا نقول أن هذا النظام يمتلك خمسة درجات من الحرية.

نتيجة عامة، يمكن أن نستنتج أن أي مفصل يمتلك درجة حرية واحدة سوف يقلل من درجات الحرية للنظام بمقدار درجتين، بينما أي مفصل يمتلك درجة حرية سيقلل درجات الحرية لهذا النظام بمقدار درجة واحدة. وهذا ما تم ملاحظته في الحقيقة في التعبير الوارد بالمعادلة (2.3). وبالتالي فإننا نستطيع الآن أن نستخرج صيغة جروبلاير Grubler للروبوتات المستوى:

**القاعدة 2.1.** لنفترض أنه لدينا روبوتاً مسؤولاً مكون من N وصلة (حيث تعد الأرض كوصلة)، ولتكن J هو العدد الكلي للمفاصل، ولتكن  $f_i$  هو درجة الحرية للوصلة رقم i. وبالتالي فإن درجة الحرية dof لميكانيزم الروبوت يمكن تقديرها من الصيغة التالية:

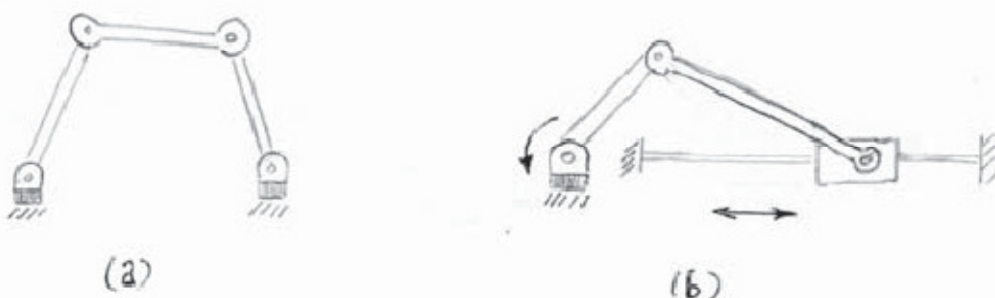
$$dof = 3(N - 1) - \sum_{i=1}^J (3 - f_i)$$

$$dof = 3(N - 1 - J) + \sum_{i=1}^J f_i \quad (2.10)$$

### المثال 2.1. ميكانيزم الوصلات الرباعي وميكانيزم المنزلقة والمرفق:

ليكن لدينا ميكانيزم الوصلات الرباعي المبين في الشكل (2.5 (a)). هذا الميكانيزم المستوي مكون من أربع وصلات (واحدة منها هي الأرض) متصلة فيما بينها مشكلة حلقة مغلقة مفردة بوساطة أربعة مفاصل دورانية. بتعويض  $f_i = 1$ ,  $N = 4$ ,  $J = 4$  حيث  $i = 1, \dots, 4$  في صيغة Grubler المستوى نجد أن ميكانيزم الوصلات الرباعي يمتلك درجة حرية واحدة فقط.

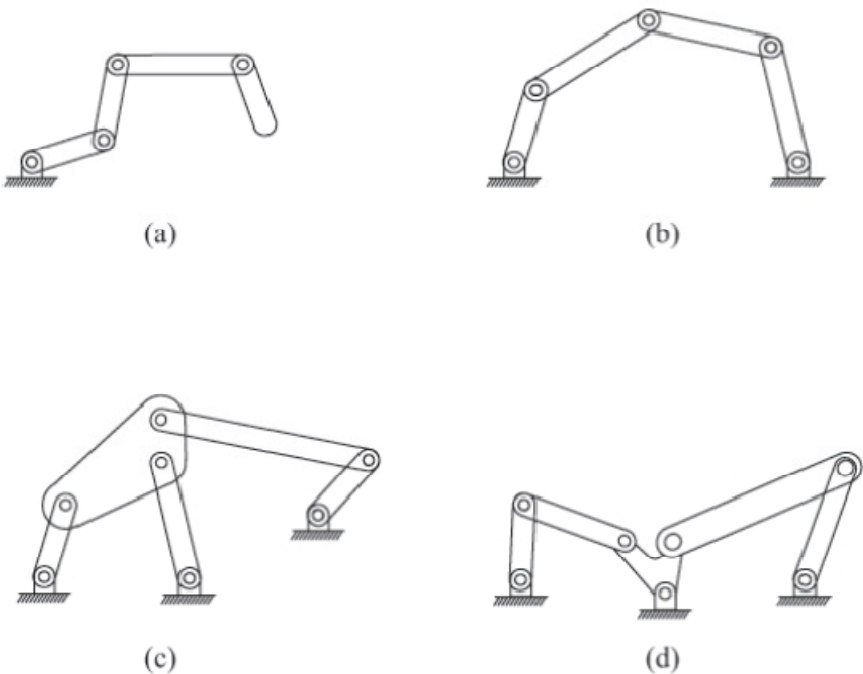
ميكانيزم المنزلقة والمرفق المبين في الشكل (2.5 (b)) يمكن تحليله بطريقتين: (1) الميكانيزم مؤلف من ثلاثة مفاصل دورانية ومفصل واحد تمدي ( $J = 4$ ) وكل منها ذات درجة حرية واحدة ( $f_i = 1$ ), وأربع وصلات ( $N = 4$ ) متضمنة الأرض كوصلة). أو (2) أن الميكانيزم مؤلف من مفصلين دورانيين ( $f_i = 1$ ) ومفصل مركب RP حيث المفصل RP هو تركيب بين مفصل دوراني وآخر تمدي، وثلاث وصلات ( $N = 3$ ) مع الأخذ بالاعتبار أن المفصل يصل بين جسمين فقط). في كلا الحالتين فإن الميكانيزم يملك درجة حرية واحدة.



الشكل 2.5: (a) ميكانيزم الوصلات الرباعي (b) ميكانيزم المنزلقة والمرفق.

### المثال 2.2. بعض الميكانيزمات المستوية التقليدية:

لناحول الآن تطبيق صيغة Grubler على العديد من الميكانيزمات المستوية التقليدية المبينة بالشكل (2.6).



الشكل 2.6: (a) سلسلة وصلات تسلسلية عددها  $k$ . (b) ميكانيزم الوصلات الخماسي. (c) ميكانيزم الوصلات السادساسي Watt. (d) ميكانيزم الوصلات السادساسي Stephenson.

من أجل سلسلة الوصلات المستوية التسلسلية ذات العدد  $k$  في الشكل (a)،  $N = k + 1$  وهو عدد الوصلات بالأخذ وذلك باعتبار الأرض كوصلة،  $J = 4$ ، ولأن كل المفاصل هي مفاصل دورانية، وبالتالي فإن كل  $f_i = 1$ . وبذلك يكون:

$$dof = 3((k + 1) - 1 - k) + k = k$$

وبالنسبة لميكانيزم الوصلات الخماسي كما في الشكل (b)،  $N = 5$  (أربع وصلات مع الأرض)،  $J = 5$ ، وبما أن جميع المفاصل هي دورانية فإن كل  $f_i = 1$ ، ومنه:

$$dof = 3(5 - 1 - 5) + 5 = 2$$

ومن أجل ميكانيزم Stephenson السادساسي الوصلات كما في الشكل (c)، لدينا  $N = 6$ ،  $J = 7$ ،  $f_i = 1$  لجميع الوصلات، وبالتالي:

$$dof = 3(6 - 1 - 7) + 7 = 1$$

وأخيراً، من أجل ميكانيزم Watt السادساسي الوصلات كما في الشكل (d)، لدينا  $N = 6$ ،  $J = 7$ ،  $f_i = 1$  من أجل جميع الوصلات، فنلاحظ أنه يشبه ميكانيزم Stephenson ومنه:

$$dof = 3(6 - 1 - 7) + 7 = 1$$

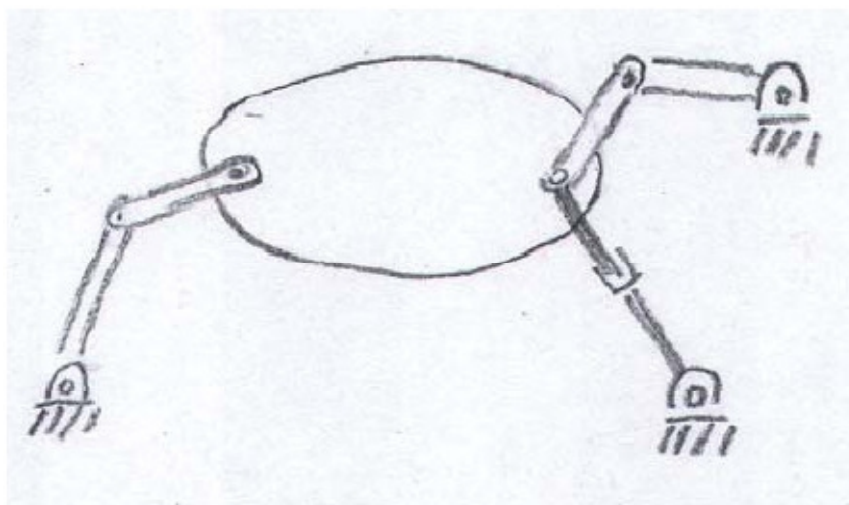
### المثال 2.3. ميكانيزم مستوي يمتلك مفاصل مرکبة :Overlapping Joints

ليكن لدينا الميكانيزم المستوي الموضح بالشكل (2.7). ونلاحظ هنا أن هناك عدد من الطرق يمكن أن تقدّنا لمعرفة حرکية الميكانيزم باستخدام صيغة جروبلار Grubler. فإذا أمكن اعتبار جميع المفاصل على أنها إما أن تكون دورانية أو تمدديّة، عندها فإن الميكانيزم يتكون من سبع وصلات ( $N = 7$ )، وثمان مفاصل دورانية، ومفصل واحد تمدديّ. ونلاحظ أن هناك ثلاثة أجسام تتقابل في نقطة واحدة على اليمين. ويجب التذكير هنا أن المفصل يصل بين جسمين فقط لا غير، وبالتالي فإن المفصل عند نقطة التقاطع هذه هو ليس مفصل دوراني واحد، ولكن في الحقيقة هو عبارة عن مفصلين دورانيين متراكبين على بعضهما البعض. وبالتعويض في صيغة جروبلار Grubler:

$$dof = 3(8 - 1 - 9) = 9(1) = 3$$

وبدلاً من ذلك، فإنه يمكن النظر إلى زوج المفاصل الدوراني التمددى المتصل مع نقطة التقاطع تلك على أنه مفصل واحد بدرجتي حرية. وفي هذه الحالة فإن عدد الوصلات هو  $N = 7$ ، مع ست مفاصل دورانية ومفصل وحيد ذي درجتي حرية دورانية وتمدديّة، وحسب صيغة جروبلار Grubler مرة أخرى نجد:

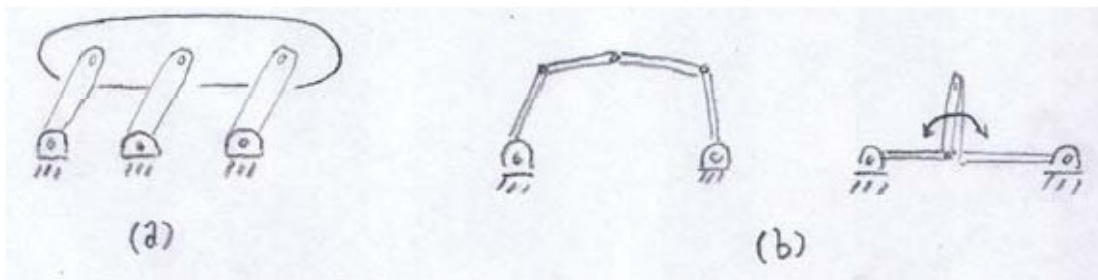
$$dof = 3(7 - 1 - 9) + 6(1) + 1(2) = 3$$



الشكل 2.7: ميكانيزم مستوي مع مفصلين مرکبين.

### المثال 2.4. صيغة Grubler وحالات الشاذة Singularities

ليكن لدينا ميكانيزم الوصلات المتوازي الأضلاع Parallelogram المبين في الشكل (2.8(a)). وهنا لدينا  $N = 5$ ،  $J = 6$  و  $f_i = 1$  لجميع الوصلات، وبحسب صيغة جروبلار Grubler فإن درجة الحرية لهذا الميكانيزم تحسب بالشكل  $0 = 6 - 5 - 1 - 6 + 3$ . ومن المعلوم فإن أي ميكانيزم يمتلك درجة حرية معدومة يمكن اعتباره جسماً جاسياً. ولكن في حال كانت الوصلات المتوازية في هذا الميكانيزم لها نفس الطول، وبحيث يكون صفا المفاصل كل منها على خط واحد كما هو موضح بالشكل، فإن الميكانيزم في الحقيقة يستطيع التحرك بدرجة حرية واحدة.



الشكل 2.8: (a) ميكانيزم الوصلات المتوازي الأضلاع (b) ميكانيزم الوصلات الخماسي بثابتين نظامية وشادة.

وفي حالة مماثلة تحدث في ميكانيزم الوصلات الخماسي المبين في الشكل (2.8 (b)). إذا كان المفصلين المتصلين بالأرض ثابتين، فإن الميكانيزم الخماسي الوصلات والذي كان يسمح بدرجتي حرية سوف يصبح كجسم أو هيكل جاسي. ولكن يجب الملاحظة أنه إذا كانت الوصلات في المنتصف متراكبيتن على بعضهما البعض كما هو في الشكل، فإن هذه الوصلات قادرة على الحركة الدورانية بحرية حول المفصلين المتراكبين الناتجين. وبالتالي، طول الوصلات يجب أن يتم اختياره بطريقة تسمح بوجود الميكانيزم على هيئة ما أمرياً ممكناً. وإذا تم تثبيت زوج آخر من المفاصل فإن الميكانيزم سيصبح هيكلًا جاسياً كما هو متوقع.

وبالتالي فإن صيغة Grubler لا تستطيع تمييز الحالات الشادة كهاتين الحالتين التي تم توضيحيهما. وهاتان الظاهرتان هما من الأمثلة على الحالات الشادة لفضاء الهيئة الناشئة في ميكانيزمات السلسل المغلقة، والتي سيتم الحديث عنها فيما بعد بشكل مفصل.

### صيغة Grubler للروبوتات الفضائية:

كلنا نعلم أن ست متحولات مستقلة تلزم من أجل وصف الموقع والاتجاه لجسم صلب موجود في الفراغ، وكنا فيما مضى قد عالجنا صيغة Grubler من أجل الميكانيزمات المستوية. الآن إذا كان لدينا جسمين صلبيين فراغيين متصلين مع بعضهما بمفصل يمتلك  $k$  درجة حرية، وبالتالي فإن  $k = 6 - (6 - k)$  من البارامترات المستقلة تكون مطلوبة من أجل توصيف فضاء الهيئة. واعتماداً على هذه الملاحظة، فإن صيغة Grubler من أجل الروبوتات الفضائية يمكن أن تكتب بالشكل التالي:

**القاعدة 2.2.** بفرض أن لدينا روبوتاً فضائياً مكوناً من  $N$  وصلة (متضمنة الأرض)،  $J$  مفصل مرقمة من 1 إلى  $J$  حيث  $f_i$  هي درجة الحرية للمفصل  $i$ . فإن درجة الحرية للروبوت يمكن أن تقدر بالاعتماد على الصيغة الآتية:

$$dof = 6(N - 1) - \sum_{i=1}^J (6 - f_i)$$

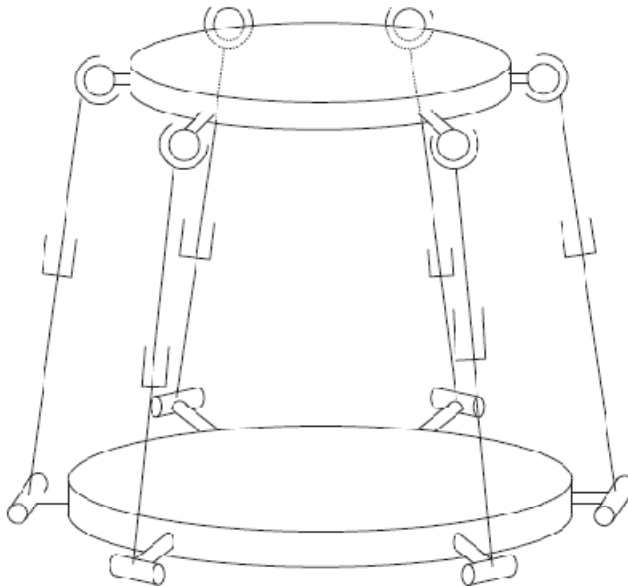
$$dof = 6(N - 1 - J) + \sum_{i=1}^J f_i \quad (2.11)$$

ويجب أن ننوه أن صيغة Grubler للميكانيزمات الفضائية أو الفراغية يجب أن لا يتم استخدامها على الميكانيزمات المستوية، والعكس بالعكس. وسوف نناقش فيما يلي بعض الأمثلة عن الروبوتات الفضائية.

### المثال 2.5. منصة ستريوارت – جوف Stewart – Gough

هذه المنصة الموضحة بالشكل (2.9) مكونة من قاعدتين، القاعدة السفلية ثابتة غير قابلة للحركة، والعلوية متحركة ومتصلة بست أذرع ذات بنية تسلسلية وتسمى كل واحدة منها ساقاً. وكل ساق تتكون من مفصل عام ومفصل تمددي ومفصل كروي (UPS) مرتبة على هذا النسق. إن العدد الكلي للوصلات (بما في ذلك القاعدة السفلية والتي تعتبر كأنها وصلة الأرض) هو  $N = 14$ . في هذه المنصة هناك ست مفاصل عامة (كل منها يمتلك درجة حرية 2 =  $f_i$ )، وست مفاصل تمدديه (كل منها يمتلك درجة حرية واحدة 1 =  $f_i$ )، وست مفاصل كروية (كل منها يمتلك ثلاثة درجات من الحرية 3 =  $f_i$ ). وعدد المفاصل الكلي هو  $18 = J$ . بتعويض هذه القيم في صيغة Grubler الفضائية نجد:

$$dof = 6(14 - 1 - 18) + 6(1) + 6(2) + 6(3) = 6$$



الشكل 2.9: منصة ستريوارت – جوف Stewart – Gough

في بعض نماذج منصة ستريوارت جوف Stewart – Gough فإن المفاصل الستة العامة يمكن الاستعاضة عنها بست مفاصل كروية. وصيغة Grubler في هذه الحالة تشير إلى أن الميكانيزم سوف يمتلك 12 درجة حرية. وهذه النتيجة ربما تكون مفاجئة لكنها صحيحة. حيث إن تبديل المفاصل العامة واستخدام المفاصل الكروية عوضاً عنها سيؤدي إلى زيادة في الحركية

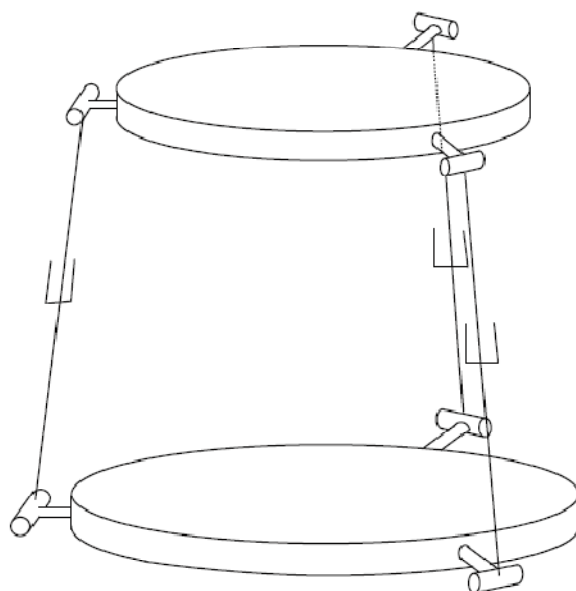
لكل ساق عن طريق السماح للدوران الالتوائي Torsional Rotation حول محور الساق. وعلى الرغم من وجود هذا الدوران الالتوائي إلا أنه لا يؤثر على حركة القاعدة العلوية المتحركة.

### المثال 2.6. منصة 3×UPU:

إن هذا المثال المبين في الشكل (2.10) له أيضاً بنية المنصة التي ناقشناها في المثال السابق، حيث هناك قاعدتين متصلتين ببعضهما ولكن باستخدام ثلاثة مفاصل UPU على هيئة بنية تسلسلية لتشكل ذراعاً. إن العدد الكلي للوصلات هو  $N = 8$ . وهناك ست مفاصل عامة، وثلاث مفاصل تمدديّة بحيث يكون العدد الكلي للمفاصل هو  $J = 9$ . وبالتعويض في صيغة جروبّلر Grubler نجد:

$$dof = 6(8 - 1 - 9) + 3(1) + 6(2) = 3$$

وبالتالي فإنّ هذا الميكانيزم يمتلك ثلاث درجات من الحرية وفقاً لصيغة جروبّلر Grubler، لكن النموذج المنشأ لهذا الميكانيزم يكشف عن وجود درجات حرية إضافية لم تتمكن صيغة جروبّلر Grubler من التنبؤ بها. وسنناقش مثل هذه الحالات فيما بعد.



الشكل 2.10: منصة 3×UPU

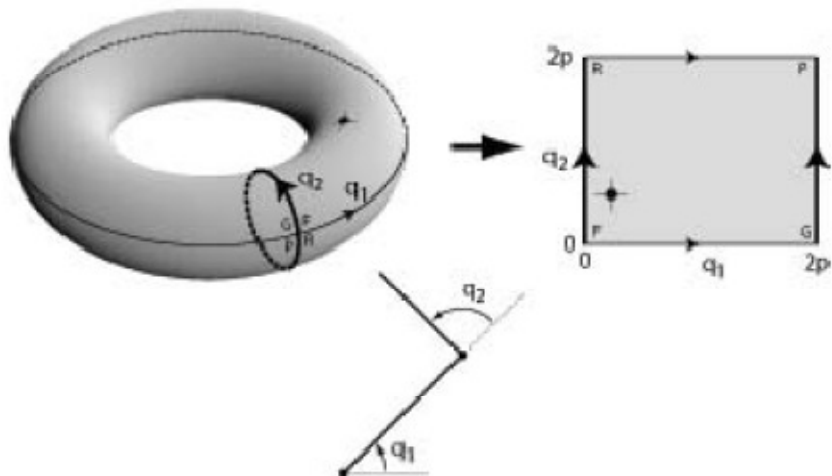
#### 2.2.2. توصيف فضاء الهيئة:

لتذكر أن تعريف هيئة الروبوت هو عبارة عن التوصيف الكامل لموقع كل نقاط الروبوت، ومجموعة الهيئات لروبوت تشكل ما يسمى بفضاء الهيئة. فمن أجل جسم صلب مستوٍ وحيد، فإن هيئة يمكن أن تشخص بشكل كامل عن طريق تحديد ثلاثة إحداثيات مستقلة  $(x, y, \theta)$ ، حيث  $\theta \in [0, 2\pi]$  و  $(x, y) \in R$ . ففضاء الهيئة يكون بالنتيجة ثلاثي الأبعاد، والإحداثيات  $(x, y, \theta)$  هي برمترات توصيف واضحة ومحددة Explicit. وبدلاً من ذلك، يمكننا من أجل توصيف هيئة

الجسم أن نختار إحداثيات نقطتين منه مثل A و B، بحيث تكون الإحداثيات  $(x_A, y_A)$  و  $(x_B, y_B)$  على الترتيب. وبالتالي فإن القيد لهذا الجسم الصلب سيكون:

$$\sqrt{(x_A + x_B)^2 + (y_A + y_B)^2} = d_{AB} \quad (2.12)$$

حيث أن البعد  $d_{AB}$  هو ثابت، وهذا يعني أن الأربعة إحداثيات السابقة ليست مستقلة. وبهذا فإن المعادلة (2.12) هي توصيف ضمني Implicit لفضاء الهيئة. إن فضاء الهيئة للروبوتات بشكل عام عادة تسمح بوجود كلا التوصيفين، المحدد الواضح والضمني. في حالة السلاسل المفتوحة، فإن برامترات التوصيف المحددة والواضحة من أجل فضاء الهيئة تعطى عن طريق متغيرات المفاصل. فمن أجل سلسة مفتوحة مستوية من نوع  $2R$  (يمتلك مفصلين دورانيين) كما في الشكل (2.11)، فإن قيم المفاصل الدورانية  $(q_1, q_2)$  تحدد بشكل كامل الموقع والاتجاه للوصلتين. وفضاء الهيئة في هذه الحالة هو  $[0, 2\pi] \times [0, 2\pi]$ ، والذي يمكن أن يظهر على طارة Torus ثنائية البعد (شطيرة الدونات Doughnut لكن بشكل مسطح) والمبينة في الشكل (2.11). ونلاحظ أنه عند قطع الطارة على طول الخطين الغامقين الموضعين في الشكل، فإنه بإمكاننا فرد (كتعبير مجازي) هذه الطارة على هيئة مستطيل (يسمي بـ"الطارة المسطحة").



الشكل 2.11: فضاء الهيئة لميكانيزم متسلسل يمتلك مفصلين دورانيين  $2R$ .

ومن أجل السلاسل المغلقة (وهي الروبوتات المحتوية على حلقة مغلقة أو أكثر)، فإنه عادة ما يتم الحصول على البرامترات الضمنية بشكل أسهل، أما الحصول على البرامترات الواضحة المحددة لها يتطلب حل مجموعة من المعادلات غير الخطية. وكمثال على ذلك لندرس ميكانيزم الوصلات الرباعي المبين في الشكل (2.12)، والذي يمتلك درجة حرية واحدة. وفي الحقيقة، إن ميكانيزم الوصلات الرباعي دائمًا يشكل حلقة مغلقة يمكن التعبير عنها على شكل ثلاثة معادلات كالتالي:

$$L_1 \cos \theta_1 + L_2 \cos(\theta_1 + \theta_2) + \cdots + L_4 \cos(\theta_1 + \cdots + \theta_4) = 0$$

$$L_1 + \sin \theta_1 + L_2 \sin(\theta_1 + \theta_2) + \cdots + L_4 \sin(\theta_1 + \cdots + \theta_4) = 0$$

$$\theta_1 + \theta_2 + \theta_3 + \theta_4 + \pi = 0$$

و هذه المعادلات يمكن الحصول عليها بالنظر إلى ميكانيزم الوصلات الرباعي على أنه ميكانيزم تسلسلي بأربعة مفاصل دورانية، حيث: (i) نهاية الوصلة  $L_4$  هي دائماً منتظمة على المبدأ، (ii) اتجاه الوصلة  $L_4$  هو دائماً أفقى.

وتسمى هذه المعادلات بشكل عام في ميكانيزمات السلالس المغلقة بمعادلات الحلقة المغلقة. فمن أجل ميكانيزم الوصلات الرباعي هذا فهي تعطى بمجموعة من ثلاثة معادلات وبأربعة مجاهيل. ومجموعة الحلول هنا تشكل منحنىً في فضاء بعدи رباعي (تبعاً لعدد المفاصل) موصف بالبرامترات  $(\theta_1, \dots, \theta_4)$ ، وتشكل فضاء الهيئة لهذا الميكانيزم.

وللروبوتات بشكل عام والمحورية على حلقة مغلقة أو أكثر، فإن فضاء الهيئة يمكن أن يتم توصيفه ضمنياً بمعادلات الحلقة المغلقة ذات الشكل:

$$g(\theta) = \begin{bmatrix} g_1(\theta_1, \dots, \theta_n) \\ \vdots \\ g_k(\theta_1, \dots, \theta_n) \end{bmatrix} = 0 \quad (2.13)$$

حيث أن  $\theta \in R^n$ ، وهذه التشكيلة من المعادلات لهذه الميكانيزمات المغلقة تعبر عن شعاع المتغيرات للمفاصل، و  $R^n \rightarrow R^k : g$  وهي مجموعة تتكون من معادلات مستقلة عددها  $k$ ، حيث  $n \leq k$ . مثل هذه القيود تسمى قيوداً هولونومية Holonomic (أي قيوداً تامة). وفضاء الهيئة هنا يمكن بذلك أن ينظر له على شكل سطح متعدد الأبعاد من المرتبة  $n-k$  ضمن المجال  $R^n$ .

### 2.2.3. القيود البفافيانية :Pfaffian Constraints

لنفترض أن لدينا روبوتاً ذي سلسلة مغلقة Closed Chain له جملة معادلات الحلقة المغلقة  $g(\theta) = 0$ ، حيث  $R^n \rightarrow R^k : g$ ، ولنفترض أن هذا الروبوت في حالة حركة تابعة للزمن، أي أن  $\dot{\theta}(t)$ . ومنه وباستخدام طرفي المعادلة  $0 = \frac{d}{dt} g(\theta(t))$  بالنسبة لـ  $t$  نجد:

$$\begin{aligned} \frac{d}{dt} g(\theta(t)) &= \begin{bmatrix} \frac{dg_1}{d\theta_1}(\theta) \dot{\theta}_1 + \dots + \frac{dg_1}{d\theta_n}(\theta) \dot{\theta}_n \\ \vdots \\ \frac{dg_k}{d\theta_1}(\theta) \dot{\theta}_1 + \dots + \frac{dg_k}{d\theta_n}(\theta) \dot{\theta}_n \end{bmatrix} \\ &= \begin{bmatrix} \frac{dg_1}{d\theta_1}(\theta) & \dots & \frac{dg_1}{d\theta_n}(\theta) \\ \vdots & \ddots & \vdots \\ \frac{dg_k}{d\theta_1}(\theta) & \dots & \frac{dg_k}{d\theta_n}(\theta) \end{bmatrix} \begin{bmatrix} \dot{\theta}_1 \\ \vdots \\ \dot{\theta}_n \end{bmatrix} = \frac{dg}{d\theta}(\theta) \dot{\theta} = 0 \quad (2.14) \end{aligned}$$

حيث  $\dot{\theta}$  تشير إلى المشتق بالنسبة للزمن  $t$  لـ  $\theta$ ,  $\theta \in \mathbb{R}^n$  و  $dg/d\theta(\theta) \in \mathbb{R}^{k \times n}$ . ومن المعادلة أعلاه نجد أن شعاع السرعة للمفصل  $R^n \in \theta$  لا يمكن أن يكون اعتماطياً، ولكن يجب أن يحقق المعادلة:

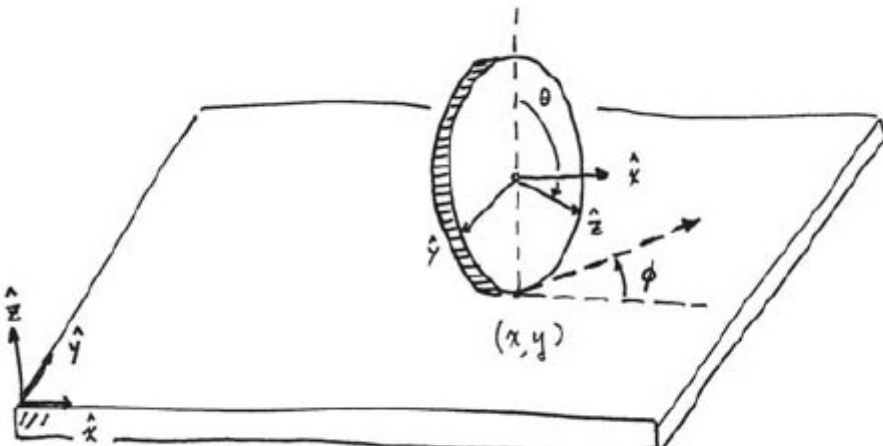
$$\frac{dg}{d\theta}(\theta)\dot{\theta} = 0 \quad (2.15)$$

والقيود على  $\theta$  سوف تأخذ الشكل:

$$A(\theta)\dot{\theta} = 0 \quad (2.16)$$

حيث  $A(\theta) \in \mathbb{R}^{k \times n}$  تسمى بالقيود البافافيانية Pfaffian Constraints. ورأينا سابقاً أن اشتقاء معادلة الحلقة المغلقة بالنسبة للزمن  $t$  هو  $g(\theta(t)) = 0$  يقودنا إلى مثل هذه القيود. وبصورة معاكسة يمكن لأحدنا أن ينظر للتابع  $g(\theta)$  على أنه تكامل  $dg/d\theta(\theta)$ ، ولهذا السبب فإن القيود من هذا الشكل  $0 = g(\theta)$  تسمى القيود المتكاملة Integrable Constraints أو يمكن تسميتها بالقيود التامة Holonomic Constraints.

لعرض الآن نمطاً آخر للقيود البافافيانية والتي تختلف بشكل أساسى عن النوع التام. ولنقم بتوضيح ذلك من خلال مثال، لنفترض أن لدينا قطعة نقود لها نصف قطر  $r$  تتدحرج على سطح مستوٍ كما في الشكل (2.13).



الشكل 2.13: قطعة نقود تدحرج على سطح مستوي بدون انزلاق.

ولنفترض وجود جملة محاور إحداثية مثبتة في مركز القطعة النقدية، بحيث يكون محور الدوران دائماً متوجهاً باتجاه المحور  $x$ . ولأن جملة المحاور الإحداثية مثبتة على قطعة النقود، فإن المحور  $y$  و المحور  $z$  يدوران حول المحور  $x$  بنفس المعدل حيث يشكلان فيما بينهما قطاعاً وهذا القطاع يدور بنفس المعدل أيضاً. وسنفترض أن قطعة النقود تبقى دائماً عمودية على السطح المستوي (حيث أن المحور  $x$  للقطعة النقدية لجملة المحاور الإحداثية المتعلقة بالجسم هي دائماً موازية للسطح).

ضمن هذه الفرضيات، فإننا هنا نحتاج على الأقل إلى أربع بارامترات لنصف كاملاً هيئه القطعة النقدية. وهذه البارامترات هي إحداثيات نقطة التلامس مع السطح  $(x,y)$ ، وزاوية الاتجاه  $\phi$ ، وزاوية الدوران  $\theta$  (انظر الشكل 2.13). وفضاء الهيئة لقطعة النقود هذه وبالتالي هي عبارة عن  $T^2 \times R^2$ ، حيث  $T^2$  هو عبارة عن طارة ثنائية الأبعاد يتم توصيفها من خلال الزوايا  $\phi$  و  $\theta$ . وفضاء الهيئة هذا هو رباعي الأبعاد.

لنقم الآن بالتعبير بشكل رياضي عن حقيقة كون قطعة النقود تتدحرج بدون وجود انزلاق. قطعة النقود يجب أن تتدحرج دائماً في الاتجاه المحدد بـ  $(\cos\phi, \sin\phi)$ ، بسرعة نحو الأمام تقدر تعطى بالمقدار  $r\dot{\theta}$ :

$$\begin{bmatrix} \dot{x} \\ \dot{y} \end{bmatrix} = r\dot{\theta} \begin{bmatrix} \cos\phi \\ \sin\phi \end{bmatrix} \quad (2.17)$$

وبجمع جميع إحداثيات فضاء الهيئة بصيغة شعاع وحيد  $q = (x, y, \phi, \theta) \in R^2 \times T^2$ ، فإن قيد عدم الانزلاق في المعادلة أعلاه يمكن التعبير عنه بالشكل التالي:

$$\begin{bmatrix} 1 & 0 & 0 & -r \cos q_3 \\ 0 & 1 & 0 & -r \sin q_3 \end{bmatrix} \dot{q} = 0 \quad (2.18)$$

وهو أيضاً قيد مشتق من الشكل 2.18،  $A(q) \in R^{2 \times 4}$ ،  $A(q) \dot{q} = 0$ .

إن هذا القيد ليس متكاملاً، ذلك لأنه من أجل  $A(q)$  المعطاة بالمعادلة (2.18)، ليس هناك أي قابلية لاشتقاق  $R^4 \rightarrow R^2 : g = A(q)$  بحيث يكون  $dg/dq = A'(q)$ . ولنعرف السبب، فإنه يجب أن يكون هناك وجود لتابع قابل للاشتاق  $g_1(q)$  بحيث يحقق التالي:

$$\frac{dg_1}{dq_1} = 1 \rightarrow g_1(q) = q_1 + h_1(q_2, q_3, q_4)$$

$$\frac{dg_1}{dq_2} = 0 \rightarrow g_1(q) = h_2(q_1, q_3, q_4)$$

$$\frac{dg_1}{dq_3} = 0 \rightarrow g_1(q) = h_3(q_1, q_2, q_4)$$

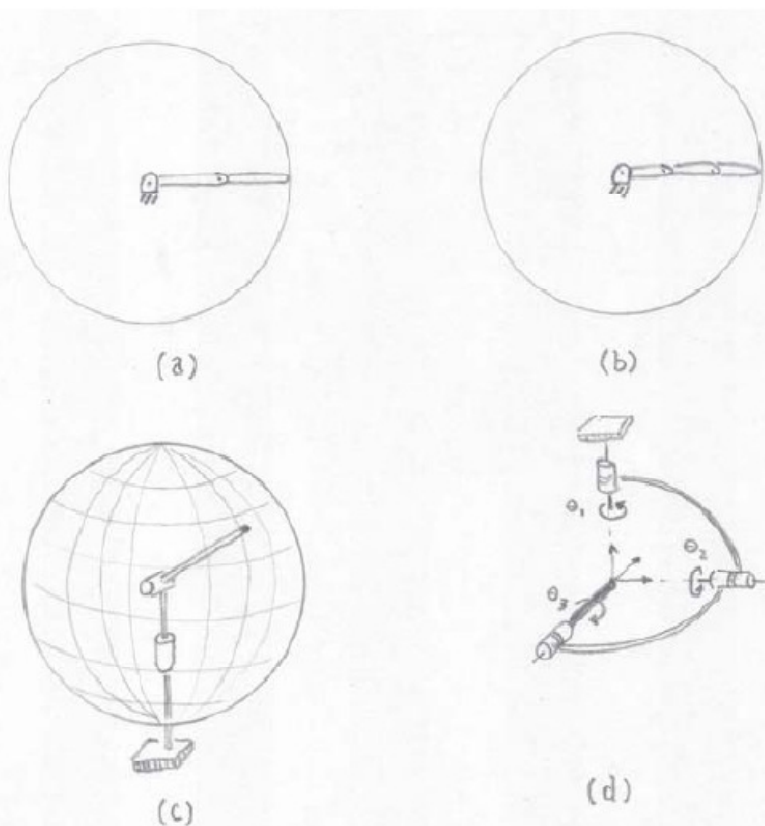
$$\frac{dg_1}{dq_4} = -r \cos q_3 \rightarrow g_1(q) = -rq_4 \cos q_3 + h_4(q_1, q_2, q_3)$$

وذلك من أجل أي تابع  $g_i$  قابل للاشتاق بالنسبة لأي من متغيراتها، وسنجد بعد التمحيص أنه ليس للتابع  $g_i$  وجود بحيث يتحقق الاشتقاق ذاك. وبطريقة مماثلة نجد أن  $g_2(q)$  غير موجود أيضاً، وبالتالي فإن القيد الموجود في المعادلة (2.18) هو غير قابل للتكامل. إن القيد البفافيانى الغير قابل للتكامل يدعى أيضاً بالقييد غير التام nonholonomic Constraint. ومثل هذه القيود تظهر عند دراسة عدد من الروبوتات التي تدور حول إمكانية التدحرج بدون انزلاق، ومثال على ذلك دراسة التحليل الكينماتيكي لعربة ذات عجلات.

## 2.2.4. فضاء المهمة : Task Space

سندرس في مaily نوعاً آخر من الاصطلاح عن طريق مثال يدور حول ميكانيزم روبوت ذي سلسلة مفتوحة مكون من مفصلين دورانيين  $2R$  (انظر الشكل 2.14 (a)). ولنفترض أن النهاية العاملة End Effector هي نقطة الطرف من هذا الميكانيزم. إن المنطقة ضمن المستوى والتي يستطيع هذا الطرف الوصول إليها تسمى فضاء أو مجال المهمة Task Space، أو تسمى فضاء العمل Workspace، لميكانيزم السلسلة المفتوحة. إن فضاء المهمة يمكن عده على أنه فضاء الهيئة بالنسبة للنهاية العاملة. وهو يتميز عن فضاء الهيئة للروبوت حيث أن أي نقطة من فضاء المهمة هي غير مطلوبة لتحديد الهيئة الكاملة للروبوت، وهناك عدد كبير جداً أو غير منتهٍ من هيئات الروبوت التي تشكل وترسم نفس فضاء المهمة.

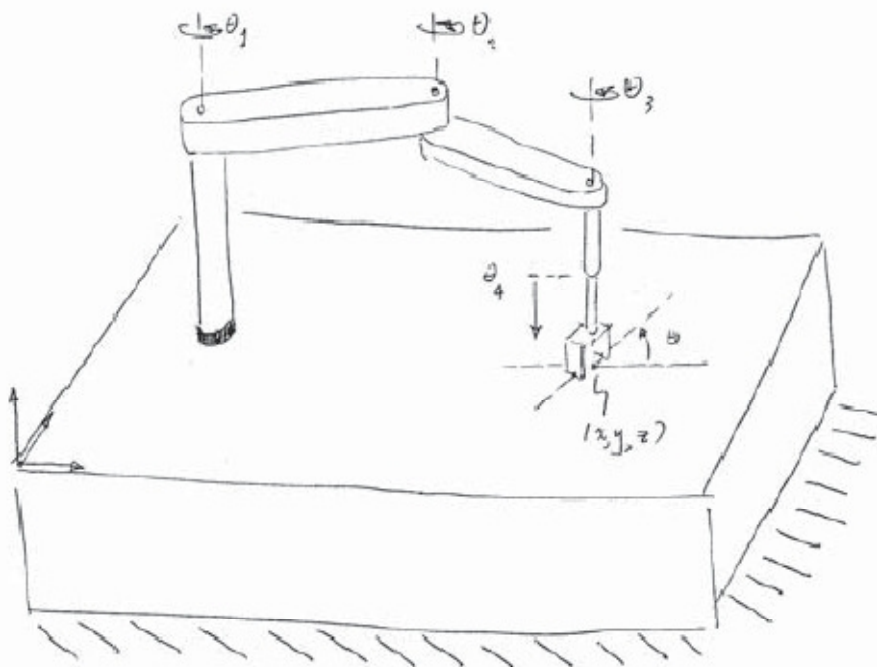
ويمكن لميكانيزمين لها فضاء هيئة مختلف عن الآخر أن يكون لهما نفس فضاء المهمة. وكمثال على ذلك، لنفترض أن طرف الميكانيزم هو عبارة عن النهاية العاملة للروبوت ولنقم بإهمال اتجاهاتها Orientations، فسنلاحظ أنه بالنسبة لميكانيزم مستوى ذي سلسلة مفتوحة له مفصلين دورانيين  $2R$  ووصلتين بطول يساوي 3، ولميكانيزم مستوى آخر ذي سلسلة مفتوحة له ثلاثة مفاصل دورانية  $3R$  وله ثلاثة وصلات بطول يساوي 2 (انظر الشكل 2.14 (b)), نلاحظ أنهما يملكان نفس فضاء المهمة على الرغم من الاختلاف فيما بينهما من حيث فضاء الهيئة.



الشكل 2.14: أمثلة عن فضاءات المهمة لروبوتات متنوعة: (a) روبوت مستوى ذو سلسلة مفتوحة مكون من مفصلين دورانيين  $2R$  (b) روبوت مستوى ذو سلسلة مفتوحة مكون من ثلاثة مفاصل دورانية  $3R$  (c) روبوت فضائي مكون من مفصلين دورانيين  $2R$  (d) ميكانيزم التوجيه (المعصم) المكون من ثلاثة مفاصل دورانية  $3R$ .

ويمكننا القول أيضاً أن أي ميكانيزم لهما نفس فضاء الهيئة يمكن أن يكون لهما فضائي مهم مختلفين. فعلى سبيل المثال، لنفترض أن نقطة الطرف هي النهاية العاملة ولنهمل الاتجاهات لها، فسنلاحظ أن ميكانيزم السلسلة المفتوحة المكون من مفصلين دورانيين  $R_2$  والموضع في الشكل (2.14(a)) يمتلك فضاء مهم على هيئة قرص مستوي، في حين أن ميكانيزم السلسلة المفتوحة الذي يحتوي أيضاً مفصلين دورانيين  $R_2$  والموضع في الشكل (2.14(c)) يمتلك فضاء مهم على شكل كرة. وبطريقة مماثلة، فإن ميكانيزم السلسلة المفتوحة المحتوي على ثلاثة مفاصل دورانية  $3R$  كما في الشكل (2.14(b)) يمتلك فضاء مهم على شكل قرص مستوي، في حين أن ميكانيزم السلسلة المفتوحة الذي يحتوي على ثلاثة مفاصل دورانية  $3R$  والمبين في الشكل (2.14(d)) يمتلك فضاء مهم يشمل كل الاتجاهات الممكنة في الفضاء.

### المثال 2.7. روبوت SCARA المبين في الشكل (2.15):



الشكل 2.15: روبوت SCARA

وهو روبوت ذو سلسلة مفتوحة مكون من ثلاثة مفاصل دورانية ومفصل تمدي واحد RRRP والمستخدم بشكل واسع كوسيلة لقط ونقل. إن هيئة النهاية العاملة لهذا الروبوت يمكن أن توصف بشكل كامل عن طريق البارامترات الأربع (x,y,z,φ)، حيث (x,y,z) تشير إلى الإحداثيات الديكارتية لموقع نقطة المركز للنهاية العاملة، و φ تشير إلى اتجاه النهاية العاملة للروبوت في المستوى  $y-x$ . ومنه فإن فضاء المهمة له هو  $[0,2\pi] \times [0, R^3]$ .

### المثال 2.8. روبوت صناعي مناور Manipulator قياسي ذو ست مفاصل دورانية 6R:

هذا الروبوت يمكن أن يوظف في تطبيقات عمليات الدهان بالبخ كما هو مبين بالشكل (2.16). تكون فوهة بخ الدهان مربوطة بطرف الروبوت ويمكن اعتبارها النهاية العاملة له. إن الذي يهم

في هذا الروبوت هو معرفة الإحداثيات الديكارتية لفوهة البخ بالإضافة إلى معرفة الاتجاه الذي يتم فيه البخ، أما الدورانات حول محور الفوهة فهي غير مهمة. لذلك يمكن توصيف هيئة الفوهة باستخدام خمسة إحداثيات  $(x,y,z)$  من أجل تحديد الموقع الديكارتي للفوهة، والإحداثيات الكروية  $(\theta,\phi)$  من أجل وصف الاتجاه الذي تقوم به الفوهة بالبخ. وحيث أن الإحداثيات  $(\theta,\phi)$  توصيف الكرة الواحدية Unit Sphere ضمن المجال  $R^3$ ، فإن توصيف فضاء المهمة يمكن أن يعطى بال المجال  $S^2 \times R^2$ ، حيث  $S^2$  تشير إلى الكرة الواحدية ثنائية البعد ضمن المجال  $R^2$ .



الشكل 2.16: ربوت من أجل الدهان بالبخ

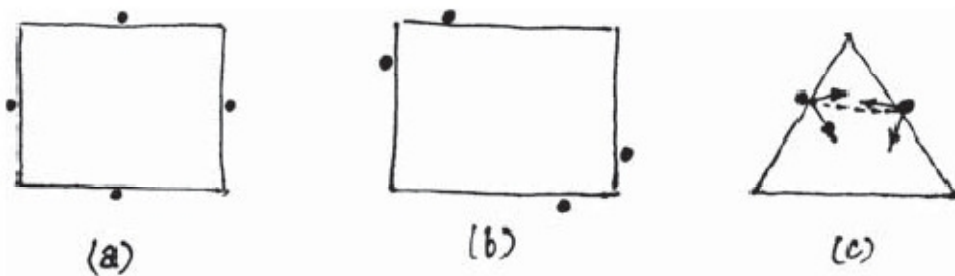
### الفصل الثالث

## التحليل статيكي للمشك

### Grasp Statics

الشكل (3.1) يظهر جسمًا صلباً مسطوياً مقيداً بجموعة من أربعة تمسات نقطية. ويمكننا أن نتخيل أن هذه التمسات النقطية الأربع على أنها أطراف أصابع اليد والتي تقوم بمسك الجسم، مثل هذا التصور يمكن أن نطلق عليه اسم المشك Grasp. ولنقم الآن بطرح السؤال التالي: من الطريقتين المبينتين في الشكل (3.1) (a) و (b)) لمسك الجسم باستخدام أربعة تمسات نقطية، أي منها هو الأكثر استقراراً من حيث قابلية مقاومة إى قوى وعزم خارجية اعتباطية يمكن أن تطبق على الجسم الممسوك؟

ومن الواضح أنه في حال وجود تأثير الاحتاك Friction والذي يظهر في مناطق التمسات، فإن ذلك يمكن أن يساعد على جعل الموضوع أكثر وضوحاً. ومن البديهي القول أنه من الممكن أن نمنع حركة الجسم Immobilizing باستخدام نقاط تمسك عديمة الاحتاك Frictionless متوفرة لدينا بعدد كافٍ ومتوسطة بالشكل المناسب. وستقوم الآن الحالة عديمة الاحتاك بعذابة أكثر. ففي المشك المبين في الشكل (a)، إن أي عزم مطبق حول مركز الجسم يمكن أن يسبب دوران متناهٍ في الصغر Infinitesimal في المستوى. من جهة أخرى، فإن المشك المبين في الشكل (b)، يبدو أفضل من حيث قابلية تحمل أية قوى وعزم خارجية. وإذا تخيلنا الأمر على أنه تم تثبيت التمسات بحيث تتوضع مع وجود بعض الخلوصات الصغيرة بينها وبين الجسم بحيث تسمح للجسم بالترنح wiggle قليلاً، فإن المشك في الشكل (a) سيبدو أكثر حساسية للعزم والقوى الخارجية، ولهذا سيكون أكثر عرضة للإزاحات Displacement الغير مرغوب فيها للجسم بالمقارنة مع المشك في الشكل (b).



الشكل 3.1: (a) و (b) جسم صلب مسطوٍ مقيد بأربعة قيود تمسية عديمة الاحتاك. (c) جسم صلب مقيد بنقطتي تمس مع وجود الاحتاك. تؤثر الجاذبية باتجاه الأسفل.

والآن لنفترض أن هذه التمسات هي بمثابة أطراف أصابع اليد التي تمسك جسمًا، فإذا لم يكن هناك وجود ل الاحتاك في كل نقطة تمس، فإن أطراف الأصابع يمكنها أن تطبق قوى دفع بحيث تكون عمودية على أسطح الجسم في نقاط التمس. أما إذا كان الاحتاك موجوداً، فإن أطراف

الأصابع يمكنها الآن أن تطبق قوى في اتجاه غير عمودي على الأسطح ضمن حدود زاوية محددة مقاسة من النظام العمود على السطح في نقطة التماس (مقدار هذه الزاوية يعتمد كمية الاحتكاك الحاصل، فكلما كان الاحتكاك الحاصل أكبر، كلما كانت هذه الزاوية أكبر). وإذا كانت أطراف الأصابع قادرة على توليد قوى في أماكن التماس تستطيع مقاومة القوى أو العزوم الخارجية المطبقة على الجسم، فإننا نستطيع أن نقول أن الجسم واقع تحت تأثير قوى إغلاق Force Closure، وعملية المسك هذه هي عبارة عن مسك بقوى الإغلاق Grasp Closure. وإذا كانت نقاط التماس متوضعة بحيث تجعل أية امكانية لحركة الجسم مستحيلة، فإننا نقول أن الجسم يقع في حالة إغلاق Form Closure.

إن كل حالات الإغلاق في عملية المسك هي في الحقيقة تعتبر واقعة تحت تأثير قوى الإغلاق، لكن العكس ليس صحيحاً دائماً، على سبيل المثال، في الشكل (3.1)، فإن إصبعين مع نقاط تماس بوجود احتكاك تستطيع أن تمسك الجسم المستطيل بوجود تأثير الجاذبية (تأثيرها نحو الأسفل)، بمعنى آخر، لو أن المحركات المسئولة عن توليد القوى في الأصابع لم تقدم القدر الكافي من القوة، فإن الجسم المستطيل يمكن أن يسقط على الرغم من أن المسك يحدث تحت تأثير قوى إغلاق.

وفي هذا الفصل سوف نبحث في الطرق التي تحدد فيما إذا كانت عملية المسك هي فعلاً تشكّل قوى إغلاق على الجسم أم لا. ويجب علينا أن نأخذ بعين الاعتبار أن الأجسام التي نريد مسکها يجب أن يتم احتسابها على أنها أجسام صلبة، وفقط عمليات المسك التي يمكن نمذجتها على أنها مجموعة من نقاط التماس سوف تؤخذ بعين الاعتبار. وقد يبدو هذا للوهلة الأولى تقيداً أو حصاراً للدراسة، فبعض أنواع التماسات (مثل التماسات الخطية أو السطحية) يمكن عدها في بعض التطبيقات على أنها مجموعة من نقاط التماس.

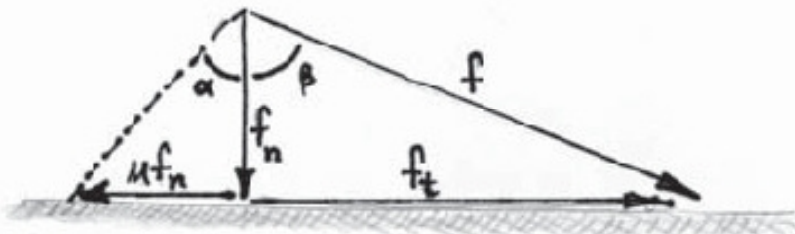
إن الشروط التي تحقق تأثير قوى الإغلاق تتبع بشكل مباشر إلى معادلات التوازن статики للقوى والعزوم. وتحليل قوى الإغلاق في نهاية الأمر يتخلص بالسؤال عن وجود حلول للمعادلة الخطية من النمط  $b = Ax$ ، مع عدم إهمال أي تأثير للدوران (الناشئ من العزم) مهما كان صغيراً. وما سيتم الوصول له بصورة رئيسية في هذا الفصل هو عبارة عن مجموعة من الإجراءات الحسابية و الهندسية لتحديد فيما إذا كانت عملية المسك تقع تحت تأثير قوى إغلاق أم لا. وسنبدأ هذا الفصل بدراسة نماذج التماس متعددة بتحليل عمليات المسك عديمة الاحتكاك وعمليات المسك بوجود الاحتكاك.

### 3.1. نماذج التماسات:

سوف نفرض هنا أن جميع الأجسام هي أجسام صلبة، وسنعتمد على قانون كولوم<sup>4</sup> Coulomb في الاحتكاك لنمذجة التماس في حالة الاحتكاك. لنفترض أن القوة  $f$  مطبقة على نقطة ما كما في الشكل (3.2). فإذا لم هناك وجود للانزلاق عند نقطة التماس، فإن قانون كولوم Coulomb ينص على أن المركبة المماسية للقوة والمشار إليها  $-f$ ، ستكون متعلقة بالمركبة الناظمة المشار إليها  $-f_n$  بالعلاقة التالية:

<sup>4</sup> ينص قانون كولوم في الاحتكاك الجاف على أن الاحتكاك في حالة الحركة ليس له علاقة بسرعة الانزلاق.

$$|f_t| \leq \mu |f_n| \quad (3.1)$$



الشكل 3.2: المركبین المماسیة والناظمیة لـلقویة المطبقة. لمنع حدوث الانزلاق، الزاویة  $\beta$  يجب أن لا تكون أكبر من الزاویة  $\alpha$ .

حيث  $\mu$  هو عامل الاحتكاك Coefficient of Friction. ومعامل الاحتكاك  $\mu$  هو برمتر غير بعدي يتعلق بمادة سطحي التماس. وعندما يكون  $0 = \mu$  فإن هذا يدل على عدم وجود تأثير للاحتكاك، ولكن أي قيمة أكبر من ذلك  $\mu > 0$  تدل على وجود الاحتكاك وبازدياد هذه القيمة يزداد تأثير الاحتكاك. قيمة معامل الاحتكاك  $\mu$  بصورة عامة من أجل بعض المواد تتراوح بين 0.1 و 1. وحادثة الانزلاق تحدث عندما يكون  $|\mu f_n| < |f_t|$ ، حيث قوة الاحتكاك  $\mu f_n$  تتجه بعكس اتجاه الحركة.

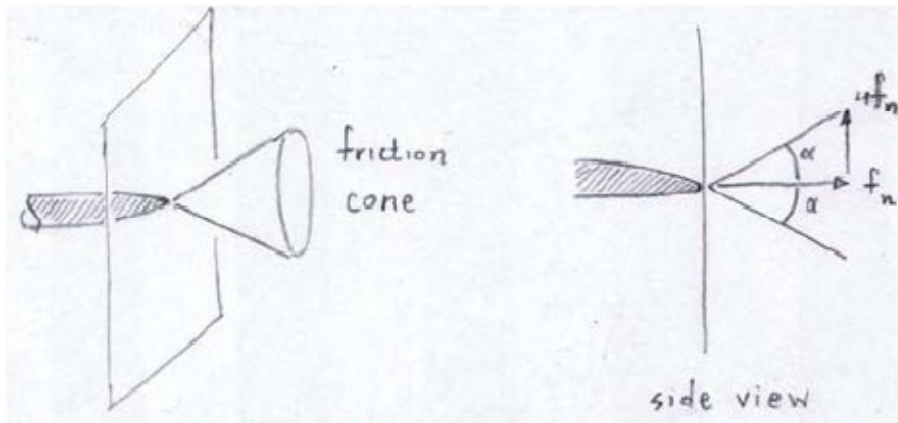
وهناك ظاهرة أخرى يجب أن تكون ملولة تحدث حالما يبدأ الانزلاق، وهي أن قوة الاحتكاك المقاومة للحركة والتي تمثل إلى التقليل من تأثير مقاومة الاحتكاك عادة ما تكون ذات قيمة أكبر قبل حدوث الانزلاق. وبأخذ هذا الاختلاف في الحسبان، فإنه أحياناً يستخدم معاملان للاحتكاك: معامل الاحتكاك статیکی (السكنوي)  $\mu_s$  و ذلك عندما يكون الجسم ثابتاً، ومعامل الاحتكاك کینماتیکی (الحركي)  $\mu_k$  وذلك عندما يتحرك الجسم، حيث  $\mu_k \leq \mu_s$ .

إن الآلية التي تتم بها عملية الاحتكاك، والتي تتميز بطبيعة مايكروسکوبية، هي في غاية التعقيد ومن الصعب نمجتها. وهناك نماذج مطورة لآلية الاحتكاك تأخذ في الحسبان عدة عوامل كسرعة الانزلاق، أو مدة البقاء في وضع التماس стاتیکی قبل البدء بالانزلاق. وفي هذا الفصل لن نتطرق لهذه النماذج المطورة، وبدلاً من ذلك سنعمل على دراسة معامل احتكاك وحيد هو معامل الاحتكاك стاتیکی ذي الرمز  $\mu$ ، والذي يفي بغرض الفصل هذا بشكل جيد من أجل المواد الصلبة والجافة والتي تتشكل بشكل عام التكوين الأساسي للجسم الصلب.

إن شرط عدم الانزلاق  $|\mu f_n| \leq |f_t|$  يمكن يلاحظ بشكل هندسي. بالعودة إلى الشكل (3.2)، فلمنع قيمة القوة المماسية  $f_t$  من الزيادة بحيث لا تتجاوز مقدار قوة الاحتكاك  $|\mu f_n|$ ، فإن الزاویة  $\beta$  يجب أن تكون أكبر من الزاویة  $\alpha$ . وبعبارة أخرى، يمكن القول أن القوة المطبقة يجب أن تكون واقعة ضمن مخروط زاويته  $2\alpha$ ، حيث  $\alpha$  تعطى بالعلاقة:

$$\alpha = \tan^{-1} \mu \quad (3.2)$$

وبدلاً من تشخيص الاحتكاك بالاعتماد على معامل الاحتكاك  $\mu$ , فإننا في هذا الفصل سوف نلجأ لتشخيص الاحتكاك عن طريق مخروط الاحتكاك. ومخروط الاحتكاك بالنسبة للجسم الصلب الفراغي (الفضائي) موضح بالشكل (3.3).



الشكل 3.3: مخروط الاحتكاك في حالة التماس النقطي للجسم الفضائي.

واعتماداً على ما سبق، نستطيع الآن شرح الألية الثالثة للتماسات:

- **نقطة التماس عديمة الاحتكاك** وذلك عندما لا يكون هناك أي احتكاك بين طرف الإصبع والجسم. وفي هذه الحالة يكون  $0 = \mu$ , والقوى يمكن أن تطبق فقط في اتجاه عمودي على سطح الجسم.
- وفي حالة نقطه التماس مع وجود الاحتكاك، فإن أية قوى تماس تقع ضمن مخروط الاحتكاك لن تتسبب في حدوث الانزلاق عند نقطة التماس. فإذا افترضنا أن المحور  $\hat{z}$  لجملة المحاور الإحداثية المرجعية هو باتجاه الناظم على سطح التماس، فإنه يمكن التعبير عن قوة التماس في جملة المحاور هذه بـ  $f = (f_x, f_y, f_z)$ , ومخروط الاحتكاك في هذه الحالة يمكن التعبير عنه وبالتالي:

$$\left\{ f \in R^3 \mid \sqrt{f_x^2 + f_y^2} < |\mu f_z| \right\} \quad (3.3)$$

- في حالة نموذج تماس الإصبع الناعم، فليس المسموح فقط هو أن تطبق القوى ضمن مخروط الاحتكاك، وإنما أيضاً يسمح للعزوم أن تطبق حول ناظم سطح التماس. وهذا مشابه لحالة إصبع الإنسان، حيث إن سطح صغير من طرف الإصبع يكون في حالة تماس مع الجسم مما يسمح بتطبيق عزم حول ناظم سطح التماس. وبشكل مماثل لنموذج كولوم Coulomb لاحتكاك، فإن نموذجاً لعزم الاحتكاك يمكن أن يتم الحصول عليه باستخدام معامل الاحتكاك اللتوائي Torsional Friction Coefficient  $\gamma$ . وفي هذه الحالة فإن مخروط الاحتكاك يعبر عنه بالعلاقة:

$$\left\{ f \in R^3 \text{ and } \tau \in R: \sqrt{f_x^2 + f_y^2} < \mu |f_z| \text{ and } |\tau| \leq \gamma |f_z| \right\} \quad (3.4)$$

حيث  $f = (f_x, f_y, f_z)$  معرفة في نفس حملة المحاور الإحداثية المستخدمة سابقاً. وعلى الرغم من أننا لن ننطرق لهذا النموذج للإصبع الناعم في هذا الفصل، لكننا ذكرناه هنا من أجل إكمال الموضوع.

### 3.2. المسك عديم الاحتكاك:

#### 3.2.1. التوازن статики وتأثير قوى الأغلاق:

لنفرض أن لدينا جسمًا صلبة بحيث يكون على تماس مع عدد  $n$  من التماسات الثابتة عديمة الاحتكاك. فإذا تم تطبيق قوة ما على الجسم، فإن نقاط التماس سوف تبذل ردة فعل ما على الجسم. ولأن نقاط التماس هي عديمة الاحتكاك، فإن أي رد الفعل سوف يتم بذله باتجاه النظام على سطح الجسم (وهنا لا حاجة للقول بأن القوة المتولدة هي قوة دفع، لأن قوة السحب غير مسموحة).

ويمكننا القول بشكل أدق أنه إذا اخترنا جملة محاور إحداثية مثبتة في جسم ما، واعتبرنا أن القوة  $\mathbf{f}_{ext} \in \mathbb{R}^3$  والعزم  $\mathbf{m}_{ext} \in \mathbb{R}^3$  هما عبارة عن القوة والعزم الخارجي المطبقان على الجسم بالترتيب. وإذا اعتبرنا أن  $\mathbf{r}_i \in \mathbb{R}^3$  تشير إلى الشعاع من مبدأ جملة المحاور الإحداثية الثابتة إلى التماس  $i$ . وأيضاً إذا اعتبرنا أن  $\mathbf{R}^3 \in \mathbf{n}_i$  هو عبارة عن شعاع الواحدة للنظام على السطح والذي يشير إلى اتجاه القوى التي يتم تطبيقها على التماس  $i$ ، حيث  $i=1, \dots, n$ ، فإن كل قوة  $\mathbf{f}_i$  يمكن التعبير عنها بالشكل  $\mathbf{f}_i = \mathbf{x}_i \hat{\mathbf{n}}_i$ ، حيث  $\mathbf{x}_i$  هو عدد غير سالب يصف مقدار القوة المطبقة على التماس  $i$ . وبالتالي فإن الجسم الصلب يكون تحت تأثير قوى إغلاق إذا كانت هناك مجموعة من قوى التماس الناظمية تحقق التوازن статики. أي أنه يجب أن يكون هناك عدد  $n$  من مقادير القوى (غير السالبة)  $x_1, \dots, x_n$  بحيث يتم تحقيق معادلات التوازن التالية:

$$\mathbf{f}_{ext} + \sum_{i=1}^n x_i \hat{\mathbf{n}}_i = 0 \quad (3.5)$$

$$\mathbf{m}_{ext} + \sum_{i=1}^n x_i (\mathbf{r}_i \times \hat{\mathbf{n}}_i) = 0 \quad (3.6)$$

و هذه المعادلات يجب أن تتحقق من أجل أية قوى وعزوم خارجية  $\mathbf{f}_{ext}$  و  $\mathbf{m}_{ext}$ . فإذا كان هناك مثل مجموعة قوى التماس تلك، فإن الجسم يمكنه وبالتالي تحمل أية قوى وعزوم خارجية، وسيكون في حالة توازن ستاتيكي.

وإذا كان الجسم مقيداً بشكل كامل بحيث يكون غير قادراً على الحركة بوساطة نقاط التماس وبغض النظر عن قوى التماس، حينها يمكننا القول أن الجسم يقع في حالة إغلاق Closure. وكل عملية مسك تكون واقعة في حالة إغلاق هي في الحقيقة واقعة أيضاً تحت تأثير قوى إغلاق Force Closure، ولكن بالمقابل، فإن عملية المسك الواقعة تحت تأثير قوى إغلاق ليست بالضرورة أن تكون واقعة في حالة إغلاق. وسنرى لاحقاً أنه من أجل عمليات المسك، حيث تكون جميع نقاط التلامس غير احتكاكية، والتي تكون واقعة تحت تأثير قوى إغلاق يمكن لها أن تكون واقعة في حالة إغلاق.

### 3.2.2. مثال توضيحي لحالة مستوية:

إلى الآن قمنا بتحديد خصائص التوصيف الرياضي لحالة تأثير قوى الإغلاق دون وجود الاحتكاك اعتماداً على معادلات التوازن статики للقوى والعزوم، ولكن دون أن نتطرق إلى الإجراء الحسابي من أجل تحديد فيما لو كانت عملية المسك بدون وجود الاحتكاك واقعة تحت تأثير قوى إغلاق أو لا. وخطوة وسيطة تمكنا من الوصول إلى صيغة أو إجراء عام، فلنحاول أن نحدد فيما إذا كان الجسم المستطيل المستوى المبين بالشكل (3.4)، الواقع ضمن أربع نقاط تماس عديمة الاحتكاك، خاضع لعملية مسک تحت تأثير قوى إغلاق. باختيار جملة محاور إحداثية ثابتة كما هو مبين في الشكل، فإنه يمكن لمركبات كل قوة رد فعل عند نقطة التماس  $f_i \in R^2$ ,  $i=1, \dots, 4$ ، أن تكتب بالشكل التالي:

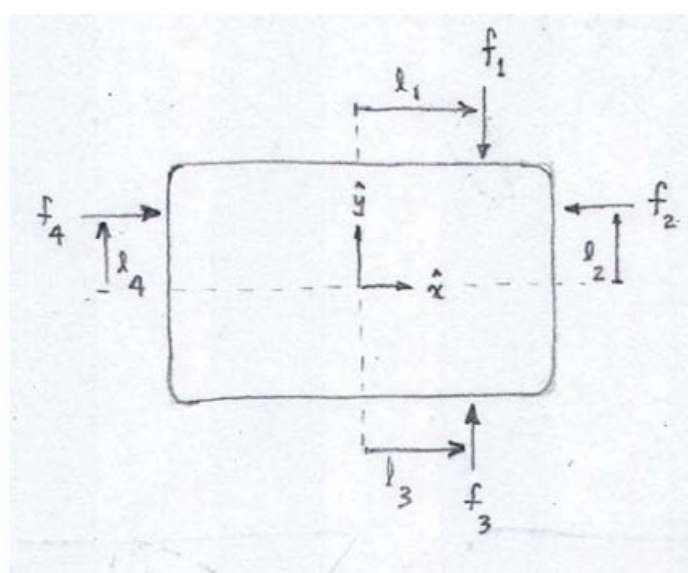
$$f_1 = \begin{bmatrix} 0 \\ -1 \end{bmatrix} x_1, \quad f_2 = \begin{bmatrix} -1 \\ 0 \end{bmatrix} x_2, \quad f_3 = \begin{bmatrix} 0 \\ 1 \end{bmatrix} x_3, \quad f_4 = \begin{bmatrix} 1 \\ 0 \end{bmatrix} x_4 \quad (3.7)$$

حيث  $x_i \geq 0$ ,  $i = 1, 2, 3, 4$  هي قيم غير سالبة وذلك لأن قوة الدفع هي فقط التي يتم تطبيقها. والقوى الناتجة المطبقة على الجسم هي وبالتالي:

$$\sum_{i=1}^4 f_i = \begin{bmatrix} x_4 - x_2 \\ x_3 - x_1 \end{bmatrix} \quad (3.8)$$

في حين أن العزم الناتج المطبق على الجسم هو:

$$\sum_{i=1}^4 r_i \times f_i = \begin{bmatrix} 0 \\ 0 \\ -x_1 l_1 \end{bmatrix} + \begin{bmatrix} 0 \\ 0 \\ x_2 l_2 \end{bmatrix} + \begin{bmatrix} 0 \\ 0 \\ x_3 l_3 \end{bmatrix} + \begin{bmatrix} 0 \\ 0 \\ -x_4 l_4 \end{bmatrix} \quad (3.9)$$



الشكل 3.4: جسم صلب على شكل مستطيل مقيد بوساطة أربع نقاط تماس عديمة الاحتكاك.

وبسبب كون المركبة على المحور  $z$  لشعاع العزم الناتج هي المركبة الوحيدة الغير معودمة، فإننا من الآن وصاعداً سوف نكتب معادلات العزوم بالنسبة لحالات المساك المستوية على شكل معادلة عدديّة.

والآن، لكي يكون الجسم الصلب تحت تأثير قوى إغلاق، فإن محصلة القوى والعزوم الناتجة يجب أن تقاوم أي قوة أو عزم خارجي مطبق على الجسم. وهذا يعني أنه يجب أن يكون هناك قيم عدديّة غير سالبة  $0 \geq x_1, \dots, x_4$  بحيث محصلة هذه القوى في المعادلة (3.8) تفني أي قوة خارجية مطبقة  $R^2 \in f_e$ . والعزوم المحصل الناتج في المعادلة (3.9) أيضاً يفني أي عزم خارجي مطبق  $R \in m_e$ . وبتعريف الشعاع  $b$  حيث  $b = (-f_e, -m_e) \in R^3$ ، فإن إحداثيات القوى التي تسبب تأثير الأغلاق يمكن أن تكتب بشكل خطى من النمط  $Ax = b$ :

$$\begin{bmatrix} 0 & -1 & 0 & 1 \\ -1 & 0 & 1 & 0 \\ -l_1 & l_2 & l_3 & -l_4 \end{bmatrix} \begin{bmatrix} x_1 \\ x_2 \\ x_3 \\ x_4 \end{bmatrix} = \begin{bmatrix} b_1 \\ b_2 \\ b_3 \end{bmatrix} \quad (3.10)$$

فإذا كان الحل الغيرالسالب  $x \in R^4$  موجوداً لجميع قيم  $b \in R^3$ ، عندما يمكننا القول أن المساك يقع تحت تأثير قوى إغلاق.

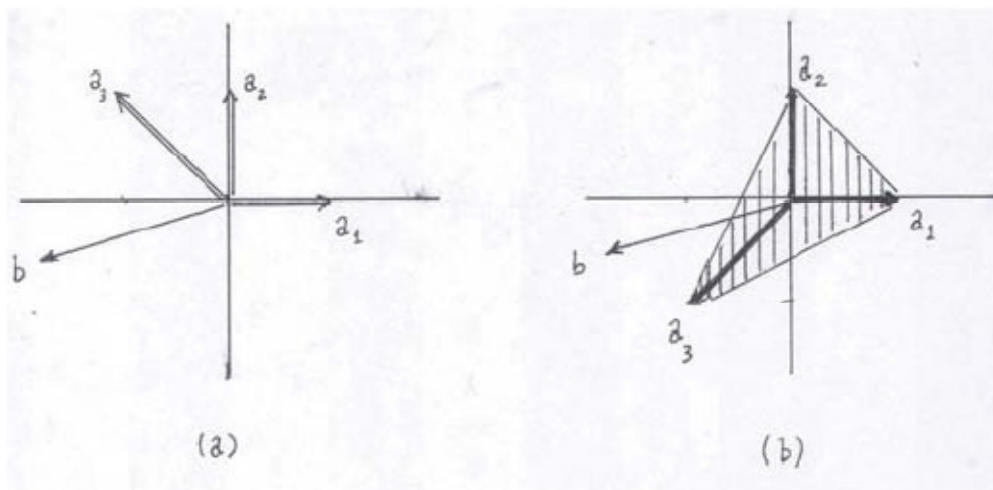
ويمكن بدلأً من إيجاد قيمة  $0 \geq x$ ، فإنه بكل بساطة يمكن تحديد فيما إذا الحل للمعادلة  $Ax = b$  موجوداً من أجل جميع قيم  $b$ ، حيث يكفي أن نتحقق من أن جميع أعمدة المصفوفة  $A$  تشمل كامل المجال  $R^3$ ، أو بصورة مكافئة، أن نتحقق أن المصفوفة  $A$  تمتلك الرتبة الأعظمية (في هذه الحالة هي 3). وعلى كل حال فإن السؤال المتعلق بوجود مجموعة الحلول يصبح أقل سهولة عندما يكون قيد عدم السلبية  $0 \geq x$  مفروضاً.

وبغية إيجاد الجواب للسؤال حول إمكانية وجود مجموعة الحلول، لنفترض أن لدينا نفس المسألة لكن بشكل أخفض من حيث مرتبة الأبعاد:

$$\begin{bmatrix} 1 & 0 & -1 \\ 0 & 1 & 1 \end{bmatrix} \begin{bmatrix} x_1 \\ x_2 \\ x_3 \end{bmatrix} = \begin{bmatrix} b_1 \\ b_2 \end{bmatrix} \quad (3.11)$$

حيث  $A \in R^{2 \times 3}$  و  $x \in R^3$  و  $b \in R^2$ . وبتسمية الأعمدة الثلاثة للمصفوفة  $A$  بـ  $a_1, a_2, a_3 \in R^2$  فإن المعادلة (3.11) يمكن كتابتها بالشكل التالي:

$$a_1 x_1 + a_2 x_2 + a_3 x_3 = b \quad (3.12)$$



الشكل 3.5: مثال مبسط: (a) من أجل  $b \in \mathbb{R}^3$  المعطاة في هذا الشكل، فإنه ليس هناك وجود لحل غير سالب  $x \in \mathbb{R}^3$ ،  
(b) يوجد حل غير سالب  $x \in \mathbb{R}^3$  موجود من أجل أي  $a \in \mathbb{R}^2$ .

فإذا أفترضنا الشعاع  $b$  كما هو مبين في الشكل (3.5(a)), فمن الواضح لنا أنه ليس هناك حل غير سالب  $x \in \mathbb{R}^3$  موجود، حيث أن الشعاع  $b$  يقع خارج الحيز المحصور بين التراكيب الخطية غير السالبة للأعمدة  $\{a_1, a_2, a_3\}$  (عني بالتركيبة الخطية غير السالبة أن جميع أوزان  $x_i$  في المعادلة (3.12) ليست سالبة). ولكن من جهة أخرى، إذا قمنا باستبدال العمود الثالث في المصفوفة  $a_3$  ووضعنا بدلاً منه  $(-1, -1, -1)$  (انظر الشكل 3.5(b))، فمن الواضح أن مجموعة التراكيب الخطية غير السالبة  $\{a_1, a_2, a_3\}$  هي فعلاً تشغّل كامل المجال  $\mathbb{R}^2$ . في هذه الحالة، فإنه من الممكن دائماً أن نجد من أجل جميع  $x \in \mathbb{R}^3$  حل غير سالب  $b \in \mathbb{R}^2$  حيث تتحقق المعادلة  $Ax = b$ .

وهناك طريقة هندسية أخرى من أجل تشخيص هذا الشرط عن طريق مثلث رؤوسه تعطى من خلال الأعمدة  $\{a_1, a_2, a_3\}$  (انظر الشكل (3.5)). حيث ليس من الصعب أن نستنتج أن الحل الغير السالب المعطى  $b \in \mathbb{R}^2$  موجود إذا وفقط إذا كان مبدأ الأحداثيات يقع ضمن المثلث (ويجب أن ننتبه أنه يجب أن يقع داخل المثلث وليس على محيطه).

بالعودة إلى مثالنا الأصلي الذي يدور حول الجسم مستطيل الشكل، وبالقياس نسبة للسابق، يمكننا أن نخمن منطقياً أنه وفقاً لعملية المسك في الشكل (3.4) فإن هذا المسك يمكن عده أنه واقع تحت تأثير قوى إغلاق إذا كانت التراكيب الخطية الغير سالبة للأعمدة المصفوفة  $R^{3 \times 4} \in A$  في المعادلة (3.10) تشمل كامل الحيز الفراغي  $\mathbb{R}^3$ . وبشكل مكافئ يمكن القول، أن رباعي الوجه Tetrahedron في المجال  $\mathbb{R}^3$  والذي رؤوسه معطاة بأعمدة المصفوفة  $A$  يجب أن يضم بشكل كامل مبدأ المحاور الإحداثية، أي أن مبدأ الإحداثيات يجب أن يقع داخل رباعي الوجه. وواحدة من أهم النتائج التي يمكن أن نستخلصها من هذا التشخيص أنه يلزمنا على الأقل أربع نقاط تلامس عديمة الاحتكاك من أجل دراسة الحالة المستوية لتأثير قوى الإغلاق.

وبالمتابعة في نفس المثال للجسم المستطيل السابق، ففي حال كون الأبعاد  $l_1, l_2, l_3$  موجبة، فإنه بإمكاننا أن نرسم رباعي الوجه المتشكل من أعمدة المصفوفة  $A$  وأن تتحقق أن مبدأ الإحداثيات

يقع فعلاً في داخله. وإذا كانت الأبعاد السابقة مساوية للصفر ، عندها فإن المصفوفة A ستكون في هذه الحالة:

$$\begin{bmatrix} 0 & -1 & 0 & 1 \\ -1 & 0 & 1 & 0 \\ 0 & 0 & 0 & 0 \end{bmatrix} \quad (3.13)$$

وهنا نلاحظ أن رباعي الوجوه السابق، ينقلب إلى مصلع مستوي محدد بالقيم التالية { (1,0), (-1,0), (0,1), (0,-1) }. وبسبب أن رباعي الوجوه لم يعد ثلاثي الأبعاد، فإنه لا يمكن عد مركز الإحداثيات واقعاً ضمنه. والمعنى الفيزيائي لذلك، أن الجسم سوف يكون غير قادرًا على مقاومة أي عزم مطبق على الجسم.

### 3.2.3. اختبار الغلاف المحدب Convex Hull لتأثير قوى الإغلاق:

رأينا في الفقرة السابقة أنه من أجل الأجسام الصلبة في الحالة المستوية، فإنه يلزمنا على الأقل أربع نقاط تمس عديمة الاحتكاك من أجل الوصول بالجسم لحالة يمكن أن نقول خلالها أنه واقع تحت تأثير قوى إغلاق. ولنقم الآن بصياغة الشرط الذي يتحقق فيه تأثير قوى الإغلاق وذلك من أجل الأجسام الصلبة في الحالة الفضائية بشكل عام. إن الجواب على السؤال فيما إذا كانت عملية المسك تقع تحت تأثير قوى إغلاق يمكن يتحول إلى مسألة معادلة خطية  $b = Ax$ ، وذلك من أجل قيمة  $L$ . وللهذا الصدد، سو نبدأ ببعض النتائج المتعلقة بهذا السؤال. فإذا كانت لدينا المعادلة  $Ax = b$  حيث يكون فيها  $x \in R^n$  و  $A \in R^{m \times n}$  حيث  $m < n$  و  $b \in R^m$ . فإن السؤال الدقيق الذي نريد البحث عن جوابه هو: ما هي الشروط التي يجب على المصفوفة A أن تتحققها بحيث يكون هناك حلولاً غير سالبة من أجل أي قيمة  $L$ .

والجواب على هذا السؤال هو أن التراكيب الخطية غير السالبة الناشئة من أعمدة المصفوفة A يجب أن تشمل كامل الحيز  $R^m$ . وذلك من أجل أي قيمة  $L$ . أي أنه يجب أن يكون هناك أوزان عديمة غير سالبة  $x_1, x_2, \dots, x_n \geq 0$  بحيث يكون:

$$a_1x_1 + a_2x_2 + \dots + a_nx_n = b \quad (3.14)$$

حيث أن كل  $a_i \in R^m$ ،  $i = 1, \dots, n$ ، تشير إلى العمود ذي الرقم  $i$  من المصفوفة A. ولن نقوم برهان رياضي دقيق لهذه النتيجة، ولكن يمكننا أن نرى بكل وضوح أن النتائج التي حصلنا عليها سابقاً في الحالة المستوية يمكن أن تقودنا إلى هذه النتيجة مباشرة. وأيضاً، وكما في المثال في الحالة المستوية، فإن الجواب للسؤال المطروح يمكن أن يشخص بشكل هندسي عن طريق معرفة إذا كان مبدأ الإحداثيات يقع داخل متعدد وجوه Polyhedron في الحيز  $R^n$ .

ولإقرار هذا الشرط الهندسي المكافئ وبشكل دقيق، سوف نحتاج أولاً لتعريف مفهوم الغلاف المحدب Convex Hull. فإذا كان لدينا مجموعة S مكونة من n شعاعاً في المجال  $R^m$  بحيث:

$$S = \{a_1, \dots, a_n\}, \quad a_i \in R^m, i = 1, \dots, n \quad (3.15)$$

فإن الغلاف المحدب للمجموعة  $S$  هو عبارة عن مجموعة من الترقيبات المحدبة لـ  $\{a_1, \dots, a_n\}$ , أي:

$$\text{Convex Hull of } S = \left\{ \sum_{i=1}^n w_i a_i : \sum_{i=1}^n w_i = 1, w_i \geq 0 \text{ for all } i \right\} \quad (3.16)$$

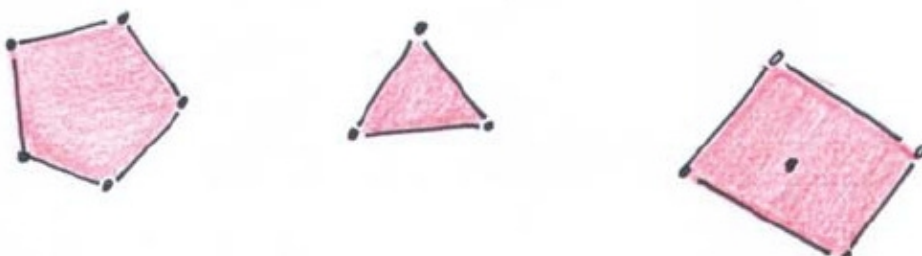
الشكل (3.6) يوضح الغلاف المحدب لمجموعات متنوعة من النقاط في المجال  $R^2$ . والمطلب الذي يتعلق بالترقيبات الخطية الغير السالبة لأعمدة المصفوفة  $A$  بحيث تشمل المجال  $R^m$  يمكن الآن إقراره بالشكل التالي: في مجال بعدي من المرتبة  $m$ , يجب أن تكون هناك كرة في المجال  $R^m$  بحيث يكون مركزها هو مبدأ الإحداثيات وتقع داخل الغلاف المحدب المكون من أعمدة المصفوفة  $A$ .

لنعد الآن إلى السؤال الأساسي المطروح في بداية هذه الفقرة. ليكن لدينا جسمًا صلباً في المجال  $R^3$  مقيد عن طريق عدد  $n$  من نقاط التماس عديمة الاحتكاك. ولتكن  $r_i \in R^3$  يدل على الشعاع من مبدأ إحداثيات جملة المحاور إلى نقطة التماس  $i$ , وعبرًا عنه في جملة المحاور الإحداثية الثابتة، ولتكن لدينا  $\hat{n}_i \in R^3$  يشير إلى الشعاع الناظم على سطح الجسم في نقطة التماس  $i$ , ويكون متوجهًا نحو داخل الجسم. وبافتراض أن الجسم واقع في حالة توازن ستاتيكي، وأنه واقع تحت تأثير قوة خارجية ما  $f_{ext} \in R^2$  و عزم خارجي ما  $m_{ext} \in R^3$  بحيث ينتج منها مجموعة من قوى التماس عند كل نقطة تماس، ولتكن  $f_i \in R^3$  تشير قوة التماس عند التماس  $i$ ، وبسبب أن نقطة التماس يمكن أن يتولد فيها قوى بحيث تكون متوجهة فقط إلى داخل الجسم، فإن كل  $f_i$  يمكن كتابتها بالشكل:

$$f_i = \hat{n}_i x_i \quad (3.17)$$

حيث كل  $x_i \geq 0$  هو مقدار عددي غير سالب. ومعادلة التوازن статيكي (3.5) و (3.6) يمكن كتابتها وبالتالي بالشكل:

$$\begin{bmatrix} n_1 & \cdots & n_n \\ r_1 \times n_1 & \cdots & r_n \times n_n \end{bmatrix} \begin{bmatrix} x_1 \\ \vdots \\ x_n \end{bmatrix} = \begin{bmatrix} -f_e \\ -m_e \end{bmatrix} \quad (3.18)$$



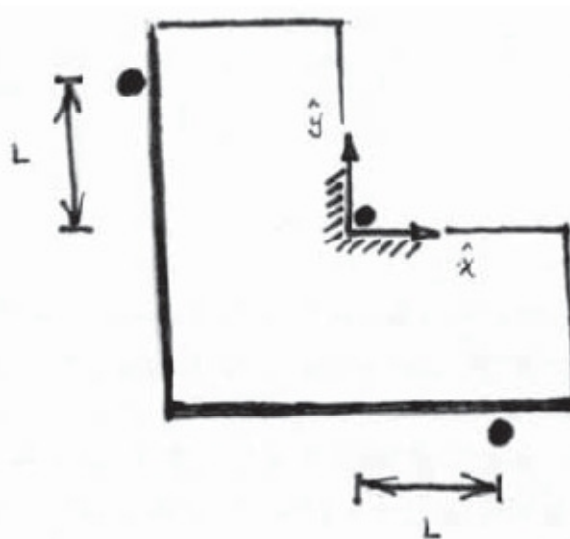
الشكل 3.6: الغلاف المحدب لمجموعات من النقاط في المجال  $R^2$ .

المعادلات في الأعلى هي من النمط  $Ax = b$ , حيث  $A \in \mathbb{R}^{6 \times n}$  و  $x \in \mathbb{R}^n$  و  $b \in \mathbb{R}^6$ . وعملية المسك تكون واقعة تحت تأثير قوى إغلاق إذا كانت هناك من أجل أي قيمة لـ  $b$  قيمة غير سالبة لـ  $x$  بحيث تتحقق المعادلة  $Ax = b$ . وبشكل هندسي، يمكن القول أن عملية المسك واقعة تحت تأثير قوى إغلاق إذا وفقط إذا كانت هناك كرة موجودة في المجال البعدي من المرتبة السادسة بحيث يكون مركزها مبدأ الإحداثيات وتكون واقعة داخل الغلاف المحدب المتشكل من أعمدة المصفوفة  $A$ . وكلا الحالتين تعان شرطاً ضرورياً وكافياً من أجل حالة التأثير بقوى الإغلاق. ونتيجة مباشرة لهذا التشخيص الهندسي في حالة الأجسام الصلبة الفضائية ، فإنه يلزمنا على الأقل سبعة نقاط تلامس غير احتكاكية (أي  $n = 7$ ) حتى نستطيع أن نقول أن المسك يمكن أن يقع تحت تأثير قوى إغلاق.

ومن الواضح أنه ليس أمراً سهلاً أن نرى فيما إذا كانت الكرة تقع داخل الغلاف المحدب أو لا حتى في حال كون  $n = 3$ ، فيكيف إذا كانت  $n = 6$ . في الفقرة التالية سوف نناقش الإجراء الحسابي من أجل ذلك.

#### 3.2.4. الاختبار الحسابي لحالة تأثير قوى الإغلاق:

كما هو ملاحظ من السابق، فإن الاختبار الرياضي من أجل تحديد حالة تأثير قوى الإغلاق يمكن أن يتحول إلى سؤال عن الجبر الخطي فيما إذا كان هناك من أجل أي قيمة لـ  $b$ , حل غير سالب حيث  $Ax = b$ , للمعادلة الخطية  $Ax = b$ , حيث  $A \in \mathbb{R}^{m \times n}$ ,  $m \leq n$ . ففي الحالة التي يكون فيها  $n = m+1$  على سبيل المثال، حالة الجسم المستطيل المستوي مثلاً، يمكن أن نجد أن  $m = 3$  في حين أن عدد التماسات هو  $n = 4$ ، ومن أجل الوصول إلى الحل لهذه الحالة، فإن الحذف على طريقة غاوس - جورдан Gauss - Jordan (اختزال) سيكون مفيداً، وهي طريقة واسعة الانتشار من أجل إيجاد الحلول للمعادلات الخطية من النمط  $Ax = b$  بدون وجود أية قيود على  $x$ .



الشكل 3.7: جسم متساوٍ مقيد بثلاثة نقاط تمسّك عديمة الاحتكاك.

و سنقوم بتوسيع طريقة الاختزال التي اعتمدتها غاووس - جورдан Gauss – Jordan عن طريق مثال. لنفترض أن لدينا عملية المسك الموضحة في الشكل (3.7) والتي فيها يكون الجسم الذي على شكل حرف L مقيداً بثلاثة نقاط تماس عديمة الاحتكاك. و سنقوم بتنبيت جملة محاور إحداثية كما هو مبين في الشكل عند الزاوية الداخلية للجسم. ويمكن أن نلاحظ أن نقطة التماس المتوسطة عند الزاوية الداخلية تستطيع أن تطبق قوى ردود أفعال في كلا الاتجاهين  $\hat{x}$  و  $\hat{y}$ ، ولنقم بتسمية ردود الأفعال هذه  $f_1$  و  $f_2$ ، و ردود الأفعال بالنسبة للتماسين الآخرين هما  $f_3$  و  $f_4$ . ووفقاً لجملة المحاور الإحداثية المثبتة المختارة يمكن أن نكتب:

$$\begin{aligned} f_1 &= \begin{bmatrix} -1 \\ 0 \end{bmatrix} x_1, & f_2 &= \begin{bmatrix} 0 \\ -1 \end{bmatrix} x_2, & f_3 &= \begin{bmatrix} 1 \\ 0 \end{bmatrix} x_3, \\ f_4 &= \begin{bmatrix} 0 \\ 1 \end{bmatrix} x_4 \end{aligned} \quad (3.19)$$

حيث كل  $f_i \in \mathbb{R}^2$ . ولتكن لدينا  $x_i \geq 0$ ,  $i = 1, \dots, 4$ . ولتكن لدينا  $m_{ext} \in \mathbb{R}$  للدلالة على القوة الخارجية، و  $f_{ext} \in \mathbb{R}^2$  للدلالة على العزم الخارجي. وبالتالي فإن تأثير قوى الإغلاق يمكن أن يتم تحديده عن طريق البحث عن وجود حلول غير سالبة  $x \in \mathbb{R}^4$  للمعادلة الخطية التالية:

$$\begin{bmatrix} -1 & 0 & 0 & 0 \\ 0 & -1 & 0 & 1 \\ 0 & 0 & -L & L \end{bmatrix} \begin{bmatrix} x_1 \\ x_2 \\ x_3 \\ x_4 \end{bmatrix} = \begin{bmatrix} -f_{ext,x} \\ -f_{ext,y} \\ -m_{ext,z} \end{bmatrix} \quad (3.20)$$

وذلك من أجل أي قيم لـ  $(f_{ext,x}, f_{ext,y}, m_{ext,z})$ . وبإجراء بعض العمليات الأولية على عناصر صفوف وأعمدة المصفوفات في المعادلة أعلاه، فإن المعادلة يمكن اختزالها إلى أحد أنماط المصفوفات النموذجية echelon المعروفة:

$$\begin{bmatrix} 1 & 0 & -1 & 0 \\ 0 & 1 & 0 & -1 \\ 0 & 0 & 1 & -1 \end{bmatrix} \begin{bmatrix} x_1 \\ x_2 \\ x_3 \\ x_4 \end{bmatrix} = \begin{bmatrix} -f_{ext,x} \\ -f_{ext,y} \\ m_{ext,z}/L \end{bmatrix} \quad (3.21)$$

$$\begin{bmatrix} 1 & 0 & 0 & -1 \\ 0 & 1 & 0 & -1 \\ 0 & 0 & 1 & -1 \end{bmatrix} \begin{bmatrix} x_1 \\ x_2 \\ x_3 \\ x_4 \end{bmatrix} = \begin{bmatrix} f_{ext,x} + m_{ext,z}/L \\ f_{ext,y} \\ m_{ext,z}/L \end{bmatrix} \quad (3.22)$$

وللتذكير فإنه في طريقة اختزال غاووس جورдан Gauss – Jordan، فإن الأصفار تتوضع أعلى وأسفل القطر في المصفوفة، في حين أنه اختزال غاووس فقط فإن الأصفار تكون موجودة

فقط أسفل القطر وليس في أعلىه (ويمكن العودة إلى أي مرجع في الجبر الخطي من أجل تفاصيل أكثر عن هاتين الخوارزميتين). إن المصفوفة  $A$  تم تحويليها بالاختزال إلى نمط نموذجي معروف ولكنها تبقى تعطي نفس الحلول. أي أن أي حل للمعادلة (3.20) هو نفسه يعتبر حلًّا للمعادلة (3.22)، والعكس بالعكس. والعمود الرابع في المصفوفة المختزلة جميع عناصرها تمتلك قيمًا سالبة، والذي يضمن أن الحلول غير السالبة  $x \geq 0$  سوف تكون موجودة من أجل أي قيم معطاة لقوى و العزوم الخارجية. الأمر الذي يجعلنا نقر من ناحية أخرى، أن التراكيب الخطية غير السالبة للعمود الرابع من المصفوفة المختزلة سوف تشمل المجال  $R^3$ ، ولهذا يمكننا الجزم أن عملية المسك تتم تحت تأثير قوى إغلاق.

في المثال السابق، المصفوفة  $A \in R^{m \times n}$  كانت أبعادها هي  $m = 3$  و  $n = 4$ . ونلاحظ أنه في حال كانت  $n > m+1$ ، فإن الأمور تبدو حينها أكثر تعقيداً لنفترض أن المصفوفة  $A \in R^{m \times n}$  بحيث يكون  $n > m+1$ ، هي عبارة عن مصفوفة من المرتبة  $m$ ، ويمكن اختزالها إلى شكل من أشكال المصفوفات النموذجية عن طريق اختزال غاووس - جورдан Gauss - Jordan:

$$[I \quad S] \quad (3.23)$$

حيث  $I \in R^{m \times m}$  هي المصفوفة الواحدية  $m \times m$ ، و  $S \in R^{m \times (n-m)}$ . وفي هذه الحالة، فإن المسك يمكن أن يكون واقعاً تحت تأثير قوة إغلاق إذا كان هناك وجود لتركيبيات خطية موجبة من أعمدة المصفوفة  $S$  بحيث تكون جميعاً عناصرها سالبة القيمة. أي أنه إذا وجد  $0 \geq \omega \in R^{n-m}$  حيث  $\omega = S\omega$  تكون جميع عناصره سالبة، عندها يمكن القول أن المسك يتم تحت تأثير قوى إغلاق.

واستناداً إلى السابق، فإن إحدى الطرق لتحديد فيما إذا كان المسك يتم تحت تأثير قوى إغلاق هو تحويل المسألة لمسألة الحل الأمثل:

$$\min_{\omega, \mu} \mu \quad (3.24)$$

والمتعلقة بالقيود الخطية الغير متساوية  $0 \leq S\omega \leq \mu$ . حيث  $\mu$  هي المصفوفة ذات البعد  $m$  والتي كل عناصرها متساوية لـ 1. وبسبب كون التابع الهدف (أي التابع الذي تتم دراسته وفي حالتنا هو  $\mu$ ) والقيود هي عبارة عن توابع خطية، فإن المسألة هنا والمتعلقة بإيجاد الحل الأمثل تدعى بمسألة برمجة خطية. وتفاصيل هذا النوع من المسائل هو خارج نطاق هذا الكتاب.

وبهذا تكون قد حدثنا الإجراء الحسابي من أجل تحديد فيما إذا كانت عملية المسك من دون احتكاك واقعة تحت تأثير قوى إغلاق أم لا.

### الخوارزمية الحسابية لدراسة تأثير قوى الإغلاق في الحالة الفضائية:

- المعطيات:** لدينا جسم صلب في الحالة الفضائية (الفراغية) مقيد بـ  $n$  نقطة تماس عديمة الاحتكاك، حيث  $7 \geq n$ ، نختار جملة محاور إحداثية مرجعية، ولتكن  $r_i \in R^3$  هي الشعاع من مبدأ الإحداثيات في الجملة الثابتة إلى نقطة التماس  $i$  حيث  $i = 1, \dots, n$ .

- **التهيئة:** ليكن  $\hat{n}_i \in \mathbb{R}^3$  هو الشعاع الناظم على سطح الجسم عند التماس  $i$  بحيث يكون متوجهاً نحو داخل الجسم. وبالتالي نستطيع الآن إنشاء المصفوفة  $A \in \mathbb{R}^{6 \times n}$  التالية:

$$A = \begin{bmatrix} \hat{n}_1 & \cdots & \hat{n}_n \\ r_1 \times \hat{n}_1 & \cdots & r_n \times \hat{n}_n \end{bmatrix} \quad (3.25)$$

- **اختبار تأثير قوى الإغلاق:** إذا كانت رتبة المصفوفة  $A$  أقل من ستة، فإن المسك ليس واقعاً تحت تأثير قوى إغلاق. وإلا، فسنقوم بتحويل المصفوفة  $A$  إلى المصفوفة النموذجية المختزلة التالية:

$$A \rightarrow [I \ S] \quad (3.26)$$

حيث  $I$  هي المصفوفة الواحدية ذات البعد  $m \times m$  و  $S \in \mathbb{R}^{6 \times (n-6)}$ .

- نقوم بحل مسألة البرمجة الخطية التالية:

$$\min_{\omega, \mu} \mu \quad (3.27)$$

المتعلقة بـ  $\mu \geq \mu_{\min}$  و  $0 < \omega < \omega_1$ ، حيث  $\mu_{\min}$  هي عبارة عن نهاية التابع التخمينية عندما تقترب  $\mu$  إلى الصفر، و  $\omega_1$  هي المصفوفة التي تكون جميع عناصرها متساوية للواحد. إذا كان الحل الأمثل لـ  $\mu$  أقل من الصفر، حينها نقول أن عملية المسك تتم تحت تأثير قوى إغلاق. وإذا كان الحل الأمثل لـ  $\mu$  أكبر أو يساوي الصفر، عندها فإن عملية المسك لا تتم تحت تأثير قوى إغلاق.

### 3.2.5. حالة الإغلاق من أجل عمليات المسك عديمة الاحتكاك:

في هذه الفقرة سنرى أن عمليات المسك التي تقع تحت تأثير قوى إغلاق يمكن أن تتشكل أيضاً حالة إغلاق. ويجب أن نتذكر أن المسك يكون في حالة إغلاق إذا كان تموضع نقاط التماس يجعل أي حركة محتملة للجسم مستحيلة. ولأن كل نقطة تماس تقيد بعض الحركات الممكنة للجسم، فمن إحدى الطرق لتحليل حالة الإغلاق، هي أن نقوم بتحديد مجموعة السرعات الخطية والزاوية للجسم والتي تتغلب على قيد السرعة المفروض من قبل التماسات. فإذا كانت هذه المجموعة من السرعات الخطية والزاوية هي المجموعة الصفرية، حينها يمكن القول أن الجسم ثابت وبالتالي يقع في حالة إغلاق.

سوف نخوض أولاً في تفاصيل الدراسة بالنسبة لعمليات المسك المستوية. فليكن لدينا جسم مستويٌ واقع في المستوى  $y-x$  وخاضع لمجموعة من نقاط التماس عديمة الاحتكاك عددها  $n$ ، لنقم باختيار جملة محاور إحداثية مثبتة في الجسم، ولتكن  $(x_i, y_i, 0) = r_i$  تشير إلى إحداثيات نقطة التماس  $i$ . ولتكن  $(n_{i,x}, n_{i,y}, 0) = \hat{n}_i$  تشير إلى الشعاع الناظم على سطح الجسم عند التماس  $i$  والمتجه إلى داخل الجسم. ولفترض أن جملة المحاور الإحداثية المثبتة في الجسم تخضع لسرعة خطية  $(v_x, v_y, 0) = v$  ولسرعة زاوية  $(0, 0, \omega_z) = \omega$ . وبالتالي فإن سرعة الجسم عند التماس  $i$  والمسار إليها  $v_i$  سوف تعطى بـ  $v_i = v + \omega \times r_i$ ، أو يمكن القول:

$$\begin{bmatrix} v_{i,x} \\ v_{i,y} \end{bmatrix} = \begin{bmatrix} v_x - r_{i,y} \omega_z \\ v_y + r_{i,x} \omega_z \end{bmatrix} \quad (3.28)$$

$$\begin{bmatrix} v_{i,x} \\ v_{i,y} \end{bmatrix} = \begin{bmatrix} 1 & 0 & -r_{i,y} \\ 0 & 1 & r_{i,x} \end{bmatrix} \begin{bmatrix} v_x \\ v_y \\ \omega_z \end{bmatrix} \quad (3.29)$$

والقيد على سرعة الجسم الخطية والزاوية والمفروض من قبل التماس  $i$  يعطى بالعلاقة:

$$v_i^T \hat{n}_i \geq 0 \quad (3.30)$$

والذي يمكن أن يكتب بالشكل أيضاً:

$$[n_{i,x} \ n_{i,y} \ r_{i,x}n_{i,y} - r_{i,y}n_{i,x}] \begin{bmatrix} \vartheta_x \\ \vartheta_y \\ \omega_z \end{bmatrix} \geq 0 \quad (3.31)$$

ونحن لدينا  $n$  قيد من النمط  $0 \leq a_i^T x \leq R^3$  حيث  $a_i \in R^3$  معطى لنا، و  $x \in R^3$  يجب أن يتم تحديدها. ونلاحظ أن مثل هذه القيود تحدد لنا نصف الفراغ في المجال  $R^3$  والمحدد بالمستوي  $0 \leq a_i^T x$ . وحتى يكون الجسم في حالة إغلاق، فإن جملة الحلول  $x$  بالنسبة لكل قيد يجب أن تتساوي بشكل منفرد القيمة  $0$ . ولن يكون هذا محققاً: (i) فإن  $n$  يجب أن تكون على الأقل مساوية لـ  $4$  أو أكثر، (ii) الأشعة  $a_i \in R^3$  يجب أن تشمل الفراغ الموجب لكامل  $R^3$  (ويمكن أن نقنع أنفسنا بشكل هندسي بهذه الحقيقة عن طريق تخيل ماذا يمكن أن يحدث إذا كانت  $a_i$  لم تشمل الحيز الموجب من  $(R^3)$ .

لنقم الآن بمقارنة هذه النتيجة مع معادلات التوازن статيكي المتعلقة بتأثير قوى الإغلاق. حيث قوى التماس  $f_i$  يمكن أن يعبر عنها بالشكل  $f_i = x_i \hat{n}_i$ ، ومعادلات تأثير قوى الإغلاق في الحالة المستوى تصبح بالنتيجة:

$$\begin{bmatrix} n_{1,x} & \cdots & n_{n,x} \\ n_{1,y} & \cdots & n_{n,y} \\ r_{1,x}n_{1,y} - r_{1,y}n_{1,x} & \cdots & r_{n,x}n_{n,y} - r_{n,y}n_{n,x} \end{bmatrix} \begin{bmatrix} x_1 \\ \vdots \\ x_n \end{bmatrix} = \begin{bmatrix} b_1 \\ b_2 \\ b_3 \end{bmatrix} \quad (3.32)$$

إن الحل الغير السالب  $x \in R^n$  للمعادلة أعلاه يجب أن يكون موجوداً لأي قيمة  $b \in R^3$ . وهنا نلاحظ أن أعمدة المصفوفة متطابقة مع صفوف الأشعة في المعادلة (3.31). وإذا تذكرنا أيضاً شرط تأثير قوى الإغلاق - بحيث تكون أعمدة المصفوفة  $A$  تشمل بشكل موجب كامل المجال  $R^3$ . فنلاحظ أنه مماثل تماماً لشرط حالة الإغلاق التي ندرسها.

تفاصيل الدراسة من أجل حالة الإغلاق في الحالة الفضائية لعمليات المسك يمكن أن تتم عن طريق تعليم الاستنتاج السابق للحالة المستوى إلى الحالة الفضائية. وهنا سنلاحظ أن معادلات حالة الإغلاق مرتبطة تماماً بمعادلات تأثير قوى الإغلاق، ولهذا فإنه سليم على الأقل سبعة

نقاط تماس غير احتكاكية من أجل الحصول على حالة إغلاق أو الوقوع تحت تأثير حالة إغلاق من أجل الأجسام الفضائية.

### 3.3. المسك بوجود الاحتكاك:

#### 3.3.1. مثال توضيحي لحالة مستوية:

الآن سوف نقوم بدراسة عمليات المسك بالأخذ بالاعتبار وجود تأثير الاحتكاك. وللوضيح الفكرة، لنفترض بداية أنه لدينا جسم مستوي مستطيل الشكل كما هو مبين في الشكل (3.8(a)), بحيث يكون هذا الجسم مقيداً من جانبيه الشاقوليين عن طريق نقطتي تماس مع وجود تأثير الاحتكاك. ولنتذكر من خلال مناقشتنا فيما مضى لنماذج التماسات أن عامل الاحتكاك Friction Coefficient عند نقطة التماس يمكن أن يتم تشخيصه بشكل هندسي بواسطة مخروط الاحتكاك Friction Cone، حيث أن الزاوية الداخلية للمخروط، والمشار إليها بـ  $2\alpha$ ، متعلقة بعامل الاحتكاك  $\mu$  من خلال العلاقة  $\mu = \tan \alpha$ . ولتكن لدينا  $e_1, e_2 \in \mathbb{R}^2$  بحيث يمكن تعريفهما على أنهم الشعاعين اللذين اتجاههما ينطبق تماماً على حافتي مخروط الاحتكاك اليساري، ولنعرف  $e_3, e_4 \in \mathbb{R}^2$  بنفس الطريقة من أجل مخروط الاحتكاك اليميني. وباعتماد جملة محاور إحداثية مرئية مثبتة في مركز الجسم كما هو موضح بالشكل، فإن اتجاهات  $e_i$  يمكن أن تكتب بالشكل التالي:



الشكل 3.8: (a) جسم صلب مستوي مقيد بنقطتي تماس مع وجود الاحتكاك (b) مخطط تحليل القوى.

$$e_1 = \begin{bmatrix} 1 \\ \mu \end{bmatrix}, \quad e_2 = \begin{bmatrix} 1 \\ -\mu \end{bmatrix}, \quad e_3 = \begin{bmatrix} -1 \\ -\mu \end{bmatrix}, \quad e_4 = \begin{bmatrix} -1 \\ \mu \end{bmatrix} \quad (3.33)$$

وبفرض أن قوتي التماس عند نقطتي التماس والمسار إليهما  $f_a$  و  $f_b$  على الترتيب، تتوضعان داخل مخاريط الاحتكاك الخاصة بكل منها، وبالتالي فإن  $f_a$  و  $f_b$  يمكن كتابتها بالشكل:

$$f_a = e_1 x_1 + e_2 x_2 \quad (3.34)$$

$$f_b = e_3 x_3 + e_4 x_4 \quad (3.35)$$

حيث  $0 \leq x_1, \dots, x_4$ . وشرط حدوث تأثير قوى الإغلاق الآن يتبع لمعادلات التوازن الستاتيكي، فمن أجل أية قوة خارجية  $R^2 \in f_e$  و عزم خارجي  $R^2 \in m_e$ ، فإنه يجب أن يكون هناك قوى تماس  $f_a$  و  $f_b$  بحيث يكون:

$$f_a + f_b = -f_e$$

$$m_a + m_b = -m_e$$

وهذه المعادلات يمكن أن تكتب على شكل  $Ax = b$  كالتالي:

$$\begin{bmatrix} 1 & 1 & -1 & -1 \\ \mu & -\mu & -\mu & \mu \\ -\mu r & \mu r & -\mu r & \mu r \end{bmatrix} \begin{bmatrix} x_1 \\ x_2 \\ x_3 \\ x_4 \end{bmatrix} = \begin{bmatrix} -f_e \\ -m_e \\ b \end{bmatrix} \quad (3.36)$$

وشرط تأثير قوى الإغلاق يتطلب أنه من أجل أية قيمة  $L \in R^3$  كما هو معطى في الأعلى، يجب أن يكون هناك حلًّا  $x \in R^4$  بحيث تتحقق المعادلة  $Ax = b$ .

### 3.3.2. اختبار الغلاف المحدب Convex Hull لتأثير قوى الإغلاق في الحالة المستوىية:

ينبغي على القارئ هنا أن يكون قادرًا على استخلاص أن اختبار الغلاف المحدب الذي تمت دراسته فيما مضى يمكن له أن يطبق هنا أيضًا. وبشكل أعم أكثر، فإن تحديد فيما إذا كانت عملية المسك تقع تحت تأثير قوى إغلاق يمكن أن تختصر في نهاية الأمر إلى نفس السؤال الذي يدور حول وجود حلول غير سالبة  $x \geq 0$  للمعادلة  $Ax = b$  وذلك من أجل أي قيمة  $L$ .

وسوف نقدم فيما يلي طريقة إجراء اختبار الغلاف المحدب لتحديد تأثير قوى الإغلاق في الحالة المستوىية في عمليات المسك بوجود الاحتكاك.

**خوارزمية اختبار الغلاف المحدب من أجل تقييم تأثير قوى الإغلاق في الحالة المستوىية:**

- **المعطيات:** ليكن لدينا جسم صلب في الحالة المستوىية مقيد بـ  $n$  نقطة تماس مع وجود تأثير الاحتكاك، ولنقم باختيار جملة محاور إحداثية بحيث تكون مثبتة في الجسم، ولتكن  $r_i = (r_{ix}, r_{iy}) \in R^2$  وهي الشعاع الممتد من مبدأ الإحداثيات لجملة المحاور المثبت إلى نقطة التماس  $i = 1, \dots, n$  حيث  $i = 1, \dots, n$ . ولتكن  $e_{2i-1} = (e_{(2i-1)x}, e_{(2i-1)y}) \in R^2$  ولتكن  $e_{2i} = (e_{2ix}, e_{2iy}) \in R^2$  وأيضاً  $e_{2i} = (e_{2ix}, e_{2iy}) \in R^2$  وهمما بالترتيب الاتجاهات على طول الحافتين لكل مخروط عند نقطة التماس  $i = 1, \dots, n$ .

- **إنشاء المصفوفة A:** لنقم بتعريف المصفوفة  $A$  بالشكل التالي:

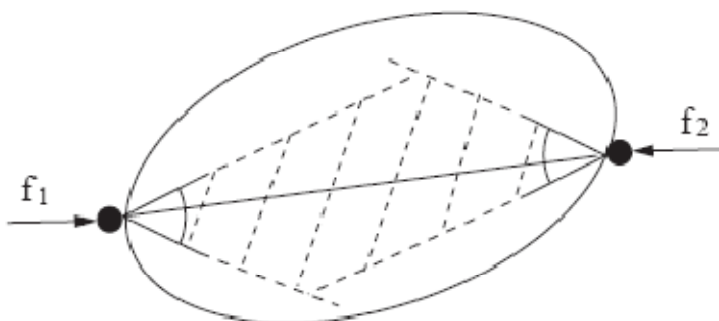
$$A = \begin{bmatrix} e_{1x} & e_{2x} & \dots \\ e_{1y} & e_{2y} & \dots \\ r_{1x}e_{1y} - r_{1y}e_{1x} & r_{1x}e_{2y} - r_{1y}e_{2x} & \dots \\ \dots & e_{(n-1)x} & e_{nx} \\ \dots & e_{(n-1)y} & e_{ny} \\ \dots & r_{nx}e_{(n-1)y} - r_{ny}e_{(n-1)x} & r_{nx}e_{ny} - r_{ny}e_{nx} \end{bmatrix} \quad (3.37)$$

- اختبار الغلاف المحدب:** نقوم الآن بتحديد فيما إذا كان مبدأ الإحداثيات يقع داخل الغلاف المحدب المتشكل من أعمدة المصفوفة  $A$ .

وبإضافة إلى إجراء اختبار الغلاف المحدب، يمكن أن نلجأ أيضاً إلى الإجراء الحسابي الذي تم دراسته سابقاً.

### 3.3.3. نظرية نوين Nguyen للحالة المستوية:

في حالة عمليات المسك المستوية الحاصلة باستخدام نقطتي تماس مع وجود تأثير الاحتكاك، فإن نظرية نوين Nguyen تقترح طريقة خاصة وبسيطة من أجل تحليل تأثير قوى إغلاق (انظر الشكل (3.9)).



الشكل 3.9: نظرية نوين Nguyen للتماسات النقطية مع وجود الاحتكاك

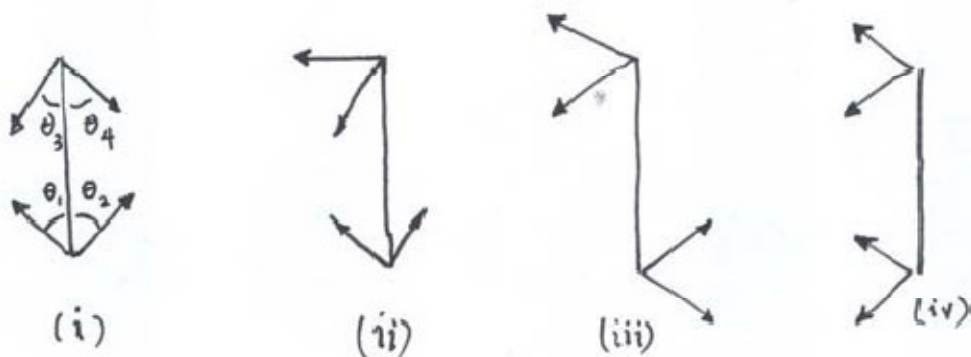
**النظرية 3.1.** يمكن لأي جسم صلب في الحالة المستوية ومقيد بنقطتي تماس في مع وجود تأثير الاحتكاك أن يكون تحت تأثير قوى إغلاق إذا وفقط إذا كان الخط الواصل بين نقطتي التماس واقعاً داخل مخروطي الاحتكاك معاً.

ولنرى الآن لماذا نظرية نوين Nguyen هي نظرية صحيحة. فبالنظر إلى الشكل (3.10) وباختيار جملة محاور إحداثية بحيث يكون مبدأ الإحداثيات في منتصف الخط الواصل بين نقطتي التماس، وبحيث يكون المحور  $\hat{y}$  منطبقاً على هذا الخط. وفرض أن المسافة بين نقطتي التماس هي  $2$ . وسنأخذ بالاعتبار الحالات الأربع الممكنة والمبينة في الشكل (3.10): (i) عندما يكون

الخط الواصل بين نقطتي التماس واقعاً ضمن كلي مخروطي الاحتكاك. (ii) عندما يكون هذا الخط واقعاً داخل مخروط احتكاك واحد فقط. (iii) عندما يكون هذا الخط واقعاً خارج كلي مخروطي الاحتكاك، ومخروطي الاحتكاك متعاكسين في الاتجاه. (iv) عندما يكون هذا الخط واقعاً خارج مخروطي الاحتكاك، وكل المخروطان يكونان في اتجاه واحد بالنسبة لهذا الخط الواصل.

كل حالة من هذه الحالات الأربع سوف تطبق اختبار الغلاف المحدب بالنسبة للحالة المستوية. في الحالة الأولى عندما يكون الخط الواصل بين التماسات يقع داخل كلي مخروطي الاحتكاك، فإن معادلات التوازن ст تكون بالشكل:

$$\begin{bmatrix} -\sin \theta_1 & \sin \theta_2 & -\sin \theta_3 & \sin \theta_4 \\ \cos \theta_1 & \cos \theta_2 & -\cos \theta_3 & -\cos \theta_4 \\ -\sin \theta_1 & \sin \theta_2 & \sin \theta_3 & -\sin \theta_4 \end{bmatrix} \begin{bmatrix} x_1 \\ x_2 \\ x_3 \\ x_4 \end{bmatrix} = \begin{bmatrix} b_1 \\ b_2 \\ b_3 \end{bmatrix}$$



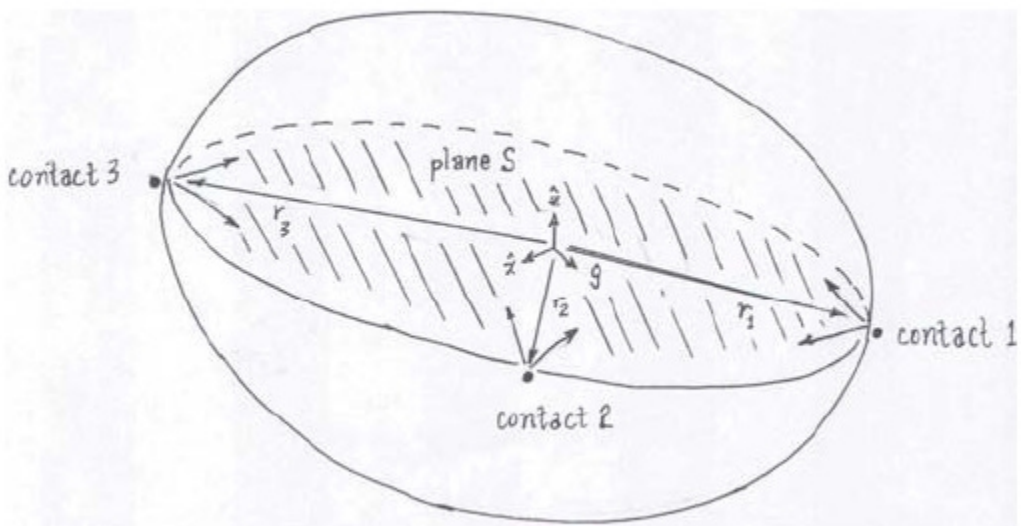
الشكل 3.10: توضيح لبرهنة نظرية نوبن Nguyen

حيث  $\theta_i$  تشير إلى الزاوية من الخط الواصل بين نقطتي التماس إلى حافة مخروط الاحتكاك (انظر الشكل 3.10). إن الجسم يكون تحت تأثير قوى إغلاق إذا كانت  $0 \leq x \leq b$ . وبتطبيق اختبار الغلاف المحدب، يمكننا أن نتأكد أن هذه الحالة تحقق شروط تأثير قوى الإغلاق. وبطريقة مماثلة، يمكن التأكد أن بقية الحالات لا تتحقق شروط تأثير قوى الإغلاق.

### 3.3.4. تأثير قوى الإغلاق للأجسام الصلبة الفضائية الخاضعة لثلاث نقاط تماس مع وجود الاحتكاك:

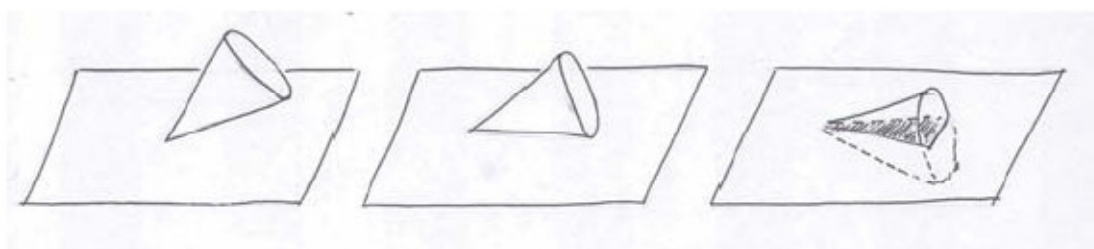
سندرس الآن تأثير قوى الإغلاق بالنسبة للأجسام الصلبة الفضائية، والسؤال الأول الذي يجب أن يسأل هو كم عدد نقاط التماس مع وجود الاحتكاك التي تلزم من أجل أن نقول أن الجسم يمكن أن يقع تحت تأثير قوى إغلاق.رأينا في حالة الأجسام الصلبة المستوية وحسب نظرية نوبن Nguyen التي صرحت أن وجود نقطتي تماس يعتبر كافياً مadam الخط الواصل بين نقطتي

التماس يقع داخل مخروطي الاحتكاك لنقطتي التماس. ومن الواضح أنه من أجل الأجسام الفضائية فإن نقطتي تماس فقط ليستا كافية حتى لو وقع الخط الواصل بين نقطتي التماس داخل مخروطي الاحتكاك (لاحظ أنها مخاريط في المجال  $R^3$ ، لأنه ليس من الممكن مقاومة أي عزم خارجي يطبق حول الخط الواصل بين التماسين). السؤال التالي إذن، هل ثلات نقاط تماس مع وجود الاحتكاك كافية للحصول على تأثير لقوى الإغلاق من أجل عملية المسك؟



الشكل 3.11: جسم صلب فضائي مقيد بثلاثة نقاط تماس مع وجود الاحتكاك

الجواب هو نعم. في الحقيقة، هناك نتيجة خاصة وبسيطة أوضحتها بعض العلماء أمثال Jia Wei Li وأخرون، حيث قاموا باختزال تحليل تأثير قوى الإغلاق في عمليات المسك الفضائية بوجود احتكاك إلى مسألة تأثير قوى إغلاق في الحالة المستوية. بالنظر إلى الشكل (3.11)، لنفترض جسماً صلباً مقيداً بثلاث نقاط تماس مع وجود الاحتكاك. فإذا كانت النقاط الثلاث متوضعة بحيث تكون على خط واحد، فإنه من الواضح أن أي عزم سيطبق حول ذلك الخط لا يمكن منعه بهذه النقاط الثلاث. ولذلك سوف نستثنى هذه الحالة، وسنفترض أن هذه النقاط ليست متوضعة على خط واحد، وبهذه الحالة فإن النقاط الثلاث سوف تشكل مستويًا وحيداً  $S$ ، وعند كل نقطة تماس سيكون هناك ثلاثة احتمالات ممكنة (انظر الشكل (3.12)):



الشكل 3.12: ثلاثة احتمالات ممكنة للتقاء بين مخروط الاحتكاك والمستوي.

- مخروط الاحتكاك ينقطع مع المستوى  $S$  بمخروط مستوى.
- مخروط الاحتكاك ينقطع مع المستوى  $S$  بخط.
- مخروط الاحتكاك ينقطع مع المستوى  $S$  في نقطة.

إن جيا وي لي Jia Wei Li وفريقه صرروا بأن الجسم يكون تحت تأثير قوى إغلاق إذا وفقط إذا كان كل مخروط احتكاكى ينقطع مع المستوى  $S$  بمخروط مستوى، وسيكون المستوى  $S$  يكون بدوره واقعاً تحت تأثير قوى إغلاق.

**النظرية 3.2.** إذا كان لدينا جسمَاً صلباً في الحالة الفضائية مقيداً بثلاث نقاط تماس مع وجود الاحتكاك، وبفرض أن نقاط التماس الثلاث تشكل مستوىًّا وحيداً  $S$ ، وكان كل مخروط احتكاك عند كل نقطة تماس ينقطع مع المستوى  $S$  بمخروط مستوى. فإن الجسم سيكون تحت تأثير قوى إغلاق إذا وفقط إذا كان المستوى  $S$  واقعاً تحت تأثير قوى إغلاق لعملية المسك.

وسنقوم الآن برهنة هذه النتيجة. أولاً، الشرط اللازم: إذا كان الجسم الصلب الفضائي واقعاً تحت تأثير قوى إغلاق، فإن كل مخاريط احتكاك تنقطع مع المستوى  $S$  بمخروط مستوى، والمستوى  $S$  هو أيضاً بدوره سيكون واقعاً تحت تأثير قوى إغلاق. ومن السهولة بمكان أن نتحقق من هذا الشرط، فإذا كان الجسم في الحالة الفضائية واقعاً تحت تأثير قوى إغلاق، فإن  $S$  (والذي هو جزء من الجسم) لا بد أن يكون تحت تأثير قوى إغلاق في الحالة المستوية. وعلاوة على ذلك، فإذا كان هناك مخروط احتكاك واحد ينقطع مع  $S$  بخط أو بنقطة، وبالتالي يمكن أن يكون هناك عزم خارجي (مثلاً حول الخط الواصل بين نقطتي التماس الآخريتين) والذي لا يمكن لعملية المسك أن تقاومه.

ولبرهنة الشرط الكافي: إذا كان كل مخروط احتكاك يقطع المستوى  $S$  بمخروط مستوى  $S$  واقع تحت تأثير قوى إغلاق، فإن الجسم الصلب الفضائي سيكون وبالتالي واقع تحت تأثير قوى إغلاق. فلنفترض أننا قمنا باختيار جملة محاور إحداثية مرجعية ثابتة بحيث يكون المستوى  $S$  يقع ضمن المستوى  $y-x$ ، ولتكن  $R^3 \in r_i$  تشير إلى الشعاع من مبدأ الإحداثيات للجملة السابقة لنقطة التماس  $i$  (انظر الشكل 3.11). ولنقم بالدلالة على قوة التماس في النقطة  $i$  بـ  $R^3 \in f_i$ ، وبالتالي فإن قوة التماس في الحالة الفضائية  $R^6 \in F_i$  هي من الشكل:

$$F_i = \begin{bmatrix} f_i \\ m_i \end{bmatrix} \quad (3.38)$$

وهنا كل  $m_i$  تساوي  $m_i = r_i \times f_i$ ، حيث  $i = 1, 2, 3$ . لنقم بالدلالة على القوة الخارجية الفضائية بالرمز  $F_{ext} \in R^6$  بالشكل:

$$F_{ext} = \begin{bmatrix} f_{ext} \\ m_{ext} \end{bmatrix} \in R^6 \quad (3.39)$$

بالتالي فإن تأثير قوى الإغلاق يتطلب وجود قوى تماس فضائية  $i = 1, 2, 3$  حيث  $F_i$  تكون متوضعة داخل مخروط الاحتكاك الخاصة بتماسها، بحيث أنه من أجل أي قوة خارجية فضائية  $F_{ext}$ ، فإن المعادلة التالية محققة:

$$F_1 + F_2 + F_3 + F_{ext} = 0 \quad (3.40)$$

أو بشكل مكافئ:

$$f_1 + f_2 + f_3 + f_{ext} = 0 \quad (3.41)$$

$$(r_1 \times f_1) + (r_2 \times f_2) + (r_3 \times f_3) + m_{ext} = 0 \quad (3.42)$$

إذا كانت كل من قوى وعزم التماسات بالإضافة إلى القوة والعزم الخارجيان يمكن تحليلهما إلى مركبات متعامدة على المستوى المحدد بـ  $S$  (والواقع في المستوى  $x-y$  كما تم اختياره بالنسبة لجملة المحاور الإحداثية) والفضاء الناظم  $N$  على المستوى  $S$  (والمتجه باتجاه المحور  $z$  في جملة المحاور الإحداثية المختارة)، وبالتالي فإن المعادلة السابقة لتأثير قوى الإغلاق يمكن كتابتها بالشكل:

$$f_{1S} + f_{2S} + f_{3S} = -f_{ext,S} \quad (3.43)$$

$$(r_1 \times f_{1S}) + (r_2 \times f_{2S}) + (r_3 \times f_{3S}) = -m_{ext,S} \quad (3.44)$$

$$f_{1N} + f_{2N} + f_{3N} = -f_{ext,N} \quad (3.45)$$

$$(r_1 \times f_{1N}) + (r_2 \times f_{2N}) + (r_3 \times f_{3N}) = -m_{ext,N} \quad (3.46)$$

وهنا قمنا باستخدام  $S$  للدلالة على الشريحة من الجسم الصلب المعبر عنها بالمستوى  $x-y$  كما لو أنها المستوى  $x-y$  نفسه. والفضاء  $N$  سيكون دائماً باتجاه المحور  $z$ .

وبمتابعة برهنة الشرط الكافي، سوف نرى الآن أنه إذا كان  $S$  هو مستوىٍ واقع تحت تأثير قوى إغلاق، فإن الجسم في حالته الفضائية سيكون واقعاً تحت تأثير قوى إغلاق. وفي إطار المعادلات (3.45) و (3.46)، سنعمل لإثبات أنه من أجل أي قوة  $S \in S$  و  $f_{ext,S} \in N$ ، ومن أجل أي عزم  $S \in S$  و  $m_{ext,S} \in N$  تتحقق المعادلات (3.45) و (3.46)، وأنه لكل نقطة تماس  $i = 1, 2, 3$  حيث  $f_i = f_{iS} + f_{iN}$ ، فإن القوة  $f_i$  تقع داخل مخروط الاحتكاك  $i$ .

أولاً، لندرس معادلات تأثير قوى الإغلاق (3.45) و (3.46) في الاتجاه الناظمي  $N$ . ولتكن لدينا قوة خارجية معطاة  $N \in N$  و عزم خارجي  $m_{ext,N} \in S$ ، وبالتالي فإن المعادلات (3.45) و (3.46) تشكل مجموعة من ثلاثة معادلات خطية بثلاثة مجاهيل. ومن فرضياتنا أن نقاط التماس الثلاث ليس منطبقه على خط واحد، فإن المعادلات سيكون لها مجموعة حلول وحيدة  $\{f'_{1N}, f'_{2N}, f'_{3N}\}$ .

وبسبب أننا نفترض أن المستوى  $S$  واقع تحت تأثير قوى إغلاق، وذلك من أجل أي قوة خارجية  $f_{ext,S} \in S$  ووزم خارجي  $m_{ext,N} \in N$ ، فإن هناك قوى تماس مستوية  $f_{iS} \in S$  حيث  $i = 1, 2, 3$  بحيث تتوضع داخل مخروط الاحتكاك حسب نقطة التماس التابعة لها، وأيضاً تتحقق المعادلات (3.43) و (3.44). ومجموعة الحلول هنا ليست وحيدة، حيث يمكن لأحد هم أن يجد مجموعة من القوى الداخلية  $\eta_i \in S$  حيث  $i = 1, 2, 3$  وكل منها يقع داخل مخروط الاحتكاك المنسوب للتماس  $N$ ، وتحقق المعادلات:

$$\eta_1 + \eta_2 + \eta_3 = 0 \quad (3.47)$$

$$(r_1 \times \eta_1) + (r_2 \times \eta_2) + (r_3 \times \eta_3) = 0 \quad (3.48)$$

ونلاحظ أن هاتين المعادلين تشكلان ثلاث معادلات خطية مقيدة بست متغيرات، لذلك فإن هناك فضاء خطي ثلاثي الأبعاد من الحلول  $L = \{\eta_1, \eta_2, \eta_3\}$ .

والآن إذا كانت القوى  $\{f_{1S}, f_{2S}, f_{3S}\}$  تتحقق المعادلات (3.43) و (3.44)، وبالتالي فإن القوى  $\{f_{1S} + \eta_1, f_{2S} + \eta_2, f_{3S} + \eta_3\}$  سوف تتحقق المعادلات نفسها أيضاً. والقوى الداخلية  $\{\eta_1, \eta_2, \eta_3\}$  يمكن بذلك أن يتم اختيارها من أجل تحقيق قيمة أكبر لقوى التماسات بحيث:

$$f_1 = f'_{1N} + f_{1S} + \eta_1 \quad (3.49)$$

$$f_2 = f'_{2N} + f_{2S} + \eta_2 \quad (3.50)$$

$$f_3 = f'_{3N} + f_{3S} + \eta_3 \quad (3.51)$$

وكلها تقع داخل مخروط الاحتكاك المتعلق بنقطة التماس الخاصة بكل قوة. وهذا يكمل البرهان للشرط الكافي.

## الفصل الرابع

### حركات الجسم الصلب

## Rigid Body Motions

فيما ما مضى، رأينا أنه يلزمنا على الأقل ستة إحداثيات لوصف الموقع والاتجاه لجسم صلب في فضاء فизيائي ثلاثي الأبعاد. وكنا قد وصلنا إلى هذه النتيجة عن طريق اختيار ثلاثة نقاط من الجسم الصلب، ومن ثم ناقشنا أن المسافة بين أي زوج من هذه النقاط الثلاثة يجب أن تبقى ثابتة بغض النظر عن المكان الذي يتواجد فيه الجسم الصلب. وهذا قادنا إلى وجود ثلاثة قيود، والتي عندما تفرض على الإحداثيات الديكارتية التسعة – الإحداثيات  $(x,y,z)$  لكل نقطة من هذه النقاط – فإنها تؤدي بدورها إلى نتيجة مفادها أن ستة من أصل تسعة من هذه الإحداثيات يمكن أن يتم اختيارها بشكل مستقل.

في هذا الفصل سوف ندرس طريقة أكثر انتظاماً لوصف موقع واتجاه الجسم الصلب. وعوضاً عن اختيار ثلاثة نقاط من الجسم الصلب، سوف نقوم بربط جملة محاور إحداثية مرجعية بالجسم، وندرس الطرق التي تصف وتعبر عن هذه الجملة المرجعية بالنسبة لجملة محاور إحداثية يتم تثبيتها في الفضاء (ونحن نعلم بالطبع أن هذا يمكن أن يتم باستخدام عدد قليل من الإحداثيات وهو ست إحداثيات). وهذا ما يتعلق بالجانب الوصفي Descriptive لحركات الجسم الصلب.

وهناك أيضاً جانب توجيهي Prescriptive فيما يتعلق بحركات الجسم الصلب. لنفرض أن لدينا جسمًا صلبةً يتحرك من هيئة معينة في فضاء فизيائي إلى هيئة أخرى. وحالما يتم اختيار جملة المحاور الإحداثية المرجعية وقياس الطول للفضاء الفيزيائي، فإن انزياح الجسم الصلب حينها يمكن أن يوصف بانتقال من  $R^3$  إلى  $R^3$ . وقد اتضح أن التمثلات الرياضية يمكن نفسها أن تستخدم من أجل التحليلات الوصفية والتوجيهية لحركات الجسم الصلب.

لتوضيح الحيثيات المتزامنة معًا لعملية التوصيف والتوجيه لحركات الجسم الصلب، وأيضاً لإعطاء موجز عن الأفكار الرئيسية والأدوات التي سوف نستخدمها في هذا الفصل، سنبدأ بمثال توضيحي في الحالة المستوية. وقبل البدء بذلك، سنسذكر بعض الأمور عن مفهوم الأشعة Vectors.

### مفهوم الأشعة : Vectors

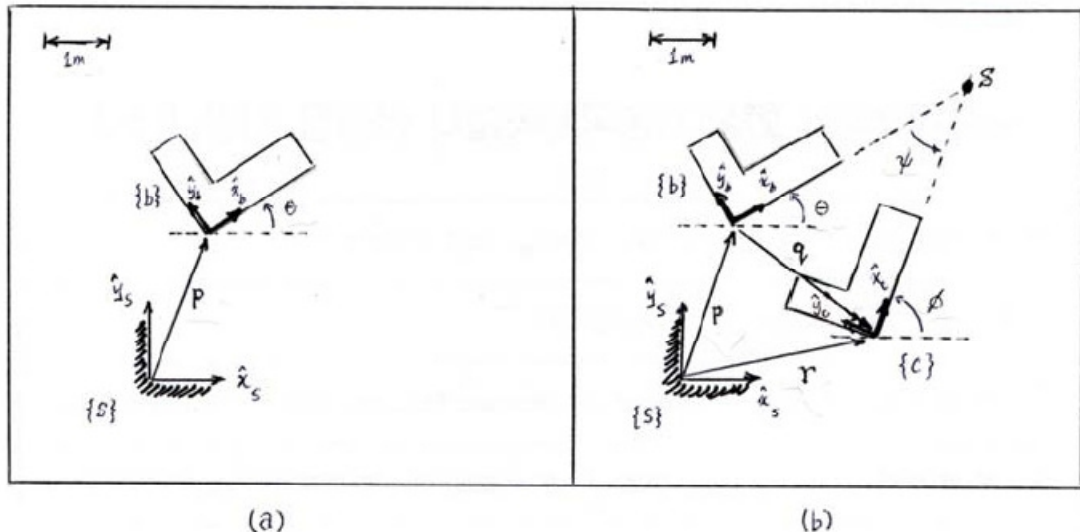
من المعلوم أن الشعاع هو مقدار هندسي له طول وله اتجاه. والشعاع يمكن أن يشار له بحرف نصي نظامي، مثلاً  $v$ . فإذا تم اختيار جملة محاور إحداثية مرجعية وقياس طول للفضاء حيث يقع الشعاع  $v$ ، عندها فإن الشعاع  $v$  يمكن أن يتم تمثيله بمصفوفة من عمود واحد وذلك بالنسبة لجملة المحاور الإحداثية المرجعية (يمكن تخيل ذلك بأن تقوم بتحريك قاعدة الشعاع  $v$  إلى مبدأ إحداثيات الجملة المرجعية مع الحفاظ على نفس الاتجاه، وهذا المفهوم للأشعة أحياناً يقودنا إلى ما يسمى الشعاع الحر Free Vector). إن التمثيل المصفوفي العمودي للشعاع  $v$  يشار إليه عادة

بحروف مائلة  $R^n \epsilon$ . ونلاحظ أنه إذا تم اختيار جملة محاور إحداثية مرجعية ومقاييس للطول مختلفين، فإن تمثيل المصفوفي العمودي للشعاع  $\gamma$  سوف يتغير.

ويمكن لنقطة  $P$  في فضاء فизيائي أن يتم تمثيلها بصيغة شعاع. فإذا تم اختيار جملة محاور إحداثية مرجعية ومقاييس طول للفضاء الفيزيائي، فإن النقطة  $P$  يمكن أن يتم تمثيلها على هيئة شعاع من مبدأ الإحداثيات للجملة المرجعية إلى النقطة  $P$ ، والتمثيل المصفوفي العمودي للشعاع يمكن أن يشار إليه بحرف مائل  $R^n \epsilon P$ . وكما ذكرنا في السابق، فإذا تم اختيار جملة محاور إحداثية مرجعية ومقاييس للطول مختلفين للفضاء الفيزيائي، فإن هذا سيؤدي إلى تمثيل مصفوفي عمودي للشعاع مختلف وذلك لنفس النقطة  $P$  في الفضاء الفيزيائي.

#### 4.1. مثال توضيحي:

لنفترض أن لدينا الجسم المستوي الموضح في الشكل 4.1 (a)، والذي حركته تقتصر على كونها حركة في مستوى. ولنفترض أنه قد تم اختيار مقاييس للطول وجملة محورة إحداثية مرجعية ثابتة كما هو موضح بالشكل. وسوف نطلق على جملة المحاور هذه جملة المحاور الثابتة Fixed Frame، أو جملة محاور الفضاء Space Frame، وسنشير إليها بالرمز  $\{S\}$ ، وسوف نرمز لأشعة الواحدة لهذه الجملة بالرموز  $\hat{x}_s$  و  $\hat{y}_s$ . وبشكل مشابه، سنربط الجسم المستوي بجملة محاور مرجعية متعلقة بالجسم وسنرمز لأشعة الواحدة فيها بالرموز  $\hat{x}_b$  و  $\hat{y}_b$ . ولأن هذه الجملة تتحرك مع الجسم سنسميها جملة المحاور المتحركة Moving Frame، أو جملة محاور الجسم Body Frame، وسنشير إليها بالرمز  $\{b\}$ .



الشكل 4.1: حركة الجسم الصلب في الحالة المستوية.

ولتوصيف هيئة الجسم المستوي، فإنه فقط يلزمنا تحديد موقع واتجاه جملة محاور الجسم بالنسبة لجملة المحاور الثابتة. إن الشعاع من مبدأ إحداثيات جملة المحاور الثابتة لمبدأ جملة محاور الجسم، والمدار إليها ب  $p$ ، يمكن أن يعبر عنه بالنسبة لأشعة الواحدة لجملة المحاور الثابتة كالتالي:

$$p = p_x \hat{x}_s + p_y \hat{y}_s \quad (4.1)$$

وقد يكون من المعتمد كتابة الشعاع بشكل أكثر بساطة بالشكل  $(p_x, p_y)$ ، وهذا الأمر جيد في حال لم يكن هناك أي غموض محتمل في جملة المحاور المرجعية، لكن عند التعبير عن نفس الشعاع في جمل محاور إحداثية متعددة، فإن كتابة الشعاع  $p$  كما في المعادلة (4.1) يكشف بسهولة جملة المحاور الإحداثية المرجعية والتي على أساسها تم تعريف  $(p_x, p_y)$ .

إن أسهل طريقة لتوصيف اتجاه جملة محاور الجسم  $\{b\}$  بالنسبة لجملة محاور الثابتة  $\{s\}$  هي عن طريق تحديد الزاوية  $\theta$  كما هو مبين في الشكل. وهناك طريقة أخرى وذلك بتحديد اتجاهات أشعة الواحدة لجملة محاور الجسم  $\hat{x}_b$  و  $\hat{y}_b$ ، بالشكل:

$$\hat{x}_b = \cos \theta \hat{x}_s + \sin \theta \hat{y}_s \quad (4.2)$$

$$\hat{y}_b = -\sin \theta \hat{x}_s + \cos \theta \hat{y}_s \quad (4.3)$$

لل وهلة الأولى هذه الطريقة تبدو غير فعالة لتمثيل اتجاهات جملة محاور الجسم. لكن تخيل أن الجسم تحرك بشكل عشوائي في الفراغ الثلاثي الأبعاد، فمن الواضح أن الزاوية  $\theta$  لوحدها ليست كافية لتوصيف الاتجاه لجملة المحاور المنتقلة (الجديدة الخاصة بالجسم). وفي الحقيقة نحن بحاجة إلى ثلاثة زوايا على الرغم من أنه من غير الواضح كيفية التعريف الملائم لمجموعة الزوايا الثلاث هذه. وبالمقابل، فإنه من البسيط التعبير عن محاور (أشعة) الواحدة لجملة محاور المنتقلة بالنسبة لجملة محاور الثابتة كما قمنا بالنسبة للحالة المستوية.

ولنفترض أننا اتفقنا على التعبير عن كل شيء بالنسبة لجملة محاور الإحداثية الثابتة، فإن الشعاع  $p$  في المعادلة (4.1) يمكن أن يتم تمثيله عن طريق مصفوفة عمودية  $R^2 \in \mathbb{R}^3$  من الشكل:

$$p = \begin{bmatrix} p_x \\ p_y \end{bmatrix} \quad (4.4)$$

والمعادلات (4.2) و (4.3) يمكن أيضاً تجميعها في المصفوفة ذات الرمز  $P$ :

$$P = \begin{bmatrix} \cos \theta & -\sin \theta \\ \sin \theta & \cos \theta \end{bmatrix} \quad (4.5)$$

ومن الواضح أن العمود الأول من  $P$  يعبر عن  $\hat{x}_b$ ، وأن العمود الثاني يعبر عن  $\hat{y}_b$ . ويمكن بسهولة أن نتحقق أن  $I = P^T P$ ، وأن  $P^{-1} = P^T$ . إن المصفوفة  $P$  والتي تم تشكيلها هنا هي عبارة عن مثال لمصفوفة دوران Rotation Matrix، والزوج  $(P, p)$  يقدم لنا توصيفاً لاتجاه وموقع جملة محاور الجسم بالنسبة لحملة محاور الثابتة. من المدخلات الستة - مدخلين من أجل  $p$  وأربعة مدخلات من أجل  $P$ - فقط ثلاثة مدخلات هي التي تكون مستقلة. في الحقيقة، إن الشرط  $I = P^T P$  يوضح وجود ثلاثة معادلات لقيود، ولهذا فإنه للأربع مدخلات التي تكون المصفوفة  $P$ ، فقط مدخل واحد يمكن اختياره بشكل مستقل. وبالتالي فإن الإحداثيات الثلاث  $(\theta, p_x, p_y)$  يمكن لها أن تشكل الحد الأدنى لتمثيل هيئة لجسم الصلب في الحالة المستوية. وفي كل الحالات، فإن زوج

الشعاع - مصفوفة الدوران ( $P, p$ ) يقدم وصفاً لهيئة الجسم الصلب كما تتم رؤيته من جملة المحاور الإحداثية الثابتة.

الآن بالنظر إلى الشكل (4.1(b)), لنفترض أن الجسم الصلب عند  $\{b\}$  تم نقله إلى الهيئة  $\{c\}$ . وبتكرار التحليل السابق من أجل شعاع الموضع  $r$  وأشعة الواحدة لجملة المحاور  $\{c\}$ , يمكن أن نكتب:

$$r = r_x \hat{x}_s + r_y \hat{y}_s \quad (4.6)$$

$$\hat{x}_c = \cos \phi \hat{x}_s + \sin \phi \hat{y}_s \quad (4.7)$$

$$\hat{y}_c = -\sin \phi \hat{x}_s + \cos \phi \hat{y}_s \quad (4.8)$$

والمعادلات هذه يمكن كتابتها على شكل مصفوفة عمودية  $R \in R^{2 \times 2}$  ومصفوفة دوران  $r \in R^2$ :

$$r = \begin{bmatrix} r_x \\ r_y \end{bmatrix}, \quad R = \begin{bmatrix} \cos \phi & -\sin \phi \\ \sin \phi & \cos \phi \end{bmatrix} \quad (4.9)$$

ويمكن أن نعيد العملية نفسها وذلك من أجل توصيف جملة المحاور  $\{c\}$  منظوراً إليها من جملة المحاور  $\{b\}$  (تخيل أن  $\{b\}$  هي الآن جملة المحاور الثابتة، وكرر التحليل السابق لـ  $\{c\}$ ). ولتكن  $q$  تشير إلى الشعاع من مبدأ إحداثيات الجملة  $\{b\}$  إلى مبدأ إحداثيات الجملة  $\{c\}$ , وعندها سنجد:

$$q = q_x \hat{x}_b + q_y \hat{y}_b \quad (4.10)$$

$$\hat{x}_c = \cos \psi \hat{x}_b + \sin \psi \hat{y}_b \quad (4.11)$$

$$\hat{y}_c = -\sin \psi \hat{x}_b + \cos \psi \hat{y}_b \quad (4.12)$$

حيث  $\theta = \psi$ . وكما في السابق، الشعاع  $q \in R^2$  ومصفوفة الدوران  $R \in R^{2 \times 2}$  يمكن كتابتها بالشكل:

$$q = \begin{bmatrix} q_x \\ q_y \end{bmatrix}, \quad R = \begin{bmatrix} \cos \psi & -\sin \psi \\ \sin \psi & \cos \psi \end{bmatrix} \quad (4.13)$$

وهنا  $q$  هي تمثيل لـ  $q$  في جملة المحاور  $\{b\}$ . وبشكل مشابه، فإن مصفوفة الدوران  $Q$  توصف الاتجاهات لجملة المحاور  $\{c\}$  بالنسبة لجملة المحاور  $\{b\}$ .

والآن، إذا تخيلنا أن الجسم تم نقله من جملة المحاور  $\{b\}$  إلى جملة المحاور  $\{c\}$ , وبالتالي فإنه من الواضح أن النقطة التي على الجسم الصلب والمعبر عنها بالنقطة  $P$  سوف تنتقل إلى النقطة  $r$ . ويمكننا هنا أن نسأل، كيف يمكن للتمثيل المصفوفي العمودي للشعاع  $p$  أن يتحول لـ  $r$ ? والجواب يعطى بالشكل:

$$r = p + Pq \quad (4.14)$$

ولمعرفة السبب، إذا نظرنا إلى الشكل (4.1(a)), فبإمكاننا ملاحظة أن  $r$  هو الشعاع المحصل لـ  $p$  و  $q$ . حيث  $p$  و  $r$  هما التمثيل المصفوفي العمودي للشعاعين  $p$  و  $r$  في جملة المحاور  $\{s\}$ . وللحصول على  $r$  على شكل تابع لـ  $p$  و  $q$ ، علينا أولاً أن نمثل  $q$  في جملة المحاور  $\{s\}$  قبل أن نجمعها مع  $p$ . وهو بشكل أدق عبارة عن  $Pq$ . وبذلك نحصل على المعادلة (4.14). وحيث أن  $\phi = \theta + \psi$ ، يمكن أيضاً أن نتحقق أن :

$$R = PQ \quad (4.15)$$

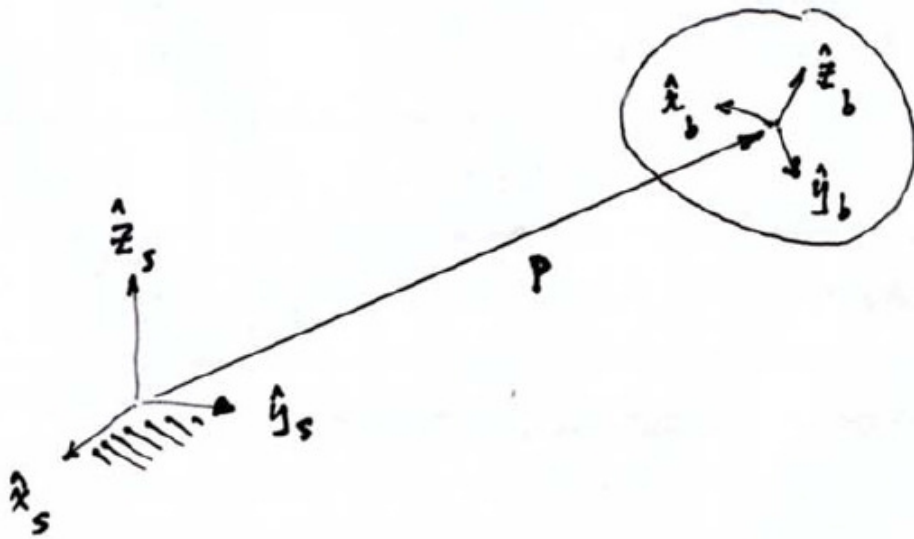
لهذا فإن الزوج  $(Q,q)$  يصف كيفية انتقال الجسم الصلب من  $\{b\}$  إلى  $\{c\}$ ، فإذا كانت لدينا نقطة لا على التعيين  $p$  واقعة في الجسم الصلب عند الهيئة  $\{b\}$ ، وممثلة بالشعاع  $p \in R^3$ ، فإنها ستتحول إلى تلك النقطة في الفضاء الفيزيائي والممثلة بالشعاع  $r = p + Pq$ . وأيضاً مصفوفة الدوران  $P$  عند الهيئة  $\{b\}$  سوف تتحول إلى  $R = PQ$  عند الهيئة  $\{c\}$  كنتيجة لهذا الانتقال. ولهذا السبب نسمى الزوج مصفوفة الدوران - الشعاع  $(Q,q)$  بانتقال الجسم الصلب، أو بشكل أكثر شيوعاً، حركة الجسم الصلب.

وهكذا يمكننا أن نرى أن زوج مصفوفة الدوران - الشعاع يمكن أن يقدم لنا توصيفاً عن هيئة الجسم الصلب (التفسير التوضيحي كما تم توضيحه بـ  $(P,p)$ ), أو توجيه انتقال الجسم الصلب في الفضاء الفيزيائي (التفسير التوجيهي كما تم توضيحه بـ  $(Q,q)$ ).

وكتنبوتة ثانية، ومرة أخرى بالرجوع إلى الشكل (4.1(b)), نلاحظ أن الانتقال من الهيئة  $\{b\}$  إلى الهيئة  $\{c\}$  يمكن أن يتم عن طريق تدوير الجسم المستوى في الهيئة  $\{b\}$  حول النقطة  $s$  بزاوية  $\psi$ . ولذلك فإن الانتقال يمكن أن يشخص عن طريق ثلات إحداثيات  $(\psi, s_x, s_y)$ ، حيث  $(s_x, s_y)$  تشير إلى إحداثيات النقطة  $s$  في جملة المحاور الثابتة. وهذا التمثيل ثلاثي البارامترات البديل لحركة الجسم الصلب هو عبارة عن مثال مستو للحركة اللولبية Screw Motion. وإذا كانت الحركة عبارة عن انتقال صافي - وهذا يعني أن الاتجاهات لا تتغير أي  $\phi = \theta$  - فإن النقطة  $s$  سوف تكون في اللانهاية.

وفي هذا الفصل سوف نقوم بتعظيم هذه الأفكار أعلى لحالة حركة الجسم الصلب في الحالة ثلاثة الأبعاد. ولهذا الغرض لنفترض أن لدينا جسمًا صلبةً في فضاء فيزيائي ثلثي الأبعاد كما هو موضح بالشكل (4.2). ولنفترض أن مقياساً للطول للفضاء الفيزيائي قد تم اختياره، وأن كل من جملة المحاور الثابتة  $\{s\}$  وجملة محاور الجسم  $\{b\}$  قد تم تحديدهما كما في الشكل. وخلال هذا الكتاب فإن كل جملة المحاور المرجعية سوف تؤخذ حسب قاعدة اليد اليمنى، أي أن أشعة الواحدة  $\{\hat{x}, \hat{y}, \hat{z}\}$  دائمًا تحقق العلاقة  $\hat{z} = \hat{y} \times \hat{x}$ . وسنشير إلى أشعة الواحدة لجملة الثابتة بـ  $\{\hat{x}_s, \hat{y}_s, \hat{z}_s\}$ ، ولأشعة الواحدة لجملة محاور الجسم بـ  $\{\hat{x}_b, \hat{y}_b, \hat{z}_b\}$ . ولتكن  $p$  تشير إلى الشعاع من مبدأ إحداثيات جملة المحاور الثابتة إلى مبدأ إحداثيات جملة محاور الجسم. ووفقاً لإحداثيات جملة المحاور الثابتة، فإن  $p$  يمكن أن يعبر عنها بالشكل:

$$p = p_1 \hat{x}_s + p_2 \hat{y}_s + p_3 \hat{z}_s \quad (4.16)$$



الشكل 4.2 التوصيف الرياضي للموقع والاتجاه

إن محاور الواحدة (أو أشعة الواحدة) لجملة محاور الجسم يمكن أن يعبر عنها بالشكل التالي:

$$\hat{x}_b = r_{11}\hat{x}_s + r_{21}\hat{y}_s + r_{31}\hat{z}_s \quad (4.17)$$

$$\hat{y}_b = r_{12}\hat{x}_s + r_{22}\hat{y}_s + r_{32}\hat{z}_s \quad (4.18)$$

$$\hat{z}_b = r_{13}\hat{x}_s + r_{23}\hat{y}_s + r_{33}\hat{z}_s \quad (4.19)$$

وبتعريف  $p \in \mathbb{R}^3$  و  $R \in \mathbb{R}^3$  بالشكل:

$$p = \begin{bmatrix} p_1 \\ p_2 \\ p_3 \end{bmatrix}, \quad R = \begin{bmatrix} r_{11} & r_{12} & r_{13} \\ r_{21} & r_{22} & r_{23} \\ r_{31} & r_{32} & r_{33} \end{bmatrix} \quad (4.20)$$

فإن الائتمي عشر بارامترًا الناتجين من  $(R, p)$  وبالتالي يقدمون توصيفاً لموضع واتجاه الجسم الصلب بالنسبة لجملة المحاور الثابتة.

ولأنه يلزمنا على الأقل ستة بارامترات لتوصيف هيئة الجسم الصلب، فإذا أبقينا على بارامترات الشعاع  $p$  كما هي، فإنه من أصل تسعة بارامترات للمصفوفة  $R$ ، نستطيع فقط أن نختار ثلاثة بارامترات بشكل مستقل. وبقصد تحليل ودراسة هذه البارامترات الثلاثة، سوف ندرس بعض أساسيات التمثيل باستخدام ثلاثة بارامترات من أجل مصفوفات الدوران مثل: زوايا أوبلر Euler وزوايا (الالتفاف والانحدار والانحراف Yaw - Pitch - Roll) المتعلقة بها، بالإضافة إلى الإحداثيات الأésية Exponential Coordinates وكذلك عناصر الكواتيرنيون Quaternions. ومن ثم سندرس التمثيل الباراميوري بستة بارامترات لكل من الانتقال والاتجاه.

للحسم الصلب في آن معاً، وستكون طريقة التمثيل الثلاثي البار امترات للمصفوفة  $R$  حيث يكون  $R^3 \in p$  هي الطريقة الأوضح من أجل الوصول إلى ذلك. وهناك طريقة أخرى تعتمد على نظرية كاسيلز - موزي Chasles – Mozzi، والتي تنص على أن كل تغير في المكان للجسم الصلب يمكن أن يتم توصيفه على شكل حركة لولبية حول محور ثابت في الفضاء.

وسوف ندرس أيضاً تحليل السرعات الخطية Linear Velocity والزاوية Angular Velocity، وكذلك الأمر بالنسبة للقوى والعزوم. وبدلاً من معالجة هذه المقادير على شكل كميات منفصلة ثلاثة الأبعاد، سوف نقوم بدمج أشعة السرعات الخطية والزاوية بسرعة واحدة فضائية سداسية الأبعاد، وكذلك الأمر بالنسبة للقوى والعزوم سنقوم بتحويلها إلى قوى فضائية سداسية الأبعاد. وهذه الكميات سداسية الأبعاد وقواعد العمل بها، سوف تشكل الأساس في التحليل الكينماتيكي Kinematic والتحليل الديناميكي Dynamic كما سنوضح في الفصول القادمة.

## 4.2. الدورانات :Rotations

### 4.2.1. تعريف:

ناقشنا سابقاً أنه من أصل تسعة مدخلات لمصفوفة الدوران  $R$ ، فإن ثلاثة مدخلات منهم فقط يمكن اختيارهم بشكل مستقل. وسنقوم الآن باستخلاص مجموعة القيود على مدخلات المصفوفة  $R$ . ولنلاحظ أن الأعمدة الثلاثة للمصفوفة  $R$  تتبع لأشعة الواحدة لجملة محارو الجسم  $\{\hat{x}, \hat{y}, \hat{z}\}$ . ولذلك، فإن الشروط التالية يجب أن تكون محققة:

(i) شرط أشعة الواحدة:  $\hat{x}$  و  $\hat{y}$  و  $\hat{z}$  هي أشعة واحدة، أو:

$$\begin{aligned} r_{11}^2 + r_{21}^2 + r_{31}^2 &= 1 \\ r_{12}^2 + r_{22}^2 + r_{32}^2 &= 1 \\ r_{13}^2 + r_{23}^2 + r_{33}^2 &= 1 \end{aligned} \quad (4.21)$$

(ii) شرط التعامد:  $0 = \hat{x} \cdot \hat{y} = \hat{x} \cdot \hat{z} = \hat{y} \cdot \hat{z}$  (حيث أخذنا بالاعتبار الجداء الداخلي):

$$\begin{aligned} r_{11}r_{12} + r_{21}r_{22} + r_{31}r_{32} &= 0 \\ r_{12}r_{13} + r_{22}r_{23} + r_{32}r_{33} &= 0 \\ r_{11}r_{13} + r_{21}r_{23} + r_{31}r_{33} &= 0 \end{aligned} \quad (4.22)$$

وهذه القيود الستة يمكن أن يعبر عنها بشكل تام بقييد واحد على المصفوفة  $R$ :

$$R^T R = I \quad (4.23)$$

حيث  $R^T$  هي منقول المصفوفة  $R$ ، و  $I$  هي المصفوفة الواحدية ذات البعد  $3 \times 3$ .

ويبقى هنالك أمر يجب أن نأخذ به بالحساب هو حقيقة أن جملة المحاور مأخوذة حسب قاعدة اليد اليمنى (أي  $\hat{z} = \hat{x} \times \hat{y}$ ، حيث  $\times$  تشير إلى عملية الجداء الخارجي Cross Product) وليس حسب قاعدة اليد اليسرى (أي  $\hat{z} = -\hat{y} \times \hat{x}$ )، والقيود الستة المذكورة أعلاه لا تميز بأية طريقة تم

اختيار حملة المحاور (فيما كانت يمينية أو يسارية). وللتذكير فإن هناك صيغة تمكنا من تحديد المحدد Determinant لمصفوفة  $M$  من البعد  $3 \times 3$  تعطى بالشكل (حيث  $a, b, c$  هي أعمدة المصفوفة  $M$ ):

$$\det M = a^T(b \times c) = c^T(a \times b) = b^T(c \times a) \quad (4.24)$$

وبتعويض أعمدة المصفوفة  $R$  في هذه الصيغة ، نحصل على القيد:

$$\det R = 1 \quad (4.25)$$

ونلاحظ أنه في حال كانت جملة المحاور مأخوذة حسب قاعدة اليد اليسرى فإن قيمة المحدد السابق ستكون مساوية لـ 1. وباختصار ، فإن المقيدات الستة المعبر عنها في المعادلة (4.23) تعني أن  $\det R = \pm 1$ ، وبإضافة قيد آخر هو  $\det R = 1$  فإن هذا يعني أن جملة المحاور مأخوذة حسب قاعدة اليد اليمنى فقط. ولهذا فإن القيد  $\det R = 1$  لا يغير عدد المتغيرات المستقلة التي تلزم لتشخيص المصفوفة  $R$ .

إن مجموعة مصفوفات الدوران ذات البعد  $3 \times 3$  تشكل ما يسمى المجموعة المتعامدة الخاصة Special Orthogonal Group ويشار إليها بـ  $SO(3)$ ، والتي يمكن تعريفها كمايلي:

**تعريف 4.1.** المجموعة المتعامدة الخاصة  $SO(3)$ ، والتي تعرف بمجموعة مصفوفات الدوران، هي مجموعة جميع المصفوفات  $R$  الحقيقية ذات البعد  $3 \times 3$  والتي تحقق الشرطان: (i)  $R^T R = I$  و (ii)  $\det R = 1$ .

إن مجموعة مصفوفات الدوران ذات البعد  $2 \times 2$  هي مجموعة فرعية من  $SO(3)$ ، ويرمز لها بـ  $SO(2)$ .

**تعريف 4.2.** المجموعة المتعامدة الخاصة  $SO(2)$  هي مجموعة جميع المصفوفات الحقيقة ذات البعد  $2 \times 2$  والتي تتحقق الشرطان: (i)  $R^T R = I$  و (ii)  $\det R = 1$ .

من التعريف نجد أنه كل  $R \in SO(2)$  هي من الشكل:

$$R = \begin{bmatrix} \cos \theta & -\sin \theta \\ \sin \theta & \cos \theta \end{bmatrix}$$

حيث  $\theta \in [0, 2\pi]$ . وجميع الخواص المتعلقة بـ  $SO(3)$  أيضاً يمكن تطبيقها على  $SO(2)$ .

#### 4.2.2. خصائص:

سنقوم الآن بسرد مجموعة من الخصائص الرئيسية. وقبل الشروع بذلك، تعتبر المصفوفة الواحدية هي أبسط مثال لمصفوفة الدوران. وإن معكوس Inverse مصفوفة هو أيضاً مصفوفة دوران:

**الخاصية 4.1.** معكوس مصفوفة الدوران  $R \in SO(3)$  موجود دائمًا وهو نفسه منقول المصفوفة  $R^T$ , حيث  $R^T$  هي أيضًا مصفوفة دوران.

**الخاصية 4.2.** جداء مصفوفتي دوران هو أيضًا مصفوفة دوران.

البرهان: لیکن لدينا  $R_1, R_2 \in SO(3)$ , فإنه بسهولة يمكن التوصل أن الجداء  $R_1R_2$  يحقق الشرط  $\det R_1R_2 = \det R_1 = \det R_2 = 1$  و  $(R_1R_2)^T(R_1R_2) = I$ .

**الخاصية 4.3.** من أجل أي شعاع  $x \in R^3$  و  $R \in SO(3)$ , فإن الشعاع  $Rx = y$  له نفس طول الشعاع  $x$ .

البرهان: وهو يأتي من كون  $\|y\|^2 = y^T y = x^T R^T R x = x^T x = \|x\|^2$ .

إن الخاصية التالية تعطينا تفسير توصيفي لجاء مصفوفي دوران. بداية سوف نوضح بعض الأمور. لیکن لدينا جملتي محاور مرجعيتين  $\{a\}$  و  $\{b\}$ , اتجاه جملة المحاور  $\{b\}$  كما هو منظور لها من جملة المحاور  $\{a\}$  سوف يتم تمثيله بمصفوفة الدوران  $R_{ab}$ , حيث أن الثلاث أعمدة لمصفوفة  $R_{ab}$  هي ليست إلا تمثيلًا للمحاور  $\hat{x}$  و  $\hat{y}$  و  $\hat{z}$  للمصفوفة  $\{b\}$  بحيث تم التعبير عنها نسبة لجملة المحاور  $\{a\}$ . ومن هذا التعريف من البديهي أن نجد أن  $I = R_{aa}$ .

**الخاصية 4.4.**  $R_{ab}R_{bc} = R_{ac}$ .

البرهان: ليرهننا هذه النتيجة، لنقم بتعريف جملة محاور أخرى  $\{c\}$ , ولنعرف أشعة الواحدة لجمل المحاور  $\{a\}$  و  $\{b\}$  و  $\{c\}$  بواسطة ثلاثة أشعة الواحدة المتعامدة  $\{\hat{x}_a, \hat{y}_a, \hat{z}_a\}$  لجملة المحاور  $\{a\}$  و  $\{\hat{x}_b, \hat{y}_b, \hat{z}_b\}$  لجملة المحاور  $\{b\}$  و  $\{\hat{x}_c, \hat{y}_c, \hat{z}_c\}$  لجملة المحاور  $\{c\}$ . وبالتالي فإنه بإمكاننا تمثيل أشعة الواحدة للجملة  $\{b\}$  بالنسبة لمحورة الجملة  $\{a\}$  كمالي:

$$\hat{x}_b = r_{11}\hat{x}_a + r_{21}\hat{y}_a + r_{31}\hat{z}_a$$

$$\hat{y}_b = r_{12}\hat{x}_a + r_{22}\hat{y}_a + r_{32}\hat{z}_a$$

$$\hat{z}_b = r_{13}\hat{x}_a + r_{23}\hat{y}_a + r_{33}\hat{z}_a$$

وبشكل مشابه، يمكننا تمثيل أشعة الواحدة للجملة  $\{c\}$  بالنسبة لمحاور الجملة  $\{b\}$  بالشكل التالي:

$$\hat{x}_c = r_{11}\hat{x}_b + r_{21}\hat{y}_b + r_{31}\hat{z}_b$$

$$\hat{y}_c = r_{12}\hat{x}_b + r_{22}\hat{y}_b + r_{32}\hat{z}_b$$

$$\hat{z}_c = r_{13}\hat{x}_b + r_{23}\hat{y}_b + r_{33}\hat{z}_b$$

والمعادلات أعلاه يمكن أيضًا كتابتها بالشكل:

$$[\hat{x}_b \quad \hat{y}_b \quad \hat{z}_b] = [\hat{x}_a \quad \hat{y}_a \quad \hat{z}_a] \begin{bmatrix} r_{11} & r_{12} & r_{13} \\ r_{21} & r_{22} & r_{23} \\ r_{31} & r_{32} & r_{33} \end{bmatrix} \quad (4.26)$$

$$[\hat{x}_c \quad \hat{y}_c \quad \hat{z}_c] = [\hat{x}_b \quad \hat{y}_b \quad \hat{z}_b] \begin{bmatrix} s_{11} & s_{12} & s_{13} \\ s_{21} & s_{22} & s_{23} \\ s_{31} & s_{32} & s_{33} \end{bmatrix} \quad (4.27)$$

ونلاحظ أن المصفوفة ذات البعد  $3 \times 3$  في المعادلة (4.26) ماهي إلا  $R_{ab}$ ، في حين أن المصفوفة في المعادلة (4.27) ما هي إلا  $R_{bc}$ . وبتعويض المعادلة (4.26) في المعادلة (4.27) نجد أن:

$$[\hat{x}_c \quad \hat{y}_c \quad \hat{z}_c] = [\hat{x}_a \quad \hat{y}_a \quad \hat{z}_a] \begin{bmatrix} r_{11} & r_{12} & r_{13} \\ r_{21} & r_{22} & r_{23} \\ r_{31} & r_{32} & r_{33} \end{bmatrix} \begin{bmatrix} s_{11} & s_{12} & s_{13} \\ s_{21} & s_{22} & s_{23} \\ s_{31} & s_{32} & s_{33} \end{bmatrix}$$

ومن المعادلة أعلاه نستنتج أن  $R_{ab}R_{bc} = R_{ac}$

#### الخاصية 4.5

$$R_{ab}^{-1} = R_{ba} \quad (4.28)$$

البرهان: هذه النتيجة يمكن الحصول عليها مباشرة بالاستناد إلى الخاصية السابقة، وذلك باعتبار جملة المحاور  $\{c\}$  منطبقة تماماً على جملة المحاور  $\{a\}$  (تتم البرهنة بالاستقادة من الخاصية السابقة حيث  $R_{ab}R_{bc} = R_{ac}$  مع التذكير أن  $R_{aa} = I$ ).

في الخاصية التالية، سوف نفترض أن لدينا شعاعاً حرّاً  $v$  في الفضاء الفيزيائي بحيث يكون هذا الشعاع ذو اتجاه معلوم ومقدار معلوم. وسنفترض أن لدينا جملتي محاور  $\{a\}$  و  $\{b\}$  في هذا الفضاء الفيزيائي. ولتكن  $v_a, v_b \in R^3$  يشيران إلى تمثيل الشعاع  $v$  بالنسبة لجملتي المحاور السابقتين، حيث يتم الحصول عليهما عن طريق وضع قاعدة الشعاع  $v$  في مبدأ إحداثيات جملتي المحاور  $\{a\}$  و  $\{b\}$  بالترتيب، ومن ثم التعبير عن الشعاع  $v$  وفقاً لجملتي المحاور المعطاة.

#### الخاصية 4.6

$$R_{ba}v_a = v_b \quad (4.29)$$

$$R_{ab}v_b = v_a \quad (4.30)$$

البرهان: وفقاً لأشعة الواحدة لكل من  $\{a\}$  و  $\{b\}$ ، فإن الشعاع  $v$  يمكن أن يكتب بالشكل الآتي:

$$v = v_{a1}\hat{x}_a + v_{a2}\hat{y}_a + v_{a3}\hat{z}_a \quad (4.31)$$

$$v = v_{b1}\hat{x}_b + v_{b2}\hat{y}_b + v_{b3}\hat{z}_b \quad (4.32)$$

ويمكن أن نكتب  $v_b = (v_{b1}, v_{b2}, v_{b3})^T$  و  $v_a = (v_{a1}, v_{a2}, v_{a3})^T$  ومنه نجد:

$$v = [\hat{x}_a \quad \hat{y}_a \quad \hat{z}_a]v_a \quad (4.33)$$

$$v = [\hat{x}_b \quad \hat{y}_b \quad \hat{z}_b]v_b \quad (4.34)$$

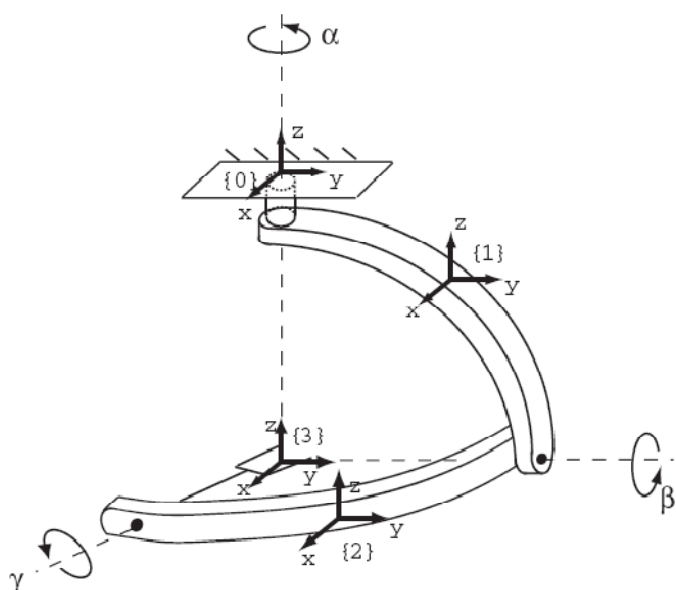
ومن المعادلتين الأخيرتين فإن أشعة الواحدة لكل من جملة المحاور {a} و جملة المحاور {b} ترتبط بعضها بالمعادلة التالية:

$$[\hat{x}_a \quad \hat{y}_a \quad \hat{z}_a] = [\hat{x}_b \quad \hat{y}_b \quad \hat{z}_b]R_{ba} \quad (4.35)$$

والتي يمكن من خلالها أن نستنتج أن  $R_{ba}v_a = v_b$ .

### 4.2.3 زوايا أويلر Euler

كما قدمنا سابقاً، فإن أي مصفوفة دوران يمكن تشخيصها بشكل برامטרי عن طريق ثلاثة إحداثيات مستقلة. وهنا سوف نقدم تمثيلاً شائعاً لمصفوفة الدوران باستخدام ثلاثة بارامترات، وهذا التمثيل هو زوايا أويلر Euler ذات التركيب ZYX. وإحدى الطرق لتعريف هذه الزوايا هي عن طريق ميكانيزم المعصم Wrist الموضح بالشكل (4.3). إن زوايا أويلر ذات التركيب ZYX هي الزوايا ( $\alpha, \beta, \gamma$ ) والتي تشير إلى زوايا الدوران حول محاور مفاصل هذا الميكانيزم. وكما هو مبين في الشكل، فإن ميكانيزم المعصم موجود في حالته الصفرية، أي عندما تكون كل قيم مفاصل الميكانيزم تشير إلى الصفر.



الشكل 4.3: ميكانيزم المعصم لتوضيح زوايا أويلر Euler ذات التركيب ZYX

ويمكن هنا تعريف أربع جمل مرجعية للمحاور كالتالي: الجملة {0} هي جملة المحاور الثابتة، بينما الجمل {1} و {2} و {3} تكون مربوطة مع الوصلات الثلاث لميكانيزم المعصم كما هو موضح بالشكل. وعندما يكون الميكانيزم في حالته الصفرية (الوضع صفر)، فإن جميع جمل المحاور المرجعية يكون لها نفس الاتجاه. وسنفترض الآن أن لدينا اتجاهات نسبية لكل جملة هي  $R_{01}$  و  $R_{12}$  و  $R_{23}$ . بداية، من الملاحظ أن  $R_{01}$  تتعلق فقط بالزاوية  $\alpha$  (دوران الموجب حول محور يؤخذ حسب قاعدة اليد اليمنى حيث يشير الإبهام إلى الجهة الموجبة لمحور الدوران، بينما تشير بقية الأصابع إلى اتجاه الدوران حول هذا المحور)، ويمكن أن نجد أن:

$$R_{01} = \begin{bmatrix} \cos \alpha & -\sin \alpha & 0 \\ \sin \alpha & \cos \alpha & 0 \\ 0 & 0 & 1 \end{bmatrix} = Rot(\hat{z}, \alpha) \quad (4.36)$$

الترميز  $Rot(\hat{z}, \alpha)$  يعبر عن الدوران حول المحور  $\hat{z}$  بمقادير الزاوية  $\alpha$ . وبشكل مشابه، فإن  $R_{12}$  تعتمد على الزاوية  $\beta$  وتعطى بالشكل :

$$R_{12} = \begin{bmatrix} \cos \beta & 0 & \sin \beta \\ 0 & 1 & 0 \\ -\sin \beta & 0 & \cos \beta \end{bmatrix} = Rot(\hat{y}, \beta) \quad (4.37)$$

حيث إن الترميز  $Rot(\hat{y}, \beta)$  يعبر عن الدوران حول المحور  $\hat{y}$  بمقادير الزاوية  $\beta$ . وأخيراً،  $R_{23}$  تعتمد على الزاوية  $\gamma$ ، وتعطى بالشكل:

$$R_{23} = \begin{bmatrix} 1 & 0 & 0 \\ 0 & \cos \gamma & -\sin \gamma \\ 0 & \sin \gamma & \cos \gamma \end{bmatrix} = Rot(\hat{z}, \gamma) \quad (4.38)$$

حيث الترميز  $Rot(\hat{z}, \gamma)$  يعبر عن الدوران حول المحور  $\hat{z}$  بمقادير الزاوية  $\gamma$ . وبالتالي فإننا نستطيع أن نوجد  $R_{03} = R_{01}R_{12}R_{23}$  والتي تكون وبالتالي:

$$R_{03} = \begin{bmatrix} c_\alpha c_\beta & c_\alpha s_\beta s_\gamma - s_\alpha c_\gamma & c_\alpha s_\beta c_\gamma + s_\alpha s_\gamma \\ s_\alpha c_\beta & s_\alpha s_\beta s_\gamma + c_\alpha c_\gamma & s_\alpha s_\beta c_\gamma - c_\alpha s_\gamma \\ -s_\beta & c_\beta s_\gamma & c_\beta c_\gamma \end{bmatrix} \quad (4.39)$$

حيث  $s_\alpha$  هو اختصار  $-\sin \alpha$  و  $c_\beta$  هو اختصار  $-\cos \beta$ ، الخ.

ويمكنا الآن أن نسأل السؤال التالي: لنفترض أنه لدينا مصفوفة دوران  $R$ ، فهل هناك مجموعة من الزوايا  $(\alpha, \beta, \gamma)$  بحيث تكون المعادلة (4.39) محققة؟ إذا كان الجواب نعم، فإن ميكانيزم المعصم الموضح بالشكل (4.3) يستطيع بلوغ أي اتجاه. وبالفعل ، فإن هذه هي الحقيقة،

ونستطيع أن نبرهن على ذلك. ليكن لدينا  $r_{ij}$  تمثل العنصر رقم  $ij$  في المصفوفة  $R$ . وبالتالي فمن المعادلة (4.39) نستطيع أن نجد أن:

$$r_{11}^2 + r_{21}^2 = \cos^2 \beta$$

وطالما أن  $\cos \beta \neq 0$ ، أو بشكل مكافئ  $\beta \neq \pm 90^\circ$ ، يمكننا أن نكتب:

$$\beta = \tan^{-1} \left( \frac{\sin \beta}{\cos \beta} \right) = \tan^{-1} \left( \frac{-r_{31}}{\pm \sqrt{r_{11}^2 + r_{21}^2}} \right)$$

لقيم الآن بتعريف التابع  $\text{atan2}$ ، المستخدم في العديد من لغات البرمجة. وعلى وجه التحديد، فإن التابع  $\tan^{-1}(y/x)$  يكافئ  $\text{atan2}(y,x)$  وذلك بالأخذ بالحسبان إشارة كل من  $x$  و  $y$ . فعلى سبيل المثال،  $\text{atan2}(1,1) = \pi/4$ ،  $\text{atan2}(-1,-1) = -3\pi/4$ . وباستخدام هذا التابع  $\text{atan2}$ ، فإن القيم الممكنة للزاوية  $\beta$  يمكن أن يعبر عنها بالشكل:

$$\beta = \text{atan2} \left( -r_{31}, \sqrt{r_{11}^2 + r_{21}^2} \right)$$

وبالشكل:

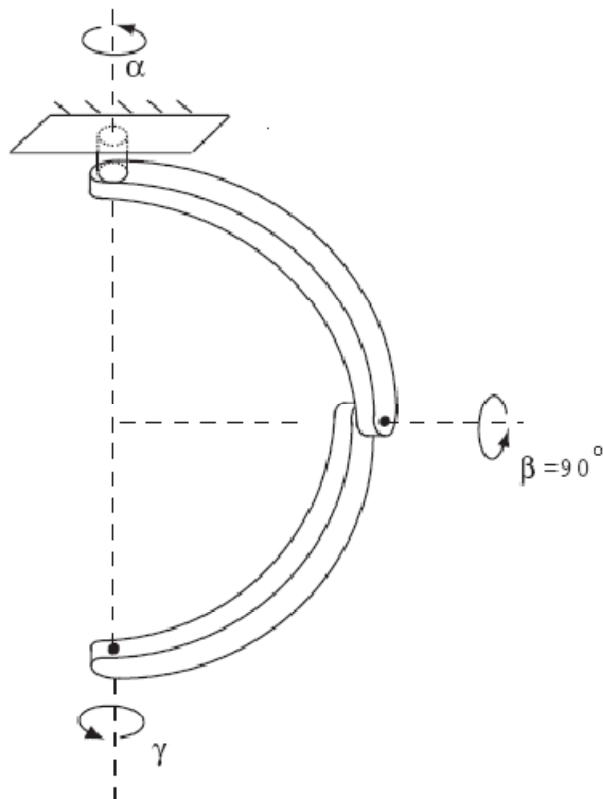
$$\beta = \text{atan2} \left( -r_{31}, -\sqrt{r_{11}^2 + r_{21}^2} \right)$$

في الحالة الأولى،  $\beta$  ستكون واقعة ضمن المجال  $[-90^\circ, 90^\circ]$ ، بينما في الحالة الثانية فإن  $\beta$  سوف تقع ضمن المجال  $[90^\circ, 270^\circ]$ . وبفرض أن  $\beta \neq \pm 90^\circ$ ، وبالتالي فإن  $\alpha$  و  $\gamma$  يمكن تحديدهما من خلال العلاقات التالية:

$$\alpha = \text{atan2}(r_{21}, r_{11})$$

$$\gamma = \text{atan2}(r_{32}, r_{33})$$

في الحالة التي تكون فيها الزاوية  $\beta = \pm 90^\circ$ ، فسيكون هناك مجموعة من الحلول لـ  $\alpha$  و  $\gamma$ . وهذا يمكن ملاحظته بسهولة من خلال الشكل (4.4). فإذا كانت  $\beta = 90^\circ$ ، فإن الزاوية  $\alpha$  و  $\gamma$  تمثل الدورانات حول المحور الشاقولي (حيث يدوران باتجاهين متعاكسين). ومن هنا فإنه يمكننا القول أنه إذا كان  $(\bar{\alpha}, \bar{\gamma}) = (\alpha, \beta, \gamma)$  هو حل لمصفوفة الدوران المعطاة  $R$ ، وبالتالي فإننا نجد أن الثلاثة  $(\bar{\alpha}, \bar{\gamma}, \bar{\alpha})$  حيث  $\bar{\alpha} = \alpha - \gamma$ ، هو أيضاً يعتبر بمثابة حل.



الشكل 4.4: هيئة ميكانيزم المعصم عندما تكون  $\beta = 90^\circ$  من أجل زوايا أويلر Euler ذات التركيب ZYX.

### خوارزمية حساب زوايا أويلر Euler ذات التركيب ZYX

إذا كان لدينا  $R \in SO(3)$ , وكنا نريد نوجد كلاً من  $\alpha, \beta, \gamma \in [-\pi/2, \pi/2]$  و  $\alpha, \gamma \in [0, 2\pi]$  بالشكل الذي يحقق:

$$R = \begin{bmatrix} c_\alpha c_\beta & c_\alpha s_\beta s_\gamma - s_\alpha c_\gamma & c_\alpha s_\beta c_\gamma + s_\alpha s_\gamma \\ s_\alpha c_\beta & s_\alpha s_\beta s_\gamma + c_\alpha c_\gamma & s_\alpha s_\beta c_\gamma - c_\alpha s_\gamma \\ -s_\beta & c_\beta s_\gamma & c_\beta c_\gamma \end{bmatrix} \quad (4.40)$$

حيث  $s_\alpha$  هو اختصار  $\sin \alpha$ , و  $c_\alpha$  هو اختصار  $\cos \alpha$ , إلخ. وحيث  $r_{ij}$  هو العنصر  $ij$  في المصفوفة  $R$ .

(i) إذا كانت  $r_{31} \neq \pm 1$ , فإن:

$$\beta = \text{atan2}\left(-r_{31}, \sqrt{r_{11}^2 + r_{21}^2}\right) \quad (4.41)$$

$$\alpha = \text{atan2}(r_{21}, r_{11}) \quad (4.42)$$

$$\gamma = \text{atan2}(r_{32}, r_{33}) \quad (4.43)$$

حيث يتمأخذ فقط القيمة الموجبة للجذر التربيعي.

(ii) إذا كانت  $r_{31} = 1 = \pi/2 = \beta$ , وبالتالي هناك مجموعة من الحلول لكل من  $\alpha$  و  $\gamma$ .  
وإحدى هذه الحلول هو  $0 = \alpha = \gamma = \text{atan2}(r_{12}, r_{22})$ .

(iii) إذا كانت  $-1 = r_{31} = \pi/2 = -\beta$ , وبالتالي هناك أيضاً مجموعة من الحلول لكل من  $\alpha$  و  $\gamma$ .  
وإحدى هذه الحلول هو  $0 = \alpha = \gamma = \text{atan2}(r_{12}, r_{22})$ .

من التوضيح السابق لزوايا أويلر Euler ذات التركيب ZYX فيما يتعلق بميكانيزم المعصم، فمن الواضح أن اختيار الوضع الصفرى للزاوية  $\beta$  هو، في بعض الحالات، يكون عشوائياً. ولذلك فإنه بإمكاننا أن نعرف وضع صفرى آخر لميكانيزم المعصم ليكون كما في الشكل (4.4)، وهذا سوف يؤدي بالنتيجة إلى تمثيل آخر ثلاثة بارامترات  $(\alpha, \beta, \gamma)$  لـ  $\text{SO}(3)$ . وفي الحقيقة، إن الشكل (4.4) هو بشكل أدق عبارة عن تعريف زوايا أويلر Euler ذات التركيب ZYZ ومصفوفة الدوران الناتجة يمكن الحصول عليها عن طريق تسلسل الدورانات التالية:

$$\begin{aligned} R(\alpha, \beta, \gamma) &= \text{Rot}(\hat{z}, \alpha) \cdot \text{Rot}(\hat{y}, \beta) \cdot \text{Rot}(\hat{z}, \gamma) \\ &= \begin{bmatrix} c_\alpha & -s_\alpha & 0 \\ s_\alpha & c_\alpha & 0 \\ 0 & 0 & 1 \end{bmatrix} \begin{bmatrix} c_\beta & 0 & s_\beta \\ 0 & 1 & 0 \\ -s_\beta & 0 & c_\beta \end{bmatrix} \begin{bmatrix} c_\gamma & -s_\gamma & 0 \\ s_\gamma & c_\gamma & 0 \\ 0 & 0 & 1 \end{bmatrix} \\ &= \begin{bmatrix} c_\alpha c_\beta c_\gamma - s_\alpha s_\gamma & -c_\alpha c_\beta s_\gamma - s_\alpha c_\gamma & c_\alpha s_\beta \\ s_\alpha c_\beta c_\gamma + c_\alpha s_\gamma & -s_\alpha c_\beta s_\gamma + c_\gamma c_\gamma & s_\alpha s_\beta \\ -s_\beta c_\gamma & s_\beta s_\gamma & c_\beta \end{bmatrix} \quad (4.44) \end{aligned}$$

وكما في السابق، نستطيع أن نلاحظ أنه من أجل أية مصفوفة دوران  $R \in \text{SO}(3)$ , فإن هناك ثلاثة زوايا  $(\alpha, \beta, \gamma)$  بحيث تتحقق  $R = R(\alpha, \beta, \gamma)$  كما هو معطى في المعادلة (4.44). (وبالطبع فإن المعادلات الناتجة ستختلف عن مثيلاتها فيما يخص زوايا أويلر Euler ذات التركيب ZYX).

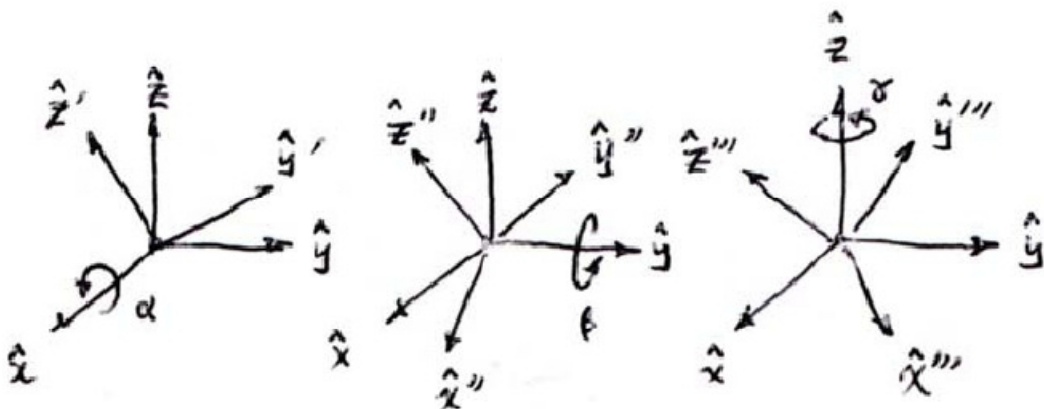
من خلال تحليل ميكانيزم المعصم في كلا الحالتين (التركيب ZYX و التركيب ZYZ)، فإنه من الواضح أنه من أجل تعريف بارامترات زوايا أويلر Euler، فإن الذي يهم في الحقيقة هو أن محور الدوران 1 متعامد مع محور الدوران 2، ومحور الدوران 2 متعامد بدوره مع محور الدوران 3 (وليس من الضروري أن يكون محور الدوران 1 متعامداً مع محور الدوران 3). وبالتالي يمكن أن نكتب أي تسلسل للدورانات وفق هذه القاعدة بالشكل :

$$\text{Rot}(\text{axis1}, \alpha) \cdot \text{Rot}(\text{axis2}, \beta) \cdot \text{Rot}(\text{axis3}, \gamma) \quad (4.45)$$

حيث إن المحور 1 متعامد مع المحور 2، والمحور 2 متعامد مع المحور 3. وهذا التسلسل يمكن أن يقدم تمثيلاً بارامترياً من ثلاثة بارامترات لـ  $\text{SO}(3)$ . ولاحقاً في هذا الفصل، سوف نرى كيفية التعبير عن الدوران حول محور ما ليس بالضرورة أن يكون محوراً للواحدة (أو شعاعاً للواحدة) لجملة المحاور المرجعية.

#### 4.2.4. زوايا الانحراف - الانحدار - الانعراب :Roll - Pitch - Yaw

سابقاً في هذا الفصل، أوضحنا أن مصفوفة الدوران يمكن أن تستخدم لتوصيف تحول الجسم الصلب من أحد الاتجاهات إلى اتجاه آخر. وهنا سنلقي الضوء على نقطة جديرة بالاهتمام والتي تتضمن تمثيلاً آخر ثلاثي البارامترات لمصفوفة الدوران، وهو زوايا الانحراف - الانحدار - الانعراب Roll - Pitch - Yaw. بالنظر إلى الشكل (4.5)، فإذا كانت لدينا جملة محاور بحيث تكون مصفوفة الدوران في الحالة الصفرية مساوية لمصفوفة الواحدية ( $\text{أي } R = I$ )، فسنقوم بداية بتدوير جملة المحاور هذه بمقدار الزاوية  $\gamma$  حول المحور  $\hat{x}$  لهذه الجملة، وبعد ذلك قمنا بتدوير الجملة بمقدار الزاوية  $\beta$  حول المحور  $\hat{y}$ ، وأخيراً قمنا بتدوير الجملة بمقدار الزاوية  $\alpha$  حول المحور  $\hat{z}$  لهذه الجملة.



الشكل 4.5: توضيح زوايا الدوران الانحراف - الانحدار - الانعراب Roll - Pitch - Yaw ذات التركيب XYZ

و سنعمل الآن على استنتاج الصيغة المفصلة للشعاع  $v \in \mathbb{R}^3$  (والمعبر عنه على شكل مصفوفة عمودية بالنسبة لجملة المحاور الثابتة) والذي يتم تدويره حول المحور  $\hat{x}$  لجملة الثابتة بمقدار الزاوية  $\gamma$ . والشعاع المدار سنشير إليه بـ  $v'$  ويكون:

$$\begin{aligned} v' &= \begin{bmatrix} 1 & 0 & 0 \\ 0 & \cos \gamma & -\sin \gamma \\ 0 & \sin \gamma & \cos \gamma \end{bmatrix} v \quad (4.46) \end{aligned}$$

فإذا قمنا بتدوير الشعاع  $v'$  حول المحور  $\hat{y}$  لجملة المحاور الثابتة بمقدار الزاوية  $\beta$ ، فإن الشعاع الناتج المدار  $v''$  يمكن التعبير عنه في جملة المحاور الثابتة بالشكل:

$$\begin{aligned} v'' &= \begin{bmatrix} \cos \beta & 0 & \sin \beta \\ 0 & 1 & 0 \\ -\sin \beta & 0 & \cos \beta \end{bmatrix} v' \quad (4.47) \end{aligned}$$

وأخيراً، إذا قمنا بتدوير الشعاع  $\hat{v}$  حول المحور  $\hat{x}$  لحملة المحاور الثابتة بمقدار الزاوية  $\alpha$ ، ينتج لدينا الشعاع:

$$\hat{v}'' = \begin{bmatrix} \cos \alpha & -\sin \alpha & 0 \\ \sin \alpha & \cos \alpha & 0 \\ 0 & 0 & 1 \end{bmatrix} \hat{v}' \quad (4.48)$$

الآن إذا اعتربنا أن الشعاع  $v$  موجود في جملة محاور مرجعية والتي محاور (أشعة) الواحدة لها تكون في حالتها الصفرية، وبحيث يكون اتجاه هذه الجملة يساوي المصفوفة الواحدة  $R=I$  وبالتالي فإنه يمكن تطبيق التسلسل السابق للدورانات على المحاور الثلاثة لجملة المحاور المرجعية ، وستكون اتجاهاتها الأخيرة هي :

$$\begin{aligned} R(\alpha, \beta, \gamma) &= \text{Rot}(\hat{z}, \alpha) \cdot \text{Rot}(\hat{y}, \beta) \cdot \text{Rot}(\hat{x}, \gamma) \cdot I \\ &= \begin{bmatrix} \cos \alpha & -\sin \alpha & 0 \\ \sin \alpha & \cos \alpha & 0 \\ 0 & 0 & 1 \end{bmatrix} \begin{bmatrix} \cos \beta & 0 & \sin \beta \\ 0 & 1 & 0 \\ -\sin \beta & 0 & \cos \beta \end{bmatrix} \begin{bmatrix} 1 & 0 & 0 \\ 0 & \cos \gamma & -\sin \gamma \\ 0 & \sin \gamma & \cos \gamma \end{bmatrix} \cdot I \\ &= \begin{bmatrix} c_\alpha c_\beta & c_\alpha s_\beta s_\gamma - s_\alpha c_\gamma & c_\alpha s_\beta c_\gamma + s_\alpha s_\gamma \\ s_\alpha c_\beta & s_\alpha s_\beta s_\gamma + c_\alpha c_\gamma & s_\alpha s_\beta c_\gamma - c_\alpha s_\gamma \\ -s_\beta & c_\beta s_\gamma & c_\beta c_\gamma \end{bmatrix} \quad (4.49) \end{aligned}$$

و هذه الجداءات لثلاث لمصفوفات الدوران هو نفسه بالضبط ماتم الوصول إليه في حالة زوايا أويلر Euler ذات التركيب ZYX المعطاة في المعادلة (4.40). وهنا نلاحظ أن نفس جداء الثلاث دورانات يعطينا تفسيرين فيزيائيين مختلفين: التقسيير الأول كسلسلة من الدورانات بالنسبة لجملة محاور الجسم (زوايا أويلر Euler ذات التركيب ZYX) والتفسير الثاني والذي يتم بعكس ترتيب الدورانات كسلسلة من الدورانات بالنسبة لجملة المحاور الثابتة (زوايا الانحراف - الانحدار - الانعراب - Yaw - Pitch - Roll ذات التركيب XYZ).

التعابير (الالتفاف - الانحدار - الانعراب - Yaw - Pitch - Roll) غالباً ما تستخدم لوصف الحركة الدورانية لمركبة أو طائرة ذات أجنة. على سبيل المثال، لنفترض أن جملة محاور الجسم متوضعة بحيث يكون المحور  $\hat{x}$  باتجاه الحركة الأمامية للطائرة، والمحور  $\hat{z}$  هو المحور الشاقولي والذي يتجه إلى الأسفل باتجاه الأرض (بفرض أن الطائرة تطير عند مستوى معين فوق سطح الأرض)، والمحور  $\hat{y}$  يتمد على طول اتجاه الجناح. وبالتالي فإن حركات الالتفاف - الانحدار - الانعراب - Yaw - Pitch - Roll سوف تكون معرفة وفقاً لزوايا الالتفاف - الانحدار - الانعراب ( $\alpha, \beta, \gamma$ ) ذات التركيب XYZ كما في المعادلة (4.49).

في الحقيقة، إن هناك تقسيرين موجودين لأي تسلسل للدورانات وفقاً للمعادلة (4.45) حيث تكون المحاور المتعاقبة متعدمة، وصفي Descriptive وتقسيير توجيهي Prescriptive لما يقابلها

من صيغة زوايا أويلر Euler. وصيغة زوايا أويلر Euler يمكن أن تعرف من خلال عدة طرق استناداً إلى ترتيب اختيار محاور الدوران، لكنها تمتلك سمات مشتركة وهي:

- الزوايا تمثل تسلسل الدورانات المأخوذة حول محاور جملة محاور الجسم أو حول محاور جملة المحاور الثابتة.
- محور الدوران الأول يجب أن يكون متعامداً مع محور الدوران الثاني، ومحور الدوران الثاني يجب أن يكون متعامداً مع محور الدوران الثالث.
- زاوية الدوران للمحور الأول والثالث تتراوح في قيمها ضمن مجال من رتبة  $2\pi$ ، في حين أن زاوية الدوران للمحور الثاني تتراوح قيمتها ضمن مجال من رتبة  $\pi$ .

#### 4.2.5. الإحداثيات الأسيّة :Exponential Coordinates

سنقدم الآن طريقة أخرى لتمثيل الدورانات بثلاثة برمترات، يسمى هذا التمثيل بالإحداثيات الأسيّة Exponential Coordinates. حيث وجدنا في التمثيل باستخدام زوايا أويلر Euler أن مصفوفة الدوران يمكن التعبير عنها كجاء ثلاثة دورانات، وكل من هذه الدورانات يعتمد على برمتر واحد فقط. الإحداثيات الأسيّة تشخيص بصورة بارامتيرية مصفوفة الدوران عن طريق استخدام محور دوران واحد فقط (يعبر عن هذا المحور بالشعاع  $\omega$  الذي هو بمثابة شعاع واحدة)، مع زاوية الدوران  $\theta$  حول ذلك المحور، وبالتالي فإن الشعاع  $r = \omega\theta \in R^3$  يقدم تمثيلاً ثلاثي البارامترات للدوران. وهذا التمثيل هو غالباً ما يتم دراسته باستخدام خصائص معادلات التفاضل الخطي Linear Differential، والتي سنقوم بمراجعة بعض نتائجها.

##### 4.2.5.1. بعض النتائج الأساسية المستخلصة من معادلات التفاضل الخطي:

لنبدأ من أبسط معادلة تفاضل خطى عددي:

$$\dot{x}(t) = ax(t) \quad (4.50)$$

حيث  $x(t) \in R$  و  $a \in R$  وهو عبارة عن ثابت، ولنفترض أن الشرط الابتدائي  $x(0) = x_0$  قد أعطى لنا  $(\dot{x}(t))$  تشير إلى مشتق  $x(t)$  بالنسبة لـ  $t$ . إن المعادلة (4.50) تمتلك حلًّا يعطى بالشكل:

$$x(t) = e^{at}x_0$$

ومن الجيد لنا أن نذكر سلسلة تايلور Taylor للتتابع الأسيّة، حيث نجد أن:

$$e^{at} = 1 + at + \frac{(at)^2}{2!} + \frac{(at)^3}{3!} + \dots$$

والآن لنفترض أن لدينا معادلة التفاضل الخطى الشعاعي التالية:

$$\dot{x}(t) = Ax \quad (4.51)$$

حيث  $x \in \mathbb{R}^n$  و  $A \in \mathbb{R}^{n \times n}$  وهذه المصفوفة ثابتة، والشرط الابتدائي لدينا  $x(0) = x_0$  قد أعطي لنا. من النتيجة العددية السابقة، يمكن لأحدنا أن يخمن أن الحل يمكن أن يكون بالشكل:

$$x(t) = e^{At}x_0 \quad (4.52)$$

إن المصفوفة الأسيّة  $e^{At}$  تحتاج لأن يتم توضيحها بصورة أفضل. لذلك سنقوم مرة أخرى بمحاكاة الحالة العددية السابقة، وسنقوم بكتابة المصفوفة الأسيّة بالشكل الآتي:

$$e^{At} = I + At + \frac{(At)^2}{2!} + \frac{(At)^3}{3!} + \dots \quad (4.53)$$

السؤال الأول الذي يخطر على ذهنه الآن هو تحت أي شرط يمكن لهذه السلسلة أن تقارب، بحيث تكون هذه المصفوفة الأسيّة قد صيغت بشكل جيد. ومن الواضح هنا أنه إذا كانت المصفوفة  $A$  ثابتة ومتّهية، فإن السلسلة سوف تقترب بشكل قطعي إلى حد منته، والبرهان على هذا موجود في أغلب المراجع المتعلقة بمعادلات التفاضل الخطي، ولن نقوم بإدراجه هنا.

السؤال الثاني يتعلق فيما إذا كانت المعادلة (4.52) هي بالفعل حلًّا للمعادلة (4.51). لذلك وبإجراء عملية الاستقاق على المعادلة (4.52) نجد:

$$\begin{aligned} \dot{x}(t) &= \left( \frac{d}{dt} e^{At} \right) x_0 \\ &= \frac{d}{dt} \left( I + At + \frac{A^2 t^2}{2!} + \frac{A^3 t^3}{3!} + \dots \right) x_0 \\ &= \left( A + A^2 t + \frac{A^3 t^2}{2!} + \dots \right) x_0 \\ &= Ae^{At} x_0 \\ &= Ax(t) \end{aligned} \quad (4.54)$$

ونجد من ذلك أن  $x(t) = e^{At}x_0$  هو بالفعل حل للمعادلة.

ونلاحظ من خلال السطر الرابع من المعادلة (4.54)، أنه يمكن إخراج  $A$  كعامل مشترك إلى اليمين، أي:

$$\dot{x}(t) = e^{At}Ax_0$$

ونحن نعلم كقاعدة عامة في جداء المصفوفات أنه من أجل أي مصفوفتين مربعتين  $A$  و  $B$ ، يمكن القول أن  $AB \neq BA$ ، لكن في المقابل فإن المساواة التالية دائمًا محققة:

$$Ae^{At} = e^{At}A \quad (4.55)$$

من أجل أية مصفوفة مربعة  $A$  وأي عدد  $t$  (ويمكن التأكد من ذلك باستخدام سلسلة النشر للمصفوفات الأسيّة).

إن المصفوفة الأسيّة  $e^{At}$  تم تعريفها على كونها سلسلة غير منتهية، ولكن الصيغة المنتهية لهذه المصفوفة هي أيضاً متاحة، فعلى سبيل المثال، إذا كان بالإمكان كتابة المصفوفة  $A$  بالشكل التالي  $A = PDP^{-1}$  حيث  $P \in R^{n \times n}$  و  $D \in R^{n \times n}$  حيث  $P$  مصفوفة قابلة للعكس (لها معكوس)، وبالتالي فإننا نجد:

$$\begin{aligned} e^{At} &= I + At + \frac{(At)^2}{2!} + \dots \\ &= I + (PDP^{-1})t + (PDP^{-1})(PDP^{-1})\frac{t^2}{2!} + \dots \\ &= P \left( I + Dt + \frac{(Dt)^2}{2!} + \dots \right) P^{-1} \\ &= Pe^{Dt}P^{-1} \end{aligned} \quad (4.56)$$

فإذا كانت المصفوفة  $D$  بالإضافة إلى ما سبق هي مصفوفة قطرة Diagonal، أي أنه يمكن كتابتها بالشكل  $D = \text{diag}\{d_1, d_2, \dots, d_n\}$ ، فإن المصفوفة الأسيّة يمكن ببساطة أن تكافيء:

$$e^{Dt} = \begin{bmatrix} e^{d_1 t} & 0 & \dots & 0 \\ 0 & e^{d_2 t} & \dots & 0 \\ \vdots & \dots & \ddots & \vdots \\ 0 & 0 & \dots & e^{d_n t} \end{bmatrix} \quad (4.57)$$

و سنلخص النتيجة السابقة بالخاصية التالية:

**الخاصية 4.7.** إن معادلة التفاضل الخطى  $\dot{x}(t) = Ax(t)$  ذات الشرط الابتدائي  $x(0) = x_0$ ، حيث  $A \in R^{n \times n}$  هي مصفوفة ثابتة و  $x(t) \in R^n$ ، تمتلك حلًّا يعطى بالعلاقة:

$$x(t) = e^{At}x_0 \quad (4.58)$$

حيث:

$$e^{At} = I + At + \frac{(At)^2}{2!} + \frac{(At)^3}{3!} + \dots \quad (4.59)$$

وتكون المصفوفة الأسيّة  $e^{At}$  تحقق الخصائص التالية:

(i) إن:

$$\frac{d}{dt}e^{At} = Ae^{At} = e^{At}A$$

(ii) إذا كانت المصفوفة  $A$  تكتب بالشكل التالي  $A = PDP^{-1}$  حيث  $P \in R^{n \times n}$  و  $D \in R^{n \times n}$  حيث  $P$  مصفوفة قابلة للعكس، وبالتالي:

$$e^{At} = Pe^{Dt}P^{-1}$$

$$\cdot e^A e^B = e^{A+B}, \text{ فإن } AB = BA \quad (\text{iii})$$

$$\cdot (e^A)^{-1} = e^{-A} \quad (\text{iv})$$

الخاصية الثالثة يمكن استنتاجها عن طريق نشر المصفوفات الأسيّة ومقارنة الحدود. والخاصية الرابعة يمكن استنتاجها عن طريق جعل  $A - B = B$  في الخاصية الثالثة.

هناك نظرية في الجبر الخطي يمكن أن تساعد في إيجاد صيغة منتهية للمصفوفة الأسيّة  $e^{At}$ ، وهي نظرية كيلي – هاملتون – Cayley - Hamilton، والتي تنص (بدون برهان):

**الخاصية 4.8.** إذا كانت لدينا المصفوفة  $A \in \mathbb{R}^{n \times n}$  بحيث تكون ثابتة، فإن هذه المصفوفة يمكن كتابتها بشكل متعدد الحدود Polynominal كالآتي:

$$p(s) = \det(Is - A) = s^n + c_{n-1}s^{n-1} + \cdots + c_1s + c_0$$

ومنه:

$$p(A) = A^n + c_{n-1}A^{n-1} + \cdots + c_1A + c_0I = 0$$

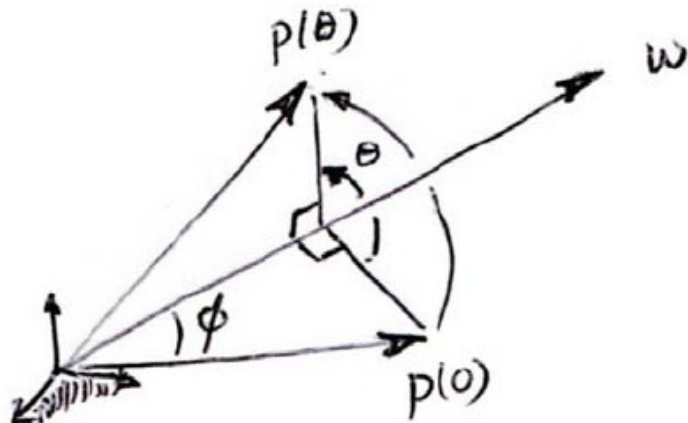
#### 4.2.5.2. الدورانات باستخدام الإحداثيات الأسيّة:

في تمثيل الدورانات باستخدام الإحداثيات الأسيّة، فإن الدوران يمكن أن يتم تمثيله عن طريق محور وحيد للدوران بالإضافة إلى زاوية دوران حول هذا المحور. بالنظر إلى الشكل (4.6)، لنفترض أن لدينا شعاعاً ثالثياً الأبعاد  $(0, p)$  يتم تدويره بزاوية  $\theta$  حول محور دوران ثابت  $\omega$  لـ  $p(\theta)$ ، حيث نفترض أن جميع القيم عبر عنها في جملة محاور إحداثية ثابتة  $\omega$ . وهذا الدوران يمكن أن يحدث إذا تخيلنا أن الشعاع  $p(0)$  خاضع للدوران حول  $\omega$  بمعدل ثابت يساوي 1، من الزمن  $t = 0$  إلى الزمن  $t = \theta$ . ولتكن  $(t)$  يشير إلى هذا المسار. وبالتالي فإن السرعة  $(t)p$ ، والمدار إليها  $\dot{p}$ ، تعطى بالعلاقة:

$$\dot{p} = \omega \times p \quad (4.60)$$

وللتتأكد من صحة ذلك، لتكن  $\phi$  هي الزاوية بين  $(t)p$  و  $\omega$ . ويمكننا أن نلاحظ أن  $p$  يرسم دائرة بنصف قطر  $\|p\|\sin\phi$  حول المحور  $\omega$ . وبالتالي فإن  $\dot{p} = \omega \times p$  هو مماس للمسار ويتمتاز قيمة قدرها  $\|p\|\sin\phi$ ، والتي هي بالضبط المعادلة (4.60).

سنقترح الآن طريقة أخرى للتغيير عن الجداء الخارجي لشعاعين. ولهذا الغرض، سنقدم المفهوم التالي:



الشكل 4.6: الشعاع  $p(0)$  يتم تدويره بزاوية  $\theta$  حول المحور  $\omega$  لـ  $p(\theta)$ .

**تعريف 4.3.** ليكن لدينا الشعاع  $R^3 \in \omega$ , نعرف المصفوفة التالية:

$$[\omega] = \begin{bmatrix} 0 & -\omega_3 & \omega_2 \\ \omega_3 & 0 & -\omega_1 \\ -\omega_2 & \omega_1 & 0 \end{bmatrix} \quad (4.61)$$

المصفوفة  $[\omega]$  كما تم تعريفها في الأعلى هي عبارة عن مصفوفة متتماثلة منحرفة Skew Symmetric، حيث يكون:

$$[\omega] = -[\omega]^T$$

بهذا التعريف، فإن عمليات حساب بسيطة تلزمنا لتأكيد الخصائص التالية:

**الخاصية 4.9.** ليكن لدينا شعاعين  $R^3 \in x, y \in R^3$ , جاؤهما الخارجي  $y \times x$  يمكن الحصول عليه كالتالي:

$$x \times y = [x]y \quad (4.62)$$

حيث  $[x]$  هي المصفوفة المتتماثلة المنحرفة التي تمثل الشعاع  $x$ . وأيضاً يمكن أن نجد:

$$[x \times y] = [x][y] - [y][x] \quad (4.63)$$

وهناك أيضاً خاصية مفيدة من أجل الدورانات والمصفوفات المتتماثلة المنحرفة وهي الخاصية التالية:

**الخاصية 4.10.** ليكن لدينا  $R^3 \in \omega$  و  $R \in SO(3)$ , فإن المعادلة التالية دائماً محققة:

$$R[\omega]R^T = [R\omega] \quad (4.64)$$

البرهان: ليكن  $r_i^T$  هو عبارة عن الصفر المصفوفة  $R$ , وبالتالي يكون:

$$\begin{aligned}
 R[\omega]R^T &= \begin{bmatrix} r_1^T(\omega \times r_1) & r_1^T(\omega \times r_2) & r_1^T(\omega \times r_3) \\ r_2^T(\omega \times r_1) & r_2^T(\omega \times r_2) & r_2^T(\omega \times r_3) \\ r_3^T(\omega \times r_1) & r_3^T(\omega \times r_2) & r_3^T(\omega \times r_3) \end{bmatrix} \\
 &= \begin{bmatrix} 0 & -r_3^T\omega & r_2^T\omega \\ r_3^T\omega & 0 & -r_1^T\omega \\ -r_2^T\omega & r_1^T\omega & 0 \end{bmatrix} \\
 &= [R\omega]
 \end{aligned} \tag{4.65}$$

باستخدام النتائج السابقة، فإن المعادلة (4.60) يمكن الآن أن تكتب بالشكل:

$$\dot{p} = [\omega]p \tag{4.66}$$

مع وجود الشرط الابتدائي  $p(0) = p_0$ . وهي معادلة تقاضلية خطية من الشكل  $\dot{x} = Ax$  والتي قمنا بدارستها من قبل، وحلها يكون من الشكل:

$$p(t) = e^{[\omega]t}p(0)$$

وحيث أنه يمكن التبديل بالرموز ما بين  $t$  و  $\theta$  كنتيجة لافتراض أن الشعاع  $p(t)$  يدور بمعدل ثابت  $1 \text{ rad/sec}$  بعد  $t$  ثانية فإن  $p(t) = e^{[\omega]\theta}p(0)$  سيكون قد دار بمقدار  $\theta$  (راديان)، فإن المعادلة السابقة يمكن كتابتها بالشكل:

$$p(\theta) = e^{[\omega]\theta}p(0)$$

المصفوفة  $[\omega]$  هي ليست مصفوفة قطورة، وسنعمل على إيجاد صيغة منتهية لها وذلك باستخدام نظرية كيلي – هاميلتون Cayley – Hamilton من أجل  $[\omega]$ . بداية، فإن التشخيص المتعدد الحدود من أجل المصفوفة  $[\omega]$  ذات البعد  $3 \times 3$  يعطى بالشكل:

$$\begin{aligned}
 p(s) &= \det(Is - [\omega]) = \det \begin{bmatrix} s & \omega_3 & -\omega_2 \\ -\omega_3 & s & \omega_1 \\ \omega_2 & -\omega_1 & s \end{bmatrix} \\
 &= s^3 + (\omega_1^2 + \omega_2^2 + \omega_3^2)s \\
 &= s^3 + s
 \end{aligned}$$

بالتالي فإن نظرية كيلي – هامilton Cayley – Hamilton تقتضي أن:

$$[\omega]^3 + [\omega] = 0$$

أو:

$$[\omega]^3 = -[\omega]$$

لنقم الآن بنشر المصفوفة الأسيّة  $e^{[\omega]\theta}$  على شكل سلسلة، وذلك بتبديل كل  $[\omega]^3 \rightarrow [-]$ ، وكل  $[\omega]^5 \rightarrow [-]$ ، وهكذا. وبالتالي فسوف نحصل على:

$$\begin{aligned} e^{[\omega]\theta} &= I + [\omega]\theta + [\omega]^2 \frac{\theta^2}{2!} + [\omega]^3 \frac{\theta^3}{3!} + \dots \\ &= I + \left( \theta - \frac{\theta^3}{3!} + \frac{\theta^5}{5!} - \dots \right) [\omega] + \left( \frac{\theta^2}{2!} - \frac{\theta^4}{4!} + \frac{\theta^6}{6!} - \dots \right) [\omega]^2 \end{aligned}$$

وللتذكير فإننا نعلم أن سلاسل النشر لكل من  $\sin\theta$  و  $\cos\theta$  تعطى بالشكل:

$$\sin\theta = \theta - \frac{\theta^3}{3!} + \frac{\theta^5}{5!} - \dots$$

$$\cos\theta = 1 - \frac{\theta^2}{2!} + \frac{\theta^4}{4!} - \dots$$

ومنه فإن المصفوفة الأسيّة  $e^{[\omega]\theta}$  يمكن تبسيطها إلى الشكل:

**الخاصية 4.11.** إذا كان لدينا شعاع  $\omega \in R^3$  حيث  $1 = \|\omega\|$ ، وكان لدينا عدد ما  $\theta \in R$  فإن:

$$e^{[\omega]\theta} = I + \sin\theta [\omega] + (1 - \cos\theta)[\omega]^2 \quad (4.67)$$

وهذه الصيغة تعرف أيضاً بصيغة رودريغز Rodrigues للدوران.

#### 4.2.5.3. المصفوفة اللوغاريتمية Logarithm لمصفوفة الدوران:

رأينا إلى الآن أن جداء أي شعاع  $r \in R^3$  بالمصفوفة الأسيّة  $e^{[\omega]\theta}$  سوف يؤدي إلى تدوير الشعاع  $r$  حول  $\omega$  بمقدار الزاوية  $\theta$ . ومهمتنا التالية هي أن نثبت أنه من أجل أية مصفوفة دوران  $R \in SO(3)$ ، فإنه بإمكاننا أن نجد شعاعاً  $\omega$  وعددًا  $\theta$  بحيث يكون  $R = e^{[\omega]\theta}$ . ومن ثم وبتعريف  $\omega\theta \in R$ ، فإننا سنطلق على المصفوفة المتماثلة المنحرفة  $[r]$  اسم المصفوفة اللوغاريتمية للمصفوفة  $R$ . وبهذه الطريقة يمكننا تأكيد أن المصفوفة الشعاعية  $r$  تعبر عن تمثيل آخر ثلاثي البارامترات للدوران. وبنشر كل الحدود لـ  $e^{[\omega]\theta}$  في المعادلة (4.67) فإن ذلك يقودنا إلى الشكل التالي:

$$\begin{bmatrix} c_\theta + \omega_1^2(1 - c_\theta) & \omega_1\omega_2(1 - c_\theta) - \omega_3s_\theta & \omega_1\omega_3(1 - c_\theta) + \omega_2s_\theta \\ \omega_1\omega_2(1 - c_\theta) + \omega_3s_\theta & c_\theta + \omega_2^2(1 - c_\theta) & \omega_2\omega_3(1 - c_\theta) - \omega_1s_\theta \\ \omega_1\omega_3(1 - c_\theta) - \omega_2s_\theta & \omega_2\omega_3(1 - c_\theta) + \omega_1s_\theta & c_\theta + \omega_3^2(1 - c_\theta) \end{bmatrix} \quad (4.68)$$

حيث  $(\omega_1, \omega_2, \omega_3)$  هي عناصر الشعاع  $\omega$ ، وهنا استخدامنا التعبير الاختزالية التالية لكل من التابع  $s_\theta = \sin\theta$  و  $c_\theta = \cos\theta$ . وبجعل المعادلة أعلاه مساوية للمصفوفة  $R \in SO(3)$  فإننا نستطيع أن نستخلص ما يلي:

$$r_{32} - r_{23} = 2\omega_1 \sin\theta$$

$$r_{13} - r_{31} = 2\omega_2 \sin \theta$$

$$r_{21} - r_{12} = 2\omega_3 \sin \theta$$

وطالما أن  $\theta \neq 0$  (أو بشكل مكافئ،  $\theta$  ليست من المضاعفات الصحيحة لـ  $\pi$ ) يمكننا أن نكتب:

$$\omega_1 = \frac{1}{2 \sin \theta} (r_{32} - r_{23})$$

$$\omega_2 = \frac{1}{2 \sin \theta} (r_{13} - r_{31})$$

$$\omega_3 = \frac{1}{2 \sin \theta} (r_{21} - r_{12})$$

المعادلات السابقة يمكن التعبير عنها على شكل مصفوفة متصلة منحرفة بالشكل التالي:

$$[\omega] = \begin{bmatrix} 0 & -\omega_3 & \omega_2 \\ \omega_3 & 0 & -\omega_1 \\ -\omega_2 & \omega_1 & 0 \end{bmatrix} = \frac{1}{2 \sin \theta} (R - R^T) \quad (4.69)$$

ونحن نعلم أن  $\omega$  تمثل محور الدوران للمصفوفة  $R$ . ولأن  $\sin \theta$  هو حد موجود في المقام، فإن  $[\omega]$  لن يتم إيجادها بالشكل المناسب في حال كون  $\theta$  أحد المضاعفات الصحيحة لـ  $\pi$ . وسندرس هذه الحالة فيما بعد، ولكن لفترض الآن أن هذه الحالة ليست هي حالتنا، وسنوجد صيغة لإيجاد الزاوية  $\theta$ . فيجعل  $R$  مساوية للمعادلة (4.68) وبحساب أثر Trace المصفوفتين على كلا الجانبين (أثر مصفوفة هو عبارة عن حاصل جمع عناصر قطرها) نجد:

$$\text{tr } R = r_{11} + r_{22} + r_{33} = 1 + 2 \cos \theta \quad (4.70)$$

ويمكن استنتاج العلاقة السابقة باعتبار  $1 = \omega_1^2 + \omega_2^2 + \omega_3^2$ . ومن أجل أية قيمة لـ  $\theta$  تتحقق المعادلة (4.70) بحيث لا تكون الزاوية  $\theta$  مضاعفاً صحيحاً لـ  $\pi$ ، فإن  $R$  يمكن التعبير عنها بشكل أسي بالشكل  $e^{[\omega]\theta}$  باستخدام  $[\omega]$  كما هي معطاة بالمعادلة (4.69).

لنعد الآن إلى الحالة التي تكون فيها الزاوية  $\theta = k\pi$ ، حيث  $k$  هو عدد صحيح. عندما يكون  $k$  عدداً صحيحاً زوجياً (أي  $\theta = 0, \pm 2\pi, \pm 4\pi, \dots$ )، فإن أثر المصفوفة  $R$  سيكون مساوياً لـ 3، أو بشكل مكافئ  $R = I$ ، ويمكن الحصول على هذه النتيجة بسهولة حيث نجد أن  $\theta = 0$  هو الحل الوحيد الممكن. وعندما يكون  $k$  عدداً صحيحاً فردياً (أي  $\theta = \pm\pi, \pm 3\pi, \dots$ )، فإن أثر المصفوفة  $R$  سيكون مساوياً لـ -1، وبالتالي فإن الصيغة الأساسية (4.69) يمكن أن يتم تبسيطها إلى:

$$R = e^{[\omega]\pi} = I + 2[\omega]^2 \quad (4.71)$$

وعناصر القطر للمصفوفة في المعادلة (4.71) يمكن أن نكتبها بالشكل:

$$\omega_i = \pm \sqrt{\frac{r_{ii} + 1}{2}}, \quad i = 1, 2, 3 \quad (4.72)$$

في حين أن العناصر الغير قطرية تعطى بالمعادلات الثلاث التالية:

$$\begin{aligned} 2\omega_1\omega_2 &= r_{12} \\ 2\omega_2\omega_3 &= r_{23} \\ 2\omega_1\omega_3 &= r_{13} \end{aligned} \quad (4.73)$$

من المعادلة (4.71) نلاحظ أن المصفوفة  $R$  يجب أن تكون متناظرة Symmetric و  $r_{12} = r_{21}$  و  $r_{13} = r_{31}$  و  $r_{23} = r_{32}$ . وكل المعادلات المتضمنة في (4.72) و (4.73) هي ضرورية من أجل الحصول على حل مجد. وعند الحصول على حل  $\omega$ , فإننا نجد أن  $R = e^{[\omega]k\pi}$ , حيث يكون  $k = \pm\pi, \pm 3\pi, \dots$

من السابق نستطيع القول أنه يوجد حلول من أجل  $\theta$  على كامل المجال  $[0, 2\pi]$  أو مضاعفاته. وإذا قمنا بقصر هذا المجال بحيث يصبح  $[0, \pi]$ , فإن الخوارزمية التالية يمكن أن تستخدم من أجل حساب المصفوفة اللورغارتمية لمصفوفة الدوران  $R \in SO(3)$ :

**الخوارزمية:** إذا كانت لدينا مصفوفة دوران  $R \in SO(3)$ , ونريد إيجاد  $\omega \theta = r$ , بحيث تكون الزاوية  $r \in [0, 2\pi]$  و  $\theta \in [0, \pi]$ , و  $\omega = \|\omega\|$ , و حيث:

$$R = e^{[r]} = e^{[\omega]\theta} = I + \sin \theta [\omega] + (1 - \cos \theta)[\omega]^2 \quad (4.74)$$

فإن المصفوفة المتماثلة المنحرفة  $R \in \mathbb{R}^{3 \times 3}$  تسمى بالتالي المصفوفة اللوغاريتمية لمصفوفة الدوران  $R$ .

(i) إذا كانت  $I = R$ , فإن  $\theta = 0$  و  $r = 0$ .

(ii) إذا كان  $-1 = \text{tr } R = \theta$ , فإن  $\theta = \pi$ , وستكون  $\omega$  هي أي شعاع من الأشعة الثلاثة التالية بحيث تكون هي الحل المجد:

$$\omega = \frac{1}{\sqrt{2(1 + r_{33})}} \begin{bmatrix} r_{13} \\ r_{23} \\ 1 + r_{33} \end{bmatrix} \quad (4.75)$$

أو:

$$\omega = \frac{1}{\sqrt{2(1 + r_{22})}} \begin{bmatrix} r_{12} \\ 1 + r_{22} \\ r_{32} \end{bmatrix} \quad (4.76)$$

أو:

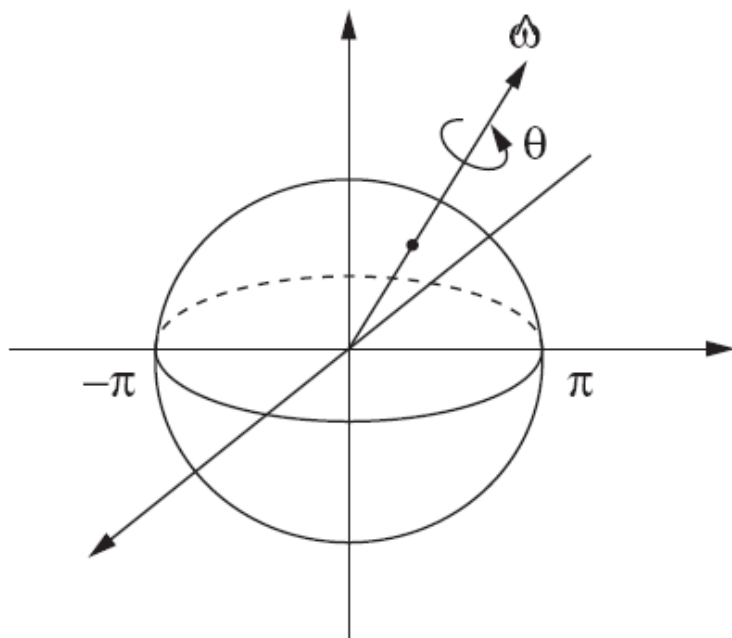
$$\omega = \frac{1}{\sqrt{2(1+r_{11})}} \begin{bmatrix} 1+r_{11} \\ r_{21} \\ r_{31} \end{bmatrix} \quad (4.77)$$

وإلا فإن: (iii)

$$\theta = \cos^{-1} \left( \frac{\text{tr } R - 1}{2} \right) \in [0, \pi]$$

وأيضاً:

$$[\omega] = \frac{1}{2 \sin \theta} (R - R^T) \quad (4.78)$$



الشكل 4.7:  $\text{SO}(3)$  على شكل كرة مصمتة ذات نصف قطر  $\pi$ .

إن صيغة المصفوفة اللوغارتمية يمكن أن يتم توضيحها على شكل توصيف لمجموعة الدورانات  $\text{SO}(3)$  بشكل كرة مصمتة ذات نصف قطر قدره  $\pi$  (انظر الشكل (4.7)): فإذا كانت لدينا نقطة  $r \in \mathbb{R}^3$  في هذه الكرة المصمتة، وإذا كانت  $\|\omega\| = r$ ، بحيث تكون  $\omega = \omega \theta$ . فـ  $\theta$  مصفوفة الدروان الموافقة لـ  $r$ ، يمكن تصورها على أنها الدوران حول المحور  $\omega$  بزاوية مقدارها  $\theta$ . ومن أجل أية مصفوفة دوران  $R \in \text{SO}(3)$  بحيث يكون  $\text{tr } R = -1$ ، فإنه يوجد شعاع  $r$  يقع داخل هذه الكرة المصمتة بحيث  $R = e^{[r]}$ . وفي حال كون  $\text{tr } R = 1$ ، فإن  $R$  عندما يعطى بنقطتين متعاكستين قطبياً Antipodal تقعان على سطح الكرة المصمتة. ومنه، فإذا

كان لدينا شعاع ما  $r$  بحيث يكون  $R = e^{[r]}$ ، فإن  $\pi = R$  أيضاً محقق، وكل من الشعاعين  $r$  و  $-r$  يعبران عن نفس الدوران فيما يتعلق بالمصفوفة  $R$ .

#### 4.2.6. وحدة الكواتيرنيون (المركب المتعدد)

إن من إحدى سمات الإحداثيات الأسيّة والتمثيل الأسّي للدوران في  $SO(3)$  تلك التي تظهر عند التقسيم على  $\sin\theta$  في الصيغة اللوغاريتمية لمصفوفة الدروان، حيث أن اللوغاريتم يتاثر من الناحية العددية بالقيم الصغيرة لدورانات الزاوية  $\theta$ . ووحدة الكواتيرنيون هي طريقة بديلة لتمثيل الدورانات بحيث تخفف من بعض هذه المصاعب العددية، لكن استخدام هذه الطريقة سيكلنا إضافة بارامتر رابع. وسوف نقوم بتوضيح تعريف وكيفية استخدام هذه الوحدة.

لنفترض أن لدينا  $R \in SO(3)$  وهي مصفوفة دوران تمثل تمثيلاً أسيّاً للإحداثيات  $e^{[\omega]\theta} = R$ ، حيث كما نعلم  $1 = \|\omega\| \in [0, \pi]$ . فإن تمثيل المصفوفة  $R$  باستخدام وحدة الكواتيرنيون يمكن بناؤه بتعریف الشعاع  $q \in R^4$  وفقاً للتالي:

$$q = \begin{bmatrix} q_0 \\ q_1 \\ q_2 \\ q_3 \end{bmatrix} = \begin{bmatrix} \cos \frac{\theta}{2} \\ \omega \sin \frac{\theta}{2} \end{bmatrix} \in R^4 \quad (4.79)$$

حيث أن طولية الشعاع  $q$  تساوي وبشكل واضح من التعريف  $1 = \|q\|$ . ومن الناحية الهندسية، فإن  $q$  هي عبارة عن نقطة متوضعة داخل كرة واحدة ثلاثة الأبعاد في المجال  $R^4$ ، ولهذا السبب فإن وحدة الكواتيرنيون يمكن أن تعرف من خلال هذه الكرة، ويشار إليها بالرمز  $S^3$ . وبصورة طبيعية فإنه من بين الأربع إحداثيات  $q$ ، فإن ثلاثة منها يمكن أن يتم اختيارها بشكل مستقل. فإذا تذكّرنا أن  $1 + 2\cos\theta = \text{tr } R = \text{tr } q^T q$ ، وباستخدام معادلة جيب التمام cosine لضعف زاوية ما، أي أن  $1 - \cos 2\phi = 2\cos^2 \phi$ ، فإن عناصر الشعاع  $q$  يمكن الحصول عليها مباشرة من خلال عناصر مصفوفة الدوران  $R$  كما يلي:

$$q_0 = \frac{1}{2} \sqrt{1 + r_{11} + r_{22} + r_{33}} \quad (4.80)$$

$$\begin{bmatrix} q_1 \\ q_2 \\ q_3 \end{bmatrix} = \frac{1}{4q_0} \begin{bmatrix} r_{32} - r_{23} \\ r_{13} - r_{31} \\ r_{21} - r_{12} \end{bmatrix} \quad (4.81)$$

ومن ناحية أخرى، فإذا كانت إحداثيات  $q$  معلومة لدينا  $(q_0, q_1, q_2, q_3)$ ، فإنه وفقاً لها يمكن الحصول على مصفوفة الدوران  $R$  على هيئة دوران حول محور الواحدة ذو الاتجاه المعطى بـ  $(q_1, q_2, q_3)$ ، بمقدار الزاوية  $2\cos^{-1} q_0$ . وبشكل أوضح يمكن أن نكتب:

$$R = \begin{bmatrix} q_0^2 + q_1^2 - q_2^2 - q_3^2 & 2(q_1 q_2 - q_0 q_3) & 2(q_0 q_2 + q_1 q_3) \\ 2(q_0 q_3 + q_1 q_2) & q_0^2 - q_1^2 + q_2^2 - q_3^2 & 2(q_2 q_3 - q_0 q_1) \\ 2(q_1 q_3 - q_0 q_2) & 2(q_0 q_1 + q_2 q_3) & q_0^2 - q_1^2 - q_2^2 + q_3^2 \end{bmatrix} \quad (4.82)$$

من المعادلة أعلاه يمكن أن نلاحظ أن كل من  $S^3 \in S^3$  و الشعاع المعاكس قطبياً  $-q \in S^3$  يخدم نفس مصفوفة الدوران  $R$ . وبالتالي يمكن القول أنه من أجل أية مصفوفة دوران فإنه يقابلها تمثيلين باستخدام وحدة الكوايتيرنيون بحيث يكونان متعاكسين قطبياً.

الخاصية الأخيرة والتي تهمنا فيما يتعلق بوحدة الكوايتيرنيون هي جداء دورانين. فإذا كانت لدينا مصفوفتي الدوران  $(R_q, R_p \in SO(3))$ ، ولدي كل من هاتين المصفوفتين تمثيلاً باستخدام وحدة الكوايتيرنيون  $\pm q \in S^3, \pm p \in S^3$  بالترتيب. فإن التمثيل بوحدة الكوايتيرنيون من أجل الجاء  $R_q R_p$  يمكن الحصول عليه بأن نقوم بداية بتنسيق عناصر كل من  $q$  و  $p$  على شكل مصفوفتين عقدتين أبعادهما  $2 \times 2$ :

$$Q = \begin{bmatrix} q_0 + iq_1 & q_2 + iq_3 \\ -q_2 + iq_3 & q_0 - iq_1 \end{bmatrix}, \quad P = \begin{bmatrix} p_0 + ip_1 & qp_2 + ip_3 \\ -p_2 + ip_3 & p_0 - ip_1 \end{bmatrix} \quad (4.83)$$

حيث  $q$  تشير إلى شعاع الواحدة المعقد (أو التخيلي). و عند إجراء الجاء  $QP = N$ ، فإن عناصر المصفوفة  $N$  ستكون وبالتالي:

$$N = \begin{bmatrix} n_0 + in_1 & n_2 + in_3 \\ -n_2 + in_3 & q_0 - in_1 \end{bmatrix} \quad (4.84)$$

وعناصر وحدة الكوايتيرنيون للجاء  $R_q R_p$  المعبر عنها بـ  $(n_0, n_1, n_2, n_3)$  يمكن الحصول عليها من عناصر المصفوفة  $N$ :

$$\begin{bmatrix} n_0 \\ n_1 \\ n_2 \\ n_3 \end{bmatrix} = \begin{bmatrix} q_0 p_0 - q_1 p_1 - q_2 p_2 - q_3 p_3 \\ q_0 p_1 + p_0 q_1 + q_2 p_3 - q_3 p_2 \\ q_0 p_2 + p_0 q_2 - q_1 p_3 + q_3 p_1 \\ q_0 p_3 + p_0 q_3 + q_1 p_2 - q_2 p_1 \end{bmatrix} \quad (4.85)$$

### 4.3. حركات الجسم الصلب :Rigid Body Motions

#### 4.3.1: تعريف:

سنقوم الآن بدراسة التمثيلات التي تجمع كل من الاتجاه Position و الموضع Orientation فيما يخص حركة الجسم الصلب. وقد يبدو هذا الأمر واضحاً إلى حد ما، فعندما يتم تعريف كل من جملة المحاور الثابتة وجملة المحاور المتحركة، فالاتجاه يمكن التعبير عنه من خلال مصفوفة الدوران  $(R \in SO(3))$ ، أما الموضع فيمكن التعبير عنه من خلال الشعاع  $p \in R^3$ . وبدلاً من تحديد كل من المصفوفة  $R$  والشعاع  $P$  بشكل منفصل، سنقوم بجمعهما بمصفوفة واحدة كما سيمر معنا.

**تعريف 4.4.** إن المجموعة الإقليدية Euclidean الخاصة  $SE(3)$ , والتي تعرف أيضاً باسم مجموعة حركات الجسم الصلب أو يمكن تسميتها التحويلات المتجانسة Homogeneous Transformations في المجال  $R^3$ , هي عبارة عن المجموعة التي تضم كل المصفوفات الحقيقة  $T$  ذات البعد  $4 \times 4$  من الشكل:

$$T = \begin{bmatrix} R & p \\ 0 & 1 \end{bmatrix} \quad (4.86)$$

حيث  $R \in SO(3)$  و  $p \in R^3$ , و  $0$  تشير إلى الصف ثلاثي الأبعاد للشاعر الصفرى. والعنصر  $T \in SE(3)$  يمكن أحياناً الإشارة له بالشكل  $(R, p) = T$ . وسنبدأ هذه الفقرة بتوضيح بعض الخصائص للمجموعة  $SE(3)$ , ومن ثم بشرح الغرض من تجميع  $R$  و  $p$  على شكل مصفوفة بطريقة لم نألفها من قبل.

من التعريف السابق يجب أن يكون واضحاً لنا أن ستة إحداثيات سوف تلزمنا لتشخيص  $SE(3)$ . وال الخيار الأكثر وضوحاً لنا بالنسبة للإحداثيات هو أننا يمكننا أن نستخدم إحدى التمثيلات ثلاثية البارامترات التي تم دراستها سابقاً من أجل المجموعة  $SO(3)$  (على سبيل المثال، زوايا أوiler Euler، والإحداثيات الأسيّة) من أجل تشخيص الدوران  $R$ , والإحداثيات الديكارتية الثلاثية المعروفة في المجال  $R^3$  لتشخيص الموضع  $p$ . وبدلاً من ذلك، سوف نقوم باستنتاج الصيغةسداسية الأبعاد للإحداثيات الأسيّة  $L(3)$   $SE(3)$  والتي تبدي العديد من الميزات بصورة أكثر من باقي طرق التشخيص.

إن العديد من الميكانيزمات الروبوتية التي صادفناها يمكن اعتبارها على أنها مستوية. وباستذكار حركات الجسم الصلب في الحالة المستوية، يمكننا كتابة التعريف التالي:

**تعريف 4.5.** المجموعة الإقليدية Euclidean الخاصة  $SE(2)$  والتي تضم جميع المصفوفات الحقيقة  $T$  ذات البعد  $3 \times 3$  من الشكل:

$$T = \begin{bmatrix} R & p \\ 0 & 1 \end{bmatrix} \quad (4.87)$$

حيث  $R \in SO(2)$  و  $p \in R^2$ , و  $0$  تشير إلى الصف ثالثي البعد للشاعر الصفرى.

والمصفوفة  $T \in SE(2)$  ستكون دائماً من الشكل:

$$T = \begin{bmatrix} \cos \theta & -\sin \theta & p_x \\ \sin \theta & \cos \theta & p_y \\ 0 & 0 & 1 \end{bmatrix}$$

حيث  $[0, 2\pi] \in \theta \in R^2$  و  $(p_x, p_y) \in R^2$ .

### 4.3.2. خصائص:

الخاصيتين التاليتين لـ  $\text{SE}(3)$  يمكن التأكد منها عن طريق الحساب المباشر.

**الخاصية 4.12.** ناتج جداء مصفوفتين من  $\text{SE}(3)$  هو أيضاً مصفوفة من  $\text{SE}(3)$ .

**الخاصية 4.13.** معکوس مصفوفة من  $\text{SE}(3)$  دائماً موجود، وله الشكل التالي:

$$\begin{bmatrix} R & p \\ 0 & 1 \end{bmatrix}^{-1} = \begin{bmatrix} R^T & -R^T p \\ 0 & 1 \end{bmatrix} \quad (4.88)$$

و قبل البدء بالكلام عن الخاصية التالية، سوف نقدم المفهوم التالي:

**تعريف 4.6.** إذا كان لدينا  $(R,p) \in \text{SE}(3)$  و  $x \in \mathbb{R}^3$ ، فإن الجداء  $Tx \in \mathbb{R}^3$  يمكن تعريفه بالشكل:

$$Tx = Rx + p \quad (4.89)$$

ويمكن توضيح هذا المفهوم عن طريق الحقيقة التي تقول أنه إذا كان لدينا  $x \in \mathbb{R}^3$ ، فإنه يمكن تحويله إلى شعاع رباعي الأبعاد عن طريق إضافة 1، وبالتالي:

$$\begin{bmatrix} R & p \\ 0 & 1 \end{bmatrix} \begin{bmatrix} x \\ 1 \end{bmatrix} = \begin{bmatrix} Rx + p \\ 1 \end{bmatrix} \quad (4.90)$$

والشعاع رباعي الأبعاد الناتج بـ إلـحـاق العـدـد 1 للشعـاع  $x$  هو مـثـال عن الإـحـادـيـات المـتجـانـسـة، وـالـتـحـوـيل  $T \in \text{SE}(3)$  هو وفقاً لـذلك يـسمـى بالـتـحـوـيل المـتجـانـسـ.

وبالتعریف السابق لـ  $Tx$ ، فإن الخاصية التالية يمكن أيضاً التأكد منها عن طريق الحساب المباشر.

**الخاصية 4.14.** لنفترض أن لدينا  $(R,p) \in \text{SE}(3)$  و  $x,y \in \mathbb{R}^3$ ، فإن ما يلي محقق دائماً:

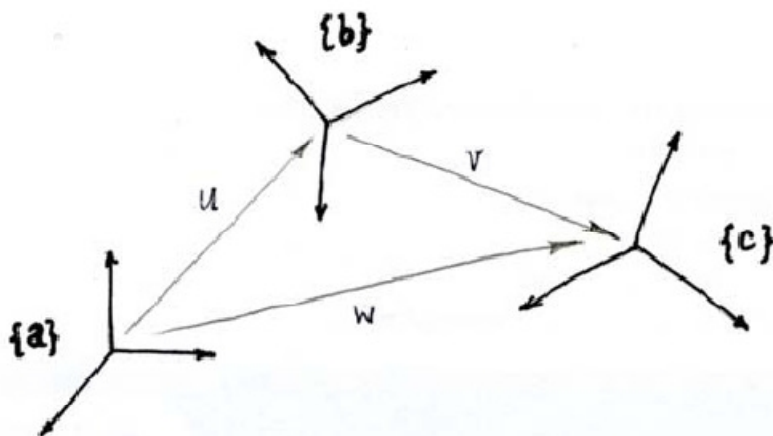
(i)  $\|Tx - Ty\| = \|x - y\|$  حيث  $\|\cdot\|$  تشير إلى الطولية الإقليدية القياسية Euclidean في المجال  $\mathbb{R}^3$ ، أي أن  $\|x\|^2 = x^T x$ .

(ii)  $\langle Tx - Ty, Ty - Tx \rangle = \langle x - z, y - z \rangle$  وذلك من أجل كل  $z \in \mathbb{R}^3$ ، حيث  $\langle \cdot, \cdot \rangle$  تشير إلى الجداء الداخلي الإقليدي Euclidean القياسي في المجال  $\mathbb{R}^3$ ، وهذا يعني أنه:  $\langle x, y \rangle = x^T y$ .

في الخاصية السابقة، تم اعتبارها على أنها مصفوفة تحويل على نقاط في  $\mathbb{R}^3$ ، وهذا يعني أن المصفوفة  $T$  تحول النقطة  $x$  إلى الوضع  $Tx$ . وفي الخاصية الجزئية الأولى فإن  $T$  تحافظ على المسافات، في حين إنه في الخاصية الجزئية الثانية، فإن  $T$  تحافظ على الزوايا. وبتقسيط أكثر، إذا كان لدينا  $x,y,z \in \mathbb{R}^3$  تمثل رؤوساً ثلاثة لمثلث ما، فإن المثلث الذي تم تحويله عن طريق تحويلات رؤوسه  $\{Tx, Ty, Tz\}$  يمتلك نفس الأطوال ونفس الزوايا كما في المثلث  $\{x,y,z\}$  (أو، يمكن القول أن المثلثين متساويان في القياس Isometric). ويمكن لأحد ما أن يتخيّل أن

النقطة  $x$  يمكن أن تكون نقطة من جسم صلب، وفي هذه الحالة فإن  $T_x$  تعبّر عن الانزياح (التحول) الحاصل للجسم الصلب. ومن هذا المنطلق فإنه يمكن القول أن  $SE(3)$  يمكن اعتمادها مع حركات الجسم الصلب.

الخصائص الأخرى المتبقية تصف المناحي الفيزيائية المختلفة التي تستخدم فيها حركات الجسم الصلب. وكما في الدورانات، فإن التفسيرات الوصفية Descriptive وكذلك التوجيهية Prescriptive موجودة أيضاً فيما يتعلق بحركات الجسم الصلب. وبالنظر إلى الشكل (4.8)، لنفترض أن لدينا ثلاث جمل محاور مرجعية  $\{a\}$  و  $\{b\}$  و  $\{c\}$  في الفضاء الفيزيائي، ولنقم بتعريف الشعاع  $u$  ليكون الشعاع من مبدأ إحداثيات جملة المحاور  $\{a\}$  إلى مبدأ إحداثيات جملة المحاور  $\{b\}$ ، ولنقم أيضاً بتعريف الشعاعين  $v$  و  $w$  كما هو موضح بالشكل. ولنفترض أن لدينا  $T_{ab} \in SE(3)$  وذلك للدلالة على الموضع والاتجاه لجملة المحاور  $\{b\}$  بالنظر إليها من جملة المحاور  $\{a\}$ ، حيث إن  $R_{ab}$  تشير إلى اتجاه جملة المحاور  $\{b\}$  بالنسبة إلى جملة المحاور  $\{a\}$ ، و  $p_{ab} \in R^3$  هو الشعاع الممثل لـ  $u$  معتبراً عنه في جملة المحاور  $\{a\}$ .  $T_{bc}$  و  $T_{ac}$  يتم تعريفهما بنفس الطريقة أيضاً، حيث  $R^3 \in p_{ac}$  هو الشعاع الممثل لـ  $w$  في جملة المحاور  $\{a\}$ ، و  $p_{bc} \in R^3$  هو الشعاع الممثل لـ  $v$  والمعتبر عنه في جملة المحاور  $\{b\}$ .



الشكل 4.8: ثلاثة جمل للمحاور في الفضاء.

**الخاصية 4.15.** لنفترض أن لدينا ثلاث جمل محاور  $\{a\}$  و  $\{b\}$  و  $\{c\}$  في الفضاء الفيزيائي، بحيث يكون  $T_{ab}, T_{bc}, T_{ac} \in SE(3)$  وكل منهم يعبر عن الانزياح النسبي بين هذه المحاور، فإننا نجد أن  $T_{ab}T_{bc} = T_{ac}$ .

البرهان: إذا كان كل من  $T_{ab}, T_{bc}, T_{ac} \in SE(3)$  معطى بالشكل:

$$T_{ab} = \begin{bmatrix} R_{ab} & p_{ab} \\ 0 & 1 \end{bmatrix}, \quad T_{bc} = \begin{bmatrix} R_{bc} & p_{bc} \\ 0 & 1 \end{bmatrix}, \quad T_{ac} = \begin{bmatrix} R_{ac} & p_{ac} \\ 0 & 1 \end{bmatrix}$$

وجدنا سابقاً من خلال دراسة خصائص مصفوفات الدوران أن  $R_{ab}R_{bc} = R_{ac}$ . وبالعودة إلى الشكل (4.8)، وللتعبير عن العلاقة الشعاعية  $w = u+v$  في جملة المحاور  $\{a\}$ ، فإننا نحتاج

أولاً لإيجاد التعبير للشعاع  $\nu$  في جملة المحاور  $\{a\}$ . ومن الخاصية (4.6) فإن هذا التعبير هو ببساطة عبارة عن  $R_{ab}p_{bc}$ . وبالتالي يمكن أن نستنتج:

$$p_{ac} = R_{ab}p_{bc} + p_{ab} \quad (4.91)$$

ويمكن جمع ما تم الحصول عليه في معادلة المصفوفات التالية:

$$\begin{bmatrix} R_{ab} & p_{ab} \\ 0 & 1 \end{bmatrix} \begin{bmatrix} R_{bc} & p_{bc} \\ 0 & 1 \end{bmatrix} = \begin{bmatrix} R_{ac} & p_{ac} \\ 0 & 1 \end{bmatrix} \quad (4.92)$$

أو بشكل مكافئ:  $T_{ab}T_{bc} = T_{ac}$

إن مفهوم  $T_{ab}$  هو طريقة مقنعة جداً لاحفاظ على متابعة العلاقات بين عدد من جمل المحاور. والخاصية التالية هي تتبع مباشرة للخاصية السابقة:

$$\text{الخاصية 4.16 . } T_{ab}^{-1} = T_{ba} \text{ و } T_{aa} = I$$

بالعودة مرة أخرى للشكل (4.8)، وبفرض أن  $q$  تشير إلى نقطة تقع ضمن الفضاء الفيزيائي ومقاسة بالنسبة لمبدأ إحداثيات جملة المحاور  $\{c\}$ . ولتكن  $q_b \in R^3$  هو التمثيل الشعاعي للنقطة  $q$  بالنسبة لجملة المحاور  $\{b\}$ ، حيث أن  $q_b = p_{bc}$ . وبطريقة مماثلة، لتكن  $q_a \in R^3$  هو التمثيل الشعاعي لنفس النقطة  $q$  بالنسبة لجملة المحاور  $\{a\}$ ، حيث أن  $q_a = p_{ac}$ . ولأن  $p_{bc}$  و  $p_{ac}$  مرتبطان بعضهما من خلال العلاقة (4.91)، فإن هذا يعني أن نفس العلاقة تتطبق على كل من  $q_b$  و  $q_a$ :

$$\begin{bmatrix} q_a \\ 1 \end{bmatrix} = \begin{bmatrix} R_{ab} & p_{ab} \\ 0 & 1 \end{bmatrix} \begin{bmatrix} q_b \\ 1 \end{bmatrix} \quad (4.93)$$

أو عن طريق مفهوم الإحداثيات المتجانسة:

$$q_a = T_{ab}q_b \quad (4.94)$$

وفي الحقيقة نحنا قمنا ببرهنة التالي:

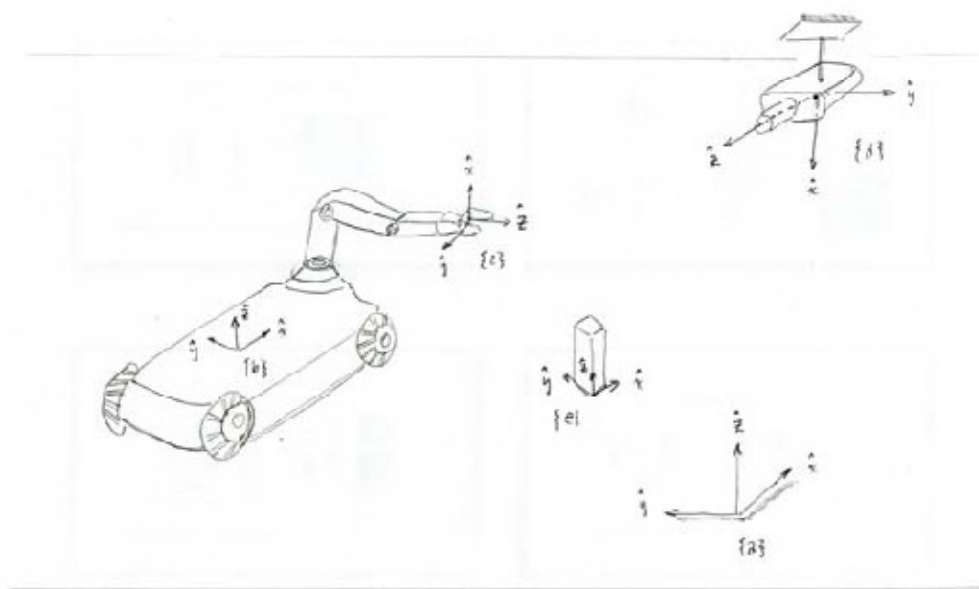
**الخاصية 4.17.** إذا كانت لدينا نقطة  $q$  في الفضاء الفيزيائي، وكان كل من  $q_b \in R^3$  و  $q_a \in R^3$  هما الشعاعان اللذان يشيران إلى إحداثيات هذه النقطة بالنسبة لجملة المحاور  $\{a\}$  و  $\{b\}$  على الترتيب، فإن:

$$q_a = T_{ab}q_b \quad (4.95)$$

حيث  $T_{ab}q_b$  هي عبارة عن الجانب الأيمن من المعادلة (4.93).

**مثال:**

الشكل (4.9) يظهر ذراعاً لروبوت مجمعة على قاعدة متنقلة ذات عجلات، وكاميرا مثبتة على السقف. إن جملتي المحاور {b} و {c} هما بالترتيب مربوطة بالقاعدة ذات العجلات وبالنهاية العاملة لذراع الروبوت، وجملة المحاور {d} مربوطة بالكاميرا. وتم اختيار جملة محاور إحداثية {a} ثابتة كما في الشكل. ويجب على الروبوت أن يمسك الجسم حيث جملة المحاور {e} مربوطة به. وبفرض أن التحويلات  $T_{db}$  و  $T_{de}$  يمكن حسابهما بالاعتماد على القياسات المستمدة من الكاميرا. والتحويل  $T_{bc}$  يمكن الحصول عليه عن طريق دراسة الكينماتيكية الأمامية Forward Kinematics للأوضاع الحالية للمفاصل. ويفترض أن يكون التحويل  $T_{ad}$  معلوماً لدينا. ولنفترض أن هذه التحويلات المعلومة أعطيت لنا بالشكل التالي:



الشكل 4.9: تعريف جمل المحاور المرجعية.

$$T_{db} = \begin{bmatrix} 0 & 0 & -1 & 250 \\ 0 & -1 & 0 & -150 \\ -1 & 0 & 0 & 200 \\ 0 & 0 & 0 & 1 \end{bmatrix}$$

$$T_{de} = \begin{bmatrix} 0 & 0 & -1 & 300 \\ 0 & -1 & 0 & 100 \\ -1 & 0 & 0 & 120 \\ 0 & 0 & 0 & 1 \end{bmatrix}$$

$$T_{ad} = \begin{bmatrix} 0 & 0 & -1 & 400 \\ 0 & -1 & 0 & 50 \\ -1 & 0 & 0 & 300 \\ 0 & 0 & 0 & 1 \end{bmatrix}$$

$$T_{bc} = \begin{bmatrix} 0 & -1/\sqrt{2} & -1/\sqrt{2} & 30 \\ 0 & 1/\sqrt{2} & -1/\sqrt{2} & -40 \\ 1 & 0 & 0 & 20 \\ 0 & 0 & 0 & 1 \end{bmatrix}$$

وبهدف جعل ذراع الروبوت يلقط الجسم، فإن  $T_{ce}$  يجب أن يتم تحديدها. ونحن نعلم أن:

$$T_{ab} T_{bc} T_{ce} = T_{ad} T_{de}$$

والمقدار الغير معلوم لنا بالإضافة إلى  $T_{ce}$  هو  $T_{ab}$ . وعلى كل حال فإنه يمكن تحديد  $T_{ab}$  بالشكل  $T_{ab} = T_{ad} T_{ddb}$  وبالتالي فيمكن تحديد  $T_{ce}$  كالتالي:

$$T_{ce} = (T_{ad} T_{db} T_{bc})^{-1} T_{ad} T_{de}$$

ومن التحويلات المعطاة لنا يمكن أن نجد:

$$T_{ad} T_{de} = \begin{bmatrix} 0 & 0 & 1 & 280 \\ 0 & 1 & 0 & -50 \\ 1 & 0 & 0 & 0 \\ 0 & 0 & 0 & 1 \end{bmatrix}$$

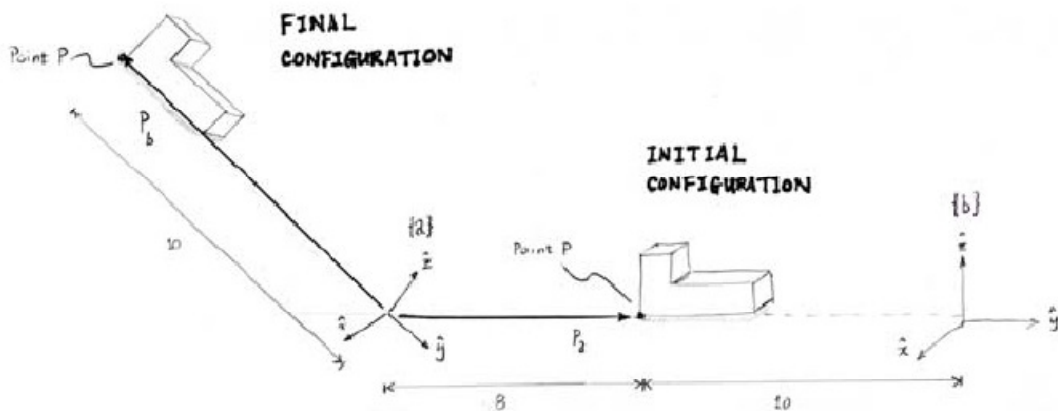
$$T_{ad} T_{db} T_{bc} = \begin{bmatrix} 0 & -1/\sqrt{2} & -1/\sqrt{2} & 230 \\ 0 & 1/\sqrt{2} & -1/\sqrt{2} & 160 \\ 1 & 0 & 0 & 75 \\ 0 & 0 & 0 & 1 \end{bmatrix}$$

$$(T_{ad} T_{db} T_{bc})^{-1} = \begin{bmatrix} 0 & 0 & 1 & -75 \\ -1/\sqrt{2} & 1/\sqrt{2} & 0 & -260/\sqrt{2} \\ -1/\sqrt{2} & -1/\sqrt{2} & 0 & 130/\sqrt{2} \\ 0 & 0 & 0 & 1 \end{bmatrix}$$

لقد توصلنا إلى هذه النتيجة عن طريق دراسة التفسير التوجيهي لحركة الجسم الصلب. إن الشكل (4.10) يظهر جسمًا صلباً تمت إزاحته (نقله) من هيئة ابتدائية ما إلى هيئة جديدة. {a} هي

جملة المحاور الثابتة، وحركة الجسم الصلب تم تمثيلها باستخدام المصفوفة  $T_{ba}$  المنتمية للمجموعة الإقليدية الخاصة (SE(3)) (وسنقوم بشرح كيفية تحديد جملة المحاور  $\{b\}$  من خلال هيئتين للجسم الصلب معلومتين بالنسبة لنا). إذا كانت  $p$  تشير إلى نقطة من الجسم الصلب، و  $p_b \in R^3$  هو الشعاع الذي يعبر عن إحداثيات النقطة  $p$  في الهيئة التي تم انزياحها، فإنه بإمكاننا أن نستنتج العلاقة:

$$p_b = T_{ba}p_a \quad (4.96)$$



الشكل 4.10: انتقال الجسم الصلب من هيئة بدائية إلى هيئة نهائية

جملة المحاور  $\{b\}$  الآن يمكن رسمها بحيث يكون موقعها نسبة لهيئة الجسم الصلب الابتدائية هو نفسه موقع جملة المحاور  $\{a\}$  نسبة لهيئة الجسم الصلب المنزاح (المنقول) (انظر الشكل 4.10). ولهذا المثال، فإن  $T_{ba}$  تعطى بالشكل:

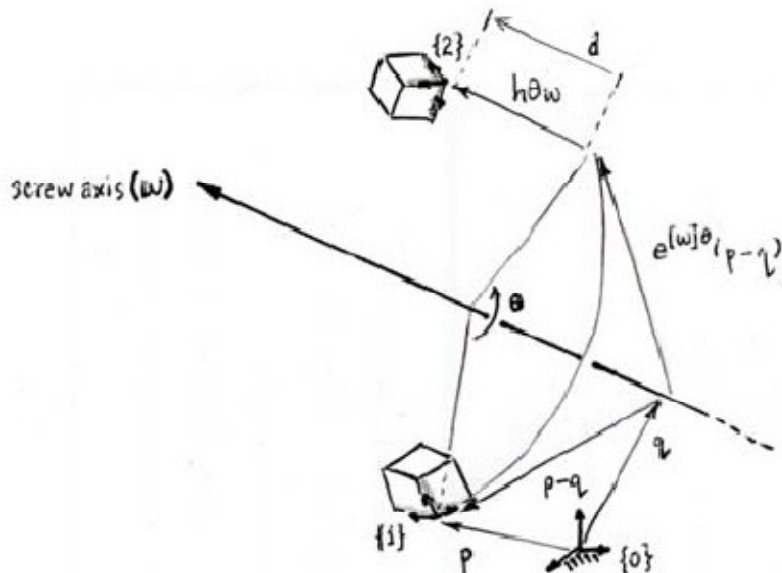
$$T_{ba} = \begin{bmatrix} 1 & 0 & 0 & 0 \\ 0 & 1/\sqrt{2} & 1/\sqrt{2} & -18 \\ 0 & -1/\sqrt{2} & 1/\sqrt{2} & 0 \\ 0 & 0 & 0 & 1 \end{bmatrix} \quad (4.97)$$

### 4.3.3. الحركات اللولبية :Screw Motions

#### 4.3.3.1 التمثيل الرياضي:

في المثال المستوى الذي تم إيراده في بداية هذا الفصل، رأينا أن أي انتقال (انزياح) للجسم الصلب يمكن أن يتحقق عن طريق دوران الجسم الصلب حول نقطة ما ثابتة في المستوى (وفي حال الانتقال الصافي Pure Translation (انسحاب بدون دوران)، فإن هذه النقطة تقع في اللانهاية). وهناك نتيجة شبيهة متعلقة بانتقالات الجسم الصلب في الحالة الفضائية، وتسمى هذه النتيجة بنظرية كاسيلز - موزي Chasles - Mozzi، والتي تنص على أن أي انزياح للجسم الصلب يمكن أن يتم التعبير عنه على أنه دوران حول محور ما في الفضاء، متبع بانتقال صافي (انسحاب) يكون موازيًا لهذا المحور. وفي الحقيقة، إن التبديل بين الانسحاب والدوران من حيث

الترتيب سيحافظ على نفس نتيجة الانزياح (الانتقال). ونستطيع تخيل ذلك من خلال تصور أن الدوران والانسحاب يتمان بنفس الوقت، مما يؤدي لحدوث الحركة اللولبية المعروفة.



الشكل 4.11: انواع الحركة اللولبية.

وفي هذه الفقرة سوف نقوم بدراسة التمثيل الرياضي للحركات اللولبية. الشكل (4.11) يظهر جسمًا صلبةً خاضعاً لعملية انزياح في فضاء ثلاثي الأبعاد. جميع الأشعة الموجودة في الشكل معبر عنها بالنسبة لجملة محاور ثابتة  $\{0\}$ . وتمت الإشارة للهيئة الابتدائية والنهاية للجسم الصلب من خلال تعريف جملة المحاور  $\{1\}$  و  $\{2\}$  بالترتيب. ووفقاً لنظرية كاسيلز - موزي - Chasles Mozzi، فإن هناك محوراً للحركة اللولبية ممثلاً عن طريق خط مستقيم مار من خلال النقطة  $q$  ويتوجه باتجاه شعاع الوحدة  $(n)$  بحيث يمكن التعبير عن الانتقال على شكل حركة لولبية حول ذلك المحور. وت تكون الحركة اللولبية من دوران حول محور الحركة اللولبية بزاوية مقدارها  $\theta$ ، وانسحاب يكون موازياً لمحور الحركة اللولبية بمسافة قدرها  $d$ . وكما تم التنوية سابقاً، فإنه يمكن تغيير الترتيب بين هاتين الحركتين (الانسحابية والدورانية) فلا يوجد فرق من حيث أية حركة تبدأ أولاً. وسنقوم الآن باستنتاج التحويل المتجانس المرتبط بالحركة اللولبية. فبفرض أن الانزياحات النسبية  $T_{01}$  و  $T_{02}$  معطاة لنا بالشكل:

$$T_{01} = \begin{bmatrix} R & p \\ 0 & 1 \end{bmatrix} \quad (4.98)$$

$$T_{02} = \begin{bmatrix} R' & p' \\ 0 & 1 \end{bmatrix} \quad (4.99)$$

وإذا كانت خطوة اللولب Pitch، والمشار لها بالرمز  $h$ ، وهي مقدار عددي معرف بالشكل:

$$h = \frac{d}{\theta} \quad (4.100)$$

فإنه من الشكل يمكن التعبير عن  $R'$  و  $p'$  كالتالي:

$$R' = e^{[\omega]\theta} R \quad (4.101)$$

$$p' = q + e^{[\omega]\theta}(p - q) + h\theta\omega \quad (4.102)$$

المعادلة الأولى تنتج من حقيقة كون الاتجاه لجملة المحاور {2} يمكن الحصول عليه عن طريق تدوير جملة المحاور {1} حول المحور  $\omega$  بمقدار الزاوية  $\theta$ . والمعادلة الثانية تأتي من خلال التحقق من أن  $p'$  هو الشعاع المحصل لجمع الأشعة الثلاثة  $q$  و  $(p-q)e^{[\omega]\theta}$  و  $h\theta\omega$  كما هو موضح بالشكل. والمعادلتين السابقتين يمكن جمعهم في المعادلة المصفوفية التالية:

$$\begin{bmatrix} R' & p' \\ 0 & 1 \end{bmatrix} = \begin{bmatrix} e^{[\omega]\theta} & (I - e^{[\omega]\theta})q + h\theta\omega \\ 0 & 1 \end{bmatrix} \begin{bmatrix} R & p \\ 0 & 1 \end{bmatrix} \quad (4.103)$$

والمصفوفة المنتمية إلى المجموعة SE(3) التالية:

$$\begin{bmatrix} e^{[\omega]\theta} & (I - e^{[\omega]\theta})q + h\theta\omega \\ 0 & 1 \end{bmatrix} \quad (4.104)$$

هي عبارة عن تمثيل التحويل المتجانس للحركة اللولبية. وفي هذا الفصل وأيضاً في الفصل القادم المتعلق بالتحليل الكينماتيكي، سوف نتطرق إلى الحالة التي يمكن التعبير بها عن هذه المصفوفة على شكل مصفوفة أسيّة، وذلك بالالجوء إلى نفس الطريقة التي من خلالها تعم التعبير عن مصفوفة الدوران على شكل أسي لمصفوفة متتماثلة منحرفة.

ولهذا الغرض، سوف نقدم المفهوم التالي:

**تعريف 4.7.** إذا كان لدينا  $v \in \mathbb{R}^3$ ,  $\omega \in \mathbb{R}^3$ , ليكن:

$$S = \begin{bmatrix} \omega \\ v \end{bmatrix} \in \mathbb{R}^6 \quad (4.105)$$

حيث يمكن كتابة  $S$  أيضاً بالشكل  $S = (\omega, v) \in \mathbb{R}^6$ . وهو عبارة عن شعاع سداسي الأبعاد ويطلق عليه اسم التلوب Twist. وسنقوم أيضاً بتعريف المصفوفة ذات الأبعاد  $4 \times 4$  التالية:

$$[S] = \begin{bmatrix} [\omega] & v \\ 0 & 0 \end{bmatrix}, \quad [\omega] = \begin{bmatrix} 0 & -\omega_3 & \omega_2 \\ \omega_3 & 0 & -\omega_1 \\ -\omega_2 & \omega_1 & 0 \end{bmatrix} \quad (4.106)$$

حيث السطر السفلي من  $[S]$  يتكون من أصفار.

باستخدام المفهوم السابق، لنقم الآن بإجاد صيغة متقاربة للمصفوفة الأسيّة التالية  $e^{[S]\theta}$ ، حيث إن  $S = (\omega, v) \in \mathbb{R}^3$  وبحيث تحقق  $1 = \|\omega\|$ . وبال اختيار المناسب لـ  $v$ ، فإن المصفوفة الأسيّة  $e^{[S]\theta}$  يمكن أن تكون مساوية للمعادلة (4.104)، وتكون مهمتنا حينئذ هي إيجاد  $v$ . وبنشر الصيغة الأسيّة على شكل سلسلة يقودنا لـ:

$$e^{[S]\theta} = I + [S]\theta + [S]^2 \frac{\theta^2}{2!} + [S]^3 \frac{\theta^3}{3!} + \dots = \begin{bmatrix} e^{[\omega]\theta} & G(\theta)v \\ 0 & 1 \end{bmatrix} \quad (4.107)$$

حيث:

$$G(\theta) = I\theta + [\omega]\theta + [\omega]^2 \frac{\theta^2}{2!} + [\omega]^3 \frac{\theta^3}{3!} + \dots$$

وبملاحظة التشابه بين  $G(\theta)$  وسلسلة النشر من أجل  $\theta$ ، فقد يكون من البديهي أنه بإمكاننا أن نستنتج المعادلة التالية  $G(\theta) = (e^{[\omega]\theta} - I)[\omega]$ ، وأن نستنتج أيضاً أن  $[\omega]^{-1} = (det[\omega])^{-1}$ . ولكن هذا خاطئ، لأن  $[\omega]^{-1}$  غير موجودة (يمكن التأكد من ذلك بحساب  $det[\omega]$ ).

وبدلاً من ذلك سوف نستخدم النتيجة التي وصلنا إليها سابقاً  $[\omega]^3 = -[\omega]$  والتي حصلنا عليها من خلال نظرية كيلي - هاميلتون Cayley - Hamilton. في هذه الحالة، فإن  $G(\theta)$  يمكن أن يبسطها إلى الشكل:

$$\begin{aligned} G(\theta) &= I\theta + [\omega] \frac{\theta^2}{2!} + [\omega]^2 \frac{\theta^3}{3!} + \dots \\ &= I\theta + \left( \frac{\theta^2}{2!} - \frac{\theta^4}{4!} + \frac{\theta^6}{6!} - \dots \right) [\omega] + \left( \frac{\theta^3}{3!} - \frac{\theta^5}{5!} + \frac{\theta^7}{7!} - \dots \right) [\omega]^2 \\ &= I\theta + (1 - \cos \theta)[\omega] + (\theta - \sin \theta)[\omega]^2 \end{aligned} \quad (4.108)$$

وبجمع هذه النتائج مع بعضها يمكن أن نقول:

**الخاصية 4.18.** إذا كان لدينا  $\omega, v \in \mathbb{R}^3$  وقمنا بتعريف  $S = (\omega, v)$ . وإذا كانت  $1 = \|\omega\|$ ، فإنه من أجل  $\theta \in \mathbb{R}$  يكون:

$$e^{[S]\theta} = \begin{bmatrix} e^{[\omega]\theta} & (I\theta + (1 - \cos \theta)[\omega] + (\theta - \sin \theta)[\omega]^2)v \\ 0 & 1 \end{bmatrix} \quad (4.109)$$

فإذا كانت  $\omega = 0$ ، فإن  $S = (0, v)$ ، وبالتالي:

$$e^{[S]\theta} = \begin{bmatrix} I & v\theta \\ 0 & 1 \end{bmatrix} \quad (4.110)$$

والمعادلة السابقة يمكن التأكد منها مباشرة عن طريق نشر السلسلة لـ  $e^{[S]\theta}$  مع جعل  $\omega$  تساوي الصفر.

والأآن سنجيب على السؤال المتعلق بكيفية اختيار  $v$  بحيث تكون المعادلة (4.109) مساوية للالمعادلة (4.104). والجواب هو:

$$v = -[\omega]q + h\omega \quad (4.111)$$

ويمكن التحق من ذلك بتعويض  $v$  في المعادلة (4.109) وذلك باستخدام الخواص  $0 = [\omega]\omega$  و  $[-\omega]^3 = [\omega]$ . وبهذا الاختيار لـ  $v$ , فإن الخطوة  $h$  للحركة الولبية يمكن التعبير عنها بالعلاقة:

$$h = \omega^T v \quad (4.112)$$

#### 4.3.3.2. المصفوفة اللوغارتمية للتحويل المتتجانس:

إن الاستنتاج السابق يرينا الدليل والبرهان على صحة نظرية كاسيلز - موزي Chasles Mozzi. بحيث أنه إذا كان لدينا  $(R,p) \in SE(3)$ , فإنه يمكن إيجاد  $S = (\omega,v)$  ورقم عددي  $\theta$  بحيث يكون:

$$e^{[S]\theta} = \begin{bmatrix} R & p \\ 0 & 1 \end{bmatrix} \quad (4.113)$$

وفي الحالة الأبسط، إذا كانت  $I = R$ , فإن  $0 = \omega$ , والاختيار الأفضل لـ  $v$  هو  $v = p/\|p\|$  (وهذا يعني أن  $\|p\| = \theta$  وهي مسافة الانسحاب). أما إذا كانت  $R$  ليست المصفوفة الواحدية وكان أيضاً  $\text{tr } R \neq -1$ , فإن الحل يعطى بالشكل:

$$[\omega] = \frac{1}{2 \sin \theta} (R - R^T) \quad (4.114)$$

$$v = G^{-1}(\theta)p \quad (4.115)$$

حيث  $\theta$  تحقق المعادلة  $\text{tr } R = 1 + 2\cos \theta$ . و  $G^{-1}(\theta)$  يمكن إثبات أنها تعطى بالعلاقة التالية:

$$G^{-1}(\theta) = \frac{1}{\theta} I + \frac{1}{2} [\omega] + \left( \frac{1}{\theta} - \frac{1}{2} \cot \frac{\theta}{2} \right) [\omega]^2 \quad (4.116)$$

وأخيراً، إذا كان  $\text{tr } R = -1$ , نختار  $\pi = \theta$ , و  $[\omega]$  يمكن الحصول عليها عن طريق المصفوفة اللوغارتمية لـ  $SO(3)$ . وعندما يتم تحديد كل من  $[\omega]$  و  $\theta$ , فإن  $v$  يمكن الحصول عليه من خلال العلاقة  $v = G^{-1}(\theta)p$ .

**الخوارزمية:** إذا كان لدينا  $(R,p) \in SE(3)$ , ونريد إيجاد  $R \in \text{SO}(3)$  و  $S = (\omega,v) \in \text{SE}(3)$  بحيث يكون  $R = e^{[\omega]\theta}$ .

(i) إذا كانت  $I = R$ , وبالتالي نجعل  $0 = \omega$  و  $v = p/\|p\|$ .

(ii) إذا كان  $\text{tr } R = -1$ , وبالتالي نجعل  $\pi = \theta = \log R$  و  $[\omega] = \text{tr } R = -1$  كما تم تحديدها من خلال المصفوفة اللوغارتمية في  $SO(3)$  في حالة  $-1 = \text{tr } R$ .

iii) وإلا فإننا نحسب  $\theta$  من العلاقة:

$$\theta = \cos^{-1} \left( \frac{\text{tr } R - 1}{2} \right) \in [0, \pi]$$

ويكون:

$$[\omega] = \frac{1}{2 \sin \theta} (R - R^T) \quad (4.117)$$

$$v = G^{-1}(\theta)p \quad (4.118)$$

حيث  $G^{-1}(\theta)$  يعطى بالعلاقة (4.116).

مثال:

وكمثال، يمكننا أن ندرس الحالة الخاصة لحركة الجسم الصلب والمتعلقة بالحالة المستوية وأن نستنتج المصفوفة اللوغارتمية لـ  $SE(2)$ . بالنظر مرة أخرى للشكل (4.1(b)), لنفترض أن الهيئة الابتدائية والنهاية للجسم ممثلة بالترتيب في  $SE(2)$  بالمصفوفتين:

$$T_{sb} = \begin{bmatrix} \cos 30^\circ & -\sin 30^\circ & 1 \\ \sin 30^\circ & \cos 30^\circ & 2 \\ 0 & 0 & 1 \end{bmatrix}$$

$$T_{sc} = \begin{bmatrix} \cos 60^\circ & -\sin 60^\circ & 2 \\ \sin 60^\circ & \cos 60^\circ & 1 \\ 0 & 0 & 1 \end{bmatrix}$$

في هذا المثال، إن انزياح الجسم الصلب يحدث في المستوى  $y-x$ . والحركة الولبية الموافقة لها تمثل محوراً لهذه الحركة باتجاه المحور  $z$ ، وستكون بخطوة تساوي الصفر. وشعاع التلوب الممثل للحركة الولبية سيكون بالشكل:

$$\omega = (0, 0, \omega_3)$$

$$v = (v_1, v_2, 0)$$

وباستخدام هذه الصيغة المختزلة، سوف نجد الحركة الولبية التي تنقل (تزيح) جملة المحاور من  $T_{sb}$  إلى  $T_{sc}$ ، أي  $T_{sc} = e^{[S]\theta} T_{sb}$ ، أو:

$$T_{sc} T_{sb}^{-1} = e^{[S]\theta}$$

حيث:

$$[S] = \begin{bmatrix} 0 & -\omega_3 & v_1 \\ \omega_3 & 0 & v_2 \\ 0 & 0 & 0 \end{bmatrix}$$

وهنا نستطيع أن نطبق خوارزمية المصفوفة اللوغارتمية بصورة مباشرة على  $T_{sc}^{-1} T_{sb}$  من أجل الحصول على  $[S]$  و  $\theta$  كالتالي:

$$[S] = \begin{bmatrix} 0 & -1 & 3 \\ 1 & 0 & -3 \\ 0 & 0 & 0 \end{bmatrix}$$

وبدلاً من ذلك، يمكننا أن نلاحظ أن الانزياح ليس انسحابياً (حيث  $T_{sb}$  و  $T_{sc}$  لهما مركبنا دوران مختلفان فيما بينهما بمقدار الزاوية  $30^\circ$ ) ومنه نستطيع أن نحدد بشكل سريع أن  $\theta = 30^\circ$ ، وأن  $\omega_3 = 1$ . ويمكن من الشكل أيضاً أن نحدد النقطة  $q = (q_x, q_y) = (q_x, q_y)$  في المستوى  $x-y$  والتي يمر منها محور الحركة اللولبية، وفي هذا المثال، فإن هذه النقطة تعطى بـ  $(3, 3) = q = h\omega \times q + h\omega$ . ولأن هذه الحركة اللولبية خطوطها تساوي الصفر ( $h = 0$ )، فباستخدام العلاقة  $v = \omega \times q + h\omega$  يمكن أن نجد أن:

$$(v_x, v_y) = (q_y, -q_x) = (-3, 3)$$

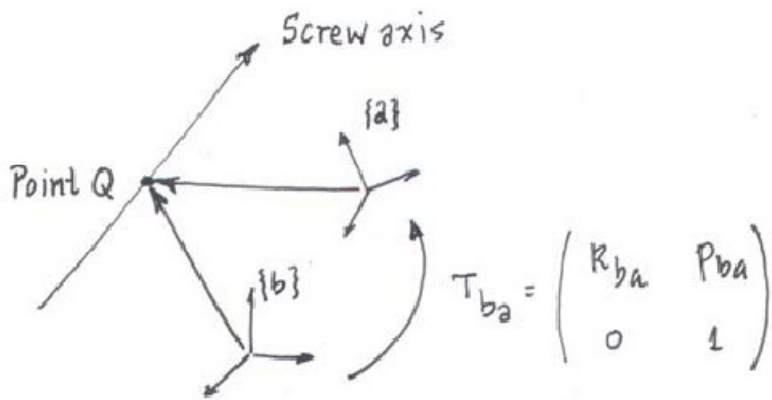
#### 4.3.3.3 الانزياح عند تغيير جمل المحاور المرجعية:

سندرس الآن كيف يتحول شاعر التلوب للحركة اللولبية عند تغيير جمل المحاور المرجعية. ولهذا الغرض، سنفترض أنه بشكل عام لدينا حركة لولبية لها الخطوة  $h$  (انظر الشكل (4.12)). وسنختار نقطة لا على التعيين  $q$  من محور الحركة اللولبية، وسوف نشير إلى إحداثياتها نسبة لكل من جملتي المحاور المرجعيتين  $\{a\}$  و  $\{b\}$  بالترتيب حيث  $q_a, q_b \in \mathbb{R}^3$ . ولتكن شاعر التلوب للحركة اللولبية كما تتم رؤيته من جملة المحارو  $\{a\}$  معطى بالشكل  $(\omega_a, v_a) = S_a$ ، حيث  $v_a = -\omega_a \times q_a + h\omega_a$ . وبطريقة مماثلة،  $v_b = -\omega_b \times q_b + h\omega_b$ . ولنفترض أنه لدينا التحويل المتجانس  $T_{ba} = (R_{ba}, p_{ba}) \in SE(3)$  بدلالة  $(\omega_a, v_a)$  و  $(R_{ba}, p_{ba})$ .

من النتائج السابقة، نحن نعلم أن  $q_b = R_{ba}q_a + p_{ba}$  و  $\omega_b = R_{ba}\omega_a + p_{ba}$ . وبالتالي يمكن أن نكتب:

$$\begin{aligned} v_b &= -R_{ba}\omega_a \times (R_{ba}q_a + p_{ba}) + hR_{ba}\omega_a \\ &= -[R_{ba}\omega_a]R_{ba}q_a - [R_{ba}\omega_a]p_{ba} + hR_{ba}\omega_a \\ &= -R_{ba}[\omega_a]R_{ba}^T R_{ba}q_a + [p_{ba}]R_{ba}\omega_a + hR_{ba}\omega_a \\ &= -R_{ba}[\omega_a]q_a + R_{ba}h\omega_a + [p_{ba}]R_{ba}\omega_b \\ &= R_{ba}(-[\omega_a]q_a + h\omega_a) + [p_{ba}]R_{ba}\omega_a \\ &= R_{ba}v_a + [p_{ba}]R_{ba}\omega_a \end{aligned} \quad (4.119)$$

حيث قمنا بالاستفادة من الخاصية  $R[u]R^T = [Ru]$  وذلك من أجل  $u, v \in \mathbb{R}^3$



الشكل 4.12: تحويل شعاع التلوب لحركة لوبيية نتيجة لتغير جملة المحاور المرجعية.

و  $\omega_b \in \mathbb{R}$ . وهذه المعادلات  $\omega_b$  و  $v_b$  يمكن كتابتها بالشكل المصفوفي المكافئ التالي:

$$\begin{bmatrix} [\omega_b] & v_b \\ 0 & 0 \end{bmatrix} = \begin{bmatrix} R_{ba} & p_{ba} \\ 0 & 1 \end{bmatrix} \begin{bmatrix} [\omega_a] & v_a \\ 0 & 0 \end{bmatrix} \begin{bmatrix} R_{ba}^T & -R_{ba}^T p_{ba} \\ 0 & 1 \end{bmatrix} \quad (4.120)$$

والمعادلة أعلاه يمكن كتابتها بالشكل  $S_b = T_{ba}[S_a]T_{ba}^{-1}$ ، والتي يمكن التعبير عنها بصيغة شعاعية كالتالي:

$$\begin{bmatrix} \omega_b \\ v_b \end{bmatrix} = \begin{bmatrix} R_{ba} & 0 \\ [p_{ba}]R_{ba} & R_{ba} \end{bmatrix} \begin{bmatrix} \omega_a \\ v_a \end{bmatrix} \quad (4.121)$$

وسنقدم الآن التحويل التالي المعبر عن العلاقة السابقة:

**تعريف 4.8.** إذا كان لدينا  $T = (R, p) \in SO(3)$  و  $S = (\omega, v) \in \mathbb{R}^6$  و  $S' = (\omega', v') \in \mathbb{R}^6$  فإن الدالة الملحقة  $S' = Ad_T(S)$  Adjoint Map يمكن تعريفها كالتالي:

$$S' = \begin{bmatrix} \omega' \\ v' \end{bmatrix} = \begin{bmatrix} R & 0 \\ [p]R & R \end{bmatrix} \begin{bmatrix} \omega \\ v \end{bmatrix} = Ad_T(S) \quad (4.122)$$

المفهوم  $[Ad_T]$  يستخدم من أجل الإشارة إلى التمثيل المصفوفي ذي البعد  $6 \times 6$  للتحويل الخطى  $:Ad_T$

$$[Ad_T] = \begin{bmatrix} R & 0 \\ [p]R & R \end{bmatrix} \quad (4.123)$$

وباستخدام هذا المفهوم، فإن العادلة (4.122) يمكن أيضاً كتابتها كالتالي:

$$S' = [Ad_T]S \quad (4.124)$$

والدالة الملحقة يمكن التعبير عنها بصورة مكافئة من خلال الشكل المصفوفي التالي:

$$[S] = T[S]T^{-1}$$

$$\begin{bmatrix} [\omega] & v \\ 0 & 1 \end{bmatrix} = \begin{bmatrix} R[\omega]R^T & [p]R\omega + Rv \\ 0 & 0 \end{bmatrix} \quad (4.125)$$

إن الدالة الملحقة تحقق الخصائص التالية، وكل منها يمكن التأكيد من صحتها من خلال الحساب المباشر:

**الخاصية 4.19.** لنفترض أن لدينا  $S = (\omega, v) \in SE(3)$  و  $T_1, T_2 \in SE(3)$ ، فإن:

$$Ad_{T_1}(Ad_{T_2}(S)) = Ad_{T_1 T_2}(S) \quad (4.126)$$

وأيضاً من أجل أي  $T \in SE(3)$  فإن العلاقة التالية محققة دوماً

$$Ad_T^{-1} = Ad_{T^{-1}} \quad (4.127)$$

الخاصية الجزئية الثانية تأتي من الخاصية الأولى وذلك من خلال اختيار  $T_1 = T^{-1}$  و  $T_2 = T$  بحيث:

$$Ad_{T^{-1}}(Ad_T(S)) = Ad_{T^{-1}T}(S) = Ad_I(S) = S \quad (4.128)$$

**الخاصية 4.20.** لنفترض وجود حركة لولبية معبر عنها بالنسبة لجملة محاور مرجعية {a} عن طريق التلولب  $S_a = (\omega_a, v_a)$ ، وبالنسبة لجملة محاور مرجعية أخرى {b} عن طريق التلولب  $S_b = (\omega_b, v_b)$ . وبالتالي فإن  $S_a$  و  $S_b$  مرتبطان ببعضهما بالعلاقاتين:

$$S_b = Ad_{T_{ba}}(S_a) \quad (4.129)$$

$$S_a = Ad_{T_{ab}}(S_b) \quad (4.130)$$

سننهي هذه الفقرة بمقارنة بين التفسير الوصفي والتوجيهي للحركة اللولبية. فبالعودة مرة أخرى للشكل (4.11)، نجد أن العلاقة بين  $T_{01}$  و  $T_{02}$  يمكن التعبير عنها وبالتالي:

$$T_{02} = e^{[S]\theta} T_{01} \quad (4.131)$$

$$T_{01} T_{12} T_{01}^{-1} = e^{[S]\theta} \quad (4.132)$$

وهنا  $e^{[S]\theta}$  يمكن عدتها على أنها انزياح الجملة من  $T_{01}$  إلى  $T_{02}$ ، وهذا هو التفسير التوجيهي للحركة اللولبية  $e^{[S]\theta} T_{12}$ . يمكن أيضاً التعبير عنها كمصفوفة أسيّة  $e^{[S]\theta} = e^{[S]\theta} T_{12}$  وذلك من أجل  $(\omega, v) = S$ ، حيث أن الحركة اللولبية  $e^{[S]\theta}$  هي التمثيل الوصفي للجملة {2} بحيث ينظر لها من الجملة {1}. وبتطبيق المعادلة التالية :

$$Pe^A P^{-1} = e^{PAP^{-1}}$$

نحصل على:

$$e^{[S]\theta} = T_{01} e^{[S']\theta} T_{01}^{-1} \quad (4.133)$$

$$= e^{(T_{01}[S']T_{01}^{-1})\theta} \quad (4.134)$$

وبعـاً لمفهوم الدالة الملحقة Adjoint، فإن العلاقة بين  $S$  و  $S'$  يمكن كتابتها بالشكل:

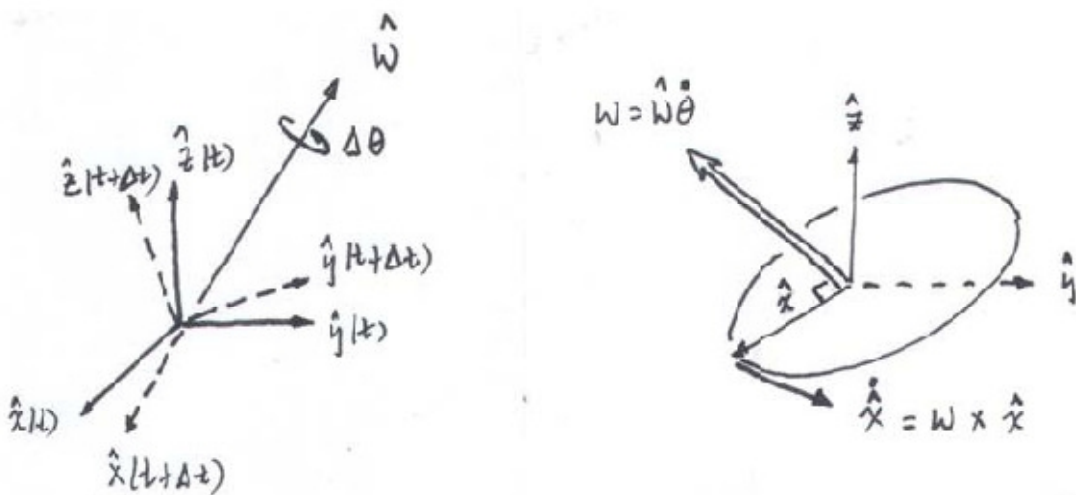
$$S = Ad_{T_{01}}(S') \quad (4.135)$$

حيث  $S$  هو التلوب الممثل للحركة اللولبية المعبر عنه نسبة للجملة  $\{0\}$ ، بينما  $S'$  هو التلوب الممثل لنفس الحركة اللولبية معبراً عنها في الجملة  $\{1\}$  بما يحقق المعادلة السابقة.

#### 4.4. السرعات والقوى:

##### 4.4.1. السرعات الزاوية :Angular Velocities

سنقوم أولاً بدراسة السرعة الزاوية للجسم الصلب. بالنظر إلى الشكل (4.13(a)), لنفترض أن لدينا جملة محاور الجسم ذات أشعة الواحدة  $\{\hat{x}, \hat{y}, \hat{z}\}$  والمربوطة بالجسم الصلب الذي يقوم بحركة دورانية. ولنقم بعملية الاشتتاق بالنسبة للزمن لأشعة الواحدة تلك. بداية مع الشعاع  $\hat{x}$ ، حيث نلاحظ أن الشعاع  $\hat{x}$  هو شعاع واحد (طوله هي واحدة الطول)، وبالتالي فإن اتجاه هذا الشعاع هو الذي يمكن أن يتغير مع الزمن (ونفس الأمر ينطبق على كل من  $\hat{y}$  و  $\hat{z}$ ). إذا درسنا جملة محاور الجسم عند الزمن  $t$  والزمن  $t + \Delta t$  (مع العلم أن ما يهمنا الآن هو اتجاهات جملة محاور الجسم، وبغية التوضيح أكثر فإننا نرسم جملة المحاور هذه عند هاتين اللحظتين بحيث يكون مبدأ الإحداثيات هو نفسه) فإن التغيير في اتجاهات جملة محاور الجسم من الزمن  $t$  إلى الزمن  $t + \Delta t$  يمكن أن تم وصفه على أنه دوران بمقدار زاوية  $\Delta\theta$  حول محور ما  $\hat{w}$  يمر من مبدأ الإحداثيات.



الشكل 4.13: (a) شعاع السرعة الزاوية اللحظية Instantaneous Angular Velocity. (b) حساب  $\dot{\hat{x}}$  (مشتق  $\hat{x}$  بالنسبة للزمن).

و عندما تنتهي قيمة  $\Delta t$  إلى الصفر، فإن السرعة  $\Delta\theta/\Delta t$  تصبح ما يسمى معدل الدوران  $\dot{\theta}$ ، والمotor  $\hat{w}$  بطريقة مشابهة يمكن أن يعد وكأنه المotor اللحظي للدوران. في الحقيقة، إن كل من  $\hat{w}$  و  $\dot{\theta}$  يمكننا من تعريف شعاع السرعة الزاوية كالتالي:

$$w = \hat{w}\dot{\theta} \quad (4.136)$$

ومن المهم أن نلاحظ أن كل من معدل الدوران  $\dot{\theta}$  واتجاه محور الدوران يمكن أن يتغيرا مع الزمن. وبالنظر إلى الشكل (4.13 (b)), فإنه من الواضح أن:

$$\hat{x} = w \times \hat{x} \quad (4.137)$$

$$\hat{y} = w \times \hat{y} \quad (4.138)$$

$$\hat{z} = w \times \hat{z} \quad (4.139)$$

لقد الان بالتعبير عن هذه المعادلات بشكل أوضح بالنسبة لجملة المحاور الإحداثية الثابتة. ولتكن  $R(t)$  هي مصفوفة الدوران التي تصف اتجاه جملة محاور الجسم بالنسبة لجملة المحاور الثابتة. ولتكن العمود الأول من المصفوفة  $R(t)$ ، والمشار إليه بالرمز  $r_1(t)$  يعبر عن  $\hat{x}$  بالنسبة لجملة المحاور الإحداثية الثابتة، وبشكل مشابه،  $r_2(t)$  و  $r_3(t)$  يعبران عن  $\hat{y}$  و  $\hat{z}$  بالترتيب وذلك بالنسبة لجملة المحاور الثابتة. لفترض أن  $\omega_s \in R^3$  هي السرعة الزاوية  $w$  وذلك بالنسبة لجملة المحاور الثابتة. وبالتالي فإن علاقات السرعة الثلاثة السابقة المعبر عنها في جملة المحاور الثابتة تصبح بالشكل.

$$\dot{r}_i = \omega_s \times r_i = [\omega_s]r_i, \quad i = 1, 2, 3.$$

والثلاث معادلات السابقة يمكن إعادة هيكلتها إلى شكل معادلة مصفوفة واحدة:

$$\dot{R} = [\omega_s]R \quad (1.140)$$

وبما أن  $R^{-1} = R^T$ ، فإن المعادلة السابقة تصبح بالشكل:

$$\dot{R}R^T = [\omega_s] \quad (1.141)$$

وهذه النتيجة تبرهن على أن  $R^T R$  ليس فقط مصفوفة متماثلة منحرفة، وإنما تعطي تفسيراً تفصيلاً فيزيائياً بكونها السرعة الزاوية في جملة المحاور الإحداثية الثابتة.

و الآن لتكن  $\omega_b$  تعبر عن السرعة الزاوية  $w$  في جملة محاور الجسم. ولنرى كيفية الحصول على  $\omega_b$  من  $\omega_s$  والعكس بالعكس. لنعد إلى المفهوم السابق المتعلق بكتابة  $R$  على شكل  $R_{sb}$  (حيث أن  $R_{sb}$  تعني اتجاه جملة محاور الجسم الصلب {b} بالنظر إليها من جملة المحاور الثابتة {s}). وبالتالي فإن  $\omega_s$  و  $\omega_b$  هما شعاعان مختلفان يمثلان نفس شعاع السرعة الزاوية  $w$ ، حيث نجد أن  $R_{sb}^{-1} = R_s^T \omega_b = R_{sb}^{-1} \omega_s = R_{sb} \omega_b$ :

$$\omega_b = R^T \omega_s \quad (4.142)$$

لنقم الآن بالتعبير عن المعادلة السابقة على شكل مصفوفة متماثلة منحرفة. ولنتذكر أنه من أجل أي  $R^3 \in R \in SO(3)$ ، فإن المعادلة  $R[\omega]R^T = [R\omega]R^T$  دائمًا محققة. وب بهذه النتيجة، يمكننا أن نعبر عن كل من جانبي المعادلة (4.142) على هيئة مصفوفة متماثلة منحرفة بالشكل:

$$\begin{aligned} [\omega_b] &= [R^T \omega_s] \\ &= R^T [\omega_s] R \\ &= R^T (\dot{R} R^T) R \\ &= R^T \dot{R} \end{aligned} \quad (4.143)$$

وباختصار، فإننا نحصل على المعادلتين التاليتين اللتين تربطان مصفوفة الدروان  $R$  بالسرعة الزاوية  $\omega$ :

**الخاصية 4.21.** إذا كان لدينا  $R(t)$  تشير إلى اتجاهات جملة المحاور الدائرة بالنظر إليها من جملة المحاور الثابتة. وبالإشارة إلى السرعة الزاوية للجملة الدائرة بالرمز  $w$ ، يمكننا أن نكتب:

$$\dot{R} R^{-1} = [\omega_s] \quad (4.144)$$

$$R^{-1} \dot{R} = [\omega_b] \quad (4.145)$$

حيث  $R^3 \in R \in R^3$  هو الشعاع  $w$  ممثلاً في جملة المحاور الثابتة، و  $\omega_b \in R^3$  هو الشعاع  $w$  نفسه ممثلاً في جملة محاور الجسم المتحركة.

#### 4.4.2. السرعات الفضائية:

الآن سنقوم بدراسة كلاً من السرعة الخطية والسرعة الزاوية لجملة المحاور المتحركة. وكما في السابق، سنشير بـ  $\{s\}$  و  $\{b\}$  إلى جملة المحاور الثابتة وجملة المحاور المتحركة على الترتيب، ولتكن لدينا:

$$T_{sb}(t) = T(t) = \begin{bmatrix} R(t) & p(t) \\ 0 & 1 \end{bmatrix} \quad (4.146)$$

بحيث تشير هذه المعادلة إلى التحويل المتجانس لجملة محاور الجسم  $\{b\}$  بالنظر إليها من جملة المحاور الثابتة  $\{s\}$  (وبقصد إظهار المعادلة بشكل منمق أكثر، فإننا في الوقت الحاضر سنكتب  $T$  بدلاً من  $T_{sb}$ ).

في الفقرة السابقة، وجدنا أن الضرب السابق أو اللاحق لـ  $R^{-1}$  سيؤدي إلى تمثيل لشعاع السرعة الزاوية على شكل مصفوفة متماثلة منحرفة إما في جملة المحاور الثابتة أو في جملة محاور الجسم الصلب المتحرك. ويمكن لأحد ما أن يسأل فيما إذا كانت هناك خاصية شبيهة يمكن أن تطبق على  $T$ ، أي فيما إذا كان  $T^{-1}T$  و  $T^T$  تحمل تقاسير فيزيائية مشابهة.

لنرى الآن ماذا يمكن أن يحدث عندما نقوم بالضرب السابق لـ  $T$  بـ  $T^{-1}$ :

$$\begin{aligned}
 T^{-1}\dot{T} &= \begin{bmatrix} R^T & -R^T p \\ 0 & 1 \end{bmatrix} \begin{bmatrix} \dot{R} & \dot{p} \\ 0 & 0 \end{bmatrix} \\
 &= \begin{bmatrix} R^T \dot{R} & R^T \dot{p} \\ 0 & 0 \end{bmatrix} \\
 &= \begin{bmatrix} [\omega_b] & v_b \\ 0 & 0 \end{bmatrix}
 \end{aligned} \tag{4.147}$$

ونحن نعلم أن  $\dot{R} = R^T R$  وهي عبارة عن تمثيل السرعة الزاوية بصورة مصفوفة متماثلة منحرفة وعبر عنها في جملة المحاور المتحركة. وأيضاً  $p$  هي السرعة الخطية لمبدأ إحداثيات الجملة المتحركة وعبر عنها بالنسبة لإحداثيات الجملة الثابتة، و  $v_b = R^T p$  هي السرعة الخطية كما هو عبر عنها في جملة المحاور المتحركة. وبجمع هاتين النتيجتين مع بعضهما، يمكن أن نستنتج أن  $\dot{T} = T^{-1} \dot{R}$  تمثل السرعة الزاوية والسرعة الخطية لجملة المحاور المتحركة بالنسبة لجملة المحاور الثابتة. إن الحساب السابق لـ  $\dot{T}$  يشير إلى أنه من الممكن دمج كل من  $v_b$  و  $\omega_b$  على شكل شعاع واحد للسرعة سداسي الأبعاد. وهذا بالضبط ما سنقوم به. لقمن بتعرف التالي:

$$V_b = \begin{bmatrix} \omega_b \\ v_b \end{bmatrix}, \quad [V_b] = \begin{bmatrix} [\omega_b] & v_b \\ 0 & 0 \end{bmatrix} = T^{-1} \dot{T} \tag{4.148}$$

ويمكن أيضاً أن نكتب  $(\omega_b, v_b) = V_b$ ، حيث  $V_b$  هو تمثيل  $V_b$  عن طريق مصفوفة رباعية الأبعاد  $4 \times 4$ . وسوف نطلق على  $V_b$  اسم السرعة الفضائية Spatial Velocity في الجملة المتحركة (جملة الجسم).

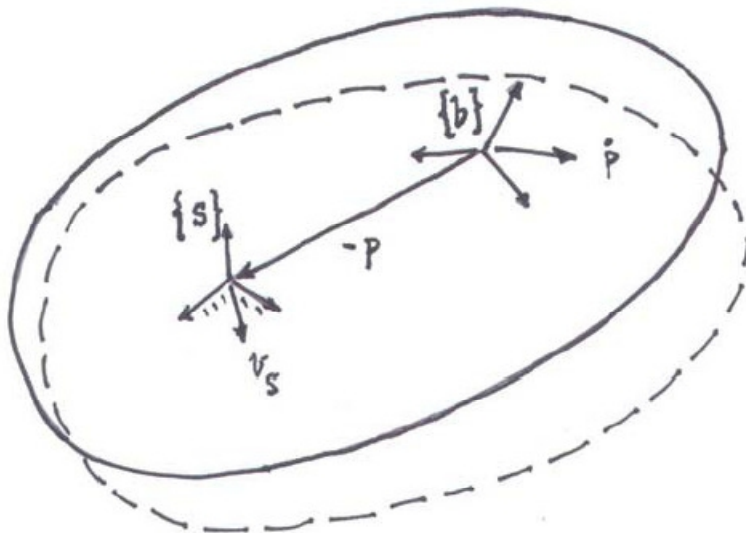
أصبحنا الآن نعلم ما هو التفسير الفيزيائي للجاء  $\dot{T}$ ، والآن لندرس الجاء  $T \dot{T}^{-1}$ :

$$\begin{aligned}
 \dot{T} T^{-1} &= \begin{bmatrix} \dot{R} & \dot{p} \\ 0 & 0 \end{bmatrix} \begin{bmatrix} R^T & -R^T p \\ 0 & 1 \end{bmatrix} \\
 &= \begin{bmatrix} \dot{R} R^T & \dot{p} - \dot{R} R^T p \\ 0 & 0 \end{bmatrix} \\
 &= \begin{bmatrix} [\omega_s] & v_s \\ 0 & 0 \end{bmatrix}
 \end{aligned} \tag{4.149}$$

ونلاحظ أن المصفوفة المتماثلة المنحرفة  $\dot{T} T^{-1} = R^T R$  هي السرعة الزاوية بحيث يتم التعبير عنها في جملة المحاور الثابتة، لكن  $R^T R - R^T p = v_s$  هي ليست السرعة الخطية لمبدأ إحداثيات جملة المحاور المتحركة معبراً عنها في جملة المحاور الثابتة (حيث السرعة الخطية لمبدأ إحداثيات جملة المحاور المتحركة هي ببساطة  $p$ ). ومن جهة أخرى، إذا كتبنا  $v_s$  كالتالي:

$$v_s = p - \omega_s \times p = p + \omega_s \times (-p) \tag{4.150}$$

فإن المعنى الفيزيائي لـ  $v_s$  يمكن أن يستنتج كالتالي: لتخيل أن جملة المحاور المتحركة مربوطة بجسم صلب غير متنه في الكبر، وبالتالي فإن  $v_s$  هي السرعة الخطية الخطية لحظية لنقطة من الجسم بالنسبة لجملة المحاور الثابتة (انظر الشكل (4.14)).



الشكل 4.14: التفسير الفيزيائي لـ  $v_s$ . الهيئة الابتدائية (الخط الغامق) والهيئة المزاحة (الخط المنقط) للجسم الصلب.

وكما فعلنا من أجل  $\omega_b$  و  $v_b$ ، فإننا أيضاً سوف ندمج  $\omega_s$  و  $v_s$  على شكل شعاع سراعه سداسي الأبعاد كالتالي:

$$V_s = \begin{bmatrix} \omega_s \\ v_s \end{bmatrix}, \quad [V_s] = \begin{bmatrix} [\omega_s] & v_s \\ 0 & 0 \end{bmatrix} = T \cdot T^{-1} \quad (4.151)$$

ويمكن أيضاً أن نكتب  $(\omega_s, v_s) = V_s$ ، حيث  $[V_s]$  هو تمثيل  $V_s$  عن طريق مصفوفة رباعية الأبعاد  $4 \times 4$ . وسوف نطلق على  $V_s$  اسم السرعة الفضائية في الجملة الثابتة (أو الفضاء).

إذا اعتبرنا أن كلًا من الجسم الثابت والجسم المتحرك هما أجسام غير متاهية في الكبر، فإننا نجد أن هناك ارتباطاً طبيعياً بين  $(\omega_b, v_b) = V_b$  و  $(\omega_s, v_s) = V_s$ :

(i)  $\omega_b$  هي السرعة الزاوية وفقاً لجملة الإحداثيات المتحركة.

(ii)  $\omega_s$  هي السرعة الزاوية وفقاً لجملة الإحداثية الثابتة.

(iii)  $v_b$  هي السرعة الخطية لمبدأ جملة الإحداثيات المتحركة بالنظر إليها من جملة الإحداثيات الثابتة.

(iv)  $v_s$  هي السرعة الخطية لمبدأ جملة الإحداثيات الثابتة (يمكن اعتبارها على أنها نقطة من الجسم الصلب المتحرك) بالنظر إليها من جملة الإحداثيات المتحركة.

بالتالي فإن  $V_b$  يمكن الحصول عليها من  $V_s$  كالتالي:

$$\begin{aligned}[V_b] &= T^{-1}\dot{T} \\ &= T^{-1}(\dot{T}T^{-1})T \\ &= T^{-1}[V_s]T \end{aligned} \quad (4.152)$$

وبصورة مماثلة نستطيع أن نستنتج أن:

$$[V_s] = T[V_b]T^{-1} \quad (4.154)$$

ويمكن للقارئ أن يدرك أن العلاقة بين  $V_s$  و  $V_b$  تعطى بشكل أدق بوساطة قاعدة التحويل لشعاع التلوب لحركة لولبية نتيجة لتغيير جمل المحاور المرجعية. في الحقيقة، باستخدام دالة المجموعة الملحقة  $Ad_T$  ، فإن المعادلة أعلاه يمكن كتابتها بالشكل:

$$V_s = Ad_T(V_b), \quad V_b = Ad_{T^{-1}}(V_s)$$

وقاعدة التحويل هذه يمكن بسهولة تذكرها إذا كتبنا  $T_{sb} = T$  ، وفي هذه الحالة:

$$V_s = Ad_{T_{sb}}(V_b) \quad (4.154)$$

$$V_b = Ad_{T_{bs}}(V_s) \quad (4.155)$$

وبكتابة المعادلتين السابقتين بالصيغة الموسعة نجد:

$$\begin{bmatrix} \omega_s \\ v_s \end{bmatrix} = \begin{bmatrix} R & 0 \\ [p]R & R \end{bmatrix} \begin{bmatrix} \omega_b \\ v_b \end{bmatrix} \quad (4.156)$$

$$\begin{bmatrix} \omega_b \\ v_b \end{bmatrix} = \begin{bmatrix} R^T & 0 \\ -R^T[p] & R^T \end{bmatrix} \begin{bmatrix} \omega_s \\ v_s \end{bmatrix} \quad (4.157)$$

النتائج الرئيسية المستخلصة من دراسة السرعات الفضائية يمكن إيجازها بالخاصية التالية:

**الخاصية 4.22.** لنفترض أن لدينا جملة محاور ثابتة (الفضاء)  $\{s\}$  ، وجملة محاور متحركة (الجسم)  $\{b\}$  ، وإذا كان لدينا  $T_{sb}(t) \in SE(3)$  حيث يمكن اشتقاقها:

$$T_{sb}(t) = \begin{bmatrix} R(t) & p(t) \\ 0 & 1 \end{bmatrix} \quad (4.158)$$

فإن:

$$T_{sb}^{-1}\dot{T}_{sb} = [V_b] = \begin{bmatrix} [\omega_b] & v_b \\ 0 & 0 \end{bmatrix} \quad (4.159)$$

هي السرعة الفضائية بالنسبة لجملة محاور الجسم، و:

$$\dot{T}_{sb}^{-1} = [V_s] = \begin{bmatrix} [\omega_s] & v_s \\ 0 & 0 \end{bmatrix} \quad (4.160)$$

هي السرعة الفضائية بالنسبة لجملة المحاور الثابتة (الفضاء). إن  $V_s$  و  $V_b$  مرتبطان من خلال العلاقات التالية:

$$V_s = \begin{bmatrix} \omega_s \\ v_s \end{bmatrix} = \begin{bmatrix} R & 0 \\ [p]R & R \end{bmatrix} \begin{bmatrix} \omega_b \\ v_b \end{bmatrix} = \text{Ad}_{T_{sb}}(V_b) \quad (4.161)$$

$$V_b = \begin{bmatrix} \omega_b \\ v_b \end{bmatrix} = \begin{bmatrix} R^T & 0 \\ -R^T[p] & R^T \end{bmatrix} \begin{bmatrix} \omega_s \\ v_s \end{bmatrix} = \text{Ad}_{T_{bs}}(V_s) \quad (4.162)$$

#### 4.4.3. القوى الفضائية:

رأينا سابقاً أنه من الجيد أن ندمج السرعات الزاوية والخطية فيما يسمى شعاع السرعة الفضائية والتي هي عبارة عن مصفوفة سداسية الأبعاد، ولنفس السبب، سيكون من المفيد أن ندمج أيضاً كلاً من القوى والعزوم فيما يسمى القوة الفضائية Spatial Force وهي أيضاً مصفوفة سداسية الأبعاد. ولهذا الغرض، لفترض أن لدينا قوة ما  $f$  يتم تطبيقها على نقطة  $p$  من الجسم الصلب. ولنفترض أن لدينا جملة محاور مرجعية ما  $\{a\}$ ، وكان  $f_a \in R^3$  تشير إلى التمثيل الشعاعي للقوة  $f$  في جملة المحاور  $\{a\}$ . إن هذه القوة تولد عزماً بالنسبة لجملة المحاور  $\{a\}$ ، وهذا العزم يكتب بالشكل:

$$m_a = r_a \times f_a \quad (4.163)$$

حيث  $r_a \in R^3$  هو الشعاع من مبدأ إحداثيات جملة المحاور  $\{a\}$  إلى النقطة  $p$  معبراً عنه في جملة المحاور  $\{a\}$ . وسوف ندمج كلاً من القوة  $f_a$  والعزوم  $m_a$  في مصفوفة واحدة سداسية الأبعاد تسمى القوة الفضائية  $(m_a, f_a) = F_a$ ، وذلك نسبة لجملة المحاور  $\{a\}$ . وباعتبار نفس طريقة الإصطلاح في نظرية الحركة اللولبية، سنطلق على هذه القوة الفضائية اسم التلوّي Wrench.

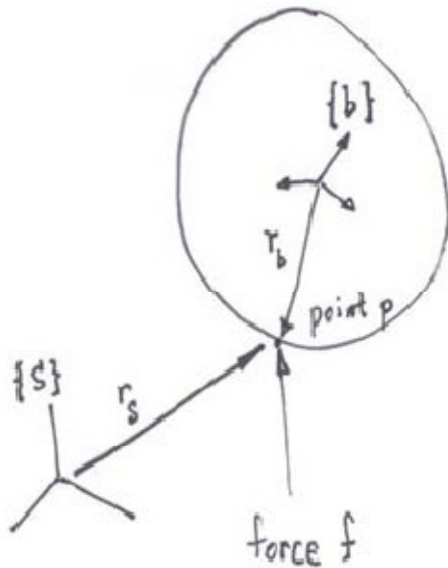
لنفترض الآن أننا نريد أن نعبر عن القوة والعزوم بالنسبة لجملة محاور آخر  $\{b\}$ . فسيكون لدينا  $f_b \in R^3$  تشير إلى التمثيل الشعاعي للقوة  $f$  معبراً عنها في جملة المحاور  $\{b\}$ . والعزوم المتولد من هذه القوة معبراً عنه في جملة المحاور  $\{b\}$  سيكون:

$$m_b = r_b \times f_b \quad (4.164)$$

حيث  $r_b \in R^3$  هو الشعاع من مبدأ إحداثيات جملة المحاور  $\{b\}$  إلى النقطة  $p$  معبراً عنه في جملة المحاور  $\{b\}$ . وكما فعلنا بالنسبة لـ  $F_a$ ، سنقوم بدمج كلاً من القوة  $f_b$  والعزوم  $m_b$  في مصفوفة سداسية الأبعاد  $(m_b, f_b) = F_b$ ، وتسمى بالقوة الفضائية معبراً عنها في جملة المحاور  $\{b\}$ .

وإذن سنقوم بتحديد العلاقة بين  $(m_a, f_a) = F_a$  و  $(m_b, f_b) = F_b$ . فبالنظر إلى الشكل (4.15)، فإننا سنشير إلى التحويل  $T_{ab}$  بالشكل:

$$T_{ab} = \begin{bmatrix} R_{ab} & p_{ab} \\ 0 & 1 \end{bmatrix}$$



الشكل 4.15: العلاقة بين  $F_a$  و  $F_b$ .

ومن الواضح أن  $f_b = R_{ba}f_a$ ، ويمكن من خلال ما تمت دراسته سابقاً أن نكتب:

$$f_b = R_{ab}^T f_a \quad (4.165)$$

والعزم  $m_b$  يعطي بالعلاقة  $r_b \times f_b = R_{ba}(r_a - p_{ab})$  حيث  $r_b = R_{ba}(r_a - p_{ab})$ ، وهذا يأتي من حقيقة كون  $r_a - p_{ab}$  معيّر عنه في جملة المحاور  $\{a\}$ ، ويجب تحويله لجملة المحاور  $\{b\}$  عن طريق الضرب بـ  $R_{ba}$ . وأيضاً من خلال ما درسناه، فإنه يمكن أن نكتب:

$$r_b = R_{ab}^T(r_a - p_{ab})$$

والعزم  $m_b = r_b \times f_b$  يمكن الآن كتابته بدلالة  $f_a$  و  $m_a$  كالتالي:

$$\begin{aligned} m_b &= R_{ab}^T(r_a - p_{ab}) \times R_{ab}^T f_a \\ &= [R_{ab}^T r_a] R_{ab}^T f_a - [R_{ab}^T p_{ab}] R_{ab}^T f_a \\ &= R_{ab}^T[r_a] f_a - R_{ab}^T[p_{ab}] f_a \\ &= R_{ab}^T m_a + R_{ab}^T[p_{ab}]^T f_a \end{aligned} \quad (4.166)$$

حيث قمنا في السطر الأخير بالاستفادة من الخاصية  $[p_{ab}]^T = -[p_{ab}]$ . وبكتابة كل من  $f_b$  و  $m_b$  بدلالة كل من  $f_a$  و  $m_a$ ، ومن المعادلة (4.165) و المعادلة (4.166) يمكن أن نكتب:

$$\begin{bmatrix} m_b \\ f_b \end{bmatrix} = \begin{bmatrix} R_{ab} & 0 \\ [p_{ab}] R_{ab} & R_{ab} \end{bmatrix}^T \begin{bmatrix} m_a \\ f_a \end{bmatrix} \quad (4.167)$$

أو بدلالة القوى الفضائية وباستخدام الدالة الملحقة:

$$F_b = \text{Ad}_{T_{ab}}^T(F_a) = [\text{Ad}_{T_{ab}}]^T F_a \quad (4.168)$$

ومن المعادلة السابقة يمكن أن نلاحظ أنه في حال تغيير جمل المحاور، فإن السرعات الفضائية يتم تحويلها عن طريق دالة المجموعة الملحقة، في حين أن القوى الفضائية يتم تحويلها باستخدام منقول هذه الدالة.

## الفصل الخامس

### التحليل الكينماتيكي الأمامي لروبوتات السلسلة المفتوحة

### Forward Kinematics of Open Chain Robots

إن التحليل الكينماتيكي الأمامي (أو المباشر) لروبوت يشير إلى مجموعة الإجراءات والعمليات الحسابية التي تهدف إلى إيجاد موقع Position واتجاه Orientation جملة محاور النهاية العاملة استناداً إلى معيّنات المفاصل. الشكل (5.1) يظهر مسألة التحليل الكينماتيكي الأمامي لروبوت متعدد ذي سلسلة مفتوحة Open Chain يحوي ثلاثة مفاصل دوّرانية R<sub>3R</sub>. ابتداءً من وصلة القاعدة، إن أطوال الوصلات هي L<sub>1</sub>, L<sub>2</sub>, L<sub>3</sub>. وباختيار جملة محاور ثابتة {0} بحيث يكون مبدأ إحداثياتها متوضعاً في مفصل القاعدة، وبفترض أيضاً أن جملة محاور خاصة بالنهاية العاملة {4} قد تم ربطها عند قمة الوصلة الثالثة، فإن الإحداثيات الديكارتية (x,y) والاتجاه φ لجملة محاور النهاية العاملة كتابع لزوايا المفاصل (θ<sub>1</sub>, θ<sub>2</sub>, θ<sub>3</sub>) تعطى بالعلاقات التالية:

$$x = L_1 \cos \theta_1 + L_2 \cos(\theta_1 + \theta_2) + L_3 \cos(\theta_1 + \theta_2 + \theta_3) \quad (5.1)$$

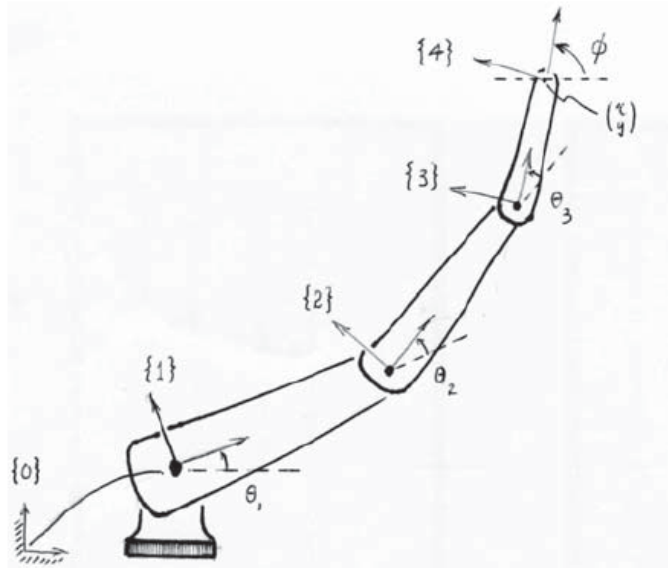
$$y = L_1 \sin \theta_1 + L_2 \sin(\theta_1 + \theta_2) + L_3 \sin(\theta_1 + \theta_2 + \theta_3) \quad (5.2)$$

$$\phi = \theta_1 + \theta_2 + \theta_3 \quad (5.3)$$

إذا كان ما يهمنا هو موقع النهاية العاملة (x,y) فقط، فإن فضاء المهمة (فضاء العمل) حينها يكون المستوي x-y، والتحليل الكينماتيكي الأمامي سيتألف من المعادلين (5.1) و (5.2) فقط. أما إذا كان ما يهمنا هو موقع واتجاه الرأس العامل، فإن التحليل الكينماتيكي الأمامي عندها سيتألف من ثلاثة معادلات (5.1) و (5.2) و (5.3).

وكم نعلم فإن التحليل السابق يمكن أن يتم فقط باستخدام بعض القواعد الأساسية في علم المثلثات Trigonometry، ولكن في المقابل، فإنه ليس من الصعب أن نتخيل أن مثل هذا التحليل يصبح أكثر تعقيداً في حالة السلسلة الفضائية العامة. ووإحدى الطرق أكثر انتظاماً من أجل استنتاج التحليل الكينماتيكي الأمامي هي أن نقوم أولاً بربط جملة المحاور بكل وصلة من وصلات الروبوت، ففي الشكل (5.1) تم تسمية جملة المحاور المرجعية للوصلات الثلاث بـ {1} و {2} و {3} بالترتيب. وبالتالي فإن التحليل الكينماتيكي الأمامي يمكن كتابته على شكل جداء مصفوفات تتنمي للمجموعة SE(2):

$$T_{04} = T_{01} T_{12} T_{23} T_{34}$$



الشكل 5.1: التحليل الكينماتيكي الأمامي لروبوت ذي سلسلة مفتوحة فيه ثلاثة مفاصل دورانية R3.

حيث:

$$T_{01} = \begin{bmatrix} \cos \theta_1 & -\sin \theta_1 & 0 \\ \sin \theta_1 & \cos \theta_1 & 0 \\ 0 & 0 & 1 \end{bmatrix}, \quad T_{12} = \begin{bmatrix} \cos \theta_2 & -\sin \theta_2 & L_1 \\ \sin \theta_2 & \cos \theta_2 & 0 \\ 0 & 0 & 1 \end{bmatrix}$$

$$T_{23} = \begin{bmatrix} \cos \theta_3 & -\sin \theta_3 & L_2 \\ \sin \theta_3 & \cos \theta_3 & 0 \\ 0 & 0 & 1 \end{bmatrix}, \quad T_{34} = \begin{bmatrix} 1 & 0 & L_3 \\ 0 & 1 & 0 \\ 0 & 0 & 1 \end{bmatrix} \quad (5.4)$$

ونلاحظ أن  $T_{34}$  هو مقدار ثابت، وبقية التحويلات  $T_{i-1,i}$  تعتمد فقط على المتغير لكل مفصل  $\theta_i$ .

وبدلاً من ذلك، إذا اعتبرنا كل محور مفصل على أنه محور لحركة لولبية ذات خطوة تساوي الصفر، فإننا نلاحظ أن محور المفصل الثالث يمكن التفكير بخصوصه على أنه حركة لولبية للوصلة الثالثة. ففترض أن قيمتي المفصلين  $\theta_1$  و  $\theta_2$  ثابتتين عند القيمة صفر، فإننا نستطيع أن نكتب استناداً إلى تمثيل الحركة الحركة اللولبية على هيئة مصفوفة أسيّة والتي درسناها في الفصل السابق:

$$T_{04} = e^{[S_3]\theta_3} M \quad (5.5)$$

حيث:

$$M = \begin{bmatrix} 1 & 0 & L_1 + L_2 + L_3 \\ 0 & 1 & 0 \\ 0 & 0 & 1 \end{bmatrix} \quad (5.6)$$

وهي تصف موقع واتجاه جملة المحاور {4} عندما تكون كل قيم المفاصل مساوية للصفر، ويكون أيضاً:

$$[S_3] = \begin{bmatrix} 0 & -1 & 0 \\ 1 & 0 & -(L_1 + L_2) \\ 0 & 0 & 0 \end{bmatrix} \quad (5.7)$$

وبطريقة مماثلة، فإن محور المفصل الثاني يمكن النظر إليه على أن تطبيق لحركة لولبية ذات خطوة مساوية للصفر على زوج الوصلات الثاني والثالث، وبفرض أن  $\theta_1$  ثابتة عند القيمة صفر، فإننا نستطيع أن نكتب:

$$T_{04} = e^{[S_2]\theta_2} e^{[S_3]\theta_3} M \quad (5.8)$$

حيث  $[S_3]$  و  $M$  تبيان كما تم استنتاجهما في السابق، ويكون:

$$[S_2] = \begin{bmatrix} 0 & -1 & 0 \\ 1 & 0 & -L_1 \\ 0 & 0 & 0 \end{bmatrix} \quad (5.9)$$

وأخيراً، محور المفصل الأول يمكن أيضاً النظر إليه على أنه تطبيق لحركة لولبية ذات خطوة مساوية للصفر على تجميع الثلاث مفاصل كلها، ومن أجل أية قيم لـ  $(\theta_1, \theta_2, \theta_3)$  يمكننا بالتالي أن نكتب:

$$T_{04} = e^{[S_1]\theta_1} e^{[S_2]\theta_2} e^{[S_3]\theta_3} M \quad (5.10)$$

حيث  $[S_2]$  و  $[S_3]$  و  $M$  تبقى كما استنتجت في السابق، ويكون:

$$[S_1] = \begin{bmatrix} 0 & -1 & 0 \\ 1 & 0 & 0 \\ 0 & 0 & 0 \end{bmatrix} \quad (5.11)$$

ولهذا فالتحليل الكينماتيكي الأمامي يمكن أن يتم التعبير عنه أيضاً كجاء مصفوفات أسيّة، وكل منها متعلق بحركة لولبية ما. ونلاحظ أن الاستنتاج الأخير للتحليل الكينماتيكي الأمامي لا يستخدم أية جمل محاور مرجعية للوصلات.

في هذا الفصل سندرس التحليل الكينماتيكي الأمامي للروبوتات ذات السلسلة المفتوحة بشكل عام، بحيث يكون مجال العمل هو موقع واتجاه جملة محاور النهاية العاملة في معظم الحالات بشكل عام. وهناك طريقتان واسعتا الانتشار من أجل التحليل والتعميل الكينماتيكي الأمامي لروبوتات السلسلة المفتوحة، وهما الطريقتان اللتان سنتطرّم دراستهما: تمثيل التحويل المتبعان المستند إلى بارامترات دينافيت - هارتنبرغ (D-H) - Denavit - Hartenberg، والمعبر عنها بالمعادلة (5.4)، والطريقة الثانية هي الصيغة النظرية للحركة اللولبية المستندة إلى صيغة جاء الأسيّات

تمثيل D-H هي أن هذا التمثيل يتطلب عدداً أقل من البارامترات من أجل وصف الهيكلاية الكينماتيكية للروبوت. وفي المقابل، فإن طريقة PoE تتطلب عدداً أكثر من البارامترات، ولكن كما سنرى فيما بعد، فإن هذه الطريقة تمتلك العديد من المزايا بالمقارنة مع تمثيل D-H (على سبيل المثال، ليست هناك أي ضرورة لوجود جمل محاور للوصلات) الأمر الذي يجعل هذه الطريقة، مع وجود بعض الاستثناءات، الخيار الأفضل من أجل التمثيل والتحليل الكينماتيكي الأمامي.

## 5.1. تمثيل دينافيت – هارتبرغ :Denavit – Hartenberg

إن الفكرة الأساسية التي يعتمد عليها مبدأ دينافيت - هارتبرغ Denavit - Hartenberg من أجل التحليل الكينماتيكي الأمامي هي أن نربط جملة محاور مرجعية لكل وصلة من وصلات الروبوت ذي السلسلة المفتوحة، ومن ثم استنتاج التحليل الكينماتيكي الأمامي استناداً إلى معرفة الانزياحات النسبية بين جمل محاور الوصلات المتجاورة. لذلك نفترض أننا قمنا باختيار جملة محاور مرجعية ثابتة، وأن جملة محاور مرجعية (جملة محاور النهاية العاملة) تم ربطها بنقطة الأرض الوصلة رقم 0، والوصلة الأخيرة التي تم ربط جملة محاور مرجعية (جملة محاور النهاية العاملة) فيها هي الوصلة رقم n. وتبعاً لذلك يتم ترقيم جمل المحاور المرتبطة بالوصلات من {0} (جملة المحاور الثابتة) إلى {n} (جملة محاور النهاية العاملة). ويتم الإشارة لمتغير المفصل المتعلق بالمفصل i بالرمز  $\theta_i$ . ومنه فإن التمثيل الكينماتيكي الأمامي للروبوت ذي السلسلة المفتوحة والمكون من n مفصل يمكن التعبير عنه بالشكل الآتي:

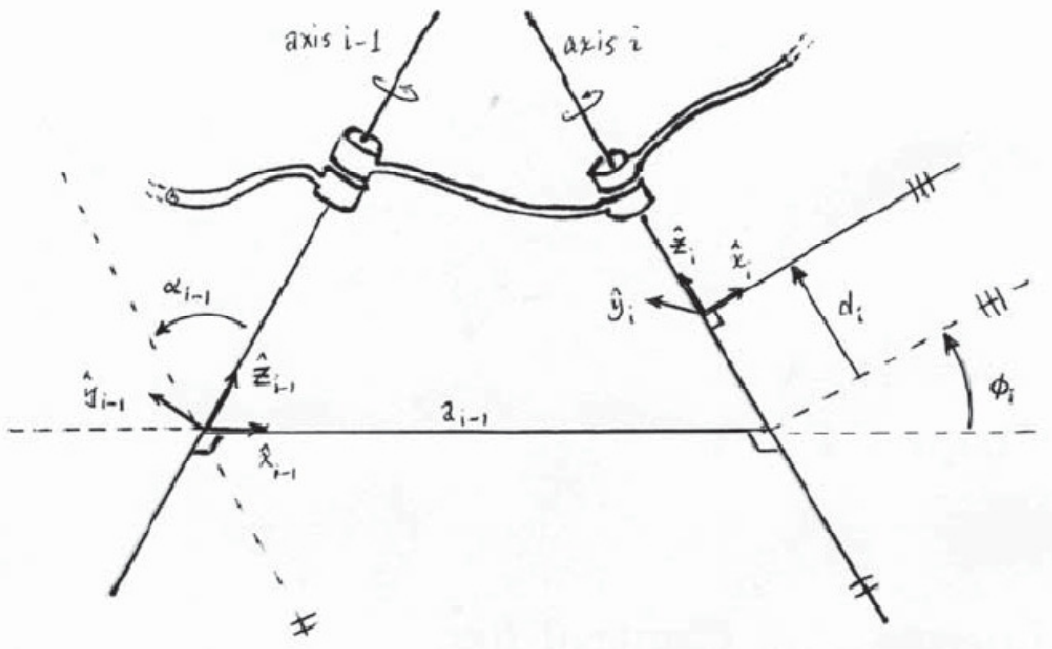
$$T_{0n}(\theta_1, \dots, \theta_n) = T_{01}(\theta_1)T_{12}(\theta_2) \dots T_{n-1,n}(\theta_n) \quad (5.12)$$

حيث  $T_{i-1,i} \in SE(3)$  تشير إلى الانزياح النسبي بين جملتي محاور الوصلتين {i-1} و {i}. ويتم الحصول على التحويل  $T_{i-1,i}$  بسهولة وذلك تبعاً للكيفية التي تم فيها اختيار جمل المحاور المرجعية.

### 5.1.1. تعريف جمل محاور الوصلات:

بدلاً من ربط جمل المحاور المرجعية بكل وصلة بطريقة عشوائية، فإنه يجب مراعاة مجموعة من القواعد في طريقة دينافيت - هارتبرغ Denavit - Hartenberg من أجل تعريف جمل المحاور للوصلات. الشكل (5.2) يوضح قاعدة تعريف جمل المحاور من أجل مفصلين دورانيين متجاورين 1-i و i والموصلين ببعضهما عن طريق الوصلة 1-i.

القاعدة الأولى هي أن المحور  $\hat{z}_i$  يجب أن يكون منطبقاً على محور المفصل i، والمحور  $\hat{z}_{i-1}$  يجب أن يكون منطبقاً على محور المفصل 1-i. ومن ثم فإن اتجاه المحور  $\hat{z}_i$  في كل جملة محاور يتم تحديده وفقاً لقاعدة اليد اليمنى، بحيث يكون الاتجاه الموجب للدوران هو عقارب الساعة حول المحور  $\hat{z}_i$ .



الشكل 5.2: توضيح بaramترات دينافيت هارتنبرغ .Denavit - Hartenberg

وعندما يتم تعين اتجاه المحور  $\hat{z}$ ، فإن القاعدة الثانية هي تحديد مبدأ الإحداثيات لجملة المحاور المرجعية للوصلة. بداية، يجب إيجاد الخط المستقيم والذي يتقاطع بشكل متزايد Orthogonally مع محوري المفصلين  $i-1\hat{z}$  و  $i\hat{z}$  كليهما. في الوقت الحالي لنفترض أن هذا الخط المستقيم هو وحيد، والحالة التي يكون فيها هذا الخط ليس وحيداً (أي عندما يكون محوري المفصلين متوازيين)، أو الحالة التي نفشل في العثور عليه (أي عندما يكون محوراً المفصلين متقطعين) ستدرس لاحقاً. وبوصول محور المفصل  $i-1z$  بمحور المفصل  $i$  عن طريق خط مستقيم متزايد ومشترك، فإن مبدأ إحداثيات جملة المحاور  $\{i-1\}$  سيكون متوضعاً عند نقطة تقاطع هذا الخط المستقيم مع محور المفصل  $i-1z$ .

تعين المحورين المتبقدين  $\hat{x}$  و  $\hat{y}$  لكل جملة محاور مرجعية لكل وصلة بعد ذلك سيكون بسيطاً: يتم تحديد المحور  $\hat{x}$  بحيث يكون باتجاه الخط المستقيم المتزايد المشترك الممتد من المحور  $i-1z$  للمحور  $i$ . والمحور  $\hat{y}$  وبالتالي يتحدد من خلال الجداء الخارجي  $\hat{z} = \hat{y} \times \hat{x}$  ويكون هذا المحور فريد (له احتمال واحد). الشكل (5.2) يجسد جملة محاور الوصلات  $i$  و  $i-1$  المختارة وفقاً لهذه القواعد.

وبعد تعين جملة المحاور المرجعية بهذه الطريقة للوصلتين  $i$  و  $i-1$ ، نستطيع أن نعرف أربعة بaramترات والتي تحدد بالضبط التحويل  $T_{i-1,i}$ :

- طول الخط العمودي المشترك، وبالإشارة إليه بالرمز  $a_{i-1}$ ، وهو قيمة عددية ويسمى طول الوصلة وذلك للوصلة  $i-1z$ . وعلى الرغم من المعنى الذي يشير إليه هذا الاسم، إلا أن طول الوصلة هذا ليس بالضرورة أن يكون هو نفسه الطول الفيزيائي الفعلي للوصلة.

- التواء الوصلة  $a_{i-1}$ ، وهي الزاوية من  $\hat{z}_{i-1}$  إلى  $\hat{z}_i$  مقاسة حول المحور  $\hat{x}_{i-1}$ .
- تباعد (تعويض) الوصلة Link Offset ويشار له بالرمز  $d_i$ ، وهي المسافة من نقطة تقاطع المحور  $\hat{z}_{i-1}$  مع المحور  $\hat{z}_i$  إلى مبدأ إحداثيات جملة محاور الوصلة  $i$  (الاتجاه الموجب لهذه المسافة يعرف بحيث يكون باتجاه المحور  $\hat{z}_i$ ).
- زاوية الوصلة  $\phi_i$ ، وهي الزاوية من المحور  $\hat{x}_{i-1}$  إلى المحور  $\hat{x}_i$  مقاسة حول المحور  $\hat{z}_i$ . وفقاً لقاعدة اليد اليمنى.

هذه البارامترات تشكل بارامترات دينافيت - هارتبرغ Denavit - Hartenberg. فمن أجل أي روبوت ذي سلسلة مفتوحة مكون من  $n$  مفصل يمتلك درجة حرية واحدة، فإن بارامترات دينافيت - هارتبرغ Denavit - Hartenberg والتي عددها  $4n$  ستكون كافية من أجل التحليل الكينماتيكي الأمامي الكامل للروبوت. وفي الحالة التي تكون فيها جميع المفاصل دورانية في ميكانيزم الروبوت ذي السلسلة المفتوحة، فإن أطوال الوصلات  $a_{i-1}$   $a_i$  والالتواءات  $\alpha_{i-1}$  وبaramترات التعويض  $d_i$  ستكون جميعها قيماً ثابتة، في حين أن بaramترات زاوية الوصلة  $\phi_i$  ستمثل دور متغيرات المفاصل.

الآن سنقوم بدراسة الحالة التي لا نستطيع فيها إيجاد الخط المشترك العمودي، أو الحالة التي يكون فيها هذا الخط ليس هو الوحيدة (غير فريدة)، وفي آخر المطاف، سندرس كيفية اختيار جملة محاور الأرض وجملة محاور النهاية العاملة للروبوت.

#### الحالة التي يكون فيها المحوران لمفصلين دورانيين متقاربين متقاطعين:

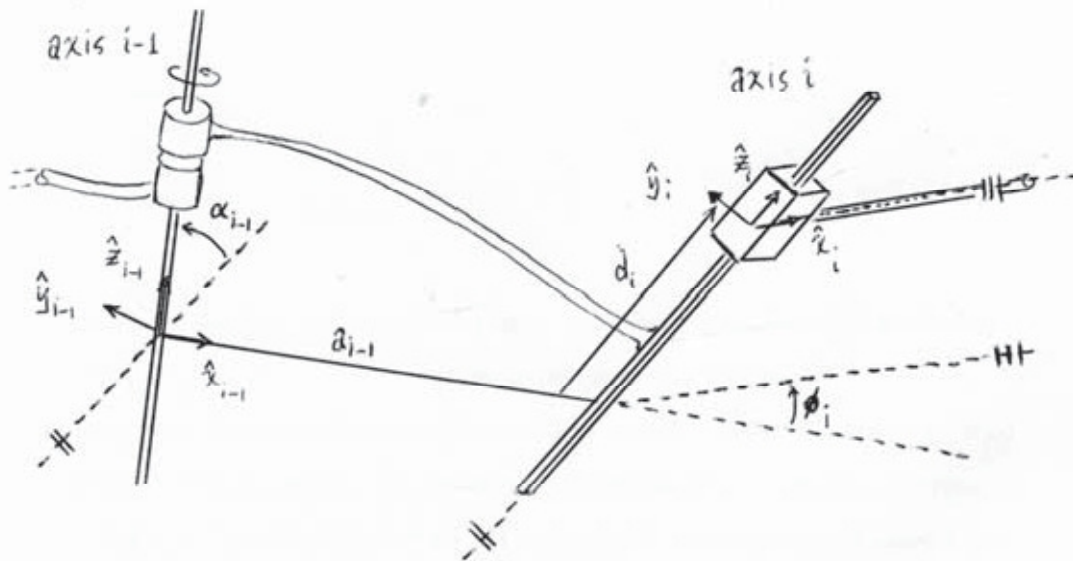
إذا كان محوراً مفصلياً دورانياً متقاطعين فيما بينهما، فإنه لن نستطيع إيجاد ذلك الخط المستقيم العمودي والمشترك بين محاور المفصلين. في هذه الحالة فإن طول الوصلة سيكون مساوياً للصفر، ونختار المحور  $\hat{x}_{i-1}$  بحيث يكون عمودياً على المستوى المتشكل من المحورين  $\hat{z}_{i-1}$  و  $\hat{z}_i$ . وسيكون هناك احتمالين، وكلاهما مقبول: الأول يؤدي إلى قيمة موجبة لزاوية الالتواء  $\alpha_{i-1}$ ، بينما الآخر يؤدي إلى قيمة سالبة لهذه الزاوية.

#### الحالة التي يكون فيها المحوران لمفصلين دورانيين متقاربين متوازيين:

الحالة الخاصة الثانية هذه تحدث عندما تكون محاور المفاصل الدورانية المتقاربة متوازية. في هذه الحالة سيكون هناك العديد من الاحتمالات لاختيار الخط المستقيم العمودي والمشترك، وجميعها مقبول (وبشكل أكثر دقة)، يمكن القول أنه يوجد هناك مجموعة من الخطوط المتعامدة والمشتركة). ومرة أخرى، إنه من المهم أن نحدد بشكل دقيق كيفية تحديد محاور الجمل. وكقاعدة توجيهية، فإنه علينا أن نختار هذا الخط المستقيم المتعامد والمشترك بحيث يكون هذا الاختيار هو الأكثر بداهة لنا من الناحية الفيزيائية، وأن نبسط قدر المستطاع من بaramترات دينافيت - هارتبرغ Denavit - Hartenberg. (على سبيل المثال، لأن تصبح قيمهم متساوية للصفر إن أمكن ذلك).

### حالة المفاصل التمددية:

في حالة المفاصل التمددية، فإن المحور  $\hat{z}$  في جملة محاور الوصلة المرجعية يتم اختياره بحيث يكون متوجهاً نحو الاتجاه الموجب للانتقال (التمدد). وهذه القاعدة متناغمة مع تلك في حالة المفاصل الدورانية، حيث يكون المحور  $\hat{z}$  هو المحور الموجب للدوران. وبهذا الاختيار، فإن بارامتر تعويض الوصلة  $d_i$  يصبح في هذه الحالة هو متغير المفصل (انظر الشكل (5.3)). وإجراء المتعلق باختيار مكان مبدأ إحداثيات جملة المحاور، وكذلك الأمر بالنسبة لاختيار المحاور المتبقية  $\hat{x}$  و  $\hat{y}$ ، ببقى كما هو في حالة المفاصل الدورانية.



الشكل 5.3: قاعدة تعين جملة محاور من أجل المفاصل التمددية. المفصل  $i-1$  هو مفصل دوراني، في حين أن المفصل  $i$  هو مفصل تمددي.

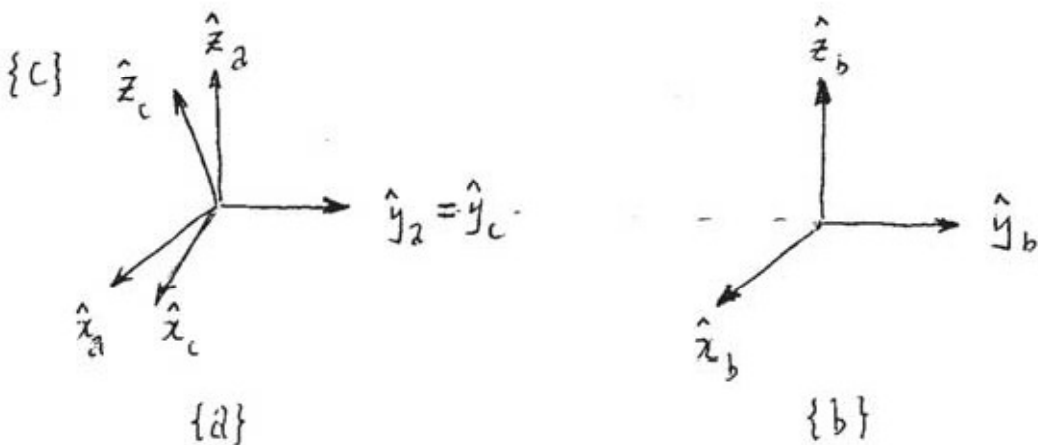
### تعين جملة محاور الأرض وجملة محاور النهاية العاملة:

إلى الآن، فإن الإجراءات التي قمنا باتخاذها من أجل تعين جملة محاور للوصلات لا تحدد كيفية اختيار جملة محاور الأرض ولا جملة المحاور الأخيرة (التي هي في الواقع جملة محاور النهاية العاملة). وهنا وكما في السابق، فإن هناك قاعدة توجيهية يمكن أن نعتمدها في اختيار جملة المحاور الابتدائية وجملة المحاور النهاية بحيث يكون هذا الاختيار هو الأقرب إلى البداهة من الناحية الفيزيائية، وبحيث يبسط وقدر الإمكان من بارامترات دينافيت - هارتبرغ Denavit - Hartenberg -. وهذا عادة ما يعني أن نختار جملة محاور الأرض بحيث تكون منطبقة على جملة محاور الوصلة الأولى في وضعها الصفرى (وضع الراحة)، ففي حال كون المفصل مفصلاً دورانياً فإننا نجد أن  $0 = a_0 = \alpha_0 = d_1$ ، في حين في حال كون المفصل تمددياً فإننا نجد أن القيمة  $0 = \phi_1 = a_0 = \alpha_0$ . وبالنسبة لجملة محاور النهاية العاملة فإنها ترتبط بشكل عام بنقطة مرجعية على النهاية العاملة، وعادة في المكان الذي يجعل وصف المهمة أقرب إلى البداهة من الناحية الفيزيائية والطبيعية، وبحيث يبسط ما أمكن من بارامترات دينافيت - هارتبرغ Denavit - Hartenberg (على سبيل المثال، أن تصبح هذه البارامترات متساوية للصفر).

ومن المهم أن نعرف أن الاختيار العشوائي لجملة محاور النهاية العاملة لا يكون متاحاً دائماً، وذلك بسبب إمكانية احتمال عدم وجود مجموعة صالحة من برامترات دينافيت - هارتنبرغ Denavit - Hartenberg لتوصيف التحويل النسبي المتعلق بهاتين الجملتين. وسوف ندرس هذه القضية في الفقرة القادمة.

### 5.1.2. لماذا تعتبر أربعة برامترات كافية:

في دراستنا السابقة للانزياحات الفضائية، تم الاتفاق على أنه يلزمنا على الأقل ستة برامترات مستقلة من أجل توصيف الانزياح النسبي بين جملتي محاور في الفضاء: ثلاثة من أجل تحديد الاتجاه، وثلاثة من أجل تحديد الموقع. واستناداً إلى هذه النتيجة، فإنه يبدو لنا أنه يلزمنا من أجل ذراع مكون من  $n$  وصلة عدد إجمالي من البارامترات قدره  $6n$  من أجل التوصيف الكامل للتحليل الكينماتيكي الأمامي (أي أن كل  $T_{i-1,i}$  في المعادلة أعلاه تتطلب ستة برامترات). لكن الأمر الغريب في التمثيل البارامטרי بطريقة دينافيت - هارتنبرغ Denavit - Hartenberg هو أنه فقط أربعة برامترات مطلوبة من أجل كل تحويل  $T_{i-1,i}$ . وعلى الرغم من أن هذه النتيجة قد تبدو للوهلة الأولى متناقضة مع نتائجنا السابقة، إلا أن هذا الاختزال في عدد البارامترات تم تحقيقه عن طريق الاتباع الدقيق لمجموعة القواعد المنصوص عليها فيما يخص تعريف جمل المحاور المرجعية. فإذا تم تعريف جملة المحاور المرجعية بصورة عشوائية ، فإن برامترات أكثر ستكون مطلوبة في هذه الحالة.



الشكل 5.4: مثال لثلاثة جمل محاور {a} و {b} و {c} بحيث لا تكون هناك قدرة على التحويلات  $T_{ab}$  و  $T_{ac}$  بواسطة برامترات دينافيت - هارتنبرغ Denavit – Hartenberg.

لنفترض، على سبيل المثال، أنه لدينا جمل المحاور لمجموعة من الوصلات كما هو مبين في الشكل (5.4). إن التحويل من جملة المحاور {a} إلى جملة المحاور {b} هو انسحاب صافٍ على طول المحور  $\hat{z}$  لجملة المحاور {a}. ونلاحظ من خلال محاولة التعبير عن التحويل  $T_{ab}$  بواسطة برامترات دينافيت - هارتنبرغ Denavit - Hartenberg فإنه لا نستطيع إيجاد قيم هذه البارامترات. وبشكل مماثل، إن التحويل  $T_{ac}$  أيضاً لا يسمح بوجود وصف باستخدام برامترات دينافيت - هارتنبرغ Denavit - Hartenberg، وذلك بسبب كون الدورانات الوحيدة الجائزه

هي تلك المرتبطة بالمحورين  $\hat{x}$  و  $\hat{z}$ . وبالتالي فإنه في قاعدة دينافت - هارتنبرغ - Denavit Hartenberg، فإن العلاقات والتحويلات المرتبطة بالمحورين  $\hat{x}$  و  $\hat{z}$  هي الوحيدة المسموحة بها، وليس هناك أي تجميع لمثل تلك الحركات المبينة في الشكل (5.4) يمكن بلوغه باستخدام هذه الطريقة.

إن القول بأن قاعدة دينافت - هارتنبرغ Denavit - Hartenberg تستخدم فقط أربعة بارامترات من أجل توصيف التحويل بين جمل محاور الوصلات، قد يعطي المجال لأحدنا أن يتساءل فيما إذا كان هذا الرقم من البارامترات يمكن تخفيضه أكثر عن طريق تطوير طريقة أخرى لتعيين جمل المحاور. لكن دينافيت Denavit و هارتنبرغ Hartenberg أثبتا أن هذا ليس ممكناً، وأن العدد الأصغرى من البارامترات اللازم هو أربعة.

سننھي هذه الفقرة بالذكر أنه توجد هناك قواعد بديلة من أجل تعيين جمل محاور الوصلات. ففي حين أننا قمنا باختيار المحور  $\hat{z}$  بحيث يكون منطبقاً على محور الوصلة، فإن بعض الباحثين يختارون المحور  $\hat{x}$  بدلاً من ذلك، ويجعلون المحور  $\hat{x}$  باتجاه الخط المستقيم العمودي المشترك. ولمنع التقسيرات العشوائية لمفهوم برميات دينافت - هارتنبرغ Denavit - Hartenberg، فإنه من اللازم إرفاق التوصيف البياني لتعيين جمل محاور الوصلات مع قيم البارامترات.

### 5.1.3 التحليل الكينماتيكي الأمامي لمناور Manipulator

عندما تكون جميع التحويلات  $T_{i-1,i}$  بين جمل محاور الوصلات المجاورة معرفة بدالة بارامترات دينافيت - هارتنبرغ Denavit - Hartenberg الخاصة بكل جملة، فإنه يتم الحصول على التمثيل الكينماتيكي الأمامي عن طريق الجداء المتتابع لتحولات الوصلات. وكل تحويل متعلق بجملة محاور سوف يكون بالشكل:

$$T_{i-1,i} = \text{Rot}(\hat{x}, \alpha_{i-1}) \cdot \text{Trans}(\hat{x}, a_{i-1}) \cdot \text{Trans}(\hat{z}, d_i) \cdot \text{Rot}(\hat{z}, \phi_i)$$

حيث:

$$\text{Rot}(\hat{x}, \alpha_{i-1}) = \begin{bmatrix} 1 & 0 & 0 & 0 \\ 0 & \cos \alpha_{i-1} & -\sin \alpha_{i-1} & 0 \\ 0 & \sin \alpha_{i-1} & \cos \alpha_{i-1} & 0 \\ 0 & 0 & 0 & 1 \end{bmatrix} \quad (5.13)$$

$$\text{Trans}(\hat{x}, a_{i-1}) = \begin{bmatrix} 1 & 0 & 0 & a_{i-1} \\ 0 & 1 & 0 & 0 \\ 0 & 0 & 1 & 0 \\ 0 & 0 & 0 & 1 \end{bmatrix} \quad (5.14)$$

$$\text{Trans}(\hat{z}, d_i) = \begin{bmatrix} 1 & 0 & 0 & 0 \\ 0 & 1 & 0 & 0 \\ 0 & 0 & 1 & d_i \\ 0 & 0 & 0 & 1 \end{bmatrix} \quad (5.15)$$

$$\text{Rot}(\hat{z}, \phi_i) = \begin{bmatrix} \cos \phi_i & -\sin \phi_i & 0 & 0 \\ -\sin \phi_i & \cos \phi_i & 0 & 0 \\ 0 & 0 & 1 & 0 \\ 0 & 0 & 0 & 1 \end{bmatrix} \quad (5.16)$$

وكطريقة مفيدة من أجل تخيل التحويل  $T_{i-1,i}$  هو أن يتم نقل جملة المحاور  $\{1-i\}$  إلى جملة المحاور  $\{i\}$  عن طريق التحويلات المتتابعة الأربع التالية:

(i) تدوير جملة المحاور  $\{1-i\}$  حول المحور  $\hat{x}$  بزاوية قدرها  $\alpha_{i-1}$ .

(ii) سحب جملة المحاور الجديدة على طول المحور  $\hat{x}$  لمسافة قدرها  $a_{i-1}$ .

(iii) سحب جملة المحاور الجديدة هذه على طول المحور  $\hat{z}$  لمسافة قدرها  $d_i$ .

(iv) تدوير جملة المحاور الجديدة هذه حول المحور  $\hat{z}$  بزاوية قدرها  $\phi_i$ .

ونلاحظ أن التبديل في الترتيب بين الخطوتين الأولى والثانية لن يغير من التحويل النهائي الناتج  $T_{i-1,i}$ ، ومن ناحية أخرى، فإن التبديل في الترتيب بين الخطوتين الثالثة والرابعة يمكن أن يتم دون التأثير على التحويل النهائي الناتج  $T_{i-1,i}$ .

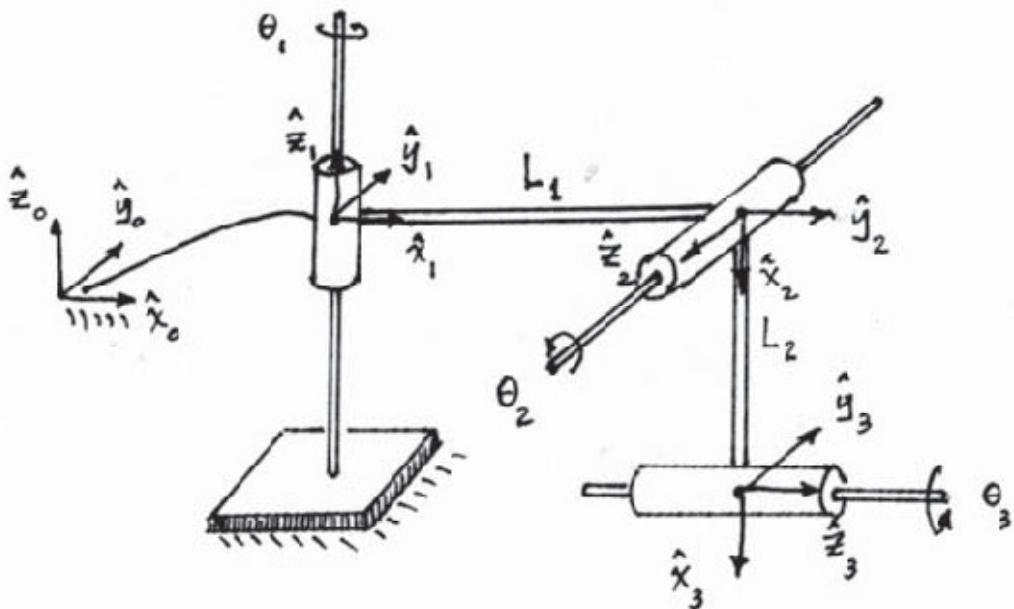
#### 5.1.4. أمثلة:

الآن سنقوم باستنتاج بارامترات دينافيت - هارتبرغ Denavit - Hartenberg لعدة روبوتات فضائية شائعة ذات هيكلية مفتوحة السلسلة.

**مثال: ربوت فضائي ذو سلسلة مفتوحة يحتوي على ثلاثة مفاصل دورانية R3R:**

لنفترض أنه لدينا الروبوت الفضائي ذي السلسلة المفتوحة والمحتوي على ثلاثة مفاصل دورانية R3R كما هو مبين بالشكل (5.5). وهذا الشكل يظهر الروبوت في وضعيته الصفرية (أي أن جميع قيم مفاصله تكون في الحالة الصفرية، أي تساوي الصفر). جمل المحاور المرجعية المعينة لكل وصلة موضحة في الشكل، وبaramترات دينافيت - هارتبرغ Denavit - Hartenberg الموافقة مدرجة في الجدول التالي:

$i$	$a_{i-1}$	$a_i$	$d_i$	$\phi_i$
1	0	0	0	$\theta_1$
2	$90^\circ$	$L_1$	0	$\theta_2 - 90^\circ$
3	$-90^\circ$	$L_2$	0	$\theta_3$



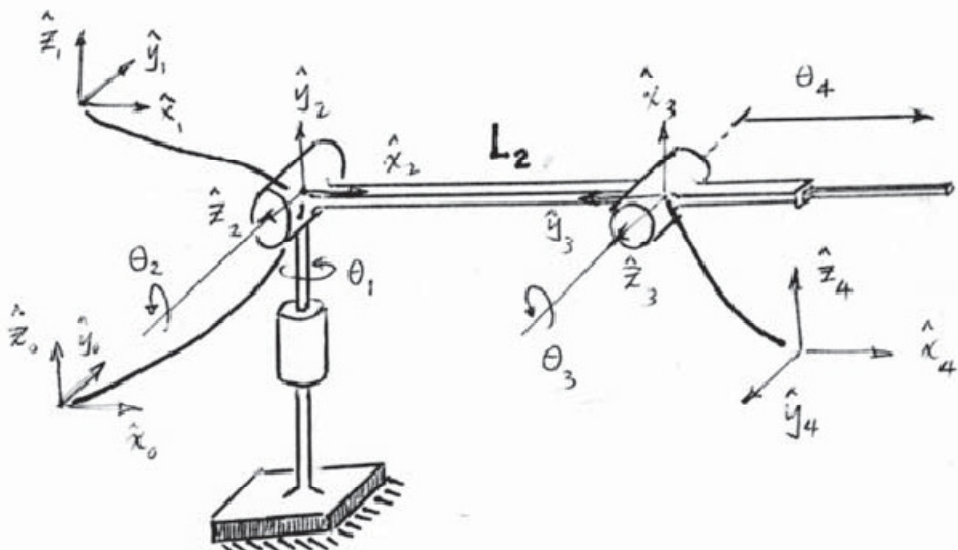
الشكل 5.5: روبوت فضائي ذو سلسلة مفتوحة يحتوي ثلاثة مفاصل دورانية R.

ونلاحظ هنا أن جملة المحاور {1} و {2} تم تعينهما بشكل فريد (لا يوجد لهما سوى احتمال واحد للتعيين) وذلك من خلال اتباع قواعد التعين لجمل المحاور وفقاً لطريقة دينافت - هارتنبرغ Denavit - Hartenberg، لكننا نملك بعض الحرية في الاختيار من أجل تعين جملة المحاور {0} وجملة المحاور {3}. وهنا قمنا باختيار جملة محاور الأرض {0} بحيث تكون منتظمة على جملة المحاور {1} (الأمر الذي يؤدي لجعل  $a_0 = d_1 = 0$ )، وجملة المحاور {3} قمنا باختيارها بحيث يكون المحور  $\hat{x}_3$  في نفس اتجاه المحور  $\hat{x}_2$  (مما يؤدي لعدم الحاجة لإضافة تعويض لزاوية  $\theta_3$ ).

مثال: روبوت فضائي ذو سلسلة مفتوحة يحيى على ثلاثة مفاصل دورانية ومفصل تمديي :RRRP

المثال التالي الذي سندرسه هو روبوت فضائي ذي سلسلة مفتوحة وله أربع درجات حرية ويحتوي ثلاثة مفاصل دورانية متتالية ومفصل واحد تمديي كما في الشكل (5.6) الذي يظهر الروبوت بوضعيته الصفرية. طريقة تعين جمل محاور الوصلات مبينة في الشكل، وبرامترات دينافيت – هارتنبرغ Denavit - Hartenberg الموافقة مدرجة في الجدول التالي:

$i$	$a_{i-1}$	$a_i$	$d_i$	$\phi_i$
1	0	0	0	$\theta_1$
2	$90^\circ$	0	0	$\theta_2$
3	0	$L_2$	0	$\theta_3 + 90^\circ$
4	$90^\circ$	0	$\theta_4$	0



الشكل 5.6: روبوت فضائي ذو سلسلة مفتوحة فيه ثلاث مفاصل دورانية ومحصلة تمددي RRRP.

إن متغيرات المفاصل الأربع هي  $(\theta_1, \theta_2, \theta_3, \theta_4)$ ، حيث  $\theta_4$  هو انزياح (تمدد) المحصلة تمددي. وكما في المثال السابق، فإن جملة محاور الأرض وجملة محاور الوصلة الأخيرة {4} تم اختيارهم بحيث نجعل قيم بعض بارامترات دينافت - هارتبرغ Denavit - Hattenberg مساوية للصفر.

#### مثال: روبوت ذو سلسلة مفتوحة يحتوي ستة مفاصل دورانية 6R:

المثال الأخير الذي سوف ندرسه هو ذراع الروبوت المكون من ستة مفاصل دورانية 6R والمستخدم بشكل كبير والموضح بالشكل (5.7). السلسلة المفتوحة لهذا الروبوت مكونة من ستة مفاصل دورانية: الثلاث مفاصل الأولى تقوم بوظيفة تحديد الموقع الديكارتي، في حين الثلاث مفاصل الأخيرة تقوم بدور المعصم ذو الترتيب ZYZ. إن جمل المحاور موضحة في الشكل، وببارامترات دينافيت - هارتبرغ Denavit - Hartenberg الموافقة مدرجة في الجدول التالي:

$i$	$a_{i-1}$	$a_i$	$d_i$	$\phi_i$
1	0	0	0	$\theta_1$
2	$90^\circ$	0	0	$\theta_2$
3	0	$L_1$	0	$\theta_3 + 90^\circ$
4	$90^\circ$	0	$L_2$	$\theta_4 + 180^\circ$
5	$90^\circ$	0	0	$\theta_5 + 180^\circ$
6	$90^\circ$	0	0	$\theta_6$

## 5.2. صيغة جداء الأسويات :Product of Exponentials

في هذه الفقرة سوف نقدم طريقة بديلة للتمثيل والتحليل الكينماتيكي الأمامي تسمى صيغة جداء الأسويات (PoE), والتي تعتمد على تمثيل الحركة اللولبية والتي تمت دراستها في الفصل السابق على شكل مصفوفة أسيّة. وسنبدأ هذه الفقرة بالذكر بنظرية كاسيلز - موزي Chasles - Moysi والتي تنص على أن: أي انزياح للجسم الصلب يمكن أن يتم التعبير عنه عن طريق دوران منه Finite حول محور ما ثابت في الفضاء (محور الحركة اللولبية)، متبعاً بانسحاب منه يكون موازيًا لذلك المحور. وبسبب كون الدوران والانسحاب مأخوذين بالنسبة لنفس المحور الثابت، فإن عكس الترتيب بينهما سيؤدي إلى نفس الانزياح.

ولضبط الأمور بشكل أكثر دقة، لنفترض أننا اخترنا جملة محاور ثابتة، وأننا ربطنا جملة محاور مثبتة في الجسم الصلب. فإذا تمت إزاحة الجسم الصلب من هيئة ابتدائية ما  $M \in SE(3)$  إلى هيئة أخرى  $T \in SE(3)$ ، فإن الانزياح يمكن أن يتم التعبير عنه بالشكل:

$$T = e^{[S]\theta} M, \quad [S] = \begin{bmatrix} [\omega] & v \\ 0 & 0 \end{bmatrix} \quad (5.17)$$

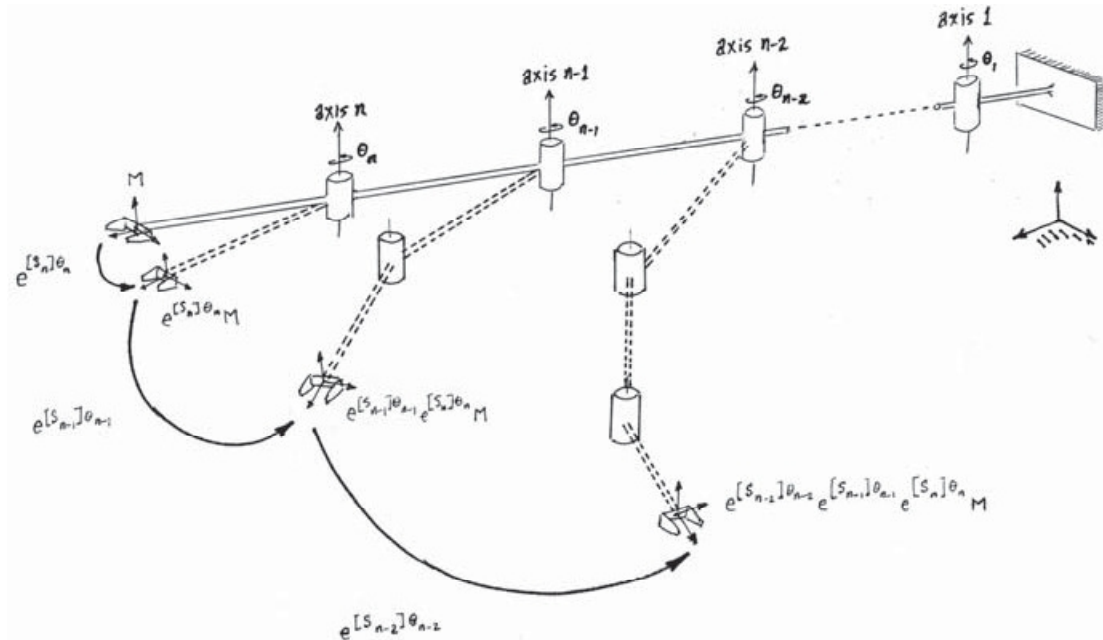
حيث  $S = [\omega, v]$  هي عبارة عن التلobil سداسي الأبعاد الممثل للحركة اللولبية، و  $[S]$  هي عبارة عن تمثيل  $S$  على شكل مصفوفة متماثلة منحرفة ذات الأبعاد  $4 \times 4$ ، و  $\theta \in R$  هو متغير المفصل. ومن الجدير بالذكر أن نذكر أنه في حال كون الانزياح ليس انتقالاً صافياً (ليس انسحاباً فقط)، فإن  $\omega \in R^3$  هو عبارة عن شعاع واحدة له نفس اتجاه محور الحركة اللولبية، حيث يكون  $\omega \in R^{3 \times 3}$  هو تمثيل  $\omega$  على شكل مصفوفة متماثلة منحرفة، و  $v = q \times \omega + h\omega$ ، حيث إن  $q \in R^3$  هي نقطة من محور الحركة اللولبية، و  $h \in R$  هي خطوة اللوب. أما في حال كان الانزياح انتقالاً صافياً (انسحاب)، فإن  $\omega$  تكون مساوية لـ الصفر، و  $v \in R^3$  هو شعاع واحدة يتجه نحو الاتجاه الموجب للانزياح (انسحاب).

إن الحالات الحدية للحركة اللولبية العامة هي الدوران الصافي (والذي يحدث عندما تكون خطوة اللوب مساوية لـ الصفر  $h = 0$ )، والانتقال الصافي (الانسحاب) (والذي يحدث عندما تكون خطوة اللوب تساوي اللانهاية  $h = \infty$ ). وهاتان الحركتان تحدثان في أكثر نوعين من المفاصل انتشاراً في الروبوتات، وهما المفصل الدوراني والمفصل التمدي. وتكتسب صيغة PoE ميزتها مما سبق في كونها قادرة على التعبير عن حركة المفاصل الدورانية والتتمددية على شكل حركات لولبية. والآن سوف نستنتج صيغة PoE للروبوتات ذات السلسل الفضائية المفتوحة العامة.

### 5.2.1. الصيغة الأولى:

الفكرة الأساسية الكامنة وراء صيغة PoE هي أن نتصور كل مفصل وكأنه يقوم بتطبيق حركة لولبية على الوصلات التابعة له. وللوضيح ذلك، لندرس روبوت السلسلة المفتوحة الفضائية المبين في الشكل (5.8)، والمكون من  $n$  مفصل أحادي درجة الحرية والمتصلين مع بعضهم بشكل تسلسلي. ولنقم باختيار جملة محاور ثابتة وأيضاً جملة محاور للنهاية العاملة والمربوطة بالوصلة الأخيرة لهذا الروبوت، وعلى العكس من قاعدة دينافت - هارتنبرغ - Denavit -

Hartenberg، فإنه لا توجد هنا أية قيود تحدد طريقة اختيار جملة المحاور الثابتة وجملة محاور النهاية العاملة. لجعل الروبوت في وضعيته الصفرية وذلك بجعل متغيرات جميع مفاصله متساوية للصفر، مع الاتجاه الموجب لانزياح (الدوران في حالة المفاصل الدورانية، والانسحاب في حالة المفاصل التمددية) لكل مفصل.



الشكل 5.8: توضيح صيغة PoE لروبوت فضائي ذي سلسلة مفتوحة مكون من n وصلة.

لتكن  $M \in SE(3)$  تشير إلى هيئة جملة محاور النهاية العاملة عندما يكون الروبوت في الوضعية الصفرية. لنفترض أن المفصل رقم n تمت إزاحته وفقاً لقيمة المتغير الخاص به بمقدار  $\theta_n$ . وبالتالي فإن جملة المحاور الخاصة بالنهاية العاملة سوف تخضع لحركة لولبية من الشكل:

$$T = e^{[s_n]\theta_n}M \quad (5.18)$$

حيث  $T \in SE(3)$  هي الهيئة الجديدة الناتجة عن انزياح جملة محاور النهاية العاملة، وحيث أن  $S = (\omega_n, v_n)$  هو شعاع التلوب المعبر عن حركة المفصل n. على سبيل المثال، إذا كان المفصل n دورانياً (وهذا يؤدي إلى حركة لولبية ذات خطوة متساوية للصفر)، فإن  $\omega_n \in \mathbb{R}^3$  هو شعاع الواحدة المتوجه نحو الاتجاه الموجب لمotor المفصل n، و  $v_n = -\omega_n \times q_n$  حيث  $q_n$  هي نقطة ما على محور المفصل n. أما إذا كان المفصل n تمددياً، فإن  $\omega_n = 0$ ، و  $v \in \mathbb{R}^3$  هو شعاع الواحدة المتوجه بالاتجاه الموجب للتمدد (الانسحاب). ويجب التنويه أن جميع المقادير الشعاعية هنا معبر عنها بالنسبة لجملة الإحداثيات الثابتة.

إذا افترضنا أيضاً أن قيمة متغير المفصل n-1 مسموح لها أن تتغير، فإن هذا سيؤدي لحدث حركة لولبية مطبقة على الوصلة n-1 (وبالتالي على الوصلة n لكونها متصلة مع الوصلة n-1 عن طريق المفصل n). ولهذا فإن جملة محاور النهاية العاملة سوف تخضع لحركة لولبية من الشكل:

$$T = e^{[s_{n-1}]\theta_{n-1}} \left( e^{[s_n]\theta_n} M \right) \quad (5.19)$$

وبالاستمرار على هذا النحو يجعل جميع قيم متغيرات المفاصل  $(\theta_1, \dots, \theta_n)$  قابلة للتغيير، فإننا نستنتج العلاقة التالية:

$$T = e^{[s_1]\theta_1} e^{[s_{n-1}]\theta_{n-1}} e^{[s_n]\theta_n} M \quad (5.20)$$

وهذه هي صيغة جداء الأسيات التي تعبّر عن التمثيل الكينماتيكي لروبوت ذي سلسلة مفتوحة ويملأ  $n$  درجة حرية. وبصورة خاصة، يطلق على المعادلة (5.20) اسم شكل الفضاء Space Form لصيغة جداء الأسيات. ونلاحظ السمات التالية في صيغة جداء الأسيات:

- ليس هناك أية حاجة لتعيين جمل محاور للوصلات. نحن بحاجة فقط لاختيار جملة محاور ثابتة وجملة محاور خاصة بالنهاية العاملة (ونلاحظ أنه لا توجد أية قيود محددة لكيفية اختيار هذه الجمل)، بالإضافة إلى تعريف الوضعية الصفرية للروبوت والاتجاه الموجب للانزياح لكل مفصل (الدوران في حالة المفاصل الدورانية، والتمدّد في حال المفاصل التمددية).
- بعد جعل الروبوت عند وضعه الصفرية، إذا كان المفصل  $i$  دورانياً، فإن  $\omega_i \in \mathbb{R}^3$  هو شعاع الواحدة المتجهة نحو الاتجاه الموجب لمحور المفصل، و  $\omega_i \times q_i = v_i$  حيث تكون  $q_i \in \mathbb{R}^3$  هي نقطة ما من محور المفصل  $i$ . أما إذا كان المفصل  $i$  تمددياً، فإن  $\omega_i = 0$ ، و  $v_i \in \mathbb{R}^3$  هو شعاع الواحدة المتجهة نحو الاتجاه الموجب للانسحاب. وعلى العكس من برامترات دينافت - هارتبرغ Denavit - Hartenberg، حيث تكون متغيرات المفاصل هي إما  $\phi_i$  أو  $d_i$  تبعاً لنوع المفصل في حال كونه دورانياً أو تمددياً، فإنه في صيغة جداء الأسيات تكون متغيرات المفاصل دائمًا متناسبة من حيث طريقة الترميز، حيث يرمز للمتغير  $\theta_i$ .

بالمقارنة مع طريقة بaramترات دينافت - هارتبرغ Denavit - Hartenberg، فإن حقيقة أننا لا نحتاج لاستعمال جمل محاور للوصلات، وأن جملة المحاور الثابتة وجملة محاور النهاية العاملة يمكن تعبيئهما بدون وجود أية محددات، تبسيط بشكل كبير عملية التحليل الكينماتيكي الأمامي. وهناك سمات أخرى ستظهر لنا عند دراسة التحليل الاستاتيكي والكينماتيكي للسرعة في الفصل القادم.

### 5.2.2. أمثلة:

سنقوم الآن بإجراء التحليل الكينماتيكي الأمامي لبعض الروبوتات الفضائية ذات الهيكلية المفتوحة وذلك باستخدام صيغة جداء الأسيات.

**مثال: روبوت فضائي ذو سلسلة مفتوحة يحتوي ثلاثة مفاصل دورانية 3R:**

سنعود إلى المثال السابق للروبوت ذو السلسلة المفتوحة والمحتوى على ثلاثة مفاصل دورانية المبين في الشكل (5.5). لنقم باختيار جملة محاور ثابتة  $\{0\}$  وجملة محاور للنهاية العاملة  $\{3\}$

كما هو مشار موضح بالشكل، ولنقم بالتعبير عن جميع الأشعة والتحويلات المتجلسة نسبة لجملة المحاور الثابتة. وبالتالي فإن التمثيل الكينماتيكي الأمامي سيكون كالتالي:

$$T = e^{[s_1]\theta_1} e^{[s_2]\theta_2} e^{[s_3]\theta_3} M$$

حيث  $M \in SE(3)$  هي هيئة النهاية العاملة عندما يكون الروبوت في وضعيته الصفرية. ومن الشكل فإننا نستطيع أن نجد أن  $M$  هي:

$$M = \begin{bmatrix} 0 & 0 & 1 & L_1 \\ 0 & 1 & 0 & 0 \\ -1 & 0 & 0 & -L_2 \\ 0 & 0 & 0 & 1 \end{bmatrix}$$

حيث التلوب  $(\omega_1, v_1) = S_1$  للمفصل الأول يعطى بـ  $(0, 0, 1)$  و  $\omega_1 = (0, 0, 0)$  (مبدأ إحداثيات جملة المحاور الثابتة هو الخيار الأفضل لاختيار النقطة  $q_1$  الواقعة على محور المفصل رقم 1). ولتحديد التلوب  $S_2$  لمحور المفصل 2، نلاحظ أن محور المفصل 2 يتجه باتجاه  $\hat{y}_0$ ، وبالتالي فإن  $\omega_2 = (0, -1, 0)$ . ولنقم باختيار النقطة  $(L_1, 0, 0) = q_2$  حيث نجد  $v_2 = -\omega_2 \times q_2 = (0, 0, -L_1)$ . وأخيراً، لتحديد التلوب  $S_3$  لمحور الفصل 3، نلاحظ أن  $(1, 0, 0) = q_3$ . وباختيار النقطة  $(0, 0, -L_2) = v_3$ ، نجد أن  $\omega_3 = -\omega_2 \times q_3 = (0, L_2, 0)$ .

وفي النهاية، فإننا نحصل على التمثيلات المصفوفية ذات الأبعاد  $4 \times 4$  لأجل أشعة التلوب للثلاثة مفاصل  $S_1$  و  $S_2$  و  $S_3$ :

$$[S_1] = \begin{bmatrix} 0 & -1 & 0 & 0 \\ 1 & 0 & 0 & 0 \\ 0 & 0 & 0 & 0 \\ 0 & 0 & 0 & 1 \end{bmatrix}$$

$$[S_2] = \begin{bmatrix} 0 & 0 & -1 & 0 \\ 0 & 0 & 0 & 0 \\ 1 & 0 & 0 & -L_1 \\ 0 & 0 & 0 & 1 \end{bmatrix}$$

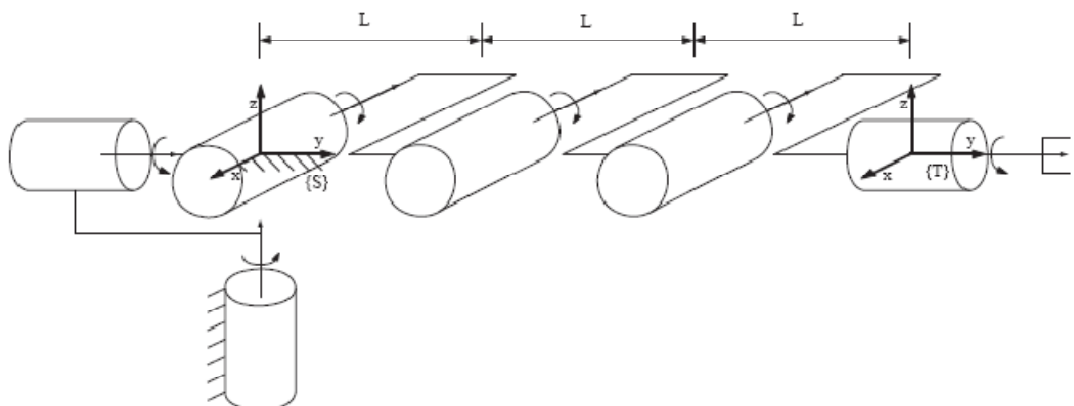
$$[S_3] = \begin{bmatrix} 0 & 0 & 0 & 0 \\ 0 & 0 & -1 & L_3 \\ 0 & 1 & 0 & 0 \\ 0 & 0 & 0 & 1 \end{bmatrix}$$

ومن المفيد أحياناً لنا أن ندرج أشعة التلوب بالشكل الجدولي التالي:

$i$	$\omega_i$	$v_i$
1	(0,0,1)	(0,0,0)
2	(0,-1,0)	(0,0,-L <sub>1</sub> )
3	(1,0,0)	(0,L <sub>2</sub> ,0)

مثال: روبوت فضائي ذو سلسلة مفتوحة يحوي ستة مفاصل دورانية 6R:

سنقوم الآن باستنتاج التمثيل الكينماتيكي الأمامي للروبوت ذي السلسلة المفتوحة والمحتوى على ستة مفاصل دورانية 6R والمبيين بالشكل (5.9). إن الوضعية الصفرية للروبوت والاتجاه الموجب لدورانات كل محور مفصل موضحة بالشكل. كما تم تعين جملة محاور ثابتة {0} وجملة محاور من أجل النهاية العاملة {6} كما هو مبين بالشكل. ومنه فإن جملة محاور النهاية العاملة في الوضعية الصفرية تكون:



الشكل 5.9: التحليل الكينماتيكي الأمامي بطريقة PoE لروبوت ذي سلسلة مفتوحة يحتوي على ستة مفاصل دورانية 6R.

$$M = \begin{bmatrix} 1 & 0 & 0 & 0 \\ 0 & 1 & 0 & 3L \\ 0 & 0 & 1 & 0 \\ 0 & 0 & 0 & 1 \end{bmatrix} \quad (5.21)$$

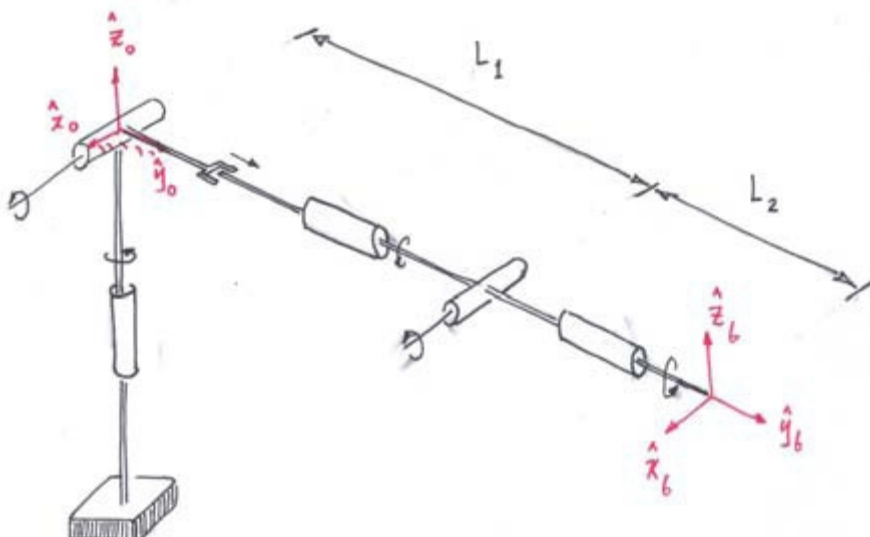
محور الحركة اللولبية للمفصل 1 هو في الاتجاه  $\omega_1 = (0,0,1)$ . والخيار الأفضل لاختيار النقطة  $q_1$  هي نقطة مبدأ الإحداثيات المتوضعة على محور المفصل 1، وبالتالي  $v_1 = (0,0,0)$ . محور الحركة اللولبية للمفصل 2 يتجه باتجاه المحور  $\hat{y}$  لجملة المحاور الثابتة، ومنه نستنتج أن  $\omega_2 = (0,1,0)$ . وباختيار النقطة  $q_2 = (0,0,0)$ ، فإننا نجد  $v_2 = (0,0,0)$ . محور الحركة اللولبية للمفصل 3 هو باتجاه  $\omega_3 = (-1,0,0)$ . وباختيار النقطة  $q_3 = (0,0,0)$  فإننا نجد بال塌لي  $v_3 = (0,0,0)$ . محور الحركة اللولبية للمفصل 4 هو باتجاه  $\omega_4 = (-1,0,0)$ . وباختيار النقطة

نجد أن  $q_4 = (0,0,-L)$ . محور الحركة اللولبية للمفصل 5 يتجه بالاتجاه التالي  $v_4 = (0,L,0)$   
و باختيار النقطة  $q_5 = (0,2L,0)$  نجد أن  $v_5 = (0,0,-2L)$ . محور الحركة  
اللولبية للمفصل 6 هو بالاتجاه  $v_6 = (0,1,0)$ . وباختيار النقطة  $q_6 = (0,0,0)$  بالتالي نجد أن  
 $v_6 = (0,0,0)$ . وبشكل موجز فإن أشعة التلوب  $S_i = (\omega_i, v_i)$  حيث  $i = 1, \dots, 6$  هي كالتالي:

$i$	$\omega_i$	$v_i$
1	(0,0,1)	(0,0,0)
2	(0,1,0)	(0,0,0)
3	(-1,0,0)	(0,0,0)
4	(-1,0,0)	(0,0,-L)
5	(-1,0,0)	(0,0,-2L)
6	(0,1,0)	(0,0,0)

مثال: روبوت ذو سلسلة مفتوحة يحوي خمسة مفاصل دورانية ومفصل واحد تمدي :RRPRRR

في هذا المثال سندرس الروبوت الفضائي المبين في الشكل (5.10) والذي يمتلك ستة درجات من الحرية وله خمس مفاصل دورانية ومفصل واحد تمدي RRRPRR. جملة محاور النهاية العاملة في الوضعية الصفرية لهذا الروبوت تعطى بالشكل:



الشكل 5.10: روبوت فضائي ذو سلسلة مفتوحة يحوي خمس مفاصل دورانية ومفصل تمدي RRRPRR.

$$M = \begin{bmatrix} 1 & 0 & 0 & 0 \\ 0 & 1 & 0 & L_1 + L_2 \\ 0 & 0 & 1 & 0 \\ 0 & 0 & 0 & 1 \end{bmatrix}$$

قيم أشعة التلوب للحركات اللولبية الموافقة لكل مفصل  $(\omega_i, v_i) = S_i$  مدرجة في الجدول التالي:

<b>i</b>	<b><math>\omega_i</math></b>	<b><math>v_i</math></b>
1	(0,0,1)	(0,0,0)
2	(1,0,0)	(0,0,0)
3	(0,0,0)	(0,1,0)
4	(0,1,0)	(0,0,0)
5	(1,0,0)	(0,0,-L <sub>1</sub> )
6	(0,1,0)	(0,0,0)

نلاحظ أن المفصل الثالث هو مفصل تمدي، لذلك تكون  $\omega_3 = 0$  و  $v_3$  هو شعاع الواحدة الذي يتوجه بالاتجاه الموجب للتمدد (الانسحاب).

### 5.2.3 العلاقة مع طريقة تمثيل دينافت - هارتبرغ - Denavit - Hartenberg

إن صيغة جداء الأسيات يمكن أن يتم استنتاجها بصورة مباشرة من خلال بارامترات التمثيل وفق قاعدة دينافت - هارتبرغ Denavit - Hartenberg للتحليل الكينماتيكي الأمامي. وكما في السابق، سنشير للانزياحات النسبية بين جمل محاور الوصلات المت嫁ورة بـ:

$$T_{i-1,i} = \text{Rot}(\hat{x}, \alpha_{i-1}) \cdot \text{Trans}(\hat{x}, a_{i-1}) \cdot \text{Trans}(\hat{z}, d_i) \cdot \text{Rot}(\hat{z}, \phi_i)$$

إذا كان المفصل  $i$  دورانياً، فإن المصفوفات الثلاث الأولى يمكن اعتبارها مقاديرًا ثابتة، وستكون الزاوية  $\phi_i$  هي متغير المفصل. بجعل  $\phi_i = \theta_i$  و:

$$M_i = \text{Rot}(\hat{x}, \alpha_{i-1}) \cdot \text{Trans}(\hat{x}, a_{i-1}) \cdot \text{Trans}(\hat{z}, d_i) \quad (5.22)$$

وبكتابة  $\text{Rot}(\hat{z}, \theta_i)$  على شكل مصفوفة أسيّة كالتالي:

$$\text{Rot}(\hat{z}, \phi_i) = e^{[A_i]\theta_i}, \quad [A_i] = \begin{bmatrix} 0 & -1 & 0 & 0 \\ 1 & 0 & 0 & 0 \\ 0 & 0 & 0 & 0 \\ 0 & 0 & 0 & 0 \end{bmatrix} \quad (5.23)$$

ومن خلال التعريفات السابقة نستطيع أن نكتب:

$$T_{i-1,i} = M_i e^{[A_i]\theta_i}$$

أما إذا كان المفصل  $i$  تمدياً، فإن الانسحاب  $d_i$  يكون هو متغير المفصل، والزاوية  $\phi_i$  ستكون بارامترًا ثابتاً، والترتيب بين  $\text{Rot}(\hat{z}, \phi_i)$  و  $\text{Trans}(\hat{z}, d_i)$  يمكن عكسه في التحويل  $T_{i-1,i}$  (حيث إن العكس بين الدورانات والانسحابات المأخوذة نسبة لنفس المحور تنتج نفس الحركة). في هذه الحالة مازلنا نستطيع كتابة  $T_{i-1,i}$  كالسابق، حيث  $d_i = \theta_i$  و:

$$M_i = \text{Rot}(\hat{x}, \alpha_{i-1}) \cdot \text{Trans}(\hat{x}, a_{i-1}) \cdot \text{Rot}(\hat{z}, \phi_i) \quad (5.24)$$

$$[A_i] = \begin{bmatrix} 0 & 0 & 0 & 0 \\ 0 & 0 & 0 & 0 \\ 0 & 0 & 0 & 1 \\ 0 & 0 & 0 & 0 \end{bmatrix} \quad (5.25)$$

واعتماداً على مasic، فإنه من أجل أي سلسلة مفتوحة مكونة من  $n$  وصلة تحتوي على كلا النوعين من المفاصل (مفاصل دورانية و MFAs ترددية)، فإن التمثيل الكينماتيكي الأمامي يكتب بالشكل الآتي:

$$T_{0,n} = M_1 e^{[A_1]\theta_1} M_2 e^{[A_2]\theta_2} \dots M_n e^{[A_n]\theta_n} \quad (5.26)$$

حيث  $\theta_i$  تشير إلى متغير المفصل، و  $[A_i]$  هي إما كما في المعادلة (5.23) أو كما في المعادلة (5.25) استناداً إلى كون المفصل دورانياً أو ترددياً.

الآن سوف نستخدم الخاصية التالية:

$$Me^P M^{-1} = e^{MPM^{-1}}$$

و هذه الخاصة صالحة من أجل أية مصفوفة غير شاذة  $P \in \mathbb{R}^{n \times n}$  و أية مصفوفة  $M \in \mathbb{R}^{n \times n}$ . وهذه الخاصية يمكن أيضاً أن تكتب بالشكل:

$$Me^P = e^{MPM^{-1}}M$$

فإذا طبقنا هذه الخاصية على المعادلة (5.26) وبعد تكرار التطبيق  $n$  مرة فإننا نحصل على صيغة جداء الأسیات بصياغتها العامة:

$$\begin{aligned} T_{0,n} &= e^{M_1[A_1]M_1^{-1}\theta_1}(M_1M_2)e^{[A_2]\theta_2} \dots e^{[A_n]\theta_n} \\ &= e^{M_1[A_1]M_1^{-1}\theta_1}e^{(M_1M_2)[A_2](M_1M_2)^{-1}\theta_2}(M_1M_2M_3)e^{[A_3]\theta_3} \dots e^{[A_n]\theta_n} \\ &= e^{[S_1]\theta_1} \dots e^{[S_n]\theta_n}M \end{aligned} \quad (5.27)$$

حيث:

$$[S_i] = (M_1 \dots M_{i-1})[A_i](M_1 \dots M_{i-1})^{-1}, \quad i = 1, \dots, n \quad (5.28)$$

$$M = M_1 M_2 \dots M_n \quad (5.29)$$

الآن سنعيد دراسة المعنى الفيزيائي لـ  $S_i$  عن طريق التذكير بكيفية تحول شعاع التلوب عند تغير جمل المحاور المرجعية. فإذا كان  $S_a$  يمثل شعاع التلوب للحركة الولبية المعطاة وذلك بالنسبة لجملة المحاور  $\{a\}$ ، و  $S_b$  تمثل شعاع التلوب لنفس الحركة الفيزيائية الولبية ولكن هذه المرة بالنسبة لجملة المحاور  $\{b\}$ ، وبالتالي فإن  $S_a$  و  $S_b$  مرتبان ببعضهما بالعلاقة التالية:

$$[S_b] = T_{ba}[S_a]T_{ba}^{-1} \quad (5.30)$$

أو باستخدام مفهوم الدالة الملحقة:

$$S_b = Ad_{T_{ba}}(S_a) \quad (5.31)$$

ومن خلال ذلك، يمكننا أن نرى أن المعادلة (5.29) تصرح لنا أن  $A_i$  هي عبارة عن شعاع التلوب لمحور المفصل  $i$  بالنظر إليه من جملة المحاور الخاصة بالمفصل  $\{i\}$ ، في حين أن  $S_i$  هو عبارة عن شعاع التلوب لمحور المفصل  $i$  بالنظر إليه من جملة المحاور الثابتة  $\{0\}$ .

#### 5.2.4. الصيغة الثانية:

باعتماد نفس الخاصية التي استخدمناها في الفقرة السابقة عند استنتاج الصيغة العامة لجاء الأسيات، وبتطبيقها على الجانب الأيمن من هذه الصيغة وبعد التكرار لـ  $n$  مرّة نحصل على:

$$\begin{aligned} T &= e^{[S_1]\theta_1} \dots e^{[S_n]\theta_n} M \\ &= e^{[S_1]\theta_1} \dots M e^{M^{-1}[S_n]M\theta_n} \\ &= e^{[S_1]\theta_1} \dots M e^{M^{-1}[S_{n-1}]M\theta_{n-1}} e^{M^{-1}[S_n]M\theta_n} \\ &= M e^{[B_1]\theta_1} e^{[B_2]\theta_2} \dots e^{[B_n]\theta_n} \end{aligned} \quad (5.32)$$

حيث إن كل  $M_i = M^{-1}[S_i]M$  حيث  $i = 1, \dots, n$ . وهذا هو الشكل البديل لصيغة جاء الأسيات. ونلاحظ أن  $M^{-1}$  هو الانزياح النسبي لجملة المحاور الثابتة كما تم رؤيته من جملة محاور النهاية العاملة ، حيث يمكن القول أن:

$$B_i = Ad_{M^{-1}}(S_i) \quad (5.33)$$

كل  $B_i$  هو شعاع التلوب لمحور المفصل  $i$  معبراً عنه في جملة محاور النهاية العاملة، وذلك في الوضعية الصفرية للروبوت. وسوف نطلق على المعادلة (5.32) اسم شكل الجسم Body لصيغة جاء الأسيات Frame.

**مثال: روبوت ذو سلسلة مفتوحة يحتوي على ستة مفاصل دورانية 6R:**

سنقوم الآن بإيجاد التمثيل الكينماتيكي الأمامي لنفس الروبوت ذي الستة مفاصل دورانية 6R والمبين بالشكل (5.9) وذلك باستخدام الشكل الثاني لصيغة جاء الأسيات:

$$T = M e^{[B_1]\theta_1} e^{[B_2]\theta_2} \dots e^{[B_n]\theta_n}$$

لنفرض أنه لدينا نفس جملة المحاور الثابتة ونفس جملة محاور النهاية العاملة ونفس الوضعية الصفرية للروبوت كما كان في المثال السابق الذي درسناه من قبل. إن  $M$  تبقى نفسها كما في المعادلة (5.21)، والتي تم الحصول عليها بالنظر لجملة محاور النهاية العاملة من جملة المحاور الثابتة عند الوضعية الصفرية للروبوت. إن أشعة التلوب لكل محاور المفاصل يمكن التعبير

عنها الآن بالنسبة لجملة محاور النهاية العاملة وذلك في الوضعية الصفرية كما في الجدول التالي:

$i$	$\omega_i$	$v_i$
1	(0,0,1)	(-3L,0,0)
2	(0,1,0)	(0,0,0)
3	(-1,0,0)	(0,0,-3L)
4	(-1,0,0)	(0,0,-2L)
5	(-1,0,0)	(0,0,-L)
6	(0,1,0)	(0,0,0)

## الفصل السادس

# التحليل الكينماتيكي للسرعة والتحليل статики للروبوت

## Velocity Kinematics and Statics

إن التحليل الكينماتيكي للسرعة لروبوت ما هو عبارة عن إيجاد العلاقة بين معدلات التغير لمفاصل الروبوت (معدل تغير دوراني والذي يعبر عنه بالسرعة الزاوية، ومعدل تغير تمددي والذي يعبر عنه بالسرعة الخطية) والسرعة الزاوية والخطية للنهاية العاملة لهذا الروبوت. وفي حين أن التحليل الكينماتيكي الأمامي للروبوتات بشكل عام يقود إلى نتائج غير خطية ومعقدة، إلا أننا نجد أن معدلات التحليل الكينماتيكي للسرعة هي خطية: خلال أية فترة لحظية لحركة الروبوت، فإن السرعة الخطية والزاوية للنهاية العاملة للروبوت يمكن ببساطة أن يتم الحصول عليها عن طريق جداء شعاع معدلات التغير للمفاصل بـ (باتابع الهيئة Configuration) والمسمى بمصفوفة اليعقوبي Jacobian Matrix. وهذه العلاقة الخطية يمكن الاستفادة منها بشكل كبير في العديد من التطبيقات، بدءاً من خوارزميات التحليل الكينماتيكي الخلفي (العكسى) Inverse Kinematics وتوليد المسار Trajectory إلى التخطيط والتحكم بالمناورة. ومصفوفة اليعقوبي Jacobian لها دور مركزي أيضاً في الأمور المتعلقة بالاتصال الستاتيكي والديناميكي Dynamic بين النهاية العاملة للروبوت والبيئة المحيطة.

في هذا الفصل سوف نقوم باستنتاج مصفوفة اليعقوبي Jacobian للروبوتات ذات السلسلة المفتوحة، وسندرس دورها في تحليل السرعة وفي التحليل الستاتيكي وفي تحديد القصور (الشذوذ) الكينماتيكي (القصور الحركي) Kinematic Singularities. إن مادة هذا الفصل تعتمد بشكل رئيسي على دراسة ومعالجة سرعات الجسم الصلب الواردة في الفصل الرابع، لذلك فإنه من الأفضل مراجعة ذاك الفصل أولاً.

### 6.1. يعقوبي Jacobian الروبوت المناور:

#### 6.1.1. يعقوبي الفضاء Space Jacobian:

في هذه الفقرة سوف نستنتج العلاقة بين شعاع معدلات التغير لمفاصل الروبوت ذي السلسلة المفتوحة  $\theta^*$  والسرعة الفضائية للنهاية العاملة للروبوت  $V_s$ . لكن بداية سنراجع بعض الخصائص الرئيسية من معدلات الجبر الخطى ومن معدلات التفاضل الخطى:

(i) إذا كان لدينا مصفوفتين  $A, B \in R^{n \times n}$  وكان لهما المصفوفتين معكوس، فإنه يكون:  

$$(AB)^{-1} = B^{-1}A^{-1}$$

(ii) إذا كانت المصفوفة  $A \in R^{n \times n}$  ثابتة، وكانت  $\theta(t)$  متغيراً عدياً تابعاً للزمن، فإن:

$$\frac{d}{dt} e^{A\theta} = Ae^{A\theta}\dot{\theta} = e^{A\theta} A\dot{\theta}$$

$$\text{iii) إن } (e^{A\theta})^{-1} = e^{-A\theta}$$

والآن لنفترض أن لدينا روبوتاً له سلسلة مفتوحة مكونة من  $n$  وصلة، بحيث يكون التمثيل الكينماتيكي الأمامي له معبراً عنه بصيغة جداء الأسيات كالتالي:

$$T(\theta_1, \dots, \theta_n) = e^{[S_1]\theta_1} e^{[S_2]\theta_2} \dots e^{[S_n]\theta_n} M \quad (6.1)$$

إن السرعة الفضائية للنهاية لجملة محاور النهاية العاملة بالنسبة لجملة المحاور الثابتة  $V_s$  تعطى بالعلاقة التالية  $V_s = T \cdot T^{-1}$  حيث:

$$\begin{aligned} \dot{T} &= \left( \frac{d}{dt} e^{[S_1]\theta_1} \right) \dots e^{[S_n]\theta_n} M + e^{[S_1]\theta_1} \left( \frac{d}{dt} e^{[S_2]\theta_2} \right) \dots e^{[S_n]\theta_n} M + \dots \\ &= [S_1] \dot{\theta}_1 e^{[S_1]\theta_1} \dots e^{[S_n]\theta_n} M + e^{[S_1]\theta_1} [S_2] \dot{\theta}_2 e^{[S_2]\theta_2} \dots e^{[S_n]\theta_n} M + \dots \end{aligned}$$

وأيضاً:

$$T^{-1} = M^{-1} e^{-[S_n]\theta_n} \dots e^{-[S_1]\theta_1}$$

وبإجراء الجداء  $T \cdot T^{-1}$  نجد:

$$\begin{aligned} [V_s] &= [S_1] \dot{\theta}_1 + e^{[S_1]\theta_1} [S_2] e^{-[S_1]\theta_1} \dot{\theta}_2 \\ &\quad + e^{[S_1]\theta_1} e^{[S_2]\theta_2} [S_3] e^{-[S_2]\theta_2} e^{-[S_1]\theta_1} \dot{\theta}_3 + \dots \end{aligned}$$

والمعادلة الناتجة أعلاه يمكن التعبير عنها بصورة شعاعية وذلك باستخدام تعريف الدالة الملحقة كالتالي: Adjoint map

$$V_s = S_1 \dot{\theta}_1 + Ad_{e^{[S_1]\theta_1}}(S_2) \dot{\theta}_2 + Ad_{e^{[S_1]\theta_1} e^{[S_2]\theta_2}}(S_3) \dot{\theta}_3 + \dots \quad (6.2)$$

ونلاحظ أن  $V_s$  هي عبارة عن جمع سرعات فضائية عددها  $n$  وذلك بالشكل التالي:

$$V_s = V_{s1}(\theta) \dot{\theta}_1 + \dots + V_{sn}(\theta) \dot{\theta}_n \quad (6.3)$$

حيث كل  $V_{si}(\theta) = (\omega_{si}(\theta), v_{si}(\theta))$  وبشكل مصفوفي يمكن أن نجد:

$$\begin{aligned} V_s &= [V_{s1}(\theta) \quad V_{s2}(\theta) \quad \dots \quad V_{sn}(\theta)] \begin{bmatrix} \dot{\theta}_1 \\ \vdots \\ \dot{\theta}_n \end{bmatrix} \\ &= J_s(\theta) \dot{\theta} \end{aligned} \quad (6.4)$$

إن المصفوفة  $J_s(\theta)$  تسمى يعقوبي Jacobian جملة المحاور الثابتة، أو بصورة أبسط تسمى بيعقوبي الفضاء Space Jacobian.

**تعريف 6.1.** لنفترض أن لدينا التمثيل الكينماتيكي الأمامي لروبوت ذي سلسلة مفتوحة مكون من  $n$  وصلة، وكان هذا التمثيل معبراً عنه بشكل جداء الأسیات التالي:

$$T = e^{[S_1]\theta_1} e^{[S_2]\theta_2} \dots e^{[S_n]\theta_n} M \quad (6.5)$$

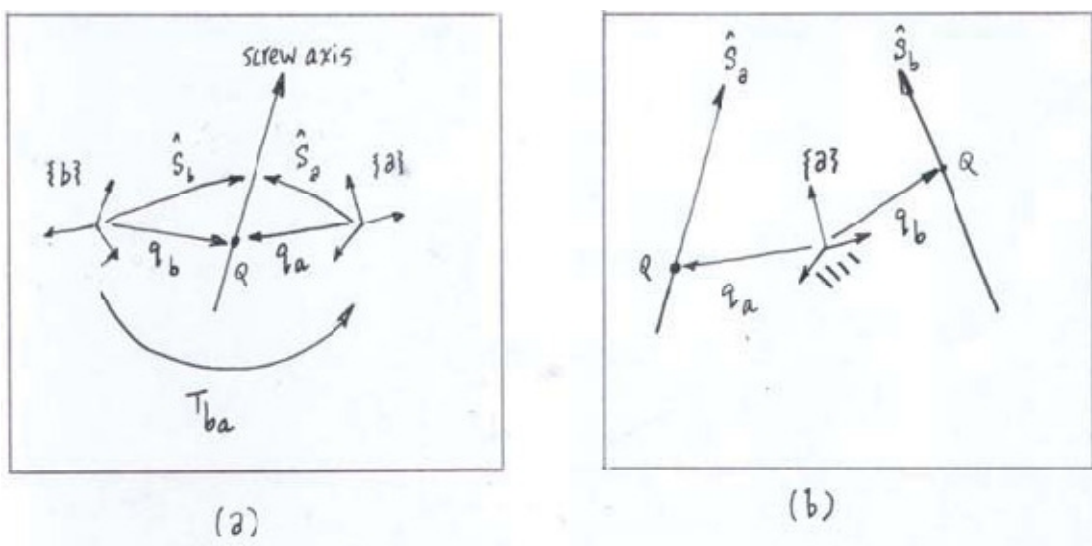
فإن يعقوبي الفضاء  $\mathbb{R}^{6 \times n} \in J_s(\theta)$  يربط شعاع معدلات التغير للمفاصل  $\theta$  بالسرعة الفضائية للنهاية العاملة  $V_s$  كالتالي:  $V_s = J_s(\theta)$ . يعطى بالعلاقة:

$$V_{si}(\theta) = Ad_{e^{[S_1]\theta_1} \dots e^{[S_{i-1}]\theta_{i-1}}(S_i)} \quad (6.6)$$

وذلك من أجل  $i = 1, 2, \dots, n$ ، ويكون العمود الأول هو  $S_1$ .

وبغية فهم المعنى الفيزيائي الكامن في أعمدة مصفوفة اليعقوبي  $J_s(\theta)$ ، فلنذكر من الفصل الرابع أنه إذا كان لدينا  $(\omega_a, v_a)$  هو الشعاع الذي يصف الحركة اللولبية في جملة المحاور {a}، وكان لدينا  $(\omega_b, v_b)$  هو الشعاع المعبر عن نفس الحركة اللولبية في جملة المحاور {b}، فإن  $S_a$  و  $S_b$  مرتبان بعضهما من خلال العلاقة التالية (انظر الشكل (6.1(a))):

$$S_b = Ad_{T_{ba}}(S_a)$$



الشكل 6.1: التقسيير الفيزيائي للتحويل اللولبي الملحق  $Ad_T$ : (a) وصف الحركة اللولبية نفسها بالنسبة لجملتي محاور مرجعيتين مختلفتين {a} و {b} (b) محور الحركة اللولبية ينتقل من حالته الابتدائية إلى حالة أخرى من خلال التحويل  $T_{ba}$ .

وهناك تفسير فيزيائي آخر لهذا التحويل وذلك بالاستناد فقط إلى جملة المحاور {a}. بالنظر إلى الشكل (6.1(b)), لنفترض أن الشعاع  $S_a$  يصف الحالة الابتدائية لمحور الحركة اللولبية بالنسبة لجملة المحاور {a}، والمحور  $S_b$  يصف محور الحركة اللولبية بعد أن خضع لانزياح كجسم صلب من خلال التحويل  $T_{ba}$ . ومنه نستنتج أن:

$$\omega_b = R_{ba}\omega_a \quad (6.7)$$

والنقطة  $q$  على محور الحركة اللولبية تتنزياح من الموضع الابتدائي  $q_a$  إلى:

$$q_b = T_{ba}q_a = R_{ba}q_a + p_{ba}$$

ومن خلال التعريف  $v_b = h_b - \omega_b \times q_b + h_b\omega_b$  حيث  $h_a = h_b$  (خطوة اللولب هي مقدار عددي، وبالتالي فهو مستقل عن طريقة اختيار جمل المحاور المرجعية)، فإننا نجد:

$$\begin{aligned} v_b &= -\omega_b \times q_b + h_b\omega_b \\ &= -R_{ba}\omega_a \times (R_{ba}q_a + p_{ba}) + hR_{ba}\omega_a \\ &= R_{ba}(-[\omega_a]q_a + h_a\omega_a) - R_{ba}[\omega_a]R_{ba}^T p_{ba} \\ &= R_{ba}v_a + [p_{ba}]R_{ba}\omega_a \end{aligned} \quad (6.8)$$

حيث قمنا في السطرين الأخيرين باستخدام الخاصية  $[R\omega]R^T = R[\omega]R^T$  من أجل  $R \in SO(3)$  و  $\omega \in \mathbb{R}^3$ . المعادلات (6.7) و (6.8) يمكن جمعهما بالشكل التالي:

$$\begin{bmatrix} \omega_b \\ v_b \end{bmatrix} = \begin{bmatrix} R_{ba} & 0 \\ [p_{ba}]R_{ba} & R_{ba} \end{bmatrix} \begin{bmatrix} \omega_a \\ v_a \end{bmatrix} \quad (6.9)$$

وهذه المعادلة هي بالضبط:

$$S_b = Ad_{T_{ba}}(S_a)$$

بالعودة إلى معادلة يعقوبي الفضاء (6.2)، نلاحظ أن الحد رقم  $i$  من الجانب الأيمن لهذه المعادلة هو من الشكل:

$$Ad_{T_{i-1}}(S_i)$$

حيث:

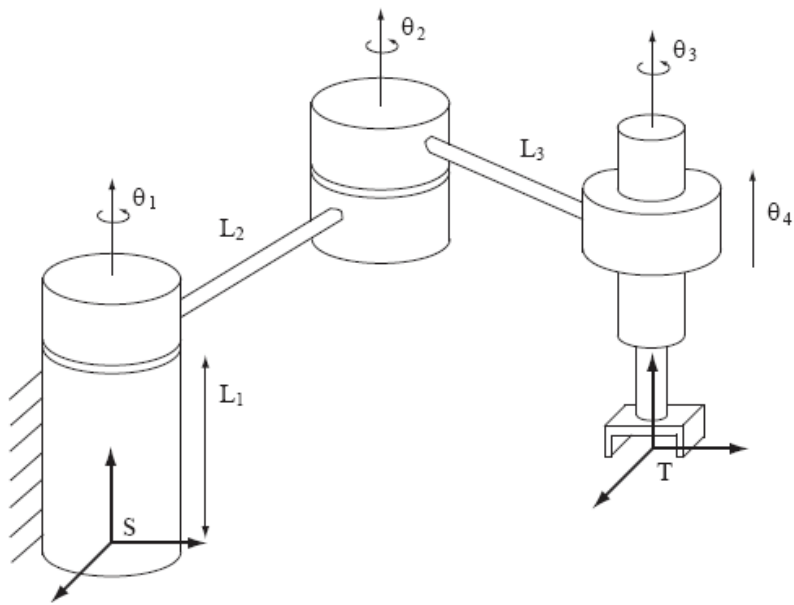
$$T_{i-1} = e^{[S_1]\theta_1} e^{[S_2]\theta_2} \dots e^{[S_{i-1}]\theta_{i-1}}$$

وإذا تذكّرنا أن  $S_i$  هو شعاع التلولب لمحور المفصل  $i$  بالنسبة لجملة المحاور الثابتة عند الوضعية الصفرية للروبوت، وبالتالي فإن الدالة الملحقة  $L_i$   $S_i$  والموافقة للتحويل  $T_{i-1}$  يمكن النظر إليها على أنها شعاع التلولب لمحور المفصل  $i$  وذلك بعد خضوعه للتحويل  $T_{i-1}$ . ولكن هذا الأمر فيزيائياً يعني تماماً تحريك المفاصل حتى المفصل رقم  $i-1$  من وضعيتها الصفرية إلى القيم الحالية  $\theta_{i-1}, \theta_{i-2}, \dots, \theta_1$ , ولذلك فإن العمود  $i$  الذي هو  $V_{si}(\theta)$  هو ببساطة محور التلولب لمحور المفصل  $i$  معبراً عنه في جملة المحاور الثابتة على شكل تابع لمتغيرات المفاصل  $\theta_{i-1}, \theta_{i-2}, \dots, \theta_1$ .

وبشكل موجز، فإن الإجراء المتخذ من أجل تحديد أعمدة مصفوفة اليعقوبي  $J_s(\theta)$  هو نفسه المتخذ من أجل استنتاج أشعة التلولب  $S_i$  في صيغة جداء الأسويات، حيث كل عمود  $V_{si}(\theta)$  هو عبارة عن شعاع التلولب الذي يصف المحور  $i$  معبراً عنه في جملة المحاور الثابتة، ولكن من أجل أية قيمة  $L \theta$  وليس من أجل  $0 = \theta$  فقط.

**مثال: مصفوفة يعقوبي الفضاء لروبوت فضائي ذي سلسلة مفتوحة يحتوي ثلاثة مفاصل دورانية ومفصل تمددي واحد RRRP:**

الآن سنقوم بتوضيح الإجراء المتتخذ من أجل إيجاد يعقوبي الفضاء للروبوت الفضائي ذي السلسلة المفتوحة المحتوى على ثلاثة مفاصل دورانية ومفصل تمددي واحد RRRP المبين بالشكل (6.2). وسنشير إلى العمود  $i$  من مصفوفة اليعقوبي  $J_s(\theta) \rightarrow (v_i, \omega_i)$ .



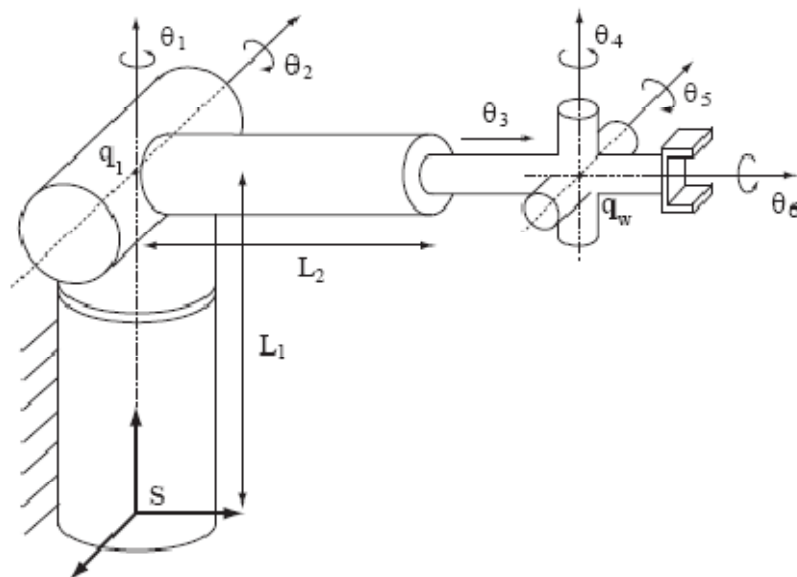
الشكل 6.2: يعقوبي الفضاء لروبوت الفضائي ذي السلسلة المفتوحة المكونة من ثلاثة مفاصل دورانية ومفصل واحد تمددي RRRP.

- نلاحظ أن الشعاع  $\omega_1$  هو ثابت ويتجه باتجاه المحور  $\hat{z}$  حيث  $(0,0,1) = \omega_1$ . وباختيار النقطة  $q_1$  لتكون مبدأ الإحداثيات نجد أن  $(0,0,0) = v_1$ .
  - الشعاع  $\omega_2$  هو أيضاً ثابت ويتجه باتجاه المحور  $\hat{z}$ ، وبالتالي  $(0,0,1) = \omega_2$ . وباختيار النقطة  $q_2 = (L_2c_1, L_2s_1, 0)$ ، حيث  $c_1 = \cos\theta_1$  و  $s_1 = \sin\theta_1$ . وبالتالي  $v_2 = -\omega_2 \times q_2 = (L_2s_1, -L_2c_1, 0)$ .
  - اتجاه المحور  $\omega_3$  هو دائماً ثابت وهو باتجاه المحور  $\hat{z}$  مهما كانت قيم  $\theta_1$  و  $\theta_2$ ، وبالتالي نجد  $(0,0,1) = \omega_3$ . وباختيار النقطة  $q_3 = (L_2c_1 + L_3c_{12}, L_2s_1 + L_3s_{12}, 0)$  حيث إن  $v_3 = (L_2s_1 + L_3s_{12}, -L_2c_1 - L_3c_{12}, 0)$ ، أي  $s_{12} = \sin(\theta_1 + \theta_2)$ ،  $c_{12} = \cos(\theta_1 + \theta_2)$ .
  - وبما أن المفصل الأخير هو مفصل تمددي، فإن  $(0,0,0) = \omega_4$ ، واتجاه محور المفصل يعطى بـ  $(0,0,-1) = v_4$ .
- ومنه نجد أن يعقوبي الفضاء يكون:

$$J_s(\theta) = \begin{bmatrix} 0 & 0 & 0 & 0 \\ 0 & 0 & 0 & 0 \\ 1 & 1 & 1 & 0 \\ 0 & L_2 s_1 & L_2 s_1 + L_3 s_{12} & 0 \\ 0 & -L_2 c_1 & -L_2 c_1 - L_3 c_{12} & 0 \\ 0 & 0 & 0 & -1 \end{bmatrix}$$

مثال: يعقوبي الفضاء لروبوت فضائي ذي سلسلة مفتوحة يحتوي خمسة مفاصل دورانية ومفصل تمدي واحد: RRPURR

سنقوم الان باستنتاج يعقوبي الفضاء للروبوت الفضائي ذي السلسلة المفتوحة الذي يحتوي خمسة مفاصل دورانية ومفصل تمدي واحد RRPURR والمبين في الشكل (6.3). جملة محاور القاعدة الثابتة تم اختيارها كما هو موضح بالشكل.



الشكل 6.3: يعقوبي الفضاء للروبوت الفضائي ذي السلسلة المفتوحة المكون من خمس مفاصل دورانية ومفصل وحيد تمدي RRPURR.

- محور المفصل الأول هو في الاتجاه  $(0,0,L_1)$ . وباختيار النقطة  $\omega_1 = (0,0,1)$ . ونحصل على  $v_1 = -\omega_1 \times q_1 = (0,0,0)$ .
- محور المفصل الثاني هو بالاتجاه  $(-c_1, -s_1, 0)$ . وباختيار النقطة  $\omega_2 = (-c_1, -s_1, 0)$ . ونحصل على  $v_2 = -\omega_2 \times q_2 = (L_1 s_1, -L_1 c_1, 0)$ .
- المفصل الثالث هو مفصل تمدي، وبالتالي  $\omega_3 = (0,0,0)$ . واتجاه محور هذه المفصل التمدي يعطى بـ:

$$v_3 = \text{Rot}(\hat{z}, \theta_1) \text{Rot}(\hat{x}, -\theta_2) \begin{bmatrix} 0 \\ 1 \\ 0 \end{bmatrix} = \begin{bmatrix} -s_1 c_2 \\ c_1 c_2 \\ -s_2 \end{bmatrix}$$

- لندرس الآن القسم الخاص بالمعصم Wrist. مركز المعصم متواضع في النقطة:

$$\begin{aligned} q_w &= \begin{bmatrix} 0 \\ 0 \\ L_1 \end{bmatrix} + \text{Rot}(\hat{z}, \theta_1) \text{Rot}(\hat{x}, -\theta_2) \begin{bmatrix} 0 \\ L_1 + \theta_3 \\ 0 \end{bmatrix} \\ &= \begin{bmatrix} -(L_2 + \theta_3)s_1 c_2 \\ (L_2 + \theta_3)c_1 c_2 \\ L_1 - (L_2 + \theta_3)s_2 \end{bmatrix} \end{aligned}$$

ونلاحظ أن اتجاهات محاور المعصم تتعلق بـ  $\theta_1$  و  $\theta_2$ ، وهذه المحاور هي:

$$\begin{aligned} \omega_4 &= \text{Rot}(\hat{z}, \theta_1) \text{Rot}(\hat{x}, -\theta_2) \begin{bmatrix} 0 \\ 0 \\ 1 \end{bmatrix} = \begin{bmatrix} -s_1 s_2 \\ c_1 s_2 \\ c_2 \end{bmatrix} \\ \omega_5 &= \text{Rot}(\hat{z}, \theta_1) \text{Rot}(\hat{x}, -\theta_2) \text{Rot}(\hat{z}, \theta_4) \begin{bmatrix} -1 \\ 0 \\ 0 \end{bmatrix} = \begin{bmatrix} -c_1 c_4 + s_1 c_2 s_4 \\ -s_1 c_4 + c_1 c_2 s_4 \\ s_2 s_4 \end{bmatrix} \\ \omega_6 &= \text{Rot}(\hat{z}, \theta_1) \text{Rot}(\hat{x}, -\theta_2) \text{Rot}(\hat{z}, \theta_4) \text{Rot}(\hat{x}, -\theta_5) \begin{bmatrix} 0 \\ 1 \\ 0 \end{bmatrix} \\ &= \begin{bmatrix} -c_5(s_1 c_2 c_4 + c_1 s_4) + s_1 s_2 s_5 \\ c_5(c_1 c_2 c_4 - s_1 s_4) - c_1 s_2 s_5 \\ -s_2 c_4 c_5 - c_2 s_5 \end{bmatrix} \end{aligned}$$

واليآن فإن يعقوبي الفضاء يمكن أن يتم حسابه وكتابته بالشكل المفصوفي كالتالي:

$$J_s(\theta) = \begin{bmatrix} \omega_1 & \omega_2 & 0 & \omega_4 & \omega_5 & \omega_6 \\ 0 & -\omega_2 \times q_2 & v_3 & -\omega_4 \times q_w & -\omega_5 \times q_w & -\omega_6 \times q_w \end{bmatrix}$$

## 6.1.2. يعقوبي الجسم :Body Jacobian

في الفقرة السابقة قمنا باستنتاج العلاقة بين معدلات تغير المفاصل والسرعة الفضائية للنهاية العاملة معتبراً عنها في جملة المحاور الثابتة  $[V_s] = T^* T^{-1}$ . والآن سنقوم باستنتاج العلاقة بين معدلات تغير المفاصل والسرعة الفضائية للنهاية العاملة معتبراً عنها في جملة محاور النهاية العاملة  $[V_b] = T^{-1} T^*$ ، ولهذا الغرض، فإنه من الملائم أكثر أن نقوم بالتعبير عن التمثيل الكينماتيكي الأمامي باستخدام الطريقة البديلة لصيغة جداء الأسيات:

$$T(q) = M e^{[B_1]\theta_1} e^{[B_2]\theta_2} \dots e^{[B_n]\theta_n} \quad (6.10)$$

: بحساب  $T^*$

$$\begin{aligned} \dot{T} &= M e^{[B_1]\theta_1} \dots e^{[B_{n-1}]\theta_{n-1}} \left( \frac{d}{dt} e^{[B_n]\theta_n} \right) \\ &\quad + M e^{[B_1]\theta_1} \dots \left( \frac{d}{dt} e^{[B_{n-1}]\theta_{n-1}} \right) e^{[B_n]\theta_n} + \dots \\ &= M e^{[B_1]\theta_1} \dots e^{[B_n]\theta_n} [B_n] \dot{\theta}_n + M e^{[B_1]\theta_1} \dots e^{[B_{n-1}]\theta_{n-1}} [B_{n-1}] e^{[B_n]\theta_n} \dot{\theta}_{n-1} \\ &\quad + \dots + M e^{[B_1]\theta_1} [B_1] e^{[B_2]\theta_2} \dots M e^{[B_n]\theta_n} \dot{\theta}_1 \end{aligned}$$

: بحساب  $T^{-1}$

$$T^{-1} = e^{-[B_n]\theta_n} \dots e^{-[B_1]\theta_1} M^{-1}$$

: بإجراء الجداء  $T^{-1} T$  نجد

$$\begin{aligned} [V_b] &= [B_n] \dot{\theta}_n + e^{-[B_n]\theta_n} [B_{n-1}] e^{[B_n]\theta_n} \dot{\theta}_{n-1} + \dots \\ &\quad + e^{-[B_n]\theta_n} \dots e^{-[B_2]\theta_2} [B_1] e^{[B_2]\theta_2} \dots e^{[B_n]\theta_n} \dot{\theta}_1 \end{aligned}$$

: أو بصورة شعاعية

$$\begin{aligned} V_b &= B_n \dot{\theta}_n + Ad_{e^{-[B_n]\theta_n}}(B_{n-1}) \dot{\theta}_{n-1} + \dots \\ &\quad + Ad_{e^{-[B_n]\theta_n} \dots e^{-[B_2]\theta_2}}(B_1) \dot{\theta}_1 \quad (6.11) \end{aligned}$$

وبالتالي فإن  $V_b$  يمكن التعبير عنها كمجموع سرعات فضائية فردية عددها  $n$ ، أي:

$$V_b = V_{b1}(\theta) \dot{\theta}_1 + \dots + V_{bn}(\theta) \dot{\theta}_n \quad (6.12)$$

حيث كل  $(V_{bi} = (\omega_{bi}(\theta), v_{bi}(\theta)))$  تتعلق بقيم المفاصل  $\theta$ . وبالشكل المصفوفى نجد:

$$V_b = [V_{b1}(\theta) \quad V_{b2}(\theta) \quad \dots \quad V_{bn}(\theta)] \begin{bmatrix} \dot{\theta}_1 \\ \vdots \\ \dot{\theta}_n \end{bmatrix} = J_b(\theta) \dot{\theta} \quad (6.13)$$

المصفوفة  $J_b(\theta)$  هي مصفوفة يعقوبى في جملة محاور النهاية العاملة (الجسم)، وبشكل أكثر بساطة يمكن تسميتها بيعقوبى الجسم.

**تعريف 6.2.** لنفترض أن لدينا التمثيل الكينماتيكي الأمامي لروبوت ذي سلسلة مفتوحة مكون من  $n$  وصلة وعبرأً عنه بصيغة جداء المصفوفات التالية:

$$T = M e^{[B_1]\theta_1} e^{[B_2]\theta_2} \dots e^{[B_n]\theta_n} \quad (6.14)$$

فإن يعقوبى الجسم  $J_b(\theta) \in R^{6 \times n}$  يربط شعاع معدلات تغير المفاصل  $\theta$  بالسرعة الفضائية للنهاية العاملة  $(\omega_b, v_b) = V_b$  من خلال المعادلة:

$$V_b = J_b(\theta) \dot{\theta} \quad (6.15)$$

والعمود  $i$  من المصفوفة  $J_b(\theta)$  يعطى بالعلاقة:

$$V_{b,i}(\theta) = Ad_{e^{-[B_n]\theta_n} \dots e^{-[B_{i+1}]\theta_{i+1}}(B_i)}(B_i) \quad (6.16)$$

وذلك من أجل  $i = 1, \dots, n-1, I$ , حيث  $V_{bn}(\theta) = B_n$ .

وبشكل مماثل لأعمدة مصفوفة يعقوبى الفضاء، فإن هناك معنى فيزيائياً يمكن أن نستخلصه من أعمدة مصفوفة يعقوبى الجسم، حيث إن كل عمود  $(\omega_{bi}(\theta), v_{bi}(\theta)) = V_{bi}$  هو عبارة عن شعاع التلobil لمحور المفصل  $i$  عبرأً عنه في جملة محاور النهاية العاملة وليس في جملة المحاور الثابتة. والإجراء المتخذ من أجل تحديد أعمدة مصفوفة يعقوبى الجسم هو نفسه الإجراء المتخذ من أجل استنتاج التمثيل الكينماتيكي الأمامي باستخدام صيغة جداء الأسيات كما في المعادلة (6.14)، ولكن مع فرق واحد هو أن كل شعاع تلobil لكل مفصل يتم استنتاجه من أجل آية قيمة  $\theta$  وليس من أجل  $\theta = 0$  فقط.

### 6.1.3. العلاقة بين يعقوبى الفضاء ويعقوبى الجسم:

إذا أشرنا إلى جملة المحاور الثابتة بـ  $\{s\}$ ، وجملة محاور النهاية العاملة لذراع الروبوت بـ  $\{b\}$ ، فإن التمثيل الكينماتيكي الأمامي يمكن كتابته بالشكل  $T_{sb}(\theta)$ . السرعة الفضائية لجملة محاور الطرف (النهاية العاملة) يمكن أن يتم التعبير عنها بالنسبة لجملة المحاور الثابتة وجملة محاور النهاية العاملة كالتالي:

$$[V_s] = \dot{T}_{sb} T_{sb}^{-1} \quad (6.17)$$

$$[V_b] = T_{sb}^{-1} \dot{T}_{sb} \quad (6.18)$$

حيث  $V_s$  و  $V_b$  مرتبطان بالعلاقة:

$$V_s = Ad_{T_{sb}}(V_b)$$

وكلاً من  $V_s$  و  $V_b$  مرتبطان باليعقوبي الخاص بها بالشكل:

$$\dot{V}_s = J_s(\theta)\dot{\theta} \quad (6.19)$$

$$\dot{V}_b = J_b(\theta)\dot{\theta} \quad (6.20)$$

ومن خلال السابق فإنه يمكن أن نكتب:

$$Ad_{T_{sb}}(V_b) = J_s(\theta)\dot{\theta} \quad (6.21)$$

وبضرب طرفي المعادلة (6.21) بالدالة الملحقة الخاصة بالتحويل  $T_{bs}$ ، وباستخدام الخاصية  $Ad_M \cdot Ad_N = Ad_{MN}$ ، نحصل على:

$$\begin{aligned} Ad_{T_{bs}}(Ad_{T_{sb}}(V_b)) &= Ad_{T_{bs}T_{sb}}(V_b) \\ &= V_b \\ &= Ad_{T_{bs}}(J_s(\theta)\dot{\theta}) \end{aligned}$$

ونحن نعلم أيضاً أن  $J_b(\theta) = V_b$ ، وبالتالي فإننا نجد أن  $J_b(\theta)$  و  $J_s(\theta)$  مرتبطان ببعضهما من خلال العلاقة:

$$J_s(\theta) = Ad_{T_{sb}}(J_b(\theta)) \quad (6.22)$$

وبكتابة الدالة الملحقة  $Ad_T$  بالشكل المصفوفي  $[Ad_T]$  ذو البعد  $6 \times 6$ ، فإن المعادلة أعلاه يمكن التعبير عنها بالشكل الآتي:

$$J_s(\theta) = [Ad_{T_{sb}}]J_b(\theta) \quad (6.23)$$

ويمكن الحصول على مصفوفة يعقوبي الجسم من مصفوفة يعقوبي الفضاء عن طريق العلاقة التالية:

$$J_b(\theta) = Ad_{T_{bs}}(J_s(\theta)) = [Ad_{T_{bs}}]J_s(\theta) \quad (6.24)$$

## 6.2. التوازن статики لروبوتات السلسلة المفتوحة:

يمكنا أن نقول أن الجسم الصلب يقع في حالة توازن ستاتيكي إذا كان غير قادر على الحركة، وإذا كانت محصلة القوى والعزوم المطبقة على الجسم مساوية للصفر. ولنقم الآن بمراجعة مفهوم العزم Moment بشكل موجز وذلك بافتراض أن هناك قوة تؤثر على جسم صلب ما. إذا كان مركز ثقل الجسم الصلب لا يقع على حامل شعاع القوة، فإن هذه القوة سوف تسبب دوراناً

للحسم الصلب، وهذا الدوران يحصل بفعل العزم المتولد عن القوة  $f$  حول نقطة مرجعية ما  $p$  في الفضاء الفيزيائي، وهذا العزم يعرف على أنه الجداء الخارجي:

$$\vec{m} = r \times f \quad (6.25)$$

حيث  $r$  هو الشعاع من النقطة  $p$  إلى النقطة من الجسم الصلب التي تتطبق عليها القوة  $f$ . ومن أجل جسم صلب خاضع لمجموعة من القوى والعزوم، فإذا كان مجموع هذه القوى ومجموع هذه العزوم مساوياً للصفر، فإن الجسم الصلب سوف يكون ثابتاً Stationary، ويمكن القول بأنه واقع في حالة توازن ستاتيكي Static equilibrium. ومن الجدير بالذكر أنه عند جمع العزوم فإنه يجب الانتباه أن تكون العزوم مأخوذه بالنسبة لنفس النقطة المرجعية  $p$ .

ويمكن القول أن ذراع الروبوت يقع في حالة توازن ستاتيكي إذا كانت جميع وصلاته واقع في حالة توازن ستاتيكي. وفي هذه الفقرة سوف ندرس (من أجل ذراع الروبوتات الواقعه في حالة توازن ستاتيكي) العلاقة بين القوى الخارجية والعزوم المطبقة على النهاية العاملة، والقوى وعزوم الدوران Torques المطبقة على كل مفصل من مفاصل الروبوت. وهذه الحالة يمكن أن تنشأ، على سبيل المثال، عندما يدفع ذراع روبيتي ذو ست درجات حرية جداراً غير قابل للحركة.

وسنقوم بداية بمراجعة القوى الفضائية (والتي يمكن الإشارة لها على أنها التواres Wrenches وفق مفهوم نظرية التأولب Screw Theory)، والتي يمكن الحصول عليها عن طريق دمج القوى والعزوم بحيث تشكل مقداراً كمياً سادسي الأبعاد، وذلك بنفس الطريقة التي يتم الحصول على السرعات الفضائية عن طريق دمج السرعات الخطية والزاوية على شكل شعاع سادسي الأبعاد. وكما قمنا بالنسبة للسرعات الفضائية، سنقوم بدراسة كيفية تحول القوى الفضائية وذلك عند التغيير بين جمل المحاور المرجعية.

وبعد ذلك سوف نتطرق لمبدأ العمل الافتراضي Virtual Work، ولكن بالنسبة للسرعات الفضائية والقوى الفضائية. إن تطبيق مبدأ العمل الافتراضي على ذراع الروبوت الذي افترضنا أنه واقع في حالة توازن ستاتيكي سيقودنا إلى النتيجة التي نريد الحصول عليها من هذه الدراسة، والتي تنص على أن أية قوة فضائية مطبقة على النهاية العاملة للروبوت ستكون مرتبطة بشكل خطى مع عزوم الدوران المطبقة على المفاصل.

### 6.2.1 القوى الفضائية :Spatial Forces

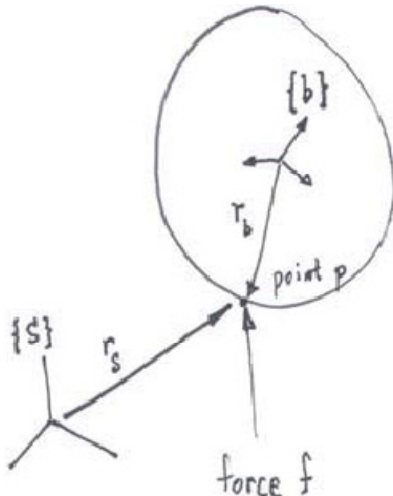
بالضبط وكما وجدنا سابقاً أنه من الجيد دمج السرعة الزاوية لجملة المحاور المتحركة  $\omega \in \mathbb{R}^3$  مع السرعة الخطية لهذه لجملة  $R^3 \in \mathcal{V}$  بحيث يشكلان شعاع السرعة الفضائية  $(\omega, \mathcal{V})$  السادس الأبعاد، فإنه لنفس السبب سيكون من المفيد أن نعرف وبشكل مماثل ما يسمى القوة الفضائية Spatial Force والذي هو عبارة عن شعاع سادسي الأبعاد ناتج عن دمج شعاع القوة ثلاثي الأبعاد  $R^3 \in \mathcal{F}$  مع شعاع العزم ثلاثي الأبعاد  $R^3 \in \mathcal{M}$  بالشكل الآتي:

$$F = \begin{bmatrix} m \\ f \end{bmatrix} \quad (6.26)$$

ويمكن كتابة المعادلة أعلاه بالشكل (6.4) أيضاً

ولنقم الآن بإيجاد تمثيل هذه القوة الفضائية بالنسبة لجملة محاور مرجعية محددة. ولهذا الغرض، لنفرض أن لدينا جسمًا صلباً مربوطاً بجملة محاور متحركة  $\{b\}$ . وبغية التعبير عن كل شيء بالنسبة لجملة المحاور المتحركة  $\{b\}$ ، لنفترض أن  $r_b \in \mathbb{R}^3$  يشير إلى شعاع القوة المطبقة على النقطة  $p$  الموجودة على الجسم الصلب. وهذه القوة وبالتالي سوف تولد عزماً بالنسبة لمبدأ إحداثيات جملة المحاور  $\{b\}$ ، ويكون هذا العزم في جملة المحاور المتحركة  $\{b\}$ :

$$m_b = r_b \times f_b \quad (6.27)$$



الشكل 6.4: العلاقة بين  $F_b$  و  $m_b$

حيث  $r_b \in \mathbb{R}^3$  هو الشعاع من مبدأ إحداثيات جملة المحاور  $\{b\}$  إلى النقطة  $p$ . وسوف نقوم بدمج القوة  $f_b$  والعزم  $m_b$  على شكل قوة فضائية سداسية الأبعاد  $(m_b, f_b) = (m_b, f_b)$ ، وسوف نسميها بالقوة الفضائية بالنسبة لجملة محاور الجسم.

ولنفترض الآن أننا نريد التعبير عن هذه القوة وهذا العزم بالنسبة لجملة المحاور الثابتة (جملة محاور الفضاء)  $\{s\}$ . لذلك لنفترض أن  $r_s \in \mathbb{R}^3$  يشير إلى شعاع القوة المطبقة على النقطة  $p$  من الجسم الصلب ولكن بالنسبة لجملة المحاور الثابتة  $\{s\}$ . والعزم الناتج من هذه القوة بالنسبة لمبدأ إحداثيات الجملة  $\{s\}$  والمعبر عنه في جملة المحاور  $\{s\}$  سيكون:

$$m_s = r_s \times f_s \quad (6.28)$$

حيث  $r_s \in \mathbb{R}^3$  هو الشعاع من مبدأ إحداثيات جملة المحاور  $\{s\}$  إلى النقطة  $p$ . وكما فعلنا بالنسبة لـ  $F_b$ ، لنقم بدمج كل من  $r_s$  و  $m_s$  على شكل قوة فضائية سداسية الأبعاد  $(m_s, f_s) = (m_s, f_s)$ ، وسوف نسميها بالقوة الفضائية بالنسبة لجملة محاور الفضاء.

سنقوم الآن بتحديد العلاقة بين  $(m_s, f_s) = (m_s, f_s)$  و  $(m_b, f_b) = (m_b, f_b)$ . فبالنظر للشكل (6.4)، ليكن التحويل  $T_{sb}$  معطى بالعلاقة:

$$T_{sb} = \begin{bmatrix} R_{sb} & p_{sb} \\ 0 & 1 \end{bmatrix}$$

ويمكن أن نلاحظ بوضوح أن  $f_b = R_{bs}f_s$ , ويمكن أن نكتب هذه المعادلة بشكلها الآخر كالتالي:

$$f_b = R_{sb}^T f_s \quad (6.29)$$

العزم  $m_b$  يعطى بالعلاقة  $m_b = r_b \times f_b$ , حيث  $r_b = R_{bs}(r_s - p_{sb})$ , وهذه النتيجة تأتي من كون المقدار  $r_s - p_{sb}$  معبراً عنه في جملة المحاور الثابتة  $\{s\}$ , ويجب تحويله بحيث يكون معبراً عنه في جملة محاور الجسم  $\{b\}$  وذلك عن طريق الجداء بـ  $R_{bs}$ . وأيضاً نستطيع أن نكتب العلاقة السابقة بالشكل:

$$r_b = R_{sb}^T(r_s - p_{sb})$$

ومنه فإن العزم  $m_b = r_b \times f_s$  يمكن الآن كتابته بدلالة  $f_s$  كالتالي:

$$\begin{aligned} m_b &= R_{sb}^T(r_s - p_{sb}) \times R_{sb}^T f_s \\ &= [R_{sb}^T r_s] R_{sb}^T f_s - [R_{sb}^T p_{sb}] R_{sb}^T f_s \\ &= R_{sb}^T [r_s] f_s - R_{sb}^T [p_{sb}] f_s \\ &= R_{sb}^T m_s + R_{sb}^T [p_{sb}]^T f_s \end{aligned} \quad (6.30)$$

حيث أنه في السطر الأخير قمنا باستخدام الخاصية التالية  $[p_{sb}]^T = -[p_{sb}]$ . وبكتابة كل من  $m_b$  و  $f_b$  بدلالة  $m_s$  و  $f_s$ , فإننا نجد ومن خلال المعادلين (6.29) و (6.30):

$$\begin{bmatrix} m_b \\ f_b \end{bmatrix} = \begin{bmatrix} R_{sb} & 0 \\ [p_{sb}] R_{sb} & R_{sb} \end{bmatrix}^T \begin{bmatrix} m_s \\ f_s \end{bmatrix} \quad (6.31)$$

أو بدلالة القوى الفضائية وباستخدام خاصية الدالة الملحقة:

$$F_b = \text{Ad}_{T_{sb}}^T(F_s) = [\text{Ad}_{T_{sb}}]^T F_s \quad (6.32)$$

ومن المعادلة السابقة يمكن أن نلاحظ أنه في حال تغيير جمل المحاور، فإن السرعات الفضائية يتم تحويلها عن طريق مفهوم الدالة الملحقة، في حين أن القوى الفضائية يتم تحويلها باستخدام منقول هذه الدالة. ويمكن إيجاز هذه النتيجة من خلال الخاصية التالية:

**الخاصية 6.1.** لنفترض أن لدينا قوة ما  $f$ , لتكن  $m$  العزم المتولد عن القوة  $f$  بالنسبة لنقطة ما  $p$  في الفضاء الفيزيائي. وكان معطى لدينا جملة محاور مرجعية  $\{a\}$ , حيث  $m_a \in \mathbb{R}^3$  و  $f_a \in \mathbb{R}^3$  وتعطى بالعلاقة  $m_a = r_a \times f_a$ , وهمما تمثل القوة  $f$  والعزم  $m$  في جملة المحاور  $\{a\}$ , بحيث إن  $r_a \in \mathbb{R}^3$  هو الشعاع من مبدأ إحداثيات جملة المحاور  $\{a\}$  إلى النقطة  $p$  معبراً عنه في جملة المحاور  $\{a\}$ . وكان معطى لنا أيضاً جملة محاور مرجعية أخرى  $\{b\}$  بحيث يكون  $r_b \in \mathbb{R}^3$  و  $f_b \in \mathbb{R}^3$  هما تمثل القوة  $f$  والعزم  $m$  في جملة المحاور  $\{b\}$ , حيث  $r_b \in \mathbb{R}^3$  هو الشعاع من مبدأ إحداثيات جملة المحاور  $\{b\}$  إلى النقطة  $p$  معبراً عنه في جملة المحاور  $\{b\}$ .

وبتعريف القوى الفضائية ( $F_a = (m_a f_a)$  و  $F_b = (m_b f_b)$ ، فإن  $F_a$  و  $F_b$  مرتبطةان بعضهما من خلال العلاقات التالية:

$$F_b = \text{Ad}_{T_{ab}}^T(F_a) = [\text{Ad}_{T_{ab}}]^T F_a \quad (6.33)$$

$$F_a = \text{Ad}_{T_{ba}}^T(F_b) = [\text{Ad}_{T_{ba}}]^T F_b \quad (6.34)$$

## 6.2.2. التحليل статики ومبدأ العمل الافتراضي :Virtual Work

عندما يكون الروبوت في حالة توازن ستاتيكي، فإننا نستطيع أن نجد أن يعقوبي التمثيل الكينماتيكي يربط أيضاً القوى والعزوم المطبقة على النهاية العاملة للروبوت بعزم الدوران والقوى المطبقة على مفاصل الروبوت. وهذه الحقيقة يمكن الوصول إليها باستخدام مبدأ العمل الافتراضي Virtual Work، والذي سنتحدث عنه الآن. إذا قمنا باختيار جملة محاور مرجعية ثابتة، واقترضنا أنه لدينا جسماً صلباً يتحرك بسرعة خطية  $v$  وسرعة زاوية  $\omega$ ، وكان هذا الجسم خاضعاً لمحصلة قوى  $f$  ومحصلة عزوم  $m$ ، فإن العمل المنجز من قبل الجسم الصلب خلال فترة زمنية ما  $[t_0, t_1]$  يعطى بالتكامل التالي:

$$\text{Work} = \int_{t_0}^{t_1} f^T v + m^T \omega \, dt \quad (6.35)$$

وبدالة القوى والسرعات الفضائية فإن المعادلة (6.35) يمكن أيضاً كتابتها بالشكل:

$$\text{Work} = \int_{t_0}^{t_1} F^T V \, dt \quad (6.36)$$

حيث  $(m, f) = V$ . إن العمل المنجز من قبل نظام مكون من أجسام صلبة هو ببساطة عبارة عن مجموع الأعمال المنجزة من قبل كل من هذه الأجسام الصلبة.

ومن أجل جسم صلب واحد، لنفترض أن القوة المحصلة والعزوم المحصل يتم تطبيقهما على الجسم الصلب خلال فترة زمنية متناهية في الصغر  $\delta t$  Infinitesimal، بحيث تؤدي إلى انزياح متناهٍ في الصغر للجسم الصلب. إذا كان الجسم الصلب في حالة توازن ستاتيكي، فإن الجسم يمكن أن ثابتاً لهذا فإنه لا يقدم أي عمل. وهذا الانزياح المتناهي في الصغر خلال الفترة  $\delta t$  يمكن أن نفترضه على أنه انزياح افتراضي Virtual Displacement. ومبدأ العمل الافتراضي ينص على أنه في حالة التوازن ستاتيكي، فإن عمل أية قوى أو عزوم خارجية مطبقة على الجسم الصلب هو دائماً يساوي الصفر من أجل أية انزياحات افتراضية مسموح بها للجسم الصلب. وهذا المبدأ يمكن أيضاً تعديمه على الأذرع الروبوتية، وبشكل أشمل أكثر، على أي نظام مكون من أجسام صلبة متصلة مع بعضها البعض. فمن أجل أية انزياحات افتراضية مسموح بها للنظام (على سبيل المثال، ذاك النظام الذي لا يحدث فيه خلل في بعض مقيماته الحركية)، فإن العمل الافتراضي الكلي للقوى الخارجية والعزوم الخارجية المطبقة على الجسم سيكون مساوياً للصفر.

والأن لنفترض أن لدينا ذراعاً روبوتياً مكوناً من  $n$  وصلة بحيث يكون واقعاً في حالة توازن ستاتيكي، وبفرض أن هناك قوة ما وعزم ما يتم تطبيقهما على الطرف (النهاية العاملة). ومن الآن فإن جميع المقادير الكمية سيتم تعريفها بالنسبة لجملة محاور النهاية العاملة (الجسم): ليكن لدينا  $F_b = (m_b, f_b)$  هي عبارة عن القوة الفضائية الخارجية المطبقة خلال فترة زمنية متناهية في الصغر  $[t_0, t_0 + \delta t]$ ، و  $V_b = (\omega_b, v_b)$  هي السرعة الفضائية (اللحظية) للنهاية العاملة للروبوت، وبالتالي فإن العمل الافتراضي المنجز من قبل هذا الروبوت يعطى بالمعادلة (6.35). وبفرض عدم وجود ضياعات في الروبوت، فمن مبدأ العمل الافتراضي فإن هذا العمل المتناهي في الصغر يجب أن يكون هو نفسه الناتج من عزوم الدوران المطبقة على المفاصل:

$$\text{Virtual Work} = \int_{t_0}^{t_0 + \delta t} F_b^T V_b dt = \int_{t_0}^{t_0 + \delta t} \tau^T \dot{\theta} dt$$

حيث  $\tau \in R^n$  هو شعاع سرعات المفاصل، و  $\theta \in R^n$  هو شعاع عزوم الدوران للمفاصل. وكما نعلم فإن  $V_b = J_b(\theta)\dot{\theta}$ ، فإننا نجد:

$$\int_{t_0}^{t_0 + \delta t} F_b^T J_b(\theta) \dot{\theta} dt = \int_{t_0}^{t_0 + \delta t} \tau^T \dot{\theta} dt$$

ولأن المعادلة يجب أن تكون محققة من أجل جميع الفترات الزمنية المتناهية في الصغر في كلا طرفي المعادلة، فإن المقادير التي تتم مكاملتها يجب أن تكون متساوية:

$$F_b^T J_b(\theta) \dot{\theta} = \tau^T \dot{\theta}$$

بالإضافة إلى ذلك، فإنه وبسبب كون جميع المقادير الكمية أعلى يجب أن تكون محققة من أجل جميع الانزياحات الافتراضية المسموح بها  $\dot{\theta}$  (وهنا يمكن أن يكون لها قيم عشوائية) فإننا نجد ما يلي:

$$\tau = J_b^T(\theta) F_b \quad (6.37)$$

لقد الآن بتكرار نفس طريقة استنتاج المعادلة (6.37)، ولكن هذه المرة سنقوم بالتعبير عن جميع المقادير الكمية بالنسبة لجملة المحاور الثابتة (الفضاء). لكن  $V_s = (\omega_s, v_s)$  تشير إلى السرعة الفضائية للنهاية العاملة، و  $F_s = (m_s, f_s)$  هي القوة الفضائية المطبقة على النهاية العاملة (أو يمكن القول بأنها مطبقة على مبدأ إحداثيات جملة محاور النهاية العاملة)، وكل هذه المقادير يتم التعبير عنها بالنسبة لجملة المحاور الثابتة. وهنا  $f_s$  هي القوة الخارجية المطبقة معتبراً عنها في جملة المحاور الثابتة، في حين  $m_s$  هو العزم الخارجي المطبق حول مبدأ إحداثيات جملة المحاور الثابتة. فإذا تذكرنا من الفقرة السابقة أن  $F_b$  و  $F_s$  يرتبطان بعضهما من خلال العلاقة:

$$F_b = [\text{Ad}_{T_{sb}}]^T F_s$$

وأن  $J_b(\theta)$  و  $J_s(\theta)$  يرتبطان بعضهما من خلال العلاقة:

$$J_b(\theta) = [Ad_{T_{bs}}]J_s(\theta)$$

فإن المعادلة (6.37) يمكن كتابتها بالشكل:

$$\begin{aligned}\tau &= J_b^T(\theta)F_b = \left([Ad_{T_{bs}}]J_s(\theta)\right)^T [Ad_{T_{sb}}]^T F_s \\ &= J_s^T(\theta) \left([Ad_{T_{sb}}][Ad_{T_{bs}}]\right)^T F_s \\ &= J_s^T(\theta)F_s\end{aligned}\quad (6.38)$$

وبذلك فإنه يمكن أن نكتب العلاقة статистيكية بصيغة عامة بالشكل التالي:

$$\tau = J^T(\theta)F \quad (6.39)$$

مع الأخذ بالحسبان أن  $J(\theta)$  و  $F$  يتم التعبير عنهما بالنسبة لنفس جملة المحاور. غالباً ما نهتم في علم الروبوتิกس Robotics بتحديد قيم عزوم الدوران في المفاصل اللازمة لتوليد القوة المعطاة  $F$  وذلك بافتراض أن الروبوت واقع في حالة توازن ستاتيكي، ويمكن للمعادلة статистيكية السابقة أن تعطينا أجوبة مباشرة لهذا السؤال.

ولكن يمكن أن يتم طرح السؤال بصيغة معاكسة، أي، ماهي القوى الفضائية المتولدة عند طرف الروبوت (نهاية العاملة) الناتجة عن تطبيق عزوم الدوران المعمطة للمفاصل؟ فإذا كانت  $J^T$  هي عبارة عن مصفوفة مربعة وكان لها معکوس، فإنه من الواضح أن  $\tau(\theta) = J^T F$ . وعلى أية حال، إذا كان بعد شعاع المفاصل  $n$  أكبر من بعد القوة  $F$  (ويساوي ستة)، فإن معکوس المصفوفة  $J^T$  سيكون غير موجوداً. وهذا ما يعني فيزيائياً أن ذراع الروبوت لديه درجات حرية فائضة. وبسبب الدرجات الحرية الفائضة هذه، فإنه يمكن لبعض وصلات الروبوت أن تتحرك حتى لو كانت النهاية العاملة للروبوت ثابتة (على سبيل المثال، الميكانيزم رباعي الوصلات المستوى يمكن اعتباره على أنه ميكانيزم ذو سلسلة مفتوحة مكون من ثلاثة مفاصل دورانية  $3R$  بحيث تكون نهايته العاملة مثبتة بمفصل على القاعدة). وهذه التحركات الداخلية الناجمة عن عزوم الدوران المطبقة على المفاصل ستجعل من شرط التوازن ستاتيكي غير محققاً. ويطلق على الروبوتات التي يكون فيها مجموع درجات الحرية لمفاصلها أكبر من بعد فضاء المهمة أو العمل اسم الروبوتات الفائضة حركيأً (Kinematically), وسنقوم في الفصل القادم بدراسة التحليل الكينماتيكي الخلفي (العكسى) Inverse Kinematics لأذرع الروبوتات الفائضة حركيأً.

### 6.3. القصور (الشذوذ) الحركي :Kinematic Singularities

إن مصفوفة اليعقوبي الناتجة من التحليل الكينماتيكي الأمامي تسمح لنا بتحديد الوضعيات التي تخسر فيها النهاية العاملة للروبوت قابلية الحركة بشكل لحظي في اتجاه محدد، أو قابلية الدوران اللحظي حول محور أو محاور محددة، وهذه الوضعيات تسمى بالقصور الحركي Kinematic Singularities. رياضياً، إن الوضعيه التي يكون فيها الروبوت قاصر حركيأً هي تلك التي تقل فيها مرتبة Rank مصفوفة اليعقوبي للروبوت. ولنفهم السبب، لنفترض أن لدينا مصفوفة يعقوبي الجسم  $J_b(\theta)$ ، والتي يشار إلى أعمدتها بـ  $V_{bi}$  حيث  $i = 1, \dots, n$ ، وبالتالي:

$$V_b = [V_{b1}(\theta) \quad V_{b2}(\theta) \quad \cdots \quad V_{bn}(\theta)] \begin{bmatrix} \dot{\theta}_1 \\ \vdots \\ \dot{\theta}_n \end{bmatrix}$$

$$= V_{b1}(\theta)\dot{\theta}_1 + \cdots + V_{bn}(\theta)\dot{\theta}_n$$

ومن هذه المعادلة نجد أن مجموعة السرعات الفضائية اللحظية الممكنة لجملة محاور النهاية العاملة للروبوت تعطى من خلال تركيبة خطية  $L_{bi}$ . وطالما أن  $n \geq 0$  ، فإن المرتبة الأعظمية التي يمكن أن تتحققها مصفوفة يعقوبي الجسم  $J_b(\theta)$  هو ستة. وموضع القصور الحركي تحدث عند قيمة محددة  $\theta$  والتي تجعل مرتبة يعقوبي الجسم  $J_b(\theta)$  تنخفض إلى مرتبة أقل من ستة، وعند هذه الموضع تختفي العاملة النهاية العاملة للروبوت القابلية لتوليد السرعات الفضائية اللحظية في اتجاه واحد أو أكثر.

إن التعريف الرياضي للصور الحركي الأنف الذكر لا يتعلّق بنوع مصفوفة اليعقوبي التي نختارها سواء كانت مصفوفة يعقوبي الجسم أو مصفوفة يعقوبي الفضاء. ولمعرفة السبب، لنذكر العلاقة بين  $J_s(\theta)$  و  $J_b(\theta)$  المعاطة بالعلاقة:

$$J_s(\theta) = \begin{bmatrix} R_{sb} & 0 \\ [p_{sb}]R_{sb} & R_{sb} \end{bmatrix} J_b(\theta)$$

بالتالي فإن مرتبة مصفوفة اليعقوبي  $J_s(\theta)$  تساوي مرتبة الطرف اليميني من المعادلة السابقة. ونستطيع أن نؤكّد أن مصفوفة المجموعة الملحق  $[Ad_T]$  للتحويل  $T_{sb}$  لها دوماً معكوس. ويمكن برهنة ذلك من خلال دراسة المعادلة الخطية التالية:

$$\begin{bmatrix} R_{sb} & 0 \\ [p_{sb}]R_{sb} & R_{sb} \end{bmatrix} \begin{bmatrix} x \\ y \end{bmatrix} = 0$$

ونلاحظ أن لها حلّ وحيد هو  $x = y = 0$ ، مما يدل على أن مصفوفة المجموعة الملحق السابقة لها دوماً معكوس. وبما أن جداء مصفوفة بمصفوفة أخرى لها معكوس لا يغير من مرتبتها، فهذا يؤدي إلى أن:

$$\text{rank } J_s(\theta) = \text{rank } J_b(\theta)$$

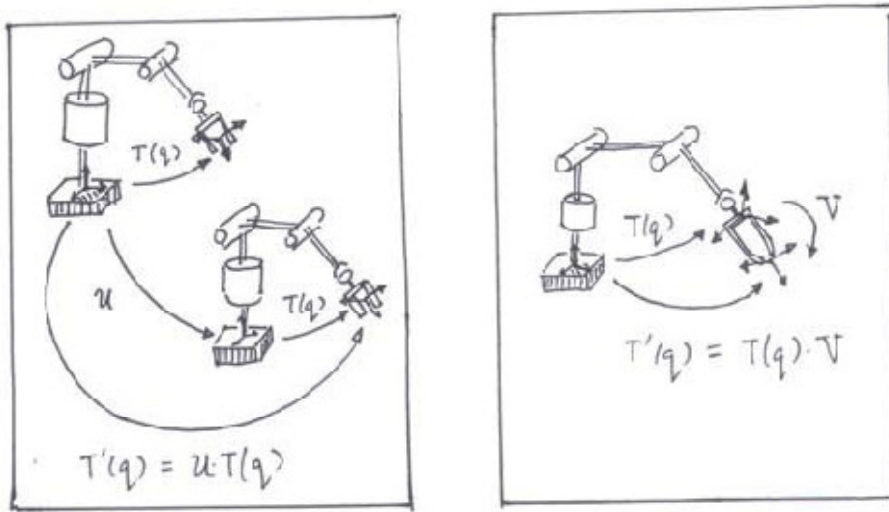
أي يمكن القول أن وضعيات الصور الحركي الناتجة عن مصفوفة يعقوبي الجسم هي نفس وضعيات الصور الحركي الناتجة عن مصفوفة يعقوبي الفضاء.

ويمكن القول أيضاً بأن وضعيات الصور الحركي لا تتعلق بكيفية اختيار جملة المحاور الثابتة. بمعنى أنه إذا قمنا باختيار جملة محاور ثابتة مختلفة غير الجملة التي اخترناها من قبل مثلاً، الأمر الذي يكفي نقل ذراع الروبوت كاملاً من مكان لآخر، فإن ذلك لن يؤثر بالطبع فيما إذا كانت الوضعية المدروسة للروبوت قاصرة حركياً أم لا. وهذه الحقيقة الواضحة يمكن برهنتها من خلال النظر إلى الشكل (6.5 (a)). حيث إن التمثيل الكينماتيكي الأمامي بالنسبة لجملة

المحاور الثابتة الأصلية يشار إليه بـ  $T(\theta)$ , في حين أن التمثيل الكينماتيكي الأمامي بالنسبة لجملة المحاور الثابتة المنقولة (أي بعد تغيير مكانها) يشار إليه بـ  $T'(\theta) = PT$ , حيث يكون التحويل  $P \in SE(3)$  هو مقدار ثابت. وبالتالي فإن يعقوبي الجسم لـ  $T(\theta)$ , والمشار له بـ  $J_b(\theta)$ , يتم الحصول عليه كالتالي:

$$T'^{-1}\dot{T}' = (T^{-1}P^{-1})(P\dot{T}) = T^{-1}\dot{T}$$

وهذا يعني أن  $J_b(\theta) = J_b(\theta)$ , أي أن وضعيات القصور الحركي للروبوت الأصلي والروبوت الذي تم تغيير مكانه هي نفسها.



الشكل 6.5: وضعيات القصور الحركي مستقلة عن كيفية اختيار جملة المحاور الثابتة وجملة محاور الجسم. (a) اختيار جملة محاور ثابتة مختلفة، والذي يكفي تغيير مكان قاعدة ذراع الروبوت (b) اختيار جملة محاور مختلفة للجسم.

وهناك حقيقة أخرى أقل وضوحاً إلى حد ما، وهي تلك التي تقول أن وضعيات القصور الحركي هي أيضاً مستقلة عن كيفية اختيار جملة محاور الجسم. بالعودة إلى الشكل 6.5 (b)), لنفترض أن التمثيل الكينماتيكي الأمامي لجملة محاور الجسم الأصلية معطى بـ  $T(\theta)$ , في حين أن التمثيل الكينماتيكي الأمامي لجملة محاور الجسم المنقولة (أي بعد تغيير مكانها) معطى بالعلاقة التالية:  $T'(\theta) = T(\theta)Q$ , حيث  $Q \in SE(3)$  هي مقدار ثابت. وهنا سوف نأخذ بالحسبان مصفوفة يعقوبي الفضاء (ونحن نعلم أن وضعيات القصور الحركي الناتجة عن يعقوبي الفضاء هي نفسها الناتجة عن يعقوبي الجسم)، ولتكن  $J_s(\theta)$  تشير إلى يعقوبي الفضاء لـ  $T(\theta)$ . وبإجراء حساب بسيط يمكن أن نجد:

$$\dot{T}'T'^{-1} = (\dot{T}Q)(Q^{-1}T^{-1}) = \dot{T}T^{-1}$$

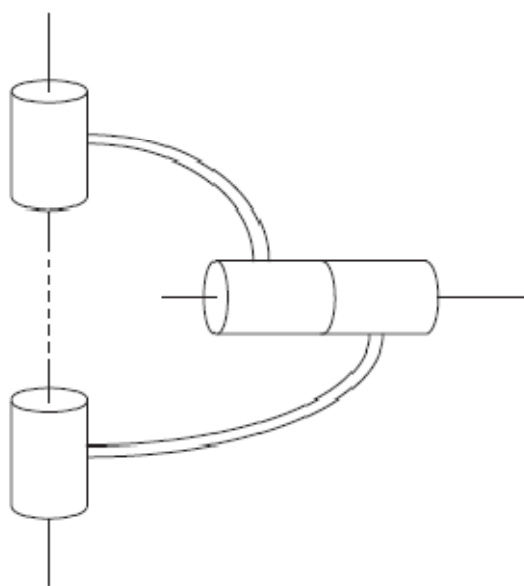
وهذا يعني أن  $J_s(\theta) = J_s(\theta)$ , أي أن وضعيات القصور الحركي تبقى نفسها في حال تغيير جملة محاور النهاية العاملة.

في الجزء المتبقى من هذه الفقرة سوف نقوم بدراسة بعض حالات القصور الحركي الشائعة والتي تحدث في روبوتات السلسلة المفتوحة التي تمتلك ست درجات من الحرية والمكونة من مفاصل دروانية أو تمدديّة. ونحن نعلم الآن أنه يمكن استخدام إما يعقوبي الفضاء أو يعقوبي الجسم من أجل إجراء التحليل، وسوف نستخدم يعقوبي الفضاء في دراسة الأمثلة أدناه.

### الحالة I: مفصلان دورانيان محوراهما منطبقان على خط واحد :Collinear

الحالة الأولى التي سنقوم بدراستها هي تلك التي يكون فيها محوراً مفصليّين دورانيّين منطبقين على خط واحد كما في الشكل (6.6). ولهذه المحورين يمكن ترقيمهم بـ 1 و 2. والأعمدة الموافقة لهذين المفصليّين في مصفوفة اليعقوبي تكون كالتالي:

$$V_{s1}(\theta) = \begin{bmatrix} \omega_1 \\ -\omega_1 \times q_1 \end{bmatrix}, \quad V_{s2}(\theta) = \begin{bmatrix} \omega_2 \\ -\omega_2 \times q_2 \end{bmatrix}$$

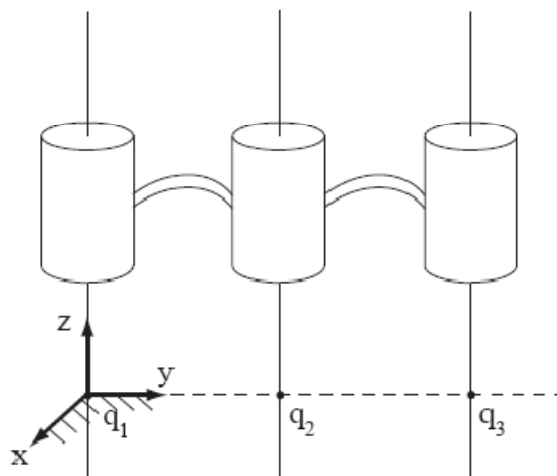


الشكل 6.6: حالة قصور حركي وذلك عندما يكون محوراً مفصليّين منطبقين على خط واحد.

ولأن محوري المفصليّين منطبقين على خط واحد، فإننا نجد أن  $\omega_1 = \pm \omega_2$ ، ولنأخذ بالحسبان هنا الإشارة السالبة فقط. وأيضاً  $\omega_i \times (q_1 - q_2) = 0$  من أجل  $i = 1, 2$ . وبالتالي فإن  $V_{s1} - V_{s2} = 0$ ، مما يدل على أن  $V_{s1}$  و  $V_{s2}$  يقعان على نفس الخط في الفضاء سداسي الأبعاد. ولذلك، فإن المجموعة  $\{V_{s1}, V_{s2}, \dots, V_{s6}\}$  لا يمكن أن تكون مستقلة خطياً، ومرتبة مصفوفة اليعقوبي ستكون أقل من ستة.

### الحالة II: عندما تكون محاور ثلاثة مفاصل متوازية وواقعة في مستوى واحد :Coplanar

الحالة الثانية التي سنقوم بدراستها هي تلك الحالة التي تكون فيها محاور ثلاثة مفاصل متوازية وواقعة في مستوى مشترك كما في الشكل (6.7). فإذا قمنا بترقيم محاور المفاصل هذه بـ 1 و 2 و 3، وباختيار جملة محاور ثابتة كما في الشكل، فإننا نجد:

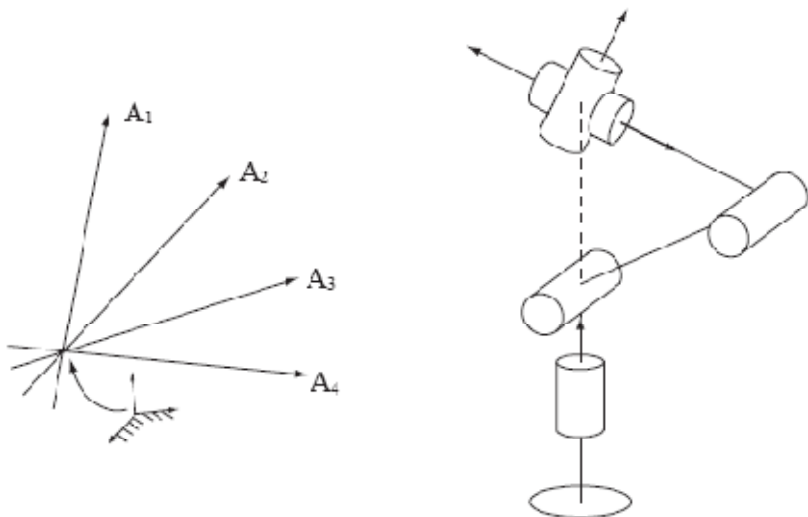


الشكل 6.7: حالة قصور حركي وذلك عندما تكون محاور ثلاثة مفاصل متوازية وواقعة في مستوى واحد.

$$J_s(\theta) = \begin{bmatrix} \omega_1 & \omega_1 & \omega_1 & \dots \\ 0 & -\omega_1 \times q_2 & -\omega_1 \times q_3 & \dots \end{bmatrix}$$

وبما أن  $q_2$  و  $q_3$  هما نقطتان على نفس محور شعاع الواحدة، فإنه ليس صعباً أن نجد أن الأشعة الثلاثة أعلاه ليست مستقلة خطياً.

### الحالة III: عندما تكون محاور أربعة مفاصل دورانية متقطعة في نقطة واحدة:



الشكل 6.8: حالة قصور حركية عندما تكون محاور أربعة مفاصل دورانية متقطعة في نقطة واحدة.

هنا سوف نقوم بدراسة الحالة التي تكون فيها محاور أربعة مفاصل دورانية متقطعة في نقطة مشتركة كما في الشكل (6.8). ومرة أخرى لنقم بترقيم هذه المحاور من 1 إلى 4. وفي هذه الحالة سنقوم باختيار جملة المحاور الثابتة بحيث يكون مبدأ إحداثياتها هو نقطة التقاطع المشتركة بين المحاور الأربع تلك، وبذلك نجد أن  $q_4 = \dots = q_1$ . وبالتالي:

$$J_s(\theta) = \begin{bmatrix} \omega_1 & \omega_2 & \omega_3 & \omega_4 & \dots \\ 0 & 0 & 0 & 0 & \dots \end{bmatrix}$$

نلاحظ أن الأربعه أعمدة الأولى ليست مستقلة خطياً، وذلك لأن واحداً منها يمكن أن يكتب على شكل تركيبة خطية بدلالة الثلاثة أعمدة الأخرى. ويمكن أن تحدث مثل هذه الحالة من القصور الحركي، على سبيل المثال، عندما يكون مركز المقصم لذراع روبوت مرفقي يقع مباشرة فوق الكتف.

#### الحالة IV: أربعة مفاصل دورانية تقع في مستوى واحد:

سوف ندرس الآن الحالة التي تكون فيها محاور أربعة مفاصل تقع في مستوى مشترك. لنقم بترقيم هذه المحاور من 1 إلى 4، ولنقم باختيار جملة محاور ثابتة بحيث تكون جميع محاور المفاصل متوضعة في المستوى  $x-y$ . في هذه الحالة إن شعاع الواحدة  $R^3 \in \omega_i$  المتجه باتجاه محور المفصل  $i$  سيكون من الشكل:

$$\omega_i = \begin{bmatrix} \omega_{ix} \\ \omega_{iy} \\ 0 \end{bmatrix}$$

وبشكل مشابه، فإن أي نقطة مرجعية  $R^3 \in q_i$  تقع على محور المفصل  $i$  ستكون من الشكل:

$$q_i = \begin{bmatrix} q_{ix} \\ q_{iy} \\ 0 \end{bmatrix}$$

وبالتالي فإننا نجد:

$$v_i = -\omega_i \times q_i = \begin{bmatrix} 0 \\ 0 \\ \omega_{iy}q_{ix} - \omega_{ix}q_{iy} \end{bmatrix}$$

وستكون الأعمدة الأربع الأولى من مصفوفة يعقوبى الفضاء  $J_s(\theta)$  هي:

$$\begin{bmatrix} \omega_{1x} & \omega_{2x} & \omega_{3x} & \omega_{4x} \\ \omega_{1y} & \omega_{2y} & \omega_{3y} & \omega_{4y} \\ 0 & 0 & 0 & 0 \\ 0 & 0 & 0 & 0 \\ 0 & 0 & 0 & 0 \\ \omega_{1y}q_{1x} - \omega_{1x}q_{1y} & \omega_{2y}q_{2x} - \omega_{2x}q_{2y} & \omega_{3y}q_{3x} - \omega_{3x}q_{3y} & \omega_{4y}q_{4x} - \omega_{4x}q_{4y} \end{bmatrix}$$

والتي من الواضح أنها ليست مستقلة خطياً.

### الحالة V: عندما تكون محاور ستة مفاصل دورانية متقطعة مع خط مشترك:

الحالة الأخيرة التي سندرسها هي تلك التي تكون فيها محاور ستة مفاصل دورانية متقطعة مع خط مشترك. لنقم باختيار جملة محاور ثابتة بحيث يكون الخط المشترك يمتد على طول المحور  $\hat{z}$ , ولنقم باختيار نقطة التقاطع بين هذا الخط المشترك ومحور المفصل  $i$  كنقطة مرجعية  $q_i \in \mathbb{R}^3$  للمحور  $i$ , وبالتالي فإن كل  $q_i$  هي من الشكل  $(0, 0, q_{iz})$ , ويكون:

$$v_i = -\omega_i \times q_i = (\omega_{iy}q_{iz}, -\omega_{ix}q_{iz}, 0)$$

حيث  $i = 1, \dots, 6$ . ويعقوبي الفضاء  $J_s(\theta)$  وبالتالي يصبح بالشكل:

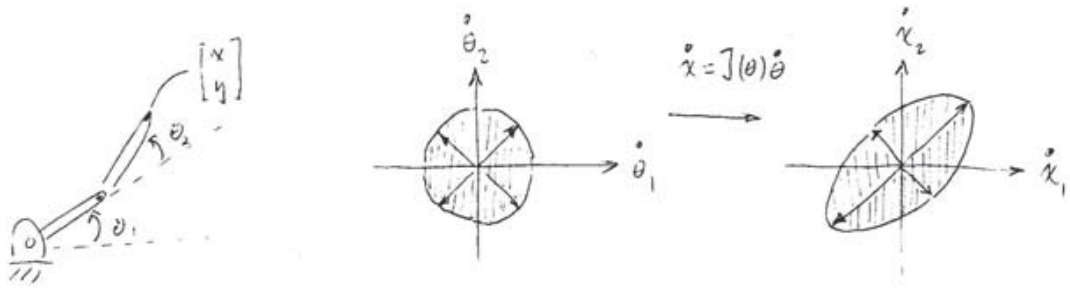
$$J_s(\theta) = \begin{bmatrix} \omega_{1x} & \omega_{2x} & \omega_{3x} & \omega_{4x} & \omega_{5x} & \omega_{6x} \\ \omega_{1y} & \omega_{2y} & \omega_{3y} & \omega_{4y} & \omega_{5y} & \omega_{6y} \\ \omega_{1z} & \omega_{2z} & \omega_{3z} & \omega_{4z} & \omega_{5z} & \omega_{6z} \\ \omega_{1y}q_{1z} & \omega_{2y}q_{2z} & \omega_{3y}q_{3z} & \omega_{4y}q_{4z} & \omega_{5y}q_{5z} & \omega_{6y}q_{6z} \\ -\omega_{1x}q_{1z} & -\omega_{2x}q_{2z} & -\omega_{3x}q_{3z} & -\omega_{4x}q_{4z} & -\omega_{5x}q_{5z} & -\omega_{6x}q_{6z} \\ 0 & 0 & 0 & 0 & 0 & 0 \end{bmatrix}$$

والتي من الواضح أنها حالة قصور حركي.

### 4.6. قابلية المناورة :Manipulability

في الفقرة السابقة رأينا أنه في وضعية القصور الحركي، تخسر النهاية العاملة للروبوت القدرة على الحركة أو الدوران في اتجاه واحد أو أكثر. إن فكرة القصور الحركي هي عبارة عن طرح ذي وجهين، فهي تحدد فيما إذا كانت الهيئة المدرسة للروبوت تشكل حالة قصور حركي أم لا، وهي أيضاً معنية بالإجابة على السؤال فيما إذا كان بالإمكان قياس مدى تقارب الهيئة المدرستة من حالة القصور الحركي. وجواب هذا السؤال هو نعم؛ في الحقيقة، ليس فقط بالإمكان قياس مدى تقارب الهيئة المدرستة من حالة القصور الحركي، إنما أيضاً تحديد الاتجاهات التي تتضاءل فيها قابلية النهاية العاملة للروبوت على الحركة، وإلى أي مدى يصل هذا التضاؤل. إن إهليج (قطع ناقص) قابلية المناورة Ellipsoid The Manipulability يسمح لنا هندسياً بتصوير الاتجاهات التي تستطيع فيها النهاية العاملة للروبوت الحركة بأقل "جهد" (سُنشرج معنى ذلك في هذه الفقرة)، وفي المقابل، فإن الاتجاهات العامودية على هذه الاتجاهات ستطلب الحركة وفقها جهداً أعظيمياً.

سنوضح مفهوم إهليج قابلية المناورة من خلال المثال الذي يدرس ميكانيزم السلسلة المفتوحة المستوى والحاوي على مفصلين دورانيين  $2R$  كما هو مبين في الشكل (6.9). وبالأخذ بالحسبان الإحداثيات الديكارتية لطرف العامل فقط، فإن التحليل الكينماتيكي الأمامي للسرعة سيكون من الشكل  $\dot{x} = J(\theta)\dot{\theta}$ :

الشكل 6.9: إهليج قابلية المناورة لميكانيزم السلسلة المفتوحة المكون من مفصلين دورانيين  $R$ .

$$\begin{bmatrix} \dot{x}_1 \\ \dot{x}_2 \end{bmatrix} = \begin{bmatrix} L_1 \cos \theta_1 & L_1 \cos \theta_1 + L_2 \cos(\theta_1 + \theta_2) \\ L_1 \sin \theta_1 & L_1 \sin \theta_1 + L_2 \sin(\theta_1 + \theta_2) \end{bmatrix} \begin{bmatrix} \dot{\theta}_1 \\ \dot{\theta}_2 \end{bmatrix} \quad (6.40)$$

لنفترض أن هيئة الروبوت الموافقة لـ  $\theta$  لا تعد حالة قصور حركي، وبالتالي فإن  $J(\theta)$  سيكون لها معكوس. وبما أن  $J(\theta)$  تمثل تحويلًا خطياً من سرعات المفاصل إلى سرعات النهاية العاملة للروبوت، فنستطيع من خلال ذلك أن نستنتج أن الدائرة الواحدية Unit Circle في فضاء سرعات المفاصل هي على شكل إهليج في فضاء سرعات النهاية العاملة للروبوت. ولمعرفة السبب، فان الدائرة الواحدية يمكن تRIXها بالقيمة  $1 = \|\theta\|^2$ ، وهذا القيد نفسه يمكن التعبير عنه بدلالة سرعات الطرف العامل للروبوت بـ  $1 = \|J^{-1}(\theta)x\|^2$ . فإذا كانت عناصر المصفوفة  $J^{-1}(\theta)$  هي:

$$J^{-1}(\theta) = \begin{bmatrix} a & b \\ c & d \end{bmatrix}$$

فإن القيد على سرعات النهاية العاملة سيكون:

$$\alpha \dot{x}_1^2 + \beta \dot{x}_1 \dot{x}_2 + \gamma \dot{x}_2^2 = 1$$

حيث  $a^2 + b^2 = \alpha$  و  $c^2 + d^2 = \beta$  و  $b^2 + d^2 = \gamma$ . وكما نعلم فإن هذه المعادلة هي معادلة إهليج (قطع ناقص) مركزة هو مبدأ الإحداثيات (حيث إن  $0 < \beta^2 - 4\alpha\gamma < 0$ ). محققاً دوماً.

المotor الرئيسي لهذا الإهليج يحدد الاتجاه الذي وفقه تستطيع النهاية العاملة للروبوت أن تتحرك (أو أن تولد سرعات) بأقل قدر ممكن من الجهد (الجهد هنا بدلالة السرعات المدخلة). وفي المقابل، فإن المotor الثانوي يحدد الاتجاه الحركة الذي يتطلب القراء الأعظمي من الجهد. وعندما تكون هيئة ذراع الروبوت هي وضعية قصور حركي، فإن هذا الإهليج ينطبق ليتحول إلى مستقيم يتجه باتجاه الحركة المسموحة. ومدى تقارب هيئة الروبوت المدروسة لحالة القصور الحركي يمكن قياسها بعدة طرق، مثلاً، عن طريق نسبة الأطوال بين محوري الإهليج الرئيسي والثانوي، والقيمة الصغرى لهذه النسبة هي 1 والتي تشير إلى أن النهاية العاملة للروبوت تستطيع الحركة بشكل منتظم وبسهولة في كل الاتجاهات، ومثل هذه الهيئات يطلق عليها أحياناً اسم الهيئة متماثلة المناخي Isotropic. وبالتالي فإنه وفي الهيئات التي تغير فيها القدرة على

معرفة الاتجاهات المثلث لحركة النهاية العاملة، حالة الهيئة مماثلة المناخي، تكون هي الخيار المناسب من أجل أداء المهام العامة.

الصياغة السابقة يمكن تعديمها على حالات الروبوتات الفضائية ذات السلسلة المفتوحة، دون الخوض في تفاصيل الاستنتاج (والتي تطلب بعض العمليات الرياضية في الجبر الخطي والبرمجة الخطية لإيجاد الحل الأمثل) سنقوم بصياغة إهليج قابلية المناورة وذلك من أجل سلسلة مفتوحة ذات  $n$  درجة حرية ( $n \geq 6$ ). ولذلك لتكن  $J_b(\theta) \in R^{6 \times n}$  هي مصفوفة يعقوبي الجسم (لا يهم فيما إذا اخترنا يعقوبي الجسم أو يعقوبي الفضاء، ولكن في العادة يتم اختيار يعقوبي الفضاء حتى نجعل الأمور أبسط وأكثر وضوحاً)، والتي يمكن تحليلها إلى مركبة السرعة الخطية ومركبة السرعة الزاوية  $R^3 \in J_b(\theta)$  و  $R^3 \in J_w(\theta)$  كالتالي:

$$\omega_b = J_b(\theta) \dot{\theta} \quad (6.41)$$

$$v_b = J_v(\theta) \dot{\theta} \quad (6.42)$$

وهنا يمكن لأحد هم أن يسأل لماذا قمنا بتحليل اليعقوبي بهذه الطريقة. والسبب هو أن مفهوم إهليج قابلية المناورة في فضاء السرعات الفضائية ( $\mathcal{V}$ ) سادسي الأبعاد سيكون غير دقيق، وذلك لأن الواردات الفيزيائية للسرعات الزاوية تختلف عن الواردات الفيزيائية للسرعات الخطية. كما أن أي إهليج يجمع بين مقادير مختلفة فيزيائياً من حيث الكميات (اختلاف وحدات السرعة الخطية من الناحية الفيزيائية) سوف يعتمد بشكل جوهري على مقياس الطول للفضاء الفيزيائي، و اختيار هذا المقياس لا يمكن أن نقول بأنه عشوائي ولكنه يرجع للتقديرات والمعطيات الهندسية. ومن جهة أخرى، فإن الإهليج المحدد فقط بالسرعات الخطية  $R^3 \in J_b$  سيكون له معنى مهم (وكذلك الأمر بالنسبة للإهليج المحدد فقط بالسرعات الزاوية  $R^3 \in J_w$ ).

سنقوم الآن بصياغة إهليج قابلية المناورة وذلك من أجل السرعة الخطية المرتبطة ب-  $J_v(\theta)$ ، ويمكن أن يصاغ إهليج قابلية المناورة وذلك من أجل السرعة الزاوية بشكل مطابق أيضاً. فإذا افترضنا أن  $J_v(\theta)$  ليست شاذة Nonsingular عند الهيئة الموافقة لـ  $\theta$ ، فإن  $J_v(\theta)$  ستقودنا من كرة واحدة Unit Sphere في الفضاء  $R^n$ ، مشخصة من خلال القيد  $1 = \|\theta\|^2$ ، إلى إهليج ثلاثي الأبعاد في الفضاء  $R^3$ . ويمكن الحصول على المحاور الرئيسية لهذا الإهليج بكونها الأشعة الذاتية Eigenvectors لـ  $J_v(\theta)$ ، وطول كل محور رئيسي يعطى من خلال القيمة الذاتية الموافقة.

ويمكن رسم الإهليج ثلاثي الأبعاد في فضاء سرعات المفاصل كالتالي: أولاً، نقوم باستنتاج الجداء  $R^{n \times n} \in J_v^T J_v$  حيث رببتها هي 3 (وذلك وفقاً لفرضيتنا أن  $J_v(\theta)$  ذات مرتبة أعظمية هي 3). وبالتالي فإن ثلاثة فقط من القيم الذاتية لهذا الجداء ليست أصفاراً، وهي في الواقع، القيم الذاتية الثلاثة لـ  $J_v^T J_v$ . والأشعة الذاتية الموافقة لهذه القيم الذاتية هي وبالتالي أشعة سرعة المفاصل التي ترسم المحاور الرئيسية للإهليج في فضاء السرعات الخطية.

وفي حالة غياب أية اتجاهات مفضلة للنهاية العاملة للروبوت، فإنه يمكن القول بأن الإهليج الموافق هو أقرب ما يكون إلى كرة وسيكون هو المرغوب فيه. والهياكل التي يكون فيها الإهليج

كروياً يطلق عليها الهيئات متماثلة المناحي، والتي تتميز بقيمها الذاتية المتطابقة والتي توافق أطوال محاور الإهليج الرئيسية.

## الفصل السابع

### التحليل الكينماتيكي الخلفي لروبوتات السلسلة المفتوحة

### Inverse Kinematics of Open Chain Robots

بشكل عام، ومن أجل ميكانيزمات الروبوتات ذات السلسلة المفتوحة والتي تمتلك  $n$  درجة من الحرية بحيث يكون التمثيل الكينماتيكي الأمامي لها معطى بـ  $\mathbf{T}(\theta)$ ، حيث  $\theta \in \mathbb{R}^3$ ، فإن قضية التحليل الكينماتيكي الخلفي (العكس أو الغير مباشر) يمكن أن تصاغ بالشكل الآتي: إذا كان لدينا معلوماً التحويل المتتجانس  $\mathbf{X} \in \text{SE}(3)$ ، فالمطلوب هنا هو إيجاد الحلول  $\theta$  التي تحقق العلاقة  $\mathbf{X} = \mathbf{T}(\theta)$ . ولتبين السمات الأساسية لمسألة التحليل الكينماتيكي الخلفي، لفترض أن لدينا ميكانيزم السلسلة المفتوحة ثنائي الوصلات المستوى المبين في الشكل (7.1) كمثال توضيحي. وبالأخذ بالحسبان أن الذي يهمنا فقط هو موقع النهاية العاملة للروبوت وبإهمال الاتجاهات الخاصة به، فإن التمثيل الكينماتيكي الأمامي يمكن التعبير عنه بالشكل:

$$\begin{bmatrix} x \\ y \end{bmatrix} = \begin{bmatrix} L_1 \cos \theta_1 + L_2 \cos(\theta_1 + \theta_2) \\ L_1 \sin \theta_1 + L_2 \sin(\theta_1 + \theta_2) \end{bmatrix} \quad (7.1)$$

بفرض أن  $L_2 > L_1$ ، وبالتالي فإن مجموعة النقاط الممكن الوصول لها، أو فضاء العمل، هو عبارة عن الطوق المحصور بين نصف القطر الداخلي  $L_1 - L_2$  ونصف القطر الخارجي  $L_1 + L_2$ . فإذا كان معلوماً لدينا موقع النهاية العاملة  $(x, y)$ ، فإنه ليس من الصعب أن نحدد فيما إذا كان هناك حلًّا واحداً أو حلين أو لا يوجد حلول للعلاقة (7.1) وذلك تبعاً للمكان الذي تقع فيه  $(x, y)$  سواء كان خارج الطوق أو داخله أو على محيطه (الحالة التي يوجد فيها حلين تعطى من خلال هيئة المرفق للأعلى وهيئة المرفق للأسفل الموضحة بالشكل (7.1)(a)).

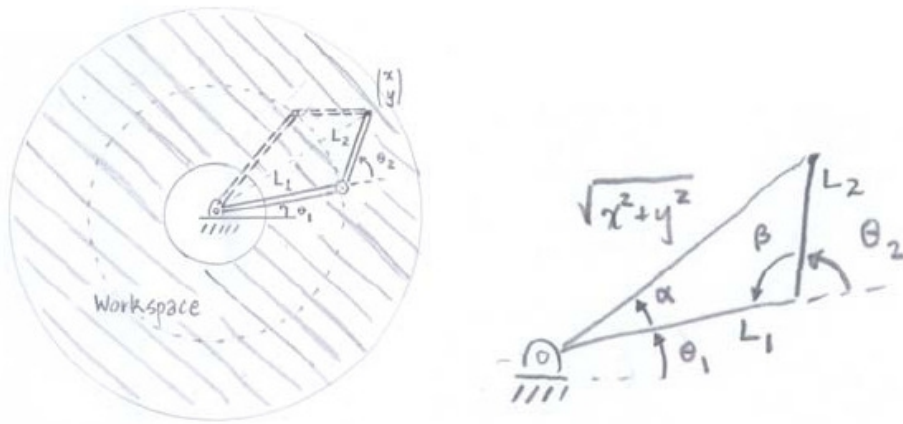
إن إيجاد الحل الصريح  $(\theta_1, \theta_2)$  من أجل  $(x, y)$  المعطاة هو أيضاً ليس صعباً. بالنظر إلى الشكل (7.1)(b)، وبفرض أن  $(x, y)$  تقع في الربع الأول، أي أن كل من  $x$  و  $y$  ذو قيمة موجبة (الحلول من أجل بقية الأرباع تتبع مباشرة لنفس الحل)، وبالتالي فإن الزاوية  $\beta$  المحصورة ضمن المجال  $[0, \pi]$ ، يمكن الحصول عليها من خلال قانون التجيب

$$L_1^2 + L_2^2 - 2L_1L_2 \cos \beta = x^2 + y^2$$

ومنه نستنتج أن:

$$\beta = \cos^{-1} \left( \frac{L_1^2 + L_2^2 - x^2 - y^2}{2L_1L_2} \right)$$

$$\theta_2 = \pi - \beta$$



الشكل 7.1: التمثيل الكينماتيكي الخلفي لروبوت السلسلة المفتوحة المكون من مفصلين دورانيين  $2R$ . (a) فضاء العمل وهيئة المرفق للأعلى وهيئة المرفق للأسفل (b) الحل الهندسي.

وأيضاً من خلال قانون التجيب نجد:

$$\alpha = \cos^{-1} \left( \frac{x^2 + y^2 + L_1^2 + L_2^2}{2L_1\sqrt{x^2 + y^2}} \right)$$

وبما أن  $\tan(\theta_1 + \alpha) = y/x$ , فإننا نجد:

$$\theta_1 = \tan^{-1} \frac{y}{x} - \alpha$$

القيم السابقة  $\theta_1$  و  $\theta_2$  هي الحلول الموافقة لهيئة المرفق للأسفل، أما الحلول الموافقة لوضعية المرفق للأعلى فتقطعى بالشكل:

$$\theta_1 = \tan^{-1} \frac{y}{x} + \alpha, \quad \theta_2 = \pi + \beta$$

إذا كانت الدائرة  $x^2 + y^2 = L_1^2 + L_2^2$  تقع خارج المجال  $[L_1 - L_2, L_1 + L_2]$ , فإنه لا وجود لأية حلول. ومرة أخرى، فإن الحالة التي تكون  $(x, y)$  تقع في الأرباع الأخرى تتبع مباشرة للحل بالنسبة للربع الأول.

إن هذا المثال التوضيحي يبين أنه من أجل روبوتات السلاسل المفتوحة، تكون لمسألة التمثيل الكينماتيكي الخلفي لها حلولاً متعددة، وهذا على النقيض من مسألة التمثيل الكينماتيكي الأمامي، حيث يوجد انتزاعاً محدوداً للنهاية العاملة للروبوت  $T$  من أجل قيم المفاصل المعطاة  $\theta$ . في الحقيقة، فإن هناك عدد لا يحصى من الحلول فيما يخص مسألة التمثيل الكينماتي الخلفي لروبوت مستوى ذي سلسلة مفتوحة بثلاثة وصلات من أجل النقاط  $(x, y)$  المعطاة والواقعة داخل فضاء العمل، في هذه الحالة فإنه يمكن القول أن السلسلة تمتلك درجة حرية زائدة، وهذا ما يطلق عليه بالفائق كينماتيكياً (Kinematically Redundant).

في هذا الفصل سنقوم بدراسة التحليل الكينماتيكي الخلفي للروبوتات الفضائية ذات السلسلة المفتوحة التي تمتلك ست درجات من الحرية. وسيكون هناك عدد متنٍ من الحلول في هذه الحالة، وسنقوم أولاً بإجراء بعض الفرضيات التبسيطية حول البنية الكينماتيكية التي ستؤدي إلى الوصول لحلول تحليلية. وكما سنرى، فإن هذه الفرضيات ليست تقييدية، ولكنها تشمل معظم روبوتات السلسلة المفتوحة ذات الست درجات من الحرية والواسعة الاستخدام. وبعد ذلك سنقوم بدراسة طريقة نيوتن - رافسون - Newton - Raphson من أجل إيجاد الحلول بطريقة غير خطية لمسائل التحليل الكينماتيكي الخلفي، والنتيجة التي سنحصل عليها بهذه الطريقة هي عبارة عن تكرار لخوارزمية رقمية تقودنا في نهاية المطاف إلى حل تقاربي بدءاً من تخمين مبدئي للحل الحقيقي. وهذا الفصل يتضمن أيضاً مع المناقشة طريقة محاولة الوصول إلى الحلول من أجل السلاسل المفتوحة الفائضة حركيًا.

## 7.1. التحليل الكينماتيكي الخلفي (العكسى أو غير المباشر):

سنقوم بداية بكتابه التمثيل الكينماتيكي الأمامي لروبوتات السلسلة المفتوحة الفضائية التي تمتلك ستة درجات من الحرية باستخدام صيغة جداء الأسيات كالتالي:

$$T(\theta) = e^{[s_1]\theta_1} e^{[s_2]\theta_2} e^{[s_3]\theta_3} e^{[s_4]\theta_4} e^{[s_5]\theta_5} e^{[s_6]\theta_6} M$$

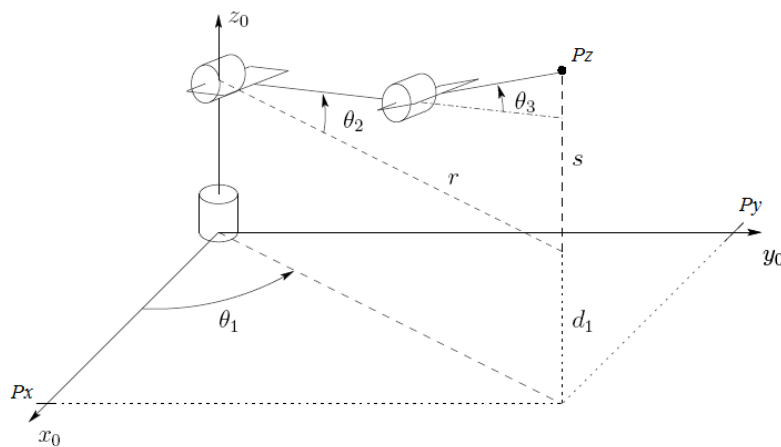
فإذا كان معلوماً لدينا  $X \in SE(3)$ ، وبالتالي فإن مسألة التحليل الكينماتيكي الخلفي تعنى بإيجاد الحلول  $\theta \in R^6$  والتي تحقق  $X = T(\theta)$ . وفيما يلي سوف نقوم ببعض الفرضيات التبسيطية فيما يتعلق بالبنية الكينماتيكية للسلسلة المفتوحة بحيث تقودنا إلى الحلول التحليلية لمسألة.

### 7.1.1. نموذج الذراع الروبوتي من نوع PUMA المحتوى على ستة مفاصل دورانية:

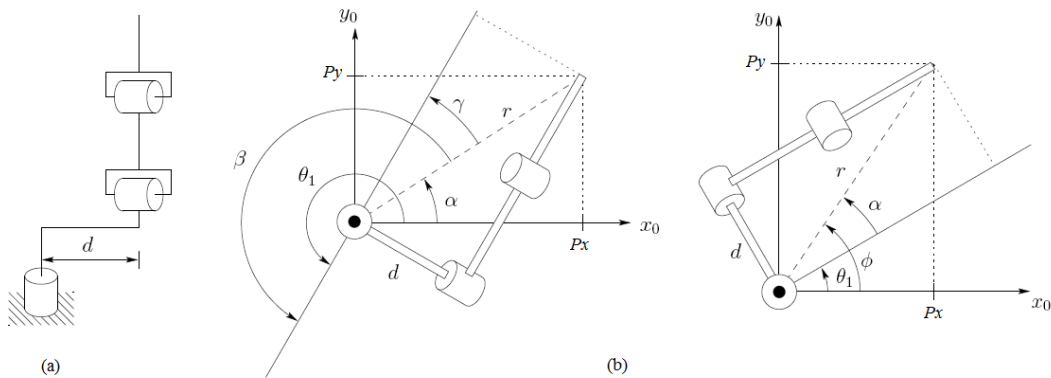
سنقوم بداية بدراسة نموذج PUMA وهو ذراع روبوتي يحتوي ستة مفاصل دورانية 6R كما هو مبين في الشكل (7.2). إن مثل هذه النماذج من الأذرع الروبوتية تتميز بـ: (i) محاور المفاصل الثلاثة الأخيرة تقاطع بشكل متزايد في نقطة مشتركة (مركز المعصم) بحيث تشكل ما يسمى المعصم المتعامد Orthogonal Wrist، (ii) محوري المفصلين الأولين يتقاطعان بشكل متزايد بحيث يشكلا مفصل الكتف، (iii) محور مفصل المرفق يكون موازياً لمحور مفصل الكتف الأفقي. ومثل هذا النوع من الأذرع يمكن أن يكون لها تباعد Offset عند الكتف (انظر الشكل (7.3)). إن مسألة التحليل الكينماتيكي الخلفي للأذرع الروبوتية من نوع PUMA يمكن تجزئتها إلى قسمين، الأولى تتعلق بالموقع والثانية تتعلق بالاتجاه، والتي سنناقشهما الآن.

سنقوم الآن بدراسة الحالة البسيطة لذراع الروبوت من نوع PUMA بحيث يكون التباعد عند الكتف مساوياً للصفر. بالنظر إلى الشكل (7.2) وبالتبديل عن جميع الأشعة بالنسبة لجملة المحاور الثابتة، وبتسمية مركبات مركز المعصم  $R^3 p \in p = (p_x, p_y, p_z)$ ، فإذا أسقطنا النقطة  $p$  على المستوى  $y-x$ ، فإننا نجد:

$$\theta_1 = \tan^{-1} \frac{p_y}{p_x}$$



الشكل 7.2: التحليل الكينماتيكي الخلفي للموقع لذراع روبوت يحوي سنت مفاصل دورانية R6 من نوع PUMA



الشكل 7.3: (a) ذراع مرفقي مع وجود تباعد (b) المخطط الكينماتيكي.

حيث يمكن أن نستخدم التابع  $\tan^{-1} \text{atan2}(.,.)$  بدلاً من  $\theta_1 = \tan^{-1} \frac{p_x}{p_y}$ . ونلاحظ أن هناك حلاً آخرًا متاحاً  $\theta_1 = \pi - \theta_2$  مطابق للشكل:

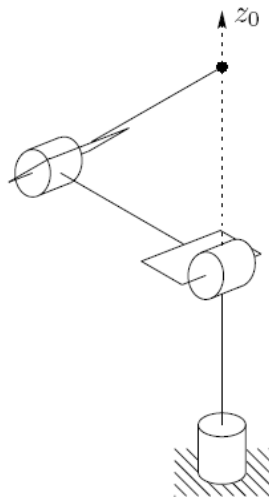
$$\theta_1 = \tan^{-1} \frac{p_x}{p_y} + \pi$$

بحيث يكون  $\pi - \theta_2$  هو البديل عن الحل الأصلي لـ  $\theta_2$ . وظلماً أن  $p_x, p_y \neq 0$ ، فإن كلا الحلين متاحان. ولكن عندما يكون  $p_x = p_y = 0$  فإن الذراع سيكون في هيئة قاصرة (شاذة) حركيًا (انظر الشكل (7.4)), وسيكون هناك عدد لا نهائي من الحلول الممكنة لـ  $\theta_2$ .

أما إذا كان هناك تباعد ما  $d_1 \neq 0$  كمافي الشكل (7.3)، فإنه وفي الحالة العامة سيكون هناك حلان لـ  $\theta_1$  يعبران عن حالة الذراع اليميني أو الذراع اليساري (الشكل 7.3 (b))). وكما هو واضح من الشكل فإننا نجد أن  $\alpha - \theta_1 = \phi$ ، حيث:

$$\phi = \tan^{-1} \frac{p_x}{p_y}$$

$$\alpha = \tan^{-1} \left( \frac{\sqrt{r^2 - d_1^2}}{d_1} \right) = \tan^{-1} \left( \frac{\sqrt{p_x^2 + p_y^2 - d_1^2}}{d_1} \right)$$



الشكل 7.4: هيئة قصور حركي وذلك عندما لا يكون هناك تباعد Offset في ذراع الروبوت من نوع PUMA المحتوي على ستة مفاصل دورانية.

والحل الثاني بعدي بالعلاقة:

$$\theta_1 = \tan^{-1} \left( \frac{p_x}{p_y} \right) - \tan^{-1} \left( \frac{-\sqrt{p_x^2 + p_y^2 - d_1^2}}{d_1} \right)$$

تحديد الزوايتين  $\theta_2$  و  $\theta_3$  لذراع الروبوت من النموذج PUMA يمكن الآن اخترالها لمسألة تحليل كينماتيكي خلفي لسلسة مفتوحة مستوية ثنائية الوصلات:

$$\begin{aligned} \cos \theta_3 &= \frac{r^2 + s^2 - a_1^2 - a_2^2}{2a_1 a_2} \\ &= \frac{p_x^2 + p_y^2 + (p_z^2 - d_1^2) - a_1^2 - a_2^2}{2a_1 a_2} \end{aligned}$$

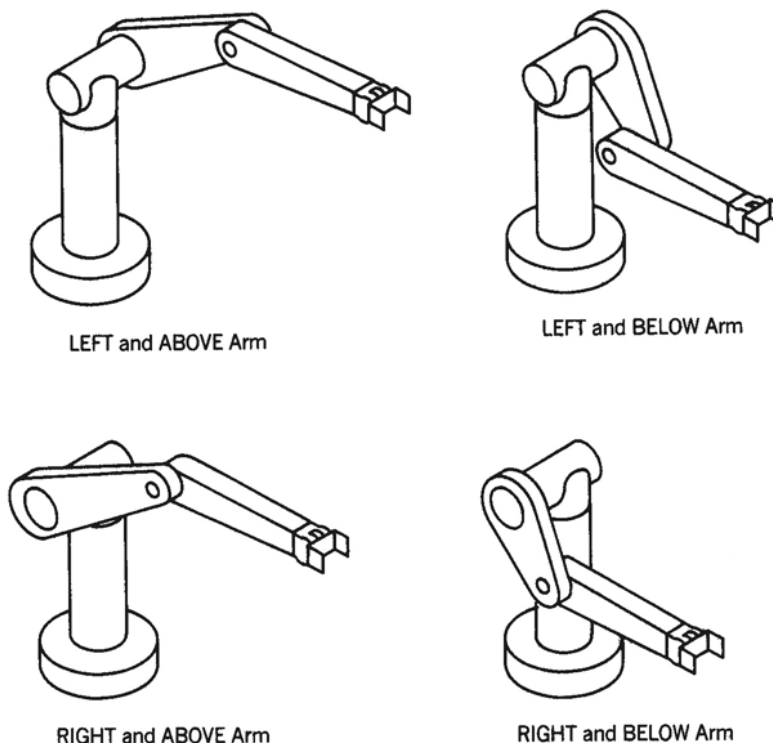
حيث  $a_1, a_2$  هما أطوال وصلاتي المرفق. وإذا جعلنا  $\cos \theta_3 = D$ , فإن  $\theta_3$  تعطى بـ:

$$\theta_3 = \tan^{-1} \left( \pm \frac{\sqrt{1 - D^2}}{D} \right)$$

والزاوية  $\theta_2$  يمكن الحصول عليها بطريقة مشابهة كالتالي:

$$\begin{aligned}\theta_2 &= \tan^{-1} \left( \frac{s}{r} \right) - \tan^{-1} \left( \frac{a_2 \sin \theta_3}{a_1 + a_2 \cos \theta_3} \right) \\ &= \tan^{-1} \left( \frac{p_z - d_1}{\sqrt{p_x^2 + p_y^2}} \right) - \tan^{-1} \left( \frac{a_2 \sin \theta_3}{a_1 + a_2 \cos \theta_3} \right)\end{aligned}$$

إن الحللين الناتجين للزاوية  $\theta_3$  يوفقاً هيئتي ذراع الروبوت ثنائي المفاصل المستوى عند وضعياتي المرفق للأعلى والمرفق للأسفل. في الحالة العامة، فإن ذراع الروبوتات من النوع PUMA مع وجود تباعد ما عند الكتف سيكون لها أربعة حلول ممكنة عند التحليل الكينماتيكي الخلفي كما هو مبين في الشكل (7.5)، الوضعيتين العلويتين تسميان حلول الوضع الأيسر للذراع (في حالي المرفق للأعلى والمرفق للأسفل)، في حين أن الوضعيتين السفليتين تسميان حلول الوضع الأيمن للذراع (في حالي المرفق للأعلى و المرفق للأسفل).

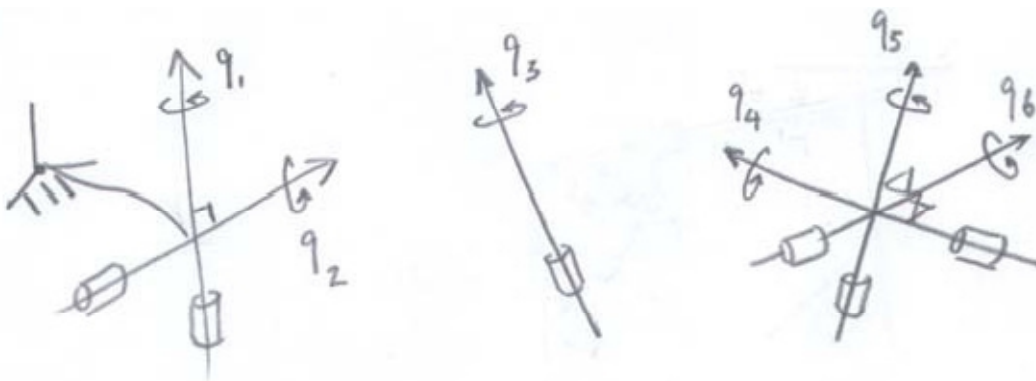


الشكل 7.5: الحلول الأربع الممكنة للتحليل الكينماتيكي الخلفي لذراع روبوت من نوع PUMA مع وجود تباعد عند الكتف.

سنقوم الآن بحل مسألة التحليل الكينماتيكي الخلفي فيما يتعلق بقضية الاتجاه، أي إيجاد قيم كل من الزوايا ( $\theta_4, \theta_5, \theta_6$ ) بما يوافق اتجاه النهاية العاملة المعطاة. وهذه المسألة سهلة للغاية: فبسبب كون المفاصل الدورانية الثلاثة الأخيرة تتشكل معمقاً بمحاور متعددة، فإن قيم المفاصل يمكن تحديدها عن طريق استخدام مجموعة زوايا أوبلر Euler التي تمت مناقشتها سابقاً في الفصل الرابع من هذه الكتاب (على سبيل المثال، التركيبات ZYZ و ZYX، وذلك حسب كيفية تجميع محاور هذه المفاصل عند الوضعية الصفرية).

## 7.1.2. أذرع الروبوت من النوع PUMA المعممة المكونة من ستة مفاصل دورانية R<sub>6</sub>:

الآن سنقوم بالتخفيض من بعض الفرضيات الموجودة في أذرع الروبوت من النوع PUMA والتي تحتوي على ستة مفاصل دورانية. الذراع الروبوتي من النوع PUMA المعمم له السمات التالية: (i) محوراً المفصلين الأولين يتقاطعان بشكل متزامن، (ii) محاور المفاصل الثلاثة الأخيرة تقاطع بشكل متزامن في نقطة مشتركة. بالنظر إلى الشكل (7.6)، لنقم باختيار جملة محاور ثابتة بحيث تكون نقطة المبدأ لها هي نفسها نقطة تقاطع محوري المفصلين 1 و 2، ولتكن  $r_w \in \mathbb{R}^3$  هي عبارة عن تمثيل نقطة تقاطع محاور المفاصل الثلاثة الأخيرة بالنسبة لجملة المحاور الثابتة. الفرضيات المتعلقة بمحاور المفاصل سوف تقودنا إلى العلاقات التالية بين أشعة التلولب للمفاصل ( $\omega_i, -\omega_i \times r_i$ ) حيث  $i = 1, \dots, 6$ ، و  $r_i$  تشير إلى النقطة المرجعية على محور المفصل  $i$ :



الشكل 7.6: ذراع روبوت فضائي ذو سلسلة مفتوحة مكونة من ستة مفاصل دورانية R<sub>6</sub> من النوع PUMA المعمم.

$$\omega_1^T \omega_2 = 0 \quad \bullet$$

$$\omega_5^T \omega_6 = 0 \quad \text{و} \quad \omega_4^T \omega_5 = 0 \quad \bullet$$

ومسألة التحليل الكينماتيكي الخلفي يمكن أن تصاغ على أنها إيجاد الحلول  $\theta$  للمعادلة:

$$e^{[s_1]\theta_1} e^{[s_2]\theta_2} e^{[s_3]\theta_3} e^{[s_4]\theta_4} e^{[s_5]\theta_5} e^{[s_6]\theta_6} = XM^{-1} \quad (7.2)$$

حيث:

$$S_1 = (\omega_1, 0)$$

$$S_2 = (\omega_2, 0)$$

$$S_3 = (\omega_3, -\omega_3 \times r_3)$$

$$S_4 = (\omega_4, -\omega_4 \times r_w)$$

$$S_5 = (\omega_5, -\omega_5 \times r_w)$$

$$S_6 = (\omega_6, -\omega_6 \times r_w)$$

والطرف الأيمن من المعادلة معلوم لدينا، وسنشير لهذا المقدار المعلوم بـ  $X_1 = XM^{-1}$ . وبالتالي فإن حل مسألة التحليل الكينماتيكي الخفي سيتم وفقاً لثلاث خطوات:

### الخطوة 1: الحل من أجل إيجاد $\theta_3$ :

سنقوم أولاً بضرب طرفي المعادلة (7.2) بـ  $r_w$ ، وهنا جاء شعاع بمصفوفة تحويل متجانس يمكن أن يفهم بالحالة العادية كالتالي:

$$Tr_w = Rr_w + p, \quad T = \begin{bmatrix} R & p \\ 0 & 1 \end{bmatrix}$$

وبما أن الحركات اللولبية الثلاث الموافقة لـ  $S_4$  و  $S_5$  و  $S_6$  هي حركات ذات خطوة صفرية (حيث كل المفاصل دورانية)، و  $r_w$  هي نقطة واقعة على جميع محاور المفاصل الموافقة لهذه الحركات (حيث إنها نقطة تقاطع مشتركة)، فمن ذلك نستنتج أن

$$e^{[s_4]\theta_4} e^{[s_5]\theta_5} e^{[s_6]\theta_6} r_w = r_w$$

وبالتالي فإننا نجد:

$$e^{[s_1]\theta_1} e^{[s_2]\theta_2} e^{[s_3]\theta_3} r_w = X_1 r_w = p_1 \quad (7.3)$$

حيث إن الشعاع  $p_1 = X_1 r_w$  هو مقدار معلوم.

والأآن بأخذ طولية جانبي المعادلة (7.3)، وبما أن التلولبين  $S_1$  و  $S_2$  هما دورانان صافيان، وبالاستفادة من الخاصية  $\|Rv\| = \|v\|$  والحقيقة دوماً من أجل أي دوران  $R$  وأي شعاع  $v$ ، فإن المعادلة (7.3) تصبح:

$$\|e^{[s_3]\theta_3} r_w\| = \|p_1\|$$

وهي عبارة عن مسألة من الشكل العام:

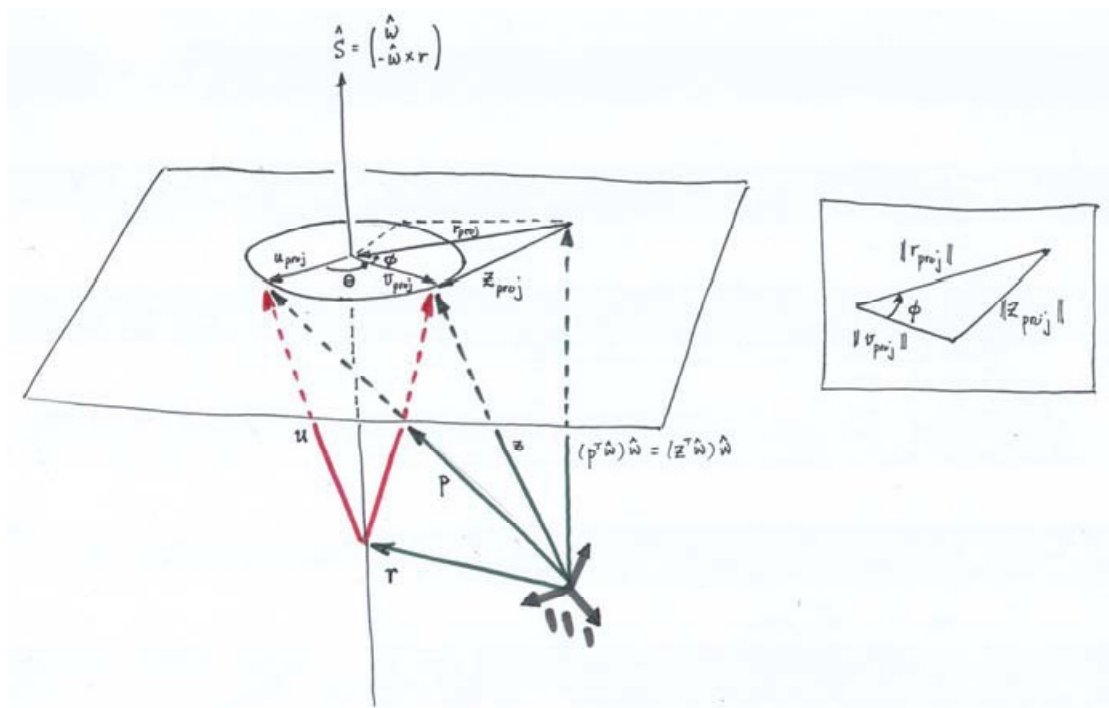
$$\|e^{[S]\theta} p\| = c$$

حيث  $S = (\omega, -\omega \times r)$  و  $p \in \mathbb{R}^3$  والمقدار العددي  $c > 0$  كلها مقادير معلومة، وبالتالي فإن الهدف هو إيجاد كل قيم  $\theta \in [0, \pi]$  والتي تتحقق المعادلة. ولحل هذه المعادلة، وبالنظر إلى الشكل (7.7)، فإننا نستطيع تعريف الأشعة  $z, u, v \in \mathbb{R}^3$  كالتالي:

$$z = e^{[S]\theta} p$$

$$u = p - r$$

$$v = z - r$$



الشكل 7.7: حل المعادلة  $\|e^{[S]\theta} p\|$  لإيجاد قيم  $\theta$ .

حيث  $c = \|z\|$  وهو مقدار معلوم. سنقوم الآن بإسقاط الأشعة  $p, u, v, r, z$  على المستوى العمودي على محور الحركة اللولبية والحاوي على النقطة  $p$ . وبعد الإسقاط سوف نجد أن:

$$p_{proj} = p - (p^T \omega) \omega$$

$$u_{proj} = u - (u^T \omega) \omega$$

$$v_{proj} = v - (v^T \omega) \omega$$

$$r_{proj} = r - (r^T \omega) \omega$$

$$z_{proj} = z - (z^T \omega) \omega$$

وبصورة بديهية يمكن أن نلاحظ أن  $u_{proj}$  و  $r_{proj}$  هي مقايير معلومة. ومن الشكل فإنه من الممكن أن نلاحظ أن:

$$\|(z^T \omega) \omega\| = \|(p^T \omega) \omega\| = |p^T \omega|$$

وبما أن  $|z^T \omega| = c^2$  و  $|p^T \omega| = z_{proj}$ , فإنه يمكن أن نجد:

$$\|z_{proj}\|^2 = c^2 - (p^T \omega)$$

وبصورة بديهية أيضاً فإن هذا المقدار معلوم. لنقم الآن بإيجاد الزاوية  $\theta + \phi = \psi$ , حيث  $\phi$  معرفة كما هو مبين بالشكل. ولدينا أيضاً:

$$u_{proj}^T(-r_{proj}) = \|u_{proj}\| \cdot \|r_{proj}\| \cos(\theta + \phi) \quad (7.4)$$

$$u_{proj} \times (-r_{proj}) = \hat{\omega} (\|u_{proj}\| \cdot \|r_{proj}\| \sin(\theta + \phi)) \quad (7.5)$$

ومن المعادلة الأخيرة نجد:

$$\omega^T (u_{proj} \times (-r_{proj})) = \|u_{proj}\| \cdot \|r_{proj}\| \sin(\theta + \phi) \quad (7.6)$$

ومن المعادلتين (7.4) و (7.6) نجد أن:

$$\psi = \tan^{-1} \left( \frac{\omega^T (u_{proj} \times r_{proj})}{u_{proj}^T r_{proj}} \right) \quad (7.7)$$

والآن يمكن أن نحدد الزاوية  $\phi$  من قانون التجيب، فبالنظر إلى الشكل (7.7) يمكن أن نكتب:

$$\|r_{proj}\|^2 + \|v_{proj}\|^2 - 2\|r_{proj}\| \cdot \|v_{proj}\| \cos \phi = \|z_{proj}\|^2$$

وبما أن  $\|z_{proj}\|^2 = c^2 - (p^T \omega)^2$  هو مقدار معلوم، و  $\|v_{proj}\| = \|u_{proj}\| \sin \psi$  هو أيضاً مقدار معلوم، فإن الزاوية  $\phi$  يمكن الحصول عليها كالتالي:

$$\phi = \cos^{-1} \left( \frac{\|r_{proj}\|^2 + \|v_{proj}\|^2 - \|z_{proj}\|^2}{2\|r_{proj}\| \cdot \|v_{proj}\|} \right) \quad (6.8)$$

ومن الشكل (7.7) فإنه من الواضح أنه من الممكن أن يكون هناك حلان من أجل  $\theta$ :

$$\theta = \psi \pm \phi$$

إذا كانت  $\theta = \psi + \phi$  فإن الحلين سينطبقان في حل واحد، في حين أنه لا تكون للمعادلة حلول فيما إذا كانت الزاوية  $\phi$  غير موجودة (أي غير قابلة للإيجاد هندسياً).

**الخطوة 2: الحل من أجل إيجاد  $\theta_1$  و  $\theta_2$ :**

بعد إيجاد  $\theta_3$ ، فإن المعادلة (7.3) يمكن كتابتها بالشكل التالي:

$$e^{[s_1]\theta_1} e^{[s_2]\theta_2} p_2 = p_1 \quad (7.9)$$

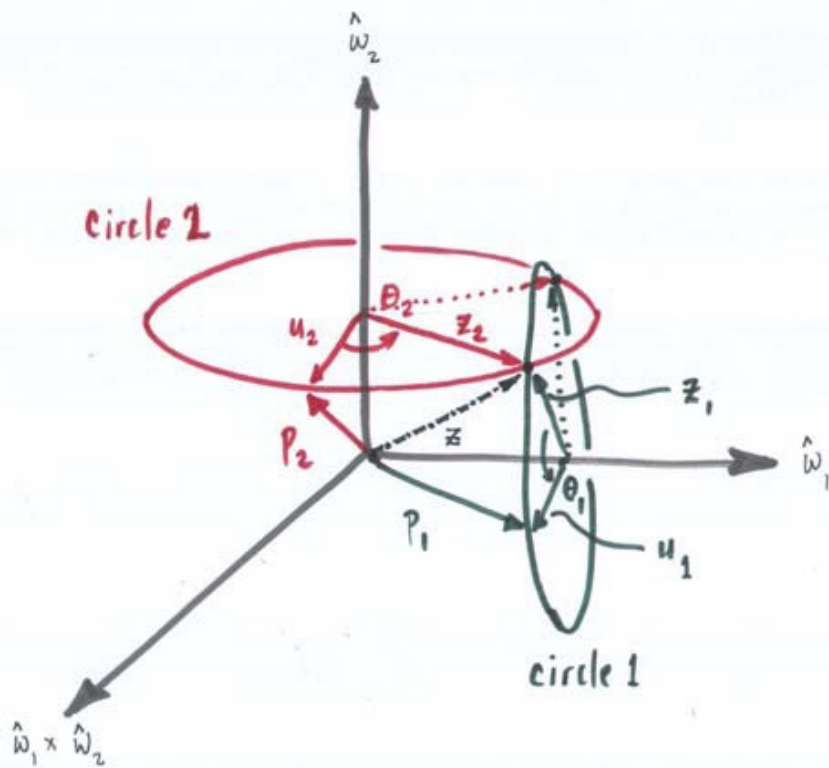
حيث  $p_1$  هو مقدار معلوم، وأيضاً:

$$p_2 = e^{[s_3]\theta_3} r_w$$

هو مقدار معلوم. ومن الواضح أن  $S_2 = (\omega_2, v)$  و  $S_1 = (\omega_1, v)$  هما عبارة عن أشعة تلوب تمثل دوران صافٍ فقط، و  $\omega_1$  و  $\omega_2$  متعامدان مع بعضهما. وبالتالي فإن مركبة الدوران في المعادلة (6.9) هي التي سوف يتم أخذها بالحساب:

$$e^{[\omega_1]\theta_1} e^{[\omega_2]\theta_2} p_2 = p_1 \quad (7.10)$$

بالنظر إلى الشكل (7.8)، من الواضح أنه كشرط ضروري حتى يكون الحل لـ  $(\theta_1, \theta_2)$  موجوداً هو أن يكون  $\|p_1\| = \|p_2\|$ . وبفرض أن هذا الشرط متحقق، فإن الحلول وبالتالي تحدد بتقاطع الدائريتين المشار إليهما بالشكل (7.8). وفي الحالة العامة، يمكن أن يكون هناك على الأكثر حلين، مع احتمالية وجود حل واحد أو عدم وجود أية حلول.



الشكل 7.8: حل المعادلة (7.10) من أجل إيجاد  $\theta_1$  و  $\theta_2$ .

وبفرض أنه يوجد حلول للمعادلة، ليكن  $z \in \mathbb{R}^3$  هو الشعاع  $p_2$  الذي يدور حول  $\omega_1$  بمقدار الزاوية  $\theta_2$ . ويمكن الحصول أيضاً على الشعاع  $z$  عن طريق تدوير  $p_1$  حول  $\omega_1$  بمقدار الزاوية  $\theta_1$ . وبشكل رياضي يمكن أن نكتب:

$$z = e^{[\omega_2]\theta_2} p_2 = e^{-[\omega_1]\theta_1}$$

ومن الواضح أن  $\{\omega_1, \omega_2, \omega_1 \times \omega_2\}$  تشكل جملة محاور متعامدة بحيث تحدد الفضاء  $\mathbb{R}^3$ . ونلاحظ أيضاً أن مركبة الشعاع  $z$  على  $\omega_1$  هي نفسها مركبة الشعاع  $p_1$  على  $\omega_1$ ، وأن مركبة الشعاع  $z$  على  $\omega_2$  هي نفسها مركبة الشعاع  $p_2$  على  $\omega_2$ . وبالتالي فإن الشعاع  $z$  يمكن كتابته معبراً عنه في جملة المحاور المتعامدة السابقة كالتالي:

$$z = (p_1^T \omega_1) \omega_1 + (p_2^T \omega_2) \omega_2 \pm c(\omega_1 \times \omega_2)$$

حيث  $0 \leq c$  هو ثابت عددي. وبالتالي طول الشعاع  $z$  يعطى بالعلاقة:

$$\|z\| = (p_1^T \omega_1)^2 + (p_2^T \omega_2)^2 + c^2$$

وبما أن الشعاع  $z$  يمكن اعتباره ناتجاً عن دوران الشعاع  $p_2$  (وأيضاً هو ناتج عن دوران الشعاع  $p_1$ ، فإننا نجد أن  $\|z\| = \|p_1\| = \|p_2\|$ ). وبالاستفادة من ذلك يمكن إيجاد مقدار  $c^2$ ، ومنه فإن الشعاع  $z$  يكتب بالشكل:

$$z = (p_1^T \omega_1) \omega_1 + (p_2^T \omega_2) \omega_2 \pm \sqrt{\|p_2\|^2 - (p_1^T \omega_1)^2 - (p_2^T \omega_2)^2} (\omega_1 \times \omega_2)$$

إذا كان  $c = 0$ ، فإن هناك حلًا وحيداً لـ  $(\theta_1, \theta_2)$ ، وفي حال كون  $c$  غير قابل للإيجاد هندسياً، فإنه ليست هناك أية حلول لـ  $(\theta_1, \theta_2)$ .

وحيث أنه يوجد حلان محتملان لـ  $z$ ، فإن الذي تبقى الآن هو إيجاد  $\theta_1$  و  $\theta_2$  من أجل كل حل محتمل لـ  $z$ . وهذا يعتبر سهلاً نسبياً: فبجعل  $u_1$  و  $z_1$  هما مساقط  $p_1$  و  $z$  على الترتيب على الدائرة 1، و  $u_2$  و  $z$  هما مساقط  $p_2$  و  $z$  على الدائرة 2، فإننا نستنتج أن:

$$\theta_1 = \cos^{-1}(u_1^T z_1)$$

$$\theta_2 = \cos^{-1}(u_2^T z_2)$$

### الخطوة 3: الحل لإيجاد $\theta_4$ و $\theta_5$ و $\theta_6$ :

وبعد إيجاد حلول  $\theta_1$  و  $\theta_2$ ، فإن المتبقى الآن هو إيجاد حلول  $\theta_4$  و  $\theta_5$  و  $\theta_6$ . ولدينا:

$$\begin{aligned} e^{[s_4]\theta_4} e^{[s_5]\theta_5} e^{[s_6]\theta_6} &= e^{-[s_1]\theta_1} e^{-[s_2]\theta_2} e^{-[s_3]\theta_3} X M^{-1} \\ &= X_2 \end{aligned} \quad (7.11)$$

حيث الطرف الأيمن  $X_2$  هو مقدار معلوم. وإذا تذكرنا أن  $0 = \omega_5^T \omega_6$  فإننا نجد أن  $\omega_4$  و  $\omega_6$  إما أن يكونا متعامدين أو متوازيين. ولنفترض في الوقت الحالي أن  $\omega_4$  و  $\omega_6$  متعامدان، وبشكل أدق  $\omega_4 \times \omega_5 = \omega_4 \times \omega_6$  (الحالة التي يكونان فيها متوازيين سندرسها فيما بعد). وبتعريف التحويل:

$$T_w = \begin{bmatrix} R_w & r_w \\ 0 & 1 \end{bmatrix}, \quad R_w = [\omega_4 \quad -\omega_5 \quad \omega_4] \in SO(3)$$

وبضرب طرفي المعادلة (7.11) بـ  $T_w^{-1}$  نجد:

$$T_w^{-1} e^{[s_4]\theta_4} e^{[s_5]\theta_5} e^{[s_6]\theta_6} = T_w^{-1} X_2$$

$$e^{T_w^{-1}[s_4]T_w\theta_4} e^{T_w^{-1}[s_5]T_w\theta_5} e^{T_w^{-1}[s_6]T_w\theta_6} = T_w^{-1} X_2 T_w$$

ونلاحظ أن  $T_w^{-1}[S_i]T_w$  هي عبارة عن التمثيل المصفوفي ذات الأبعاد  $4 \times 4$  للدالة الملحقة وفقاً للتحويل  $T_w^{-1}$ ، وبعد الحساب نستنتج أن:

$$Ad_{T_w^{-1}}(S_6) = \begin{bmatrix} 0 & 0 & 0 & 0 \\ 0 & 0 & -1 & 0 \\ 0 & 1 & 0 & 0 \\ 0 & 0 & 0 & 0 \end{bmatrix}$$

$$Ad_{T_w^{-1}}(S_5) = \begin{bmatrix} 0 & 0 & 1 & 0 \\ 0 & 0 & 0 & 0 \\ -1 & 0 & 0 & 0 \\ 0 & 0 & 0 & 0 \end{bmatrix}$$

$$Ad_{T_w^{-1}}(S_4) = \begin{bmatrix} 0 & -1 & 0 & 0 \\ 1 & 0 & 0 & 0 \\ 0 & 0 & 0 & 0 \\ 0 & 0 & 0 & 0 \end{bmatrix}$$

وطالما أن  $T_w^{-1}X_1 T_w$  تساوي الصفر، فإن الحلول لـ  $\theta_4$  و  $\theta_5$  و  $\theta_6$  يمكن الحصول عليها الآن كالتالي:

$$Rot(\hat{z}, \theta_1) \cdot Rot(\hat{y}, \theta_2) \cdot Rot(\hat{x}, \theta_3) = R$$

حيث  $R$  هي المركبة الدورانية للتحويل  $T_w^{-1}X_1 T_w$ . وبالتالي فإن الحلول لـ  $\theta_4$  و  $\theta_5$  و  $\theta_6$  هي نفسها الموافقة لزوايا أويلر Euler ذات التركيب ZYX التي تشخيص المصفوفة  $R$ :

$$\theta_5 = \text{atan2}\left(-r_{31}, \pm\sqrt{r_{11}^2 + r_{21}^2}\right)$$

$$\theta_4 = \text{atan2}(r_{21}, r_{11})$$

$$\theta_6 = \text{atan2}(r_{32}, r_{33})$$

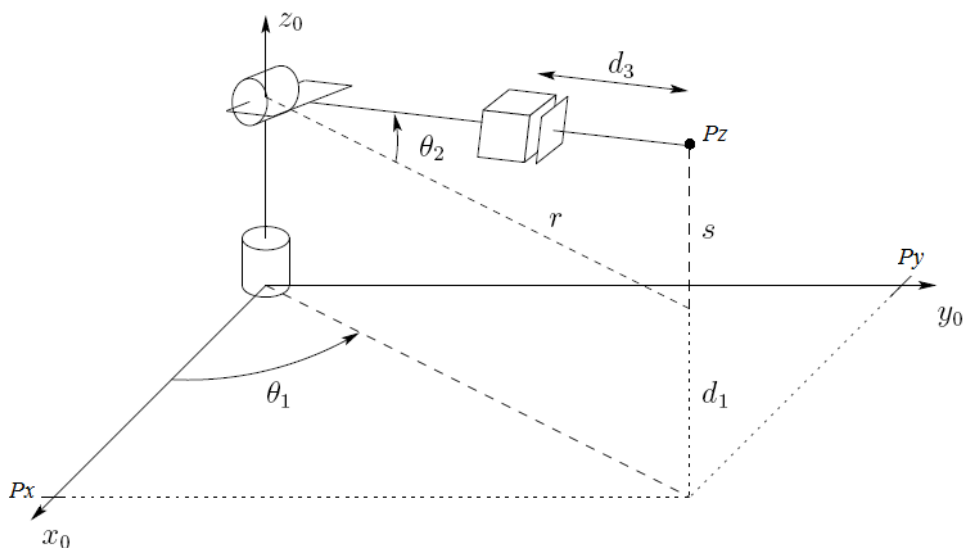
حيث  $r_{ij}$  هو العنصر  $ij$  من المصفوفة  $R$ . وهنا نجد (كما مر معنا) أن هناك حلين للزاوية  $\theta_5$  وفقاً لاختيار إشارة هذه الزاوية.

الاستنتاج السابق يمكن إعادةه من أجل دراسة الحالة التي يكون فيها  $\omega_4$  و  $\omega_6$  متوازيين، وهنا سوف تكون الحلول لـ  $\theta_4$  و  $\theta_5$  و  $\theta_6$  موافقة لزوايا أويلر Euler ذات التركيب ZYZ.

وكما هو الحال في ذراع الروبوت من نوع PUMA الذي يحتوي على ستة مفاصل دورانية  $6R$ ، فإن هناك حلين محتملين على الأكثر للزاوية  $\theta_3$ ، وكذلك الحال بالنسبة لـ  $(\theta_1, \theta_2)$  و  $(\theta_4, \theta_5, \theta_6)$ ، وبالتالي فإنه ومن أجل ذراع الروبوت من النوع PUMA المعممة يكون مجموع الحلول المحتملة لمسألة التحليل الكينماتيكي الخلفي هو  $8 = 2 \times 2 \times 2$  على الأكثر.

### 7.1.3 الأذرع الروبوتية من نوع Stanford:

إذا استبعض عن مفصل المرفق الدوراني في ذراع الروبوت ذي الستة مفاصل دورانية  $6R$  من نوع PUMA بمفصل تمديي كما في الشكل (7.9)، فإننا نحصل على ذراع الروبوت من نوع Stanford. وهنا سوف نقوم بدراسة التحليل الكينماتيكي الخلفي فيما يتعلق بالموقع فقط كما في الشكل (7.9)، وبالنسبة للتحليل الكينماتيكي الخلفي فيما يخص الاتجاه فإنه مطابق تماماً لحاله ذراع الروبوت من نوع PUMA ولن نقوم بإعادته هنا.



الشكل 7.9: المفاصل الثلاثة الأولى في الذراع الروبوتي من نوع Stanford.

متغير المفصل الأول  $\theta_1$  يمكن إيجاده بطريقة مماثلة لتلك التي في حالة ذراع الروبوت من نوع PUMA حيث  $\theta_1 = \tan^{-1}(p_y/p_x)$  (حيث  $p_x$  و  $p_y$  معطاة لنا وكلاهما ليسا صفراء). ومتغير المفصل الثاني وبالتالي يمكن إيجاده من الشكل (7.9) كالتالي:

$$\theta_2 = \tan^{-1} \left( \frac{s}{r} \right)$$

حيث  $r^2 = p_x^2 + p_y^2$ ، و  $d_1 - p_z = s$ . وهناك حل ثانٍ لـ  $\theta_1$  و  $\theta_2$  يعطى بالشكل:

$$\theta_1 = \pi + \tan^{-1} \left( \frac{p_y}{p_x} \right)$$

$$\theta_2 = \pi - \tan^{-1} \left( \frac{s}{r} \right)$$

ومسافة الانسحاب للمفصل التمدي  $d_3$  يمكن إيجادها من العلاقة:

$$(d_3 + a_1)^2 = r^2 + s^2$$

$$\begin{aligned} d_3 &= \sqrt{r^2 + s^2} - a_1 \\ &= \sqrt{p_x^2 + p_y^2 + (p_z - d_1)^2} - a_1 \end{aligned}$$

وبإهمال الحل الناتج عن الجدر التربيعي السالب لـ  $d_3$ , فإننا نحصل على حلين للتحليل الكينماتيكي الخلفي طالما أن مركز المعصم  $p$  لا يتقاطع مع المحور  $z$  لجملة المحاور الثابتة. وإذا كان هناك تباعد ما عند الكتف، فإنه وكما في حالة ذراع الروبوت من نوع PUMA سيكون هناك حلان آخران فيما إذا كان الذرع يمينياً أو يسارياً.

في ذراع الروبوت من نوع PUMA المعممة، إذا تم تبديل مفصل المرفق الدوراني بمفصل تمدي، فإن ذراع الروبوت الناتج هنا سيكون واحداً من ذراع الروبوت من نوع Stanford المعممة. والتحليل الكينماتيكي الخلفي سيتم وفقاً لنفس المراحل المشروحة بالنسبة لأذرع الروبوت من نوع PUMA المعممة، والاختلاف الوحيد الذي يحدث سيكون في الخطوة الأولى (المتعلقة بایجاد  $\theta_3$ ). ومحور الحركة اللولبية للمفصل الثالث سيصبح  $(0, v_3) = S_3$ , حيث يكون المترافق  $\|v_3\| = 1$ , ويتم إيجاد الزاوية  $\theta_3$  من خلال حل المعادلة التالية:

$$\|e^{[S_3]\theta_3}p\| = c$$

وذلك من أجل شعاع ما معطى لنا  $R^3 \in p$  ومقدار عددي موجب  $c$ . حل المعادلة أعلاه يمكن اخترتها لحل المعادلة من الدرجة الثانية التالية بالنسبة لـ  $\theta_3$ :

$$\theta_3^2 + 2(p^T v_3)\theta_3 + (\|p\|^2 - c^2) = 0$$

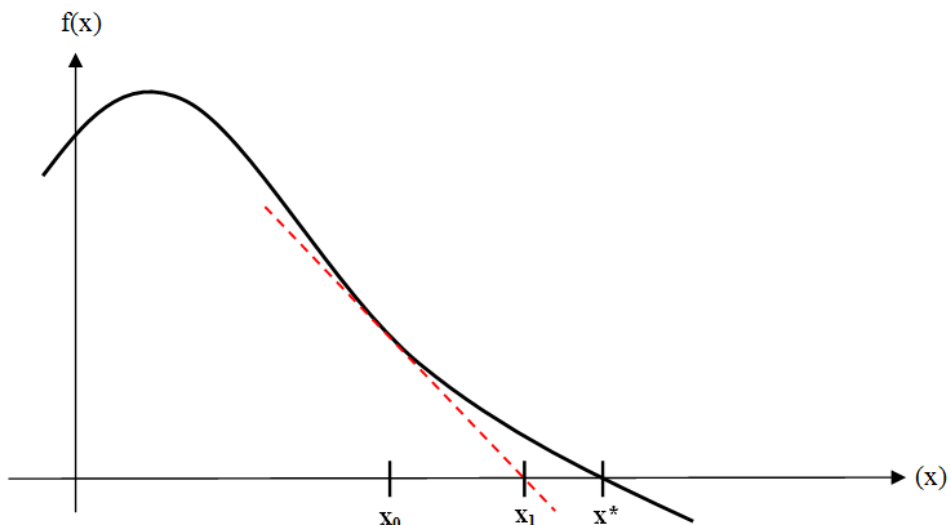
ومن الطبيعي هنا أن نستثنى الحل السالب عند حل هذه المعادلة.

## 7.2. التحليل الكينماتيكي الخلفي الرقمي:

في الحالة التي لا تسمح فيها معادلات التحليل الكينماتيكي الخلفي بالحصول على حلول تحليلية، فإنه يتم اللجوء إلى إحدى الطرق الرقمية. وحتى في الحالات التي يمكن الحصول فيها على حلول تحليلية، فإن الطرق الرقمية غالباً ما تستخدم لتحسين دقة هذه الحلول. على سبيل المثال، بالنسبة للأذرع الروبوتية من نوع PUMA، في حال كون محاور المفاصل الثلاثة الأخيرة لا تتقاطع بالضبط في نقطة واحد مشتركة، أو في حال كون محاور مفاصل الكتف ليست متعددة بالضبط مع بعضها. ففي هذه الحالات، وبدلأً من إهمال الحلول الناتجة عن التحليل الكينماتيكي الخلفي، فإنه يمكن استخدام هذه الحلول كنقطة بداية في عملية الإجراء التكراري للحل الرقمي لمسألة التحليل الكينماتيكي الخلفي.

وهناك العديد من الطرق التكرارية تهدف إلى إيجاد حلول جذور المعادلات الغير خطية، وغايتها في هذه الفقرة ليست مناقشة هذه الطرق بالتفصيل (يمكن الرجوع إلى أي مرجع في التحليل

الرقمي من أجل الحصول على تفاصيلات أكثر) وإنما تطوير الطرق التي من خلالها نستطيع تحويل معادلات التحليل الكينماتيكي الخلفي إلى الشكل المناسب بحيث نستطيع حلها باستخدام الطرق الرقمية.



الشكل 10.7: طريقة نيوتن – رافسون Newton – Raphson من أجل إيجاد جذور المعادلات غير الخطية.

وعلى أية حال، فإنه من المفيد أن نلقي الضوء على الأقل على إحدى الطرق الأساسية في هذا الخصوص، وهذه الطريقة هي طريقة نيوتن – رافسون Newton - Raphson. لنفترض أننا نريد إيجاد جذور المعادلة الغير الخطية  $0 = f(x) \in \mathbb{R}^n$  حيث  $f : \mathbb{R}^n \rightarrow \mathbb{R}^n$ . وبافتراض أن هذا التابع قابل للاشتقاق مرتين. وبالنسبة للمرتبة الأولى للاشتقاق، فإن التابع  $f(x)$  يمكن أن يقارب حول النقطة  $x_0 \in \mathbb{R}^n$  كالتالي:

$$f(x) \approx f(x_0) + \frac{df}{dx}(x_0)(x - x_0) \quad (7.12)$$

حيث:

$$\frac{df}{dx}(x_0) = \begin{bmatrix} \frac{df_1}{dx_1}(x_0) & \dots & \frac{df_1}{dx_n}(x_0) \\ \vdots & \ddots & \vdots \\ \frac{df_n}{dx_1}(x_0) & \dots & \frac{df_n}{dx_n}(x_0) \end{bmatrix} \in \mathbb{R}^{n \times n} \quad (7.13)$$

وبجعل  $0 = f(x)$  وبافتراض أن المصفوفة الواردة في المعادلة (7.13) لها معكوس، فإننا نجد:

$$x = x_0 - \left( \frac{df}{dx}(x_0) \right)^{-1} f(x_0) \quad (7.14)$$

فإذا كان التابع  $(x)$  يتقارب بجوار  $x_0$  وفقاً لتابع خطى، فإن الجذر يعطى من خلال المعادلة أعلاه.

إن الفكرة الأساسية التي تكمن وراء طريقة نيوتن - رافسون Newton - Raphson هي إجراء تقاربات خطية متتالية للتابع  $(x)$  (انظر الشكل 7.10). فبإعطاء تخمين مبدئي للحل  $x_0$ ، فإننا نقوم بمقارنة التابع  $(x)$  بجوار  $x_0$  من خلال تابع خطى ومن ثم إيجاد الجذر  $x_1$ . ومن ثم نقوم مرة أخرى بمقارنة التابع  $(x)$  ولكن بجوار  $x_1$  ومن ثم إيجاد الجذر  $x_2$ . وهذا التكرار يستمر بشكل متتابع حتى يتم تحقيق معيار التقارب Convergence Criterion.

يوجد هناك العديد من التحسينات والتطويرات التي تم إجراؤها على طريقة نيوتن - رافسون Newton - Raphson، ولكننا لن ننطربق إلى مناقشتها هنا، ويفى موضوعنا الأساسي هو تحويل معادلات التحليل الكينماتيكي الخلفي إلى الشكل المناسب بحيث تصبح قابلة للحل بصورة رقمية. فمن أجل روبوت ذي سلسلة مفتوحة ويمتلك ست درجات من الحرية، فإننا أولاً سنقوم بإعادة صياغة المعادلات الكينماتيكية إلى الشكل  $R^6 \rightarrow R^6$ : f. وهناك الكثير من الطرق لفعل ذلك.

إذا كان لدينا التابع  $X = T(\theta)$ ، حيث  $\theta \in \mathbb{R}^6$  و  $T(\cdot)$  هو عبارة عن التمثيل الكينماتيكي الأمامي، و  $X \in SE(3)$  هو موضع النهاية العاملة المعطاة لنا، فإننا أولاً نقوم بتحويل هذه المعادلات إلى الشكل  $I = X^{-1}T(\theta)$  أو إلى الشكل  $I = X^{-1}T(\theta) = f$ . وبهدف تخفيض المعادلات إلى ست معادلات مستقلة فإن إحدى الطرق هي بأخذ لوغاريم الطرفين، أي:

$$\log X^{-1}T(\theta) = G(\theta) = 0 \quad (7.15)$$

وهذا يتضح لنا بسرعة أن  $G(\theta)$  التي تم الحصول عليها عن طريق اللوغاريتم ستكون معقدة بشكل كبير. وفي الحقيقة، فإننا لن نلاحظ أي تحسن ملحوظ بغية التخفيف من هذا التعقيد في حال قمنا باستخدام تمثيل آخر، كاستخدام التمثيل بوساطة زوايا أوويلر Euler على سبيل المثال. وإضافة إلى ذلك فإن استخدام أية طريقة رقمية سوف تتطلب في إجراء تفاضل للتابع  $G(\theta)$ ، وقد يقتضي الأمر إلى اللجوء إلى إجراء عدة تقاضلات من أجل الوصول إلى تشخيص تقريري للتابع.

وإحدى الطرق لتجاوز هذه الصعوبات هو محاولة صياغة التمثيل الكينماتيكي لروبوتات السلسلة المفتوحة بطريقة نيوتن - رافسون Newton - Raphson وذلك باستخدام مصفوفة اليعقوبي. وسنقوم بذلك باستخدام يعقوبي الجسم. ونحن نعلم أن يعقوبي الجسم يتم الحصول عليه من العلاقة التالية:

$$[V_b] = T^{-1}\dot{T} = [J_b(\theta)\dot{\theta}]$$

حيث  $R^{6 \times 6} \in J_b$ . ولنقم بكتابة هذه المعادلة بالشكل التقاضي التالي:

$$[V_b]\Delta t = T^{-1}\Delta T = [J_b(\theta)\Delta\theta] \quad (7.16)$$

ولفترض بأن لدينا تخمين أولى للحل  $\theta_0 \in \mathbb{R}^n$ . ولأن هدفنا الأساسي هو إيجاد الحلول  $\theta$  التي تتحقق  $X = T(\theta)$  من أجل  $X$  المعطاة لنا، فإننا سنقوم بوضع  $X^{-1}$  بدلاً  $T^{-1}$  في المعادلة السابقة، و  $(X - T(\theta))$  بدلاً  $\Delta\theta$  من  $\Delta T$ ، وبإجراء التعديلات على المعادلة (7.16) فإنه يمكن كتابتها بالشكل:

$$[V_b]\Delta t = X^{-1}(X - T(\theta_0)) = I - X^{-1}T(\theta_0) \quad (7.17)$$

ولنقم الآن بإجراء التقارب من المرتبة الأولى لـ  $X^{-1}T(\theta)$  بدلاً من الشكل الأسني:

$$\begin{aligned} X^{-1}T(\theta_0) &= e^{[S]} \\ &= I + [S] + \frac{[S]^2}{2!} + \dots \end{aligned}$$

حيث  $[S] = \log X^{-1}T(\theta)$ . وبإهمال الحد الثاني والحدود الأخرى ذات المرتبة الأعلى نجد:

$$X^{-1}T(\theta_0) \approx I + [S]$$

وبالتعميض في المعادلة (7.17) نستنتج:

$$J_b(\theta)\Delta\theta = S, \quad [S] = \log X^{-1}T(\theta)$$

النتيجة السابقة تطرح لنا الخوارزمية التالية من أجل حل  $X = T(\theta)$ :

(i) المعطيات:  $X \in SE(3)$  معلومة لدينا وكذلك التخمين الابتدائي  $\theta \in \mathbb{R}^6$

(ii) طالما أن  $\sigma > \|X - T(\theta)\|$ ، حيث  $\sigma$  هو عبارة التقارب (الحد الذي عنده تكون النتيجة النهائية لعمليات التقارب مقبولة)، نقوم وبالتالي:

- نحسب  $[S] = \log X^{-1}T(\theta)$ .

- نحل  $S = J_b(\theta)\Delta\theta$  من أجل إيجاد  $\Delta\theta$ .

- نحسب  $\theta + \Delta\theta$  ونجعل هذا المقدار هو  $\theta$  ومن ثم نكرر الخطوات السابقة.

الخوارزمية السابقة يمكن أيضاً صياغتها من أجل يعقوبي الفضاء  $(J_s(\theta), S)$ ، وستكون خوارزمية الطريقة الرقمية لحل مسألة التحليل الكينماتيكي الخلفي كالتالي:

(i) المعطيات:  $X \in SE(3)$  معلومة لدينا وكذلك التخمين الابتدائي  $\theta \in \mathbb{R}^6$

(ii) طالما أن  $\sigma > \|X - T(\theta)\|$ ، حيث  $\sigma$  هو عبارة التقارب، نقوم وبالتالي:

- نحسب  $[S] = \log T(\theta)X^{-1}$ .

- نحل  $S = J_b(\theta)\Delta\theta$  من أجل إيجاد  $\Delta\theta$ .

- نحسب  $\theta + \Delta\theta$  ونجعل هذا المقدار هو  $\theta$  ومن ثم نكرر الخطوات السابقة.

### 7.3. التحليل الكينماتيكي الخلفي لروبوتات السلسلة المفتوحة الفائضة حركيًّا:

سننهي هذا الفصل بنظرة سريعة إلى كيفية حل مسائل التحليل الكينماتيكي الخلفي وذلك لروبوتات السلسلة المفتوحة ذات الفائض الحركي. ويمكن القول أن الروبوت الفضائي ذي السلسلة المفتوحة هو فائض حركيًّا في حال كان يمتلك حرکية أكثر من ستة، في هذه الحالة فإن مسألة التحليل الكينماتيكي الخلفي  $X = T(\theta)$  حيث  $\dim(\theta) > 6$ ، تمتلك في الحالة العامة عدداً لا نهائياً من الحلول من أجل أية قيمة معطاة  $L$ . والتشخيص التحليلي لجميع الحلول الممكنة هو صعب جدًّا، حتى مع وجود فرضيات للتيسير على البنية الحرکية للروبوت. ولذلك سيكون تركيزنا في هذا الفصل على حل الصيغة التقاضية لمسألة التحليل الكينماتيكي الخلفي: السرعة الفضائية المرغوبة للنهاية العاملة للروبوت معطاة لنا، والمطلوب هو إيجاد سرعات المفاصل المناسبة  $\dot{\theta}$  والتي تحقق  $V = J(\theta)$  (هذه المعادلة يمكن التعبير عنها بالنسبة لجملة محاور الجسم أو بالنسبة لجملة محاور الفضاء). ولأن  $R^{6 \times n} \in J(\theta)$  حيث  $n > 6$ ، فإن هناك  $(n-6)$  عائلة من الحلول  $L$ .

إن إحدى الحلول من أجل  $\dot{\theta}$  والتي لها معنى فيزيائي مقنع إلى حد ما، هو الحل الموافق للطويلة الأصغرية (أي الحل الموافق لسرعات المفاصل الأصغرية الأمر الذي يكسب الروبوت حركة انتسيابية سلسة) والذي سنقوم بدراسته الآن. فمن ضمن مجموعة الحلول  $L$   $V = J(\theta)$  بحيث تكون المعادلة لفترض أننا نبحث عن الحل  $\dot{\theta}$  والذي يمتلك الطويلة الأصغرية  $\|\dot{\theta}\|$  بحيث تكون السابقة محققة، حيث تعرف الطويلة  $\|\dot{\theta}\|$  بشكلها العام من خلال العلاقة التالية:

$$\|\dot{\theta}\| = \sqrt{\dot{\theta}^T Q \dot{\theta}}$$

وذلك من أجل مصفوفة ما متتماثلة وموجبة ومتنتهية  $Q \in R^{n \times n}$ . فعلى سبيل المثال، إذا كانت جميع حركات المفاصل متطابقة، فإن المصفوفة  $Q$  ستكون هي المصفوفة الواحدية. وإذا كانت حركات المفاصل من قياسات مختلفة (على سبيل المثال، أن تكون المحركات مختلفة من حيث مقدار السرعات الممكن إثرازها)، وبالتالي فإن المصفوفة  $Q$  يتم اختيارها بحيث تكون مصفوفة قطرية، ويكون كل عنصر من عناصر قطرها متوافقاً مع قياس المحرك الموافق بشكل نسبي مع بقية المحركات.

إن الحل المعتمد على الطويلة الأصغرية يعطى بالعلاقة التالية (يمكن الرجوع إلى أي مرجع في الجبر الخطي للتحقق من ذلك):

$$\dot{\theta} = QJ^T(JQJ^T)^{-1}V$$

حيث  $\dot{\theta}$  تحقق المعادلة  $J(\theta) = V$  ويمكن التأكد من ذلك من خلال التعويض المباشر. ونلاحظ أن  $R^{n \times n} \in JQJ^{-1}$ ، ومنه فإنه طالما كانت رتبة المصفوفة  $(J(\theta))$  هي الرتبة الأعظمية (المساوية لـ 6) (والتي تكافئ هيئة ذراع الروبوت التي لا تتشكل فيها حالة قصور حرکي)، فإن  $JQJ^{-1}$  هي مصفوفة غير شاذة دوماً. وإذا كانت قيم المفاصل  $(\theta(t))$  هي المطلوبة، فإنه يمكن استخدام العلاقة التالية:

$$\theta(t + \Delta t) = \theta(t) + \Delta t \left( QJ(\theta(t))^T \left( J(\theta(t))QJ(\theta(t))^T \right)^{-1} \right) V(t)$$

حيث  $V(t)$  هي السرعة الفضائية المرغوب تحقيقها للنهاية العاملة للروبوت. وهذا الحل لمسألة التحليل الكينماتيكي الخلفي مفيد جداً عندما يكون المطلوب هو تحقيق مسارات محددة لجملة محاور النهاية العاملة للروبوت، أي أن  $X \in SE(3)$  يعطى لنا خلال فترة زمنية محددة  $[t_0, t]$ ، والمطلوب هو تحديد مسارات المفاصل  $\theta(t)$  الموافقة.

## الفصل الثامن

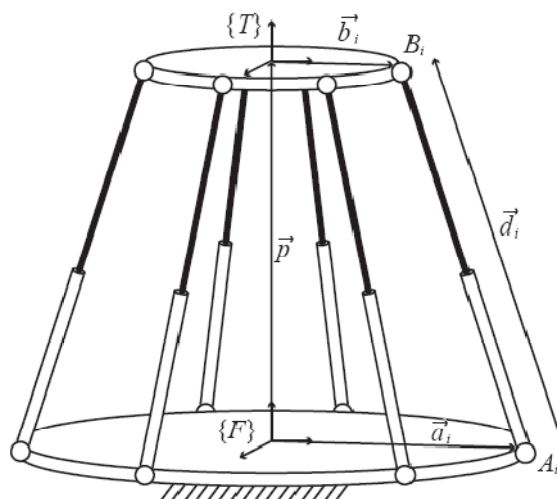
### التحليل الكينماتيكي لروبوتات السلسلة المغلقة

## Kinematics of Closed Chain Robots

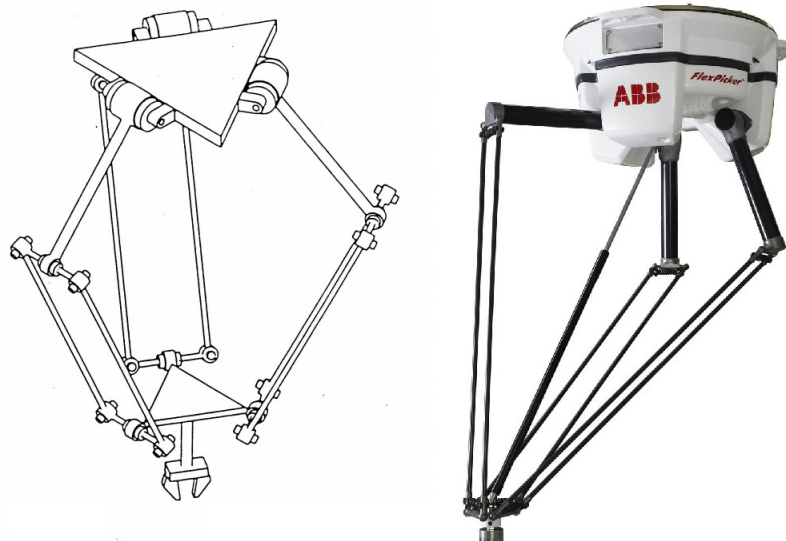
إن أية سلسلة حركية لمجموعة من الوصلات تحوي حلقة واحدة أو أكثر يطلق عليها اسم السلسلة المغلقة Closed Chain. وهناك العديد من الأمثلة لمثل هذا النوع من السلاسل المغلقة كانت قدر مررت معنا في الفصل الثاني من هذا الكتاب، بدءاً من ميكانيزم الوصلات الرباعي Four Bar Linkage المستوي وصولاً إلى الميكانيزمات الفضائية ذات السلاسل المغلقة مثل منصة ستريوارت - جوف Stewart - Gough. وفي هذا الفصل سوف نقوم بدراسة التحليل الكينماتيكي لروبوتات السلاسل المغلقة مع التركيز على صنف من هذه الروبوتات والذي عادة ما يطلق عليه اسم الروبوتات المتوازية (التقرعية) Parallel Robots، وهي روبوتات ذات سلسلة مغلقة تتتألف من قاعدة ثابتة وأخرى متحركة متصلتين مع بعضهما من خلال مجموعة من "الأرجل"، وهذه الأرجل غالباً ما تكون مندرجة ضمن صنف السلاسل المفتوحة، ولكن في بعض الأحيان تكون هذه الأرجل مندرجة ضمن صنف السلاسل المغلقة.

الأشكال من (8.1) إلى (8.3) توضح بعض الأمثلة لبعض الروبوتات المتوازية والمعروفة على نطاق واسع من التطبيقات. إن منصة ستريوارت - جوف Stewart - Gough هي عبارة عن ميكانيزم يمتلك ست درجات من الحرية، وهو يستخدم بشكل واسع في تطبيقات محاكاة الحركة كما يستخدم كحساس سداسي المحاور للقوة والعزز. وهذه المنصة بشكل عام تكون على نمطين: النمط الأول هو  $UPS \times 6$ ، فيه تكون الأرجل الستة كل منها مكون من مفصل عام واحد U ومفصل تمدي واحد P ومفصل كروي S. النمط الثاني هو  $SPS \times 6$ ، وفيه تكون الأرجل الستة كل منها مكون من مفصلين كرويين على الأطراف ومفصل تمدي واحد بينهما، ونلاحظ أنه في النمط الثاني فإن الدوران الالتوائي (حول محاور الأرجل الستة) ليس له أي تأثير على حركة القاعدة المتحركة. عندما تستخدم منصة ستريوارت - جوف Stewart - Gough كحساس للقوة والعزز، فإن المفاصل التمددية الستة ستواجه قوى خطية داخلية في كل مرة يتم فيها تطبيق أي قوة خارجية على القاعدة المتحركة، وبقياس هذه القوى الخطية الداخلية يمكننا تقدير قيمة القوة الخارجية المطبقة. إن روبوت دلتا Delta هو عبارة عن ميكانيزم ذي ثلاثة درجات من الحرية، ويتميز هذا الروبوت بأن القاعدة المتحركة له تبقى موازية للقاعدة الثابتة للروبوت. وبسبب كون المحركات الثلاثة متصلة مع المفاصل الدورانية الموجودة في القاعدة الثابتة العلوية، فإن الأجزاء المتحركة ستكون خفيفة نسبياً، الأمر الذي يسمح لروبوت دلتا Delta بتنفيذ حركات سريعة جداً. إن روبوت إيكليبس Eclipse هو عبارة عن ميكانيزم آخر يمتلك ست درجات من الحرية ويصنف ضمن الروبوتات المتوازية، وفي هذا الروبوت فإن القاعدة المتحركة تمتلك قابلية تغيير الاتجاه بمقدار  $90^\circ \pm$  بالنسبة للأرض، وأيضاً قابلية الدوران بمقدار  $360^\circ$  حول المحور الشاقولي.

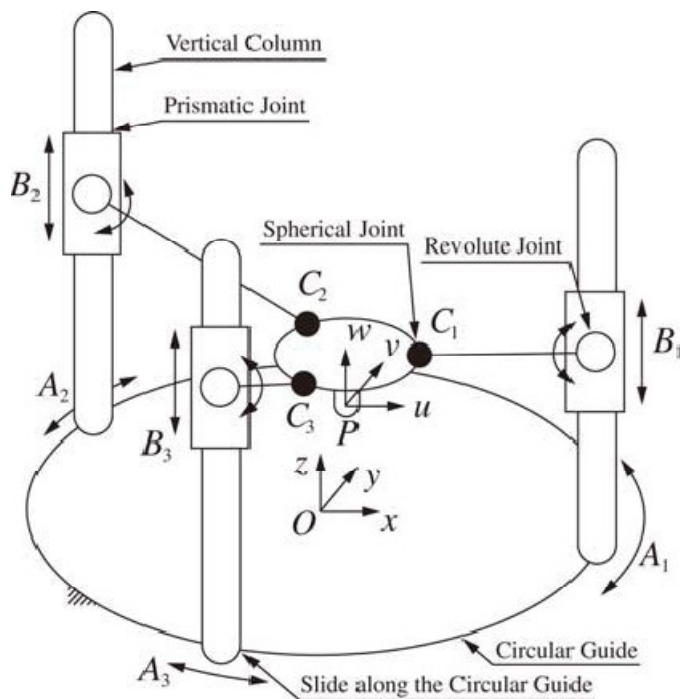
إن ميكانيزمات السلال المغلقة تتيح المجال لوجود عدد ضخم من التصاميم بالمقارنة مع ميكانيزمات السلال المغلقة، وليس من المفاجئ أن نعلم أن التحليل الكينماتيكي لها يعتبر أكثر تعقيداً من التحليل الكينماتيكي لميكانيزمات السلال المفتوحة. وهذا التعقيد يتبع لسمتين موجودتين في ميكانيزمات السلسلة المغلقة: (i) فضاء الهيئة المنحني (على سبيل المثال، السطح متعدد الأبعاد يمكن صياغته في فضاء شعاعي من مرتبة بُعدية أعلى)، (ii) ليست كل المفاصل مزودة بمحركات، أي يمكن القول أنها ليست محرَّكة Passive (Non-actuated). إن وجود مثل هذه المفاصل غير المحرَّكة مع حقيقة كون عدد المفاصل المحرَّكة Actuated قد يتجاوز درجة حرية الميكانيزم (مثل هذه الميكانيزمات يطلق عليها اسم الميكانيزمات ذات التحرير الفائض Redundantly Actuated) لا يجعل فقط مسألة التفاضل الكينماتيكي أمراً صعباً، بل إن ذلك يقدم أنواع جديدة من حالات القصور الحركي لم تظهر لنا عند دراستنا للروبوتات ذات ميكانيزمات السلسلة المفتوحة.



الشكل 8.1: منصة ستیوارت – جوف .Stewart – Gough



الشكل 8.2: روبوت دلتا Delta



ميكانيزم إيكليبس Eclipse

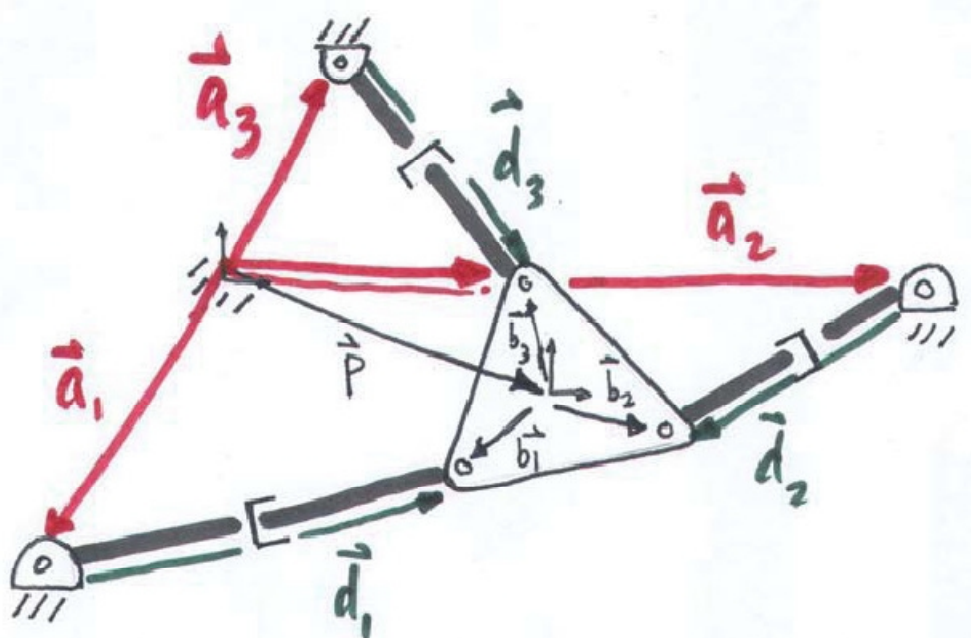
ولنذكر أيضاً أنه عند دراسة روبوتات السلسل المفتوحة، فإن التحليل الكينماتيكي يمكن أن يتم باستخدام طرائق سهلة نوعاً ما فيما يخص التحليل الكينماتيكي الأمامي (على سبيل المثال، عن طريقة صيغة جداء الأسويات) وما يتلو ذلك من التحليل الكينماتيكي الخلفي. أما بالنسبة لروبوتات السلسلة المغلقة بشكل عام، فإنه عادة يكون من الصعب الحصول على مجموعة معادلات صريحة و مباشرة تمثل التحليل الكينماتيكي الأمامي بالشكل  $X = T(\theta)$ ، حيث  $X \in SE(3)$  هي جملة محاور النهاية العاملة، و  $\theta \in R^n$  هي عبارة عن متغيرات المفاصل. والوسيلة الفعالة الأكثر اتباعاً من أجل إجراء التحليل الكينماتيكي لروبوتات السلسلة المغلقة تستند على مجموعة من الأدوات والمنهجيات التي تقوم قدر الإمكان باستغلال أية صفة تناظر أو تماثل وأية صفات خاصة أخرى لميكانيزم الروبوت.

ولذلك فإنه وفي هذا الفصل سوف نستعرض سلسلة من القضايا الدراسية المتمحورة حول بعض ميكانيزمات الروبوتات المتوازية الشائعة على نطاق واسع، وسيصبح لدينا في نهاية المطاف مجموعة من الأفكار عن أدوات ومنهجيات التحليل الكينماتيكي والتي يمكن توظيفها من أجل دراسة ميكانيزمات ذات سلسلة مغلقة أعم وأشمل. وسنقوم بدراسة ميكانيزمات الروبوتات المتوازية والتي تكون فيها عدد درجات الحرية المحرّكة مساوٍ للحرکة الكينماتيكية للميكانيزم. وسنقوم أيضاً بدراسة ومناقشة طرائق التحليل الكينماتيكي الأمامي والخلفي لهذه الروبوتات متبرعة بتشخيص واستنتاج مصفوفة اليعقوبي المقيدة، وكذلك الأمر بالنسبة لليعقوبي في حالة التحليل الكينماتيكي الأمامي والخلفي. وسيخلص الفصل في النهاية إلى دراسة حالات متنوعة من القصور الحركي والتي من الممكن أن تحدث في روبوتات السلسلة المغلقة.

## 8.1. التحليل الكينماتيكي الأمامي والخلفي:

في هذه الفقرة سنقوم بدراسة الطرائق من أجل إجراء التحليل الكينماتيكي الخلفي والأمامي لروبوتات السلسلة المغلقة. وبدلاً من محاولة صياغة منهجية عامة قابلة للتطبيق على جميع أنواع روبوتات السلسلة المغلقة، سنقوم بمناقشة حالتين: الميكانيزم المستوي المتوازي  $3 \times RPR$  (الميكانيزم الفضائي النظير له يدرس بنفس الطريقة)، ومنصة ستيفوارت - جوف - Stewart ذات النمط  $3 \times SPS$ . آلية التحليل لهذين الميكانيزمين تستند إلى بعض تقنيات الاختزال التي تؤدي إلى شكل مختزل لمعادلات التحكم الحركية. وسوف نشرح بشكل مختصر كيف يمكن لهذه الطرق أن تعمم من أجل تحليل الميكانيزمات المتوازية على نطاق أوسع.

### 8.1.1. الميكانيزم المتوازي المستوى $3 \times RPR$ :



الشكل 8.4: الميكانيزم المتوازي المستوى  $3 \times RPR$  الذي يمتلك ثلاثة درجات من الحرية.

المثال الأول الذي سنقوم بدراسته هو الميكانيزم المتوازي المستوى  $3 \times RPR$  المبين في الشكل (8.4). ومن السهل جداً أن نجد من خلال صيغة جروبيلر Gruebler للحالة المستوية أن هذا الميكانيزم يمتلك ثلاثة درجات من الحرية (أو ثلاثة درجات حرارية). لنقم بتعيين جملة ثابتة {S} وجملة محاور النهاية العاملة {b} كما هو مبين في الشكل. بشكل عام، إن المفاصل التمددية الثلاثة في هذا الميكانيزم هي التي تكون محرّكة. لنقم بالإشارة إلى طول كل من الأرجل الثلاثة بالرمز  $s_i$  حيث  $i = 1, 2, 3$ . إن مسألة التحليل الكينماتيكي الأمامي تعنى بتحديد موقع واتجاه جملة محاور النهاية العاملة من خلال المعطيات  $(s_1, s_2, s_3) = .$

ليكن الشعاع  $p$  هو الشعاع من مبدأ إحداثيات جملة المحاور الثابتة {S} إلى مبدأ إحداثيات جملة محاور النهاية العاملة {b}. ولتكن الزاوية  $\phi$  هي الزاوية المقيسة من المحور  $\hat{x}$  لجملة المحاور الثابتة {S} إلى المحور  $\hat{x}$  لجملة محاور النهاية العاملة {b}. وبعد ذلك لنقم بتعريف الأشعة التالية  $a_i$  حيث  $i = 1, 2, 3$  كما هو موضح بالشكل. ومن هذه التعريفات يمكن أن نجد:

$$\vec{d}_i = \vec{p} + \vec{b}_i - \vec{a}_i \quad (8.1)$$

حيث  $i = 1, 2, 3$ . ولتكن:

$$\vec{p} = \begin{bmatrix} p_x \\ p_y \end{bmatrix}, \quad \vec{a}_i = \begin{bmatrix} a_{ix} \\ a_{iy} \end{bmatrix}, \quad \vec{d}_i = \begin{bmatrix} d_{ix} \\ d_{iy} \end{bmatrix}$$

وهي عبارة عن إحداثيات الأشعة  $p, a_i, d_i$  في جملة المحاور الثابتة، ولتكن:

$$\vec{b}_i = \begin{bmatrix} b_{ix} \\ b_{iy} \end{bmatrix}$$

هي إحداثيات الشعاع  $b_i$  في جملة محاور النهاية العاملة.

ونلاحظ أن الأشعة  $a_i$  و  $b_i$  حيث  $i = 1, 2, 3$  هي أشعة ثابتة، وأنه باستثناء الشعاع  $b_i$ ، فإن جميع الأشعة الأخرى يتم التعبير عنها بالنسبة لجملة المحاور الثابتة  $\{s\}$ . ومن أجل التعبير عن المعادلة (8.1) بالنسبة لجملة المحاور الثابتة  $\{s\}$ ، فإن من الضروري أولاً أن نوجد تمثيل الشعاع  $b_i$  بالنسبة لجملة المحاور الثابتة  $\{s\}$ ، وهذا سهل، فبتعریف مصفوفة الدوران:

$$R_{sb} = \begin{bmatrix} \cos \phi & -\sin \phi \\ \sin \phi & \cos \phi \end{bmatrix}$$

فإننا نجد أن:

$$\begin{bmatrix} d_{ix} \\ d_{iy} \end{bmatrix} = \begin{bmatrix} p_x \\ p_y \end{bmatrix} + \begin{bmatrix} \cos \phi & -\sin \phi \\ \sin \phi & \cos \phi \end{bmatrix} \begin{bmatrix} b_{ix} \\ b_{iy} \end{bmatrix} - \begin{bmatrix} a_{ix} \\ a_{iy} \end{bmatrix}$$

حيث  $i = 1, 2, 3$ ، وبما أن  $s_i^2 = d_{ix}^2 + d_{iy}^2$ ، نستنتج أن:

$$\begin{aligned} s_i^2 &= (p_x + b_{ix} \cos \phi - b_{iy} \sin \phi - a_{ix})^2 \\ &\quad + (p_y + b_{ix} \sin \phi + b_{iy} \cos \phi - a_{iy})^2 \end{aligned}$$

حيث  $i = 1, 2, 3$ .

ونلاحظ من المعادلة السابقة أنه من السهل جداً استخلاص التمثيل الكينماتيكي الخلفي: بإعطاء قيم كل من  $(p_x, p_y, \phi)$ ، فإن أطوال الأرجل  $(s_1, s_2, s_3)$  يمكن بشكل مباشر إيجادها من المعادلات السابقة (القيمة السالبة لـ  $s_i$  في معظم الحالات لا يمكن تحقيقها فيزيائياً ويمكن إهمالها). وعلى النقيض، فإن مسألة التمثيل الكينماتيكي الأمامي ليست بهذه السهولة، وفي هذه الحالة فإن المطلوب هو تحديد موقع واتجاه النهاية العاملة  $(p_x, p_y, \phi)$  من خلال قيم المعطيات  $(s_1, s_2, s_3)$ . ويمكن استخدام قاعدة ظل نصف الزاوية المستخدمة بشكل واسع في عمليات التحليل

الكينماتيكي وتعويضها في جملة المعادلات الثلاث السابقة وذلك من خلال تعريف المتغير العددي  $t$  كالتالي:

$$t = \tan \frac{\phi}{2}$$

$$\sin \phi = \frac{2t}{1 + t^2}$$

$$\cos \phi = \frac{1 - t^2}{1 + t^2}$$

وبعد إجراء سلسلة من العمليات الجبرية، فإن جملة كثيرات الحدود السابقة يمكن في النهاية اختزالها إلى معادلة كثيرات حدود واحدة من الدرجة السادسة بدلالة  $t$ ، والتي تصرح أن الميكانيزم المتوازي المستوى  $RPR \times 3$  له على الأكثر ستة حلول من أجل التمثيل الكينماتيكي الأمامي (إثبات أن هذه الحلول الستة هي حلول قابلة للتحقيق يتطلب إجراء عمليات رياضية أكثر ولن نطرق لها هنا).

### 8.1.2 منصة ستيوارت - جوف Stewart - Gough :

سنقوم الآن في هذه الفقرة بدراسة التحليل الكينماتيكي الخلفي وكذلك الأمامي لمنصة ستيوارت - جوف Stewart - Gough ذات النمط  $SPS \times 6$  والمبينة في الشكل (8.1). في هذا التصميم، تكون القاعدة المتحركة والقاعدة الثابتة متصلتين مع بعضهما من خلال ست بنى تسلسلية ذات التراتبية SPS (أي مفصلين كرويين على الأطراف وبينهما مفصل تمدي)، بحيث تكون المفاصل الكروية هي المفاصل غير المحرّكة والمفاصل التمددية هي المفاصل المحرّكة. إن طريقة استنتاج المعادلات الكينماتيكية قريبة إلى حد ما من تلك في حالة الميكانيزم المتوازي المستوى  $RPR \times 3$ . ليكن لدينا  $\{s\}$  و  $\{b\}$  هما عبارة عن جملة المحاور الثابتة وجملة محاور النهاية العاملة بالترتيب، ولتكن لدينا الشعاع  $d_i$  وهو الشعاع من المفصل  $A_i$  إلى المفصل  $B_i$ . وبالنظر إلى الشكل (8.1) فإننا نعرف الأشعة التالية:

- الشعاع  $p \in R^3$  معتبراً عنه في جملة المحاور الثابتة  $\{s\}$ .
- الشعاع  $a_i \in R^3$  معتبراً عنه في جملة المحاور الثابتة  $\{s\}$ .
- الشعاع  $b_i \in R^3$  معتبراً عنه في جملة محاور النهاية العاملة  $\{b\}$ .
- الشعاع  $d_i \in R^3$  معتبراً عنه في جملة المحاور الثابتة  $\{s\}$ .
- مصفوفة الدوران  $(3) \in SO(3)$  وهي تمثل اتجاه جملة محاور النهاية العاملة بالنظر إليها من جملة المحاور الثابتة  $\{s\}$ .

وبهدف استنتاج المعادلات الكينماتيكية المقيدة، فإنه يمكن أن نكتب بصورة شعاعية:

$$\vec{d}_i = \vec{p} + \vec{b}_i - \vec{a}_i, \quad i = 1, \dots, 6$$

وبكتابة المعادلة أعلاه بحيث تكون جميع الحدود مماثلة بالنسبة لجملة المحاور الثابتة  $\{S\}$ :

$$d_i = p + Rb_i - a_i, \quad i = 1, \dots, 6$$

وبالإشارة إلى طول كل رجل من أرجل الروبوت بالرمز  $s_i$  نستطيع أن نكتب:

$$s_i^2 = d_i^T d_i = (p + Rb_i - a_i)^T (p + Rb_i - a_i)$$

حيث  $i = 1, \dots, 6$ . ونلاحظ أن الأشعة المعرفة أعلاه  $a_i$  و  $b_i$  هي عبارة عن أشعة معلومة ثابتة. وبكتابة المعادلة الكينماتيكية بهذه الطريقة، فإن مسألة التحليل الكينماتيكي الخلفي تصبح سهلة: معلوم لدينا كل من  $p$  و  $R$ ، وبالتالي فإن أطوال الأرجل الستة  $s_i$  يمكن حسابها مباشرة من المعادلات أعلاه (القيم السالبة لـ  $s_i$  في معظم الحالات ستكون غير قابلة للتحقق فيزيائياً ويمكن إهمالها).

ومسألة التحليل الكينماتيكي الأمامي كما نلاحظ في ليست بهذه السهولة. وهنا يكون معلوماً لدينا أطوال الأرجل الستة  $s_i$ ، والمطلوب إيجاد  $p \in \mathbb{R}^3$  و  $R \in SO(3)$ . وهذه المعادلات الكينماتيكية الستة بالإضافة إلى قيد مصفوفة الدوران  $I = R^T R$ ، ستشكل مجموعة من اثنين عشرة معادلة باثنين عشر مجهاً. وهناك العديد من الطرق من أجل إيجاد جميع الحلول لمثل مجموعة كثيرات الحدود هذه، على سبيل المثال، الطرائق المستندة إلى طريق سيلفستر Sylvester للاختزال الديالي Sylvester Dialytic Elimination Method الذي قام به كل من راغافان Raghavan و روث Roth، حيث أثبتنا أن هناك إلى العمل الذي قام به الأكثرون أربعين حلًّا لمسألة التحليل الكينماتيكي الأمامي، وأيضاً هاستي Huston، الذي أوجد خوارزمية يمكن حوسبتها من أجل إيجاد جميع الحلول الأربعين تحليلياً.

### 8.1.3. الميكانيزمات المتوازية العامة:

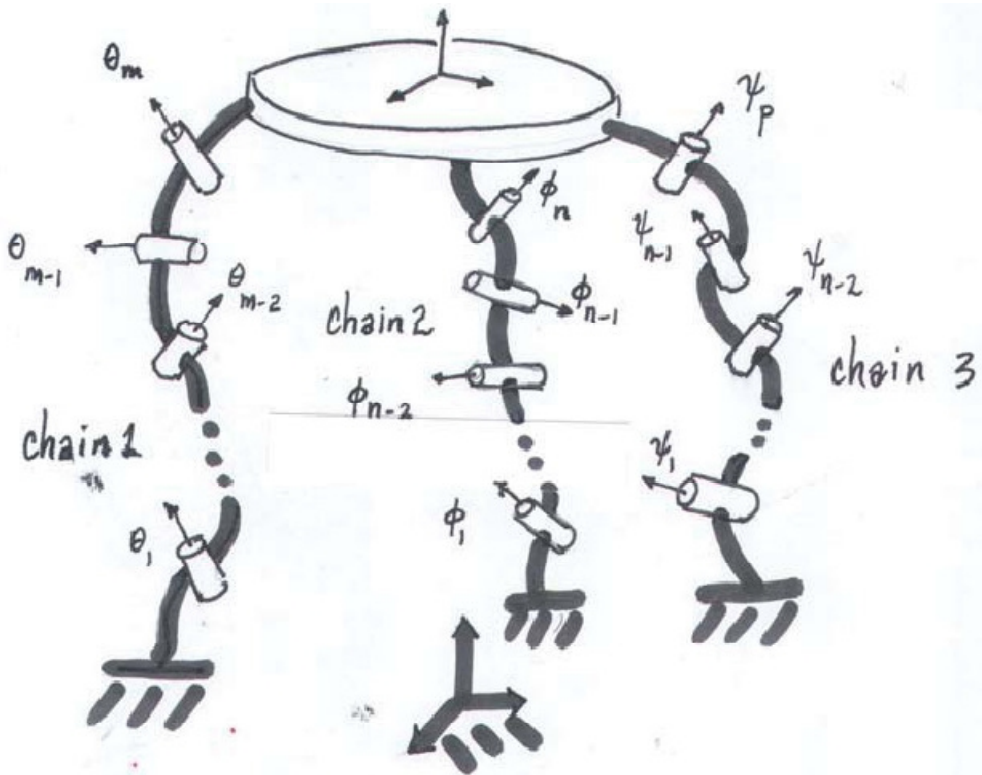
عند دراستنا للميكانيزم المتوازي المستوى  $RPR \times 3$  ولمنصة ستويارت - جوف - Stewart، استطعنا أن نستفيد من بعض سمات الميكانيزمين من أجل التقليل من عدد المعادلات الكينماتيكية، على سبيل المثال، في حالة منصة ستويارت - جوف Gough - Stewart، قمنا بتبسيط التحليل على اعتبار أن كل رجل من أرجل الميكانيزم يمكن نمذجته على هيئة خطوط مستقيمة. وفي هذه الفقرة الموجزة سندرس حالة عامة أكثر، حيث ستكون الأرجل فيها تمتلك بنى من سلاسل مفتوحة لا على التعين.

لنفترض أن لدينا الميكانيزم المتوازي المبين في الشكل (8.5). وفي هذا الميكانيزم نلاحظ أن القاعدتين المتحركة والثابتة متصلتان مع بعضهما عن طريق ثلاثة سلاسل مفتوحة . فإذا أشرنا إلى التمثيل الكينماتيكي الأمامي لهذه السلسلة الثلاث بـ  $(\theta)$  و  $(\phi)$  و  $(\psi)$  بالترتيب، حيث  $\theta \in \mathbb{R}^m$  و  $\phi \in \mathbb{R}^n$  و  $\psi \in \mathbb{R}^p$ . فإن شروط الحلقة المغلقة تكتب بالشكل التالي:

$$T_1(\theta) = T_2(\phi) \quad (8.2)$$

$$T_1(\phi) = T_2(\psi) \quad (8.3)$$

المعادلتين (8.2) و (8.3) كل منها مؤلفة من 12 معادلة (9 لمركبات الدوران و 3 لمركبات الموقع)، و ستة من هذه المعادلات هي معادلات مستقلة (حيث إن المعادلات التسع لمركبات الدوران يمكن اختزالها لجملة من ثلاث معادلات مستقلة استناداً إلى قيد مصفوفة الدوران التالي  $R^T R = I$ )، وبالتالي فإن هناك 24 معادلة منهم 12 معادلة مستقلة بـ  $n + m + p$  متغير مجهول، وحركية هذا الميكانيزم هي  $.d = 12 - (n + m + p)$ .



الشكل 8.5: ميكانيزم متوازي فضائي عام.

في مسألة التحليل الكينماتيكي الأمامي، فإذا كان معلوماً لدينا عدد المتغيرات لكل من  $(\theta, \phi, \psi)$ ، فإنه يمكن حل المعادلتين (8.2) و (8.3) لتحديد هذه المتغيرات، وسنلاحظ أن هناك العديد من الحلول لهاتين المعادلتين. وعندما تصبح متغيرات مفاصل أي سلسلة من السلاسل الثلاث المفتوحة معلومة لدينا، فإن التمثيل الكينماتيكي الأمامي لهذه السلسلة يمكن أن يكون مكافئاً لتحديد التمثيل الكينماتيكي الأمامي للسلسلة المغلقة.

في مسألة التمثيل الكينماتي الخلفي، فإن انزياح النهاية العاملة يكون معلوماً لدينا  $T \in SE(3)$ . وبجعل  $T = T_1 = T_2 = T_3$  فإن المطلوب هو حل المعادلات (8.2) و (8.3) من أجل جميع المتغيرات  $(\theta, \phi, \psi)$ . وكما بينا في الأمثلة المدرستة سابقاً، ففي أغلب الميكانيزمات المتوازية يمكن الاستفادة من بعض السمات التي يتتصف بها الميكانيزم من أجل إلغاء بعض المعادلات، وتبسيطها من أجل تقديمها بشكل مختزل.

## 8.2. التحليل الكينماتيكي التفاضلي:

سنقوم الآن بدراسة التحليل الكينماتيكي التفاضلي للروبوتات ذات الميكانيزمات المتوازية. وعلى عكس التحليل الكينماتيكي التفاضلي في الروبوتات ذات السلسلة المفتوحة، والذي يكون الهدف من منه هو ربط السرعات المعطاة لمفاصل الروبوت بالسرعة الفضائية للنهاية العاملة، فإن التحليل الكينماتيكي التفاضلي لروبوتات السلالس المغلقة هو معقد أكثر، وذلك بسبب حقيقة كون مفاصل الروبوت ليست كلها محرّكة. وفقط سرعات المفاصل المحرّكة هي التي تعتبر كسرعات دخل، أما سرعات المفاصل الأخرى غير المحرّكة فإنه يجب إيجادها من معدلات القيود الكينماتيكية. وسرعات المفاصل الغير محرّكة هذه تلزمها عادة في النهاية من أجل تحديد السرعة الفضائية لجملة محاور النهاية العاملة لробوت السلسلة المدروّس.

في روبوتات السلسلة المفتوحة، يكون لمصفوفة اليعقوبي في التمثيل الكينماتيكي الأمامي دور في التحليل الستاتيكي وتحليل السرعات. أما في روبوتات السلسلة المغلقة، فإنه بالإضافة لوجود مصفوفة اليعقوبي في التمثيل الكينماتيكي الأمامي، فإن هناك مصفوفة يعقوبي أخرى تأتي من معدلات القيود الكينماتيكية (ولهذا السبب فإننا نطلق على مصفوفة اليعقوبي هذه اسم مصفوفة يعقوبي القيد (Constraint Jacobian) ومصفوفة اليعقوبي هذه أيضاً لها دور أساسي في التحليل الستاتيكي وتحليل السرعات. وكما هو الحال في عملية التحليل الكينماتيكي الأمامي والخلفي لميكانيزمات الروبوتات المتوازية، فإنه يمكن أن تستفيد غالباً من بعض سمات الميكانيزمات بحيث يمكن تبسيط أو اختزال الإجراء اللازم من أجل الحصول على مصفوفات اليعقوبي. ولذلك فإننا سوف نبدأ بدراسة منصة ستیوارت - جوف Stewart - Gough، وسوف نرى أن يعقوبي التمثيل الكينماتيكي الخلفي يمكن الحصول عليه بسهولة عن طريق التحليل الستاتيكي. وبعد ذلك سوف ندرس تحليل السرعات من أجل الميكانيزمات المتوازية بشكل عام).

### 8.2.1 منصة ستیوارت - جوف :Stewart – Gough

سابقاً، رأينا أن التحليل الكينماتيكي لمنصة ستیوارت - جوف Stewart - Gough يمكن إيجاده بصورة تحليلية، حيث يكون معلوماً لدينا كل من اتجاه النهاية العاملة لروبوت  $R \in SO(3)$  وموقعها  $R^3 \in p$ ، وبالتالي فإن أطوال الأرجل  $R^6 s \in s$  يمكن إيجادها تحليلياً باستخدام تابع من الشكل  $(R,p) = g$ . ومبذئياً، فإن هذه المعادلة يمكن اشتقاقها والقيام ببعض العمليات الرياضية لنجعل في نهاية الأمر على الصيغة التفاضلية، أي:

$$\dot{s} = G(R, p)V_s \quad (8.4)$$

حيث  $R^6 s \in s$  تشير إلى سرعات الأرجل، و  $R^6 V_s \in V_s$  هي عبارة عن السرعة الفضائية للنهاية العاملة بالنسبة لجملة المحاور الثابتة. و  $G(R, p)$  هي عبارة عن مصفوفة يعقوبي التمثيل الكينماتيكي الخلفي. ونلاحظ هنا أن عملية الاشتغال هذه تمت باستخدام بعض العمليات الجبرية فحسب.

وهنا سنقوم بدراسة منهجية مختلفة تعتمد على التحليل الستاتيكي. واستناداً إلى اعتبارات العمل الافتراضي Virtual Work والتي قمنا باستخدامها من قبل من أجل تحديد العلاقة الستاتيكية في

الروبوتات ذات السلسلة المفتوحة، فإن العلاقة статистيكية في روبوتات السلسلة المغلقة (معبراً عنها في جملة المحاور الثابتة) هي أيضاً تعطى بالشكل  $J_s^T F_s = \tau$ ، حيث  $\tau$  هو شعاع عزوم الدوران المدخلة، و  $F_s$  هي القوة الفضائية الخارجية المطبقة على النهاية العاملة (معبراً عنها في جملة المحاور الثابتة)، و  $J_s$  هي عبارة عن مصفوفة اليعقوبي الناتجة من التمثيل الكينماتيكي الأمامي.

وفي حالة منصة ستيفيات - Gough - Stewart، فلاحظ أن القوى الوحيدة التي يتم تطبيقها على القاعدة المتحركة تحدث عند المفاصل الكروية. فإذا كانت:

$$f_i = \omega_i \tau_i$$

هي عبارة عن القوة الخطية ثلاثية الأبعاد التي يتم تطبيقها من قبل الرجل  $i$ ، حيث  $\omega_i \in R^3$  هي عبارة عن شعاع الواحدة المحدد لاتجاه تطبيق هذه القوة، و  $R \in \tau$  وهو عبارة عن قيمة هذه القوة الخطية، مع التأكيد أن القوة  $f_i$  معبر عنها في جملة المحاور الثابتة. والعزم المتولد عن القوة  $f_i$  والمشار له بالرمز  $m_i$ ، يعطى بالعلاقة:

$$m_i = r_i \times f_i$$

حيث  $r_i \in R^3$  تشير إلى الشعاع من مبدأ إحداثيات جملة المحاور الثابتة إلى نقطة تأثير القوة  $f_i$  (المفصل الكروي  $i$  في هذه الحالة)، ومرة أخرى، إن كلاً من  $r_i$  و  $m_i$  يتم التعبير عنهما بالنسبة لجملة المحاور الثابتة. وليس من الصعب أن نجد أن نفس هذا العزم يمكن التعبير عنه بالشكل:

$$m_i = q_i \times f_i$$

حيث  $q_i \in R^3$  تشير إلى الشعاع من مبدأ إحداثيات جملة المحاور الثابتة إلى قاعدة الرجل  $i$ ، أي المفصل الذي يصل هذه الرجل  $i$  بالقاعدة الثابتة للمنصة. إن التعبير عن هذا العزم بالشكل السابق مفضل أكثر، وذلك بسبب كون الشعاع  $q_i$  مقداراً ثابتاً كما تم تعريفه.

وبدمج كل من  $f_i$  و  $m_i$  بشكل قوة فضائية سداسية الأبعاد  $(m_i, f_i) = F_i$ ، فإن القوة المحصلة الفضائية  $F_s$  المؤثرة على القاعدة العلوية المتحركة تعطى بالعلاقة التالية:

$$\begin{aligned} F_s &= \sum_{i=1}^6 F_i = \sum_{i=1}^6 \left[ \frac{r_i \times \omega_i}{\omega_i} \right] \tau_i \\ &= \begin{bmatrix} -\omega_1 \times q_1 & \dots & -\omega_6 \times q_6 \\ \omega_1 & \dots & \omega_6 \end{bmatrix} \begin{bmatrix} \tau_1 \\ \vdots \\ \tau_6 \end{bmatrix} \end{aligned}$$

وكما بینا سابقاً بأن العلاقة статистيكية في حالة منصة ستيفارت - Gough - Stewart هي من الشكل  $J_s^T F_s = \tau$ ، فإنه وفقاً للاستنتاج السابق يمكننا أن نجد أن اليعقوبي الخلفي  $J_s^{-1}$  (أو بشكل مكافئ، اليعقوبي الناتج عن التحليل الكينماتيكي الخلفي) يعطى بالعلاقة:

$$J_s^{-1} = \begin{bmatrix} -\omega_1 \times q_1 & \dots & -\omega_6 \times q_6 \\ \omega_1 & \dots & \omega_6 \end{bmatrix}^T$$

### 8.2.2. الميكانيزمات المتوازية العامة:

استطعنا في منصة ستوارت - Gough Stewart أن نقوم بإجراء التحليل الستاتيكي بصورة سلسة وذلك بسبب البنية الكينماتيكية لهذه المنصة، حيث أن قوى المفاصل الستة تتجه باتجاه الرجل الموافقة لها. ولهذا استطعنا استنتاج مصفوفة العيقوبي (وبشكل أدق مصفوفة العيقوبي للتمثيل الكينماتيكي الخلفي) بدلالة أشعة التلوب المرتبطة بكل خط (رجل). وفي هذه الفقرة سوف ندرس ميكانيزمات متوازية بصورة أعم أكثر، حيث لا يكون التحليل الستاتيكي فيها بهذه السهولة. وبدراسة الميكانيزم المتوازي الفضائي ثلاثي الأرجل ثلاثي درجات الحرية السابق والمبين في الشكل (8.5) كمثال عن حالة عامة للميكانيزمات المتوازية، فإننا سنقوم بتوضيح الإجراء العام من أجل تحديد مصفوفة العيقوبي للتمثيل الكينماتيكي المباشر، وبعد ذلك سيكون تعميم هذا الأجراء على أي ميكانيزم متوازي آخر أمراً سهلاً.

الميكانيزم الموضح بالشكل (8.5) يتالف من قاعدتين متصلتين مع بعضهما من خلال ثلاث أرجل، وكل واحدة من هذه الأرجل هي عبارة عن سلسلة مفتوحة تمتلك خمسة درجات من الحرية. ومن أجل جملة المحاور الثابتة وجملة محاور النهاية العاملة المعطاة لنا كما هو محدد بالشكل، فإننا سنقوم بداية بكتابة التمثيل الكينماتيكي الأمامي لكل من السلاسل المفتوحة الثلاث كالتالي:

$$T_1(\theta_1, \theta_2, \dots, \theta_5) = e^{[S_1]\theta_1} e^{[S_2]\theta_2} \dots e^{[S_5]\theta_5} M_1$$

$$T_2(\phi_1, \phi_2, \dots, \phi_5) = e^{[P_1]\phi_1} e^{[P_2]\phi_2} \dots e^{[P_5]\phi_5} M_2$$

$$T_3(\psi_1, \psi_2, \dots, \psi_5) = e^{[Q_1]\psi_1} e^{[Q_2]\psi_2} \dots e^{[Q_5]\psi_5} M_3$$

وقيود الكينماتيكية للحلاقة المغلقة يمكن التعبير عنها بالشكل الآتي:

$$T_1(\theta) = T_2(\phi) \quad (8.5)$$

$$T_3(\phi) = T_3(\psi) \quad (8.6)$$

وبإجراء الجداء  $T \cdot T^{-1}$  لجانبي المعادلتين السابقتين فإننا نحصل على:

$$\dot{T}_1 T_1^{-1} = \dot{T}_2 T_2^{-1} \quad (8.7)$$

$$\dot{T}_2 T_2^{-1} = \dot{T}_3 T_3^{-1} \quad (8.8)$$

حيث  $T_i \cdot T_i^{-1} = [V_i]$  هي عبارة عن السرعة الفضائية لجملة محاور النهاية العاملة وذلك للسلسلة  $i$ ، والمعادلات السابقة يمكن التعبير عنها بدلالة مصفوفات العيقوبي الناتجة عن التمثيل الكينماتيكي لكل سلسلة كالتالي:

$$J_1(\theta)\dot{\theta} = J_2(\phi)\dot{\phi} \quad (8.9)$$

$$J_2(\phi)\dot{\phi} = J_3(\psi)\dot{\psi} \quad (8.10)$$

ويمكن صياغة هاتين المعادلتين بالشكل الآتي:

$$\begin{bmatrix} J_1(\theta) & -J_2(\phi) & 0 \\ 0 & -J_2(\phi) & J_3(\psi) \end{bmatrix} \begin{bmatrix} \dot{\theta} \\ \dot{\phi} \\ \dot{\psi} \end{bmatrix} = 0 \quad (8.11)$$

سنقوم الآن عند هذه النقطة بإعادة ترتيب متغيرات المفاصل الخمسة عشر وذلك بضم المفاصل المحرّكة على حد المفاصل الغير محرّكة على حد. ولنفترض دون تخصيص أن المفاصل المحرّكة هي  $(\theta_1, \phi_1, \psi_1)$ . وبتعريف شعاع المفاصل المحرّكة  $R^3 q_a \in R^3$  وشعاع المفاصل الغير محرّكة هي  $R^{12} q_p \in R^{12}$  بالشكل:

$$q_a = \begin{bmatrix} \theta_1 \\ \phi_1 \\ \psi_1 \end{bmatrix}, \quad q_p = \begin{bmatrix} \theta_2 \\ \vdots \\ \psi_5 \end{bmatrix}$$

والشعاع  $R^{15} q = (q_a, q_p) \in R^{15}$ . فإن المعادلة (8.11) يمكن إعادة صياغتها بالشكل التالي:

$$[H_a(q) \quad H_p(q)] \begin{bmatrix} \dot{q}_a \\ \dot{q}_p \end{bmatrix} = 0 \quad (8.12)$$

أو بشكل مكافئ:

$$H_a \dot{q}_a + H_p \dot{q}_p = 0 \quad (8.13)$$

حيث  $H_a \in R^{12 \times 3}$  و  $H_p \in R^{12 \times 12}$ . فإذا كانت المصفوفة  $H_p$  لها معكوس، فإننا نجد:

$$\dot{q}_p = -H_p^{-1} H_a \dot{q}_a \quad (8.14)$$

ومن هذه المعادلة نجد أنه عند إعطاء سرعات المفاصل المحرّكة، فإن سرعات المفاصل الأخرى الغير محرّكة يمكن الحصول عليها بشكل مباشر وذلك بفرض أن المصفوفة  $H_p$  لها معكوس.

وما تبقى علينا الآن هو استنتاج مصفوفة اليعقوبي للتمثيل الكينماتيكي الأمامي وذلك بدلالة المفاصل المحرّكة، وهذا يعني إيجاد  $R^{6 \times 3} J_a(q) \in R^{6 \times 3}$  والتي تتحقق المعادلة  $V_s = J_a(q) q_a$ ، حيث  $V_s$  هي عبارة عن السرعة الفضائية لجملة محاور النهاية العاملة. ولهذا الغرض، فإننا سنلجم إلى استخدام التمثيل الكينماتيكي الأمامي لأية سلسلة من السلال المفتوحة الثلاث، فعلى سبيل المثال، سنستخدم التمثيل الكينماتيكي الأمامي للسلسلة المفتوحة 1، أي  $V_s = J_1(\theta) \theta$ . ومن المعادلة (8.14) يمكن أن نكتب:

$$\dot{\theta}_2 = g_2^T \dot{q}_a \quad (8.15)$$

$$\dot{\theta}_3 = g_3^T \dot{q}_a \quad (8.16)$$

$$\dot{\theta}_4 = g_4^T \dot{q}_a \quad (8.17)$$

$$\dot{\theta}_5 = g_5^T \dot{q}_a \quad (8.18)$$

وكل  $\mathbf{g}_i \in \mathbb{R}^3$  حيث  $i = 2, \dots, 5$ ، يمكن الحصول عليها من المعادلة (8.14). وبتعريف الشعاع  $\mathbf{e}_1^T = (1, 0, 0)$  فإن التمثيل الكينماتيكي التفاضلي الأمامي للسلسلة الأولى يمكن أن يكتب بالشكل:

$$V_s = J_1(\theta) \begin{bmatrix} \mathbf{e}_1^T \\ g_2^T \\ g_3^T \\ g_4^T \\ g_5^T \end{bmatrix} \begin{bmatrix} \dot{\theta}_1 \\ \dot{\phi}_1 \\ \dot{\psi}_1 \end{bmatrix} \quad (8.19)$$

وبما أننا نريد إيجاد  $J_a(q)$  التي تحقق المعادلة  $V_s = J_a(q)q_a$ ، فمن ما سبق يمكن أن نستنتج:

$$J_a(q) = J(q_1, \dots, q_5) \begin{bmatrix} \mathbf{e}_1^T \\ g_2(q)^T \\ g_3(q)^T \\ g_4(q)^T \\ g_5(q)^T \end{bmatrix} \quad (8.20)$$

حيث:

$$\dot{q}_a = \begin{bmatrix} \dot{\theta}_1 \\ \dot{\phi}_1 \\ \dot{\psi}_1 \end{bmatrix}$$

إن الاستنتاج السابق يمكن إجراؤه باستخدام السلسلة 2 أو السلسلة 3.

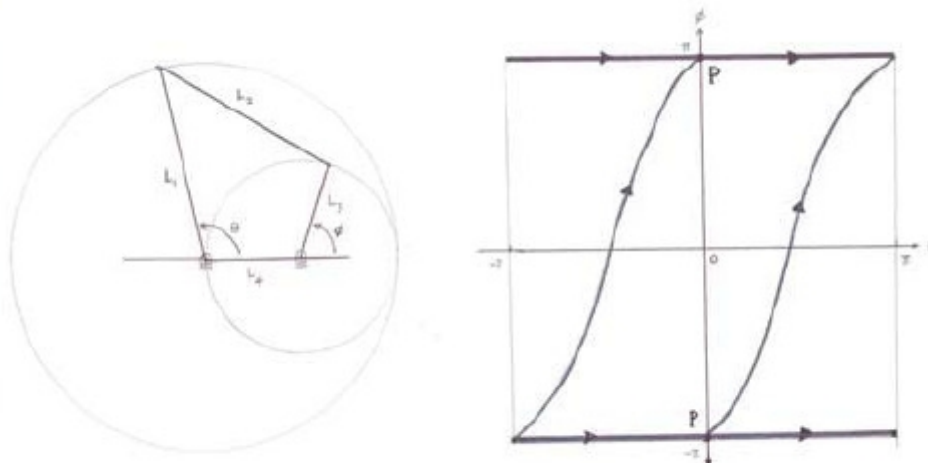
وبالتالي فعندما تعطى لنا قيم سرعات المفاصل المحرّكة  $q_a$ ، فإننا نقوم بإيجاد قيم سرعات المفاصل الغير محرّكة  $q_p$  من المعادلات الكينماتيكية للحلقة المغلقة. وكلما نجحنا في اختزال العديد من عناصر  $q_p$  تصبح المهمة أكثر سهولة. النقطة الثانية التي يجب ملاحظتها هي أن المصفوفة  $(q)$  يمكن أن تكون شاذة، وفي هذه الحالة فإننا لن نقدر على إيجاد  $q_p$  من خلال معرفتنا لـ  $q_a$ . والهياكل التي تكون فيها المصفوفة  $(q)$  شاذة تتطرق إليها وضعيّات القصور

الحركي تبعاً للمفاصل المحركة Actuator Singularities، والتي سنقوم بدراستها في الفقرة التالية.

### 8.3. القصور (الشذوذ) الحركي:

في هذه الفقرة الأخيرة من هذا الفصل سنتكلم عن الخصائص الأساسية لحالات القصور الحركي في الروبوتات ذات السلسلة المغلقة. إن تشخيص حالات القصور الحركي في روبوتات السلسل المغلقة يدور مضمونه حول مواضع فرعية أكثر مما هو عليه في روبوتات السلسلة المفتوحة. وبدلاً من إجراء عملية تصنيف شامل للروبوتات ذات السلسل المغلقة بشكل عام تحت هذا العنوان، فإننا سنقوم بإلقاء الضوء على السمات الأساسية لحالات القصور الحركي في روبوتات السلسل المغلقة وذلك من خلال مثالين متوازيين: الميكانيزم رباعي الوصلات المستوى المبين في الشكل (8.6)، والميكانيزم خماسي الوصلات المستوى المبين في الشكل (8.7). ويفترض من خلال هذين المثالين أن تصبح المنهجية التي من خلالها يتم تحليل القصور الحركي قابلة للتطبيق على روبوتات ذات سلسل مغلقة أكثر تعقيداً.

سنبدأ بالميكانيزم رباعي الوصلات الرباعي. ولنذكر أن فضاء الهيئة له هو عبارة عن منحنٍ مضمّن في فضاء محيط رباعي الأبعاد، وحتى بدون ذكر المعادلات، فإنه يمكن التأكيد أن القيم المسموحة للمفاصل  $L_1, L_2, \theta, \phi$  للميكانيزم الرباعي الوصلات تشكل منحنياً من النوع المبين في الشكل (8.6). وبدلالة كل من زوايا الدخول والخرج  $\theta$  و  $\phi$ ، فإن معادلة القيد الكينماتيكي للحلقة المغلقة يمكن التعبير عنها بالشكل التالي:



الشكل 8.6: الميكانيزم رباعي الوصلات المستوى وفضاء الهيئة لمفاصله.

$$\phi = \tan^{-1} \frac{\beta}{\alpha} \pm \cos^{-1} \left( \frac{\gamma}{\sqrt{\alpha^2 + \beta^2}} \right) \quad (8.21)$$

حيث :

$$\alpha = 2L_3L_4 - 2L_1L_3 \cos \theta \quad (8.22)$$

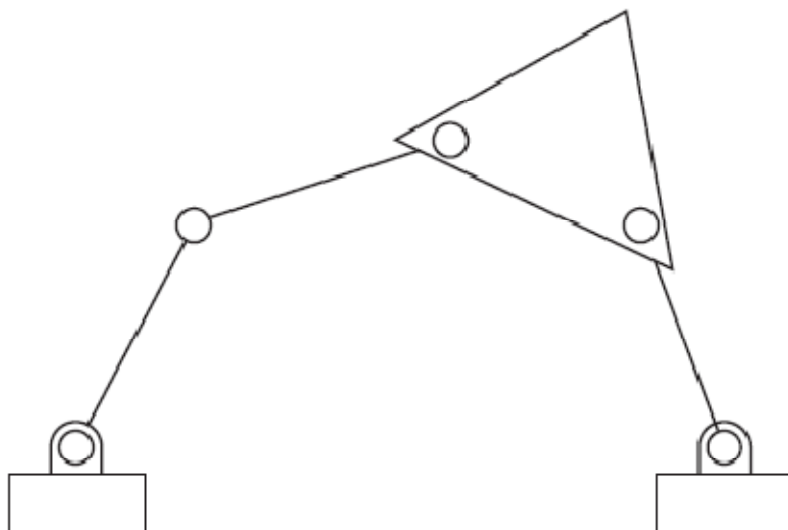
$$\beta = -2L_1L_3 \sin \theta \quad (8.23)$$

$$\gamma = L_2^2 - L_4^2 - L_3^2 - L_1^2 + 2L_1L_4 \cos \theta \quad (8.24)$$

ومن الملاحظ أن وجود الحل الفريد للحلول يعتمد على أطوال الوصلات  $L_1, \dots, L_4$ ، وعلى وجه الخصوص، فإنه لا يوجد حل في حال كون  $\alpha^2 + \beta^2 \leq \gamma^2$ . والشكل السابق يرسم الشكل البياني للدخل والخرج عندما تكون أطوال الوصلات كالتالي:  $L_1 = 4$ ,  $L_2 = 4$ ,  $L_3 = 3$ ,  $L_4 = 2$ . وفي هذه الحالة فإن كلاً من الزاويتين  $\phi$  و  $\theta$  يقعان ضمن المجال  $[0, 2\pi]$ .

ومن معضلات هذا الشكل البياني هي نقطة التشعب P كما هي موضحة بالشكل. وعند هذه النقطة فإن فرع المنحني يلتقيان مما يؤدي لحدوث تقاطع ذاتي حيث يقطع المنحني نفسه. فإذا كانت هيئة الميكانيزم الرباعي الوصلات تمثلها النقطة P، فإن الميكانيزم يملك الخيار في تتبع هذا الفرع أو ذاك. وهذه الظاهرة لا تحدث في أي نقطة أخرى عدا النقطة P في فضاء هيئة المفاصل للميكانيزم رباعي الوصلات المستوي.

نعود الآن إلى دراسة الميكانيزم خماسي الوصلات المستوي الموضح بالشكل (8.7). إن المعادلات الكينماتيكية المعبرة عن قيد الحلقة المغلقة يمكن كتابتها بالشكل:



الشكل 8.7: الميكانيزم خماسي الوصلات المستوي.

$$L_1 \cos \theta_1 + \dots + L_4 \cos(\theta_1 + \theta_2 + \theta_3 + \theta_4) = L_5 \quad (8.25)$$

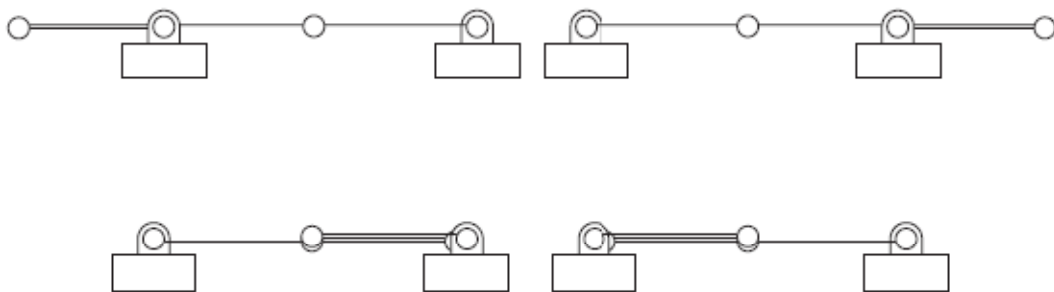
$$L_1 \sin \theta_1 + \dots + L_4 \sin(\theta_1 + \theta_2 + \theta_3 + \theta_4) = 0 \quad (8.26)$$

حيث قمنا باختزال متغير المفصل  $\theta_5$  بشكل بيديهي وذلك استناداً إلى شرط الحلقة المغلقة. وبكتابة المعادلين السابقتين بالشكل  $0 = f(\theta_1, \dots, \theta_4)$  حيث  $f: \mathbb{R}^4 \rightarrow \mathbb{R}^2$ ، فإن فضاء الهيئة يمكن اعتباره على أنه سطح ثانوي الأبعاد في المجال  $\mathbb{R}^4$ . وبشكل مشابه لنقطة التشعب التي ظهرت لنا

عند دراسة الميكانيزم الرباعي الوصلات المستوي، فإن هناك تقاطعات ذاتية للسطح يمكن أن تحدث، وعند مثل هذه النقاط فإن مصفوفة يعقوبي القيد Constraint Jacobian تقل رتبتها، أي أنه من أجل أية نقطة من هذه النقاط  $\theta$  في الميكانيزم الخماسي الوصلات يكون:

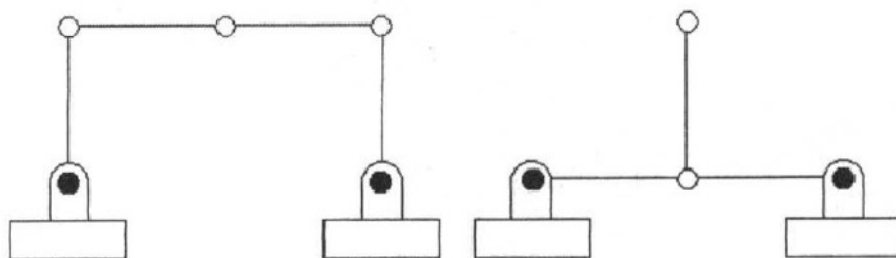
$$\text{rank}\left(\frac{df}{d\theta}(\theta)\right) < 2 \quad (8.27)$$

وهذا ما يتسبب بحدوث ما يسمى بالقصور الحركي الناتج عن فضاء الهيئة Configuration Space Singularity. والشكل (8.8) يوضح حالات القصور الحركي الممكنة الناجمة عن فضاء الهيئة للميكانيزم الخماسي الوصلات. ونلاحظ أنه إلى الآن لم نقم بالتنويم أو الإشارة إلى المفاصل المحركة في هذا الميكانيزم، أو إلى المكان الذي ركبت فيه النهاية العاملة، وبالتالي فمن الجدير بالذكر أن نؤكد أن مفهوم القصور الحركي الناتج عن فضاء الهيئة مستقل تماماً عن كيفية اختيار المفاصل المحركة وكيفية اختيار جملة محاور النهاية العاملة.



الشكل 8.8: حالات القصور الحركي الناجمة عن فضاء الهيئة للميكانيزم الخماسي الوصلات المستوي.

الآن سنقوم بدراسة الحالات عندما يكون لدينا مفصلان محركان في الميكانيزم الخماسي الوصلات. وبالنظر إلى الشكل (8.9)، نلاحظ أن المفاصل المحركة مشار إليها بدوائر مصمتة. وتحت شروط التشغيل الطبيعية، يمكن أن يكون التحكم بحركة المفاصل المحركة مستقلاً. وبمعنى آخر، إن إيقاف حركة المفاصل المحركة يجب أن يؤدي إلى تثبيت الميكانيزم الخماسي الوصلات على هيئة هيكل صلب.



الشكل 8.9: القصور الحركي تبعاً للمفاصل المحركة للميكانيزم الخماسي الوصلات المستوي: الشكل اليساري للحالة التي تكون فيها المفاصل المحركة غير مقلدة، والشكل اليميني للحالة التي تكون فيها المفاصل المحركة مقلدة.

في حالة القصور (الشذوذ) الحركي تبعاً للمفاصل المحرّكة غير المغلقة Non-degenerate Actuator Singularity الموضحة في الشكل (8.9) (الشكل اليساري)، فإن تدوير المفاصل المحرّكة باتجاهات متعاكسة سوف يؤدي إلى تبعات كارثية للميكانيزم. وفي حالة القصور الحركي تبعاً للمفاصل المحرّكة المغلقة Degenerate Actuator Singularity والمبينة في اليميني من الشكل (8.9)، فإن الحالة معاكسة للسابق، حيث نلاحظ أنه حتى لو تم إيقاف حركة المفاصل المحرّكة، فباستطاعة الوصلتين الداخليتين الدوران بكل حرية.

إن السبب وراء تصنيف حالات القصور الحركية هذه تحت بند القصور الحركي تبعاً للمفاصل المحرّكة هو أنه لو قمنا بتغيير مكان المحركات بحيث تقوم بتحريك مفاصل أخرى، فإنه يمكن القضاء على مثل هذه الحالات من القصور الحركي. وفي نوعي القصور الحركي تبعاً للمفاصل المحرّكة (مع إيقاف حركة المفاصل المحرّكة أو من دون إيقاف) في الميكانيزم الخماسي الوصلات، فإن تغيير مكان أحد المحركات بحيث يقوم بتحريك أحد المفاصل غير المحرّكة الثلاثة يمكن أن يلغى حالة القصور الحركي.

ومن السهولة بمكان ملاحظة حالة القصور الحركي تبعاً للمفاصل المحرّكة بصورة فيزيائية في الميكانيزم الخماسي الوصلات، ولكن ذلك يكون صعباً عند دراسة ميكانيزمات ذات سلاسل مغلقة على درجة أعلى من التعقيد. ويمكن تشخيص حالات القصور الحركي تبعاً للمفاصل المحرّكة رياضياً من خلال رتبة مصفوفة يعقوبي القيد. وكالسابق، فإننا نقوم بكتابه المعادلات الكينماتيكية لقيود الحلقة المغلقة بالشكل التفاضلي كالتالي:

$$[H_a(q) \quad H_p(q)] \begin{bmatrix} \dot{q}_a \\ \dot{q}_p \end{bmatrix} = 0 \quad (8.28)$$

حيث  $q_a \in R^a$  هو عبارة عن الشعاع الذي يشمل المفاصل المحرّكة، و  $q_p \in R^p$  هو عبارة عن الشعاع الذي يشمل المفاصل الغير محرّكة. ومن ذلك يمكن أن نجد أن:

$$H(q) = [H_a(q) \quad H_p(q)] \in R^{p \times (a+p)} \quad (8.29)$$

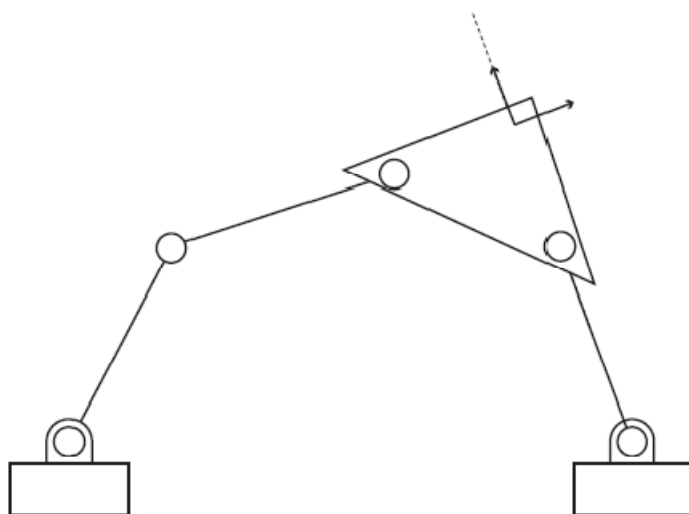
وأن  $H_p(q)$  هي مصفوفة أبعادها  $p \times p$ .

ومن خلال ما سبق، فإنه نستطيع أن نستنتج التالي:

- إذا كانت رتبة المصفوفة  $p < H_p(q)$ ، وبالتالي فإن الهيئة الموافقة لـ  $q$  تمثل حالة قصور حركي تبعاً للمفاصل المحرّكة Actuator Singularity. والتمييز بين نوعي حالة القصور الحركي هذه (مع إيقاف حركة المفاصل المحرّكة أو من دون إيقاف) يتطلب إجراءات رياضية أكثر، ويعتمد على المعلومات المستنيرة من إجراء عملية الاستفاق من المرتبة الثانية للمعادلة (8.28) والتي لن نقوم بمناقشتها في هذا الكتاب.
- إذا كانت مرتبة المصفوفة  $p > H(q)$ ، وبالتالي فإن الهيئة الموافقة لـ  $q$  تمثل حالة قصور حركي ناتجة عن فضاء الهيئة Configuration Space Singularity. ونلاحظ هنا أنه وتحت هذا الشرط فإن المصفوفة  $H_p(q)$  هي مصفوفة شاذة (والعكس غير صحيح).

في هذه الحالة). ولهذا فإن حالات القصور الحركي الناجمة عن فضاء الهيئة يمكن عدّها على أنها نقطة التقاطع بين جميع الحالات الممكنة لقصور الحركي تبعاً للمفاصل المحرّكة والناجمة عن جميع الاحتمالات الممكنة لمجموعات المفاصل المحرّكة.

الصنف الأخير لحالات القصور الحركي يدور حول طريقة اختيار جملة محاور النهاية العاملة. في حالة الميكانيزم الخماسي الوصلات، وبغض النظر عن اتجاه جملة محاور النهاية العاملة، وبالتركيز فقط على الموقع  $x-y$  للنهاية العاملة، فإننا نلاحظ أن الشكل (8.10) يظهر الميكانيزم الخماسي الوصلات وهو في حالة قصور حركي ناتجة عن موقع النهاية العاملة End Effector وذلك لاختيار المعطى لموقع النهاية العاملة. ونلاحظ أن السرعات على طول الخطوط المنقط غير ممكنة الحدوث عند هذه الهيئة بصورة مشابهة لحالات القصور الحركي في ميكانيزمات السلال المفتوحة. ونلاحظ أيضاً أن حالات القصور الحركي المتعلقة بموقع النهاية العاملة مستقلة تماماً عن كيفية اختيار المفاصل المحرّكة (حيث أن تحديد عدد أو أي المفاصل التي ينبغي تحريكها لا يؤثر على حالة القصور الحركي أي أنها لا تتعلق بهذه الأمور).



الشكل 8.10: حالة القصور الحركي المرتبطة بموقع النهاية العاملة في الميكانيزم الخماسي الوصلات المستوي.

حالات القصور الحركي الناجمة عن موقع النهاية العاملة يمكن تشخيصها رياضياً كالتالي: نقوم باختيار أية مجموعة صالحة من المفاصل المحرّكة  $q_a$  بحيث لا يكون الميكانيزم في حالة قصور حركي بسببها، ومن ثم نكتب التمثيل الكينماتيكي الأمامي له بالشكل التالي:

$$f(q_a) = T \quad (7.30)$$

حيث  $T$  تمثل النهاية العاملة. وبالتالي نستطيع أن نتأكد من وجود النقص في رتبة مصفوفة اليعقوبي للتابع  $f$  بطريقة مماثلة لتلك في حالة السلال المفتوحة من أجل تحديد وجود القصور الحركي الناتج عن موقع النهاية العاملة.

## الفصل التاسع

### التحليل الديناميكي لروبوتات السلسلة المفتوحة

## Dynamics of Open Chain Robots

وفقاً لقانون نيوتن Newton الثاني للحركة، فإن أي تغير في سرعة الجسم الصلب يكون ناجماً عن وجود قوى وعزوم دوران خارجية. وفي هذا الفصل، سنقوم بدراسة حركة الروبوتات ذات السلسلة المفتوحة مرة أخرى، ولكن في هذه المرة سوف نأخذ في الحسبان القوى وعزوم الدوران التي تسبب هذه الحركة، وهذه الدراسة تتدرج تحت ما يسمى التحليل الديناميكي للروبوتات. إن المعادلات الديناميكية المرتبطة بهذه الدراسة (والتي تسمى أيضاً بمعادلات الحركة) هي عبارة عن مجموعة من المعادلات التقاضية من المرتبة الثانية ذات الشكل:

$$\tau = M(\theta) \ddot{\theta} + b(\theta, \dot{\theta}) \quad (9.1)$$

حيث  $\theta \in \mathbb{R}^n$  هي عبارة عن شعاع متغيرات المفاصل، و  $\tau \in \mathbb{R}^n$  هو شعاع قوى وعزوم دوران المفاصل، و  $M(\theta) \in \mathbb{R}^{n \times n}$  هي عبارة عن مصفوفة متماثلة ولها معکوس ويطلق عليها اسم مصفوفة الكتلة The Mass Matrix، و  $b(\theta, \dot{\theta}) \in \mathbb{R}^n$  هي عبارة حزمة القوى التي تضم قوى الطرد المركزي والقوى الناتجة عن تسارع كوريوليس Coriolis وقوة الجاذبية وقوى الاحتكاك وغير ذلك من القوى الأخرى المتعلقة بـ  $\theta$  و  $\dot{\theta}$ . وقد يُخدع أحدهنا لما تبديه هذه المعادلات من بساطة واضحة، ولكن في الحقيقة، فإنه وحتى في روبوتات السلسلة المفتوحة البسيطة والتي تكون جميع محاور مفاصلها متعدمة أو متوازية فيما بينها، يمكن أن تكون  $M(\theta)$  و  $b(\theta, \dot{\theta})$  معقدة بصورة ملحوظة.

وكما قمنا سابقاً عند دراسة التحليل الكينماتيكي لروبوتات السلسلة بالتمييز بين قسمين هما التحليل الكينماتيكي الأمامي والتحليل الكينماتيكي الخلفي، فإننا سنقوم هنا أثناء دراستنا للتحليل الديناميكي لروبوتات السلسلة المفتوحة بالتمييز بين قسمين، هما التحليل الديناميكي الأمامي والتحليل الديناميكي الخلفي. وبغية توليد ومحاكاة مسار حركات النظام الروبوتي، فإنه من المفيد أن نطرح مسألة التحليل الديناميكي على شكل نظام مدخلات Inputs ومخرجات Outputs، بحيث تكون المدخلات هي مسارات عزوم الدوران  $(\tau(t))$ ، والمخرجات هي مسارات المفاصل  $(\theta(t))$ . ومن هذا المنطلق، فإنه في حالة التحليل الديناميكي الأمامي يكون الهدف هو تحديد مخرجات مسارات المفاصل  $(\theta(t))$  انطلاقاً من معرفتنا لمدخلات مسارات عزوم الدوران  $(\tau(t))$  ومجموعة الشروط المعتبرة المحيطة المتعلقة بـ  $\theta$  و  $\dot{\theta}$ . وهذا التحليل يتم إنجازه عادة بصورة رياضية من خلال المعادلة (9.1). وفي حالة التحليل الديناميكي الخلفي، فإن الهدف يكون تحديد مسار عزوم دوران المفاصل  $(\tau(t))$  التي تولد مسارات الحركة المطلوبة للمفاصل  $(\theta(t))$ .

هناك إمكانية لوجود بعض الاختلافات الغير جوهرية المرتبطة بمفهومي التحليل الديناميكي الأمامي والخلفي. ففي حالة التحليل الديناميكي الخلفي، نلاحظ أن السرعة  $\dot{\theta}$  والتسارع

يمكن الحصول عليها بإجراء عملية الاشتقاء لمسار المفصل المطلوب  $\theta(t)$ . ولهذا، فإن إذا كان معلوماً لدينا كل من  $(\theta, \dot{\theta}, \ddot{\theta})$  في زمن ما  $t$ ، يمكن الحصول على عزوم الدوران للمفصل بإجراء العمليات الجبرية المكافئة على الجانب الأيمن من المعادلة (9.1). وبصورة مكافئة، فإن هذا الإجراء أيضاً يعرف عادة على أنه التحليل الديناميكي الخلفي. أما في حالة التحليل الديناميكي الأمامي، وبما أن المصفوفة  $M(\theta)$  لها دائمًا معكوس، فإن المعادلة (9.1) يمكن إعادة كتابتها بالشكل:

$$\ddot{\theta} = M^{-1}(\theta) (\tau - b(\theta, \dot{\theta})) \quad (9.2)$$

وهذا التقدير لـ  $\theta$  انطلاقاً من القيم المعطاة لكل من  $\tau$  و  $\theta$  و  $\dot{\theta}$  هو أيضاً غالباً ما يعرف على أنه التحليل الديناميكي الأمامي. وعلى الرغم من أن هذا المفهوم قد يبدو مختلفاً عن السابق بصورة أو بأخرى، إلا أن الحقيقة تقول عكس ذلك: فإذا كانت مدخلات مسارات عزوم الدوران  $(\tau(t))$  مع القيم الابتدائية  $\tau_0$  و  $\theta_0$  عن الزمن  $t_0$ ، فإن إجراء عملية التكامل على جانبي المعادلة (9.2) من  $t_0$  إلى  $t$  نحصل على مخرجات المسار بشكل كامل  $\theta(t)$ .

المعادلات الديناميكية لروبوتات ما عادة ما يتم استنتاجها باستخدام واحدة من طريقتين: من خلال التطبيق المباشر لمعادلات نيوتن Newton ومعادلات أويلر Euler الديناميكية للجسم الصلب (والتي تعرف عادة بصيغة نيوتن - أويلر Newton - Euler)، أو من خلال صيغة لاغرانج Lagrange الديناميكية. إن الصيغة لاغرانج ممتازة من الناحية النظرية وفعالة جداً لدراسة الروبوتات ذات البنية الهيكلية البسيطة، على سبيل المثال، فهي مناسبة تماماً لدراسة الروبوتات ذات درجة الحرية المساوية لـ 3 أو أقل. وعلى أية حال، فإن الحسابات تصبح عسيرة وصعبة جداً عند دراسة روبوتات ذات درجات حرية أعلى. وللروبوتات ذات السلسل المفتوحة بشكل عام، فإن صيغة نيوتن - أويلر Newton - Euler تقودنا إلى خوارزميات فعالة عند دراسة كل من التحليل الديناميكي الأمامي والخلفي والتي يمكن جمعها بصورة تقاريبية على شكل تمثيلات تحليلية لمصفوفة الكتلة  $M(\theta)$  على سبيل المثال، وبقية الحدود في المعادلة الديناميكية (9.1).

وفي هذا الفصل سنقوم بدراسة كل من الصيغتين، صيغة لاغرانج الديناميكية وصيغة نيوتن - أويلر Newton - Euler الديناميكية وذلك لروبوتات السلسلة المفتوحة. وسوف نخلص في نهاية المطاف إلى الصيغة الديناميكية في إحداثيات فضاء المهمة (أو فضاء العمل)، أو ما يسمى بديناميک الفضاء التشغيلي Operational Space Dynamics.

## 9.1. صيغة لاغرانج Lagrange الديناميكية:

### 9.1.1. الأفكار الرئيسية ومثال توضيحي:

الخطوة الأولى في عملية التحليل الديناميكي باستخدام صيغة لاغرانج Lagrange الديناميكية هي أن نختار مجموعة إحداثيات مستقلة  $R^n \in q$  والتي تصف هيئة النظام بطريقة مشابهة لما قمنا به أثناء تحليلنا لفضاء الهيئة لروبوت ما. وتسمى الإحداثيات  $q$  بالإحداثيات المعممة Generalized Coordinates. وبعد القيام باختيار الإحداثيات المعممة، فإنه ومن خلال هذه

الإحداثيات تقوم بتعريف مجموعة إحداثيات أخرى  $R^n \in f$  والتي تشكل ثنائية مع الإحداثيات المعممة  $q$ ، وتسمى هذه الإحداثيات بالقوى المعممة Generalized Forces. الإحداثيات  $f$  والإحداثيات  $q$  تشكل فيما بينها ثنائية بسبب كون الجداء الداخلي لهما  $f^T q$  يمثل مايسى بالعمل. وتابع لاغرانج Lagrange  $L(q, \dot{q})$  وبالتالي يمكن تعريفه على أنه الطاقة الحركية Kinetic Energy الكلية لـكامل النظام مطروحاً منها الطاقة الكامنة Potential Energy. ومنه فإن معادلات الحركة يمكن التعبير عنها من خلال تابع لاغرانج Lagrange كالتالي:

$$f = \frac{d}{dt} \frac{\partial L}{\partial \dot{q}} - \frac{\partial L}{\partial q} \quad (9.3)$$

ومجموعة المعادلات هذه يطلق عليها معادلات أويلر - لاغرانج Euler - Lagrange مع وجود قوى خارجية<sup>5</sup>.

وسوف نقوم بتوضيح صيغة لاغرانج Lagrange الديناميكية من خلال مثالين. في المثال الأول سنفترض أن لدينا جسيماً كتلته  $m$  قيدت حركته على المحور الشاقولي فقط. وبالتالي فضاء الهيئة لهذا الجسيم سيكون هو الخط الشاقولي، والاختيار الطبيعي للإحداثي المعمم لهذه الحركة هو ارتفاع الجسيم، والذي سنشير له بالمتغير العددي  $R \in x$ . وبفرض أن قوة الجاذبية  $mg$  تؤثر نحو الأسفل، وأن القوة الخارجية  $f$  تطبق نحو الأعلى. فإنه باستخدام القانون الثاني لنيوتن تكون معادلة الحركة لهذا الجسيم هي Newton:

$$f - mg = m\ddot{x} \quad (9.4)$$

والآن سنقوم بتطبيق صيغة لاغرانج Lagrange الديناميكية على الجسيم. حيث تكون الطاقة الحرقة له  $\frac{1}{2}m\dot{x}^2$ ، والطاقة الكامنة هي  $mgx$ ، ومنه يكون تابع لاغرانج Lagrange هو:

$$L(x, \dot{x}) = \frac{1}{2}m\dot{x}^2 - mgx \quad (9.5)$$

ومعادلة الحركية وبالتالي تعطى بالشكل:

$$f = \frac{d}{dt} \frac{\partial L}{\partial \dot{q}} - \frac{\partial L}{\partial q} = m\ddot{x} + mg \quad (9.6)$$

والتي هي تماماً نفس المعادلة (9.4).

والآن سنقوم باستنتاج المعادلات الديناميكية للروبوت المستوى ذي السلسلة المفتوحة والمحتوي على مفصلين دورانيين  $2R$  والذي يتحرك بوجود تأثير الجاذبية. السلسلة تتحرك في المستوى المحدد بـ  $-y-x$ ، وتتأثر الجاذبية يكون باتجاه المحور  $y$ . وقبل البدء بالتحليل الديناميكي، فإن الكتلة وخصائص القصور الذاتي (العطلة) لجميع الوصلات يجب أن تكون معرفة. وبهدف جعل الأمور أكثر بساطة، فإنه يمكن نمذجة الوصلتين على أنها كتلتين نقطيتين  $m_1$  و  $m_2$  متمركزتين عند نهاية كل وصلة. ومنه فإن موقع وسرعة كلتا الوصلة 1 يعطيان بالشكل:

<sup>5</sup> في الشكل الفياسي لمعادلات أويلر - لاغرانج Euler - Lagrange تكون القوى الخارجية متساوية للصفر.

$$\begin{bmatrix} x_1 \\ y_1 \end{bmatrix} = \begin{bmatrix} L_1 \cos \theta_1 \\ L_1 \sin \theta_1 \end{bmatrix}$$

$$\begin{bmatrix} \dot{x}_1 \\ \dot{y}_1 \end{bmatrix} = \begin{bmatrix} -L_1 \sin \theta_1 \\ L_1 \cos \theta_1 \end{bmatrix} \dot{\theta}_1$$

بينما من أجل كتلة الوصلة 2، فإن العلاقات تعطى بالشكل:

$$\begin{bmatrix} x_1 \\ y_1 \end{bmatrix} = \begin{bmatrix} L_1 \cos \theta_1 + L_2 \cos(\theta_1 + \theta_2) \\ L_1 \sin \theta_1 + L_2 \sin(\theta_1 + \theta_2) \end{bmatrix}$$

$$\begin{bmatrix} \dot{x}_1 \\ \dot{y}_1 \end{bmatrix} = \begin{bmatrix} -L_1 \sin \theta_1 - L_2 \sin(\theta_1 + \theta_2) & -L_2 \sin(\theta_1 + \theta_2) \\ L_1 \cos \theta_1 + L_2 \cos(\theta_1 + \theta_2) & L_2 \cos(\theta_1 + \theta_2) \end{bmatrix} \begin{bmatrix} \dot{\theta}_1 \\ \dot{\theta}_2 \end{bmatrix}$$

وباختيار الإحداثيات  $(\theta_1, \theta_2) = \theta$  بحيث تمثل الإحداثيات المعممة، والقوى المعممة  $\tau = (\tau_1, \tau_2)$  والتي هي عبارة عن عزوم دوران المفاصل (حيث  $\tau^T \theta$  تمثل العمل المنجز)، فإن تابع لغرانج يكون من الشكل الآتي:

$$L(\theta, \dot{\theta}) = \sum_{i=1}^2 K_i - P_i \quad (9.7)$$

حيث نجد أن الطاقة الحركية للوصلتين  $K_1$  و  $K_2$  تساويان:

$$K_1 = \frac{1}{2} m_1 (\dot{x}_1^2 + \dot{y}_1^2) = \frac{1}{2} m_1 L_1^2 \dot{\theta}_1^2$$

$$\begin{aligned} K_2 &= \frac{1}{2} m_2 (\dot{x}_2^2 + \dot{y}_2^2) \\ &= \frac{1}{2} (m_2 (L_1^2 + 2L_1 L_2 \cos \theta_2 + L_2^2) \dot{\theta}_1^2 + 2(L_2^2 + L_1 L_2 \cos \theta_2) \dot{\theta}_1 \dot{\theta}_2 \\ &\quad + L_2^2 \dot{\theta}_2^2) \end{aligned}$$

والطاقة الكامنة للوصلتين  $P_1$  و  $P_2$  تساويان:

$$P_1 = m_1 g L_1 \sin \theta_1$$

$$P_2 = m_2 g (L_1 \sin \theta_1 + L_2 \sin(\theta_1 + \theta_2))$$

ومنه فإن معادلات لغرانج (9.3) لهذا المثال هي من الشكل:

$$\tau_i = \frac{d}{dt} \frac{\partial L}{\partial \dot{\theta}_i} - \frac{\partial L}{\partial \theta_i} \quad (9.8)$$

وتنتج المعادلات الديناميكية للروبوت المستوي ذي السلسلة المفتوحة المحتوى على مفصلين دورانيين  $2R$  من خلال التعويض والإجراء الرياضي الصحيح للجانب الأيمن من المعادلة (9.8) (لن نقوم بإدراج الحسابات التفصيلية وهي حسابات سهلة لكنها طويلة):

$$\begin{aligned}\tau_1 &= ((m_1 + m_2)L_1^2 + m_2(2L_1L_2 \cos \theta_2 + L_2^2))\ddot{\theta}_1 \\&\quad + m_2(L_1L_2 \cos \theta_1 + L_2^2)\ddot{\theta}_2 - 2m_2L_1L_2\dot{\theta}_1\dot{\theta}_2 \sin \theta_2 \\&\quad - m_2L_1L_2\dot{\theta}_2^2 \sin \theta_2 + (m_1 + m_2)L_1g \cos \theta_1 \\&\quad + m_2gL_2 \cos(\theta_1 + \theta_2) \\ \tau_2 &= m_2(L_1L_2 \cos \theta_2 + L_2^2)\ddot{\theta}_1 + m_2L_2^2\ddot{\theta}_2 - m_2L_1L_2\dot{\theta}_1\dot{\theta}_2 \sin \theta_2 \\&\quad - m_2gL_2 \cos(\theta_1 + \theta_2)\end{aligned}$$

في عملية التحليل الديناميكي باستخدام صيغة لاغرانج Lagrange فإنّه حالما يتم اختيار مجموعة الإحداثيات المعممة، يصبح من السهل علينا من الناحية النظرية صياغة تابع لاغرانج Lagrange، ومن ثم الحصول على المعادلات الديناميكية من خلال القيام بإجراء الاشتراق الجرئي لتتابع لاغرانج Lagrange. وعلى كل حال، فإن الحسابات تصبح عسيرة وصعبة بشكل سريع كلما ازدادت درجة الحرية للروبوت.

### 9.1.2. الصيغة العامة:

الآن سنقوم بشرح صيغة لاغرانج Lagrange الديناميكية وذلك من أجل الروبوتات ذات السلسلة المفتوحة بشكل عام والمحتوية على  $n$  وصلة. الخطوة الأولى هي أن نختار مجموعة للإحداثيات المعممة  $\theta \in \mathbb{R}^n$  من أجل وصف فضاء الهيئة للنظام. وكما نعلم فإنه في الروبوتات ذات السلسلة المفتوحة تكون جميع المفاصل محركة، ومن المناسب جداً أن نختار  $\theta$  بحيث تمثل شاعر قيم المفاصل. ويمكن الإشارة بعد ذلك إلى القوى المعممة بـ  $\tau \in \mathbb{R}^n$ . فإذا كان المفصل  $i$  دورانياً، فإن  $\tau_i$  هي عبارة عن عزم دوران، أما إذا كان المفصل  $i$  تمديداً، فإن  $\tau_i$  هي عبارة عن قوة.

وعندما يتم اختيار الإحداثيات المعممة  $\theta$  وتعريف القوى المعممة  $\tau$ ، فإن الخطوة التالية ستكون صياغة تابع لاغرانج Lagrange بالشكل:

$$L(\theta, \dot{\theta}) = K(\theta, \dot{\theta}) - P(\theta) \quad (9.9)$$

حيث  $K(\theta, \dot{\theta})$  هي عبارة عن الطاقة الحركية و  $P(\theta)$  هي عبارة عن الطاقة الكامنة للنظام بشكل كامل. وفي حال الروبوتات المكونة من وصلات صلبة فإن الطاقة الحركية يمكن أن تكتب دائمًا بالشكل التالي:

$$K(\theta) = \frac{1}{2} \sum_{i=1}^n \sum_{j=1}^n m_{ij}(\theta) \dot{\theta}_i \dot{\theta}_j = \frac{1}{2} \dot{\theta}^T M(\theta) \dot{\theta} \quad (9.10)$$

حيث  $m_{ij}(\theta)$  هو العنصر  $(i,j)$  من مصفوفة الكتلة ذات الأبعاد  $n \times n$ . والبرهان الاستدلالي على ذلك سنقدمه عند دراسة صيغة نيوتن - أويلر Newton - Euler الديناميكية في الفقرة التالية. يمكن الآن الحصول على المعادلات الديناميكية من خلال التعويض والإجراء الرياضي الصحيح للطرف الأيمن لصيغة لاغرانج :

$$\tau_i = \frac{d}{dt} \frac{\partial L}{\partial \dot{\theta}_i} - \frac{\partial L}{\partial \theta_i} , \quad i = 1, \dots, n \quad (9.11)$$

باستخدام علاقة الطاقة الحركية المعبر عنها بالمعادلة (9.10)، فإن معادلة التحليل الديناميكي يمكن كتابتها بالشكل:

$$\tau_i = \sum_{j=1}^n m_{ij}(\theta) \ddot{\theta}_j + \sum_{j=1}^n \sum_{k=1}^n \Gamma_{ijk}(\theta) \dot{\theta}_j \dot{\theta}_k + \frac{\partial P}{\partial \theta_i} , \quad i = 1, \dots, n \quad (9.12)$$

حيث  $\Gamma_{ijk}(\theta)$  تعرف على أنها رموز كريستوفيل Christoffel من النوع الأول، ويمكن إيجادها من العلاقة الآتية:

$$\Gamma_{ijk}(\theta) = \frac{1}{2} \left( \frac{\partial m_{ij}}{\partial \theta_k} + \frac{\partial m_{ik}}{\partial \theta_j} - \frac{\partial m_{jk}}{\partial \theta_i} \right) \quad (9.13)$$

وبصورة تقليدية فإن صيغة لاغرانج Lagrange الديناميكية تعد الطريقة الأفضل للحصول على مجموعة المعادلات التحليلية التقاريبية الديناميكية بصورة مباشرة. وفي روبوتات السلسلة المفتوحة، فبالإضافة إلى أن هذا الكلام لا يعد صحيحاً بصورة مطلقة، تعد الصيغة  $\Gamma_{ijk}(\theta)$  المعبر عنها في المعادلة أعلاه وكذلك المثالين اللذين قمنا بدراستهما بمثابة لمحة عن مدى تعقد الحسابات، وخصوصاً عند التعامل مع روبوتات ذات درجات حرية أعلى. ومن جهة أخرى، فإن صيغة نيوتن - أويلر Newton - Euler الديناميكية تتيح لنا تجنب الإجراءات التقاضلية الجزئية مما قد يسهل الأمور قليلاً. وعلى أية حال فإنه وكما رأينا سابقاً، فإن صيغة لاغرانج الديناميكية لlagرانج تعطي رؤى مهمة لبنيّة المعادلات الديناميكية، وخصوصاً عند إنشاء منظومة مستقرة للتحكم بالروبوت.

## 9.2. التحليل الديناميكي للجسم الصلب:

### 9.2.1. الصيغة الكلاسيكية:

لنفترض أن لدينا جسمًا صلباً له الكتلة  $m$  وله جملة محاور مرجعية  $\{b\}$  حيث محاورها هي  $\{\hat{x}_b, \hat{y}_b, \hat{z}_b\}$ ، وهذه الجملة موجودة في مركز كتلة الجسم الصلب. وعندما يتحرك هذا الجسم الصلب، فإن جملة محاور الجسم هذه أيضاً تتحرك بسرعة خطية  $v$  وسرعة زاوية  $w$ . ولنفترض الآن أن هذا الجسم الجسم خاضع لتأثير قوة خارجية  $f$ . وبالتالي يكون العزم الخارجي المتولد من القوة  $f$  بالنسبة لمركز كتلة الجسم هو  $r = r \times f$ , حيث  $r$  هو الشعاع من مركز كتلة الجسم الصلب إلى النقطة من الجسم التي تطبيق عليها القوة  $f$ . ولتكن  $h$  تشير إلى شعاع كمية الحركة

الزاوية Angular Momentum حول مركز كتلة الجسم (سنشرح باختصار كيفية حساب  $h$ ). ومن السابق يمكن أن نجد أن المعادلات الديناميكية للجسم الصلب هي كالتالي:

$$f = m \frac{d}{dt} v \quad (9.14)$$

$$m = \frac{d}{dt} h \quad (9.15)$$

الآن سنقوم بتمثيل المعادلات الديناميكية هذه في جملة محاور الجسم  $\{b\}$ . وبداية سنقوم بتمثيل السرعة الخطية والسرعة الزاوية في جملة محاور الجسم  $\{b\}$  بالشكل الآتي:

$$w = \omega_x \hat{x}_b + \omega_y \hat{y}_b + \omega_z \hat{z}_b$$

$$v = v_x \hat{x}_b + v_y \hat{y}_b + v_z \hat{z}_b$$

ويمكن كتابة هاتين المعادلتين أعلاه بشكل شعاعي كمصفوفة عامودية  $(\omega_x, \omega_y, \omega_z)^T = \omega_b$  و  $(v_x, v_y, v_z)^T = v_b$ . وبالتالي يمكن أن نجد أن التسارع الخطى يعطى بالعلاقة:

$$a = \frac{d}{dt} v = (\dot{v}_x \hat{x}_b + \dot{v}_y \hat{y}_b + \dot{v}_z \hat{z}_b) + v_x \dot{\hat{x}}_b + v_y \dot{\hat{y}}_b + v_z \dot{\hat{z}}_b \quad (9.16)$$

وكما نعلم فإن:

$$\dot{\hat{x}}_b = w \times \hat{x}_b, \dot{\hat{y}}_b = w \times \hat{y}_b, \dot{\hat{z}}_b = w \times \hat{z}_b$$

ولنذكر أن أشعة الواحدة هذه لجملة المحاور الدائرة استخدمت من أجل استنتاج شعاع السرعة الزاوية للجسم  $R^3$   $\omega_b \in R^3$  من مصفوفة الدوران  $R(t) = R^T R$  بالشكل  $[\omega_b] = [v_b]$ . وبالتالي يمكن كتابة المعادلة (9.16) نجد:

$$a = (\dot{v}_x \hat{x}_b + \dot{v}_y \hat{y}_b + \dot{v}_z \hat{z}_b) + w \times v$$

وبالتالي يكون التمثيل الشعاعي للتسارع الخطى في جملة محاور الجسم  $\{b\}$  كالتالي:

$$a_b = \dot{v}_b + (\omega_b \times v_b)$$

حيث  $v_b = (v_x, v_y, v_z)^T$ . وبالتالي يمكن كتابة المعادلة (9.14) بحيث يتم التعبير عنها بالنسبة لجملة محاور الجسم  $\{b\}$  كالتالي:

$$f_b = m(\dot{v}_b + \omega_b \times v_b) \quad (9.17)$$

والآن سنقوم بالتعبير عن كمية الحركة الزاوية  $h$  بالنسبة لجملة محاور الجسم  $\{b\}$ . فعندما يتم ربط جملة محاور الجسم مع مركز كتلة الجسم كما فعلنا في السابق، فإن كمية لحركة الزاوية يمكن استنتاجها بشكل بسيط. بداية، فإننا بحاجة لمعرفة مصفوفة العطالة الدورانية ذات الأبعاد

للحجم الصلب، وهذه المصفوفة يمكن الحصول عليها عن طريق تخيل الجسم الصلب على أنه مجموعة غير منتهية من الجسيمات ذات الكتلة  $m_i$ ، ولكل منها الإحداثيات  $(x_i, y_i, z_i)$  وذلك بالنسبة لجملة محاور الجسم الصلب  $\{b\}$ . وبالإشارة إلى مصفوفة العطالة الدورانية بالرمز  $I_b \in \mathbb{R}^{3 \times 3}$ ، فإن  $I_b$  يمكن الحصول عليها من خلال الجمع التالي لجميع الجسيمات المكونة للجسم الصلب:

$$I_b = \begin{bmatrix} \sum m_i(y_i^2 + z_i^2) & -\sum m_i x_i y_i & -\sum m_i x_i z_i \\ -\sum m_i x_i y_i & \sum m_i(x_i^2 + z_i^2) & -\sum m_i y_i z_i \\ -\sum m_i x_i z_i & -\sum m_i y_i z_i & \sum m_i(x_i^2 + y_i^2) \end{bmatrix}$$

$$= \begin{bmatrix} I_{xx} & I_{xy} & I_{xz} \\ I_{xy} & I_{yy} & I_{yz} \\ I_{xz} & I_{yz} & I_{zz} \end{bmatrix}$$

إن المصفوفة  $I_b$  والمعرفة بهذا الشكل تعد مقداراً ثابتاً، كما أنها مصفوفة متتماثلة Symmetric ومحببة بشكل قاطع. عند الحد الذي يصبح فيه عدد الجسيمات لانهائياً، فإن المجاميع الموجودة ضمن المصفوفة  $I_b$  يمكن الاستعاضة عنها بالتكاملات الحجمية على كامل الجسم  $B$ ، وبالتالي فإنه يمكن وضع تابع كثافة الكتلة  $\rho(x, y, z)$  بدلاً من كتل الجسيمات  $m_i$ ، ومنه:

$$I_{xx} = \iiint_B (y^2 + z^2) \rho(x, y, z) dx dy dz$$

$$I_{yy} = \iiint_B (x^2 + z^2) \rho(x, y, z) dx dy dz$$

$$I_{zz} = \iiint_B (x^2 + y^2) \rho(x, y, z) dx dy dz$$

$$I_{xy} = I_{yx} = - \iiint_B xy \rho(x, y, z) dx dy dz$$

$$I_{xz} = I_{zx} = - \iiint_B xz \rho(x, y, z) dx dy dz$$

$$I_{yz} = I_{zy} = - \iiint_B zy \rho(x, y, z) dx dy dz$$

فإذا كانت كثافة الكتلة خلال الجسم منتظمة، فإن  $I_b$  يمكن تحديدها اعتماداً على شكل الجسم الصلب بصورة خاصة (ويمكن الرجوع لأي مرجع يتكلم عن مقاومة المواد وغيرها من المراجع

المختصة من أجل الحصول على الحسابات الخاصة لـ  $I_b$  من أجل بعض أشكال الوصلات القياسية).

وبالتعبير عن  $h$  بدلالة أشعة الواحدة لجملة محاور الجسم  $\{b\}$  نجد:

$$h = h_x \hat{x}_b + h_y \hat{y}_b + h_z \hat{z}_b \quad (9.18)$$

وبتعريف الشعاع  $h_b = (h_x, h_y, h_z)^T \in R^3$  يمكن الحصول عليه كالتالي:

$$h_b = I_b \omega_b \quad (9.19)$$

وبما أن المعادلة (9.15) هي المشتق الأول لـ  $h$ , فباشتراك المعادلة (9.18) نجد:

$$\frac{d}{dt} h = (\dot{h}_x \hat{x}_b + \dot{h}_y \hat{y}_b + \dot{h}_z \hat{z}_b) + w \times h$$

وبالتالي تصبح معادلة العزم (9.15) معتبراً عنها بالنسبة لجملة محاور الجسم  $\{b\}$  كالتالي:

$$m_b = I_b \dot{\omega}_b + \omega_b \times I_b \omega_b \quad (9.20)$$

حيث  $m_b \in R^3$  هو شعاع العزم  $m$  معتبراً عنه في جملة محاور الجسم  $\{b\}$ . وتشكل المعادلتين (9.17) و (9.20) مع بعضهما ما يسمى بمعادلات الحركة للجسم الصلب.

### 9.2.2. صيغة التلوب – التلوّي :Twist – Wrench Formulation

المعادلتين (9.17) و (9.20) يمكن كتابتها بالشكل التجميعي التالي:

$$\begin{bmatrix} m_b \\ f_b \end{bmatrix} = \begin{bmatrix} I_b & 0 \\ 0 & mI \end{bmatrix} \begin{bmatrix} \dot{\omega}_b \\ \dot{v}_b \end{bmatrix} + \begin{bmatrix} [\omega_b] & 0 \\ 0 & [\omega_b] \end{bmatrix} \begin{bmatrix} I_b & 0 \\ 0 & mI \end{bmatrix} \begin{bmatrix} \omega_b \\ v_b \end{bmatrix} \quad (9.21)$$

بالاستفادة من دراستنا السابقة، وأيضاً باستخدام الخاصيتين:  $v \times v = 0$  و  $[-v]^T = [v]$  فإن المعادلة (9.21) يمكن كتابتها بالشكل المكافئ التالي:

$$\begin{aligned} \begin{bmatrix} m_b \\ f_b \end{bmatrix} &= \begin{bmatrix} I_b & 0 \\ 0 & mI \end{bmatrix} \begin{bmatrix} \dot{\omega}_b \\ \dot{v}_b \end{bmatrix} + \begin{bmatrix} [\omega_b] & [v_b] \\ 0 & [\omega_b] \end{bmatrix} \begin{bmatrix} I_b & 0 \\ 0 & mI \end{bmatrix} \begin{bmatrix} \omega_b \\ v_b \end{bmatrix} \\ &= \begin{bmatrix} I_b & 0 \\ 0 & mI \end{bmatrix} \begin{bmatrix} \dot{\omega}_b \\ \dot{v}_b \end{bmatrix} - \begin{bmatrix} [\omega_b] & 0 \\ [v_b] & [\omega_b] \end{bmatrix}^T \begin{bmatrix} I_b & 0 \\ 0 & mI \end{bmatrix} \begin{bmatrix} \omega_b \\ v_b \end{bmatrix} \end{aligned}$$

وبالكتابة بهذه الطريقة، فإن كل حد يمكن تعريفه كمقدار فضائي سداسي الأبعاد كالتالي:

(i)  $(\omega_b, v_b)$  يمكن أن يعرفان بالترتيب على أنهما السرعة الفضائية (التلوب)  $V_b$  والقوة الفضائية (التلوّي)  $F_b$ :

$$V_b = \begin{bmatrix} \omega_b \\ v_b \end{bmatrix}, \quad F_b = \begin{bmatrix} m_b \\ f_b \end{bmatrix} \quad (9.22)$$

(ii) مصفوفة العطالة الفضائية  $G_b \in R^{6 \times 6}$  والتي تعرف بالشكل:

$$G_b = \begin{bmatrix} I_b & 0 \\ 0 & mI \end{bmatrix} \quad (9.23)$$

حيث  $I$  تشير إلى المصفوفة الواحدية ذات الأبعاد  $3 \times 3$ . ومن خلال ما سبق نستطيع أن نقول أن الطاقة الحركية Kinetic Energy للجسم الصلب يمكن التعبير عنها بدلالة مصفوفة العطالة الفضائية كالتالي:

$$\text{Kinetic Energy} = \frac{1}{2} \omega_b^T I_b \omega_b + \frac{1}{2} m v_b^T v_b = \frac{1}{2} V_b^T G_b V_b \quad (9.24)$$

(iii) كمية الحركة الفضائية  $P_b \in R^6$  Spatial Momentum والتي تعرف بالشكل التالي:

$$P_b = \begin{bmatrix} I_b \omega_b \\ m v_b \end{bmatrix} = \begin{bmatrix} I_b & 0 \\ 0 & mI \end{bmatrix} \begin{bmatrix} \omega_b \\ v_b \end{bmatrix} = G_b V_b \quad (9.25)$$

ونلاحظ أن الحد  $P$  في المعادلة الديناميكية مضروب من الجهة اليسرى بالمصفوفة:

$$- \begin{bmatrix} [\omega_b] & 0 \\ [v_b] & [\omega_b] \end{bmatrix}^T \quad (9.26)$$

سنقوم الآن بشرح المنشأ والمعنى الهندسي لهذه المصفوفة. بداية، لنتذكر أن الجداء الخارجي لشعاعين  $\omega_1, \omega_2 \in R^3$  يمكن إيجاده باستخدام مفهوم المصفوفة المتماثلة المنحرفة بالشكل التالي:

$$[\omega_1 \times \omega_2] = [\omega_1][\omega_2] - [\omega_2][\omega_1] \quad (9.27)$$

المصفوفة المعبر عنها بـ (9.26) يمكن التفكير فيها على أنها التعميم لعملية لجداء الخارجي للتلوبين سداسيي الأبعاد. وبشكل أكثر تفصيلاً، إذا كان لدينا التلوبان التاليان  $(\omega_1, v_1) = V_1$  و  $(\omega_2, v_2) = V_2$ ، فإذا قمنا بالحساب وفقاً للعلاقة (9.27) نجد:

$$\begin{aligned} & \begin{bmatrix} [\omega_1] & v_1 \\ 0 & 0 \end{bmatrix} \begin{bmatrix} [\omega_2] & v_2 \\ 0 & 0 \end{bmatrix} - \begin{bmatrix} [\omega_2] & v_2 \\ 0 & 0 \end{bmatrix} \begin{bmatrix} [\omega_1] & v_1 \\ 0 & 0 \end{bmatrix} \\ &= \begin{bmatrix} [\omega_1][\omega_2] - [\omega_2][\omega_1] & [\omega_1]v_2 - [\omega_2]v_1 \\ 0 & 0 \end{bmatrix} \begin{bmatrix} [\dot{\omega}] & \dot{v} \\ 0 & 0 \end{bmatrix} \end{aligned}$$

والتي يمكن كتابتها بشكل مضغوط أكثر كالتالي:

$$\begin{bmatrix} \dot{\omega} \\ \dot{v} \end{bmatrix} = \begin{bmatrix} [\omega_1] & 0 \\ [v_1] & [\omega_1] \end{bmatrix} \begin{bmatrix} \omega_2 \\ v_2 \end{bmatrix}$$

وهذا التعميم للجداء الخارجي للتولبين  $V_1$  و  $V_2$  يسمى بقوس لي Lie Bracket. للشعاعين  $V_1$  و  $V_2$ .

**تعريف 9.1.** إذا كان لدينا التوليان  $(\omega_1, v_1) = V_1$  و  $(\omega_2, v_2) = V_2$ ، فإن قوس لي Lie للشعاعين  $V_1$  و  $V_2$  والمشار له بـ  $[V_1, V_2]$  يعطى بالشكل:

$$[V_1, V_2] = \begin{bmatrix} [\omega_1] & 0 \\ [v_1] & [\omega_1] \end{bmatrix} \begin{bmatrix} \omega_2 \\ v_2 \end{bmatrix} = Ad_{V_1}(V_2) \quad (9.28)$$

فمن أجل  $(\omega, v) = V$  المعطاة لنا، فإنه يمكننا تعريف المفهوم التالي للتمثيل المصفوفي ذو الأبعاد  $6 \times 6$   $[Ad_V]$  كالتالي:

$$[Ad_V] = \begin{bmatrix} [\omega] & 0 \\ [v] & [\omega] \end{bmatrix} \in \mathbb{R}^{6 \times 6} \quad (9.29)$$

وبهذا المفهوم فإن قوس لي  $[V_1, V_2]$  Lie يمكن التعبير عنه أيضاً كالتالي:

$$[V_1, V_2] = Ad_{V_1}(V_2) = [Ad_{V_1}]V_2 \quad (9.30)$$

**تعريف 9.2.** لنفترض أنه أعطي لنا التلوب  $(\omega, v) = V$  والتلوّي  $(m, f) = F$ ، فإننا نعرف الدالة التالية:

$$Ad_V^T(F) = [Ad_V]^T F = \begin{bmatrix} [\omega] & 0 \\ [v] & [\omega] \end{bmatrix}^T \begin{bmatrix} m \\ f \end{bmatrix} = \begin{bmatrix} -[\omega]m - [v]f \\ -[\omega]f \end{bmatrix} \quad (9.31)$$

باستخدام التعريفات والمفهوم أعلاه فإن المعادلات الديناميكية للجسم الصلب يمكن كتابتها كما يلي:

$$F_b = G_b \dot{V}_b - Ad_{V_b}^T(P_b) \quad (9.32)$$

$$= G_b \dot{V}_b - [Ad_{V_b}]^T G_b V_b \quad (9.33)$$

ونلاحظ أن هناك تشابهاً بين المعادلة (9.33) ومعادلة العزم للجسم الصلب الدائري:

$$m_b = I_b \dot{\omega}_b - [\omega_b]^T I_b \omega_b \quad (9.34)$$

المعادلة (9.34) هي ببساطة المركبة الدورانية للمعادلة (9.33).

### 3.9. التحليل الديناميكي الخلفي لروبوتات السلالس المفتوحة:

سنقوم الآن بدراسة مسألة التحليل الديناميكي الخلفي للروبوتات ذات السلالس المفتوحة المكونة من  $n$  وصلة متصلة مع بعضها البعض بوساطة مفاصل ذات درجة حرية واحدة. فإذا كانت متغيرات المفاصل معلومة لنا  $R^n \in \theta$ , وكذلك سرعتها  $R^3 \in \dot{\theta}$  وتسارعاتها  $R^n \in \ddot{\theta}$ , فإن هدفنا هو حساب الجانب الأيمن من المعادلة الديناميكية التالية:

$$\tau = M(\theta)\ddot{\theta} + b(\theta, \dot{\theta})$$

وستكون النتيجة الرئيسية عبارة عن خوارزمية التحليل الديناميكي الخلفي التكرارية التي تضم مرحلة التكرار الأمامي والخلفي. ففي مرحلة التكرار الأمامي، فإن السرعات والتسارعات لكل وصلة تنتقل من القاعدة إلى النهاية العاملة للروبوت، في حين أنه في مرحلة التكرار الخلفي، فإن القوة والعزم المطبقة من قبل كل وصلة تنتقل من النهاية العاملة إلى القاعدة.

إذا افترضنا أننا قمنا بربط جملة محاور مرجعية ثابتة للجسم  $\{i\}$  في مركز كتلة كل وصلة  $i$ ، حيث  $i = 1, \dots, n$ . وإذا أشرنا إلى جملة محاور الأرض  $\{0\}$ ، وكانت جملة المحاور المرتبطة بمركز كتلة الوصلة الأخيرة مشاراً إليها بـ  $\{n\}$ . فإن الانزياح من الجملة  $\{i-1\}$  إلى  $\{i\}$  والمشار له بـ  $T_{i-1,i} \in SE(3)$ ، يمكن التعبير عنه بالشكل الآتي:

$$T_{i-1,i} = M_{i-1,i} e^{[A_i]\theta_i} \quad (9.35)$$

حيث  $(\omega_i, v_i) \in SE(3)$ ، و  $A_i = M_{i-1,i}$  هو عبارة عن شعاع الثلوب للمفصل  $i$  (بفرض  $\theta_i$  تساوي الصفر) معبراً عنه بالنسبة لجملة المحاور  $\{i-1\}$ . فإذا كان التمثيل الكينماتيكي الأمامي معبراً عنه باستخدام صيغة جداء الأسيات بالشكل:

$$T_{0n} = e^{[S_1]\theta_1} e^{[S_2]\theta_2} \dots e^{[S_n]\theta_n} M \quad (9.36)$$

بالتالي فإن التمثيل الكينماتيكي الأمامي حتى جملة محاور الوصلة  $\{i\}$  يمكن أن يكتب كالتالي:

$$T_{0i} = e^{[S_1]\theta_1} e^{[S_2]\theta_2} \dots e^{[S_i]\theta_i} M_i \quad (9.37)$$

$$M_i = M_{01} M_{12} \dots M_{i-1,i} \quad (9.38)$$

حيث  $i = 1, \dots, n$ ، و  $M_i \in SE(3)$  تشير إلى هيئة جملة محاور الوصلة  $\{i\}$  عند الوضعية الصفرية. ومن أجل  $i = 1, \dots, n$ ، فإنه يمكن استنتاج مايلي عن طريق الحساب المباشر:

$$M_{i-1,i} = M_{i-1}^{-1} M_i \quad (9.39)$$

$$A_i = Ad_{M_i^{-1}}(S_i) \quad (9.40)$$

وسنقوم فيما يلي بتعريف المفاهيم التالية:

(i) لنشر إلى سرعة جملة محاور الوصلة  $\{i\}$  معتبراً عنها في جملة محاور الوصلة  $\{i\}$  نفسها  
بـ  $V_i = (\omega_i, v_i)$ . وبالتالي فإننا نلاحظ أن يمكن الحصول عليها من العلاقة:

$$[V_i] = T_{0i}^{-1} \dot{T}_{0i}$$

(ii) لتكن  $G_i \in \mathbb{R}^{6 \times 6}$  تشير إلى مصفوفة العطالة للوصلة  $i$  ذات الأبعاد  $6 \times 6$  معتبراً عنها نسبة جملة محاور الوصلة  $\{i\}$ . ولأننا افترضا أن جمل المحاور لكل الوصلات متوضعة في مركز الكتل لهذه الوصلات، فإن  $G_i$  سيكون لها شكل المصفوفة القطرية التالية:

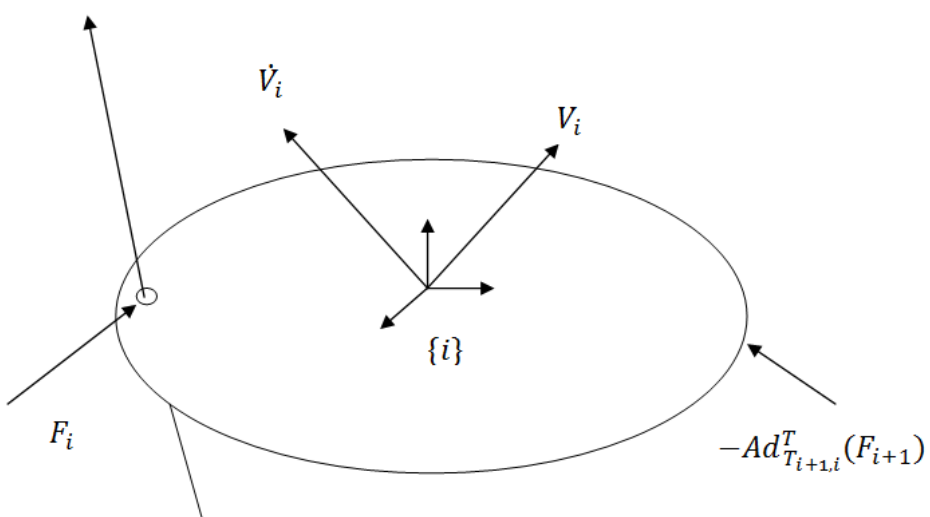
$$G_i = \begin{bmatrix} I_i & 0 \\ 0 & m_i I \end{bmatrix} \quad (9.41)$$

حيث  $I_i$  هي عبارة عن مصفوفة العطالة الدورانية ذات الأبعاد  $3 \times 3$  للوصلة  $i$ ، و  $m_i$  هي كتلة الوصلة  $i$ .

(iii) لننشر إلى القوة الفضائية المنتقلة من الوصلة  $-i$  إلى الوصلة  $i$  بـ  $F_i = (m_i, f_i)$ ، بحيث يكون معتبراً عنها بالنسبة لجملة محاور الوصلة  $\{i\}$ . إن القوة  $F_i$  تنتقل كلياً من خلال المفصل  $i$  لكونها نقطة الاتصال الوحيدة بين الوصلتين  $-i$  و  $i$ .

من خلال المفاهيم والتعاريف السابقة، سنقوم الآن بدراسة مخطط الجسم الصلب الحر للوصلة  $i$  كما هو مبين في الشكل (9.1). نلاحظ أن القوة  $F_{i+1}$  هي عبارة عن التلوّي المطبق من قبل الوصلة  $i$  على الوصلة  $i+1$  معتبراً عنها في جملة المحاور  $\{i+1\}$ . والمطلوب هنا هو معرفة التلوّي المطبق من قبل الوصلة  $i+1$  على الوصلة  $i$  معتبراً عنه في جملة المحاور  $\{i\}$ . وباستخدام قاعدة التحويل للتلوّي الناتج عن تغيير جمل المحاور المرجعية، فإننا نجد:

Joint Axis ( $i$ )



الشكل 9.1: مخطط الجسم الصلب الحر الموضح للعزوم والقوى المطبقة على الوصلة  $i$ .

$$Ad_{T_{i+1,i}}^T(-F_{i+1}) = -Ad_{T_{i+1,i}}^T(F_{i+1})$$

وبالتالي فإن معادلات الحركة للوصلة  $i$  يمكن كتابتها بالشكل:

$$G_i \dot{V}_i = Ad_{V_i}^T(G_i V_i) + F_i - Ad_{T_{i+1,i}}^T(F_{i+1}) \quad (9.42)$$

وعزم الدوران  $R \in \tau$  عند المفصل  $i$  وبالتالي هو عبارة عن مسقط التلوّي  $F_i$  على تلوب المفصل  $A_i$ :

$$\tau_i = F_i^T A_i \quad (9.43)$$

والأآن سنقوم باستنتاج التكرار الأمامي لسرعات وتسارعات الوصلات بدءاً من القاعدة وصولاً للنهاية العاملة للروبوت. بداية فإننا نلاحظ أن :

$$[V_1] = T_{01}^{-1} \dot{T}_{01} = [A_1 \dot{\theta}_1] \quad (9.44)$$

وأيضاً نجد:

$$\begin{aligned} [V_2] &= T_{02}^{-1} \dot{T}_{02} \\ &= T_{12}^{-1} (T_{01}^{-1} \dot{T}_{01}) T_{12} + T_{12}^{-1} \dot{T}_{12} \\ &= T_{12}^{-1} [V_1] T_{12} + [A_2 \dot{\theta}_2] \end{aligned} \quad (9.45)$$

أو بشكل مكافئ:

$$V_2 = Ad_{T_{21}}(V_1) + A_2 \dot{\theta}_2$$

وبتكرار هذا الإجراء من أجل جميع الوصلات اللاحقة، فإننا يمكن أن نستنتج العلاقة التالية:

$$V_i = Ad_{T_{i,i-1}}(V_{i-1}) + A_i \dot{\theta}_i, i = 1, \dots, n \quad (9.46)$$

وأيضاً التسارع  $\ddot{V}_i$  يمكن أيضاً إيجاده بصورة تكرارية. فنلاحظ أن:

$$\begin{aligned} [\dot{V}_i] &= \frac{d}{dt} T_{i-1,i} [V_i] T_{i-1,i}^T + T_{i-1,i} [\dot{V}_i] T_{i-1,i}^{-1} + T_{i-1,i} [V_i] \frac{d}{dt} T_{i-1,i}^{-1} + [A_i] \ddot{\theta}_i \\ &\text{وحيث أن:} \end{aligned}$$

$$\frac{d}{dt} T_{i-1,i} = M_{i-1,i} [A_i] e^{[A_i] \theta_i} \dot{\theta}_i = M_{i-1,i} e^{[A_i] \theta_i} [A_i] \dot{\theta}_i$$

$$\frac{d}{dt} T_{i-1,i}^{-1} = -T_{i-1,i}^{-1} \dot{T}_{i-1,i} T_{i-1,i}^{-1}$$

فإننا نجد:

$$\dot{V}_i = A_i \ddot{\theta}_i + Ad_{T_{i,i-1}}(\dot{V}_{i-1}) + [Ad_{T_{i,i-1}}(V_{i-1}), A_i \dot{\theta}_i] \quad (9.47)$$

وبما أن  $[A_i, A_i] = 0$  و:

$$Ad_{T_{i,i-1}}(V_{i-1}) = V_i - A_i \dot{\theta}_i$$

فإنه يمكن أن نحصل على الصيغة البديلة والمكافئة للمعادلة (9.7):

$$\dot{V}_i = A_i \ddot{\theta}_i + Ad_{T_{i,i-1}}(\dot{V}_{i-1}) + [V_i, A_i \dot{\theta}_i] \quad (9.48)$$

الصيغ أعلاه والمعبرة عن السرعات والتسارعات بالإضافة إلى المعادلات الديناميكية لأية وصلة معطاة يمكن أن تتنظم في خوارزمية ذات مرحلتي تكرار أمامي - خلفي للتحليل الديناميكي الخلفي. وقبل ذلك سوف ندرس كيفية تضمين تأثير الجاذبية في الدراسة الديناميكية. وإحدى الطرق المتبعة من أجل محاكاة تأثيرات الجاذبية هي أن نحسب جملة محاور القاعدة تسارعاً، حيث  $\epsilon \in R^3$  تشير إلى شعاع تسارع الجاذبية الأرضية معبراً عنه بالنسبة لجملة محاور القاعدة. في هذه الحالة فإنه من المهم أن نعلم أن تسارع الوصلة المحسوب من خلال الخوارزمية هو ليس التسارع الصحيح، بل هو التسارع الحقيقي منقوصاً منه تسارع الجاذبية الأرضية  $g$ .

الخوارزمية تبدأ بتقديم قيم ابتدائية لـ  $V_0$  و  $V_0$  و  $F_{tip}$ ، حيث  $V_0$  و  $V_0$  هما بالترتيب السرعة الفضائية والتسارع الفضائي لجملة محاور القاعدة بحيث يتم التعبير عنهما بالنسبة لجملة محاور القاعدة، و  $F_{tip}$  هي عبارة عن القوة الخارجية الفضائية المطبقة على نقطة ما من الوصلة الأخيرة معبراً عنها بالنسبة لجملة محاور النهاية العاملة. مسار المفصل ( $t$ ) والمشتقات  $\dot{\theta}, \ddot{\theta}$  نفترض بأنها معلومة لدينا كمدخلات.

**خوارزمية نيوتن - أويلر Newton - Euler للتحليل الديناميكي الخلفي:**

- **التمهيد:** نفرض أن جملة محاور كل وصلة  $\{i\}$  مرتبطة مع مركز الكتلة للوصلة . ومنه فإن التمثيل الكينماتيكي الأمامي بدءاً من جملة محاور القاعدة وصولاً إلى جملة محاور الوصلة  $\{i\}$  هو بالشكل:

$$T_{0i} = e^{[S_1]\theta_1} e^{[S_2]\theta_2} \dots e^{[S_i]\theta_i} M_i \quad , i = 1, \dots n \quad (9.49)$$

نعرف  $M_{i-1,i}$  لتكون الانزياح من جملة محاور الوصلة  $\{i-1\}$  إلى جملة محاور الوصلة  $\{i\}$ . وبالتالي فإن  $M_i = M_{01}M_{12}\dots M_{i-1,i} M_i = M_{i-1}^{-1} M_i$  حيث  $i = 1, \dots, n$ ، حيث  $M_{i-1,i} = M_{i-1}^{-1} M_i$  و منه يكون الانزياح بين جملة محاور الوصلتين  $\{i-1\}$  و  $\{i\}$  هو:

$$T_{i-1,i} = M_{i-1,i} e^{[A_i]\theta_i} \quad (9.50)$$

حيث:

$$A_i = Ad_{M_i^{-1}}(S_i) \quad , i = 1, \dots n \quad (9.51)$$

ويمكن تعريف مصفوفة العطالة الفضائية  $G_i$  للوصلة  $i$  ذات الأبعاد  $6 \times 6$  وذلك بالنسبة لجملة محاور الوصلة المثبتة في مركز كل منها بالشكل:

$$G_i = \begin{bmatrix} I_i & 0 \\ 0 & m_i I \end{bmatrix} \quad (9.52)$$

حيث  $I_i \in \mathbb{R}^{3 \times 3}$  هي عبارة عن مصفوفة العطلة الدورانية، و  $m_i$  هي عبارة عن كتلة الوصلة  $i$ . نقوم بتعريف التلوب  $(\omega_0, v_0) = V_0$  بحيث يعبر عن السرعة الفضائية لجملة محاور القاعدة معتبراً عنه في جملة محاور القاعدة. ونقوم بتعريف  $g \in \mathbb{R}^3$  وهو عبارة عن شعاع الجاذبية معتبراً عنه في جملة محاور القاعدة  $\{0\}$ . ونقوم أخيراً بتعريف التلوّي  $(m_{tip}, f_{tip}) = F_{tip}$  بحيث يعبر عن التلوّي المطبق على نقطة ما من الوصلة  $n$  معتبراً عنها في جملة محاور النهاية العاملة.

- **المعطيات:**  $V_0$  معطاة لنا،  $(0, g)$ .
- **مرحلة التكرار الأمامي:** من أجل  $i = 1$  إلى  $n$ ، نقوم بالإجراء التالي:

$$T_{i-1,i} = M_{i-1,i} e^{[A_i] \theta_i} \quad (9.53)$$

$$V_i = Ad_{T_{i,i-1}}(V_{i-1}) + A_i \dot{\theta}_i \quad (9.54)$$

$$\dot{V}_i = A_i \ddot{\theta}_i + Ad_{T_{i,i-1}}(\dot{V}_{i-1}) + [V_i, A_i \dot{\theta}_i] \quad (9.55)$$

- **مرحلة التكرار الخلفي:** من أجل  $i = n$  إلى  $1$ ، نقوم بالإجراء التالي:

$$F_i = Ad_{T_{i+1,i}}^T(F_{i+1}) + G_i \dot{V}_i - Ad_{V_i}^T(G_i V_i) \quad (9.56)$$

$$\tau_i = F_i^T A_i \quad (9.57)$$

وكلما لاحظنا سابقاً، فإن المعادلة (9.55) للتسارع  $\dot{V}_i$  يمكن استبدالها بالصيغة المكافئة التالية:

$$\dot{V}_i = A_i \ddot{\theta}_i + Ad_{T_{i,i-1}}(\dot{V}_{i-1}) + [Ad_{T_{i,i-1}}(V_{i-1}), A_i \dot{\theta}_i] \quad (9.58)$$

#### 9.4. الصيغة التقاريبية للمعادلات الديناميكية:

في هذه الفقرة سوف ندرس كيف يمكن تنظيم معادلات خوارزمية التحليل الديناميكي العكسي التكراري على شكل مجموعة معادلات ديناميكية تقاريبية من الشكل:

$$\tau = M(\theta) \ddot{\theta} + c(\theta, \dot{\theta}) + g(\theta)$$

و قبل البدء بذلك، فإننا سنقوم ببرهنة تأكيدها السابق بأن الطاقة الحركية الكلية  $K$  للروبوت يمكن التعبير عنها بالشكل:

$$K = \frac{1}{2} \dot{\theta}^T M(\theta) \dot{\theta}$$

ولكننا سنقوم بذلك من خلال معرفتنا أن الطاقة الحركية الكلية  $K$  يمكن التعبير عنها على أنها مجموع الطاقات الحركية لكل وصلات الروبوت:

$$K = \frac{1}{2} \sum_{i=1}^n V_i^T G_i V_i \quad (9.59)$$

حيث  $V_i$  هي السرعة الفضائية لجملة محاور الوصلة  $\{i\}$ ، و  $G_i$  هي عبارة عن مصفوفة العطالة الفضائية للوصلة  $i$  كما تم تعريفها من خلال المعادلة (9.52) (ويتم التعبير عن كليهما بالنسبة لجملة محاور الوصلة  $\{i\}$ ). ولتكن لدينا التابع  $T_{0i}(\theta_1, \dots, \theta_n) = J_{ib}(\theta)$  يشير إلى التمثيل الكينماتيكي الأمامي بدءاً جملة محاور القاعدة  $\{0\}$  وصولاً إلى جملة محاور الوصلة  $\{i\}$ ، و  $J_{ib}(\theta)$  هو عبارة عن مصفوفة يعقوبي الجسم التي يتم الحصول عليها من العلاقة:

$$J_{ib}(\theta) = T_{0i}^{-1} \dot{T}_{0i}$$

ونلاحظ أن أبعاد مصفوفة الجسم  $J_{ib}$  كما تم تعريفها هي  $6 \times n$ ، وسنجعلها  $n \times 6$  وذلك عن طريق جعل جميع عناصر الأعمدة  $i$ -th الأخيرة عبارة عن أصفار. وبهذا التعريف  $L_{ib} = J_{ib}$ ، يمكننا أن نكتب:

$$V_i = J_{ib}(\theta) \dot{\theta}, \quad i = 1, \dots, n$$

وبالتالي فإن الطاقة الحركية يمكن كتابتها بالشكل:

$$K = \frac{1}{2} \dot{\theta}^T \left( \sum_{i=1}^n J_{ib}(\theta)^T G_i J_{ib}(\theta) \right) \dot{\theta} \quad (9.60)$$

في الحقيقة، إن الحد الموجود ضمن القوسين ما هو إلا مصفوفة الكتلة  $M(\theta)$ :

$$M(\theta) = \sum_{i=1}^n J_{ib}(\theta)^T G_i J_{ib}(\theta) \quad (9.61)$$

سنعود الآن إلى مهمتنا الأساسية والتي تدور حول استنتاج الصيغة التقاريبية للمعادلات الديناميكية. وسوف نبدأ بتعريف الأشعة التالية:

$$V = \begin{bmatrix} V_1 \\ \vdots \\ V_n \end{bmatrix} \in \mathbb{R}^{6n} \quad (9.62)$$

$$F = \begin{bmatrix} F_1 \\ \vdots \\ F_n \end{bmatrix} \in \mathbb{R}^{6n} \quad (9.63)$$

ومن ثم سنقوم بتعريف المصفوفات التالية:

$$A = \begin{bmatrix} A_1 & 0 & \cdots & 0 \\ 0 & A_2 & \cdots & 0 \\ \vdots & \vdots & \ddots & \vdots \\ 0 & \cdots & \cdots & A_n \end{bmatrix} \in \mathbb{R}^{6n \times n} \quad (9.64)$$

$$G = \begin{bmatrix} G_1 & 0 & \cdots & 0 \\ 0 & G_2 & \cdots & 0 \\ \vdots & \vdots & \ddots & \vdots \\ 0 & \cdots & \cdots & G_n \end{bmatrix} \in \mathbb{R}^{6n \times 6n} \quad (9.65)$$

$$[Ad_V] = \begin{bmatrix} [Ad_{V_1}] & 0 & \cdots & 0 \\ 0 & [Ad_{V_2}] & \cdots & 0 \\ \vdots & \vdots & \ddots & \vdots \\ 0 & \cdots & \cdots & [Ad_{V_n}] \end{bmatrix} \in \mathbb{R}^{6n \times 6n} \quad (9.66)$$

$$[Ad_{A\dot{\theta}}] = \begin{bmatrix} [Ad_{A_1\theta_1}] & 0 & \cdots & 0 \\ 0 & [Ad_{A_2\theta_2}] & \cdots & 0 \\ \vdots & \vdots & \ddots & \vdots \\ 0 & \cdots & \cdots & [Ad_{A_n\theta_n}] \end{bmatrix} \in \mathbb{R}^{6n \times 6n} \quad (9.67)$$

$$\Gamma(\theta) = \begin{bmatrix} 0 & 0 & \cdots & 0 & 0 \\ [Ad_{T_{21}}] & 0 & \cdots & 0 & 0 \\ 0 & [Ad_{T_{32}}] & \cdots & 0 & 0 \\ \vdots & \vdots & \ddots & \vdots & \vdots \\ 0 & 0 & \cdots & [Ad_{T_{n,n-1}}] & 0 \end{bmatrix} \in \mathbb{R}^{6n \times 6n} \quad (9.68)$$

ولقد كتبنا  $\Gamma(\theta)$  بهذا الشكل لنؤكد على أن  $\Gamma$  تتعلق بـ  $\theta$ . وأخيراً، سنقوم بتعريف الأشعة التالية:

$$V_{base} = \begin{bmatrix} Ad_{T_{10}}(V_0) \\ 0 \\ \vdots \\ 0 \end{bmatrix} \in \mathbb{R}^{6n} \quad (9.69)$$

$$\dot{V}_{base} = \begin{bmatrix} Ad_{T_{10}}(\dot{V}_0) \\ 0 \\ \vdots \\ 0 \end{bmatrix} \in \mathbb{R}^{6n} \quad (9.70)$$

$$F_{tip} = \begin{bmatrix} 0 \\ \vdots \\ 0 \\ Ad_{T_{n+1,n}}^T(F_{n+1}) \end{bmatrix} \in \mathbb{R}^{6n} \quad (9.71)$$

نلاحظ أن  $A \in \mathbb{R}^{6n \times 6n}$  وأن  $G \in \mathbb{R}^{6n \times 6n}$  هي عبارة عن مصفوفات قطرية ثابتة، حيث  $A$  تضم فقط البارامترات الكينماتيكية، في حين أن  $G$  تضم فقط الكتلة وبارامترات العطالة لكل وصلة.

بوساطة التعريف السابقة، فإن خوارزمية التحليل الديناميكي الخلفي التكراري يمكن تجميعها في جملة المعادلات المصفوفية التالية:

$$V = \Gamma(\theta)V + A\dot{\theta} + V_{base} \quad (9.72)$$

$$\dot{V} = \Gamma(\theta)\dot{V} + A\ddot{\theta} + [Ad_{A\dot{\theta}}](\Gamma(\theta)V + V_{base}) + \dot{V}_{base} \quad (9.73)$$

$$F = \Gamma^T(\theta)F + GV - [Ad_V]^TGV + F_{tip} \quad (9.74)$$

$$\tau = A^TF \quad (9.75)$$

إن المصفوفة  $\Gamma(\theta)$  تتميز بالخاصية التالية  $0 = \Gamma^n(\theta) = (\Gamma(\theta))^n$  (مثلاً هذه المصفوفة يطلق عليها اسم المصفوفة عديمة القراءة أو عديمة القوى Nilpotent من الدرجة  $n$ )، و كنتيجة مستمدة من هذه الخاصية والتي يمكن إثباتها بالحساب المباشر أن  $(\Gamma(\theta) + \dots + \Gamma^{n-1}(\theta))^{-1} = I + \Gamma(\theta) + \dots + \Gamma^{n-1}(\theta)$ . وبتعريف التابع  $L(\theta) = (I - \Gamma(\theta))^{-1}$ ، فإنه يمكن التأكيد من خلال الحساب المباشر أن:

$$L(\theta) = \begin{bmatrix} 0 & 0 & 0 & \cdots & 0 \\ [Ad_{T_{21}}] & I & 0 & \cdots & 0 \\ [Ad_{T_{31}}] & [Ad_{T_{32}}] & I & \cdots & 0 \\ \vdots & \vdots & \vdots & \ddots & \vdots \\ [Ad_{T_{n1}}] & [Ad_{T_{n2}}] & [Ad_{T_{n3}}] & \cdots & I \end{bmatrix} \in \mathbb{R}^{6n \times 6n} \quad (9.76)$$

وقد كتبنا  $L(\theta)$  للتأكيد على أن  $L$  تتعلق بـ  $\theta$ . وبالتالي فإن المعادلات المصفوفية السابقة يمكن الآن كتابتها بالشكل:

$$V = L(\theta)(A\dot{\theta} + V_{base}) \quad (9.77)$$

$$\dot{V} = L(\theta)(A\ddot{\theta} + [Ad_{A\dot{\theta}}]\Gamma(\theta)V + [Ad_{A\dot{\theta}}]V_{base} + \dot{V}_{base}) \quad (9.78)$$

$$F = L^T(\theta)(G\dot{V} - [Ad_V]^TGV + F_{tip}) \quad (9.79)$$

$$\tau = A^T F \quad (9.80)$$

وإذا طبق تلوّ خارجي  $F_{tip}$  على النهاية العاملة للروبوت، فإن هذا التلوّي يمكن إدخاله في المعادلة الديناميكية التالية:

$$\tau = M(\theta)\ddot{\theta} + c(\theta, \dot{\theta}) + g(\theta) + J^T(\theta)F_{tip} \quad (9.81)$$

حيث  $J(\theta)$  هي عبارة عن مصفوفة اليعقوبي الناتجة عن التحليل الكينماتيكي الأمامي والمعبر عنها بالنسبة لنفس جملة المحاور المرجعية التي يتم فيها التعبير عن  $F_{tip}$ ، ويكون:

$$M(\theta) = A^T L^T(\theta) GL(\theta) A \quad (9.82)$$

$$c(\theta, \dot{\theta}) = A^T L^T(\theta)(GL(\theta)[Ad_{A\dot{\theta}}]\Gamma(\theta) - [Ad_V]^T G)L(\theta)A\dot{\theta} \quad (9.83)$$

$$g(\theta) = A^T L^T(\theta) GL(\theta) \dot{V}_{base} \quad (9.84)$$

الحد  $g(\theta)$  يمثل قوى الجاذبية، بينما الحد  $c(\theta, \dot{\theta})$  يمثل القوى الطاردة مركزياً والقوى الناتجة عن تسارع كوريوليس Coriolis. وبمقارنة هذه المعادلات مع صيغة لاغرانج Lagrange الديناميكية، أي:

$$\tau_i = \sum_{j=1}^n m_{ij}(\theta)\ddot{\theta}_j + \sum_{j=1}^n \sum_{k=1}^n \Gamma_{ijk}(\theta)\dot{\theta}_j \dot{\theta}_k + \frac{\partial P}{\partial \theta_i}, \quad i = 1, \dots, n \quad (9.85)$$

حيث  $\Gamma_{ijk}(\theta)$

$$\Gamma_{ijk}(\theta) = \frac{1}{2} \left( \frac{\partial m_{ij}}{\partial \theta_k} + \frac{\partial m_{ik}}{\partial \theta_j} - \frac{\partial m_{jk}}{\partial \theta_i} \right) \quad (9.86)$$

فإننا نجد أن عناصر الحد  $c(\theta, \dot{\theta})$  يمكن تعريفها بالشكل:

$$\sum_{j=1}^n \sum_{k=1}^n \Gamma_{ijk}(\theta) \dot{\theta}_j \dot{\theta}_k$$

كما أن عناصر الحد المتعلق بالجاذبية  $(\theta) g(\theta)$  يمكن تعريفه بـ:

$$\frac{\partial P}{\partial \theta_i}$$

من خلال صيغة نيوتن - أويلر Newton - Euler، فإن المشقات الجزئية الموجودة في الحد  $\Gamma_{ijk}(\theta)$  يمكن استخلاصها مباشرة من المعادلة (9.83) بدون اللجوء إلى عمليات الاشتتاق. وبتعريف المصفوفة  $C(\theta, \dot{\theta}) \in \mathbb{R}^{n \times n}$  بحيث:

$$c_{ij}(\theta, \dot{\theta}) = \sum_{k=1}^n \Gamma_{ijk}(\theta) \dot{\theta}_k = \frac{1}{2} \sum_{k=1}^n \left( \frac{\partial m_{ij}}{\partial \theta_k} + \frac{\partial m_{ik}}{\partial \theta_j} - \frac{\partial m_{jk}}{\partial \theta_i} \right) \dot{\theta}_k \quad (9.87)$$

حيث  $c_{ij}$  تشير إلى العنصر  $(i,j)$  من المصفوفة  $C(\theta, \dot{\theta})$ ، فإنه من الملاحظ أنه يمكن التعبير عن  $c(\theta, \dot{\theta})$  كالتالي:

$$c(\theta, \dot{\theta}) = C(\theta, \dot{\theta}) \dot{\theta} \quad (9.88)$$

المصفوفة  $C(\theta, \dot{\theta})$  تسمى مصفوفة كوريوليس Coriolis Matrix. الخاصية التالية (والتي تسمى بالخاصية السلبية أو اللافاعلية Passivity) تبين أن لمصفوفة كوريوليس Coriolis تأثيرات مهمة في ثبات استقرار بعض قوانين التحكم بالروبوت.

**الخاصية 9.1.** إن المصفوفة  $M(\theta) \in \mathbb{R}^{n \times n}$  هي عبارة عن مصفوفة متتماثلة منحرفة. حيث  $M(\theta) \in \mathbb{R}^{n \times n}$  هي عبارة عن مصفوفة الكثافة، و  $M(\theta)$  هي عبارة عن مشتق هذه المصفوفة، و  $C(\theta, \dot{\theta}) \in \mathbb{R}^{n \times n}$  هي مصفوفة كوريوليس Coriolis المعطاة من خلال المعادلة (9.87).

البرهان: إن العنصر  $(i,j)$  من المصفوفة  $2C - M$  هو:

$$\begin{aligned} \dot{m}_{ij}(\theta) - 2c_{ij}(\theta, \dot{\theta}) &= \sum_{k=1}^n \frac{\partial m_{ij}}{\partial \theta_k} \dot{\theta}_k - \frac{\partial m_{ij}}{\partial \theta_k} \dot{\theta}_k - \frac{\partial m_{ik}}{\partial \theta_j} \dot{\theta}_k + \frac{\partial m_{jk}}{\partial \theta_i} \dot{\theta}_k \\ &= \sum_{k=1}^n \frac{\partial m_{kj}}{\partial \theta_i} \dot{\theta}_k - \frac{\partial m_{ik}}{\partial \theta_j} \dot{\theta}_k \end{aligned}$$

وبالتبديل بين المؤشرات  $i$  و  $j$ ، فإننا نجد:

$$\dot{m}_{ji}(\theta) - 2c_{ji}(\theta, \dot{\theta}) = - (\dot{m}_{ij}(\theta) - 2c_{ij}(\theta, \dot{\theta}))$$

وهذا ما يؤكد أن  $(M - 2C)^T = - (M - 2C)$ ، أي أن المصفوفة هي مصفوفة متتماثلة منحرفة. الخاصية السلبية سنقوم باستخدامها لاحقاً في الفصل المتعلق بالتحكم بالروبوت.

## 9.5. التحليل الديناميكي للأمامي للروبوتات ذات السلسل المفتوحة:

الآن سنقوم بدراسة مسألة التحليل الديناميكي للأمامي لروبوتات السلسلة المفتوحة، حيث نفترض أن مسار عزم الدوران  $(t)\tau$  مع مجموعة الشروط الابتدائية المتعلقة بـ  $\theta$  و  $\dot{\theta}$  معطاة لنا، ويكون الهدف هو إجراء عملية التكامل على المعادلة الديناميكية  $(\ddot{\theta}, \theta) = M(\theta)\theta + b(\theta, \dot{\theta})$  من أجل

الحصول على مسار المفاصل  $(t)$ . والطريقة الرقمية الألسط من أجل إجراء عملية التكامل وذلك من أجل معادلة تفاضلية من الدرجة الأولى  $(q, t) = f(q, t)$  حيث  $q \in R^n$  هي أن نستخدم علاقة أويلر Euler التكرارية:

$$q(t + h) = q(t) + hf(q(t), t)$$

حيث  $h$  هو عبارة عن قيمة عدديّة موجبة تشير إلى الخطوة الزمنية. ويمكن تحويل المعادلة الديناميكية السابقة إلى معادلة تفاضلية من الدرجة الأولى وذلك بالاستفادة من الميزة التي تتص على أن  $M(\theta)$  لها معكوس دائماً، ف يجعل  $\theta = q_1$  و  $q_2 = \theta$ ، فإنه يمكن أن نكتب:

$$\dot{q}_1 = q_2$$

$$\dot{q}_2 = M^{-1}(q_1)(\tau(t) - b(q_1, q_2))$$

وهي معادلة من الشكل  $f(q, t) = q$ . وطريقة أويلر Euler للتكامل من أجل هذه المعادلة إذن تكون من الشكل التالي:

$$q_1(t + h) = q_1(t) + hq_2(t)$$

$$q_2(t + h) = q_2 + h \left( M(q_1(t))^{-1} (\tau(t) - b(q_1(t), q_2(t))) \right)$$

وبإعطاء مجموعة من القيم الابتدائية  $L$   $(q_1(0) = \theta(0), q_2(0) = \theta'(0))$ ، فإن المعادلة أعلاه يمكن تكرارها مع الزمن حتى يتم الحصول رقمياً على مسار الحركة  $\theta(t) = q_1(t)$ .

ونلاحظ أن التكرار السابق يتطلب منا حساب  $M^{-1}(\theta)$ ، ومن العسير والصعب إجراء الحساب لإيجاد معكوس المصفوفة  $M(\theta)$ . ولكن في الحقيقة، فإنه من الممكن مكاملة هذه المعادلات من دون اللجوء لحساب معكوس المصفوفة  $M(\theta)$ . وبالتالي فإن المعادلة الديناميكية التقاربية تكتب بالشكل:

$$M(\theta)\ddot{\theta} = \tau(t) - b(\theta, \dot{\theta}) \quad (9.89)$$

وبجعل  $\theta = 0$  مساوية للصفر في المعادلة (9.89)، فإن المعادلة تصبح  $b(\theta, \dot{\theta}) = \tau(t)$ . ولذلك فإنه وبالقيام بتطبيق خوارزمية التحليل الديناميكي الخلفي بعد جعل  $\theta = 0$  مساوية للصفر وإبقاء كل من  $(\dot{\theta}, \ddot{\theta})$  على قيمهما الحالية، فإنه يمكن تحديد  $(\dot{\theta}, \ddot{\theta})$  بشرط هذا المقدار من القيمة المعطاة  $\tau(t)$  فإننا نحصل على الجانب اليميني من المعادلة (9.89). ولذلك، فإنه من خلال حساب  $M(\theta)$ ، يصبح من السهل الحصول على  $\theta(t)$  كحل للمعادلة الخطية  $Ax = c$ ، حيث  $c = \tau(t) - b(\theta(t), \dot{\theta}(t))$   $A = M(\theta(t)) \in R^{n \times n}$  وهي مصفوفة غير شاذة بالطبع، و هو مقدار معلوم.

وبالتالي فإن مسألة التحليل الديناميكي الأمامي يمكن اختزالها إلى الإجراء الحسابي لإيجاد  $\ddot{\theta}$  وذلك من أجل القيم المعطاة  $\dot{\theta}$  و  $\tau$ . وفي الخوارزمية التالية سنسمح أيضاً باحتمالية وجود قوة فضائية خارجية  $F_{tip}$  مطبقة على الوصلة الأخيرة.

**خوارزمية حساب تسارعات المفاصل – التابع  $:GetJointAccel(\theta, \dot{\theta}, \tau, \tau_{ext})$**

- **المتطلبات الأساسية:** جميع الخوارزميات اللازمة من أجل الحسابات في عملية التحليل الديناميكي الخلفي، ولحساب مصفوفة الكتلة نفترض أنها معلومة لدينا. وأيضاً خوارزمية حل جملة المعادلات الخطية  $c = Ax$  حيث  $A \in \mathbb{R}^{n \times n}$  و  $x \in \mathbb{R}^n$  وهي مصفوفة غير شاذة، وحيث  $c \in \mathbb{R}^n$  معطى لنا.
- **المدخلات:** القيم الحالية  $\dot{\theta}$  و  $\tau$ ، وعزم الدوران المقدم  $\tau$ . وإذا كان هناك وجود لقوة فضائية خارجية معطاة  $F_{tip}$ ، فإننا نستخدم العلاقة الستاتيكية التي تربط القوة بالعزم والمعطاة بالشكل  $\tau_{ext} = J^T F_{tip}$ ، حيث مصفوفة اليعقوبي  $J(\theta)$  والقوة  $F_{tip}$  يتم التعبير عندهما في نفس جملة المحاور المرجعية.
- **المخرجات:** تسارع المفاصل  $\ddot{\theta}$ .
- **التهيئة:** تعين متغيرات مخزنة بشكل مؤقت لكل من  $A \in \mathbb{R}^{n \times n}$ ،  $c \in \mathbb{R}^n$ ،  $\gamma$ ، و  $\tau$ .
- **إجراء التحليل الديناميكي الخلفي:** إجراء عملية التحليل الديناميكي الخلفي من أجل قيم كل من  $\dot{\theta}$  و  $\tau$  الحالية المعطاة، ونجعل  $\ddot{\theta}$  مساوية للصفر، ونقوم بتخزين مخرجات عزوم الدوران في  $\gamma$ ، ومن ثم نجعل  $\tau_{ext} = \gamma - \tau$ .
- **حساب مصفوفة الكتلة:** نقوم بحساب مصفوفة الكتلة من أجل القيم المعطاة  $\dot{\theta}$ ، ونقوم بتخزين الناتج في  $A$ .
- **حساب تسارعات المفاصل:** نقوم بحل جملة المعادلات الخطية  $c = Ax$  ونوجد قيم  $x$ ، وقيم  $x$  هي عبارة عن تسارعات المفاصل  $\ddot{\theta}$ .

باستخدام الخوارزمية السابقة من أجل حساب تسارعات المفاصل، فإن العديد من الطرق الرقيمية المستخدمة في إجراء عملية المتكاملة عند التحليل الديناميكي الأمامي يمكن تنفيذها، وفيما يلي نقدم الخوارزمية المتعلقة بطريقة أويلر Euler البسيطة والتي شرحناها سابقاً:

**خوارزمية طريقة أويلر Euler للتكامل المستخدمة في التحليل الديناميكي الأمامي:**

- **المتطلبات الأساسية:** التابع  $:GetJointAccel(\theta, \dot{\theta}, \tau, \tau_{ext})$  مطلوب.
- **المدخلات:** الشروط الابتدائية  $(\theta(0), \dot{\theta}(0))$  و  $\tau(t)$ ، مدخلات عزوم الدوران  $\tau(t)$  وعزم الدوران المطبق  $\tau_{ext}$  حيث  $t \in [0, tf]$ ، وخطوة المتكاملة الزمنية  $h > 0$ .
- **المخرجات:** مسار متغيرات المفاصل  $\theta[k] = \theta(hk)$  حيث  $k = 0, \dots, N$ .

- التهيئة: نجعل  $N = tf/h$

- مرحلة التكرار: من أجل  $1 \leq K \leq N$ , نقوم بمايلي:

$$\ddot{\theta}[k] = GetJointAccel(\theta[k], \dot{\theta}[k], \tau[k], \tau_{ext}[k])$$

$$\theta[k+1] = \theta[k] + h\dot{\theta}[k]$$

$$\dot{\theta}[k+1] = \dot{\theta}[k] + h\ddot{\theta}[k]$$

- مسار متغيرات المفاصل:  $\theta[k] = \theta(hk)$ , حيث  $k = 0, \dots, N$ .

## 9.6. التحليل الديناميكي في إحداثيات فضاء المهمة (أو فضاء العمل):

في هذه الفقرة سوف نقوم بدراسة كيفية تغيير المعادلات الديناميكية نتيجة التحويل إلى التمثيل بإحداثيات جملة محاور النهاية العاملة (إحداثيات فضاء المهمة). ولنجعل الأمور أكثر بساطة فإننا سنقوم بدراسة روبوت ذي سلسلة مفتوحة ويمتلك ست درجات من الحرية وله المعادلة الديناميكية التالية:

$$\tau = M(\theta)\ddot{\theta} + b(\theta, \dot{\theta}), \quad \theta \in \mathbb{R}^n, \tau \in \mathbb{R}^n \quad (9.90)$$

وسنقوم في الوقت الحالي بإهمال تأثير أية قوة فضائية يمكن تطبيقها. ونحن نعلم أن السرعة الفضائية  $V = (\omega, v)$  للنهاية العاملة للروبوت تتبع سرعة المفاصل  $\dot{\theta}$  من خلال العلاقة:

$$V = J(\theta)\dot{\theta} \quad (9.91)$$

مع الأخذ بعين الاعتبار أن كلاً من  $V$  و  $J(\theta)$  يتم التعبير عنهما بالنسبة لنفس جملة المحاور المرجعية. وبالتالي فإن المشتق بالنسبة للزمن  $\dot{V}$  يعطى بالعلاقة:

$$\dot{V} = J(\theta)\dot{\theta} + J(\theta)\ddot{\theta} \quad (9.92)$$

وعند الهيئة الموافقة لـ  $\dot{\theta}$  بحيث يكون لمصفوفة اليعقوبي  $J(\theta)$  معكوس، فإننا نجد:

$$\dot{\theta} = J^{-1}V \quad (9.93)$$

$$\ddot{\theta} = J^{-1}\dot{V} - J^{-1}J\dot{J}^{-1}V \quad (9.94)$$

الحد الثاني في المعادلة (9.94) يمكن استنتاجه عن طريق الخاصية التالية:

$$\frac{d}{dt}(A^{-1}A) = \frac{d}{dt}A^{-1} \cdot A + A^{-1} \cdot \frac{d}{dt}A$$

وذلك من أجل أية مصفوفة  $A(t)$  قابلة للاشتباك ولها معكوس. وبالتعويض في المعادلة (9.90) بدلاً عن  $\dot{\theta}$  و  $\ddot{\theta}$  نجد:

$$\tau = M(J^{-1}\dot{V} - J^{-1}\dot{J}J^{-1}V) + J^{-T}b(\theta, \dot{\theta}) \quad (9.95)$$

حيث  $J^{-1} = J^T$ ، وبضرب جانبي المعادلة من جهة اليسار بـ  $J^T$  نحصل على:

$$J^{-T}\tau = J^{-T}MJ^{-1}\dot{V} - J^{-T}MJ^{-1}\dot{J}J^{-1}V + J^{-T}b(\theta, J^{-1}V) \quad (9.96)$$

وبما أن  $\tau^T$  هي عبارة عن القوة الفضائية  $F$ ، فإن المعادلة أعلاه يمكن كتابتها بالشكل:

$$F = \Lambda(\theta)\dot{V} + \eta(\theta, V) \quad (9.97)$$

حيث:

$$\Lambda(\theta) = J^{-T}M(\theta)J^{-1} \quad (9.98)$$

$$\eta(\theta, V) = J^{-T}b(\theta, J^{-1}V) - \Lambda\dot{J}J^{-1}V \quad (9.99)$$

وهذه هي المعادلات الديناميكية بحيث يتم التعبير عنها في جملة محاور النهاية العاملة. وفي حال تطبيق قوة فضائية خارجية  $F$  على جملة محاور النهاية العاملة، فإننا نفترض أن عزوم الدوران للمفاصل مساوية للصفر، وبالتالي فإنه يتم التحكم بحركة جملة محاور النهاية العاملة من خلال هذه المعادلات. ونلاحظ أن هناك علاقة بين  $\theta$  وكل من  $\Lambda(\theta)$  و  $\eta(\theta, V)$ . ونحن نعلم من خلال التحليل الكينماتيكي الخلفي أن  $(X^{-1})^T = \theta$ ، وبالتالي فإنه يمكن الحصول على المعادلة التفاضلية بدلاله انتياح جملة محاور النهاية العاملة  $(SE(3) \in X)$  والسرعة الفضائية  $V$ . وبصورة خاصة، وبما أن  $X$  عادة ما يتم الحصول عليها من خلال معرفة متغيرات المفاصل  $\theta$  وتعويضها في معادلات التمثيل الكينماتيكي الأمامي، فإنه من المفضل أن نترك هذا الارتباط المعتمد على  $\theta$ .

## الفصل العاشر

### التحكم بالروبوت

## Robot Control

يمكن لذراع الروبوت أن يبدي العديد من السلوكيات المختلفة، وذلك استناداً إلى نوع المهمة الموكلة إليه وإلى طبيعة البيئة المحيطة به. ويمكنه القيام بالأعمال على أنه مصدر للحركات المبرمجة والتي تسمح له بتنفيذ المهامات كنقل أو تحرك الجسم من مكان لآخر، أو تتبع لمسار ما تسير وفقه أداة بخ الدهان مثلاً. ويمكن لذراع الروبوت أيضاً أن يقوم بالأعمال على أنه مصدر للقوة، كما هو الحال عند توجيهه دولاب الصقل نحو المشغولة بهدف صقل سطوحها فإنه يلزم هنا تطبيق قوة ما لتنفيذ هذه المهمة. وفي بعض المهامات كالكتابة على اللوح باستخدام الطبشور، فإنه يجب أن يتم التحكم بالقوى في بعض الاتجاهات (القوة تقوم بضغط الطبشور باتجاه اللوح) وكذلك الحركات في اتجاهات أخرى (الحركة على المستوى الذي يمثله اللوح). وعندما تكون الغاية من استخدام الروبوت هي القيام بالأعمال عن طريق اللمس، أو إجراء محاكاة لبيئة افتراضية، فقد يكون مرادنا منه أن يقوم بالعمل على أنه نابض أو محمد أو كتلة تخضع و تستجيب للقوى المطبقة عليه.

وفي كل حالة من هذه الحالات، تكون وظيفة المتحكم بالروبوت Robot Controller هي تحويل خصائص المهمة الموكلة إلى الروبوت إلى قوى وعزوم يتم تطبيقها من قبل المحركات. وتعرف استراتيجيات التحكم المتتبعة من أجل تحقيق هذه السلوكيات التي تكلمنا عنها باسم التحكم بالحركة (أو الموقع) Motion Control، أو التحكم بالقوة Force Control، أو التحكم المهجين بالقوة والحركة Hybird Motion - Force Control، أو التحكم بالمقاومة Imprudence Control. ومعرفة أي من هذه السلوكيات هو الأنسب تعتمد على كل من نوع المهمة وطبيعة البيئة المحيطة بها. فعلى سبيل المثال، يكون الهدف من التحكم بالقوة ذا معنى عندما تكون النهاية العاملة للروبوت على تماส مع شيء ما، ويكون من غير المفيد استخدام هذا النوع من التحكم عندما تتحرك النهاية العاملة بشكل حر في الفضاء. ومن الجدير بالذكر أن ننوه بأن هناك أيضاً مقيداً أساسياً يفرض نفسه من الناحية الميكانيكية بغض النظر عن التواهي البيئية، حيث إنه من غير الممكن أن يتم التحكم بالحركة والقوة بشكل مستقل عن الآخر. وإذا كانت مهمة الروبوت هي تنفيذ حركة ما، فإن طبيعة البيئة المحيطة به هي التي ستحدد القوة، والعكس بالعكس.

وعندما يتم اختيار نوع التحكم بما يتناسب مع نوع المهمة وطبيعة البيئة المحيطة، فإنه يوجد العديد من الطرق من أجل تحقيق ذلك: التحكم عن طريق التغذية الراجعة (الخلفية) Feedback Control، والذي يستخدم حساسات الموضع والسرعة والقوة لقياس السلوك الفعلي للروبوت، ومن ثم مقارنة هذا السلوك بالسلوك المطلوب تحقيقه، وبعد ذلك تعديل إشارات التحكم المرسلة إلى المحركات. التحكم عن طريق التغذية الراجعة يستخدم تقريباً في جميع أنظمة الروبوتات. ويستخدم في عملية التحكم عن طريق التغذية الأمامية Feedforward Control نموذج التمثيل

الдинاميكي للروبوت بالإضافة إلى العوامل البيئية المحيطة به من أجل تحديد إشارات المحركات والتي تحقق التغير المطلوب في الحالة. وبسبب الاحتمال الكبير لوجود الأخطاء في عملية النمذجة الديناميكية، فإن التحكم عن طريق التغذية الأمامية هو نادر الاستخدام بشكل منفرد، ولكن هو غالباً ما يستخدم بشكل مقترب مع التحكم عن طريق التغذية الراجعة. إن إستراتيجيات التحكم المتكامل تتضمن ما يسمى بالتحكم التأقلمي Adaptive Control، والذي يقوم وبشكل مستمر بتقدير الخصائص الديناميكية للنظام من أجل تحسين الأداء. وتتضمن أيضاً ما يسمى بالتحكم المتنين Robust Control والذي يستخدم من أجل ضمان البقاء عند مستوى معين من الأداء في وجه أية تغيرات ديناميكية غير متوقعة للنظام. إستراتيجيات التحكم المتكامل تتضمن أيضاً ما يسمى بالتحكم عن طريق التعلم المتكرر Iterative Learning Control، وذلك من أجل المهام المتكررة باستمرار، حيث تستخدم الأخطاء الناجمة عن التنفيذ السابق للمهمة من أجل توليد أنظمة التحكم المناسبة عن طريق التغذية الأمامية في حال التكرار المستقبلي للمهمة نفسها.

في هذا الفصل سنقوم بالتركيز على التحكم عن طريق التغذية الراجعة والتحكم عن طريق التغذية الأمامية وذلك من أجل التحكم بالحركة، والتحكم بالقوة، والتحكم الهجين بالحركة والقوة، والتحكم بالمقاومة.

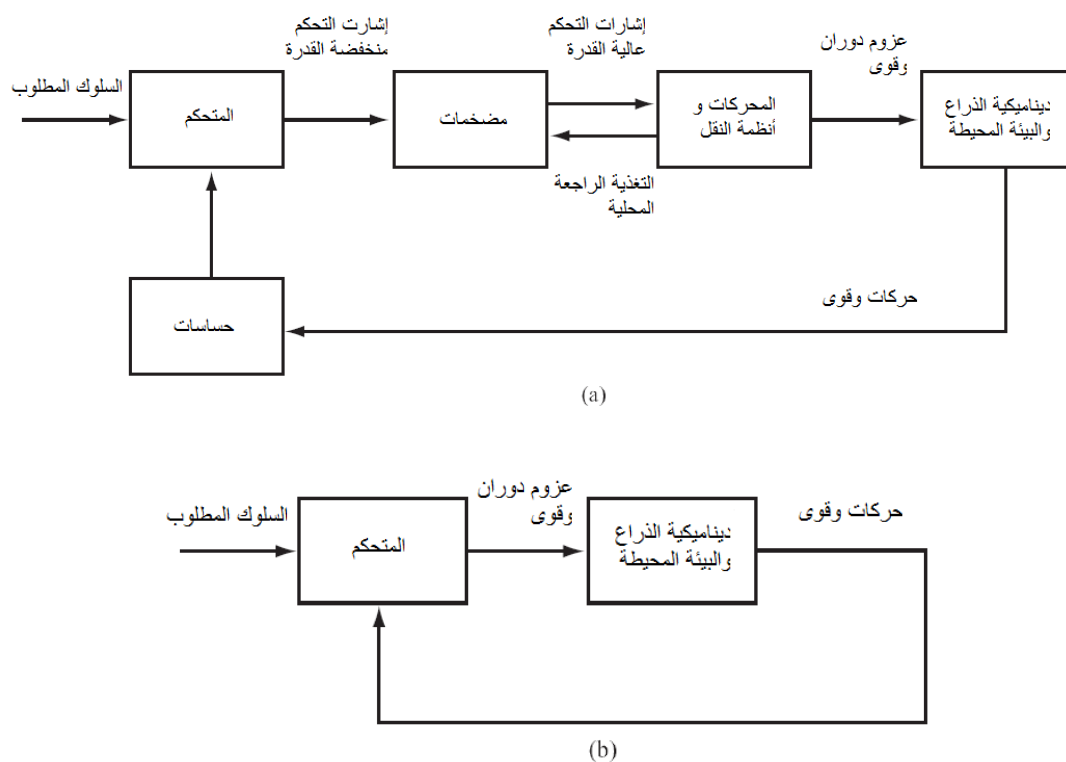
## 10.1. لمحة عامة عن أنظمة التحكم:

الشكل (10.1 (a)) يظهر مخططاً صندوقياً لنظام التحكم القياسي. إن المتحكم عادة Controller ما يكون عبارة عن جهاز حاسوبي أو متحكم صغرى Microcontroller. وتكون الحساسات المستخدمة بشكل عام مصنفة إلى مقاييس الجهد Potentiometers، وعدادات لمعرفة عدد الدورات Encoders، وحساسات من أجل قياس زاوية الدوران (الموقع) Resolvers، ومقاييس سرعة الدوران (التاكومتر) Tachometer من أجل تحسين السرعة عند المفاصل، ومقاييس الانفعالات، وحساسات القوة والعزم، وأو حساسات القوة - العزم المتعددة المحاور والتي تتوضع غالباً في منطقة المعصم بين نهاية الذراع الروبوتي والنهاية العاملة للروبوت. تقوم أنظمة التحكم بمعاينة الحساسات وتحديث إشاراتها التحكمية وإرسالها إلى العناصر المحركة بمعدل يتراوح من مئات إلى بضعة آلاف هيرتز Hz. وفي معظم التطبيقات الروبوتية، تعد المعدلات العالية لتحديث إشارات التحكم ذات فائدة محدودة، ويتم ربطها بمقيدات زمنية تتعلق بالمميزات الديناميكية للروبوت وبالبيئة المحيطة به. وفي دراستنا لمتحكمات الروبوت في هذا الفصل سوف نقوم بمعالجة وتحليل المتحكمات على أنها تقوم ب مهمتها بزمن مستمر (ليس بزمن مقطعي، أي أن معاينة الإشارة تتم بشكل مستمر مع الزمن بدون وجود فواصل زمنية).

وحيث أن مقاييس سرعات الدوران يمكن أن تستخدم لتحسين السرعات بشكل مباشر، فإن المنهجية الشائعة عند استخدام هذه المقاييس هي استخدام فلتر رقمي Digital Filter من أجل التفريغ رقمياً بين إشارات الموقع (الدوران) عند الخطوات الزمنية المتعاقبة.

ويمكن أن تكون العناصر المحركة في أنظمة التحكم عبارة عن محركات كهربائية تعمل بالتيار المستمر DC - Direct Current، أو محركات كهربائية تعمل بالتيار المتناوب Alternative

Current - AC، أو محركات هيدروليكيه Hydraulic، أو محركات نيوناتيكية (تعمل بالهواء المضغوط) Pneumatic، وإضافة إلى العديد من الأنواع الأخرى من المحركات. عادة ما يتم استخدام المسننات Gears والعديد من أنظمة النقل الأخرى من أجل تقليل السرعة وزيادة قوة عزم المحرك. وتكون المحركات الكهربائية مقرنة بمضخمات القدرة Power Amplifier والتي تقوم بتحويل الإشارات من نظام التحكم إلى تيار ذات شدة عالية من أجل قيادة المحرك. أنظمة التغذية الراجعة المحلية Local Feedback لتيار المحرك أو عزم الدوران للمفصل يمكن أن تستخدم في حلقات التحكم الداخلي من أجل تحقيق القوى وعزوم الدوران المطلوبة.



الشكل 10.1: (a) نظام التحكم بالروبوت القياسي. حلقة التحكم الداخلية يمكن أن تستخدم لمساعدة المضخم والمحرك من أجل تحقيق القوة وعزوم الدوران المطلوبين. فعلى سبيل المثال، فإن المضخم في محركات التيار المستمر DC في طور التحكم بعزم الدوران يمكن أن يتحسس للتيار الفعلي المتذبذب والمدار عبر المحرك ومن ثم يقوم بالتحكم به محلياً من أجل الحصول على التيار المطلوب بصورة أفضل، وذلك بسبب كون التيار يتتناسب مع عزم الدوران المتولد عن المحرك. (b) النموذج البسيط مع فرضية كون مثالية الحساسات، وكتلة المتحكم الذي يقوم بتوليد القوى وعزوم الدوران بصورة مباشرة. وهذا المخطط يظهر السلوك المثالي للمضخم والمحرك في الشكل (a).

وكل مفصل في الروبوت، سنقوم بدمج مجموعة (مضخم القدرة والعنصر المحرك ونظام النقل) مع بعضها البعض ونتعامل معها على أنها محول يقوم بتحويل إشارات التحكم المنخفضة القدرة إلى قوى وعزوم دوران. وهذا الافتراض، جنباً إلى جنب مع فرضية مثالية الحساسات، سيسماح لنا بتبسيط المخطط الصنديقى لنظام التحكم إلى المخطط المبين في الشكل (10.1 (b)), حيث يقوم المتحكم في هذه الحالة بتوليد القوى وعزوم الدوران بشكل مباشر.

إن أنظمة الروبوتات الحقيقية تخضع لتأثير المرونة والاهتزازات في مفاصلها ووصلاتها، إضافة إلى ما يسمى بالبالكلاش Backlash وذلك في أنظمة النقل التي تعتمد على المسننات. كما أنها تخضع لحدود إشباع المحرك Actuator Saturation Limits، وحدود دقة الحساسات. وتعد هذه القضايا مهمة في التصميم والتحكم بالروبوتات، ولكنها خارج نطاق بحثنا في هذا الفصل.

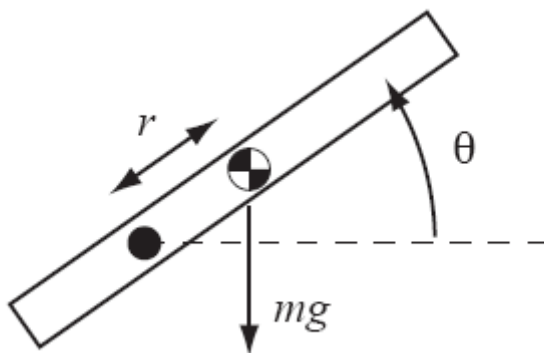
## 10.2. التحكم بالحركة :Motion Control

بشكل عام، تعتبر مهمة التحكم بالحركة عبارة عن كيفية جعل النهاية العاملة للروبوت تتبع المسار المطلوب منها. وكما نعلم، فإنه إذا كان الروبوت فائضاً حركياً، فسيكون لدينا أكثر من مجموعة واحدة للحلول لمتغيرات المفاصل والتي تجعل النهاية العاملة للروبوت تتبع المسار المحدد. وسوف نبدأ بدراسة التحكم بالحركة مفترضين أن التمثيل الكينماتيكي الخلفي للروبوت والتمثيل التقاضي الخلفي له يخضعان فقط لجملة وحيدة فقط من الحلول لمتغيرات المفاصل على شكل تابع بالنسبة للزمن. والهدف من هذه الدراسة هو معرفة كيفية بناء المتحكمات التي تقود الروبوت بحيث يتبع مساراً محدداً في فضاء المفاصل. وستتم دراسة الحالة التي يكون فيه المسار معبراً عنه في فضاء المهمة في الفقرة (10.2.3).

وهذه الأفكار يمكن توضيحها بصورة جيدة باستخدام نموذج الروبوت المكون من مفصل واحد، ولذلك سوف نبدأ بهذا الروبوت ثم نقوم بتعزيز الدراسة على الروبوتات المتعددة المفاصل.

### 10.2.1. التحكم بحركة روبوت ذي مفصل واحد:

لنفترض أن لدينا محركاً واحداً بحيث يكون مربوطاً مع وصلة واحدة كما في الشكل (10.2). ولتكن  $\tau$  هي عبارة عن عزم الدوران للمحرك، و  $\theta$  هي زاوية الوصلة. وبالتالي فإن التمثيل الديناميكي لهذه الوصلة يمكن كتابته بالشكل:



الشكل 10.2: روبوت ذو مفصل واحد يدور في حقل الجاذبية الأرضية.

$$\tau = M\ddot{\theta} + mgr \cos \theta \quad (10.1)$$

حيث  $M$  تمثل عطلة الوصلة حول محور الدوران، و  $m$  هي كتلة الوصلة، و  $r$  هي المسافة من محور الدوران حتى مركز الكتلة للوصلة، و  $0 \leq g$  هي عبارة عن تسارع الجاذبية الأرضية.

وفقاً للتمثيل الديناميكي المعبر عنه بالمعادلة (10.1)، فمن الملاحظ أنه ليس هناك أي تبديد للطاقة: فإذا تم تدوير الوصلة ومن ثم جعلت  $\dot{\theta} = 0$ ، فإن هذه الوصلة سوف تدور للأبد. وهذا الأمر ليس واقعياً بالطبع، حيث يوجد هناك تأثير لاحتكاك Friction في الأنواع المختلفة من المحامل (Bearings) والمسننات وفي أنظمة نقل الحركة بشكل عام. ونمذجة تأثير الاحتكاك هو بحد ذاته مجال بحث مفتوح ومعقد، ولكن يوجد هناك نموذج بسيط من أجل تمثيل تأثير الاحتكاك الدوراني، وهو الاحتكاك اللزج Viscous Friction والذي يعطى بالعلاقة:

$$\tau_{\text{fric}} = b\dot{\theta} \quad (10.2)$$

حيث  $b > 0$ . وبإضافة عزم الاحتكاك الآن فإن التمثيل الديناميكي السابق يصبح بالشكل:

$$\tau = M\ddot{\theta} + mgr \cos \theta + b\dot{\theta} \quad (10.3)$$

والذي يمكن كتابته بشكل مختصر أكثر كالتالي:

$$\tau = M\ddot{\theta} + h(\theta, \dot{\theta}) \quad (10.4)$$

حيث  $h$  تشمل كافة الحدود المتعلقة بالحالة الحركية، ولا تشمل الحدود المتعلقة بالحالة التحريرية (أي لا تتعلق بالتسارع).

وبصورة تطبيقية لهذا التمثيل، فإنه يمكن أن نجعل كل من المعطيات التالية  $M = 0.5 \text{ kgm}^2$ ، و  $m = 1 \text{ kg}$ ، و  $r = 0.1 \text{ m}$ ، و  $b = 0.1 \text{ Nms/rad}$ . وفي بعض الأمثلة، تتحرك الوصلة في المستوى الأفقي، وبالتالي  $g = 0$ . وفي أمثلة أخرى، فإن الوصلة يمكن أن تتحرك في المستوى الشاقولي، وبالتالي  $g = 9.81 \text{ m/s}^2$ .

### 10.2.1.1 التحكم عن طريق التغذية الراجعة - المتحكم PID :

إن الخوارزمية الأكثر سيعواً في عملية التحكم عن طريق التغذية الراجعة هي خوارزمية التحكم باستخدام PID (Proportional - Integral - Derivative) أي التحكم (التناسبي - التكاملي - التفاضلي). وبتعريف الخطأ الحاصل بين الزاوية المطلوبة  $\theta_d$  والزاوية الفعلية  $\theta$  كالتالي:

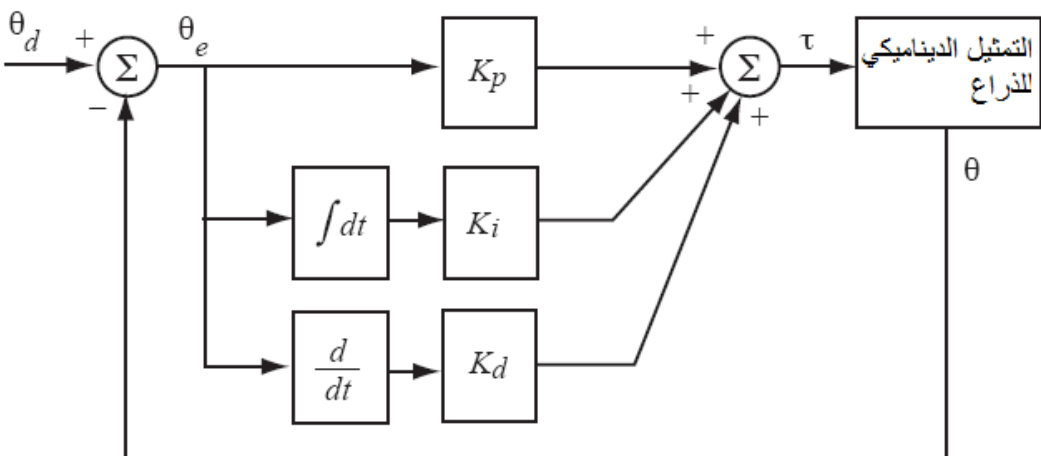
$$\theta_e = \theta_d - \theta \quad (10.5)$$

فإن المتحكم PID ببساطة هو:

$$\tau = K_p \theta_e + K_i \int \theta_e(t) dt + K_d \dot{\theta} \quad (10.6)$$

حيث  $K_p$  و  $K_d$  تمثل قيم أرباح التحكم Control Gains وهي قيم غير سالبة. إن الربح التناسبي Proportional Gain يرمز له بـ  $K_p$ ، يقوم بدور نابض وهمي والذي يحاول

تقليل الخطأ في الموقع  $\theta - \theta_d$ ، والربح التفاضلي Derivative Gain، ويرمز له بـ  $K_d$ ، يمثل دور المحمد Damper الذي يحاول تقليل الخطأ في السرعة  $\dot{\theta} - \dot{\theta}_d$ . والربح التكاملی Integral Gain، ويرمز له بـ  $K_i$ ، يستخدم من أجل إلغاء أخطاء الحالة المستقرة Steady State للنظام وذلك عندما يكون المفصل في وضع الراحة Rest (والمقصود بموضع الراحة أي الوضع الذي تتعدم فيه الحركة حيث يكون كل من السرعة والتسارع معدومين). انظر المخطط الصندوقى الموضح بالشكل (10.3).



الشكل 10.3: المخطط الصندوقى للمتحكم عن المتحكم PID.

في الوقت الراهن لفترض الحالة حيث يكون  $\dot{\theta} = 0$ . وعند ذلك فإن المتحكم يتتحول من النمط PID إلى النمط PD. (وبنفس الطريقة يمكننا أن نعرف المتحكمات PI و P و I و D و I و D وذلك بجعل الأرباح الأخرى مساوية للصفر. والمتحكمات PD و PI هي المتحكمات الأكثر انتشاراً والمشتقة من المتحكم PID). ولفترض أيضاً أن الروبوت يتحرك في المستوى الأفقي، وبالتالي فإن  $\ddot{\theta} = 0$ . وبتطبيق قانون التحكم المتمثل بالمعادلة (10.6) على المعادلة الديناميكية (10.3)، فإننا نجد:

$$M\ddot{\theta} + b\dot{\theta} = K_p(\theta_d - \theta) + K_d(\dot{\theta}_d - \dot{\theta}) \quad (10.7)$$

إذا كان الهدف هو الوصول لحالة الاستقرار عند قيمة ثابتة  $\theta_d$ ، وبالتالي فإن السرعة والتسارع عند هذه الزاوية ستكون مساوية للصفر. وهذا ما يسمى بالتحكم باستخدام الضبط النقطي Setpoint Control حيث نجد أن:

$$\theta_e = \theta_d - \theta , \quad \dot{\theta}_e = -\dot{\theta} , \quad \ddot{\theta}_e = -\ddot{\theta}$$

وبالتالي فإن المعادلة (10.7) يمكن أن تكتب بشكل يصف الخطأ الديناميكى في المحمد المكون من جملة الكتلة - النابض:

$$M\ddot{\theta}_e + (b + K_d)\dot{\theta}_e + K_p\theta_e = 0 \quad (10.8)$$

**الاستقرار Stability:** إن الأخطاء الديناميكية، كالمعبر عنها بالمعادلة (10.8)، هي موضوع مهم عند دراسة أنظمة التحكم. وإن متطلبات نظام التحكم تقتضي على الأقل أن تكون الأخطاء الديناميكية ثابتة أو مستقرة، أي أن الأخطاء الابتدائية يجب أن تسعى إلى الصفر بشكل أسي مع الزمن. وتكون المعادلة التفاضلية الخطية المتتجانسة العادية من الشكل:

$$a_n \theta_e^{(n)} + a_{n-1} \theta_e^{(n-1)} + \dots + a_2 \ddot{\theta}_e + a_1 \dot{\theta}_e + a_0 \theta_e = 0$$

مستقرة إذا وفقط إذا كانت جميع الجذور المعقودة  $s_1, \dots, s_n$  لمعادلتها التشخيصية:

$$a_n s^n + a_{n-1} s^{n-1} + \dots + a_2 s^2 + a_1 s + a_0 = 0$$

لها مركبات حقيقة أقل من الصفر، أي  $\operatorname{Re}(s_i) < 0$  من أجل جميع  $i = 1, \dots, n$ . وبغض النظر عن درجة المعادلة الديناميكية فإن هناك شرط ضروري من أجل تحقيق الاستقرار، وهو أن يكون  $a_i > 0$ . وهذا الشرط هو شرط كافٍ من أجل المعادلات الديناميكية من الدرجة الثانية كالمعادلة (10.8). ومن أجل المعادلات الديناميكية من الدرجة الثالثة، فمن المطلوب أيضاً أن يتحقق  $a_2 a_1 > a_3 a_0$ .

**المتحكم PD ومعادلة الخطأ الديناميكي من الدرجة الثانية:** لدراسة معادلة الخطأ الديناميكي من الدرجة الثانية، كالمعادلة (10.8)، بصورة أكثر انصباطاً، فإننا سنفترض أن الاستقرار محقق وسنعيد كتابة المعادلة بشكلها القياسي ذي الدرجة الثانية:

$$\ddot{\theta}_e + \frac{b + K_d}{M} \dot{\theta}_e + \frac{K_p}{M} \theta_e = 0 \rightarrow \ddot{\theta}_e + 2\zeta \omega_n \dot{\theta}_e + \omega_n^2 \theta_e = 0 \quad (10.9)$$

حيث نسبة التخميد  $\zeta$  Natural Frequency  $\omega_n$  والتواتر الطبيعي Damping Ratio هما:

$$\zeta = \frac{b + K_d}{2\sqrt{K_p M}}, \quad \omega_n = \sqrt{\frac{K_p}{M}}$$

وبالتالي فإن المعادلة التشخيصية للمعادلة (10.9) هي:

$$s^2 + 2\zeta \omega_n s + \omega_n^2 = 0 \quad (10.10)$$

ويكون جذراها المعدان:

$$s_{1,2} = -\zeta \omega_n \pm \omega_n \sqrt{\zeta^2 - 1}$$

إن هناك ثلاثة أنواع من الحلول للمعادلة التفاضلية (10.9)، وهذه الحلول تعتمد على كون الجذريين  $s_{1,2}$  حقيقيين وغير متساوين ( $\zeta > 1$ ), أو حقيقيين ومتساوين ( $\zeta = 1$ ), أو كونهما جذريين متعديين ( $\zeta < 1$ ):

- **التخادم الفائض Overdamped:** وذلك عندما يكون  $\zeta < 1$ . وبالتالي فإن الجذور  $s_{1,2}$  تكون حقيقية ومختلفة، والحل يكون بالشكل:

$$\theta_e(t) = c_1 \exp(s_1 t) + c_2 \exp(s_2 t)$$

حيث كل من  $c_1$  و  $c_2$  يعتمدان على الشروط الابتدائية. وستكون الاستجابة مساوية لمجموع حدي التخادم الأسنيان، مع الثابتين الزمنيين  $s_{1,2} = -\zeta/\omega_n$ ، حيث الثابت الزمني هو الزمن الذي يتطلبه الحد الأسني لكي يتخادم بنسبة 37% من القيمة الأصلية. وثابت الزمن "الأبطأ" في الحل يعطى من خلال الجذر السالب الأصغر، أي:

$$s_1 = -\zeta\omega_n - \omega_n\sqrt{\zeta^2 - 1}$$

- التخادم الحر (أو الحدي) Critically Damped: وذلك عندما يكون  $\zeta = 1$ . والجذران سيكونان في هذه الحالة  $s_{1,2} = -\zeta\omega_n$ ، أي أنهما متساويان حقيقيان، والحل بالتالي يكون:

$$\theta_e(t) = \exp(-\zeta\omega_n t) (c_1 + c_2 t)$$

أي أن حد التخادم الأسني مضروب بتابع خطى بالنسبة للزمن. والثابت الزمني لحد التخادم الأسني هو  $\tau = 1/(\zeta\omega_n)$ .

- التخادم الناقص Underdamped: وذلك عندما يكون  $\zeta < 1$ . وبالتالي فإن الجذرين  $s_{1,2}$  هما جذران معقدان يعطيان بالشكل:

$$s_{1,2} = -\zeta\omega_n \pm \omega_d, \quad \omega_d = \omega_n\sqrt{1 - \zeta^2}$$

حيث  $\omega_d$  هي عبارة عن التواتر المتخادم الطبيعي Damped Natural Frequency. والحل يكون:

$$\theta_e(t) = \exp(-\zeta\omega_n t) (c_1 \cos(\omega_d t) + c_2 \sin(\omega_d t))$$

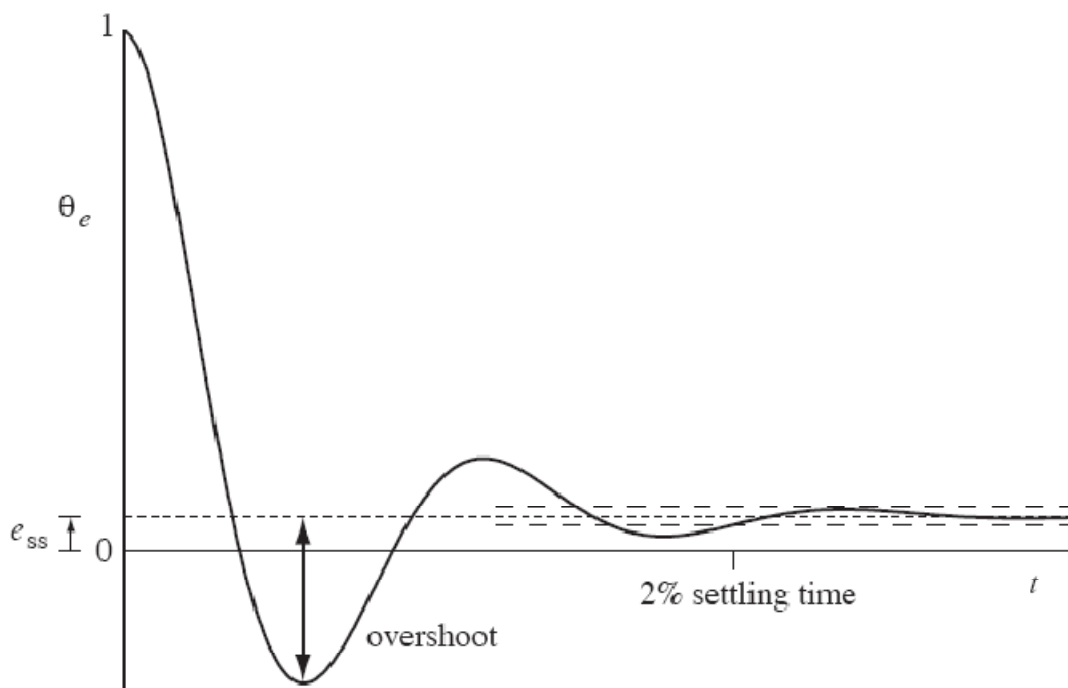
وهذا يعني أن حد التخادم الأسني مضروب بحد جيري Sinusoid.

ولمعرفة كيفية تطبيق هذه الحلول، لفترض أن الوصلة هي في الأصل في وضع الراحة عند الزاوية  $\theta_e(0) = 0$ . وعند الزمن  $t = 0$ ، تغير الموقع المطلوب فجأة من  $0$  إلى  $\theta_d$ . وهذا ما يسمى بمدخل الخطوة Step Input والحركة الناتجة عن ذلك  $\theta_e(t)$  تسمى باستجابة النظام Step Response. واهتمامنا الآن هو تحديد خط الاستجابة  $\theta_e(t)$ . ويمكن إيجاد الحلول  $c_{1,2}$  في الحلول الموقعة وذلك بجعل  $1 = \theta_e(0)$  (أي أن الخطأ أصبح مساوياً للواحد مباشرة) و  $0 = \dot{\theta}_e(0)$  (كل من  $0$  و  $0$  متساويان للصفر).

ويمكن توصيف خط الاستجابة من خلال ما يسمى بالاستجابة العابرة Transient Response واستجابة الحالة المستقرة Steady - State Response (الشكل 10.4)). إن استجابة الحالة المستقرة يمكن تشخيصها من خلال ما يعرف بخط الاستجابة  $\theta_e(t)$  عندما  $t \rightarrow \infty$ . ومن أجل والذي يشار له بالرمز  $e_{ss}$ ، وهو الخط الناتج عن مقاربة التابع  $\theta_e(t)$  عندما  $t \rightarrow \infty$ . ووصلة تعمل في حقل جاذبية معادلة (أو وصلة تعمل في المستوى الأفقي) مع وجود متحكم PD

مستقر ، فإن  $e_{ss} = 0$ . ويمكن تشخيص الاستجابة العابرة من خلال ما يسمى بالتجاوز أو التخطي Overshoot عندما يصبح مساوياً لـ 2% من زمن الاستقرار Settling Time. والזמן الموافق لمقدار الاستقرار 2% هو أول زمن T يكون فيه  $|e_e(t) - e_{ss}| \leq 0.02(1 - e_{ss})$  من أجل أي زمن  $t \geq T$ ، وهو يساوي بشكل تقريري  $-4\tau$ ، حيث  $\tau$  هو ثابت الزمن الأبطأ في الحل. ويمكن تعريف التجاوز أو التخطي بالشكل:

$$\text{Overshoot} = \left| \frac{\theta_{e,\min} - e_{ss}}{1 - e_{ss}} \right| \times 100\%$$



الشكل 10.4: خط الاستجابة لمدخل الخطوة من أجل التخميد الناقص لنظام ديناميكي من الدرجة الثانية، ويوضح الشكل خطأ الحالة المستقرة  $e_{ss}$ ، والتجاوز أو التخطي، والזמן الموافق للاستقرار بنسبة 2%.

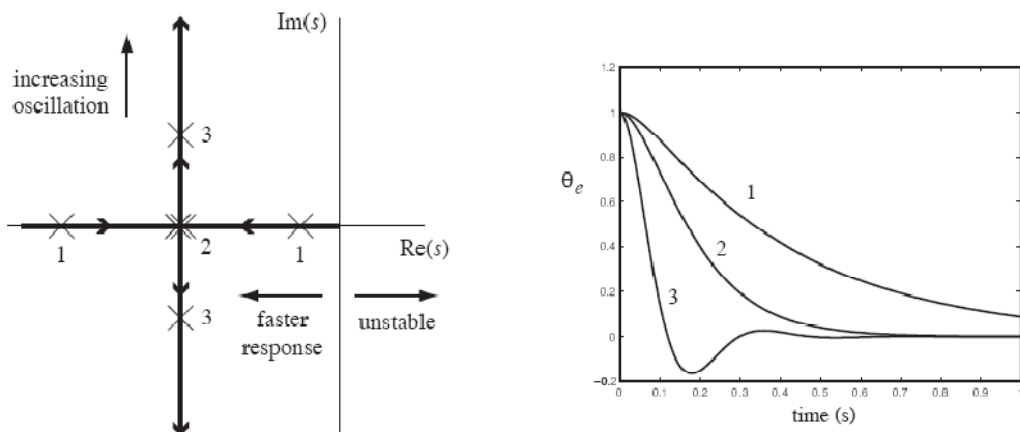
حيث  $\theta_{e,\min}$  هي عبارة عن أقل قيمة موجبة يمكن أن يبلغها الخط. ويمكن حساب التجاوز أو التخطي من خلال العلاقة:

$$\text{Overshoot} = \exp\left(-\pi\zeta/\sqrt{1-\zeta^2}\right) \times 100\% , \quad 0 \leq \zeta < 1$$

والاستجابة العابرة الجيدة تتميز بانخفاض زمن الاستقرار أو بانعدام التجاوز أو التخطي.

الشكل (10.5) يظهر العلاقة بين موقع جذور المعادلة (10.10) بطبيعة الاستجابة العابرة. فعندما يكون  $K_d$  ثابتاً و  $K_p$  مقداراً صغيراً فإن  $\zeta > 1$ ، ويكون لدينا حالة تخميد فائض للنظام، وتكون الاستجابة بطيئة بسبب الجذر "البطيء" للحل. وعند زيادة مقدار  $K_p$ ، فإن نسبة التخميد تنخفض، وسيكون لدينا حالة تخميد حرج للنظام ( $\zeta = 1$ ) عندما  $K_p = (b + K_d)^2/(4M)$ ، وسيكون الجذران منطبقان على المحور الحقيقي السالب. وهذه الحالة تعبر عن الاستجابة

السريعة نسبياً ولا يكون في هذه الحالة وجود لأي تخطي أو تجاوز. وبالاستمرار في زيادة  $K_p$ ، فإن  $\zeta$  تصبح أقل من الواحد، والجذران يبتعدان عن المحور الحقيقي السالب، وسنشهد في هذه الحالة ظهوراً للتخطي أو للتجاوز والذبذبة Oscillation في عملية الاستجابة. ونلاحظ أن الزمن الذي يحدث عند الاستقرار Settling Time لا يتأثر بزيادة  $K_p$  وذلك لأن المدار  $\omega_n$  لا يتغير.



الشكل 10.5: (إلى اليسار) الجذور المعقدة للمعادلة التشخيصية للمفصل المتحكم به باستخدام المتحكم PD وذلك من أجل قيمة ثابتة  $L = 10 \text{ Nms/rad}$  وبحيث تزداد قيمة  $K_d$  بدءاً من الصفر. وهذا يعرف عادة بمخطط المحل الهندسي للجذور Root Locus Plot. (إلى اليمين) استجابة النظام للخطأ الابتدائي  $1 = \theta_e = 0$  حيث تظهر حالة التخميد الفائق ( $\zeta = 1.5$ ، والجذور عند "1")، حالة التخميد الحرج ( $\zeta = 1$ ، والجذور عند "2")، وحالة التخميد الناقص ( $\zeta = 0.5$ ، والجذور عند "3").

**الحدود التطبيقية لأرباح التحكم بالتلبية الراجعة:** وفقاً للنموذج البسيط الذي قمنا بدراسته، فإنه يمكننا زيادة كل من  $K_p$  و  $K_d$  دون وجود أي حدود، وذلك من أجل جعل المركبات الحقيقة للجذور سالبة أكثر وأكثر، وبالتالي الوصول لحالة عشوائية سريعة لاستجابة النظام. ولكن عند التطبيق العملي، فإننا نجد أن قيم الأرباح الكبيرة ستؤدي إلى حالة إشباع للmotor، وإلى تغيرات سريعة في عزم الدوران (ارتجاج Chattering)، وإلى اهتزازات في هيكل النظام بسبب أننا لم ندخل تأثير المرونة Flexibility في عملية النمذجة. ولهذا فإننا نجد أن هناك حدوداً تطبيقية تقييد قيم الأرباح في عملية التحكم.

**المتحكم PID ومعادلة الخطأ الديناميكي من الدرجة الثالثة:** الآن سنقوم بدراسة حالة التحكم بالضبط النقطي وذلك عندما تتحرك الوصلة في المستوى الشاقولي، أي أن  $0 > g$ . ومن قانون المتحكم PD، فإن معادلة النظام يمكن كتابتها بالشكل:

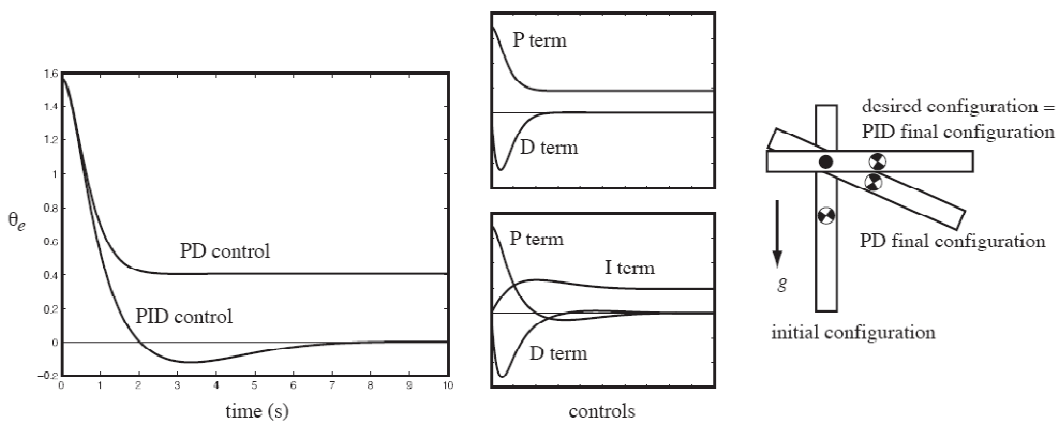
$$M\ddot{\theta}_e + (b + K_d)\dot{\theta}_e + K_p\theta_e = mgr \cos \theta \quad (10.11)$$

وفي هذه الحالة، نلاحظ أن النظام يذهب إلى وضعية الراحة عندما تكون الهيئة الموافقة  $L \theta$  تتحقق:

$$K_p\theta_e = mgr \cos \theta$$

أي أن الخطأ النهائي  $\theta_e$  ليس صفرًا عندما  $\theta_d = \pi/2$ ، ولكن وفقاً لقانون المتحكم PD فإنه يتم توليد عزم دوران في وضعية الراحة فقط في حال كون  $\theta_e = 0$ . وبإمكاننا جعل خطأ الحالة المستقرة هذا صغيراً عن طريق زيادة الربح  $K_p$ ، ولكن كما أسلفنا سابقاً، فإن هناك حدوداً تطبيقية لهذا الأمر.

وبهدف إلغاء خطأ الحالة المستقرة، فإننا سنعود للمتحكم PID وذلك بجعل  $0 < K_i$ . وهذا سيسمح بوجود عزم دوران لا يساوي الصفر في الحالة المستقرة حتى عند وجود خطأ الوضعية الصفرية، فقط حد الخطأ المُكامل يجب أن يكون مساوياً للصفر. الشكل (10.6) يظهر إضافة الحد التكاملي للمتحكم.



الشكل (10.6): (إلى اليسار) الشكل يظهر لنا مسار تتبع الأخطاء للمتحكم PD عندما  $K_d = 2 \text{ Nms/rad}$  وعندما  $K_p = 2.205 \text{ Nm/rad}$  وذلك في حالة التخميد الحرج. ويظهر مسار تتبع الأخطاء للمتحكم PID بنفس أرباح المتحكم PD بالإضافة لكون  $(K_i = 1 \text{ Nm/(rad.s)}} \cdot \theta_e(0) = -\pi/2)$ . الذراع يبدأ بالعمل عند  $\theta_e(0) = 0$ ، حيث تكون  $\theta_e(0) = 0$ ، حيث يكون وضع الاستقرار المطلوب هو  $\theta_d = 0$ ، حيث  $\theta_d = \pi/2$ . (في المنتصف) يظهر الإسهامات الفردية لكل حد في قانون المتحكم PID وقانون التحكم PD. (إلى اليمين) يظهر الهيئة الابتدائية والنهاية للذراع.

ولمعرفة كيفية عمل ذلك، فسنكتب معادلة الخطأ الديناميكي في حالة التحكم بالضبط النقطي كالتالي:

$$M\ddot{\theta}_e + (b + K_d)\dot{\theta}_e + K_p\theta_e + K_i \int \theta_e(t)dt = \tau_{dist} \quad (10.12)$$

حيث  $\tau_{dist}$  هو الاضطراب في عزم الدوران الناجم عن حد الجاذبية الأرضية  $.mgr.cos\theta$  وباشتقاق طرفي المعادلة، فإننا نحصل على معادلة الخطأ الديناميكي من الدرجة الثالثة:

$$M\ddot{\theta}_e + (b + K_d)\dot{\theta}_e + K_p\theta_e + K_i\theta_e = \dot{\tau}_{dist} \quad (10.13)$$

فإذا كان  $\dot{\tau}_{dist}$  ثابتاً، فإن الجانب الأيمن من المعادلة (10.13) سيكون صفرًا. وإذا كان المتحكم PID مستقراً، فإن المعادلة (10.13) تبين أن  $\theta_e$  يسعى (يتقارب) إلى الصفر. (وفي حال كون الاضطراب في العزم الناتج عن تأثير الجاذبية الأرضية غير ثابتاً عند دوران الوصلة، فإنه

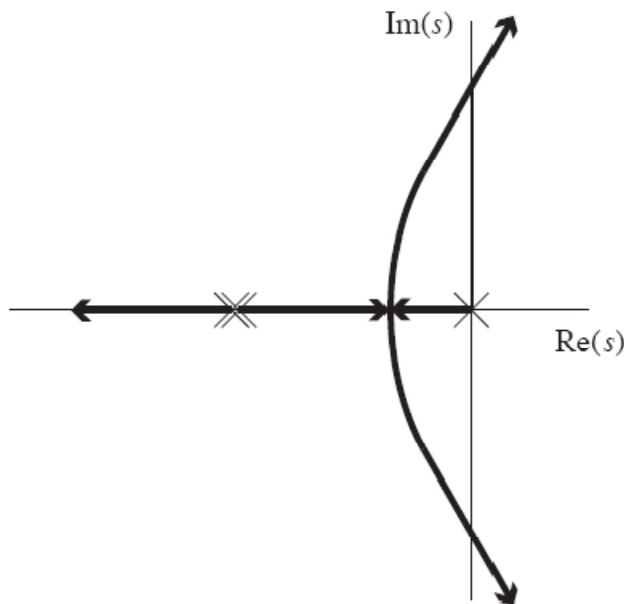
سوف يتقارب إلى قيمة ثابتة بسبب تقارب  $\theta$  إلى الصفر، ولذلك فإن النظام يتقارب إلى حالة التوازن.

إن التحكم المتكامل (عند استخدام الحد التكاملي) مفيد من أجل التخلص من خطأ الحالة المستقرة عند التحكم باستخدام الضبط النقطي، ولكن يمكن أن يؤثر سلباً على الاستجابة العابرة. وهذا سببه أن التحكم المتكامل يستجيب بشكل أساسى للمعلومات المتأخرة (قد يستغرق النظام قدرًا من الزمن من أجل الاستجابة للخطأ حتى تتم عملية المتكاملة). ومن المعروف في نظرية التحكم أن التغذية الراجعة المتأخرة يمكن أن تسبب حالة من عدم الاستقرار. ولرؤية ذلك، لتكن المعادلة التشخيصية للمعادلة (10.13) عندما يكون  $K_i$  ثابتًا هي:

$$Ms^3 + (b + K_d)s^2 + K_p s + K_i = 0 \quad (10.14)$$

وحتى تكون جميع الجذور تمتلك قيمًا سالبة لجزئها الحقيقي، يجب أن يكون  $0 < b + K_d$  وأن  $K_i > 0$  كما في السابق، ولكن هناك أيضًا حد آخر للربح الجديد  $K_i$  (الشكل (10.7)):

$$0 \leq K_i \leq \frac{(b + K_d)K_p}{M}$$



الشكل 10.7: الجذور الثلاثة للمعادلة (10.14) حيث تزداد قيمة  $K_i$  بدءاً من الصفر. بداية، يتم اختيار أرباح المتحكم PD وهما  $K_p$  و  $K_d$ ، بحيث يكون نوع التخميد هو التخميد الحرج، وهذه ما يجعل الجذرين للمتحكم PID ينطبقان على المحور الحقيقي السالب. وبإضافة ربح صغير جداً  $> 0$   $K_i$  سيجعل الجذر الثالث للمتحكم PID ينطبق على المبدأ. وبزيادة مقدار  $K_i$ ، فإن واحداً من الجذرين المنطبقين سوف يتحرك نحو اليسار على المحور الحقيقي السالب، بينما الجذران الآخرين سوف يتحركان باتجاه بعضهما بحيث يبتعدان عن المحور الحقيقي، ويتحركان في نصف المستوى الأيمن عندما  $K_i = (b+K_d)K_p/M$ . وسيكون النظام غير مستقرًا عند القيمة الكبيرة لـ  $K_i$ .

لذلك فإن استراتيجية التصميم المنطقية للمتحكم تقتضي أن نختار كلاً من  $K_p$  و  $K_d$  من أجل تحقيق استجابة عابرة جيدة، ومن ثم نقوم باختيار  $K_i$  بحيث يكون مقداره صغيراً ولا يؤثر وبالتالي سلباً على حالة الاستقرار. وفي المثال الموضح بالشكل (10.6)، فإن القيمة الكبيرة نسبياً لـ  $K_i$  ستسوء بشكل ملحوظ لشكل الاستجابة العابرة، بحيث تظهر لنا حالة تخطي بالغاً. وفي التطبيقات العملية، تكون  $K_i = 0$  في العديد من أنظمة التحكم بالروبوتات.

السودو كود لخوارزمية المتحكم PID موضحة بالشكل (10.8).

---

```

time = 0                      // dt = cycle time
eint = 0                      // error integral
qprev = senseAngle            // initial joint angle q
loop
    [qd,qdotd] = trajectory(time) // from trajectory generator

    q = senseAngle              // sense actual joint angle
    qdot = (q - qprev)/dt      // simple velocity calculation
    qprev = q

    e = qd - q
    edot = qdotd - qdot
    eint = eint + e*dt

    tau = Kp*e + Kd*edot + Ki*eint
    commandTorque(tau)

    time = time + dt
end loop

```

---

.الشكل 10.8: السودو كود للمتحكم PID

وبما أن تحلينا ودراستنا إلى الآن تركزت حول التحكم باستخدام الضبط النقطي، فإنه يمكن استخدام المتحكم PID وتطبيقه بشكل مثالي من أجل مهام تتبع المسارات، حيث  $0 \neq K_d$ . وفي هذه الحالة، فإن استخدام الحد التكاملي لن يقوم بإلغاء خطأ تتبع المسارات.

### 10.2.1.2. التحكم عن طريق التغذية الأمامية:

هناك استراتيجية أخرى تستخدم من أجل تتبع المسارات، وتعتمد هذه الاستراتيجية على استخدام نموذج للتمثيل الديناميكي للروبوت من أجل توليد عزوم الدوران بصورة استباقية عوضاً عن انتظار حدوث الأخطاء. ليكن نموذج التمثيل الديناميكي المستخدم في التحكم من الشكل:

$$\tau = \hat{M}(\theta)\ddot{\theta} + \hat{h}(\theta, \dot{\theta}) \quad (10.15)$$

حيث يكون النموذج مثاليًّا عندما يكون:

$$\hat{M}(\theta) = M(\theta), \quad \hat{h}(\theta, \dot{\theta}) = h(\theta, \dot{\theta})$$

وهنا نلاحظ أن نموذج مصفوفة العطالة مكتوب كتابع للهيئة  $\theta$ . في حين أن العطالة من أجل الروبوت أحادي المفصل البسيط ليست تابعة للهيئة. الكتابة بهذه الطريقة سيسمح لنا بإعادة استخدام المعادلة (10.15) عند دراسة الأنظمة متعدد المفاصل فيما بعد.

إذا كان معلوماً لدينا كل من  $\theta_d$  و  $\dot{\theta}_d$  و  $\ddot{\theta}_d$  من خلال مولد المسارات، فإن الأمر المتعلق بتحديد عزم الدوران يحسب من خلال المعادلة:

$$\tau = \hat{M}(\theta_d)\ddot{\theta}_d + \hat{h}(\theta_d, \dot{\theta}_d) \quad (10.16)$$

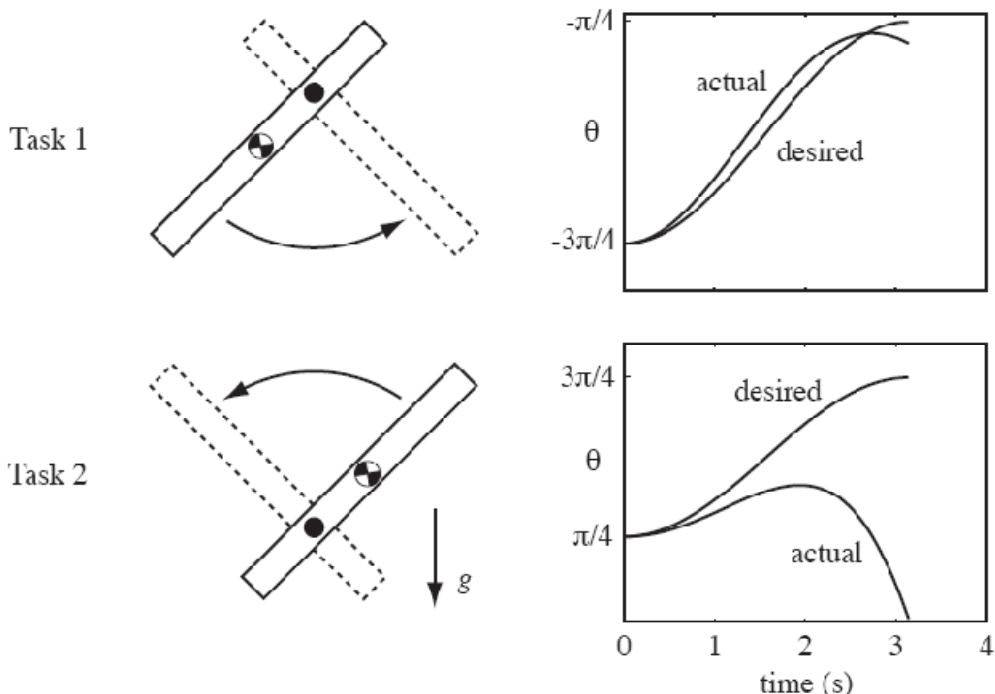
إذا كان النموذج المستخدم للتسلسل الديناميكي للروبوت دقيقاً، فإنه لن تتشاءل علينا أية أخطاء في الحالة الابتدائية، وبالتالي فإن الروبوت سيقوم بشكل دقيق باتباع المسار المطلوب منه. وهذا ما يسمى بالتحكم عن طريق التغذية الأمامية Feedforward Control. وهنا لا يتم استخدام التغذية الراجعة في عملية التحكم.

السودو كود الذي يتم تطبيقه في حالة التحكم عن طريق التغذية الأمامية مبين في الشكل (10.9).

```
time = 0 // dt = cycle time
loop
    [qd,qdotd,qdotdotd] = trajectory(time) // from trajectory generator
    tau = Mhat(qd)*qdotdotd + hhat(qd,qdotd) // calculate dynamics
    commandTorque(tau)
    time = time + dt
end loop
```

الشكل 10.9: السودو كود المستخدم في التحكم عن طريق التغذية الراجعة.

الشكل (10.10) يظهر مثالين لتتبع المسار لوصلة تعمل تحت تأثير الجاذبية الأرضية. هنا يكون النموذج المستخدم في التسلسل الديناميكي صحيحاً باستثناء كون  $m = 0.08 \text{ kg}$  حيث يفترض أن تكون  $r = 1 \text{ m}$ . في المهمة 1، يبقى الخطأ صغيراً، وذلك بسبب كون الجاذبية الأرضية (الذي لم تتم نمذجتها) تقوم بالتأثير بتوليد قوة وكأنها نابض حتى الزاوية  $\theta = -\pi/2$ ، حيث تقوم بزيادة تسارع الروبوت عند البداية ثم تقوم بابطائه عند النهاية. في المهمة 2، تأثير الجاذبية غير المنفذة يكون معاكساً لاتجاه الحركة المطلوب، مما يؤدي إلى نشوء خطأ كبير في عملية التتبع. وبسبب توافر أخطاء التمذجة بشكل دائم، فإن التحكم عن طريق التغذية الأمامية يستخدم دائماً بحيث يكون مقترباً مع التحكم عن طريق التغذية الراجعة، كما سنرى لاحقاً.



الشكل 10.10: نتائج التحكم عن طريق التغذية الأمامية باستخدام نموذج ديناميكي غير صحيح:  $\hat{r} = 0.08 \text{ m}$  ولكن  $r = 1 \text{ m}$ . المسار المطلوب في المهمة 1 هو  $\theta_d(t) = -\pi/2 - \cos(t)$  و ذلك من أجل  $0 \leq t \leq \pi$ . المسار المطلوب في المهمة 2 هو  $\theta_d(t) = \pi/2 - \cos(t)$  حيث  $0 \leq t \leq \pi$ .

### 10.2.1.3. التحكم عن طريق التغذية الأمامية مع التغذية الراجعة الخطية:

إن جميع المتحكمات في التطبيقات العملية تستخدم التحكم عن طريق التغذية الراجعة، وذلك بسبب أنه لا يوجد تمثيل ديناميكي مثالي للروبوت وللبيئة المحيطة به. ومع ذلك، فإن النموذج الديناميكي الجيد يمكن أن يستخدم من أجل تحسين أداء المتحكم وتبسيط التحليل.

لتقم بدمج المتحكم PID مع النموذج المستخدم للتمثيل الديناميكي  $\{\hat{M}, \hat{h}\}$  من أجل الحصول على معادلة الخطأ الديناميكي:

$$\ddot{\theta}_e + K_d \dot{\theta}_e + K_p \theta_e + K_i \int \theta_e(t) dt = 0 \quad (10.17)$$

لجميع المسارات، وليس فقط لحالات الضبط النقطي. إن معادلة الخطأ الديناميكي (10.17) وال اختيار المناسب لقيم أرباح المتحكم PID سيضمن حدوث التخميد بصورة أسيّة لأخطاء المسار.

وبما أن  $\theta_e = \theta_d - \theta_e$ ، فمن أجل الحصول على معادلة الخطأ الديناميكية (10.17)، فإننا نختار أمر التسارع للروبوت ليكون:

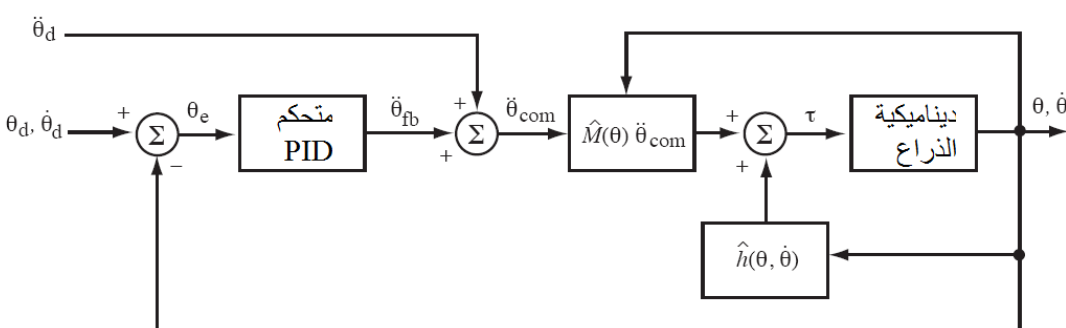
$$\begin{aligned} \ddot{\theta}_{com} &= \ddot{\theta}_d - \ddot{\theta}_e \\ &= \ddot{\theta}_d + K_d \dot{\theta}_e + K_p \theta_e + K_i \int \theta_e(t) dt \end{aligned} \quad (10.18)$$

وبالتعويض في نموذج التمثيل الديناميكي للروبوت، فإننا نحصل على ما يسمى بالتحكم عن طرق التغذية الراجعة الخطية Feedback Linearizing Control

$$\tau = \hat{M}(\theta) \left( \ddot{\theta}_d + K_d \dot{\theta}_e + K_p \theta_e + K_i \int \theta_e(t) dt \right) + \hat{h}(\theta, \dot{\theta}) \quad (10.19)$$

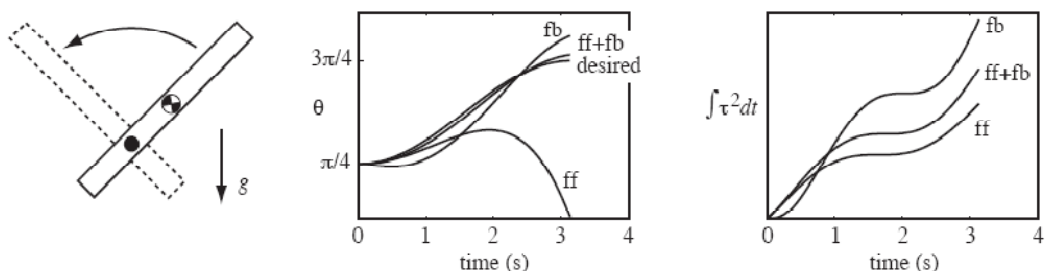
ويسمي هذا التحكم بهذا الاسم لأن التغذية الراجعة لـ  $\theta$  و  $\dot{\theta}$  تستخدم من أجل تحويل نظام التحكم الغير خطى إلى آخر خطى. إن الحد  $\hat{h}(\theta, \dot{\theta})$  يلغى التأثيرات الديناميكية المتعلقة بالحالة فقط، والحد المتعلق بالعطلة  $\hat{M}(\theta)$  يقوم بتحويل تسارعات المفصل المطلوبة إلى عزوم دوران المفصل. وهذا النوع من التحكمات يسمى أحياناً بـ *Torque Controller*.

المخطط الصندوقى لهذا التحكم موضح في الشكل (10.11). ويتم اختيار الأرباح  $K_p$  و  $K_d$  و  $K_i$  بحيث تتوضع جذور المعادلة التشخيصية بالشكل المطلوب بهدف الحصول على استجابة عابرة جيدة. وإذا افترضنا مثالياً التمثيل الديناميكي للنموذج، فيمكن أن نختار  $K_i$  بحيث يكون مساوياً للصفر.



الشكل 10.11: التحكم عن طريق التغذية الراجعة الخطية.

الشكل (10.12) يظهر السلوك الفيزيائى القياسي للتحكم بوساطة التغذية الراجعة الخطية نسبة للتغذية الأمامية والتغذية الراجعة فقط. السوedo كود لهذا التحكم معطى بالشكل (10.13).



الشكل 10.12: الأداء في حال التغذية الأمامية فقط (ff)، والتغذية الراجعة فقط (fb)، والتغذية الراجعة الخطية (ff+fb). أرباح التحكم PID مأخوذة من الشكل (10.6)، ونمذجة الخطأ باستخدام التغذية الأمامية مأخوذة من الشكل (10.10). الحركة المطلوبة هي المهمة 2 في الشكل (10.10). الشكل في الوسط يظهر أداء عملية اللتبع للمتحكمات الثلاثة. والشكل على اليمين يظهر المقياس المعياري لجهد التحكم لكل من التحكمات الثلاثة.

---

```

time = 0                                // dt = cycle time
eint = 0                                 // error integral
qprev = senseAngle                      // initial joint angle q
loop
    [qd,qdotd,qdotdotd] = trajectory(time) // from trajectory generator

    q = senseAngle                        // sense actual joint angle
    qdot = (q - qprev)/dt                // simple velocity calculation
    qprev = q

    e = qd - q
    edot = qdotd - qdot
    eint = eint + e*dt

    tau = Mhat(q)*(qdotdotd + Kp*e + Kd*edot + Ki*eint) + hhat(q,qdot)
    commandTorque(tau)

    time = time + dt
end loop

```

---

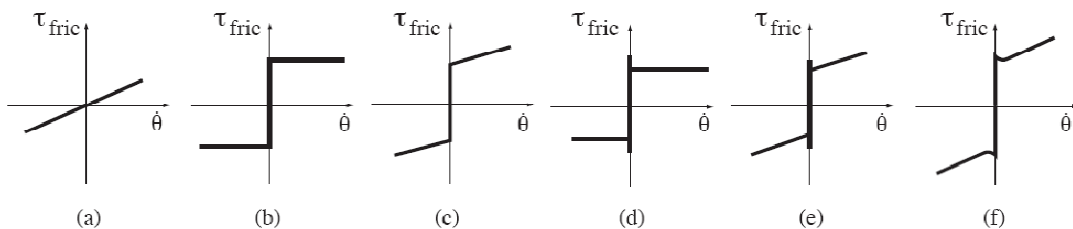
الشكل 10.13: السوedo كود لمتحكم التغذية الراجعة الخطية.

#### 10.2.1.4. توضيحات تتعلق بموضوع الاحتكاك:

قمنا من أجل التبسيط بافتراض أن النموذج المستخدم في الدراسة هو نموذج الاحتكاك اللزج Viscous والذي يحدث عادة في المحامل Bearing والمسننات Gears. وفي الحقيقة، إن الاحتكاك هو ظاهرة معقدة، و موضوعه هو من أهم الأبحاث الحالية، وأي صياغة لنموذج الاحتكاك ما هي إلا محاولة لفهم السلوك الميكروميانيكي Micromechanics لمنطقة التماس. وقوى الاحتكاك يمكن أن تكون تابعة لقوى التحميل على سطح التماس، وللحالة التي تكون فيه منطقة التماس في وضع السكون، وللموضع (بسبب تأثير تلك القوى التي تظهر قبل الانزلاق وتسبّب إلى حد ما تلك القوى الناجمة عن النابض، أو بسبب عدم التماثل أو عدم الانتظامية في المحامل)، وللسّرعة، ولدرجة الحرارة، وغيرها من العوامل.

ومن الجدير بالذكر أن إحدى محددات استخدام النموذج اللزج للاحتكاك هي الشرط الذي يقتضيه هذا النموذج وهو أن قوة الاحتكاك تساوي الصفر عندما تكون السرعة معدومة. وفي الواقع، فإن التطبيقات العملية الشائعة تصرّح أن قوة الاحتكاك يمكن أن تكون أكبر من الصفر عندما تكون السرعة معدومة. على سبيل المثال، يلزمـنا تطبيق قوة معينة أفقية على كتاب ما موجود على الطاولة حتى يبدأ بالانزلاق. وتعرف قوة الاحتكاك المقاومة للحركة في حالة السكون بالاحتكاك статический Static Friction، وهذا النوع من الاحتكاك لا يشمله مفهوم الاحتكاك اللزج. وفي حالة روبوت أحادي المفصل، فإن الاحتكاك статический الغير معدوم يقتضي أنه يجب تطبيق عزم دوران ما على المفصل في وضع السكون دون أن يؤدي ذلك إلى حدوث حركة. ومن المهم أن نعلم أن انقطاع تأثير الاحتكاك عند السرعات المعدومة سيؤدي وبشكل كبير إلى تعقيد مسألة

التحكم بالحركة في حالات السرعات البطيئة، وشكل خاص في تلك الحالات التي يحدث فيها تغير في جهة الحركة. ولمعالجة هذه المسألة، فإن هناك نموذجاً أكثر تطوراً للاحتكاك عند المفاصل يمكن إضافته إلى الحد  $(\hat{h}(\theta, \dot{\theta}))$  في المعادلة الديناميكية الغير خطية وذلك عن في عملية التحكم عن طريق التغذية الأمامية أو التغذية الراجعة الخطية. الشكل (10.14) يبين بعض الأمثلة لحالات الاحتكاك المتعلقة بالسرعة. ويوجد هناك العديد من الطرق من أجل التعامل مع الاحتكاك تتضمن ما يسمى بالتبهيج التردد Dithering (أي فرض إشارة تحكم ذات تردد أعلى من تردد إشارة التحكم الاسمية لضمان حالة سلسة لانقطاع قوى الاحتكاك عند السرعات المعدومة) مع استخدام قيم أرباح عالية للمتحكم PID عند الحالات القريبة والمتضمنة للسرعة المعدومة.



الشكل 10.14: أمثلة عن نماذج الاحتكاك المتعلق بالسرعة. (a) الاحتكاك اللزج. (b) احتكاك كولوم Coulomb،  $\tau_{fric} = bsgn(\theta)$  يمكن أن تأخذ قيمًا بين  $[b, -b]$  عندما تكون السرعة معدومة. (c) الاحتكاك статистي مع الاحتكاك اللزج،  $\tau_{fric} = b_{static}sgn(\theta) + b_{viscous}\theta$ . (d) الاحتكاك السكوني والحركي، ويشترط أن يكون  $|\tau_{fric}| \geq |b_{static}|$  حتى تبدأ الحركة، ومن ثم  $\tau_{fric} = b_{kinetic}sgn(\theta)$ , حيث إن  $b_{static} > b_{kinetic}$ . (e) القانون الاحتكاك статистي والحركي واللزج. (f) قانون الاحتكاك متضمناً تأثير ستريبيك Stribeck عند السرعات المنخفضة، حيث يتلاصص الاحتكاك بزيادة السرعة.

### 10.2.1.5. تأثير المنسنات:

إلى الآن ما زلنا نعتبر أن المحركات هي عبارة عن مصادر لعزم الدوران، دون أن نأخذ بعين الاعتبار كيفية قيام المحرك بتوليد عزم الدوران. على سبيل المثال، إذا قمنا باختيار محرك يعمل بالتيار المستمر DC ويمتلك معدل استطاعة مناسبة لمفصل الروبوت، فسنجد بأنه يستطيع أن يقدم دورانات بسرعات عالية قد تصل إلى RPM 10,000 أو أكثر، ولكن بعزم دوران منخفضة. ومعظم التطبيقات الروبوتية تتطلب بشكل خاص سرعات أقل وعزم دوران أعلى. ولذلك فإنه عادة ما تستخدم المنسنات، والأحزمة والبكرات، وغير ذلك من وسائل نقل الحركة من أجل تقليل السرعة بنسبة تسمى نسبة المنسن Gear Ratio، ويرمز لها بـ  $G$ ، بينما تقوم بزيادة عزم الدوران وفقاً للعامل  $G$  من الناحية المثالية بما يضمن احتفاظ الطاقة.

$$\dot{\theta}_{out} = \frac{\dot{\theta}_{in}}{G}, \quad \tau_{out} = G\tau_{in}, \quad P_{out} = \tau_{out}\dot{\theta}_{out} = (G\tau_{in})(\dot{\theta}_{in}/G) = P_{in}$$

في التطبيقات العملية، على أية حال، فإنه يتبدد جزء من الطاقة بسبب الاحتكاك الحاصل بين المنسنات وسيكون عزم الدوران المتاح عند المخرج أقل من  $G\tau_{in}$ . وهذا التأثير يميل نحو الزيادة

مع زيادة نسبة المسنن G. وبشكل عام، فإن اختيارات نسبة المسنن تبدأ من أعداد من مرتبة الآحاد إلى أعداد من مرتبة المئات.

وهناك خيار آخر يعتمد على القيادة المباشرة لمفصل الروبوت باستخدام النسبة  $G = 1$ . والمحركات المستخدمة في القيادة المباشرة عادةً ماتمتلك نسب للاستطاعة أعلى من المطلوب من أجل التطبيق الذي يستخدم لأجله الروبوت، وبالتالي في باسطاعة هذه المحركات تؤمن عزوم دوران كافية بدون الحاجة إلى استخدام المسننات. وهذه المحركات لا تصل إلى سرعاتها الحدية في معظم التطبيقات العملية.

لنفترض الآن أن M هي عطالة الروبوت أحادي المفصل. وفي الحقيقة إن هذه العطالة هي بارامتر لا يشمل عطالة الوصلة فقط، بل ويشمل معه عطالة الجزء الدوار من المحرك. وبصورة عامة، تكون عطالة المحرك  $I_{motor}$  هي أصغر بكثير من عطالة الوصلة  $I_{link}$ . وعند استخدام جملة نقل بالمسننات حيث  $1 > G$ ، فإن المحرك يدور بسرعة أعلى من الوصلة، فإذا كانت السرعة الزاوية للوصلة  $\dot{\theta}$ ، فإن سرعة المحرك هي  $G\dot{\theta}$ . وبالتالي يمكن كتابة معادلة الطاقة الحركية لجملة الوصلة - الجزء الدوار بالشكل الآتي:

$$K = \frac{1}{2} \left( I_{link} \dot{\theta}^2 + I_{motor} (G \dot{\theta})^2 \right) = \frac{1}{2} (I_{link} + G^2 I_{motor}) \dot{\theta}^2 = \frac{1}{2} M \dot{\theta}^2$$

حيث  $G^2 I_{motor}$  هي عطالة المحرك عند محور مخرج التركيبة المسننية، وتسمى بالعطالة المتولدة (المنعكسة) عن المحرك Motor's Reflected Inertia، وهي العطالة الفعالة لمحرك والتي يتم الحصول عليها عند مخرج علبة السرعة Gearbox. ويكون المشتق الزمني للطاقة الحركية K هو عبارة عن عزم الدوران القائد لجملة الوصلة - الجزء الدوار مضروباً بسرعة المفصل، أي:

$$\dot{K} = (I_{link} + G^2 I_{motor}) \ddot{\theta} \dot{\theta}$$

على سبيل المثال، إذا كانت  $I_{link} = 1 \text{ kgm}^2$ ، و  $I_{motor} = 10^{-3} \text{ kgm}^2$ ، و  $G = 1$ . وحيث  $99\%$  من العطالة الإجمالية هي بسبب الوصلة، وفقط  $0.1\%$  من العزم يمكنه زيادة تسارع المحرك. وعندما تكون نسبة المسنن  $G = 100$ ، فإن العطالة الفعالة لمحرك الحاوي على جملة مسننية هي عشرة أضعاف العطالة الناتجة عن الوصلة.

وعندما يتم اختيار G بحيث يكون:

$$G = \sqrt{\frac{I_{link}}{I_{motor}}}$$

فإن نصف العزم يستخدم لزيادة تسارع كل من الوصلة والمحرك، وعندها يمكن القول بأن النظام متواافق عطاليًا Inertia Matched.

وبصورة موجزة، يمكننا أن نذكر ملاحظتين من خلالهما نستطيع المقارنة بين أنظمة القيادة المباشرة وأنظمة الحاوية على جمل مسننية معقدة:

- سلوك الأنظمة الحاوية على جمل مسننية معقدة عادة ما تكون ذات حساسية أقل تجاه التغيرات في عطالة الوصلة وذلك عند يتم تحمل ذراع الروبوت بحمل ما، وهذا بسبب كون عطالة الوصلات تشكل نسبة قليلة من العطالة الإجمالية الكلية حيث تكون العطالة المتولدة (أو المنعكسة) عن المحرك عالية.
- قوى الاحتكاك تكون كبيرة في الأنظمة الحاوية على جمل مسننية معقدة. وفي الحالة التي تسيطر فيها قوى الاحتكاك على قوى العطالة، فإن التمثيل الديناميكي للمفصل قد يكون قريباً أكثر إلى الأنظمة اللزجة من الدرجة الأولى من الأنظمة العطالية ذات الدرجة الثانية.

هذه الخصائص لها دور مهم في تحليل قوانين التحكم في الأنظمة متعددة الفاصل، كما سنرى في الفقرة التالية.

#### 10.2.2. التحكم بالحركة في الأنظمة متعددة المفاصل:

إن الطرائق التي قمنا بتطبيقها سابقاً على الروبوت أحادي المفصل، يمكن تطبيقها مباشرة على الروبوتات المكونة من  $n$  مفصل. الاختلاف سيكون في معادلة التمثيل الديناميكي (10.4) والتي ستأخذ شكلاً شعاعياً أكثر من حيث الصيغة العامة:

$$\tau = M(\theta)\ddot{\theta} + h(\theta, \dot{\theta})$$

حيث مصفوفة العطالة  $M$  الموجبة ذات الأبعاد  $n \times n$  هي الآن مصفوفة تابعة للهيئة  $\theta$ . وفي بعض الأحيان قد يكون من الأنسب لنا أن نكتب مكونات الحد  $h(\theta, \dot{\theta})$  على شكل ثلاثة حدود، وبالتالي يكون:

$$\tau = M(\theta)\ddot{\theta} + C(\theta, \dot{\theta})\dot{\theta} + g(\theta) + b(\dot{\theta}) \quad (10.20)$$

حيث  $C(\theta, \dot{\theta})$  هي الحدود المتعلقة بتسارع كوريوليس Coriolis والقوى الطاردة مرتكزاً، و  $g(\theta)$  هي الحدود الكامنة (الجاذبية على سبيل المثال)، و  $b(\dot{\theta})$  هي الحدود المتعلقة بالاحتكاك. ونلاحظ من خلال معادلة التمثيل الديناميكي (10.20) أن القوة والعلم عند مفصل ما يمكن أن يكونا تابعين لموقع وسرعات وتسارعات الفاصل الأخرى.

وسوف تقوم بالتميز بين نوعين من التحكم بالأنظمة متعددة المفاصل: الأول هو التحكم اللامركزي Decentralized Control، حيث يتم التحكم بكل مفصل على حدى بدون أي مشاركة للمعلومات بين المفاصل. والثاني هو التحكم المركزي Centralized Control، حيث تكون معلومات الحالة العامة لكل مفصل من المفاصل متاحة من أجل حسابات التحكم لكل مفصل.

### 10.2.2.1. التحكم الالامركزي بالأنظمة متعددة المفاصل:

إن الطريقة الأبسط للتحكم بالروبوتات المتعددة المفاصل، وهي الطريقة التي غالباً ما تستخدم، هي أن يتم تكوين متحكمات مستقلة خاصة بكل مفصل. التحكم الالامركزي مناسب عندما يمكن تحليل Decoupled التمثيل الديناميكي للمفاصل (ومقصود هنا تحويل المعادلة الديناميكية إلى مجموعة معادلات ديناميكية تابعة لكل مفصل على حد)، أو على الأقل يمكن تحليلها ولو بصورة جزئية. والتمثيل الديناميكي للمفاصل يمكن تحليله عندما يكون تسارع كل مفصل يعتمد فقط على عزم الدوران المطبق على المفصل. وهذا يحدث عندما تكون مصفوفة العطالة قطرية، كما هو الحال في الروبوتات الديكارتية والروبوتات الجسرية Gantry Robots، حيث تكون المحاور الثلاثة الأولى تمددة ومتعمدة مع بعضها البعض على طول المحاور Three Single-Joint x,y,z Systems.

إن التحليل الجزئي للتمثيل الديناميكي يمكن إنجازه في الروبوتات الحاوية على أنظمة مسننية عالية الدرجة وذلك بغياب تأثير الجاذبية. وتكون مصفوفة العطالة  $M(\theta)$  تقريباً قطرية، وذلك لأنه تتم السيطرة عليها بواسطة العطالة المتولدة (المعكسة) عن المحركات نفسها. وتكون الانحرافات في مصفوفة العطالة  $M(\theta)$  بسبب الاختلافات في هيئة المفاصل صغيرة. ويساهم تواجد الاحتكاك في كل مفصل على حد في عملية تحليل المعادلة الديناميكية.

### 10.2.2.2. التحكم المركزي بالأنظمة متعددة المفاصل:

عندما تكون قوى الجاذبية وعزم الدوران كبيرة ومركبة (أي لا يمكن تحليلها تبعاً لكل مفصل على حد)، أو عندما لا يمكن مقاربة مصفوفة العطالة  $M(\theta)$  بشكل جيد إلى مصفوفة قطرية، يصبح التحكم الالامركزي غير مقبولاً من حيث جودة الأداء. وفي هذه الحالة، فإن التحكم عن طريق قانون التغذية الراجعة الخطية (10.19) المبين في الشكل (10.11) يمكن تعديله على حالة الروبوتات متعددة المفاصل. وتكون الهيئة  $\theta_e$  والهيئة المطلوبة  $\theta_d$  والخطأ في الهيئة  $\theta_e$  هي عبارة عن أشعة، وتصبح القيم الموجبة للأرباح عبارة عن مصفوفات موجبة  $: K_p, K_i, K_d$ :

$$\tau = \hat{M}(\theta) \left( \ddot{\theta}_d + K_p \theta_e + K_i \int \theta_e(t) dt + K_d \dot{\theta}_e \right) + \hat{h}(\theta, \dot{\theta}) \quad (10.21)$$

وبشكل عام يتم اختيار مصفوفات الأرباح بالشكل  $I$ ,  $k_p I$ ,  $k_i I$ ,  $k_d I$ , حيث  $I$  هي عبارة عن المصفوفة الواحدة ذات الأبعاد  $n \times n$ , و  $k_p, k_i, k_d$  هي قيم عددية غير سالبة. وفي الحالة التي يكون فيها النموذج الديناميكي دقيقاً، فإن التمثيل الديناميكي لكل مفصل يمكن اختزاله إلى تمثيل ديناميكي خطى كالمعادلة (10.17). المخطط الصندوقى والسودو كود لخوارزمية هذا النوع من التحكم مبينة في الأشكال (10.11) و (10.13) على الترتيب.

إن تطبيق قانون التحكم (10.21) يتطلب معرفة التمثيلات الديناميكية المعقدة المحتملة. وفي أغلب الأحيان لا يمكننا الحصول على النماذج الديناميكية الجيدة لهذا التمثيلات، أو أن معادلات التمثيل الديناميكي قد تكون في غاية التعقيد ومن الصعب حلها ضمن حدود معدل المؤازرة

Servo Rate. وفي هذه الحالة، إذا كانت السرعات والتسارعات المطلوبة صغيرة، فإنه يمكن الحصول على صيغة تقريبية للمعادلة (10.21) باستخدام المتحكم PID فقط بالإضافة للحد المتعلق بتعويض تأثير الجاذبية:

$$\tau = K_p \theta_e + K_i \int \theta_e(t) dt + K_d \dot{\theta}_e + \hat{g}(\theta) \quad (10.22)$$

وإذا كان الاحتاك معدوماً، وكان تعويض تأثير الجاذبية مثلياً، وكان أرباح المتحكم PD باستخدام الضبط النقطي ( $K_i = 0$  و  $\theta_d = 0$ ) فإن النموذج الديناميكي المتحكم به يمكن كتابته بالشكل:

$$M(\theta) \ddot{\theta} + C(\theta, \dot{\theta}) \dot{\theta} = K_p \theta_e - K_d \dot{\theta} \quad (10.23)$$

حيث عبر عن الحدود المتعلقة بتسارع كوريوليس Coriolis والقوى المركزية بـ  $C(\theta, \dot{\theta})$ ، وأية تأثيرات للاحتكاك اللزج تم تضمينها في  $K_d$  من أجل التبسيط. والآن يمكننا تعريف "خطا الطاقة" الافتراضي "Virtual Energy"، والذي هو عبارة عن مجموع "أخطاء الطاقة الكامنة" "Error Potential Energy" والمخزنة في النابض الافتراضي، ومجموع "أخطاء الطاقة الحركية" "Error Kinetic Energy":

$$V(\theta_e, \dot{\theta}_e) = \frac{1}{2} \theta_e^T K_p \theta_e + \frac{1}{2} \dot{\theta}_e^T M(\theta) \dot{\theta}_e \quad (10.24)$$

وبما أن  $\theta_d = 0$ ، فإن هذه المعادلة يمكن اختزالها إلى الشكل:

$$V(\theta_e, \theta) = \frac{1}{2} \theta_e^T K_p \theta_e + \frac{1}{2} \dot{\theta}^T M(\theta) \dot{\theta} \quad (10.25)$$

وباشتقاق هذه المعادلة بالنسبة للزمن وبالتالي تعويض في المعادلة (10.23)، نجد:

$$\begin{aligned} \dot{V} &= -\dot{\theta}^T K_p \theta_e + \dot{\theta}^T M(\theta) \ddot{\theta} + \frac{1}{2} \dot{\theta}^T \dot{M}(\theta) \dot{\theta} \\ &= -\dot{\theta}^T K_p \theta_e + \dot{\theta}^T (K_p \theta_e - K_d \dot{\theta} - C(\theta, \dot{\theta}) \dot{\theta}) + \frac{1}{2} \dot{\theta}^T \dot{M}(\theta) \dot{\theta} \end{aligned} \quad (10.26)$$

وبإعادة ترتيب المعادلة، وباستخدام الخاصية التي تنص على أن  $2C - M$  هي عبارة عن مصفوفة مت垮لة منحرفة، نحصل على:

$$\begin{aligned} \dot{V} &= -\dot{\theta}^T K_p \theta_e + \dot{\theta}^T (K_p \theta_e - K_d \dot{\theta}) + \frac{1}{2} \dot{\theta}^T (M(\theta) - 2C(\theta, \dot{\theta})) \dot{\theta} \\ &= -\dot{\theta}^T K_d \dot{\theta} \leq 0 \end{aligned} \quad (10.27)$$

وهذه المعادلة تبرهن أن خططا الطاقة يتناقص عندما يكون  $\dot{\theta} \neq 0$ . وإذا كان  $\theta_d = 0$  و  $\theta \neq \theta_e$ ، فإن النابض الافتراضي يضمن أن  $\dot{\theta} \neq 0$ ، وبالتالي  $\dot{\theta}$  سيكون غير معدوماً مرة أخرى، وسيتم تبديد مزيد من الطاقة. وهذا يتواافق مع مبدأ عدم التغيير لكراسوفسكي - لاسال

تدربيجاً والروبوت يتجه نحو وضعية الراحة عند  $\theta_d$  (حيث  $0 = \theta_e$ ) مهما كانت الوضعية الابتدائية.

### 10.2.3. التحكم بالحركة في فضاء المهمة:

في الفقرة (10.2.2)، ركزنا في دراستنا على التحكم بالحركة في فضاء المفاصل، ويعد ذلك مفيداً في بعض الأحيان وذلك لأن حدود قيم المفاصل يتم التعبير عنها بسهولة في هذا الفضاء، ويتوارد على الروبوت أن ينفذ أي مسار في فضاء المفاصل بمراعاة هذه الحدود. وبصورة طبيعية فإن المسارات عادة ما يتم توصيفها بدلالة متغيرات المفاصل، وفي هذا الفضاء لا وجود لآية حالات تتعلق بالقصور (الشذوذ) الحركي أو بالفائض الحركي.

من جهة أخرى، وبما أن الروبوت يتفاعل مع البيئة الخارجية المحيطة به ومع الأجسام الموجودة فيها، فقد يكون من المناسب أكثر أن يتم التعبير عن الحركة على هيئة مسارات تصف حركة النهاية العاملة للروبوت في فضاء المهمة أو العمل. ليكن مسار النهاية العاملة للروبوت محدداً بـ  $(X(t), V(t))$ ، حيث  $X \in \mathbb{R}^n$  أو  $X \in SE(3)$  على سبيل المثال، حيث  $V \in \mathbb{R}^n$  وهي عبارة عن السرعة. وفي بعض من الأحيان، يعتبر توفر مسار الحركة في فضاء المفاصل أمراً مجيداً، وهو يسمح لنا بتجاوز حالات الشذوذ الديناميكي عندما تقل رتبة المصفوفة  $(M(\theta))$ ، وبالتالي فنحن أمام خيارين للتحكم بالحركة: (1) أن نقوم بتحويل مسار الحركة من فضاء المهمة إلى ما يقابلها في فضاء المفاصل، ومن ثم يتم التحكم به كما مر معنا في الفقرة (10.2.2). أو (2) التعبير عن التمثيل الديناميكي للروبوت وكذلك قانون التحكم المستخدم في فضاء المهمة.

ال الخيار الأول يتعلق بتحويل المسار إلى ما يقابلها في فضاء المفاصل. حيث يكون التمثيل الكينماتيكي معطى بـ  $X = f(\theta)$  و  $V = J(\theta)$ ، حيث  $J(\theta)$  هي مصفوفة اليعقوبي المتواافق مع تمثيل السرعة المختار. وبالتالي فإن مسار الحركة في فضاء المفاصل يمكن الحصول عليه انطلاقاً من معرفتنا لمسار الحركة في فضاء المهمة من خلال التمثيل الكينماتيكي الخلفي:

$$\theta(t) = f^{-1}(X(t)) \quad (10.28)$$

$$\dot{\theta}(t) = J^{-1}(\theta(t))V(t) \quad (10.29)$$

$$\ddot{\theta}(t) = J^{-1}(\theta(t)) \left( \dot{V}(t) - j(\theta(t))\dot{\theta}(t) \right) \quad (10.30)$$

إذا كان الروبوت يمتلك فائضاً حركياً، أي أن المصفوفة  $J(\theta)$  تمتلك أعمدة أكثر من صفوفها، فإنه يتوجب علينا إيجاد طريقة للتعامل مع  $J^{-1}$  و  $f^{-1}$ .

ومن مساوى هذه الطريقة أن الأمر يتطلب حساب وإيجاد التمثيل الكينماتيكي الخلفي، والذي يتطلب مواصفات حاسوبية كبيرة. أما الخيار الثاني هو أن نقوم بالتعبير عن التمثيل الديناميكي للروبوت في فضاء المهمة، بالطريقة التي تمت مناقشتها في الفصل (9.6). فإذا تذكرنا أن التمثيل الديناميكي في فضاء المهمة يعطى بالعلاقة:

$$F = \Lambda(\theta) \dot{V} + \gamma(\theta, V) + \eta(\theta)$$

حيث قوى وعزم المفاصل  $\tau$  والمتعلقة بالقوى  $F$  يتم التعبير عنها في جملة محاور النهاية العاملة من خلال:  $\tau = J^T(\theta)F$ .

وبالتالي فإنه بإمكاننا الآن أن نكتب قانون التحكم في فضاء المهمة بالاعتماد على قانون التحكم عن طريق التغذية الراجعة الخطية في فضاء المفاصل (10.21) كالتالي:

$$\begin{aligned} \tau = J^T(\theta) & \left( \widehat{\Lambda}(\theta) \left( \dot{V}_d + K_p X_e + K_i \int X_e(t) dt + K_d V_e \right) + \widehat{\gamma}(\theta, V) \right. \\ & \left. + \widehat{\eta}(\theta) \right) \end{aligned} \quad (10.31)$$

حيث  $V_d$  هي عبارة عن التسارع المطلوب تحقيقه، و  $\Lambda$  و  $\gamma$  و  $\eta$  تمثل النموذج الديناميكي للمتحكم.

قانون التحكم في فضاء المهمة (10.31) تم استنتاجه استناداً إلى خطأ الهيئة  $X_e$  وخطأ السرعة  $V_e$ . وعندما يتم التعبير عن  $X$  باستخدام الحد الأدنى من الإحداثيات حيث  $X \in \mathbb{R}^n$  و  $V = X_e$  فإن الاختيار الطبيعي يكون  $X_e = X_d - X$ ، و  $V_e = V_d - V$ . وعندما يتم التعبير عن  $X$  بالشكل (10.31)، فإن هناك عدد من الخيارات الممكنة، تتضمن مايلي:

- إذا كان  $V_b = V$  و  $J_b(\theta) = J(\theta)$  حيث تم التعبير بالنسبة لجملة محاور النهاية العاملة  $\{b\}$ . فإن الاختيار الطبيعي سيكون  $X_e = \log_{SE(3)}(X_d^{-1}X)$ ، و  $V_e$  تعطى بالعلاقة:

$$V_e = Ad_{X^{-1}X_d} V_d - V$$

وهذا التمثيل  $X_e$  يعطي الاتجاه الثابت للجسم من الهيئة الحالية  $X$  إلى الهيئة المطلوبة  $X_d$  وذلك بالنسبة لجملة محاور النهاية العاملة. وتحويل الدالة الملحقه الوارد في المعادلة السابقة ينقل السرعة المطلوبة  $V_d$  من الهيئة  $X_d$  إلى سرعة مماثلة في جملة محاور النهاية العاملة للهيئة  $X$ .

- إذا كان  $V_s = V$  و  $J_s(\theta) = J(\theta)$  حيث تم التعبير بالنسبة لجملة محاور الفضاء  $\{s\}$ . فإن الخيار الطبيعي سيكون  $X_e = \log_{SE(3)}(X_d X^{-1})$ ، و  $V_e = V_d - V$ .

- إذا تم اختيار  $V$  و  $J(\theta)$  على اعتبار أن  $(\omega, v) = V$ ، حيث  $\omega$  هي السرعة الزاوية للنهاية العاملة بالنسبة لجملة محاور الفضاء  $\{s\}$ ، و  $v = p$ ، فإن الاختيار الطبيعي سيكون:

$$X_e = \begin{bmatrix} \log_{SE(3)}(R_d R^T) \\ p_d - p \end{bmatrix}, \quad V_e = V_d - V$$

إن هذه الخيارات تقود إلى سلوكيات مختلفة للروبوت. وفي التطبيقات العملية، يقوم الخيار الأخير بتحليل حدود التصحيح الخطية والدورانية.

### 10.3. التحكم بالقوة Force Control

عندما لا يكون الهدف هو إيجاد حركات أو مسارات للحركة للنهاية العاملة للروبوت، بل يكون الهدف هو تطبيق قوى وعزوم معينة على البيئة المحيطة بالروبوت، فإن ما يلزم هنا من أجل أداء المهمة هو ما يسمى بالتحكم بالقوة Force Control. إن التحكم بالقوة المجرد أو الصافي (بعض النظر عن التحكم بالحركة) هو ممكناً فقط عندما تطبق البيئة المحيطة بالروبوت قوى مقاومة في جميع الاتجاهات (على سبيل المثال، عندما تكون النهاية العاملة للروبوت على تمسق مع جسم صلب متين، أو متصلة بنايبن محمد والذي يبدي مقاومة ما مهما كان اتجاه الحركة). ولكن في الحقيقة، إن مفهوم التحكم بالقوة ليس مجرد بصورة تامة، وذلك لأن الروبوتات عادة ما تكون قادرة على الحركة بحرية في اتجاه واحد على الأقل (أي دون الحاجة إلى وجود متحكم بالقوة في هذا الاتجاه بسبب غياب تأثير أية قوة مقاومة للحركة). ولكن يعتبر مفهوم التحكم بالقوة المجرد أو الصافي أمراً مهماً، فهو يقودنا إلى نوع آخر من التحكم، والذي يسمى بالتحكم الهجين بالقوة والحركة Hybird Motion-Force Control كما سنرى لاحقاً.

في التحكم بالقوة المثالي، تكون القوة المطبقة من قبل النهاية العاملة بالروبوت غير متأثرة باضطراب الحركة المطبقة على النهاية العاملة. وهذا الأمر مرهون بكون التحكم بالحركة مثاليّاً. وفي المقابل، تكون الحركة غير متأثرة بالاضطرابات الحاسلة في القوى. وبصورة عامة يمكن القول أن التحكم بالقوة مقترن بالتحكم بالحركة، وذلك لكون القوى مقترنة بالسرعات حيث أن جدائها يقودنا إلى مفهوم الاستطاعة Power.

إذا كانت  $F_{app}$  هي عبة عن القوة التي يطبقها الروبوت المناور Manipulator على البيئة المحيطة به، فإن التمثيل الديناميكي للروبوت يكتب بالشكل:

$$M(\theta)\ddot{\theta} + C(\theta, \dot{\theta}) + g(\theta) + b(\dot{\theta}) + J^T(\theta)F_{app} = \tau \quad (10.32)$$

حيث مصفوفة اليعقوبي  $J(\theta)$  تحقق المعادلة  $J(\theta)\theta' = V$ . وبما أن الروبوتات بشكل عام تتحرك ببطء (هناك حالات خاصة) خلال مهمة التحكم بالقوة، فإنه بإمكاننا إهمال الحدود المتعلقة بالتسارع وبالسرعة، وبالتالي فإننا نجد:

$$g(\theta) + J^T(\theta)F_{app} = \tau \quad (10.33)$$

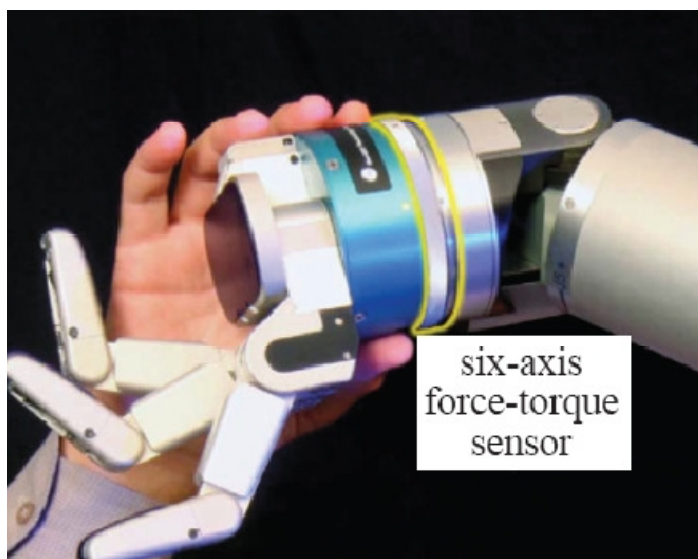
وفي حال غياب أية آلية للقياس المباشر لكل من القوة والعزز عن النهاية العاملة للروبوت، فإن التغذية الراجعة لزوايا المفاصل وحدها يمكن أن تستخدمن من أجل تطبيق قانون التحكم بالقوة:

$$\tau = \hat{g}(\theta) + J^T(\theta)F_d \quad (10.34)$$

حيث  $\hat{g}(\theta)$  هو عبارة عن النموذج المثل للعزوم الناتجة عن تأثير الجاذبية، و  $F_d$  هي القوة المطلوب تحقيقها. إن قانون التحكم هذا يتطلب نموذجاً جيداً لتمثيل تأثيرات الجاذبية الأرضية

بالشكل الذي يضمن التحكم الدقيق بعزم الدوران المطبقة عند مفاصل الروبوت. وفي الحالة التي يكون فيها المفصل مقادراً بشكل مباشر Direct-Drive Joint، فإنه يمكن التحكم بعزم الدوران عن طريق التحكم المباشر بالمحرك. أما في الحالة التي يكون فيها المحرك حاوياً على أنظمة نقل مسننية، فإن عزوم الاحتكاك الكبيرة المتولدة في الجمل المسننية ستقلل من درجة جودة التحكم بعزم الدوران باستخدام التحكم المباشر بالمحرك فقط. وفي هذه الحالة، فإنه يتم تزويد مخرج الجملة المسننية بمقاييس معينة من أجل القياس المباشر لعزوم المفاصل، والتي يتم تزويدها إلى المتحكم المحلي عن طريق التغذية الراجعة، والذي يقوم بدوره بتعديل تيار المحرك من أجل الحصول على عزم الدوران المطلوب للمفصل عند المخرج.

وهناك طريقة أخرى شائعة الاستخدام، وهي أن يتم تجهيز ذراع الروبوت بحساس سداسي المحاور لقياس القوى والعزم، ويت تركيبه بين الذراع والنهاية العاملة للروبوت بغية القياس المباشر للقوى عند النهاية العاملة  $F_{app}$  (الشكل 10.15)). وبما أن القوة المطلوب تحقيقها تكون مقداراً ثابتاً بصورة عامة، أو أنها تتغير ببطء، فإن الاشتلاف بالنسبة للزمن لقياسات القوة والعزم ليس له معنى، وبالتالي فإن هذا التشخيص يقودنا نحو خيار استخدام المتحكم PI مع الحد المتعلق بالتغذية الأمامية والحد المتعلق بتعويض تأثير الجاذبية الأرضية:



الشكل 10.15: حساس سداسي المحاور لقياس القوة والعزم، تمت الإشارة للحساس باللون الأصفر، وتم تركيبه بين النهاية العاملة والذراع في روبوت Barret WAM.

$$\tau = \hat{g}(\theta) + J^T(\theta) \left( F_d + K_{fp}F_e + K_{fi} \int F_e(t)dt \right) \quad (10.35)$$

حيث  $F = F_d + K_{fp}F_e + K_{fi} \int F_e(t)dt$  هي المصفوفات الموجبة للأرباح التناسبية والتكمالية على الترتيب. وفي الحالة التي تكون فيها نمذجة تأثيرات الجاذبية مثالية، فبت تعويض معادلة المتحكم بالقوة (10.35) بمعادلة التمثيل الديناميكي (10.33)، فإننا نحصل على معادلة الخطأ الديناميكي:

$$K_{fp}F_e + K_{fi} \int F_e(t)dt = 0 \quad (10.36)$$

وفي حال كون الاضطراب في القوة في الجانب الأيمن من المعادلة (10.36) (والناتج عن النموذج الغير صحيح لتأثيرات الجاذبية  $(\theta)\hat{g}$  على سبيل المثال) ثابتًا، فباجراء عملية الاستدراك نجد:

$$K_{fp}\dot{F}_e + K_{fi}F_e = 0 \quad (10.37)$$

وهذه المعادلة تظهر أن  $F_e$  تقارب نحو الصفر من أجل القيم الموجبة  $-K_{fp}$  و  $K_{fi}$ .

إن قانون التحكم المبين في المعادلة (10.35) يبدو بسيطًا، لكن إذا تم تطبيقه بصورة غير صحيحة، فإن العواقب ستكون وخيمة، فإذا لم يكن هناك أي شيء يجعل الروبوت يطبق قوى دفع ضده، فإن الروبوت سوف يتتسارع في محاولة فاشلة منه لخلق قوى عند النهاية العاملة للروبوت. وبما أن عملية التحكم بالقوة بصورة عامة تتطلب وجود القليل من الحركة، فإننا يمكن أن نقيد تتسارع الحركة بإضافة محمد للسرعة. وبذلك فإننا نحصل على قانون التحكم المعدل:

$$\tau = \hat{g}(\theta) + J^T(\theta) \left( F_d + K_{fp}F_e + K_{fi} \int F_e(t)dt - K_{damp}V \right) \quad (10.38)$$

حيث  $K_{damp}$  هو مقدار موجب.

#### 10.4. التحكم الهجين بالحركة والقوة :Hybird Motion-Force Control

إن معظم المهام الموكلة إلى الروبوتات تتطلب توفر كل من المتحكمات التي تتحكم بالقوة بالإضافة إلى المتحكمات التي تتحكم بالسرعة. ونظام التحكم الذي يجمع بين تطبيقات هذين المتحكمين يسمى بنظام التحكم الهجين للحركة والقوة Hybird Motion-Force Control. فإذا كان فضاء المهمة أو العمل من المرتبة البعيدة  $n$ ، فإنه وبكل حرية يمكننا أن نفصل القوى والحركات ذات الأبعاد  $n$  من محمل القوى والحركات ذات الأبعاد  $2n$  في أي وقت، حيث الحركات والقوى ذات الأبعاد  $n$  (الأخرى) يتم تحديدها اعتمادًا على معطيات البيئة المحيطة بالروبوت. وتجب الإشارة أنه لا ينبغي فصل القوى والحركات التي تقع في "اتجاه واحد" وذلك لكونهما غير مستقلين عن بعضهما البعض.

فعلى سبيل المثال، لنفترض أن نموذج البيئة المحيطة ثنائي الأبعاد لمحمد ما معطى بالعلاقة التالية:  $F = B_{env}V$ ، حيث:

$$B_{env} = \begin{bmatrix} 2 & 1 \\ 1 & 1 \end{bmatrix}$$

وبتعريف مركبات كل من  $V$  و  $F$  كالتالي  $(V_1, V_2)$  و  $(F_1, F_2)$ ، فإننا نجد  $F_1 = 2V_1 + V_2$ ، و  $F_2 = V_1 + V_2$ . وبالتالي فإنه لدينا الحرية بأن نختار  $n = 2$  من السرعات والقوى في أي وقت نريد. فمثلاً يمكننا أن نحدد  $F_1$  و  $V_1$  بشكل مستقل، وذلك لكون المصفوفة  $B_{env}$  غير قطرية. ومن ثم فإن  $V_2$  و  $F_2$  يمكن تحديدهما اعتمادًا على  $B_{env}$ . وهنا ننوه بأنه لا يمكننا أن نتحكم بكل من  $F_1$  و  $2V_1 + V_2$  بصورة مستقلة عن بعضهما، وذلك بسبب كونهما في "نفس الاتجاه" بالنسبة للمحمد.

#### 10.4.1. القيود الطبيعية والاصطناعية:

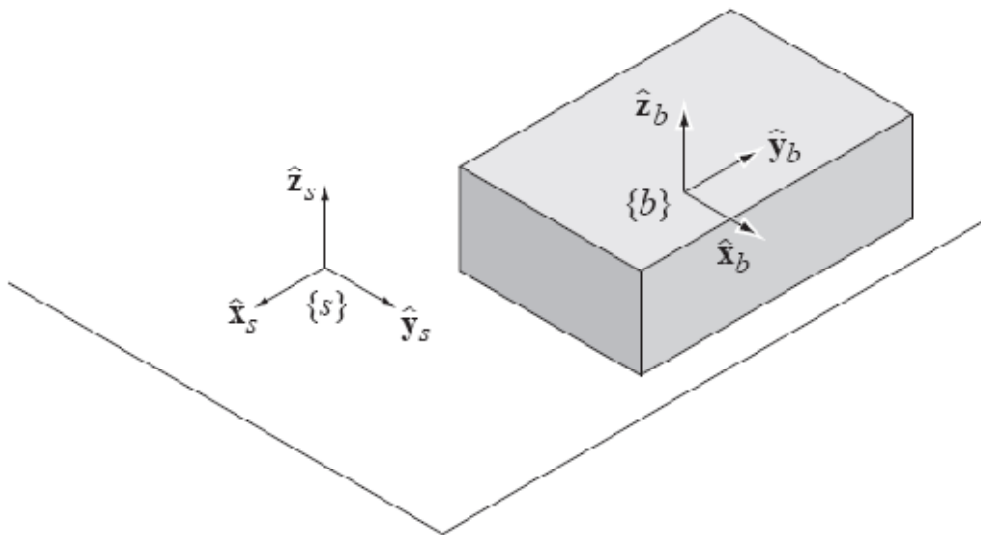
إحدى الحالات الخاصة المهمة التي يجب التنويه إليها هي تلك التي تكون فيها البيئة المحيطة بالروبوت جاسئة (ذات قيود صلبة) في عدد  $k$  من الاتجاهات، وتكون غير جاسئة (غير مقيدة بقيود صلبة) في الاتجاهات  $k - n$  الأخرى. في هذه الحالة، نحن لا نستطيع أن نختار أيًا من الحركات والقوى ذات العدد الإجمالي  $2n$  بحيث نقوم بتحديدها بشكل منفصل (يكون أفضل خيار بالنسبة لمناطق التماس مع البيئة المحيطة هي الاتجاهات  $k$  والتي يستطيع فيها الروبوت وبكل حرية أن يطبق القوى، ويكون أفضل خيار من أجل الحركة هو الاتجاهات  $k - n$  والتي يستطيع فيها الروبوت الحركة وفقها بكل حرية). وكمثال على ذلك، لنفترض أن فضاء المهمة أو العمل هو فضاء سداسي الأبعاد  $6 = n$  من أجل  $(SE(3))$ ، وبالتالي فإن الروبوت الذي مهمته مثلاً أن يقوم بفتح باب الخزانة يمتلك درجة حرية واحدة من أجل الحركة  $1 = k - 6$ ، وهي عبارة عن الدوران حول مفاصل باب الخزانة، وبالتالي فإنه يمتلك  $5 = k$  درجة حرية من أجل القوى، أي أن الروبوت يستطيع أن يطبق أية قوى وأية عزوم دوران والتي سيكون مقدار عزومها مساوياً للصفر حول محور مفاصل باب الخزانة.

كمثال آخر، يستطيع الروبوت الذي مهمته هي الكتابة على لوح الطبشور أن يتحكم بكل حرية بالقورة فقط باتجاه اللوح ( $k = 1$ )، لكنه من غير أن يخرق اللوح. وبالتالي فإن هذا الروبوت يمتلك  $5 - k = 6$  درجات من الحرية حيث يمكنه الحركة بكل حرية وفقها (اثنان من أجل تحديد الموقع لطرف الطبشوره وبالتالي حركتها على مستوى اللوح، والثلاث الباقية من أجل وصف اتجاه الطبشورة)، ولكن لا يمكن التحكم بشكل مستقبل بالقوى وفقاً لهذه الاتجاهات.

في المثال الأخير الذي يتحدث عن الروبوت والكتابة بالطبشور، فإنه يجب التنويه إلى أمرين مهمين. الأمر الأول يتعلق بمسألة الاحتكاك، فالروبوت الذي يقوم بمهمة الكتابة باستخدام الطباشير بإتقان يمكنه في الحقيقة أن يتحكم بالقوى التي تكون على تماس مع مستوى اللوح، فإذا كانت هذه القوى لا تتجاوز حد الاحتكاك стاتيكي المحدد بمعامل الاحتكاك والقوة الناظمية على سطح اللوح (رد الفعل)، فإن الحركة الناتجة من هذه القوى ستكون معروفة كما هو مطلوب. ومن هذا المنطلق، فإن الروبوت يمتلك ثلاثة درجات من الحرية من أجل الحركة وثلاث درجات من الحرية من أجل التحكم بالقوى. الأمر الثاني، هو أن الروبوت قد يقرر في مرحلة من المراحل أن يبتعد عن اللوح. ووفقاً لذلك، فإن الروبوت ستة درجات من الحرية لأجل الحركة فقط. ونتيجة لذلك يمكن القول أن هيئة الروبوت ليست هي المحدد الوحيد لاتجاهات درجات الحرية لكل من القوى والحركة. ومع ذلك، فإننا في هذه الفقرة سوف ندرس الحالة البسطة حيث يمكن تحديد درجات الحرية للحركة وللقوى اعتماداً فقط على هيئة الروبوت، مع اعتبار جميع المقيدات عبارة عن مقييدات تعادل Equality Constraints. فعلى سبيل المثال، فإن مقييد عدم التعادل Inequality Constraint للسرعة الناتج من اللوح (حيث لا يمكن للطبشور أن تخرق اللوح) يمكن معالجته على أنه مقييد تعادل (الروبوت من جهة أخرى لن يقوم بإبعاد الطبشور عن اللوح).

كمثال آخر، لنفترض أن روبوتاً مهمته مسح لوح الطبشور باستخدام مساحة اللوح (الممحاة) والتي يمكن نمذجتها على هيئة كتلة صلبة (الشكل 10.16)). ولتكن الهيئة  $(t) X$  بحيث يتم

التعبير عنها بالإحداثيات  $(\phi_x, \phi_y, \phi_z, x, y, z) = q$ , حيث  $\phi$  هي عبارة عن الإحداثيات الأسيّة للدوران. ويمكن تمثيل السرعة بالشكل  $\dot{q} = V$ . وعندما تكون الممحة على تمسّك مع اللوح، فإن الهيئة  $X(t)$  تكون خاضعة لقيود التالية:



الشكل 10.16: جملة محاور الفضاء الثابتة  $\{s\}$  المرتبطة بلوح الطبشور وجملة محاور الجسم  $\{b\}$  المرتبطة بالممحة.

$$\phi_x = 0$$

$$\phi_y = 0$$

$$z = c$$

حيث  $c$  هي نصف سماكة الممحة. وهذه المقيدات يمكن التعبير عنها بشكل مختلف كالتالي:

$$\dot{\phi}_x = 0$$

$$\dot{\phi}_y = 0$$

$$\dot{z} = 0$$

ووفقاً لالفصل الثاني من هذا الكتاب، فإن هذه القيود تسمى قيوداً هولونومية Holonomic (أي أنها قيود تامة) حيث يمكن مكاملة القيود التقاضية من أجل الحصول على قيود الهيئة.

هذه القيود تسمى قيوداً طبيعية Natural Constraints، والتي يتم تحديدها اعتماداً على معطيات البيئة المحيطة. وفي ضوء القيود الطبيعية، يمكننا أن نحدد أية حركة للممحة تحقق مقيدات السرعة هذه، حيث  $3 = k$ ، معطية بالنتيجة  $3 - k = 6$  درجات من الحرية من أجل الحركة. وفي المقابل، نحن أيضاً قادرين على تحديد القوى  $F_z$  و  $F_{\phi x}$  و  $F_{\phi y}$ ، حيث  $3 = k$ . وهذا التحديد

للحركة وللقوى يطلق عليه اسم القيود الاصطناعية Artificial Constraints. وفيما يلي مجموعة القيود الاصطناعية القياسية العامة الناتجة عن القيود الطبيعية:

### Natural Constraints      Artificial Constraints

$$\begin{array}{ll}
 \dot{\phi}_x = 0 & F_{\phi_x} = 0 \\
 \dot{\phi}_y = 0 & F_{\phi_y} = 0 \\
 F_{\phi_z} = 0 & \dot{\phi}_z = 0 \\
 F_x = 0 & \dot{x} = k_1 \\
 F_y = 0 & \dot{y} = 0 \\
 \dot{z} = 0 & F_z = k_2
 \end{array}$$

وهنا نلاحظ أن القيود الاصطناعية ستبسبب حركة الممهاة وفقاً لاتجاه  $x$  وبالسرعة  $k_1$ ، بينما ستبسبب بتطبيق قوة ثابتة  $k_2$  باتجاه اللوح.

#### 10.4.2. المتحكم الهجين :Hybird Controller

سنعود الآن إلى مسألة تصميم المتحكم الهجين بالحركة والسرعة. إذا كانت البيئة المحيطة بالروبوت صلبة، فإننا يمكن التعبير عن القيود الطبيعية، التي عددها  $k$ ، على السرعة في فضاء المهمة كالتالي:

$$A(X)V = 0 \quad (10.39)$$

حيث  $A(X) \in \mathbb{R}^{k \times n}$ . (وبدلاً من ذلك، يمكن كتابة هذه القيود بدلالة المجموعة الأدنى لإحداثيات المهمة بالشكل  $0 = A(q)q^+$  أو في فضاء المفاصل بالشكل  $0 = A(\theta)\theta^+$ ). وهذه الصيغة تتضمن قيود التماس الهولونومية وغير هولونومية مع البيئة المحيطة، تماماً كما هو الحال بالنسبة لقيود الحلقة المغلقة في ميكانيزمات الروبوتات المتوازية.

إذا كان التمثيل الديناميكي لفضاء المهمة للروبوت بغياب هذه القيود هو:

$$F = \Lambda(\theta)\dot{V} + \gamma(\theta, V) + \eta(\theta)$$

بالتالي فإن التمثيل الديناميكي بوجود تلك القيود سيكون:

$$F = \Lambda(\theta)\dot{V} + \gamma(\theta, V) + \eta(\theta) + A^T(X)\lambda, \quad F_{app} = A^T(X)\lambda \quad (10.40)$$

حيث  $\lambda \in \mathbb{R}^k$  هي عبارة عن مضاعفات لاغرانج Lagrange، و  $F_{app}$  هي عبارة عن القوة التي يطبقها الروبوت على القيود.

وبما أن المعادلة (10.39) يجب أن تكون محققة في أي وقت، فإنه يمكن أن نستخدم المشتق الزمني لهذه المعادلة بدلاً منها:

$$A(X)\dot{V} + \dot{A}(X)V = 0 \quad (10.41)$$

والآن، وبحل المعادلة (10.40) من أجل  $V$ ، وبالتعويض في المعادلة (10.41)، ومن ثم إيجاد الحل من أجل  $\lambda$ ، فإننا نجد:

$$\begin{aligned} \lambda &= (A\Lambda^{-1}A^T)^{-1}(A\Lambda^{-1}(F - \gamma - \eta) + \dot{A}V) \\ &= (A\Lambda^{-1}A^T)^{-1}(A\Lambda^{-1}(F - \gamma - \eta) + A\dot{V}) \end{aligned} \quad (10.42)$$

ومن خلال المعادلة (10.42)، يمكننا حساب القوى  $\lambda(q)$  والتي يقوم الروبوت بتطبيقها على القيود.

وبتعويض المعادلة (10.42) في المعادلة (10.40) وإجراء بعض العمليات الحسابية، فإن معادلات التمثيل الديناميكي بوجود القيود والتي عددها  $n$  يمكن التعبير عنها بشكل معادلات حركة مستقلة عددها  $k - n$ ، كالتالي:

$$P(X)F = P(X)(\Lambda(\theta)\dot{V} + \gamma(\theta, V) + \eta(\theta)) \quad (10.43)$$

حيث:

$$P = I - A^T(A\Lambda^{-1}A^T)^{-1}A\Lambda^{-1} \quad (10.44)$$

و  $I$  هي عبارة عن المصفوفة الواحدية. المصفوفة  $P(X)$  ذات الأبعاد  $n \times n$  لها الرتبة  $k - n$ ، وهي تقوم بإسقاط أية قوة  $F$  من قبل الروبوت المناول على الفضاء الفرعي للقوى التي تقوم بتحريك النهاية العاملة للروبوت بشكل يتناسب مع القيود. في حين أن المصفوفة  $P(X) - I$  ذات الرتبة  $k$  تقوم بإسقاط القوة  $F$  على الفضاء الفرعي للقوى التي يقاوم هذه القيود. ولذلك فإن  $P$  تقوم بتقسيم فضاء القوى ذي البعد  $n$  إلى القوى التي تعالج مسألة التحكم بالحركة، وإلى القوى التي تعالج مسألة التحكم بالقوى.

إن المتحكم الهجين بالحركة والقوة هو ببساطة يجمع بين مهمتي التحكم بالحركة في فضاء المهمة (وذلك عن طريق قانون التغذية الراجعة الخطية (10.31)), والتحكم بالقوة في فضاء المهمة وفق القانون (10.35)، وذلك بعد إسقاطهما على الفضاء الفرعي للقوى الموافق:

$$\begin{aligned} \tau &= J^T(\theta) \left[ P(X) \left( \hat{\Lambda}(\theta) \left[ \dot{V}_d + K_p X_e + K_i \int X_e(t)dt + K_d V_e \right] \right) \right. \\ &\quad + (I + P(X)) \left( F_d + K_{fp} F_e + K_{fi} \int F_e(t)dt \right) \\ &\quad \left. + \hat{\gamma}(\theta, V) + \hat{\eta}(\theta) \right] \end{aligned} \quad (10.45)$$

حيث الحد المضروب بـ  $P(X)$  في السطر الأول يمثل الجزء المخصص للتحكم بالحركة، في حين أن الجزء المضروب بـ  $(I - P(X))$  في السطر الثاني يمثل الجزء المخصص للتحكم بالقوة. أما الحدين الموجودين في السطر الثالث فيمثلان التعويضات الغير خطية في المعادلة الديناميكية.

و بما أن التمثيل الديناميكي للمتحكمين تم تحليله عن طريق الإسقاطين المتعامدين  $P$  و  $I$  ، فإن هذا المتحكم الهجين سيكون له نفس الأخطاء الديناميكية ونفس تحاليل الاستقرار لكل من نظام التحكم بالحركة ونظام التحكم بالقوة وذلك بتعاً للفضاء الفرعي الموافق.

إن إحدى الصعوبات التي يمكن أن تواجهنا عند تطبيق قانون التحكم (10.45) عندما تكون البيئة المحيطة بالروبوت صلبة هي المعرفة الدقيقة للقيود النشطة  $0 = V(X)$  في أي وقت كان. وهذا الأمر ضروري من أجل تحديد الحركة والقوة المطلوبتين ومن أجل حساب الإسقاطات، ولكن في الحقيقة، لا يخلو أي نموذج ممثل للبيئة من بعض النقص في مستوى الدقة. وهناك منهجية متبعة من أجل التعامل مع هذه القضية وهي تتلخص باستخدام خوارزمية تقدير الزمن الحقيقي من أجل تعريف اتجاه القيود استناداً إلى المعلومات القادمة من التغذية الراجعة للقوة. وهناك طريقة أخرى تقتضي التضحية بدرجة أداء المتحكم وذلك عن طريق اختيار قيم أرباح قليلة في عملية التحكم عن طريق التغذية الراجعة، وهذا ما يجعل المتحكم بالحركة "ناعماً" ويصبح المتحكم بالقوة أكثر تسامحاً مع أخطاء القوة. ويمكن أيضاً أن نقوم بتزويد هيكل الروبوت بأنظمة مطاوعة ذات انتصاصي Passive Compliance (النوابض مثلًا) من أجل الحصول على تأثير مشابه. وفي جميع الأحوال، فإن مرنة المفاصل والوصلات قد تكسب الروبوت بعضاً من هذا النوع من المطواعية.

## 10.5. التحكم بالمقاومة :Impedance Control

إن التحكم الهجين المثالي بالحركة والقوة في البيئات الصلبة يتطلب التركيز على مسألة مقاومة الروبوت Robot Impedance، والتي تشخيص حركة نقطة النهاية للروبوت على شكل تابع لاضطرابات القوى. فالتحكم بالحركة المثالي يكون موافقاً للمقاومة العالية (وجود تغير ضئيل في الحركة بسبب حدوث الاضطرابات في القوى) في حين أن التحكم المثالي بالقوة يكون موافقاً للمقاومة المنخفضة (وجود تغير ضئيل في القوة بسبب حدوث الاضطرابات في الحركة). وفي التطبيقات العملية، تكون هناك بعض الحدود على معدل المقاومة الذي يستطيع الروبوت تحقيقه.

وسنقوم في هذه الفقرة بدراسة مسألة التحكم بالمقاومة، حيث يحاكي الروبوت في هذه الحالة خصائص المحمد المزود بكثة ونابض<sup>6</sup>. على سبيل المثال، الروبوت المستخدم في جهاز المحاكاة الجراحي اللمسى Haptic Surgical Simulator والذي تكون مهمته أحياناً هي محاكاة خصائص التخميد والصلابة والكتلة للمعدات الجراحية الافتراضية والتي تكون على تماส مع الأنسجة الافتراضية.

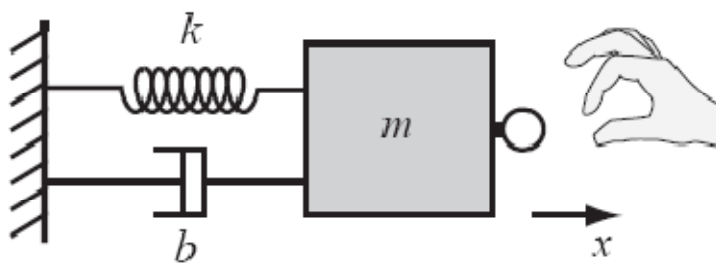
ومن أجل بيئة ذات درجة حرية واحدة ويمكننا أن نكتب:

$$m\ddot{x} + b\dot{x} + kx = f \quad (10.46)$$

حيث  $x$  هي عبارة عن الموقع، و  $m$  هي الكتلة، و  $b$  هو التخميد، و  $k$  هي عبارة عن الصلابة. والقوة  $f$  هي عبارة عن القوة المطبقة على هذا النظام (الشكل (10.17)). وبصورة عامة، فإننا

<sup>6</sup> إحدى التصنيفات الفرعية للتحكم بالمقاومة هي مايسى بالصلابة Stiffness أو التحكم بالمطاوعة، حيث يقوم الروبوت بمحاكاة النابض الافتراضي فقط.

نطلق على جملة البارامترات  $\{m, b, k\}$  اسم المقاومة. وبالتالي فإنه يمكن القول أن البيئة تمتلك مقاومة عالية إذا كان واحد أو أكثر من هذه البارامترات كبيراً (عادة ما يكون البارامتر  $b$  أو  $k$ ). وبالمثل، فإننا نقول أن المقاومة منخفضة إذا كانت جميع البارامترات ذات قيمة صغيرة.



الشكل 10.17: روبوت يحاكي بيئه افتراضية ذات درجة حرية واحدة ويمثل خصائص التخميد والكتلة والنابض. يد الإنسان تقوم بتطبيق قوة على هذا النظام.

وبإجراء تحويل لابلاس على المعادلة (10.46)، نجد:

$$(ms^2 + bs + k)X(s) = F(s) \quad (10.47)$$

وتعتبر المقاومة على أنها تابع التحويل من اضطرابات في الموقع إلى قوى، ويعبر عن ذلك بـ  $Z(s) = F(s)/X(s)$ . وبالتالي فإن المقاومة هي تابع للتردد Frequency، مع استجابة تردد منخفضة يتحكم بها النابض واستجابة تردد عالية تحتكم بها الكتلة. إن مفهوم السماحية  $Y(s) = Z^{-1}(s) = X(s)/F(s)$  هو معاكس لمفهوم المقاومة، أي أن  $Y(s) = Z^{-1}(s) = X(s)/F(s)$ .

إن المتحكم بالحركة الجيد يمكن تشخيصه خلال المقاومة العالية (السماحية القليلة)، حيث يكون  $\Delta X = Y\Delta F$ . فإذا كانت السماحية  $Y$  قليلة، فإن اضطرابات القوى  $\Delta F$  تنتج اضطرابات صغيرة في الموقع فقط  $\Delta X$ . وبصورة مشابهة، فإن المتحكم بالقوة الجيد يمكن تشخيصه من خلال المقاومة المنخفضة (السماحية العالية)، حيث يكون  $\Delta F = Z\Delta X$ ، والقيمة الصغيرة لـ  $Z$  تعني أن اضطرابات الحركة تنتج عنها اضطرابات صغيرة في القوى فقط.

إن الهدف من التحكم بالمقاومة هو تحقيق السلوك المرغوب في فضاء المهمة أو العمل:

$$D\ddot{V} + BV + KX = F_{ext} \quad (10.48)$$

حيث  $X \in \mathbb{R}^n$  و  $V = X^\top$  عبارة عن الموقع والسرعة في فضاء المهمة.  $D$  و  $B$  و  $K$  هي عبارة عن قيم موجبة تمثل العطلة الافتراضية والتخميد الافتراضي والصلابة الافتراضية التي ينبغي على الروبوت أن يتحققها. والقوة  $F_{ext}$  هي القوة المطبقة على الروبوت. إن قيم كل من  $D$  و  $B$  و  $K$  يمكن أن تتغير تبعاً لتغيير الموقع في النظام البيئي الافتراضي وذلك للتمييز بين الأجسام بصورة لحظية، ولكننا سنركز على الحالة التي تكون فيها هذه القيم ثابتة.

يمكن أن نستبدل  $X$  و  $V$  في معادلة السلوك (10.48) ونضع بدلاً منها  $(X(t) - X_{ref}(t))$  و  $(V(t) - V_{ref}(t))$ . فإذا كان المقدار  $X_{ref}(t)$  يتغير مع الزمن، فإنه سيقوم "سحب" الروبوت بصورة تقريبية على طول مسار الحركة. وهذا يسمح لنظام التحكم بالمقاومة بتحقيق التحكم

بالحركة، تماماً كما هو الحال بالنسبة للمتحكم PD في فضاء المهمة. وكلما كانت قيمة الصلابة والتخميد كبيرتان، كلما زاد ذلك من دقة التتبع للمسار.

وهناك على الأقل طريقتان من أجل تحقيق السلوك المرغوب (المعادلة (10.48)):)

- الروبوت يتحسس الحركات ويرسل الأوامر إلى المفاصل من أجل توليد عزوم الدوران التي تؤدي إلى تحقيق القوة  $F_{ext}$ ، ويتم إظهار القوة للمستخدم. مثل هذا الروبوت يقال عنه بأنه يتم التحكم به عن طريق المقاومة Impedance Controlled Robot، وذلك لأنه يقوم بتنفيذتابع التحويل  $Z(s)$  الذي يقوم بتحويل الحركات إلى قوى. إن الروبوتات التي تدرج تحت هذا النوع تمثل لأن تكون خفيفة الوزن وذات قابلية لقيادة الخلفية Back-Drivable. وهذه الروبوتات جيدة في المجالات التي تتطلب مقاومة منخفضة، وهي غير مناسبة في المجالات التي تكون فيها البيئة ذات مقاومة وصلابة مرتفعة.
- الروبوت يتحسس القوة  $F_{ext}$  من خلال استخدام حساس القوى والعزم المعمسي (سداسي المحاور)، ومن ثم يتحكم بالحركة كاستجابة لذلك. ومثل هذا الروبوت يقال عنه بأنه يتم التحكم به عن طريق السماحية Admittance Controlled Robot، وذلك لأنه يقوم بتنفيذتابع التحويل  $Y(s)$  والذي يقوم بتحويل القوى إلى حركات. والروبوتات المندرجة ضمن هذا النوع تمثل لأن تحتوي على منظومات مسننة كثيرة. وبصورة عامة، هي مناسبة في المجالات التي تكون فيها البيئة ذات مقاومة وصلابة مرتفعة، وغير مناسبة في المجالات التي تكون فيها البيئة ذات مقاومة منخفضة.

### 10.5.1 خوارزمية التحكم بالمقاومة:

في خوارزمية التحكم بالمقاومة، عادة ما يتم استخدام حساسات لقياس عدد الدورات Encoders، ومقاييس لقياس سرعة الدوران (التاكومتر) Tachometer، وربما يتم استخدام مقاييس لقياس التسارعات Accelerometers، وذلك من أجل تقدير موقع ودورانات وسرعات وتسارعات المفاصل والنهاية العاملة للروبوت. وفي أغلب الأحيان لا تكون الروبوتات مجهزة بحساس قياس القوة - العزم، وبدلاً من ذلك يتم الاعتماد على قابلية هذه الروبوتات على التحكم الدقيق بعزوم الدوران في مفاصلها مع وجود قدر قليل من الاحتكاك من أجل إظهار قيمة القوة عند النهاية العاملة للروبوت للمستخدم  $F_{ext}$  (من المعادلة (10.48)). وقانون التحكم المثالي يمكن أن يكون بالشكل:

$$\tau = J^T(\theta) [\hat{\Lambda}(\theta) \dot{V} + \hat{\gamma}(\theta, V) + \hat{\eta}(\theta) - (D\dot{V} + BV + KX)] \quad (10.49)$$

حيث يمثل الحد الأول من بين الحدين الموجودين داخل القوسين التعويضات الديناميكية للذراع، في حين يمثل الحد الثاني القوة التي يتعرض لها الروبوت  $F_{ext}$ . وإن إضافة حساس القوة - العزم إلى النهاية العاملة للروبوت سيتيح لنا استخدام الحد المتعلق بالتغذية الراجعة من أجل الحصول بدقة أكبر على القوة  $F_{ext}$  المطلوبة.

في قانون التحكم (10.49)، يفترض أن كلاً من  $V$  و  $X$  يتم قياسهما بشكل مباشر. وقد تكون مسألة قياس التسارع  $V$  أمراً صعباً، وقد تكون هناك مشكلة في محاولة تعويض عطالة

الروبوت بعد أن يتم تحسس التسارع. ولذلك، فمن الشائع أن يتم التخلص من حد تعويضات العطلة  $V(\theta) \Delta$  وأن يتم جعل  $0 = D$ . وسيبقى تأثير العطلة ظاهراً بكل الأحوال، ولكن الروبوتات التي يتم التحكم بها عن طريق المقاومة عادة ما يتم تصميمها بحيث تكون خفيفة الوزن من أجل الحد قدر الإمكان من تأثيرات العطلة.

بالإضافة إلى ذلك، فإنه يمكن أن تنشأ حالة من عدم الاستقرار عند استخدام المعادلة (10.49) من أجل محاكاة البيانات الصلبة. حيث إن تغيرات صغيرة في الموقع، والتي يتم قياسها على سبيل المثال من قبل مقاييس عدد الدورات Encoders، تؤدي إلى تغيرات كبيرة في عزم دوران المحرك. وهذا الأمر بالإضافة إلى حدوث بعض التأخيرات في الاستجابة، وبسبب عدم الدقة الكافية للحساسات وأخطاء التحسس الناتجة منها، يؤدي إلى نشوء سلوك تذبذبي للروبوت. ولهذا السبب، تكون الروبوتات المناورة الخفيفة الوزن هي المرغوبة أكثر عند استخدام التحكم بالمقاومة.

### 10.5.2. خوارزمية التحكم بالسماحية:

في خوارزمية التحكم بالسماحية، يتم تحسس القوة المطبقة على الروبوت  $F_{ext}$  باستخدام حساس القوة - العزم المعمسي (سداسي المحاور)، والروبوت سيستجيب لهذه القوة بإعطاء تسارع النهاية العاملة للروبوت بما يحقق المعادلة (10.48). وإن أبسط الطرق هو حساب تسارع النهاية العاملة للروبوت المطلوب  $V_d$  وفقاً:

$$D\dot{V}_d + BV + KX = F_{ext}$$

حيث  $(X, V)$  هو عبارة عن تمثيل الوضع الحالي. وبالحل نجد:

$$\dot{V}_d = D^{-1}(F_{ext} - BV - KX) \quad (10.50)$$

وبمعرفة كل من  $V_d$  و  $V$  و  $X$ ، فإنه بإجراء عملية التكامل على الخطوة الزمنية للمؤازرة، يمكن الحصول على السرعة والموقع  $X_d$  و  $V_d$ . وبعد ذلك يمكن تعويض كل من  $X_d$  و  $V_d$  و  $\dot{V}_d$  في معادلة التحكم عن طريق التغذى الراجعة الخطية (10.31) من أجل جعل الاستجابة تبدو أنعم وأسلس.

إن محاكاة البيئة منخفضة المقاومة يعد مسألة مهمة بالنسبة لصياغة خوارزمية التحكم بالسماحية، وذلك بسبب أن المقادير القليلة من القوى ستتسبّب بتسارعات كبيرة. ولذلك تكون الروبوتات الحاوية على منظومات مسننوية كثيرة هي المرغوبة أكثر في حال كان المطلوب هو استخدام التحكم بالسماحية بسبب قدرتها على محاكاة البيانات الصلبة.

### 10.6. موضوعات أخرى:

**التحكم المتيين Robust Control:** على الرغم من أن جميع المتحكمات عن طريق التغذية الراجعة تتصرف ببعض المثانة تجاه التأثيرات التي لا يمكن ضبطها بشكل كامل، إلا أن المجال الذي يتمحور حول التحكم المتيين يركز حول موضوع تصميم المتحكمات والتي تضمن وبشكل كبير جودة أداء الروبوت الذي من الممكن أن يتأثر بجملة من البارامترات قد تتسم بصعوبة تحديدها

شكل دقيق. على سبيل المثال، الصعوبة التي تواجهنا عند محاولة تقدير خصائص العطالة للروبوت.

**التحكم التأقلمي Adaptive Control:** إن موضوع التحكم التأقلمي بالروبوتات يدور حول تقديرات بارامترات العطالة للروبوت خلال مرحلة التنفيذ، وتحديث قانون التحكم في الزمن الحقيقي من أجل توحيد هذه التقديرات.

**التحكم عن طريق التعلم المتكرر Iterative Learning Control (ILC):** تركز أنظمة التحكم عن طريق التعلم المتكرر على المهام والوظائف ذات الطبيعة التكرارية. على سبيل المثال، إذا كان الروبوت يؤدي مهمة التقاط الجسم ونقله من مكان لآخر مرة تلوة المرة، فإنه يمكن استخدام أخطاء مسار الحركة الناتجة عن التنفيذ الأول للعملية لتعديل نظام التحكم عن طريق التغذية الأمامية من أجل إجراء التنفيذ التالي للمهمة بشكل دقيق أكثر. وبهذه الطريقة، يقوم الروبوت بتحسين أداء عمله مع الوقت حيث تقارب أخطاء التنفيذ إلى الصفر شيئاً فشيئاً. تختلف متحكمات ILC عن المتحكمات التأقلمية من حيث أن المعلومات التي يتم "تعلمها" لا يمكن توصيفها بشكل بارامטרי بصورة عامة، وفي كون متحكمات ILC تركز على مسار واحد للحركة فقط.

**المطاوعة الذاتية Passive Compliance والروبوتات المناورة المرنة:** جميع الروبوتات وبصورة قطعية تمتلك شيئاً من المطاوعة الذاتية. وبعض من نماذج هذه المطاوعة يمكن أن يكون بسيطاً كوجود نابض التوائي (حزوني) في كل مفصل دوراني (وذلك في حال استخدام المحركات التوافقية Harmonic Drive Motor والتي يكون فيها الجزء المسمى الداخلي المرن قليل الصلابة) أو يكون معقداً كمعاملة الوصلات على أنها جوائز Beams مرنة. وهناك تأثيران مهمان للمرنة Flexibility هما: (1) عدم التوافق بين قراءة زاوية المحرك والزاوية الحقيقة للمفصل. و (2) زيادة درجة المعادلات الديناميكية للروبوت. وهذه القضايا تزيد من صعوبة مسألة التحكم بالروبوتات.

هناك بعض الروبوتات صممت بحيث تمتلك أنظمة مطاوعة ذاتية بدرجة عالية، وبشكل خاص تلك الروبوتات التي تكون على تواصل وتفاعل مباشر مع الإنسان أو البيئة. في مثل هذه الروبوتات قد تتم التضحية بإداء نظام التحكم بالموضع لصالح زيادة عامل الأمان.

**أنظمة التحرير المقاومة Variable Impedance Actuators:** عادة ما يتم التحكم بمقاومة المفصل من خلال قانون التحكم عن طريق التغذية الراجعة، كمارأينا في الفقرة (10.5). ولكن هناك حدود لهذا التحكم، حيث يمكن التحكم بالمفصل بشكل فعال على أنه نابض فقط في حال الترددات المنخفضة للاضطرابات.

وهناك صنف جديد من أنظمة التحرير يسمى بأنظمة التحرير المقاومة أو المغيرة الصلابة Stiffness، والتي تقوم بمساعدة جملة التحرير على الحصول على المقاومة الميكانيكية المطلوبة بدون وجود أية حدود أو مقيمات على قانون التحكم المطبق. فعلى سبيل المثال، يمكن لأنظمة التحرير المقاومة أن تجمع بين محركات بشكل يسمح لنظام التحرير بالتحكم بشكل مستقل بصلابة أو مقاومة المفصل، وبالتالي بعزم الدوران الناتج عن نظام التحرير هذا.

# محمد بن عبد الله

## المراجع

## References

ملاحظة: المراجع مرتبة أبجدياً.

- 1- A Mathematical Introduction to Robotic Manipulation, R. M. Murray - Z. Li - S. S. Sastry, CRC Press 1994, United States of America.
- 2- Advanced Engineering Dynamics, H. R. Harrison - T. Nettleton, Arnold 1997, United Kingdom.
- 3- Advanced Engineering Mathematics, E. Kreyszig - H. Kreyszig - E. J. Norminton, 10<sup>th</sup> Edition, Wiley 2011, United States of America.
- 4- Advances in Polynomial Continuation for Solving Problems in Kinematics, ASME - Journal of Mechanical Design - Vol. 126 March 2004, A. J. Sommese - J. Verschelde - C. W. Wampler, United States of America.
- 5- An Introduction to Numerical Analysis, K. E. Atkinson, 2<sup>nd</sup> Edition, Wiley 1989, United States of America.
- 6- Animating Rotation with Quaternion Curves, Siggraph - Volume 19, Number 1985, K. Shoemaker, United States of America.
- 7- Compliance Control of Robot Manipulator for Safe physical Human Robot Interaction, M. R. Ahmed, Orebro University 2011, Sweden.
- 8- Control of Robot Manipulators in Joint Space, R. Kelly - V. Santibanez - A. Loria, Springer 2005, Germany.
- 9- Design of Mechanical Properties for Serial Manipulators, B. M. Hill, Doctorate of Philosophy Dissertation, University of Texas 1997, United States of America.
- 10- Dynamics of Mechanical Systems, H. Josephs - R. L. Huston, CRC Press LLC, 2002, United States of America.
- 11- Elementary Linear Algebra, H. Anton – C. Rorres, 7<sup>th</sup> Edition, Wiley 1994, United States of America.

- 12- Fundamentals of Robotic Mechanical Systems: Theory, Methods and Algorithms, J. Angeles, 3<sup>rd</sup> Edition, Springer 2003, United States of America.
- 13- Geometric Fundamentals of Robotics, J. M. Selig, 2<sup>nd</sup> Edition, Springer 2003, United States of America.
- 14- Handbook of Mathematical Functions: Formulas, Graphs and Mathematical Tables, M. Abramowitz - I. A. Stegun, 10<sup>th</sup> Edition, Department of Commerce 1972, United States of America.
- 15- Handbook of Robotics, B. Siciliano - O. Khatib - Editors, Springer 2008, Germany.
- 16- Industrial Robotics: Theory, Modeling and Control, Editor: S. Cubero, pro literatur Verlag 2007, Germany.
- 17- Introduction to Robotics, H. H. Asada, Massachusetts Institute of Technology - Department of Mechanical Engineering 2005, United States of America.
- 18- Introduction to Robotics: Mechanics and Control, J. J. Craig, 2<sup>nd</sup> Edition, Addison Wesley Longman 1989, Canada.
- 19- Introduction to Statics and Dynamics, A. Ruina - R. Pratap, Pre-print for Oxford University Press 2002, United Kingdom.
- 20- Modeling, Performance Analysis and Control of Robot Manipulators, E. Dombre - W. Khalil, ISTE Ltd 2007, United Kingdom.
- 21- Newton-Raphson Method of Solving a Nonlinear Equation, A. Kaw, Lecture in University of South Florida - Holistic Numerical Methods Institute, United States of America.
- 22- Numerical Methods for Scientists and Engineers, H. M. Antia, Birkhauser 2002, Switzerland.
- 23- On Computing Three-Finger Force-Closure Grasps of 2D and 3D Objects, IEEE – Robotic and Automation (Vol. 19, No. 1), February 2003, J. W. Li - H. Lio - H. G. Cai, United States of America.

- 24- On Quaternions, or on a New System of Imaginaries in Algebra, W. R. Hamilton (Philosophical Magazine, (1844-1850)), Editor: D. R. Wilkins, Cambridge University Press 2000, United Kingdom.
- 25- On the Existence and Synthesis of Multifinger Positive Grips, B. Mishra - J. T. Schwartz - M. Sharir, New York University - Dept. of Computer Science 1986, United States of America.
- 26- Operational Research: Applications and Algorithms, 4<sup>th</sup> Edition, W. L. Winston, Thomson 2004, Canada.
- 27- Rigid Body Dynamics Algorithms, R. Featherstone, Springer 2008, United States of America.
- 28- Robot Analysis: The Mechanics of Serial and Parallel Manipulators, L. W. Tsai, Wiley 1999, Canada.
- 29- Robot Dynamics and Control, M. W. Spong, University of Illinois at Urbana-Champaign - Department of General Engineering 2007, United States of America.
- 30- Robot Kinematics and Dynamics, H. Bruyninckx, Katholieke Universiteit Leuven - Department of Mechanical Engineering 2010, Belgium.
- 31- Robot Mechanics and Control, F. C. Park, Seoul National University 2014, South Korea.
- 32- Robot Modeling and Control, M. W. Spong - S. Hutchinson - M. Vidyasagar, 1<sup>st</sup> Edition, Wiley 2005, United States of America.
- 33- Robotics: Modelling, Planning and Control, B. Siciliano - L. Sciavicco - L. Villani - G. Oriolo, Springer 2009, United States of America.
- 34- Robotics and Automation Handbook, T. R. Kurfess, CRC Press 2005, United States of America.
- 35- Robotics and Control, R. K. Mittal - I. J. Nagrath, 6<sup>th</sup> Edition, Tata McGraw-Hill 2007, India.

- 36- Singularity Analysis of Closed Kinematic Chains, ASME - Journal of Mechanical Design - Vol. 121 March 1999, F. C. Park - J. W. Kim, United States of America.
- 37- Statics and Dynamics with Background Mathematics, A. P. Roberts, Cambridge University Press 2003, United Kingdom.
- 38- Synthesis of Stable Force Closure Grasps, V. D. Nguyen, Massachusetts Institute of Technology – Department of Electrical Engineering and Computer Science 1986, United States of America.
- 39- Theory of Applied Robotics: Kinematics, Dynamics and Control, R. N. Jazar, 2<sup>nd</sup> Edition, Springer 2010, United States of America.